

**Том 67, Номер 12**

**Декабрь 1993**

ISSN 0044-4537

РОССИЙСКАЯ АКАДЕМИЯ НАУК

# **ЖУРНАЛ ФИЗИЧЕСКОЙ ХИМИИ**

**Главный редактор  
В.М. Грязнов**



**МАИК НАУКА**

*Российская академия наук*

# **ЖУРНАЛ ФИЗИЧЕСКОЙ ХИМИИ**

том 67 № 12 1993 Декабрь

Основан в 1930 г.  
Выходит 12 раз в год  
ISSN: 0044-4537

*Главный редактор*  
В.М. Грязнов

*Заместители главного редактора*  
И.А. Мясников, Ю.А. Пентин

*Ответственный секретарь*  
В.В. Громов

**Международный консультативный совет:**

А.Т. Бэлл (США), Ф. Вейнхольд (США), Ж.-Л. Калэ (Швеция),  
Е. Ковач (Швейцария), У.А. Стилл (США),  
Дж.М. Томас (Великобритания), Д.В. Шусмит (Канада)

**Редакционная коллегия:**

В.В. Болдырев, В.В. Громов, В.М. Грязнов, Л.В. Гурвич,  
В.А. Даванков, В.М. Жулин, Я.С. Лебедев, А.А. Лопаткин,  
В.В. Лунин, И.А. Мясников, Ю.А. Пентин, О.М. Полторак,  
А.Я. Розовский, А.П. Симонов, Н.А. Смирнова, Н.Ф. Степанов,  
С.Ф. Тимашев, В.П. Чижков, Н.А. Чумаевский, В.И. Шимулис

*Зав. редакцией* Н.М. Беленкина

*Адрес редакции:* 103064, Москва, ул. Обуха, 10, НИФХИ им. Л.Я. Карпова,  
тел. 227-00-14, доб. 29-28

Москва  
Международная академическая  
издательская компания "Наука"

# СОДЕРЖАНИЕ

Том 67, номер 12, 1993

## ХИМИЧЕСКАЯ ТЕРМОДИНАМИКА И ТЕРМОХИМИЯ

Математическое моделирование химических равновесий в прототипах биологических сред Б. А. Дуров, Б. Д. Бурсулай, А. И. Новиков, Т. А. Матковская	2339
Энталпия образования водородных связей замещенных ацетиленов с основаниями А. А. Соловьев, С. В. Изосимова, В. А. Бреус, С. А. Неклюдов, Б. Н. Соломонов	2345
Термодинамическое моделирование области несмешиваемости жидких растворов в системе свинец–серебро В. М. Глазов, Л. М. Павлова, Г. К. Мамбетерзина	2348
Термодинамические характеристики бинарных смесей амидов с ацетонитрилом М. В. Куликов, А. М. Колкер, Ал. Г. Крестов	2354
Влияние кулоновского взаимодействия на структуру и свойства некристаллических систем Д. К. Белащенко	2359
Моделирование структуры и расчет термодинамических свойств некристаллических систем при использовании гибридных пар потенциалов Д. К. Белащенко	2366
Равновесие критической фазы с паром в трехкомпонентных системах А. Н. Горбунов	2375
Энергии изменения координации катионов в оксидах и сульфидах Л. А. Резницкий	2379
Оценка свободных энергий гидратации и сольватации органических неэлектролитов С. М. Лещев, И. В. Мельситова, В. И. Онищук	2383
Термодинамические параметры конформационных равновесий транс-1,2-дихлорциклогексана и 1,2-бромфторэтана в растворах и полимерных матрицах А. А. Соловьев, Д. И. Камалова, С. А. Смирнов, Д. Г. Гладиков, А. Б. Ремизов	2388
Условия термодинамической устойчивости сверхпроводника $\text{YBa}_2\text{Cu}_3\text{O}_{6+\delta}$ С. А. Дегтярев, Г. Ф. Воронин	2393
Термодинамические свойства смесей гексакарбонилов хрома и вольфрама А. К. Баев	2399
О термодинамическом подходе к выводу уравнения состояния вещества	
I. Термодинамические потенциалы и уравнения состояния В. В. Бондаренко	2403
О термодинамическом подходе к выводу уравнения состояния вещества	
II. Вычисление сжимаемости В. В. Бондаренко	2406
Стандартная энталпия образования трихлорида гадолиния Д. М. Лаптев, Т. В. Киселева, В. В. Васильев, Д. И. Ощепков	2410

## ХИМИЧЕСКАЯ КИНЕТИКА И КАТАЛИЗ

Гидрирование фенола в циклогексанон на мембранных катализаторах Н. Л. Басов, В. М. Грязнов, М. М. Ермилова	2413
Оценка энергий диссоциации C–H-связей в углеводородах по кинетическим данным Е. Т. Денисов	2416

## ФИЗИЧЕСКАЯ ХИМИЯ ПОВЕРХНОСТНЫХ ЯВЛЕНИЙ

Анализ необменной сорбции электролитов ионообменными мембранами с помощью микрогетерогенной модели В. И. Заболоцкий, В. В. Никоненко, О. Н. Костенко, Л. Ф. Ельникова	2423
Изучение химии поверхности аминосилохромов методами газовой хроматографии и ИК-спектроскопии В. Я. Давыдов, Т. М. Роцина, Н. М. Хрусталева, А. А. Мандругин	2428

Кинетика сорбции серебра(I) волокнистым сорбентом нитрон S-3 <i>В. Э. Краков, Е. Я. Калонтарова, Л. С. Бобрицкая, Г. Н. Никитина</i>	2433
Влияние термической дегидратации гидроксиалюминиевого монтмориллонита на адсорбцию <i>n</i> -гексана и бензола <i>С. З. Муминов, Д. Б. Гулямова, Э. А. Арипов</i>	2436
Изменение пограничных свойств слоев из полиметилметакрилата в плазме тлеющего разряда <i>Н. В. Каледенкова, В. В. Зайцев</i>	2439
Состояние поверхности пленочных TiO <sub>2</sub> -электродов, модифицированных частицами серебра <i>В. С. Гурин, В. П. Порошков, К. Н. Каспаров, Е. А. Тягловская, Н. И. Кунцевич</i>	2442
Исследование взаимодействия хлорбензолов с поверхностью CuO методом ИК-спектроскопии <i>А. А. Давыдов</i>	2447
Влияние кислотности на окислительно-восстановительный потенциал pH-независимой редокс-пары, иммобилизованной на кремнеземе <i>Н. А. Липковская, А. Г. Кольчинский, С. С. Сильченко, А. А. Чуйко</i>	2452
Химические реакции на поверхности дисперсного кремнезема при газофазном модифицировании парами MoOCl <sub>4</sub> <i>Ю. В. Плюто, А. А. Гоменюк, И. В. Бабич, А. А. Чуйко</i>	2455
<b>ФОТОХИМИЯ И МАГНЕТОХИМИЯ</b>	
Влияние растворителя на фотопротонирование кумарина 102 <i>С. И. Дружинин, Б. Д. Бурсулай, Б. М. Ужинов</i>	2459
<b>БИОФИЗИЧЕСКАЯ ХИМИЯ</b>	
Строение и бионеэквивалентность полиморфных форм метилурацила <i>Н. Б. Леонидов, П. М. Зоркий, А. Э. Масунов, О. П. Гладких, В. К. Бельский, А. В. Дзябченко, С. А. Иванов</i>	2464
<b>ПРОЧИЕ ВОПРОСЫ ФИЗИЧЕСКОЙ ХИМИИ</b>	
Динамика комплексов с переносом заряда метилвиологена с ароматическими молекулами в анионных мицеллах <i>В. А. Надточенко, Н. Н. Денисов, В. Гульбинас, В. Бутвилас, А. Урбас</i>	2469
<b>КРАТКИЕ СООБЩЕНИЯ</b>	
Оценка термодинамических свойств антимонатов щелочных металлов и газообразных ионов SbO <sub>3</sub> <sup>-</sup> , Sb <sub>3</sub> O <sub>10</sub> <sup>5-</sup> , Sb <sub>2</sub> O <sub>7</sub> <sup>4-</sup> , SbO <sub>4</sub> <sup>3-</sup> <i>Б. К. Касенов, Б. К. Жакибаев, Ш. Б. Касенова</i>	2475
ИК-спектроскопическое изучение форм адсорбции малеинового ангидрида на V <sub>2</sub> O <sub>5</sub> /Al <sub>2</sub> O <sub>3</sub> и CuO <i>А. А. Давыдов</i>	2477
О влиянии кремния и серы на активность углерода в цементите Fe <sub>3</sub> C <i>А. А. Жуков, Г. Ю. Шульте, А. Б. Янченко</i>	2480
Катодная поляризация висмута в расплавах рубидиевых солей <i>М. В. Дергачева, Е. Г. Шатрова</i>	2483
Авторский указатель к тому 67 за 1993 г.	2485
Содержание к тому 67 за 1993 г.	2492

ХИМИЧЕСКАЯ ТЕРМОДИНАМИКА  
И ТЕРМОХИМИЯ

УДК 541.121,612.126.41,612.121

МАТЕМАТИЧЕСКОЕ МОДЕЛИРОВАНИЕ  
ХИМИЧЕСКИХ РАВНОВЕСИЙ  
В ПРОТОТИПАХ БИОЛОГИЧЕСКИХ СРЕД

© 1993 г. В. А. Дуров\*, Б. Д. Бурсулая\*, А. И. Новиков\*\*, Т. А. Матковская\*\*\*

\*Московский государственный университет им. М.В. Ломоносова, Химический факультет

\*\*Российская академия медицинских наук, Научно-исследовательский институт  
трансплантации и искусственных органов, Москва

\*\*\* НПО ИРЕА, Москва

Поступила в редакцию 28.10.92 г.

Выполнено моделирование химических равновесий в водном растворе, являющимся прототипом плазмы крови. Рассчитаны концентрации молекулярно-ионных форм с участием катионов кальция и фосфат-анионов в диапазоне брутто-концентраций ионизированного кальция и общего фосфора от 0.5 до 3.0 мМ и значениях pH раствора от 7.1 до 7.8. Определены состояния ряда фосфатов кальция (кальция гидроортогофосфат дигидрат (DCPD) –  $\text{CaHPO}_4 \cdot 2\text{H}_2\text{O}$ , ортофосфат кальция (TCP) –  $\text{Ca}_3(\text{PO}_4)_2$ , октакальция фосфат (OCP) –  $\text{Ca}_4\text{H}(\text{PO}_4)_3 \cdot 2\text{H}_2\text{O}$ , гидроксиапатит (HA) –  $\text{Ca}_5\text{OH}(\text{PO}_4)_3$ ) по отношению к границе области их кристаллизации. Установлено, что наиболее растворимый из фосфатов –  $\text{CaHPO}_4 \cdot 2\text{H}_2\text{O}$  – является недосыщенным, а остальные фосфаты – пересыщеными по отношению к кристаллизации. Введен и апробирован критерий, характеризующий степень пересыщения соли по отношению к кристаллизации, основанный на введении расстояния между состояниями соли в растворе и на границе ее кристаллизации. На его основе дана количественная характеристика степени пересыщения фосфатов и их тенденции к кристаллизации в плазме крови.

Роль кальция в обеспечении жизнедеятельности человека (почечный обмен, образование и разрушение мягких тканей и пр.) общеизвестна (см., например, [1]). Однако большая часть работ в этой области носит описательный характер, количественному анализу указанных явлений уделяется значительно меньшее внимание. Это обусловлено, с одной стороны, сложностью биологических явлений (многокомпонентность исследуемых систем, недостаточно полные данные об их составе и наборе требуемых физико-химических параметров и т.п.), с другой – существованием объективного разрыва между работами физико-химической и медицинской направленности.

Накопление эмпирических наблюдений и результатов анализа биологических систем [1 - 4], развитие компьютерных методов описания физико-химических равновесий в многокомпонентных системах [5, 6] делают обоснованными попытки количественного моделирования явлений и равновесий в прототипах биологических сред с целью выявления состава присутствующих в них молекулярно-ионных форм, условий пересыщения и выпадения кристаллических модификаций различных солей и т.п. Особый интерес представляет моделирование равновесий с участием фосфатов кальция, которые в существенной степени регулируют условия функционирования биологических сред [1 - 4]. Хотя попытки такого моделирования в литературе известны [1 - 4], анализ

показывает, что они имеют весьма частный характер как по кругу поставленных вопросов, так и по степени общности используемых методов физико-химического анализа.

ПОСТАНОВКА ЗАДАЧИ

Целью работы явилось моделирование химических равновесий в жидкости, являющейся прототипом плазмы крови, в которых участвуют катионы кальция и разнообразные фосфат-анионы. Состав модельной водной среды по содержанию “инертных” ионов (натрий, хлор) – задавался на основе средних данных, относящихся к плазме крови, а именно –  $[\text{Na}^+] = 140 \text{ мМ}$ ,  $[\text{Cl}^-] = 109 \text{ мМ}$ . “Инертность” указанных ионов означает, что их возможное участие в химических равновесиях не учитывалось, а учет их роли сводился к описанию их влияния на неидеальность раствора вследствие электростатических взаимодействий ионов, описываемых посредством ионной силы раствора  $I$ , определяемой выражением [7]

$$I = \frac{1}{2} \sum_i c_i z_i^2, \quad (1)$$

в котором  $c_i$  (М) обозначает молярную концентрацию ионов, присутствующих в растворе (как “инертных”, так и участвующих в равновесиях),  $z_i$  – заряд соответствующего иона. Пренебрежение участием в равновесиях ионов натрия и хлора

обосновано вследствие их малой комплексообразующей способности [7, 8].

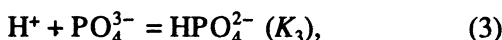
Помимо концентраций "инертных" компонентов задавались суммарные (брутто) концентрации участвующих в химических равновесиях "реагентов", а именно – молярная брутто-концентрация ионов кальция  $[Ca^{2+}]$ , в "норме" она принималась равной 1.0 mM, брутто-концентрация фосфора  $[P]$  (концентрация фосфора, входящего во все содержащие его формы), в "норме" она принималась равной 1.0 mM, и показатель кислотности среды pH, значение которого в "норме" принималось равным 7.4. Все указанные величины допускают прямое лабораторное определение и могут служить характеристикой функционального состояния пациентов.

Схема химических равновесий в растворе включала следующие процессы:

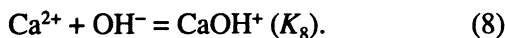
1. Диссоциация воды:



2. Последовательная диссоциация фосфорной кислоты:



3. Равновесия с образованием фосфатов и гидроксида кальция:



Константы равновесия ( $K_n$ ) процессов (2) - (8) записывались в термодинамической форме, через активности реагентов, например:

$$K_w = a_{H^+} a_{OH^-} = \gamma_{H^+} c_{H^+} \gamma_{OH^-} c_{OH^-}, \quad (9)$$

$$K_3 = \frac{\gamma_{HPO_4^{2-}} c_{HPO_4^{2-}}}{(\gamma_{H^+} c_{H^+}) (\gamma_{PO_4^{3-}} c_{PO_4^{3-}})},$$

где  $c_i$  обозначают молярности реагентов,  $\gamma_i$  – их коэффициенты активности. Для нейтральных (молекулярных) частиц коэффициенты активности принимались равными единице, для заряженных частиц коэффициенты активности рассчитывались по уравнению [8]

$$\log \gamma_i = -\frac{z_i^2 A I^{1/2}}{1 + B a I^{1/2}}, \quad (10)$$

в котором  $I$  – ионная сила раствора (1),  $A$  и  $B$  – табулированные величины [8],  $a$  – радиус иона, для которого принято значение 4.8 Å, причем  $Ba \approx 1.5$ . Уравнение (10) позволяет описать коэффициенты активности в растворах электролитов до

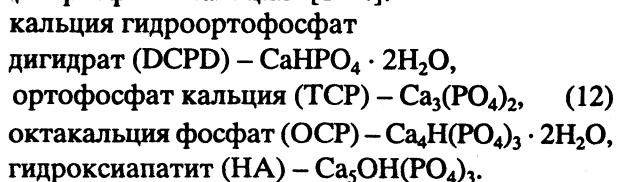
концентраций 0.1 - 0.2 M [8], что отвечает условиям рассматриваемой задачи.

Значения термодинамических констант равновесия процессов (2) - (8), полученных, как правило, путем экстраполяции данных к бесконечному разведению, известны в полном объеме для температуры 298 K [1, 9] и равны соответственно:

$$K_w = 1 \times 10^{-14}, \quad K_3 = 625, \quad K_4 = 1.59 \times 10^7, \quad (11)$$

$$K_5 = 7.94 \times 10^{10}, \quad K_6 = 500, \quad K_7 = 12, \quad K_8 = 25.$$

Для описания процессов кальцификации мягких тканей особый интерес представляют следующие фосфаты кальция<sup>1</sup> [1 - 4]:



Фосфаты расположены здесь в порядке возрастания их термодинамических произведений растворимости  $K_{sp}$ , значения которых известны для температуры 298 K [1 - 4] и равны

$$DCPD: K_{sp} = 2.56 \times 10^{-7}, \quad TCP: K_{sp} = 1.15 \times 10^{-29},$$

$$OCP: K_{sp} = 1.03 \times 10^{-47}, \quad HA: K_{sp} = 3.37 \times 10^{-58}. \quad (13)$$

## ОПИСАНИЕ АЛГОРИТМА РАСЧЕТОВ

Схема расчетов состояла в следующем. Первоначально задавались молярные брутто-концентрации ионов кальция  $[Ca^{2+}]$ , фосфора  $[P]$  и показатель кислотности среды pH; кроме того, заданными считались молярные концентрации "инертных" компонентов раствора (ионы натрия и хлора).

Далее, задавалась некоторая начальная концентрация фосфат-аниона  $[PO_4^{3-}]$  и на основании уравнений материального баланса, значений термодинамических констант равновесий (2) - (8) (см. (11)), оценок коэффициентов активности реагентов по уравнению (10) рассчитывались начальные приближения для молярных концентраций  $c_i$  всех рассматриваемых молекулярных и ионных форм, входящих в уравнения (2) - (8). Далее, эти начальные приближения использовались для решения системы уравнений (уравнение материального баланса для фосфора, уравнения (2) - (8), условия (10), (11)), в результате которого рассчитывались окончательные молярные концентрации  $c_i$  молекулярных и ионных форм, входящих в уравнения (2) - (8). Решение указанной системы уравнений проводилось при помощи разработанной программы, использующей итерационный

<sup>1</sup> Используемые сокращенные названия фосфатов отвечают принятым в англоязычной литературе [1 - 4].

алгоритм, на каждом шаге которого проверяется совпадение опытных и рассчитанных брутто-концентраций фосфора; итерационная процедура считается завершенной, если различия не превышают 1 - 5%. Во всех рассмотренных случаях сходимость достигалась независимо от выбора начального приближения при pH от 7 до 14.

На основе этих данных производились расчеты термодинамических аналогов произведений растворимости  $K'_{sp}$ , например, для TCP:

$$K'_{sp} = a_{\text{Ca}^{2+}}^3 a_{\text{PO}_4^{3-}}^2 = \gamma_{\text{Ca}^{2+}}^3 \gamma_{\text{Ca}^{2+}}^3 \gamma_{\text{PO}_4^{3-}}^2 \gamma_{\text{PO}_4^{3-}}^2. \quad (14)$$

Далее результаты расчетов величин  $K'_{sp}$  сопоставлялись с произведениями растворимости рассматриваемых фосфатов  $K_{sp}$  (13).

Если для некоторого фосфата выполняется условие  $K_{sp} < K'_{sp}$ , то это означает, что раствор этой соли является пересыщенным по отношению к ее термодинамически равновесному состоянию (насыщенный раствор в равновесии с кристаллами) и должна быть тенденция к кристаллизации этой соли.

Графически состав системы, возможность ее пересыщения удобно изображать в виде диаграммы [3], по оси абсцисс которой отложены величины  $-\log([{\text{Ca}}^{2+}][{\text{OH}}^-]^2)$ , а по оси ординат – величины  $-\log([{\text{H}}^+]^3[{\text{PO}}_4^{3-}])$ . В этом случае область состояний, пересыщенных по отношению к данному фосфату, располагается выше прямой линии, соответствующей уравнению:

$$-\log([{\text{H}}^+]^3[{\text{PO}}_4^{3-}]) = X \log([{\text{Ca}}^{2+}][{\text{OH}}^-]) + D, \quad (15)$$

где  $D$  – константы, определенные для рассматриваемых фосфатов выражениями

$$\begin{aligned} \text{DCPD: } D &= -\log(K_{sp} K_3 K_w^2), \\ \text{TCP: } D &= -\log(K_{sp} K_w^8)^{1/3}, \\ \text{DCP: } D &= -\log(K_{sp}^{1/2} K_w^3), \\ \text{HA: } D &= -\log(K_{sp}^{1/3} K_w^3), \end{aligned} \quad (16)$$

а  $X$  в уравнении (15) есть молярное отношение Ca/P в соответствующей соли кальция (например, для DCPD значение  $X = 1/1 = 1$ ).

Степень пересыщения  $\chi$  и соответственно способность фосфатов к кристаллизации характеризовались следующим образом. Концентрации катионов кальция и фосфат-анионов, отвечающие границе кристаллизации каждого из фосфатов, для раствора с заданным значением pH вычислялись по двухпараметрическому методу градиентного спуска.

Степень пересыщения  $\chi$  характеризуется расположением в указанных координатах ( $-\log([{\text{Ca}}^{2+}][{\text{OH}}^-]^2)$ ,

$-\log([{\text{H}}^+]^3[{\text{PO}}_4^{3-}]))$  между точками, описывающими состояния данной соли в растворе и на границе ее кристаллизации. Эта величина рассчитывалась по соотношению:

$$\begin{aligned} \chi &= [(\log([{\text{Ca}}^{2+}][{\text{OH}}^-]_{kp}^2) - \\ &- \log([{\text{Ca}}^{2+}][{\text{OH}}^-]^2))^2 + \\ &+ (\log([{\text{PO}}_4^{3-}]_{kp}^2)[{\text{H}}^+]^3) - \\ &- \log \log([{\text{PO}}_4^{3-}]_{kp}^2)[{\text{H}}^+]^3)]^{1/2} = \\ &= [(\log([{\text{Ca}}^{2+}]_{kp}/[{\text{Ca}}^{2+}]))^2 + \\ &+ (\log([{\text{PO}}_4^{3-}]_{kp}/[{\text{PO}}_4^{3-}]))^2]^{1/2}, \end{aligned} \quad (17)$$

в котором индекс “kp” обозначает концентрации ионов на границе кристаллизации соли.

## РЕЗУЛЬТАТЫ РАСЧЕТОВ И ИХ ОБСУЖДЕНИЕ

Расчеты проводились для следующих состояний растворов. Значения pH растворов принимались равными 7.1, 7.4, 7.5 и 7.8, что отвечает варияциям pH в плазме крови. Для каждого из указанных значений pH проводилось 9 расчетов, отвечающих всем парным комбинациям трех значений брутто-концентраций ионов кальция – (0.5, 1.0, 1.5) и фосфат-анионов – (0.5, 1.0, 3.0), а именно: (1.0, 0.5), (1.0, 3.0), (1.0, 1.0), (1.5, 0.5), (1.5, 3.0), (1.5, 1.0), (0.5, 0.5), (0.5, 3.0), (0.5, 1.0) (концентрации даны в мМ). Всего таким образом расчеты были выполнены для 36 наборов концентраций, описывающих состояния раствора, и варьируемых относительно “нормального” состояния раствора – pH 7.4,  $[{\text{Ca}}^{2+}] = 1.0 \text{ мМ}$ ,  $[{\text{P}}] = 1.0 \text{ мМ}$ . Результаты расчетов приведены в табл. 1 - 4.

Прежде всего следует отметить, что во всех рассмотренных случаях растворы являются ненасыщенными по отношению к наиболее растворимому из фосфатов –  $\text{CaHPO}_4 \cdot 2\text{H}_2\text{O}$  – (DCPD). Можно таким образом сделать заключение, что этот фосфат не участвует в процессах кальцификации мягких тканей, или во всяком случае его роль несущественна сравнительно с другими фосфатами. Именно этот фосфат, как можно полагать, является источником ионизированного кальция в плазме крови в результате “разрушения” мягких тканей.

В “нормальном” состоянии (pH 7.4,  $[{\text{Ca}}^{2+}] = 1.0 \text{ мМ}$ ,  $[{\text{P}}] = 1.0 \text{ мМ}$ ), как и во всех остальных случаях, наибольшую степень пересыщения  $\chi$  в соответствии с использованным критерием имеет гидроксиапатит (HA)  $\text{Ca}_5\text{OH}(\text{PO}_4)_3$  ( $\chi = 4.13$ , табл. 2). Степени пересыщения двух других пересыщенных фосфатов –  $\text{Ca}_3(\text{PO}_4)_2$  (TCP) – ( $\chi = 3.31$ ), и  $\text{Ca}_4\text{H}(\text{PO}_4)_3 \cdot 2\text{H}_2\text{O}$  (OCP) – ( $\chi = 3.13$ ) близки друг к

**Таблица 1.** Брутто-концентрации ионизированного кальция (1) и общего фосфора (2), произведения активностей фосфатов  $K'_{sp}$  (3, 5, 7, 9) и степени пересыщения растворов  $\chi$  (4, 6, 8, 10), pH 7.10

$c_i, \text{мM}$		$\text{Ca}_4\text{H}(\text{PO}_4)_3$		$\text{Ca}_3(\text{PO}_4)_2$		$\text{Ca}_5\text{OH}(\text{PO}_4)_3$		$\text{CaHPO}_4$	
1	2	3	4	5	6	7	8	9	10
0.5	0.5	$4.22 \times 10^{-36}$	2.66	$9.82 \times 10^{-21}$	2.80	$1.22 \times 10^{-39}$	3.58	$4.58 \times 10^{-16}$	-8.19
0.5	1.0	$3.17 \times 10^{-35}$	3.09	$3.70 \times 10^{-20}$	3.14	$8.92 \times 10^{-39}$	3.86	$8.94 \times 10^{-16}$	-7.98
0.5	3.0	$6.72 \times 10^{-34}$	3.45	$2.80 \times 10^{-19}$	3.46	$1.83 \times 10^{-37}$	4.14	$2.48 \times 10^{-15}$	-7.66
1.0	0.5	$6.56 \times 10^{-35}$	4.15	$7.75 \times 10^{-20}$	4.74	$3.86 \times 10^{-38}$	6.48	$9.15 \times 10^{-16}$	-7.98
1.0	1.0	$4.92 \times 10^{-34}$	3.18	$3.08 \times 10^{-19}$	3.29	$3.01 \times 10^{-37}$	4.06	$1.81 \times 10^{-15}$	-7.77
1.0	3.0	$1.05 \times 10^{-32}$	3.74	$2.26 \times 10^{-18}$	3.75	$5.93 \times 10^{-36}$	4.44	$4.97 \times 10^{-15}$	-7.44
1.5	0.5	$3.23 \times 10^{-34}$	4.46	$2.56 \times 10^{-19}$	5.10	$2.82 \times 10^{-37}$	6.89	$1.36 \times 10^{-15}$	-7.86
1.5	1.0	$2.42 \times 10^{-33}$	4.54	$1.04 \times 10^{-18}$	5.09	$2.33 \times 10^{-36}$	6.79	$2.75 \times 10^{-15}$	-7.65
1.5	3.0	$5.16 \times 10^{-32}$	3.90	$7.77 \times 10^{-18}$	3.91	$4.61 \times 10^{-35}$	4.60	$7.50 \times 10^{-15}$	-7.31
$K_{sp}$		$1.03 \times 10^{-47}$		$1.15 \times 10^{-29}$		$3.37 \times 10^{-58}$		$2.56 \times 10^{-7}$	

**Таблица 2.** Брутто-концентрации ионизированного кальция (1) и общего фосфора (2), произведения активностей фосфатов  $K'_{sp}$  (3, 5, 7, 9) и степени пересыщения растворов  $\chi$  (4, 6, 8, 10), pH 7.40

$c_i, \text{мM}$		$\text{Ca}_4\text{H}(\text{PO}_4)_3$		$\text{Ca}_3(\text{PO}_4)_2$		$\text{Ca}_5\text{OH}(\text{PO}_4)_3$		$\text{CaHPO}_4$	
1	2	3	4	5	6	7	8	9	10
0.5	0.5	$2.12 \times 10^{-36}$	2.59	$9.82 \times 10^{-21}$	2.80	$2.44 \times 10^{-39}$	3.64	$2.30 \times 10^{-16}$	-8.41
0.5	1.0	$1.66 \times 10^{-35}$	3.02	$3.81 \times 10^{-20}$	3.14	$1.86 \times 10^{-39}$	3.92	$4.54 \times 10^{-16}$	-8.20
0.5	3.0	$3.51 \times 10^{-34}$	3.38	$2.88 \times 10^{-19}$	3.46	$3.79 \times 10^{-37}$	4.21	$1.26 \times 10^{-15}$	-7.88
1.0	0.5	$3.29 \times 10^{-35}$	4.05	$7.75 \times 10^{-20}$	4.74	$7.70 \times 10^{-38}$	6.58	$4.59 \times 10^{-16}$	-8.20
1.0	1.0	$2.58 \times 10^{-34}$	3.13	$3.17 \times 10^{-19}$	3.31	$6.27 \times 10^{-37}$	4.13	$9.21 \times 10^{-16}$	-7.98
1.0	3.0	$5.46 \times 10^{-33}$	3.67	$2.32 \times 10^{-18}$	3.76	$1.23 \times 10^{-36}$	4.50	$2.52 \times 10^{-15}$	-7.65
1.5	0.5	$1.62 \times 10^{-34}$	4.36	$2.56 \times 10^{-19}$	5.10	$5.63 \times 10^{-37}$	6.99	$6.80 \times 10^{-16}$	-8.08
1.5	1.0	$1.27 \times 10^{-33}$	4.44	$1.07 \times 10^{-18}$	5.08	$4.88 \times 10^{-36}$	6.87	$1.40 \times 10^{-15}$	-7.86
1.5	3.0	$2.69 \times 10^{-32}$	3.83	$7.97 \times 10^{-18}$	3.92	$9.57 \times 10^{-35}$	4.67	$3.81 \times 10^{-15}$	-7.52
$K_{sp}$		$1.03 \times 10^{-47}$		$1.15 \times 10^{-29}$		$3.37 \times 10^{-58}$		$2.56 \times 10^{-7}$	

**Таблица 3.** Брутто-концентрации ионизированного кальция (1) и общего фосфора (2), произведения активностей фосфатов  $K'_{sp}$  (3, 5, 7, 9) и степени пересыщения растворов  $\chi$  (4, 6, 8, 10), pH 7.50

$c_i, \text{мM}$		$\text{Ca}_4\text{H}(\text{PO}_4)_3$		$\text{Ca}_3(\text{PO}_4)_2$		$\text{Ca}_5\text{OH}(\text{PO}_4)_3$		$\text{CaHPO}_4$	
1	2	3	4	5	6	7	8	9	10
0.5	0.5	$1.68 \times 10^{-36}$	2.57	$9.82 \times 10^{-21}$	2.80	$3.07 \times 10^{-39}$	3.66	$1.83 \times 10^{-16}$	-8.49
0.5	1.0	$1.32 \times 10^{-35}$	2.99	$3.81 \times 10^{-20}$	3.14	$2.34 \times 10^{-38}$	3.95	$3.61 \times 10^{-16}$	-8.27
0.5	3.0	$2.79 \times 10^{-34}$	3.36	$2.88 \times 10^{-19}$	3.46	$4.77 \times 10^{-37}$	4.23	$9.99 \times 10^{-16}$	-7.95
1.0	0.5	$2.61 \times 10^{-35}$	4.02	$7.75 \times 10^{-20}$	4.74	$9.69 \times 10^{-38}$	6.61	$3.64 \times 10^{-16}$	-8.28
1.0	1.0	$2.05 \times 10^{-34}$	3.10	$3.17 \times 10^{-19}$	3.31	$7.90 \times 10^{-37}$	4.15	$7.31 \times 10^{-16}$	-8.06
1.0	3.0	$4.34 \times 10^{-33}$	3.65	$2.32 \times 10^{-18}$	3.76	$1.55 \times 10^{-35}$	4.52	$2.00 \times 10^{-15}$	-7.73
1.5	0.5	$1.28 \times 10^{-34}$	4.32	$2.56 \times 10^{-19}$	5.10	$7.09 \times 10^{-37}$	7.03	$5.40 \times 10^{-16}$	-8.16
1.5	1.0	$1.01 \times 10^{-33}$	4.41	$1.07 \times 10^{-18}$	5.08	$6.15 \times 10^{-36}$	6.90	$1.11 \times 10^{-15}$	-7.93
1.5	3.0	$2.14 \times 10^{-32}$	3.80	$7.97 \times 10^{-18}$	3.92	$1.20 \times 10^{-34}$	4.69	$3.02 \times 10^{-15}$	-7.60
$K_{sp}$		$1.03 \times 10^{-47}$		$1.15 \times 10^{-29}$		$3.37 \times 10^{-58}$		$2.56 \times 10^{-7}$	

**Таблица 4.** Брутто-концентрации ионизированного кальция (1) и общего фосфора (2), произведения активностей фосфатов  $K'_{sp}$  (3, 5, 7, 9) и степени пересыщения растворов  $\chi$  (4, 6, 8, 10), pH 7.80

$c_i, \text{мM}$		$\text{Ca}_4\text{H}(\text{PO}_4)_3$		$\text{Ca}_3(\text{PO}_4)_2$		$\text{Ca}_5\text{OH}(\text{PO}_4)_3$		$\text{CaHPO}_4$	
1	2	3	4	5	6	7	8	9	10
0.5	0.5	$8.43 \times 10^{-37}$	2.49	$9.82 \times 10^{-21}$	2.80	$6.12 \times 10^{-39}$	3.72	$9.15 \times 10^{-17}$	-8.71
0.5	1.0	$6.60 \times 10^{-36}$	2.92	$3.81 \times 10^{-20}$	3.14	$4.67 \times 10^{-38}$	4.01	$1.81 \times 10^{-16}$	-8.49
0.5	3.0	$1.40 \times 10^{-34}$	3.28	$2.88 \times 10^{-19}$	3.46	$9.53 \times 10^{-37}$	4.29	$5.01 \times 10^{-16}$	-8.17
1.0	0.5	$1.31 \times 10^{-35}$	3.92	$7.75 \times 10^{-20}$	4.74	$1.93 \times 10^{-37}$	6.71	$1.83 \times 10^{-16}$	-8.49
1.0	1.0	$1.03 \times 10^{-34}$	3.03	$3.17 \times 10^{-19}$	3.31	$1.58 \times 10^{-36}$	4.21	$3.67 \times 10^{-16}$	-8.28
1.0	3.0	$2.17 \times 10^{-33}$	3.57	$2.32 \times 10^{-18}$	3.76	$3.09 \times 10^{-35}$	4.58	$1.00 \times 10^{-15}$	-7.94
1.5	0.5	$6.44 \times 10^{-35}$	4.22	$2.56 \times 10^{-19}$	5.10	$1.41 \times 10^{-36}$	7.13	$2.71 \times 10^{-16}$	-8.37
1.5	1.0	$5.05 \times 10^{-34}$	4.31	$1.07 \times 10^{-18}$	5.08	$1.23 \times 10^{-35}$	7.00	$5.56 \times 10^{-16}$	-8.15
1.5	3.0	$1.07 \times 10^{-32}$	3.73	$7.97 \times 10^{-18}$	3.92	$2.40 \times 10^{-34}$	4.75	$1.52 \times 10^{-15}$	-7.81
$K'_{sp}$		$1.03 \times 10^{-47}$		$1.15 \times 10^{-29}$		$3.37 \times 10^{-58}$		$2.56 \times 10^{-7}$	

другу и значительно ниже, чем для гидроксиапатита. Таким образом, в "норме" вероятность участия фосфатов в процессах кальцификации мягких тканей убывает в ряду:



При "нормальном" значении pH 7.4 гидроксиапатит (НА) является наиболее пересыщенным и при всех остальных значениях концентраций кальция и фосфора (табл. 2), причем неравенства (18), характеризующие убывание степени пересыщения сохраняются, так же как сохраняется и относительная близость пересыщений для TCP и OCP. Важно отметить, что неравенство  $\text{TCP} > \text{OCP}$  для степени пересыщения противоположно таковому для произведений растворимости этих фосфатов –  $\text{Ca}_4\text{H}(\text{PO}_4)_3 \cdot 2\text{H}_2\text{O}$  (OCP) является вторым (после гидроксиапатита) из наименее растворимых фосфатов (13). Характер вариаций степеней пересыщения фосфатов при "нормальном" значении pH приведен в табл. 2.

При "низком" содержании кальция ( $c_{\text{Ca}^{2+}} = 0.5 \text{ мM}$ ) при увеличении содержания фосфора (от  $c_p = 0.5$  до  $3.0 \text{ мM}$ ) степени пересыщения трех наиболее труднорастворимых фосфатов (НА, TCP, OCP) монотонно возрастают, причем степени пересыщения TCP и OCP сближаются между собой, с одной стороны, и приближаются к степени пересыщения НА – с другой. Характер этих зависимостей качественно понятен уже из определения произведения активностей и стехиометрического состава солей. Соответственно, приближается к линии насыщения и наиболее растворимый из фосфатов –  $\text{CaHPO}_4 \cdot 2\text{H}_2\text{O}$  (DCPD) (табл. 2).

При "среднем" содержании кальция ( $c_{\text{Ca}^{2+}} = 1.0 \text{ мM}$ ) при увеличении содержания фосфора (от  $c_p = 0.5$  до  $3.0 \text{ мM}$ ) степени пересыщения трех наиболее труднорастворимых фосфатов (НА, TCP,

OCP) проходят через минимум, причем степени пересыщения TCP и OCP сближаются между собой, с одной стороны, и приближаются к степени пересыщения НА – с другой. Соответственно, приближается к линии насыщения и наиболее растворимый из фосфатов –  $\text{CaHPO}_4 \cdot 2\text{H}_2\text{O}$  (табл. 2).

Наконец, при "высоком" содержании кальция ( $c_{\text{Ca}^{2+}} = 1.5 \text{ мM}$ ) при увеличении содержания фосфора (от  $c_p = 0.5$  до  $3.0 \text{ мM}$ ) степень пересыщения  $\text{Ca}_4\text{H}(\text{PO}_4)_3 \cdot 2\text{H}_2\text{O}$  (OCP) проходит через максимум, а степени пересыщения двух других труднорастворимых фосфатов (НА, TCP) монотонно убывают, причем степени пересыщения TCP и OCP сближаются между собой, с одной стороны, и приближаются к степени пересыщения гидроксиапатита (НА) – с другой. Соответственно, приближается к линии насыщения и наиболее растворимый из фосфатов DCPD (табл. 2). Как и в предыдущем случае, обнаруженные зависимости степени пересыщения обусловливаются общим нетривиальным балансом всей совокупности равновесий в растворе.

Характер остальных зависимостей степеней пересыщения от pH, концентраций кальция и фосфора виден из табл. 1 - 4, и в целом можно констатировать, что они качественно подобны указанным выше закономерностям для значения pH 7.40. Во всех случаях, еще раз отметим, наибольшую степень пересыщения имеет гидроксиапатит, и соотношение степеней пересыщения дается неравенствами (18). Из общих закономерностей отметим следующие. Во-первых, степень пересыщения OCP монотонно уменьшается при увеличении pH раствора, что обусловлено уменьшением концентрации ионов водорода, входящих в выражение для произведения растворимости этой соли в первой степени. Во-вторых, степень пересыщения TCP практически не зависит от

pH раствора, что обусловлено отсутствием ионов водорода в составе этого фосфата. В-третьих, степень пересыщения НА возрастает при увеличении pH раствора, что связано с увеличением концентрации ионов гидроксила (соответственно, уменьшением концентрации ионов водорода), входящих в выражение для произведения растворимости этой соли в первой степени закономерностей.

Следует иметь в виду известную относительность используемого критерия пересыщения данной соли, носящего в значительной степени "геометрический" характер. Явления спонтанной гомогенной и гетерогенной кристаллизации, как известно, определяются разнообразными и не до конца исследованными факторами как термодинамической, так и кинетической природы. Проведенные расчеты выделяют и количественно характеризуют один из важнейших факторов – степень пересыщения, и поэтому могут служить основой при моделировании и диагностике явле-

ний кальцификации мягких тканей и постановке соответствующих экспериментальных работ.

#### СПИСОК ЛИТЕРАТУРЫ

1. *Walser M.* // Renal Physiology / Ed. by J. Orloff, P.W. Berline. Washington, 1973. P. 555 - 586.
2. *Robertson W.G.* // Clin. Chim. Acta. 1968. V. 24. P. 149.
3. *Hay D.I., Schluckebier S.K., Moreno E.C.* // Calcified Tissue International. 1982. V. 34. P. 531.
4. *Eidelman N., Chow L.C., Brown W.E.* // Ibid. 1987. V. 40. № 1. P. 71.
5. *Хартли Ф., Бергес К., Олкок Р.* Равновесия в растворах. М.: Мир, 1983. 360 с.
6. *Евсеев А.М., Николаева Л.С.* Математическое моделирование равновесий в растворах. М.: Изд-во МГУ, 1988.
7. *Дамаскин Б.Б., Петрий О.А.* Теоретическая электрохимия. М.: Высш. шк., 1977.
8. *Робинсон Р., Стокс Р.* Растворы электролитов. М.: Изд-во иностр. лит., 1963.
9. *Sillen L.G., Martell A.E.* Solubility constants of metal-ion complexes. Chem. Soc., London, Spec. Publ. 1964. P. 17.

---

 ХИМИЧЕСКАЯ ТЕРМОДИНАМИКА  
 И ТЕРМОХИМИЯ
 

---

УДК 536.653:547:535

**ЭНТАЛЬПИИ ОБРАЗОВАНИЯ ВОДОРОДНЫХ СВЯЗЕЙ ЗАМЕЩЕННЫХ АЦЕТИЛЕНОВ С ОСНОВАНИЯМИ**

© 1993 г. А. А. Столов, С. В. Изосимова, В. А. Бреус, С. А. Неклюдов, Б. Н. Соломонов

Казанский государственный университет

Поступила в редакцию 29.09.92 г.

Методом ИК-спектроскопии определены энталпии комплексов с водородной связью, образуемых фенил-, *n*-Вг-фенил-, бензоилацетиленом и метилпропиолатом с основаниями: диоксаном, ацетоном, диметилформамидом и диметилсульфоксидом.

Способность замещенных ацетиленов к образованию комплексов с водородной связью (ВС) в значительной степени определяет их химические и физико-химические свойства. Поэтому важными являются количественные данные по константам равновесия  $K$  и энталпиям комплексообразования  $\Delta H$  конкретных ацетиленов. В данной работе методом ИК-спектроскопии определены значения  $\Delta H$  для комплексов, образуемых фенил- (I), *n*-Вг-фенил- (II), бензоилацетиленом ( $C_6H_5C(O)C\equiv CH$ , III) и метилпропиолатом ( $CH_3OC(O)C\equiv CH$ , IV) с основаниями: диоксаном, ацетоном, диметилформамидом (ДМФА) и диметилсульфоксидом (ДМСО).

Соединения I - IV синтезировали по методикам, описанным в [1, 2]. Инфракрасные спектры регистрировали на спектрофотометре "SPECORD M80" и обрабатывали с помощью компьютера. Изучали область валентных колебаний группы  $\equiv C-H$  ( $3400 - 3000 \text{ см}^{-1}$ ), наиболее чувствительной к образованию ВС.

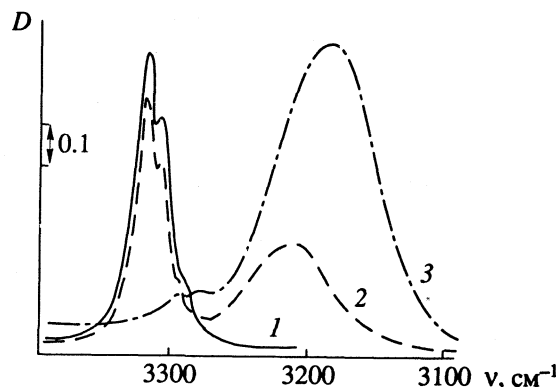
В ИК-спектрах растворов I - IV в  $CCl_4$  (концентрации  $(2 - 6) \times 10^{-2}$  моль/л) валентные колебания проявляются в виде сложной полосы, содержащей три (I, II) и две (III, IV) компоненты (рисунок). Положение и относительная интенсивность компонент не зависят от концентрации ацетиленов в  $CCl_4$ , поэтому наличие сложного контура не является следствием самоассоциации соединений I - IV. Согласно [3, 4], наличие нескольких компонент обусловлено резонансом Ферми валентного и обертона деформационного колебаний группы  $\equiv C-H$ .

При добавлении к раствору ацетиlena в  $CCl_4$  протоноакцептора в спектре появляется широкая полоса комплекса, при этом уменьшаются интенсивности полос неассоциированной группы  $\equiv C-H$  (рисунок). Равновесие заметно смещается в сторону комплекса лишь при достаточно больших концентрациях оснований (~5 моль/л для диоксана и ~1 моль/л для ДМСО). Большие концентрации оснований существенно изменяют

диэлектрическую проницаемость раствора, что должно приводить к изменению интегральных коэффициентов поглощения "свободных" групп  $\equiv C-H$  [5, 6]. Последний факт может привести к возникновению систематических ошибок при определении констант равновесия, поэтому значения  $K$  нами не измерялись.

Величины  $\Delta H$  находились двумя способами: а) по температурной зависимости  $\ln(I_{\text{связ}}/I_{\text{своб}}) = f(T^{-1})$ , где  $I_{\text{связ}}$  и  $I_{\text{своб}}$  — интегральные интенсивности полос "связанной" и "свободной" групп  $\equiv C-H$ ; б) по правилу интенсивностей [7].

Зависимости  $\ln(I_{\text{связ}}/I_{\text{своб}}) = f(T^{-1})$  изучались при 30 - 80-кратном избытке протоноакцептора, что дает основание определять значения  $\Delta H$  из наклона соответствующих графиков. Исследования проводились в температурном диапазоне 288 - 343 К. Для нахождения величин  $I_{\text{своб}}$  и  $I_{\text{связ}}$  проводилось разделение перекрывающихся контуров. При этом использовалось предположение о симметричности полосы, соответствующей ассоцииро-



Фрагменты ИК-спектров растворов *n*-Вг-фенилацетиlena (II) при 298 К: 1 — раствор (II) в  $CCl_4$ , концентрация 0.05 моль/л; 2 — раствор (II) в  $CCl_4$  с добавлением 1.3 моль/л ДМСО; 3 — раствор (II) в ДМСО, концентрация 0.09 моль/л.

Спектральные и термодинамические характеристики комплексообразования замещенных ацетиленов

Раство- ритель	$\Delta v$ , см $^{-1}$	$A \times 10^{-4}$ , см/ммоль	- $\Delta H$ , ккал/моль		
			(а)	(б)	(в)
I					
Диоксан	67	1.4	$1.3 \pm 0.1$	0.9	1.2
Ацетон	57	1.5	-	1.0	1.4
ДМФА	92	2.1	-	1.6	1.8
ДМСО	122	2.5	$1.4 \pm 0.3$	2.0	1.5
II					
Диоксан	71	1.7	$1.4 \pm 0.1$	1.2	1.6
Ацетон	59	1.9	-	1.4	1.4
ДМФА	96	2.6	-	2.1	-
ДМСО	124	2.5	$1.7 \pm 0.3$	2.0	1.9
III					
Диоксан	86	1.7	$1.8 \pm 0.3$	1.5	0.9
Ацетон	72	1.8	-	1.6	0.7
ДМФА	122	2.6	-	2.4	1.6
ДМСО	158	2.5	$2.5 \pm 0.5$	2.3	1.4
IV					
Диоксан	88	1.7	$1.6 \pm 0.3$	1.6	1.7
Ацетон	72	1.9	-	1.8	1.8
ДМФА	126	2.4	-	2.7	2.6
ДМСО	162	2.6	$2.7 \pm 0.3$	2.9	2.9

Примечание.  $A$  – интегральный коэффициент поглощения полосы валентных колебаний групп  $\equiv\text{C}-\text{H}$ , точность определения  $\pm 0.1 \times 10^4$  см/ммоль. Случайная ошибка определения  $\Delta H$  по правилу интенсивностей составляет  $\pm 0.2$  ккал/моль.

ванным группам  $\equiv\text{C}-\text{H}$ . Полученные значения приведены в таблице (столбец (а)).

Правило интенсивностей применялось нами к спектрам растворов I - IV в чистых основаниях. Наряду с полосой поглощения комплекса, в каждом спектре проявляется слабое плечо “свободных” групп  $\equiv\text{C}-\text{H}$  (рисунок), что указывает на не-полное связывание ацетиленов. Поскольку для всех растворов интегральная интенсивность “свободной” полосы не превышает 5% общей интенсивности, факт неполного связывания в расчет не принимался. Нами были измерены интегральные коэффициенты поглощения ( $A$ ) полос “свободных” групп  $\equiv\text{C}-\text{H}$  ацетиленов в  $\text{CCl}_4$ , которые составляли ( $10^4$  см/ммоль): 0.80 (I), 0.80 (II), 0.62 (III) и 0.53 (IV). Соответствующие значения для растворов в чистых основаниях приведены в таблице. Рассчитанные по правилу интенсивностей значения  $\Delta H$  (столбец (б) таблицы) находятся в хорошем согласии с результатами температурных измерений.

Нами была изучена корреляция между сдвигом полосы  $\Delta v$  (раствор в чистом основании относительно раствора в  $\text{CCl}_4$ ) и энталпией комплексообразования, полученной по правилу интенсивностей. Согласно литературным данным [7, 8], для значений  $\Delta H$ , лежащих в интервале 0 - 3 ккал/моль, зависимость  $\Delta H$  от  $\Delta v$  является линейной функцией с нулевым свободным членом. Полагая это, мы получили для ацетиленов I - IV ( $\Delta H$ , ккал/моль;  $\Delta v$ , см $^{-1}$ ):

$$-\Delta H = (18 \pm 1) \times 10^{-3} \Delta v. \quad (1)$$

Среднеквадратичное отклонение составляет 0.3 ккал/моль. Отметим, что полученный нами коэффициент пропорциональности между величинами  $\Delta H$  и  $\Delta v$  отличается от такового для связей  $\text{OH} \dots \text{B}$  (в среде  $\text{CCl}_4$ ):  $25 \times 10^{-3}$  ккал см/моль [7].

Ранее [9] калориметрически были определены энталпии специфического взаимодействия I - IV (A) с теми же протоноакцепторными растворителями (S)  $\Delta H_{\text{вз}}^{\text{AS}}$  (сп), (таблица, столбец (в)). Оценка величин  $\Delta H_{\text{вз}}^{\text{AS}}$  (сп) проводилась методом, основанным на изучении зависимости энталпии сольватации от молекулярной рефракции [10].

Сопоставление значений  $\Delta H_{\text{вз}}^{\text{AS}}$  (сп) с энталпиями водородной связи, полученными спектроскопически, показывает хорошее согласие для соединений I, II и IV. Значения  $\Delta H_{\text{вз}}^{\text{AS}}$  (сп) для соединения III оказались систематически заниженными, что можно объяснить неудачным выбором соединений, моделирующих неспецифическую сольватацию III. Укажем, что в [11] аналогичное несоответствие результатов наблюдалось при изучении ВС три-хлорэтилена.

Как следует из таблицы, соединения I и II образуют ВС примерно одинаковой силы. То же относится к паре соединений III и IV. Эти результаты, а также данные работ [3, 12 - 16] указывают на то, что кислотность терминальных ацетиленов определяется, в первую очередь, фрагментом молекулы, присоединенным непосредственно к группе  $\text{C}\equiv\text{C}-\text{H}$ , и практически не зависит от остальной части молекулы.

#### СПИСОК ЛИТЕРАТУРЫ

1. James D.S., Fanta P.E. // J. Org. Chem. 1962. V. 27. № 9. P. 3346.
2. Bowden K., Heilborn I.M., Jones E.R.H., Weddon B.C.L. // J. Chem. Soc. 1946. № 1. P. 39.
3. Гастилович Е.А., Шигорин Д.Н. // Успехи химии. 1973. Т. 42. № 8. С. 1353.
4. Беллами Л. Новые данные по ИК-спектрам сложных молекул. М.: Мир, 1971. 318 с.
5. Garcia M.V., Pinto G., Redondo M.I., Morcillo J. // An Quim A / Real Soc. Esp. Quim. 1988. V. 84. № 3. Suppl. № 3. P. 293.

6. Redondo M.I., Garcia M.V., Morcillo J. // *J. Mol. Struct.* 1988. V. 175. P. 313.
7. Иогансен А.В. // Водородная связь / Под ред. Н.Д. Соколова. М.: Наука, 1981. С. 112.
8. Пиментел Дж., Мак-Келлан О. Водородная связь. М.: Мир, 1964. 462 с.
9. Бреус В.А., Неклюдов С.А., Хисамутдинова Ю.Ф. // Проблемы сольватации и комплексообразования в растворах. IV Всесоюз. совещ. Иваново, 1989. С. 108.
10. Соломонов Б.Н., Коновалов А.И., Новиков В.Б и др. // *Журн. общ. химии.* 1985. Т. 55. № 9. С. 1889.
11. Борисовер М.Д., Столов А.А., Изосимова С.В. и др. // *Журн. физ. химии.* 1991. Т. 65. № 3. С. 594.
12. Brand J.C.D., Eglington G., Morman J.F. // *J. Chem. Soc.* 1960. № 6. Р. 2526.
13. Куркчи Г.А. Исследование водородной связи в растворах ацетиленовых углеводородов: Автореф. дис. .... канд. хим. наук. М.: МГУ, 1964. 14 с.
14. Mesubi M.A., Hamaker R.M. // *Spectrochim. Acta.* 1975. V. 31A. № 12. Р. 1885.
15. Hallman J.H., Stephenson W.K., Fuchs R. // *Can. J. Chem.* 1983. V. 61. № 9. Р. 2044.
16. Joesten M.D., Schaad L.J. Hydrogen bonding. N.Y.: Marcel Dekker J.N. L., 1974. 622 p.

ХИМИЧЕСКАЯ ТЕРМОДИНАМИКА  
И ТЕРМОХИМИЯ

УДК 536.7

ТЕРМОДИНАМИЧЕСКОЕ МОДЕЛИРОВАНИЕ ОБЛАСТИ  
НЕСМЕШИВАЕМОСТИ ЖИДКИХ РАСТВОРОВ В СИСТЕМЕ  
СВИНЕЦ-СЕРА

© 1993 г. В. М. Глазов, Л. М. Павлова, Г. К. Мамбетерзина

Московский институт электронной техники

Поступила в редакцию 15.10.92 г.

На основе анализа имеющейся термодинамической информации при использовании модели Хоха-Арпсхофена обнаружено наличие области несмешиваемости жидких растворов в системе свинец-серы. Показано, что эта область описывается симметричной бинодалью и опирается своими концами на линию трехфазного монотектического равновесия при температуре 1314 К. Наличие области несмешиваемости подтверждено методом микроструктурного анализа сплава  $Pb_{0.7}S_{0.3}$ , полученного путем закалки из области несмешиваемости жидких растворов. Отмечено, что двухфазные жидкие смеси устойчивы при нагреве до значительных температур (выше 1700 К).

Вопрос о характере фазовых равновесий в системе свинец-серы имеет важное значение с двух точек зрения. Во-первых, наличие области несмешиваемости жидких растворов позволяет легко и просто решить задачу чернового рафинирования свинца от серы [1]. При этом от раствора Pb-S отделяется часть, обогащенная свинцом, которая используется для получения очищенного свинца. Таким образом, знание области расслаивания жидких растворов Pb-S представляет практический интерес в металлургии свинца.

Во-вторых, решение вопроса о протяженности области несмешиваемости жидких растворов в этой системе позволяет конкретизировать температурно-концентрационный диапазон первичной кристаллизации сульфида свинца, представляющего в настоящее время интерес для полупроводниковой электроники [2]. По этим причинам исследованию фазовых равновесий в системе Pb-S посвящено значительное число работ, проведение которых началось еще в конце прошлого столетия и продолжается до настоящего времени. Обзор этих исследований приводится в справочнике Хансена [3] и его дополнениях [4, 5], а также в работах [2, 6, 7].

Рассмотрение оригинальных работ по исследованию фазовых равновесий в системе Pb-S приводит к заключению, что вопрос о наличии или отсутствии расслаивания жидких растворов в рассматриваемой системе в области концентраций до 50 ат. % серы остается до настоящего времени невыясненным. Обращают на себя внимание достаточно старые работы академика А.Н. Вольского, который прямо рассматривает возможности обогащения свинцом растворов Pb-S за счет их расслаивания. Так, в работе [1] приводится вариант фазовой диаграммы, соглас-

но которому область расслаивания простирается от 19 до 41 ат. % серы при температуре 1041°C, которая при этом рассматривается как температура трехфазного монотектического равновесия. В ряде обзорных и оригинальных работ допускается отсутствие расслаивания жидких растворов системы Pb-S. Однако в одной из последних работ Куллеруда [8] обосновывается значительно более узкая область несмешиваемости жидких растворов, чем в работе [1] при той же температуре монотектической горизонтали.

Задачей настоящей работы является попытка решения вопроса о наличии или отсутствии расслаивания жидких растворов в частной системе Pb-PbS на основе имеющихся термодинамических свойств жидких растворов в указанной частной системе и использования модельных представлений при расчетах фазовых равновесий [9].

Следует отметить, что значительное число экспериментальных данных по термическому анализу вследствие их разброса не может истолковываться однозначно, так как затруднительно отличать участок полого ликвидуса от монотектической горизонтали. В пользу этого соображения свидетельствуют и существенные различия в данных по температурам плавления сульфида свинца, и различный характер влияния избытка свинца и серы по отношению к стехиометрическому составу соединения [10, 11]. Для решения поставленной задачи нами анализировалась концентрационная зависимость энергии смешения Гиббса при различных температурах в указанном диапазоне составов.

В основу расчетов были положены экспериментальные данные по исследованиям энталпии сплавов Pb-PbS, полученные в работах Итагаки с соавторами [12, 13]. Обозначим изменение

энталпии в интервале температур от  $\Theta$  до  $T$  через  $J_T$ . Тогда

$$J_T = H_T - H_\Theta, \quad (1)$$

где  $H_T$  – энталпия при температуре  $T$ , а  $H_\Theta$  – энталпия при стандартной температуре  $\Theta$ . Интегрированием уравнения Гиббса–Гельмгольца с использованием (1) можно показать, что для сплава произвольного состава

$$G_T = H_T - TS_T = T \int_{1/\Theta}^{1/T} J_T d(1/T) + H_\Theta - TS_\Theta. \quad (2)$$

Согласно определению функций смешения бинарного раствора,

$$\Delta G_{T,x}^m = \Delta G_{T,x}^0 - xG_{T,A}^0 - (1-x)G_{T,B}^0, \quad (3)$$

где верхние индексы “0” означают принадлежность к чистому компоненту, а нижний индекс “ $x$ ” указывает состав рассматриваемой смеси.

Преобразование (3) с учетом (2) приводит к следующему соотношению:

$$\Delta G_{T,x}^m = T \left\{ \int_{1/\Theta}^{1/T} J_{T,x} d(1/T) - x \int_{1/\Theta}^{1/T} J_{T,A}^0 d(1/T) - (1-x) \int_{1/\Theta}^{1/T} J_{T,B}^0 d(1/T) \right\} + \Delta H_{\Theta,x}^m - T \Delta S_{\Theta,x}^m, \quad (4)$$

где  $\Delta H_{\Theta,x}^m$  и  $\Delta S_{\Theta,x}^m$  – энталпия и энтропия смешения при стандартной температуре  $\Theta$ .

Энталпия и энтропия смешения при произвольной температуре  $T$  определяются из выражений

$$\Delta H_{T,x}^m = J_{T,x} - xJ_{T,A}^0 - (1-x)J_{T,B}^0 + \Delta H_{\Theta,x}^m, \quad (5)$$

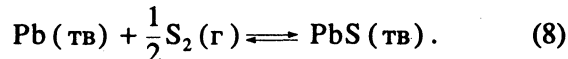
$$\Delta S_{T,x}^m = (\Delta H_{T,x}^m - \Delta G_{T,x}^m) / T \quad (6)$$

или с учетом значений  $\Delta G_{T,x}^m$  и  $\Delta H_{T,x}^m$  согласно (4) и (5) имеем

$$\begin{aligned} \Delta S_{T,x}^m = & \frac{1}{T} [J_{T,x} - xJ_{T,A}^0 - (1-x)J_{T,B}^0 - \\ & - \int_{1/\Theta}^{1/T} J_{T,x} d(1/T) + x \int_{1/\Theta}^{1/T} J_{T,A}^0 d(1/T) + \\ & + (1-x) \int_{1/\Theta}^{1/T} J_{T,B}^0 d(1/T) + \Delta S_{\Theta,x}^m]. \end{aligned} \quad (7)$$

Используя уравнение (4), мы рассчитали концентрационную зависимость функций смешения  $\Delta G_{T,x}^m$  в системе Pb–S при температурах 1473 и 1373 К. Результаты расчета представлены на рис. 1. В качестве стандартной была принята температура  $\Theta = 560$  К, при которой, согласно фазовой диаграмме (см. [2–7]), в равновесии находятся практически чистый твердый свинец и его сульфид. Это дает возможность легко определять

стандартные функции смешения промежуточных сплавов в указанном диапазоне концентраций по правилу аддитивности. С учетом точечного характера промежуточной фазы теплота и энтропия смешения для сплава стехиометрического состава определяются на основе термохимических характеристик реакции образования сульфида свинца



При расчетах величин  $\Delta G_{T,x}^m$  на основе экспериментальных данных Итагаки с соавторами [12, 13] использовались значения термохимических свойств чистых компонентов из справочника В.П. Глушко и др. [14], в котором представлены взаимосогласованные данные.

При рассмотрении концентрационной зависимости изменения энергии Гиббса при смешении, представленной на рис. 1, становится очевидным, что в некотором интервале концентраций при каждой данной температуре в системе Pb–S возможно расслаивание на два жидких раствора. Это заключение вытекает из того явного обстоятельства, что к двум различным участкам на кривой  $\Delta G_T^m = f(x)$  можно провести общую касательную. Точки касания собственно и определяют равновесные составы растворов, существующих друг с другом при каждой данной температуре. Для двух рассматриваемых температур зависимости  $\Delta G_T^m = f(x)$ , полученные с применением машинной графики на основе экспериментальных результатов [12, 13] с привлечением опорных данных [14], приведены на рис. 2. Видно, что в диапазоне составов, отвечающих выпуклости на кривых  $\Delta G_T^m = f(x)$ , возможно расслаивание на две фазы, составы которых определяются по точкам касания при проведении общей касательной, как это показано на примере кривой при 1373 К (верхняя кривая на рис. 2). Однако, так как отклонения кривой  $\Delta G_T^m = f(x)$  от касательной незначительны, нахождение точек касания сопряжено с определенными вычислительными трудностями. Поэтому для нахождения равновесных концентраций расслаивающихся растворов нами был применен метод минимизации энергии Гиббса двухфазной смеси, который, собственно, и позволил решить задачу.

Для проведения расчетов указанным способом был предложен алгоритм и разработана программа на языке ФОРТРАН для персональной ЭВМ типа IBM PC/AT. Математическое решение

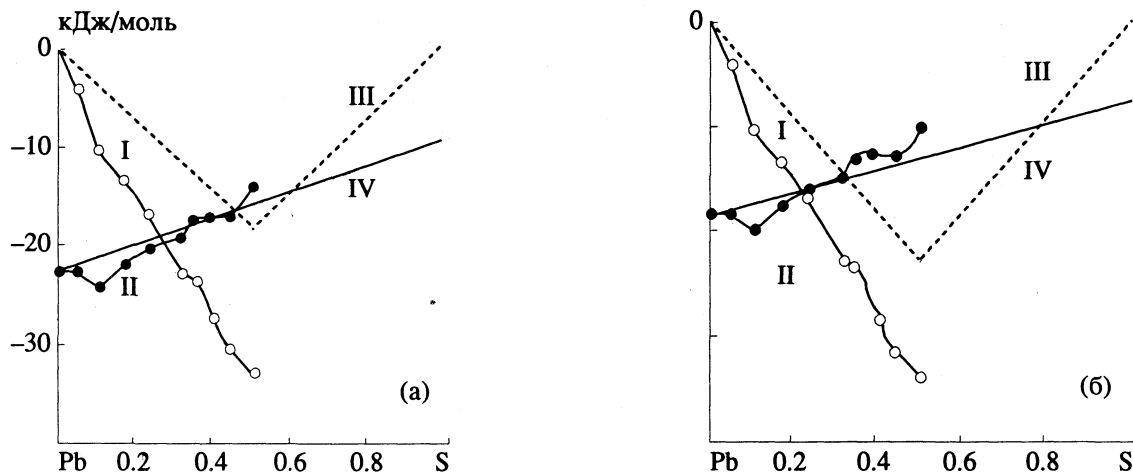


Рис. 1. Концентрационные зависимости энергии смешения Гиббса (I) расплавов свинец–серы, образованных из жидкких компонентов при 1473 К (а) и 1373 К (б), а также отдельных вкладов в нее согласно уравнению (4):

$$\text{II} = T \int_{1/\Theta}^{1/T} J_T d(1/T), \text{III} = \Delta H_\Theta^m - T \Delta S_\Theta^m, \text{IV} = x \int_{1/\Theta}^{1/T} J_{T, \text{Pb}(x)}^0 d(1/T) + (1-x) \int_{1/\Theta}^{1/T} J_{T, \text{S}(x)}^0 d(1/T).$$

задачи сводилось к поиску минимума функционала

$$\Delta G_{\min}^m = \sum_{\alpha} \left( n_1^{\alpha} \ln \frac{n_1^{\alpha}}{n_1^{\alpha} + n_2^{\alpha}} + n_2^{\alpha} \ln \frac{n_2^{\alpha}}{n_1^{\alpha} + n_2^{\alpha}} + n_1^{\alpha} \ln \gamma_1^{\alpha} + n_2^{\alpha} \ln \gamma_2^{\alpha} \right). \quad (9)$$

В этом выражении верхний индекс “ $\alpha$ ” означает принадлежность к фазе. В качестве независимых переменных были использованы числа молей первого и второго компонентов в первой фазе. Соответствующие величины для второй фазы в формуле (9) определяются следующими соотношениями:

$$n_1^{(2)} = b_1 - n_1^{(1)}, \quad (10)$$

$$n_2^{(2)} = b_2 - n_2^{(1)}, \quad (11)$$

где  $b_1 \equiv x_1$ ,  $b_2 \equiv x_2$ , т.е. брутто-состав исходной распивающейся смеси.

Для аналитического описания избыточной энергии Гиббса была привлечена модель Хоха–Арпсхофена [15, 16]. Эта модель привлекательна тем, что она отражает черты модели ассоциированных растворов и вместе с тем не требует конкретизации физико-химической природы ассоциатов. В пределе, когда  $n = 2$ , она сводится к модели регулярных растворов. Вместе с тем с вычислительной точки зрения она удобна, так как в отличие от модели ассоциативных равновесий она содержит параметры, не зависящие от состава раствора, а поиск самих параметров облегчается за счет простоты аналитических взаимо-

связей термодинамических функций с параметрами моделей.

Обобщая модель Хоха–Арпсхофена на произвольное число ассоциатов в растворе, основное выражение для избыточной энергии Гиббса можно представить в следующем виде:

$$\Delta G^E = \sum_k W_k n_k [1 - x_2 - (1 - x_2)^{n_k}] + \sum_l M_l m_l (x_2 - x_2^{m_l}), \quad (12)$$

где  $W_k$  и  $M_l$  – параметры, характеризующие энергию связей в ассоциатах;  $n_k$  и  $m_l$  – величины, определяющие число атомов в соответствующих ассо-

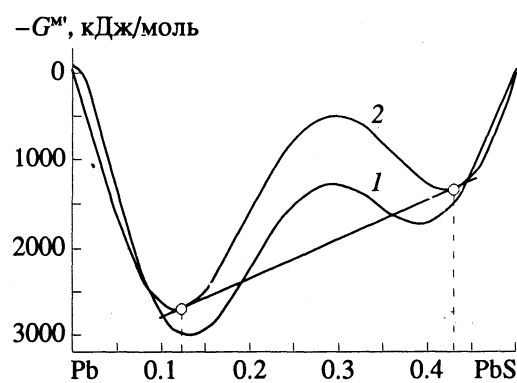


Рис. 2. Определение равновесных составов несмешивающихся растворов в системе Pb–PbS путем проведения общей касательной к кривым концентрационной зависимости энергии смешения Гиббса при 1473 (1) и 1373 К (2) (построение выполнено методом машинной графики на IBM PC/AT).

циатах. При этом допускается, что параметры  $W_k$  и  $M_l$  зависят от температуры линейно.

С учетом (12) значения коэффициентов активности, входящие в соотношения (9), можно представить в следующем виде:

$$\ln \gamma_1 = \sum_k W'_k n_k [1 - n_k (1 - x_2)^{n_k - 1} + (n_k - 1) \times \\ \times (1 - x_2)^{n_k}] + \sum_l M'_l m_l (m_l - 1) x_2^{m_l - 1}, \quad (13)$$

$$\ln \gamma_2 = \sum_k W'_k n_k (n_k - 1) (1 - x_2)^{n_k} + \\ + \sum_l M'_l m_l [1 - m_l x_2^{m_l - 1} + (m_l - 1) x_2^{m_l - 1}], \quad (14)$$

где  $W'_k = W_k/RT$ ,  $M'_l = M_l/RT$ .

Проведя расчеты значений  $n_1^{(1)}$  и  $n_2^{(1)}$  и определив при помощи (10), (11) параметры  $n_1^{(2)}$  и  $n_2^{(2)}$  для различных температур и значения соответствующих концентраций компонентов, можно воспроизвести линию моновариантного равновесия, ограничивающую область несмешиваемости жидких растворов. Область поиска переменных  $n_1^{(1)}$  и  $n_2^{(1)}$  определяется на интервале

$$0 < n_1^{(1)} < b_1, \quad 0 < n_2^{(1)} < b_2. \quad (15)$$

Значения  $b_1$  и  $b_2$  задаются, исходя из предполагаемого состава критической точки купола расслаивания.

Опираясь на экспериментальные данные, представленные на рис. 1, мы оценили параметры модели Хоха–Арпсхофена при двух температурах: 1373 и 1473 К.

Оптимальные значения показателей  $n_k$  и  $m_l$  устанавливали путем формального перебора целых чисел от 2 до 32. При этом значения энергетических параметров находились из условия наилучшего согласования с экспериментальными данными, приведенными на рис. 1. Согласно проведенным расчетам, можно утверждать, что расплавы системы Pb–S в интервале концентраций до 50 ат. % серы отличаются сложным строением и их можно отнести к полидисперсным системам.

Результаты расчетов равновесных составов несмешивающихся растворов при указанных температурах приведены на диаграмме состояния системы Pb–S (рис. 3). Отметим, что результаты вычислений равновесных составов фаз совпадают с полученными графически на основе рис. 2.

На рис. 3 представлены также экспериментальные результаты, полученные методом ДТА в работах [3, 8, 11, 17]. Пунктиром показана область расслаивания жидких растворов согласно данным Куллеруда [8]. Отметим, что полученные

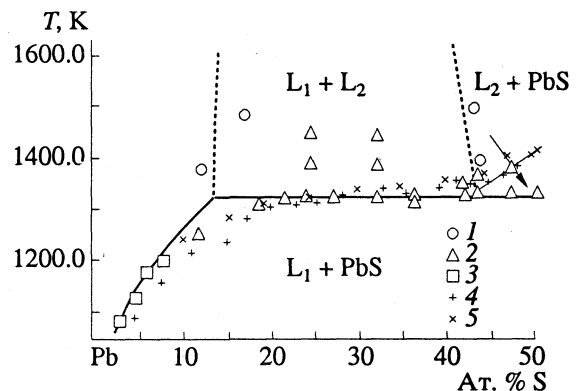


Рис. 3. Фрагмент диаграммы состояний системы Pb–S, включающий область несмешиваемости жидких растворов в системе Pb–S. Сплошной линией отмечена кривая моновариантного равновесия, ограничивающая область несмешиваемости жидких растворов (расчет на основе модели Хоха–Арпсхофена). Пунктирными линиями отмечены результаты Куллеруда [8]. Различными знаками отмечены экспериментальные данные, представленные в различных работах (1 – данные настоящего исследования, 2 – результаты [8], 3 – [17], 4 – [3], 5 – [11]).

нами значения протяженности области несмешивающихся растворов близки к данным, приведенным в монографии [1] при температуре монотектического равновесия.

На основе расчетно-экспериментальных данных о составах несмешивающихся жидких растворов, полученных для двух указанных температур, сделать однозначный вывод о ходе кривых растворимости не представляется возможным. В связи с этим для определения характера критической точки были проанализированы концентрационные зависимости избыточных термодинамических функций. Эти зависимости в рассматриваемом диапазоне составов целесообразно рассматривать, исключив фактор химического взаимодействия, связанный с образованием сульфида свинца. Поэтому рассмотрение и анализ концентрационной зависимости этих свойств проводились в пределах частной системы Pb–PbS, т.е. за стандартное состояние второго компонента был принят расплав сульфида свинца вместо жидкой серы.

Перерасчет значений избыточных термодинамических свойств при переходе от общей системы Pb–S к частной Pb–PbS производился по формулам

$$\Delta H'^E = \Delta H^E - x \Delta H_{\text{PbS}}^E / 0.5, \quad (16)$$

$$\Delta S'^E = \Delta S^E - x \Delta S_{\text{PbS}}^E / 0.5 + (\Delta S^{\text{M(id)}} - \Delta S^{\text{M(id)}}), \quad (17)$$

$$\Delta G'^E = \Delta H'^E - T \Delta S'^E. \quad (18)$$

Результаты расчетов по формулам (16) – (18) представлены на рис. 4. Анализ полученных зависимостей показывает, что для двух рассматриваемых

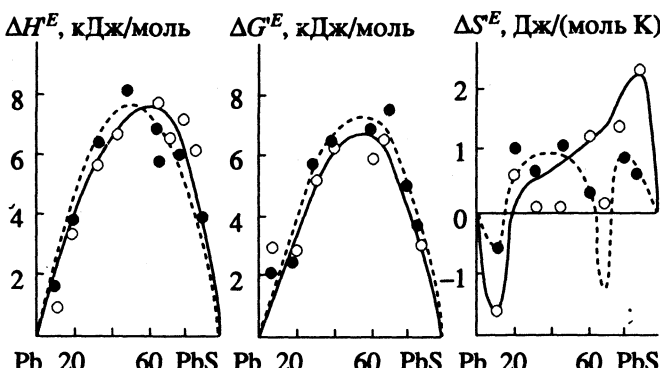


Рис. 4. Концентрационная зависимость избыточных термодинамических функций, оцененных нами на основе экспериментальных данных работ [12, 13], для жидких растворов частной системы Pb–PbS при 1473 и 1373 К.

мых температур избыточные термодинамические свойства качественно можно охарактеризовать следующими неравенствами:

$$\Delta G'^E > 0, \quad \Delta H'^E > 0, \quad \Delta S'^E \leq 0, \quad (19)$$

а концентрационная зависимость избыточной теплоты смешения ( $\Delta H'^E$ ) отличается отсутствием точек перегиба. Это обстоятельство согласно критериальным условиям наличия верхней или нижней критической точки [18 - 20] однозначно свидетельствует о том, что в системе Pb–S в пределах частной системы Pb–PbS область несмешиваемости жидким раствором должна характеризоваться наличием верхней критической точки.

Расчет всей кривой моновариантного равновесия, ограничивающей область несмешиваемости жидким раствором, был проведен нами в приближении модели Хоха–Арпсхофена. При этом мы пренебрегли температурной зависимостью избыточных энталпии и энтропии, что в соответствии

с данными для двух вышеуказанных температур не является слишком грубым допущением.

Для проведения расчета мы использовали экспериментальные данные по избыточной теплоте и энтропии смешения при температуре 1473 К. Оценка параметров модели Хоха–Арпсхофена производилась вышеописанным способом. При этом оказалось, что теплота смешения в рамках принятой модели описывается достаточно хорошо, по крайней мере не хуже, чем избыточная энергия Гиббса, которая обсуждалась выше. Однако этого нельзя сказать в отношении избыточной энтропии. Поэтому энтропийные параметры модели находили при помощи соотношения вида (6) через параметры для функций  $\Delta G^E$  и  $\Delta H^E$ . Результаты расчетов приведены на диаграмме состояния (рис. 3).

Из рис. 3 видно, что область несмешиваемости ограничивается симметричной бинодалью, опирающейся своими концами на монотектическую горизонталь при температуре 1314 К. Для проверки наличия области несмешиваемости нами был проведен микроструктурный анализ образцов, закаленных из предполагаемой области несмешиваемости. Для этой цели была приготовлена смесь состава  $Pb_{0.7}S_{0.3}$ . Исходные компоненты помещали в вакуумированные запаянные кварцевые ампулы, нагревали в течение 10 ч до температуры 1373 К, при которой выдерживали не менее двух часов и закаливали в воде. Из полученных таким путем образцов приготавливали шлифы и анализировали характер структуры при увеличениях  $\times 200$  и  $\times 500$ . Результаты анализа показаны на рис. 5. Наблюдаемая картина не противоречит представлениям о расслаивании жидким раствором в этой системе. По крайней мере, она практически не отличается от приведенной в работе Куллеруда [8].

Однако следует заметить, что и характер структуры, наблюдавшейся Куллерудом [8], и

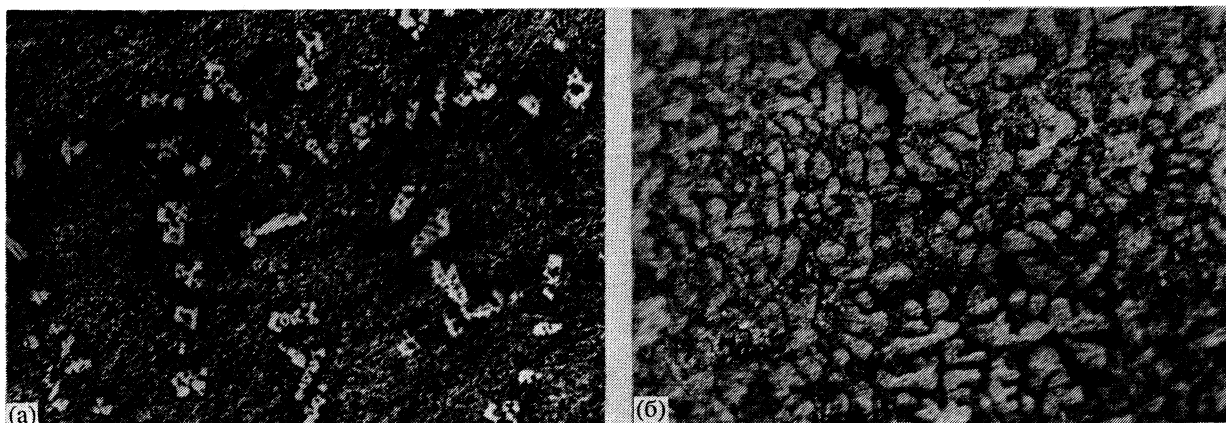


Рис. 5. Микроструктуры сплава  $Pb_{0.7}S_{0.3}$ , полученного методом закалки из области несмешиваемости жидким раствором в системе Pb–S при увеличении  $\times 200$  (а) и  $\times 500$  (б).

показанный на рис. 5 свидетельствуют о том, что классического разделения на два жидкых слоя в данной системе не наблюдается. По всей видимости, образуется эмульсия, которая отличается относительной устойчивостью, аналогично тому, как это наблюдалось в системе Ag–Te [21].

### СПИСОК ЛИТЕРАТУРЫ

1. Вольский А.Н. Основы теории металлургических плавок. М.: Металлургиздат, 1943. 220 с.
2. Абрикосов Н.Х., Банкина В.Ф., Порецкая Л.В. Полупроводниковые халькогениды и сплавы на их основе. М.: Наука, 1975. 220 с.
3. Хансен М., Андерко К. Структуры двойных сплавов. М.: Металлургиздат, 1962. 1487 с.
4. Эллиот Р.П. Структуры двойных сплавов. М.: Металлургия, 1970. 472 с.
5. Шанк Ф.А. Структуры двойных сплавов, М.: Металлургия, 1973. 760 с.
6. Шелимова Л.Е., Томашик В.И., Грыцив В.И. Диаграммы состояния в полупроводниковом материаловедении. М.: Наука, 1991. 368 с.
7. Зломанов А.В., Новоселова А.В.  $p$ - $T$ - $x$ -диаграммы состояния систем металл–халькоген. М.: Наука, 1987. 208 с.
8. Kullerud G. // Amer. J. Sci. A. 1969. V. 267. P. 233.
9. Глазов В.М., Павлова Л.М. Химическая термодинамика и фазовые равновесия. 2-е изд. М.: Металлургия, 1988. 560 с.
10. Sharma R.S., Lin J.C., Chang Y.A. // Metallurgical Trans. B. 1987. V. 18. № 3. P. 237.
11. Miller F., Komarek K.I. // Trans. Met. Soc. AIME. 1966. V. 236. № 6. P. 832.
12. Koh J., Itagaki K. // Res. Inst. Min. Dress. Met. Tohoku Univ. 1983. V. 39. № 1. P. 38.
13. Itagaki K., Jasawa A. // Thermochim. Acta. 1985. V. 88. P. 261.
14. Глушко В.П., Гурвич Л.В., Медведев В.А. Термодинамические свойства индивидуальных веществ. М.: Наука, 1978 - 1983. Т. 1 - 4.
15. Hoch M., Arpshofen I. // Z. Metallkunde. 1984. B. 75. H. 1. S. 23.
16. Hoch M. // Calphad. 1987. V. 11. № 12. P. 219.
17. Blanks R.F., Willis G.M. Physical chemistry of process metallurgy. Pt. 2. N.Y.: Interscience Publ., 1961. P. 991 - 1028.
18. Пригожин И.Р., Дефэй Р. Химическая термодинамика: Пер. с англ. под ред. В.М. Михайлова. Новосибирск: Наука, 1966. 510 с.
19. Смирнова Н.А., Морачевский А.Г. // Вестн. ЛГУ. 1966. № 16. С. 94.
20. Shukla K.P., Chialvo A.A., Haile J.M. // Ind. Eng. Chem. Res. 1966. V. 27. № 4. P. 664.
21. Глазов В.М., Ким С.Г., Нуров К.Б. // Журн. физ. химии. 1991. Т. 65. № 8. С. 2049.

ХИМИЧЕСКАЯ ТЕРМОДИНАМИКА  
И ТЕРМОХИМИЯ

УДК 536.7:[547.233.1+547.298.1]

ТЕРМОДИНАМИЧЕСКИЕ ХАРАКТЕРИСТИКИ БИНАРНЫХ СМЕСЕЙ  
АМИДОВ С АЦЕТОНИТРИЛОМ

© 1993 г. М. В. Куликов, А. М. Колкер, Ал. Г. Крестов

Российская академия наук, Институт химии неводных растворов, Иваново

Поступила в редакцию 15.10.92 г.

На основе экспериментальных данных рассчитаны парциальные молярные теплоемкости и объемы компонентов бинарных смесей амидов (формамид, N-метилформамид, N,N-диметилформамид, гексаметилфосфортриамид) с ацетонитрилом во всей области составов в интервале 283.15 - 328.15 К. В рамках принятой концепции определены вклады в парциальные молярные теплоемкости и объемы от образования полости в растворителе и взаимодействия молекулы растворенного вещества с растворителем. Показано, что для растворов амидов в ацетонитриле изменения теплоемкости и объемов амидов связаны в большей степени с образованием полости в растворителе, и в меньшей – со взаимодействием между молекулами амида и ацетонитрила. Выявлены хорошие корреляционные зависимости между теплоемкостными и объемными характеристиками. Проведен анализ полученных зависимостей.

Среди полярных аprotонных растворителей особое место занимают амиды и нитрилы, физико-химические свойства которых вызывают большой интерес как для теоретических исследований, так и для практики. Широкий температурный интервал их жидкого состояния, относительно высокие диэлектрические постоянные, а также хорошие донорные и акцепторные свойства, делают их прекрасными растворителями для большого числа соединений.

Молярные теплоемкости и объемы являются наиболее часто определяемыми свойствами бинарных смесей. Ранее [1] нами были определены теплоемкости и плотности бинарных смесей ацетонитрила (АН) с формамидом (ФА), N-метилформамидом (МФА), N,N-диметилформамидом (ДМФА) и гексаметилфосфортриамидом (ГМФА) во всей области составов в интервале 283.15 - 328.15 К. Из экспериментальных данных были рассчитаны избыточные ( $C_p^E, V^E$ ), кажущиеся ( $\Phi_{C_p, 1, 2}, \Phi_{V, 1, 2}$ ) и парциальные молярные

( $\bar{C}_{p, 1, 2}, \bar{V}_{1, 2}$ ) теплоемкости и объемы компонентов исследованных растворов. Обработкой зависимостей кажущихся молярных теплоемкостей и объемов в рамках теории Мак-Миллана-Майера [2] были получены величины парциальных молярных теплоемкостей и объемов амидов при бесконечном разбавлении в ацетонитриле ( $\bar{C}_{p, 2}^o, \bar{V}_2^o$ ) и парциальных молярных теплоемкостей и объемов ацетонитрила при бесконечном разбавлении в амивах ( $\bar{C}_{p, 1}^o, \bar{V}_1^o$ ). Они приведены в табл. 1.

Анализ парциальных молярных свойств компонентов растворов при бесконечном разбавлении дает существенную информацию о влиянии молекул растворенного вещества на структуру растворителя, не осложненную взаимодействием молекул растворенного вещества между собой.

ОБЪЕМНЫЕ СВОЙСТВА

Сразу же следует отметить, что интерпретация величин  $\bar{V}_2^o$  и  $\bar{V}_1^o$  довольно сложна и требует некоторой определенной модели. Мы приняли концепцию, используемую авторами [3]. Она состоит в том, что при переходе молекулы из газовой фазы в раствор, во-первых, в растворителе образуется полость определенного размера для размещения в ней молекулы растворенного вещества; во-вторых, молекула растворенного вещества помещается в эту полость и взаимодействует с окружающими ее молекулами растворителя. Исходя из этого можно записать:

$$\bar{V}_2^o = \Delta_{\text{пол}} \bar{V} + \Delta_{\text{вз}} \bar{V} + \beta_T RT, \quad (1)$$

где  $\Delta_{\text{пол}} \bar{V}$  – изменение парциального молярного объема, связанного с образованием полости в растворителе;  $\Delta_{\text{вз}} \bar{V}$  – изменение парциального молярного объема, связанного со взаимодействием растворенное вещество–растворитель; слагаемое  $\beta_T RT$  учитывает переход молекул из газовой фазы в раствор.

В качественном отношении данная задача успешно разрешается при помощи теории масштабных частиц (SPT). В рамках SPT вклад в  $\bar{V}_2^o$

**Таблица 1.** Парциальные молярные теплоемкости  $\bar{C}_{p1,2}^{\circ}$  (Дж/(моль К)) и объемы  $\bar{V}_{p1,2}^{\circ}$  (см<sup>3</sup>/моль) компонентов смесей амидов с ацетонитрилом при различных температурах

$T, K$	$\bar{V}_1^{\circ}$	$\bar{V}_2^{\circ}$	$\bar{C}_{p1}^{\circ}$	$\bar{C}_{p2}^{\circ}$	$\bar{V}_1^{\circ}$	$\bar{V}_2^{\circ}$	$\bar{C}_{p1}^{\circ}$	$\bar{C}_{p2}^{\circ}$
<b>ФА</b>								
283.15	51.70	36.21	83.06	97.66	51.84	53.07	91.29	123.13
298.15	52.84	36.84	84.73	99.66	52.83	54.67	91.69	125.88
313.15	53.84	37.13	86.09	102.24	53.99	56.27	92.32	128.61
328.15	55.28	37.53	88.26	105.25	55.14	57.73	93.03	130.99
<b>ДМФА</b>								
283.15	51.78	74.60	91.45	148.58	51.79	170.46	99.06	288.87
298.15	52.86	76.06	92.18	154.94	52.84	173.64	98.51	295.61
313.15	53.99	77.42	92.73	160.43	53.93	175.79	97.72	297.21
328.15	55.20	78.52	93.37	169.50	55.17	177.66	96.99	298.43
<b>ГМФА</b>								

от образования полости в растворителе выражается следующим полиномом:

$$\Delta_{\text{пол}} \bar{V} = 0.3153 \sigma_2^3 + A \sigma_2^2 + B \sigma_2 + C, \quad (2)$$

где

$$A = 3\beta_T RT (y + 2y^2) / (1 - y)^3 \sigma_1^2,$$

$$B = 3\beta_T RT y / (1 - y)^2 \sigma_1^2,$$

$$C = \beta_T RT y / (1 - y),$$

$$y = N_A \pi \sigma_1^3 / 6 V_2^{\circ},$$

$\sigma_{1,2}$  – диаметры твердых сфер молекул растворителя и растворенного вещества соответственно (взяты из [4]). Хотя SPT моделирует реальную жидкость из твердых сфер, их диаметры довольно хорошо совпадают с диаметрами реальных молекул, найденными при помощи других методов.

Определив по уравнению (2) величины  $\Delta_{\text{пол}} \bar{V}$  и подставив их в уравнение (1), можно найти

$$\Delta_{\text{вз}} \bar{V} = \bar{V}_2^{\circ} - \Delta_{\text{пол}} \bar{V} - \beta_T RT. \quad (3)$$

Полученные величины  $\Delta_{\text{пол}} \bar{V}$  и  $\Delta_{\text{вз}} \bar{V}$  для растворов ФА, МФА, ДМФА и ГМФА в АН приведены в табл. 2.

Разрушение структуры растворителя молекулами растворенного вещества и образование полости в нем приводят к положительным значениям  $\Delta_{\text{пол}} \bar{V}$ , что определяет положительный вклад в  $\bar{V}_2^{\circ}$ . Образование полости затрагивает все виды взаимодействий в растворителе, особенно в области, непосредственно примыкающей к ней. Для молекул растворителя в первом сольватном слое взаимодействие с молекулой растворенного вещества, находящейся в полости, конкурирует со взаимодействием их с другими молекулами растворителя. Все это является причиной сжатия полости и дает отрицательные значения  $\Delta_{\text{вз}} \bar{V}$ .

Можно отметить, что основной вклад в  $\bar{V}_2^{\circ}$  для растворов амидов в АН дает величина  $\Delta_{\text{пол}} \bar{V}$  (см. данные табл. 2). Изменение объема в системе в большей степени связано с образованием полости в ацетонитриле и в меньшей – со взаимодействием амида и АН.

В ряду ФА–МФА–ДМФА–ГМФА, т.е. с увеличением числа метильных групп в молекулах амидов, а также с увеличением температуры, значения  $\bar{V}_2^{\circ}$  и  $\Delta_{\text{пол}} \bar{V}$  возрастают, а величина  $\Delta_{\text{вз}} \bar{V}$  уменьшается. Следует отметить, что величины  $\bar{V}_2^{\circ}$  близки к значениям мольных объемов чистых амидов. Нами был определен вклад в величину  $\bar{V}_2^{\circ}$  от  $\text{CH}_3$ -группы для растворов амидов в АН. Для гомологического ряда формамида он составляет  $19.65 \pm 1.75$  см<sup>3</sup>/моль. Объем  $\bar{V}_1^{\circ}$  практически постоянен для всех изученных смесей, незначительно увеличивается с ростом температуры и близок к значению мольного объема ацетонитрила при соответствующей температуре.

## ТЕПЛОЕМКОСТНЫЕ СВОЙСТВА

Интерпретация теплоемкостей растворов сложнее, чем объемных свойств. Дополнительная сложность обусловливается еще и тем, что экспериментально доступны теплоемкости при постоянном давлении, в то время как со структурными изменениями и межмолекулярными взаимодействиями связаны изохорные теплоемкости, данных о которых очень мало. Между тем, парциальная молярная теплоемкость растворенного вещества при бесконечном разбавлении  $\bar{C}_{p2}^{\circ}$  содержит в себе все вклады, связанные с изменением теплоемкости при растворении вещества, в том числе и вклад, связанный с влиянием растворенной молекулы на структуру растворителя.

**Таблица 2.** Вклады в  $\bar{V}_2^o$  ( $\Delta_{\text{пол}}\bar{V}$ ,  $\Delta_{B_3}\bar{V}$ , см<sup>3</sup>/моль) для растворов амидов в ацетонитриле при различных температурах

<i>T, K</i>	ФА		МФА		ДМФА		ГМФА	
	$\Delta_{\text{пол}}\bar{V}$	$-\Delta_{B_3}\bar{V}$	$\Delta_{\text{пол}}\bar{V}$	$-\Delta_{B_3}\bar{V}$	$\Delta_{\text{пол}}\bar{V}$	$-\Delta_{B_3}\bar{V}$	$\Delta_{\text{пол}}\bar{V}$	$-\Delta_{B_3}\bar{V}$
283.15	65.54	31.67	91.41	40.68	114.34	42.07	232.01	63.88
298.15	70.37	36.30	97.67	45.78	121.79	48.51	244.86	73.99
313.15	75.60	41.76	104.46	50.78	129.86	55.73	258.73	86.23
328.15	81.39	47.77	111.95	58.13	138.76	64.15	273.99	100.24

Для всех исследуемых смесей амидов с АН величины  $\bar{C}_{p2}^o$  (см. табл. 1) близки к значениям молярных теплоемкостей чистых амидов (лишь для ГМФА наблюдается довольно большое различие). Относительно малые изменения теплоемкости при растворении ( $\Delta_{pc} C_{p2}^o = \bar{C}_{p2}^o - C_{p2}^o$ , где  $C_{p2}^o$  – теплоемкость чистого вещества в жидким состоянии) амидов в АН обусловлены несколькими причинами. В частности, для смесей ДМФА с рядом неэлектролитов [5] малые значения  $\Delta_{pc} C_{p2}^o$  связывают с тем, что, будучи неструктурированным растворителем, ДМФА нечувствителен к присутствию растворенного вещества. Также было показано [6], что в смесях ДМФА и ГМФА с АН сильные, высоконаправленные взаимодействия типа Н-связей отсутствуют, а в процессе ассоциации молекул определяющую роль играют диполь-дипольные взаимодействия.

В то же время, величины  $\Delta_{pc} C_{p2}^o$  малы и для смесей АН с ФА и МФА, которые характеризуются значительной степенью ассоциации [7]. Повидимому, это связано со взаимной компенсацией энергетических затрат на разрушение собственных структур компонентов и образование в смеси ассоциатов различного состава. Значения  $\Delta_{pc} C_{p2}^o$  возрастают в ряду ГМФА < ФА < МФА < ДМФА. Из сравнения этого ряда с рядом аналогичных величин для водных растворов тех же амидов (ФА < МФА < ДМФА < ГМФА [8]) видно, какую роль играют в водном растворе гидрофобные эффекты, так как величины  $\Delta_{pc} C_{p2}^o$  отражают различия в сольватации молекул растворенного вещества в растворителе и при взаимодействии друг с другом [9]. Например, в водном растворе ГМФА значения  $\Delta_{pc} C_{p2}^o$  велики и положительны (694.7 Дж/(моль К) при 298.15 К [8]), а для смесей ГМФА с АН данные величины малы и меняют знак на отрицательный (-26.11 Дж/(моль К) при 298.15 К). В целом же, если взять только гомологический ряд формамида (ФА–МФА–ДМФА), то для смесей членов этого ряда с АН сохраняются тенденции в изменении стандартных теплоемкостных величин, характерные для их водных растворов (рост

$\bar{C}_{p2}^o$  и  $\Delta_{pc} C_{p2}^o$  с увеличением температуры и в ряду ФА–МФА–ДМФА;  $\Delta_{pc} C_{p2}^o < 0$  для ФА и  $\Delta_{pc} C_{p2}^o > 0$  для МФА и ДМФА).

Используя здесь ту же концепцию, что и при интерпретации объемных свойств, можно определить различные вклады в величину  $\bar{C}_{p2}^o$ :

$$\bar{C}_{p2}^o = \Delta_{\text{сольв}} C_{p2} + C_{p2}^{\text{газ}}, \quad (4)$$

где  $\Delta_{\text{сольв}} C_{p2}$  – изменение теплоемкости при сольватации неэлектролита;  $C_{p2}^{\text{газ}}$  – теплоемкость неэлектролита в газовом состоянии (расчитывалась нами по методикам, приведенным в [10, 11]),

$$\Delta_{\text{сольв}} C_{p2} = \Delta_{\text{пол}} C_p + \Delta_{B_3} C_p + R[2\alpha_p T + (d\alpha_p/dT)_p T^2 - 1]. \quad (5)$$

Изменение теплоемкости при образовании полости в растворителе в рамках теории SPT определяется из полинома:

$$\Delta_{\text{пол}} C_p = A\sigma_2^2 + B\sigma_2 + C, \quad (6)$$

где

$$A = [3J/((1-y)\sigma_1^2)] [Z(1+2y)(1-y) - y\alpha_p(4y+5)],$$

$$B = [3J/((1-y)\sigma_1)] [Z(1-y) - 2y\alpha_p],$$

$$C = J[Z(1-y) - y\alpha_p],$$

$$J = RT^2 y\alpha_p / (1-y)^2,$$

$$Z = 2/T - \alpha_p + (1/\alpha_p)(d\alpha_p/dT)_p,$$

$$y = \pi N_A \sigma_1^3 / 6 V_1^o,$$

$\alpha_p$  – коэффициент термического расширения растворителя.

Зная  $\Delta_{\text{пол}} C_p$ , из уравнения (5) можно определить  $\Delta_{B_3} C_p$ :

$$\Delta_{B_3} C_p = \Delta_{\text{сольв}} C_p - \Delta_{\text{пол}} C_p - R[2\alpha_p T + (d\alpha_p T/dT)_p T^2 - 1]. \quad (7)$$

Все полученные величины приведены в табл. 3.

Из данных табл. 3 видно, что для растворов амидов в ацетонитриле величины  $\Delta_{\text{вз}}C_p < 0$ . Они отрицательны также для растворов указанных амидов в ДМФА и метаноле и положительны для их водных растворов [5]. Это подтверждает сделанные ранее выводы [12] о том, что положительные значения  $\Delta_{\text{вз}}C_p$  растворов амидов в воде связаны с образованием структурных ячеек из молекул воды вокруг гидрофобных молекул амидов (исключая формамид). Предполагается, что в водном растворе основной вклад в  $\bar{C}_{p2}^\circ$  дает величина  $\Delta_{\text{вз}}C_p$ , обусловленная образованием гидратной оболочки вокруг гидрофобной молекулы [13]. Для растворов амидов в АН основной вклад в  $\bar{C}_{p2}^\circ$  дает  $\Delta_{\text{пол}}C_p$ , т.е. изменения теплоемкости амида в ацетонитриле связаны в большей степени с образованием полости в растворителе и в меньшей – со взаимодействием между молекулами амида и АН. Вклад от  $\Delta_{\text{пол}}C_p$  в  $\bar{C}_{p2}^\circ$  возрастает в ряду ФА < МФА < ДМФА < ГМФА и уменьшается с ростом температуры.

Для растворов амидов в АН в ряду ФА–МФА–ДМФА вклад в  $\bar{C}_{p2}^\circ$  от  $\text{CH}_3$ -группы равен  $25.5 \pm \pm 0.03$  Дж/(моль К) при 283.15 К. С ростом температуры эта величина немного возрастает и в интервале 283.15 – 328.15 К составляет  $27.35^{+4.47}_{-1.88}$  Дж/(моль К). Для водных растворов данного ряда амидов вклад в  $\bar{C}_{p2}^\circ$  от  $\text{CH}_3$ -группы составляет  $\approx 75$  Дж/(моль К) [9].

### КОРРЕЛЯЦИИ ОБЪЕМНЫХ И ТЕПЛОЕМКОСТНЫХ ХАРАКТЕРИСТИК

Большое внимание исследователи уделяют нахождению каких-либо соотношений между термодинамическими свойствами. Проанализировав различные зависимости между молярными объемами и некоторыми функциями, полученными из теплоемкости, для водных растворов спиртов, Арнетт [14] отметил, что для растворов близких соединений имеют место некоторые простые зависимости типа линейных корреляций. При обработке полученных нами величин  $\bar{C}_{p2}^\circ$  и  $\bar{V}_2^\circ$  для растворов амидов в ацетонитриле по уравнению регрессии  $\bar{C}_{p2}^\circ = a + b \bar{V}_2^\circ$  найдены значения  $a$ ,  $b$  и  $R$  (коэффициент корреляции), которые приведены в табл. 4.

Из литературных данных [15 - 18] были определены коэффициенты уравнения  $\bar{C}_{p2}^\circ = a + b \bar{V}_2^\circ$  для растворов ФА, МФА, ДМФА и ГМФА в воде при 298.15 К:  $a = -118.51614$  Дж/(моль К);  $b = 4.75220$  Дж/(см<sup>3</sup> К),  $R = 0.99847$ . Видно, что для амидов при переходе от их растворов в АН к вод-

Таблица 3. Вклады в  $\bar{C}_{p2}^\circ$  ( $C_p^{\text{газ}}$ ,  $\Delta_{\text{пол}}C_p$ ,  $\Delta_{\text{вз}}C_p$ ,  $\Delta_{\text{сольв}}C_p$ , Дж/(моль К)) для растворов амидов в ацетонитриле при различных температурах

$T, \text{ К}$	$C_p^{\text{газ}}$	$\Delta_{\text{пол}}C_p$	$-\Delta_{\text{вз}}C_p$	$\Delta_{\text{сольв}}C_p$
ФА				
283.15	55.10	93.02	50.41	42.56
298.15	56.40	92.13	49.71	43.26
313.15	57.70	90.36	47.60	44.54
328.15	59.90	87.75	44.28	46.25
МФА				
283.15	69.22	120.51	66.55	53.91
298.15	72.00	118.96	65.92	53.88
313.15	74.76	116.30	64.23	53.85
328.15	77.49	112.52	61.80	53.50
ДМФА				
283.15	91.75	143.29	86.41	56.83
298.15	95.88	141.18	82.96	59.06
313.15	99.98	137.75	79.08	60.45
328.15	104.06	132.96	70.30	65.44
ГМФА				
283.15	232.89	246.24	190.21	55.98
298.15	242.65	241.40	189.26	52.96
313.15	252.41	234.34	191.32	44.80
328.15	262.17	224.84	191.37	36.26

Таблица 4. Коэффициенты уравнения  $\bar{C}_{p2}^\circ = a + b \bar{V}_2^\circ$  и коэффициент корреляции  $R$  для смесей амидов с ацетонитрилом при различных температурах

$T, \text{ К}$	$a, \text{ Дж}/(\text{моль К})$	$b, \text{ Дж}/(\text{см}^3 \text{ К})$	$R$
283.15	$45.4438 \pm 2.5439$	$1.4206 \pm 0.0258$	0.99967
298.15	$47.7632 \pm 0.6045$	$1.4237 \pm 0.0602$	0.99998
313.15	$50.7706 \pm 2.6067$	$1.4001 \pm 0.0255$	0.99967
328.15	$52.7584 \pm 1.7191$	$1.3767 \pm 0.0156$	0.99994

ным растворам, корреляция между величинами  $\bar{C}_{p2}^\circ$  и  $\bar{V}_2^\circ$  ухудшается. Проведя аналогичную обработку большого числа данных для растворов неэлектролитов в ДМФА и метаноле, авторы [19] отметили ухудшение корреляции между  $\bar{C}_{p2}^\circ$  и  $\bar{V}_2^\circ$  при переходе от ДМФА ( $R = 0.999$ ) к метанолу ( $R = 0.967$ ) и далее к воде. Данный факт они связали с тем, что в ДМФА и метаноле (по-видимому, и в ацетонитриле) свойства функции распределения  $g_{21}$  определяются в основном эффектами упаковки, а в воде – кооперативными эффектами по системе водородных связей воды, т.е. корреляция

**Таблица 5.** Коэффициенты уравнения  $\Delta_{\text{пол}}C_p = a + b\bar{V}_2^\circ$  для растворов амидов в различных растворителях при 298.15 К

Растворитель	$a$ , Дж/(моль К)	$b$ , Дж/(см <sup>3</sup> К)
H <sub>2</sub> O	51.963 ± 4.619	2.632 ± 0.068
ДМФА	49.680 ± 4.475	1.676 ± 0.065
АН	47.7632 ± 0.0605	1.4237 ± 0.0602
МеОН	27.190 ± 0.607	0.608 ± 0.028

будет тем лучше, чем менее развита сетка водородных связей в чистом растворителе.

Так как объем  $\bar{V}_2^\circ$  связан с размером образуемой в структуре растворителя полости, то можно предположить, что существует корреляция между  $\bar{V}_2^\circ$  и  $\Delta_{\text{пол}}C_p$ . В табл. 5 приведены коэффициенты уравнения регрессии  $\Delta_{\text{пол}}C_p = a + b\bar{V}_2^\circ$ , полученные нами для растворов амидов в АН, а также в ДМФА, метаноле и воде, взятые нами из [5]. Из этих данных видно, что линия регрессии  $\Delta_{\text{пол}}C_p = a + b\bar{V}_2^\circ$  для растворов амидов в АН (ацетонитрил – растворитель, ассоциированный по диполь–дипольному взаимодействию [20]) расположена между линиями регрессии для растворов амидов в ДМФА (практически неассоциированный растворитель [21]) и метаноле (растворитель, ассоциированный преимущественно по Н-связи [22]). Из сравнения наклонов указанных зависимостей следует, что расширение размеров полости в ДМФА и АН при попадании туда молекулы амида связано с меньшей степенью нарушения структуры растворителя, чем в воде.

## СПИСОК ЛИТЕРАТУРЫ

1. Крестов Ал.Г. Межмолекулярное взаимодействие в бинарных неводных системах ацетонитрил–амид (ФА, МФА, ДМФА, ГМФА) по данным ЯМР-спектроскопических, теплоемкостных и объемных характеристик: Дис. ... канд. хим. наук. Иваново: Институт химии неводных растворов АН СССР, 1990. 151 с.
2. Современные проблемы химии растворов / Г.А. Крестов, В.И. Виноградов, Ю.М. Кесслер и др. М.: Наука, 1986. С. 81 - 83.
3. French R.N., Criss C.M. // J. Sol. Chem. 1981. V. 10. № 10. P. 713.
4. Kim J.I. // Z. Phys. Chem. (BRD). 1978. B. 113. № 8. P. 129.
5. Piekarzki H. // Can. J. Chem. 1987. V. 65. № 12. P. 2810.
6. Крестов Ал.Г., Никифоров М.Ю., Керокосян Г.А. и др. // Журн. физ. химии. 1991. Т. 65. № 2. С. 358.
7. Крестов Ал.Г., Никифоров М.Ю., Керокосян Г.А. и др. // Там же. 1990. Т. 64. № 12. С. 3287.
8. Колкер А.М., Куликов М.В., Крестов Г.А. // Изв. вузов. Химия и хим. технология. 1985. Т. 28. № 6. С. 11.
9. Белоусов В.П., Панов М.Ю. Термодинамика водных растворов незэлектролитов. Л.: Химия, 1983. С. 74 - 85.
10. Рид Р., Праусниц Дж., Шервуд Т. Свойства газов и жидкостей. Л.: Химия, 1982. С. 592.
11. Зайцев П.М. // Тр. НИИ по удобрениям и инсекто-фунгицидам. 1989. Т. 257. С. 121.
12. Кесслер Ю.М., Абакумова Н.А., Васенин Н.В. и др. // Журн. физ. химии. 1983. Т. 57. № 2. С. 2977.
13. Stilinger F.H. // J. Solut. Chem. 1973. V. 2. № 141. P. 158.
14. Современные проблемы физической органической химии. М.: Мир, 1967. С. 195 - 341.
15. Visser C., Pel P., Somsen G. // J. Solut. Chem. 1977. V. 6. № 9. P. 571.
16. Visser C., Perron G., Desnoyers J.E. et al. // J. Chem. Eng. Data. 1977. V. 22. № 1. P. 74.
17. Castagnolo M., Inglese A., Petrello G., Sacco A. // Thermochimica Acta. 1981. V. 44. № 1. P. 67.
18. Chebib H., Jamion C., Merlin J.-C. et al. // J. Chim. Phys. et Phys.-Chim. Biolog. 1984. Т. 81. № 2. Р. 99.
19. Кесслер Ю.М., Столыпин В.Ф., Зайцев А.Л. и др. // Докл. АН СССР. 1987. Т. 293. № 3. С. 619.
20. Шахпаронов М.И. Введение в современную теорию растворов. М.: Вышш. шк., 1976. С. 416.
21. Radnai T., Itoh S., Ohtaki H. // Bull. Chem. Soc. Jpn. 1988. V. 61. P. 3845.
22. Гордон Дж. Органическая химия растворов электролитов. М.: Мир, 1979. С. 712.

---

 ХИМИЧЕСКАЯ ТЕРМОДИНАМИКА  
 И ТЕРМОХИМИЯ
 

---

УДК 536.7

**ВЛИЯНИЕ КУЛОНОВСКОГО ВЗАИМОДЕЙСТВИЯ НА СТРУКТУРУ  
И СВОЙСТВА НЕКРИСТАЛЛИЧЕСКИХ СИСТЕМ**

© 1993 г. Д. К. Белащенко

Московский институт стали и сплавов

Поступила в редакцию 02.11.92 г.

Методом молекулярной динамики построена серия моделей жидкости с экспоненциальными парными потенциалами. Во второй серии моделей включены заряды частиц  $\pm ze$  с величинами  $z$  от 0.1 до 2.0, все модели обладали плотными структурами. Исследованы постепенные изменения структуры и термодинамических свойств жидкости при переходе от состояния идеального газа к состоянию ионной модели оксида MeO. Рассчитаны энтропии моделей. Показано, что включение зарядов изменяет энтропию в меньшей степени, чем включение экспоненциального отталкивания частиц.

Компьютерное моделирование систем с короткодействующими парными потенциалами имеет большую историю. Значительно меньше работ посвящено моделированию ионных некристаллических (жидких и аморфных) систем. В последнее время растет интерес к системам, где наблюдается лишь частичный перенос заряда с одних атомов на другие, например, к растворам типа Li-Pb, Na-Pb, In-Te [1 - 4] и т.д. Заряды частиц могут быть дробными и сравнительно небольшими ( $\sim 0.1e$ , где  $e$  – элементарный заряд). Важно выяснить, в какой мере включение кулоновского взаимодействия влияет на структуру и свойства системы и как при этом проявляется его дальнодействующий характер.

Системы с переносом заряда интенсивно исследуются методами теории жидкостей в различных приближениях, например, в модели однокомпонентной классической плазмы с точечными ионами [5, 6], в модели заряженных жестких сфер [7 - 10] или жестких сфер с экранированным кулоновским потенциалом (потенциалом Юкавы) [11 - 13]. Моделирование таких систем методами молекулярной динамики (МД) и непрерывной статической релаксации (НСР) дает ценный материал для проверки теоретических построений.

При компьютерном моделировании ионных систем довольно часто используются простые парные потенциалы Борна–Майера:

$$u_{ij}(r) = z_i z_j e^2 / r + B_{ij} \exp(-r/R_{ij}). \quad (1)$$

Здесь  $r$  – расстояние между центрами ионов,  $z_i$  – заряд  $i$ -го иона в единицах  $e$ ,  $B_{ij}$  и  $R_{ij}$  – параметры отталкивания ионных оболочек пары  $ij$ . Для теоретического анализа структурообразующей роли кулоновского взаимодействия в настоящей работе решено варьировать величину зарядов  $z_i$ , считая их произвольными переменными. В пределе  $z_i \rightarrow 0$  кулоновское взаимодействие вообще отключается, и система развивается под

действием довольно простых парных потенциалов

$$u_{ij}(r) = B_{ij} \exp(-r/R_{ij}). \quad (2)$$

Такое состояние можно принять за исходное. Затем следует постепенно увеличивать заряды  $z_i$ , усиливая тем самым роль кулоновского взаимодействия и наблюдая за изменениями структуры и свойств.

Как показано в компьютерных исследованиях ионных моделей солей, кремнезема, силикатных систем и т.д. [14 - 16], параметры  $R_{ij}$  можно принять одинаковыми, равными 29 пм. Что касается параметров  $B_{ij}$ , то они, конечно, зависят от вида ионов  $i$  и  $j$ . Например для оксида CaO были определены значения  $B_{11} = 0$ ,  $B_{12} = 3283$  эВ и  $B_{22} = 1500$  эВ [15], а для FeO значение  $B_{12} = 1900$  эВ [16]. Переход от исходного состояния к некристаллической модели с параметрами  $z_i$  и  $B_{ij}$ , отвечающими оксиду типа FeO или CaO, можно осуществить следующим способом:

1) выбираем исходное состояние в виде однокомпонентной системы с  $z_i = 0$  и  $B_{ij} = 0$ ; очевидно, при этом получается система невзаимодействующих частиц, т.е. идеальный газ;

2) строим серию однокомпонентных моделей с  $z_i = 0$ ,  $R_{ij} = 29$  пм, постепенно увеличивая параметр  $B$  и доводя его до значения 1500 эВ;

3) переходим к двухкомпонентной системе с равным числом частиц каждого сорта, с  $z_1 = 0$ ,  $R_{ij} = 29$  пм и  $B_{11} = B_{12} = B_{22} = 1500$  эВ (для чего необходимо лишь случайным образом задать признаки сорта частиц 1 или 2; поскольку все параметры взаимодействия не зависят от вида частиц, то структура, энергия и давление системы при этом не изменяются, а энтропия увеличится на  $Nk\ln 2$ ,  $N$  – число частиц,  $k$  – постоянная Больцмана);

4) строим серию двухкомпонентных моделей с зарядами частиц  $z_1 = -z_2$ , причем  $z_1$  постепенно

увеличиваем от нуля до 2. Окончательное состояние соответствует оксиду MeO с  $z_1 = -z_2 = 2$  и с параметрами  $B_{11} = B_{12} = B_{22} = 1500$  эВ;

5) постепенно изменяем  $B_{11}$  от 1500 эВ до нуля, а  $B_{12}$  – от 1500 эВ до желаемой величины. При этом мы переходим к модели реального оксида MeO. Например, для MgO требуется взять  $B_{12} = 1441.2$  эВ, для SrO и BaO значение  $B_{12} = 4744.1$  и 8885.1 эВ соответственно [17].

В процессе реализации всех указанных переходов можно рассчитать изменения термодинамических свойств и получить их абсолютные значения в каждом промежуточном (и конечном) состоянии.

В настоящей работе эта программа реализована путем построения двух серий моделей. В первой серии методом МД создано 11 однокомпонентных моделей с парными потенциалами вида (2):

$$u(r) = B \exp(-r/R) \quad (3)$$

с постоянным параметром  $R = 29$  пм и различными  $B$  от 0 до 1500 эВ. Вторая серия представляет собой двухкомпонентные растворы состава AB (A – № 1, B – № 2) с парными потенциалами (1), включающими кулоновское взаимодействие зарядов  $z_1 = -z_2 = z$ . Величины  $z$  изменялись от 0.1 до 2.0. В итоге можно было, исходя из модели идеального газа ( $B = 0$  и  $z = 0$ ), прийти к модели ионного соединения вида MeO с частицами  $\text{Me}^{2+}$  и  $\text{O}^{2-}$ .

### ПОСТРОЕНИЕ МОДЕЛЕЙ С ПАРНЫМ ПОТЕНЦИАЛОМ (3)

Модели этой серии содержали по 216 частиц в основном кубе с периодическими граничными условиями. Длина ребра куба  $l$  равнялась 1.4279 нм. Модели были построены методом МД из случайного исходного состояния и имели температуру 2000 К. Параметр  $R = 29$  пм, а коэффици-

ент  $B$  изменялся от 1.0 до 1500 эВ. Радиус обрыва потенциала (3) составлял во всех случаях 0.444 нм.

Ниже в качестве единицы длины выбрана величина  $d_0 = (V/N)^{1/3}$ , где  $V$  – объем системы. Соответственно введены относительные координаты в прямом пространстве  $\rho = r/d_0$  и в обратном пространстве  $\kappa = Kd_0$  ( $K$  – вектор рассеяния). В табл. 1 приведены основные характеристики построенных моделей: минимальное межатомное расстояние  $\rho_{\min}$ , координата  $\rho_1$  первого пика парной корреляционной функции (ПКФ)  $g(\rho)$  и высота этого пика  $g_1$ , координата  $\kappa_1$  первого пика структурного фактора  $a(\kappa)$  и высота этого пика  $a_1$ , давление  $p$  и величина  $pV$ , а также полная энергия системы  $E$  и энергия отталкивания частиц  $U$ . Кроме того, в табл. 1 показаны отношения  $\alpha = U/\lambda$ , где  $\lambda = B/1500$  эВ. Парные корреляционные функции для некоторых значений  $B$  показаны на рис. 1.

Увеличение параметра  $B$  приводит к усилению отталкивания частиц, что эквивалентно росту плотности. При этом увеличиваются  $\rho_{\min}$ ,  $\rho_1$ ,  $g_1$ ,  $a_1$ ,  $p$ ,  $pV$  и  $U$ , отношение же  $\alpha$  убывает. Предельное значение  $\alpha_0$  при  $\lambda \rightarrow 0$  можно рассчитать по уравнению:

$$U = 2\pi N m (N/V) \int_0^{\infty} g(r) u(r) r^2 dr. \quad (4)$$

При  $B \rightarrow 0$  система стремится к состоянию идеального газа, где  $g(r) = 1$ . Тогда из (3) и (4) следует  $\alpha_0 = 7367.25$ .

При радиусе обрыва потенциала  $r_0 = 0.444$  нм (или  $\rho_0 = 1.8657$ ) поправка на обрыв равна

$$\delta U = 2\pi N (N/V) \int_{r_0}^{\infty} g(r) u(r) r^2 dr. \quad (5)$$

**Таблица 1.** Характеристики моделей жидкости с парным потенциалом (3) при 2000 К ( $N = 216$ ,  $l = 1.4279$  нм, тепловая энергия 24.96 кДж/г-ион)

$B$ , эВ	$\rho_{\min}$	$\rho_1$	$g_1$	$s$	$\kappa_1$	$a_1$	$U$	$\alpha$	$pV/N$	$p$ , ГПа
							кДж/г-ион	кДж/г-ион	кДж/г-ион	
1	0.147	–	1.18	1.17	42.0	1.02	1.464	2197	18.8	2.32
5	0.273	0.748	1.22	1.17	42.5	1.02	3.949	1185	24.1	2.96
20	0.315	0.840	1.16	1.10	40.5	1.11	8.179	613.3	35.0	4.41
50	0.483	0.857	1.27	1.07	34.5	1.12	12.81	384.2	51.2	6.24
100	0.513	1.013	1.30	1.06	33.5	1.24	18.84	282.7	67.7	8.34
200	0.609	0.937	1.44	1.02	32.2	1.33	29.53	221.5	107	13.1
400	0.664	1.008	1.69	1.06	31.8	1.62	45.65	171.2	165	20.4
600	0.710	1.038	1.86	1.02	31.2	1.76	61.38	153.4	222	27.4
800	0.748	1.021	1.93	0.92	30.8	1.86	75.44	141.4	272	33.6
1100	0.790	1.021	2.19	0.91	31.0	1.97	97.11	132.4	353	43.5
1500	0.798	1.050	2.47	1.00	30.9	2.20	121.9	121.9	446	54.9

Примечание. Радиус обрыва потенциала  $r_0 = 0.444$  нм. Введена поправка на обрыв к энергии  $1.47 \times 10^{-4}$  В.

Полагая  $g(r) \equiv 1.0$  (как видно из рис. 1, данное приближение вполне приемлемо), находим поправку  $\delta U = 1.47 \times 10^{-4}$  эВ. Эта поправка учтена в значениях  $U$  и  $\alpha$  в табл. 1, во всех случаях она очень мала по сравнению с энергией  $U$ .

### СТРУКТУРНЫЕ И ТОПОЛОГИЧЕСКИЕ СВОЙСТВА МОДЕЛЕЙ С ПОТЕНЦИАЛОМ (3)

Как видно из рис. 1, ПКФ построенных моделей имеют обычный вид, характерный для простых жидкостей. С ростом параметра  $B$  высота пиков ПКФ монотонно возрастает. Так же ведет себя глубина минимумов ПКФ. Типичные значения высот пиков ПКФ и структурных факторов вблизи тройной точки составляют для простых жидкостей (аргона, жидких металлов)  $\sim 2.0 - 2.5$ . Такие высоты пиков получаются при  $B \geq 1100$  эВ (табл. 1). Системы с меньшими  $B$  при  $T = 2000$  К ведут себя как жидкости с пониженнной плотностью. С уменьшением  $B$  первый пик ПКФ заметно смещается влево (рис. 1). При  $B \leq 200$  эВ осцилляции ПКФ затухают почти полностью уже при  $\rho \geq 2$ . Координационное число (к. ч.), вычисленное до первого минимума ПКФ, составило 14.6 при  $B = 1100$  эВ и 12.1 при  $B = 1500$  эВ.

В табл. 1 даны для каждой модели две топологические характеристики, введенные ранее [18]. Первая из них – это относительная координата первого пика ПКФ  $\rho_1$ . Для плотных неупорядоченных (жидких и аморфных) структур  $\rho_1 = 1.08 \pm 0.02$  (“первое топологическое правило”). Из табл. 1 видно, что во всех моделях  $\rho_1 < 1.08$ , и только при  $B = 1500$  эВ модель приближается к классу плотных структур. Остальные структуры являются рыхлыми, хотя и в различной степени. Вторая топологическая характеристика связана с шириной первого пика ПКФ:

$$y = \rho_{\min}^{-1} - 0.9369, \quad (6)$$

где 0.9369 – минимальное возможное значение  $\rho_{\min}^{-1}$ , которое достигается в плотной неупорядоченной системе жестких сфер [18]. Для систем с достаточно высокими плотностями справедливо выражение [18]:

$$g_{1p} = 1 + 0.6y^{-0.77} + 0.0001y^{-3}. \quad (7)$$

Оно хорошо выполняется при  $g_1 > 2.0$ . В случае сильно расширенных (например, перегретых) жидкостей, когда высоты пиков малы (меньше 2.0), соотношение (7) менее точно. Используя молекулярно-динамические данные для однокомпонентной классической плазмы [19], жидкостей с потенциалом вида  $r^{-n}$  [20] и потенциалом Лен-

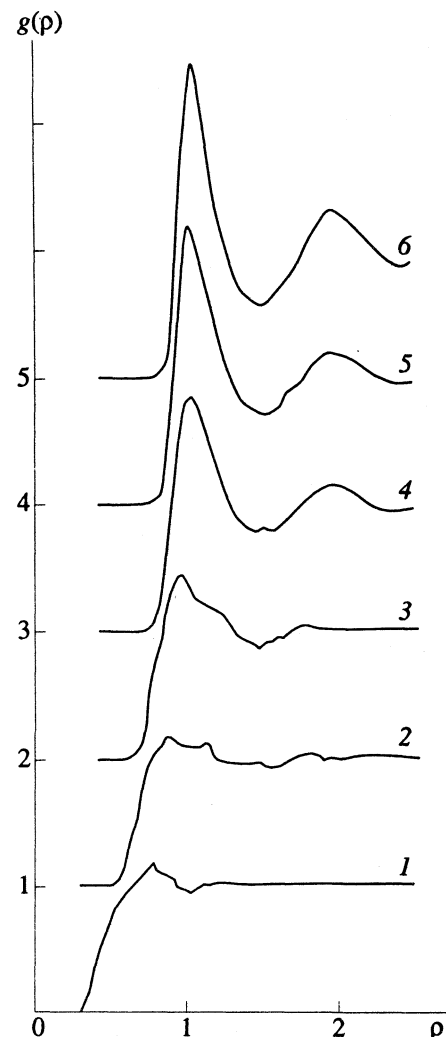


Рис. 1. Парные корреляционные функции моделей с парными потенциалами (3) при различных значениях параметра  $B$ : 1 – 5, 2 – 50, 3 – 200, 4 – 600, 5 – 1100, 6 – 1500.

нард-Джонса [21], можно получить эмпирическую зависимость, пригодную при  $g_1 < 2.0$ :

$$g_{1p} = 1 + 0.225y^{-1.73}. \quad (8)$$

Например, для реальных Rb при 904 К и  ${}^4\text{He}$  при 4.2 К получаются следующие величины  $\rho_{\min}$ ,  $\rho_1$  и  $s = g_1/g_{1p}$ :

Величина	$\rho_{\min}$	$\rho_1$	$g_1$	$g_{1p}$	$s$
${}^4\text{He}$	0.610	0.954	1.41	1.41	1.00
Rb	0.688	0.962	1.76	1.71	1.03

Для плотных неупорядоченных структур  $s = g_1/g_{1p} \approx 1.0$ , а для рыхлых  $s > 1$  (“второе топологическое правило”). В табл. 1 приведены значения  $s$  построенных моделей, рассчитанные с учетом (8) при  $B \leq 800$  эВ и с учетом (7) при  $B \geq 1100$  эВ. В целом величины  $s$  близки к 1.0 при  $B \geq 600$  эВ и несколько возрастают при меньших  $B$ , что коррелирует с убыванием  $\rho_1$ .

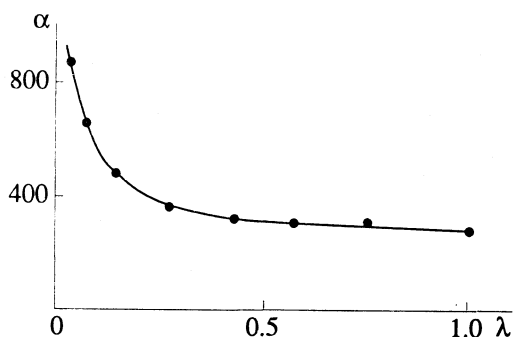


Рис. 2. Зависимость  $\alpha = U/\lambda$  от величины  $\lambda$  для моделей с парными потенциалами (3).

Итак, структура моделей с потенциалами (3) оказывается рыхлой при плотности  $N/V = 74.19 \text{ ат}/\text{нм}^3$  и  $B \leq 400 \text{ эВ}$ , а при  $B \geq 1100 \text{ эВ}$  она близка к плотной.

### РАСЧЕТ ТЕРМОДИНАМИЧЕСКИХ ФУНКЦИЙ СИСТЕМ С ПОТЕНЦИАЛАМИ (3)

Как показано в [22], в случае парного потенциала (3) с постоянным параметром  $R$  для энергии Гельмгольца  $A$  жидкости справедливо выражение:

$$(\partial A / \partial \lambda)_{V,T} = \langle U \rangle / \lambda, \quad (9)$$

где  $\lambda = B/B_0$ ,  $B_0$  – любое положительное число, а  $\langle U \rangle$  – среднее по Гиббсу (т.е. термодинамическое) значение потенциальной энергии  $U$ . Если зависимость  $\langle U \rangle$  от  $\lambda$  найдена, то можно рассчитать изменение энергии Гельмгольца

$$\delta A_\lambda = A(\lambda_2) - A(\lambda_1) = \int_{\lambda_1}^{\lambda_2} (\langle U \rangle / \lambda) d\lambda. \quad (10)$$

Таблица 2. Термодинамические функции систем с потенциалом (3) при 2000 К

$B, \text{ эВ}$	$\delta A_\lambda$	$\delta E_\lambda$	$-T\delta S_\lambda$	$-\frac{\delta S_\lambda}{Nk}$	$\eta$	$-\frac{\delta S_{cs}}{Nk}$
	кДж/г-ион					
0	0	0	0	0	0	0
1	1.622	1.464	0.158	0.010	–	–
5	6.155	3.949	2.207	0.133	–	–
20	14.69	8.179	6.517	0.392	–	–
50	23.79	12.81	10.99	0.661	–	–
100	34.77	18.84	15.93	0.958	–	–
200	51.46	29.53	21.93	1.32	–	–
400	76.61	45.65	30.95	1.86	0.328	2.19
600	98.18	61.38	36.79	2.21	0.353	2.48
800	117.9	75.44	42.48	2.55	0.369	2.68
1100	145.2	97.11	48.06	2.89	0.384	2.88
1500	178.8	121.9	56.91	3.43	0.418	3.39

Выше мы положили  $\lambda = B/1500 \text{ эВ}$ . Значения  $\alpha = \langle U \rangle / \lambda \equiv U / \lambda$  даны в табл. 1, а график зависимости  $\alpha$  от  $\lambda$  показан на рис. 2. С уменьшением  $\lambda$  он идет все более круто. Как показано выше,  $\alpha \rightarrow 7367.25$  при  $\lambda \rightarrow 0$ .

Для вычисления интеграла (10) удобно применить следующие аппроксимации:

$$\text{при } 0 \leq B \leq 50 \text{ эВ}$$

$$\alpha = 5997.74 (1 + 314.08\lambda - 4057.50\lambda^2)^{-1},$$

$$\text{при } 50 \leq B \leq 400 \text{ эВ}$$

$$\alpha = 1203.06 (1 + 13.9268\lambda - 22.210\lambda^2)^{-1}, \quad (11)$$

$$\text{при } 400 \leq B \leq 1500 \text{ эВ}$$

$$\alpha = 507.08 (1 + 1.38519\lambda - 0.532676\lambda^2)^{-1}.$$

Аппроксимации (11) можно подставить в (10). В итоге получаются величины  $\delta A_\lambda$ , приведенные в табл. 2. Началом отсчета для энергии Гельмгольца является система с  $B = 0$ , т.е. идеальный газ, для которого функция  $A$  равна

$$A_{\text{иг}} = -kT \ln \left[ \frac{V^N}{N!} \left( \frac{2\pi mkT}{h^2} \right)^{3N/2} \right]. \quad (12)$$

Здесь  $m$  – масса частицы,  $h$  – постоянная Планка,  $k$  – постоянная Больцмана. Далее можно применить соотношение  $A = E - TS$  и рассчитать  $T\delta S_\lambda = \delta E_\lambda - \delta A_\lambda$ , где  $\delta E_\lambda$  и  $\delta S_\lambda$  – изменения энергии и энтропии при переходе из состояния идеального газа ( $\lambda = 0$ ) к текущему значению  $\lambda$ . Значения  $\delta E_\lambda$  можно определить по данным табл. 1. В итоге мы получаем изменения энтропии  $\delta S_\lambda$  при переходе от состояния идеального газа к данному состоянию при постоянных  $V$  и  $T$  (см. табл. 2). Как и следовало ожидать, величины  $\delta S_\lambda$  отрицательны и с ростом параметра  $B$  становятся больше по абсолютной величине. Произведения  $T\delta S_\lambda$  отнюдь не малы по сравнению с  $\delta E_\lambda$ .

Значения  $\delta S_\lambda / Nk$  можно сравнить с рассчитанными в модели жестких сфер. Согласно [23],

$$\delta S_{cs} / Nk = 3 - 2(1 - \eta)^{-1} - (1 - \eta)^{-2}, \quad (13)$$

где  $\eta$  – эффективный коэффициент упаковки. Его найдем по высоте первого пика структурного фактора, используя номограмму работы [24], пригодную при  $\eta > 0.3$ . По значениям  $a_1$  из табл. 1 находим коэффициенты упаковки и по ним рассчитываем  $\delta S_{cs} / Nk$  (см. табл. 2).

При  $B < 400 \text{ эВ}$  высоты первых пиков  $a_1$  слишком малы, чтобы применять модель жестких сфер. В случае же  $B \geq 400 \text{ эВ}$  величины  $\delta S_\lambda$  и  $\delta S_{cs}$  довольно близки, а при  $B \geq 1100 \text{ эВ}$  согласие между ними очень хорошее. Следовательно, в случае парного потенциала (3) выражение Карнахана–Старлинга (13) дает разумные результаты при коэффициентах упаковки  $\eta \geq 0.37$ , близких к значениям  $\eta$  для реальных жидких металлов вблизи от тройной точки ( $\eta \approx 0.45$ ).

**Таблица 3.** Характеристики моделей жидкостей  $A^{z+}B^{z-}$  ( $N = 216$ ,  $l = 1.4279$  нм,  $T = 2000$  К, тепловая энергия равна 24.96 кДж/г-ион)

$z$	$\gamma$	$p$ , ГПа	$U$	$-E_{\text{кул}}$	$-E_{\text{кул}}/\gamma$	$E$	$\rho_{\min}$			$\rho_1$			$g_1$			$\bar{\rho}_1$	$s$	к. ч. (12)
							11	12	22	11	12	22	11	12	22			
0.1	0.0025	45.2	124.0	3.101	1240.4	145.9	0.777	0.861	0.861	1.050	1.038	1.084	2.33	2.74	2.49	1.053	1.05	7.10
0.2	0.01	44.8	124.1	13.90	1390.4	135.1	0.819	0.798	0.828	1.050	1.046	1.046	2.19	2.93	2.10	1.047	0.94	—
0.3	0.0225	43.9	123.6	33.54	1490.6	115.0	0.874	0.861	0.819	1.072	1.013	1.109	2.00	3.52	1.79	1.052	—	7.18
0.4	0.04	43.4	125.5	65.49	1637.3	85.0	0.861	0.832	0.903	1.097	1.034	1.114	2.05	3.37	1.71	1.070	1.07	7.27
0.5	0.0625	41.8	127.4	107.3	1716.2	45.0	0.903	0.782	0.903	1.172	1.017	1.134	1.80	3.25	1.84	1.085	—	7.50
0.7	0.1225	38.0	130.7	222.5	1816.1	-66.7	0.861	0.782	0.945	1.134	0.975	1.189	1.62	3.90	1.82	1.069	—	8.26
1.0	0.25	31.2	146.2	484.0	1936.1	-312.9	0.987	0.786	0.987	1.256	0.962	1.202	2.03	3.67	1.89	1.095	—	6.95
1.4	0.49	17.9	176.6	996.6	2033.9	-794.9	0.987	0.777	1.042	1.311	0.920	1.303	2.77	4.08	2.54	1.113	1.04	5.79
2.0	1.0	-3.07	298.5	2209.4	2209.4	-1886.0	0.987	0.693	1.029	1.315	0.811	1.315	2.42	4.18	2.50	1.063	1.04	4.33

Примечание. Энергии  $U$ ,  $E_{\text{кул}}$  и  $E$  выражены в кДж/г-ион.

### ПЕРЕХОД К ДВУХКОМПОНЕНТНОЙ СИСТЕМЕ С ПАРНЫМИ ПОТЕНЦИАЛАМИ (2)

Перейдем от однокомпонентной системы с парными потенциалами (3) к двухкомпонентной, в которой по-прежнему  $N = 216$ , а числа частиц компонентов равны. Если все парные потенциалы (2) одинаковы, то энергия двухкомпонентной системы останется равной энергии однокомпонентной системы, а энтропия увеличится на

$$\delta S_{12} = -Nk(x_1 \ln x_1 + x_2 \ln x_2), \quad (14)$$

где мольные доли  $x_1 = x_2 = 0.5$ ; отсюда  $\delta S_{12}/Nk = -\ln 2 = 0.6932$ .

### ПЕРЕХОД К ИОННОЙ СИСТЕМЕ

Сообщим частицам первого и второго компонентов заряды  $z_1 = -z_2 = z$  ( $0 \leq z \leq 2$ ). При этом система становится ионной, а парные потенциалы принимают форму Борна–Майера (1). При  $z = 1$  получится модель системы типа NaCl, а при  $z = 2$  – модель MeO. Если обозначить окончательные заряды (+2 и -2) через  $z_{10}$  и  $z_{20}$  и ввести обозначение  $\gamma = z^2/z_{10}^2$ , то парные потенциалы запишутся в виде

$$u_{ij}(r) = \gamma z_{i0} z_{j0} e^2/r + B_{ij} \exp(-r/R_{ij}), \quad (15)$$

причем  $0 \leq \gamma \leq 1$ . С парными потенциалами (15) была построена серия моделей при  $N = 216$ ,  $N_1 = N_2 = 108$ ,  $l = 1.4279$  нм,  $T = 2000$  К,  $R_{11} = R_{12} = R_{22} = 29$  пм,  $B_{11} = B_{12} = B_{22} = 1500$  эВ. Модели отличались только величинами  $z$  (от 0.1 до 2.0). Учет кулоновского взаимодействия проводился методом Эвальда–Ансена [25]. Методика расчетов описана ранее [15–17]. Характеристики построенных моделей приведены в табл. 3. Через  $E_{\text{кул}}$  обозначена кулоновская энергия,  $U$  – энергия отталкивания ионных оболочек, а  $\rho_{\min}(ij)$ ,  $\rho_1(ij)$  и  $g_1(ij)$  – величины, аналогичные введенным выше, но для различных пар ионов (11, 12 и 22).

На рис. 3 показаны некоторые структурные данные. С ростом заряда  $z$  координата первого пика ПКФ пар 12 убывает, а для пар 11 и 22 межчастичные расстояния возрастают. Высоты первых пиков ПКФ 12 растут с увеличением  $z$ . В случае пар 11 и 22 эта зависимость усложняется; вначале (до  $z \approx 0.7$ ) высоты  $g_1(11)$  и  $g_1(22)$  убывают, а далее начинают увеличиваться и при  $z \approx 1.4$  проходят через пологий максимум. Такое поведение объясняется, видимо, наложением нескольких эффектов. Уменьшение расстояния 12 дает

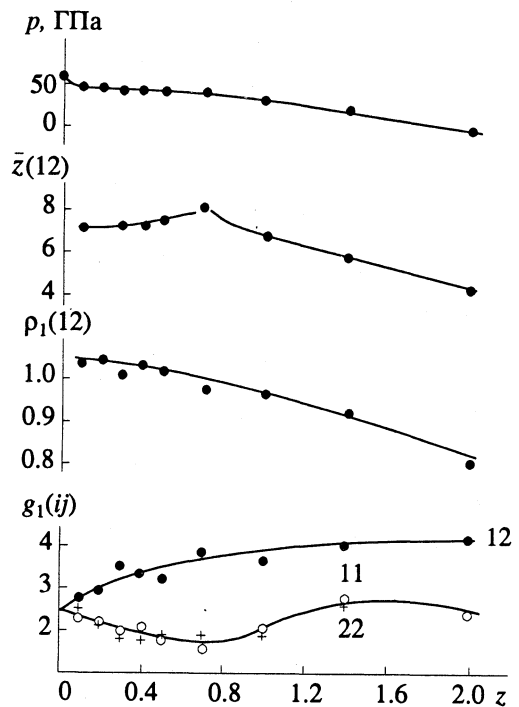


Рис. 3. Некоторые характеристики моделей жидкости с парными потенциалами (15) при 2000 К. Справа у кривых указаны пары ионов  $\bar{z}$  (12) – среднее к. ч. для пар 12.

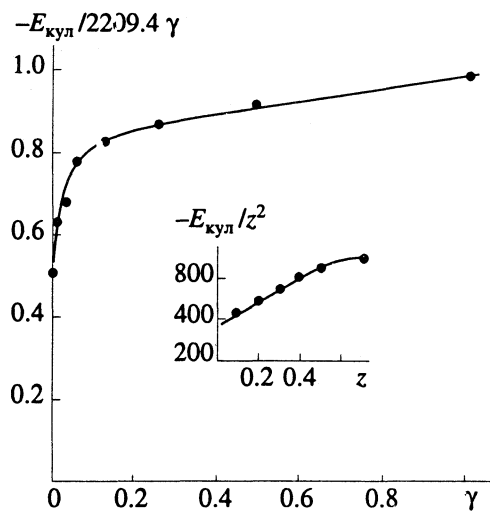


Рис. 4. Поведение кулоновской энергии моделей с парными потенциалами (15);  $\gamma = z^2/4$ .

возможность раздвижки пар 11 и 22; при этом высоты пиков ПКФ 11 и 22 убывают, а среднее координационное число (к. ч.) 12 немного возрастает. При  $z \geq 0.7$  к. ч. 12 проходит через максимум и далее начинает быстро убывать, достигая 4.3 при  $z = 2$ . Таким образом, расположение ближайших соседей вокруг каждого иона становится близким к тетраэдрическому. Эта перестройка структуры происходит в области  $z > 1$ , так как при  $z = 1$  к. ч. 12 все еще довольно велико ( $\sim 7.0$ , см. рис. 3). Данные для модели с  $z = 2.0$  хорошо согласуются с полученными в [16] для жидкого оксида FeO, хотя там  $B_{11} = 0$ ,  $B_{12} = 1900$  и  $B_{22} = 1500$  эВ.

Из рис. 3 видно, что при  $z \geq 0.7$  проходят через минимум высоты пиков ПКФ 11 и 22 и максимально к. ч. 12. Видимо, дело в том, что вблизи  $z = 0.7$  сравниваются по абсолютной величине ку-

лоновская энергия  $E_{\text{кул}}$  и энергия отталкивания ионных оболочек  $U$  (см. табл. 3). При  $z < 0.7$  кулоновский вклад быстро убывает (см. рис. 4) и перестает влиять на структуру. Наоборот, при  $z \geq 1.0$  кулоновская энергия преобладает. Следовательно, условие  $|E_{\text{кул}}| \leq U$  определяет приблизительную границу, за которой кулоновское взаимодействие определяет основные особенности структуры жидкости.

Для двухкомпонентных систем можно ввести средневзвешенные характеристики  $\tilde{\rho}_1$  и  $s$ . Они вычисляются следующим образом [15 - 17]:

$$\begin{aligned}\tilde{\rho}_1 &= \sum x_i x_j \rho_1(ij), \\ y_{ij} &= \rho_{\min}^{-1}(ij) - \rho_1^{-1}(ij), \\ y &= \sum x_i x_j y_{ij}, \\ \tilde{g}_1 &= [\sum x_i x_j g_1^{-1}(ij)]^{-1},\end{aligned}\quad (16)$$

где  $i, j = 1, 2$ . Далее для плотных неупорядоченных систем имеем

$$g_{1p} = 1 + 0.5725 \tilde{y}^{-0.81525} + 0.000366 \tilde{y}^{-3}. \quad (17)$$

Формула для  $g_{1p}$  хорошо работает, если все парциальные высоты  $g_1(ij) \geq 2.0$ . Значения  $s = \tilde{g}_1/g_{1p}$ , рассчитанные по (16), (17), приведены в табл. 3. При  $z \geq 1.4$ , когда все  $g_1(ij) > 2.0$ , получаются значения  $s$ , близкие к 1.0, что характерно для плотных систем. Средневзвешенные координаты  $\tilde{\rho}_1$  при всех значениях  $z$  равны  $1.070 \pm 0.022$ ; это также характерно для плотных структур. Тот факт, что ионные модели некристаллических MgO ( $B_{12} = 1441.2$  эВ), FeO ( $B_{12} = 1900$  эВ) и других оксидов вида MeO имеют плотную структуру, был уже установлен ранее [17].

Таблица 4. Термодинамические функции моделей  $A^{z+}B^{z-}$  при 2000 К

$z$	$\gamma$	$-\delta E_\gamma$	$-\delta A_\gamma$	$T\delta S_\gamma$	$\delta S_\gamma$	$\frac{\delta S_\gamma}{Nk}$	$-\frac{\delta S_{\text{конф}}}{Nk}$
0	0	0	0	0	0	0	3.43
0.1	0.0025	0.9	3.01	2.11	1.05	0.13	3.30
0.2	0.01	11.7	12.89	1.19	0.60	0.07	3.36
0.3	0.0225	31.8	30.94	-0.86	-0.43	-0.05	3.48
0.4	0.04	61.8	58.44	-3.35	-1.68	-0.20	3.63
0.5	0.0625	101.8	96.41	-5.39	-2.69	-0.32	3.75
0.7	0.1225	213.5	202.5	-11.0	-5.50	-0.66	4.09
1.0	0.25	459.7	443.1	-16.6	-8.32	-1.00	4.43
1.4	0.49	941.5	919.7	-21.8	-10.9	-1.31	4.74
2.0	1.00	2032.8	2003.6	-29.2	-14.6	-1.76	5.19

Примечание.  $\delta A_\gamma$ ,  $\delta E_\gamma$  и  $T\delta S$  выражены в кДж/г-ион, а энтропия – в Дж/(г-ион К).

Для системы с парными потенциалами (15) можно применить уравнение (10) с заменой  $\lambda$  на  $\gamma$  и соответственно  $\langle U \rangle$  на  $E_{\text{кул}}$  (см. [22]):

$$\delta A_\gamma = \int_0^\gamma (E_{\text{кул}}/\gamma) d\gamma. \quad (18)$$

Как видно из табл. 3 и рис. 4, отношение  $E_{\text{кул}}/\gamma$  меняется довольно медленно при  $\gamma \geq 0.25$  (т.е.  $z \geq 1$ ) и быстро убывает по абсолютной величине при  $\gamma \rightarrow 0$ . Предел отношения следует оценить экстраполяцией. Согласно теории Дебая–Хюкеля, при малых  $z$  получается  $E_{\text{кул}} \sim z^3$ . Более реальные модели жидкости, например, модель эквивалентной сферы, приводят к зависимостям либо  $E_{\text{кул}} \sim z^3$  [8, 9] (любое число сортов заряженных жестких сфер одного диаметра), либо  $E_{\text{кул}} \sim z^2$  [10] (однокомпонентная система жестких заряженных сфер в нейтрализующем однородном фоне). Наши данные при  $z \leq 0.4$  хорошо спроямляются в координатах  $E_{\text{кул}}/\gamma - z$  (см. рис. 4) и аппроксимируются формулой

$$E_{\text{кул}}, \text{ кДж/г-ион} = -(279.2 + 322.7z)z^2 \quad (19)$$

с коэффициентом корреляции 0.9972. Отсюда при  $z \rightarrow 0$  находим предел  $E_{\text{кул}}/\gamma \rightarrow -1116.8$  кДж/г-ион.

Теперь можно рассчитать интегралы (18) и найти изменения энергии Гельмгольца  $\delta A_\gamma$  при переходе (при постоянных  $B_{ij}$ ,  $V$  и  $T = 2000$  К) от системы незаряженных частиц с потенциалом (3) к ионной системе с потенциалами (15). Метод расчета аналогичен описанному выше. Соответствующие данные для  $\delta A_\gamma$ ,  $\delta E_\gamma = E(\gamma) - E(\gamma=0)$  и  $T\delta S_\gamma = \delta E_\gamma - \delta A_\gamma$  приведены в табл. 4. С ростом зарядов ионов возрастает степень упорядоченности структуры и убывает энтропия жидкости. Небольшое возрастание энтропии в интервале  $0 \leq z \leq 0.2$  обусловлено, видимо, неточностями компьютерного расчета.

Чтобы рассчитать значение конфигурационной энтропии  $\delta S_{\text{конф}} = S - S_{\text{ир}}$  ( $S_{\text{ир}}$  – энтропия идеального газа при тех же параметрах состояния), требуется сложить  $\delta S_i$  системы с  $B = 1500$  эВ из табл. 2 и величины  $\delta S_i$  из табл. 4. Вклад  $Nk \ln 2$  (связанный с переходом к двухкомпонентной системе) добавляется к  $S_{\text{ир}}$ , но не влияет на  $\delta S_{\text{конф}}$ . В итоге получаются величины  $\delta S_{\text{конф}}/Nk$ , приведенные в табл. 4. Мы видим, что переход от нейтральной системы с  $B_{ij} = 1500$  эВ и  $R_{ij} = 29$  пм к ионной системе с  $z = 1$  (типа NaCl) приводит к уменьшению энтропии на 1.00  $Nk$ , а переход к системе с  $z = 2$  – к уменьшению энтропии еще на 0.76  $Nk$ . Включение кулоновского взаимодействия (15) изменяет энтропию в меньшей степени (на 1.76  $Nk$ ), чем включение потенциала (3) (на 3.43  $Nk$  по отношению к состоянию идеального газа).

Итак, примененный выше метод расчета позволяет вычислить значения  $\delta S_{\text{конф}}$  и, зная  $S_{\text{ир}}$ , найти абсолютное значение энтропии ионного соединения. Внутриатомные степени свободы выше не

учитывались. Если же играют роль дополнительные факторы, например, механические моменты атомов и т.п., то их вклады следует добавить к расчетной энтропии. В [26] для реального оксида FeO при 2000 К найдено  $\delta S_{\text{конф}}/Nk = -3.54$ . Интерполяция данных [26] дает для  $B_{12} = 1500$  эВ величину  $\delta S_{\text{конф}}/Nk = -3.32$ . В настоящей же работе получено -5.19. Разность этих величин (1.87  $Nk$ ), видимо, содержит в себе дополнительную энтропию газа ионов  $\text{Fe}^{2+}$  и  $\text{O}^{2-}$ , связанную с внутренними степенями свободы.

## СПИСОК ЛИТЕРАТУРЫ

1. Alblas B.P., van der Lught W., Dijkstra J., van Dijk C. // J. Phys. 1984. V. F14. P. 1995.
2. Takeda S., Tamaki S. // Ibid. 1986. V. F16. P. 285.
3. Tamaki S. // Z. Phys. Chem. Neue Folge. 1988. B. 156. S. 537.
4. Martin W., Freyland W., Lamarter P., Steeb S. // Phys. Chem. Liq. 1980. V. 10. P. 61.
5. Ono S., Yokoyama I. // J. Phys. 1984. V. F14. P. 2909.
6. Derouiche A., Bretonnet J.L. // Phys. Stat. Sol. (b). 1990. V. 157. P. 61.
7. Joarder R.N., Bari A. // Physica. 1986. V. 142B. P. 161.
8. Waisman E., Lebowitz J.L. // J. Chem. Phys. 1970. V. 52. № 8. P. 4307.
9. Waisman E., Lebowitz J.L. // Ibid. 1972. V. 56. № 6. P. 3093.
10. Palmer P.G., Weeks J.D. // Ibid. 1973. V. 58. № 10. P. 4171.
11. Hoshino K., Young W.H. // J. Phys. 1986. V. F16. P. L73.
12. Aniya M., Ginoza M. // J. Phys. Soc. Japan. 1987. V. 56. № 6. P. 2046.
13. Gonzalez D.J., Silbert M. // Z. Phys. Chem. Neue Folge. 1988. B. 156. S. 657.
14. Woodcock L.V., Angell C.A., Cheeseman P. // J. Chem. Phys. 1976. V. 65. № 4. P. 1565.
15. Белащенко Д.К., Грищенко А.Б., Островский О.И. // Металлы. 1991. № 3. С. 47.
16. Белащенко Д.К., Гопенгауз И.Е., Грищенко А.Б., Островский О.И. // Там же. 1991. № 5. С. 47.
17. Белащенко Д.К. // Неорган. материалы. 1992. Т. 28. № 8. С. 1672.
18. Белащенко Д.К. // Металлы. 1989. № 3. С. 136.
19. Brush S.G., Sahlin H.L., Teller E. // J. Chem. Phys. 1966. V. 45. № 6. P. 2102.
20. Hansen J.P., Weis J.J. // Mol. Phys. 1972. V. 23. № 5. P. 853.
21. Verlet L. // Phys. Rev. 1968. V. 165. № 1. P. 201.
22. Белащенко Д.К., Гопенгауз И.Е., Островский О.И. // Журн. физ. химии. 1992. Т. 66. № 7. С. 1753.
23. Carnahan N., Starling K.E. // J. Chem. Phys. 1969. V. 51. № 2. P. 635.
24. Silbert M., Umar I.H., Watabe M., Young W.H. // J. Phys. 1975. V. F5. P. 1262.
25. Hansen J.P. // Phys. Rev. 1973. V. A8. № 6. P. 3096.
26. Белащенко Д.К. // Неорган. материалы. 1993. Т. 29. № 1.

---

 ХИМИЧЕСКАЯ ТЕРМОДИНАМИКА  
 И ТЕРМОХИМИЯ
 

---

УДК 536.7

**МОДЕЛИРОВАНИЕ СТРУКТУРЫ И РАСЧЕТ ТЕРМОДИНАМИЧЕСКИХ СВОЙСТВ НЕКРИСТАЛЛИЧЕСКИХ СИСТЕМ ПРИ ИСПОЛЬЗОВАНИИ ГИБРИДНЫХ ПАРНЫХ ПОТЕНЦИАЛОВ**

© 1993 г. Д. К. Белащенко

Московский институт стали и сплавов

Поступила в редакцию 02.11.92 г.

Доказано несколько теорем, относящихся к структуре и термодинамическим свойствам простых некристаллических (жидких и аморфных) фаз с гибридными парными потенциалами. Методами непрерывной статической релаксации и молекулярной динамики построены три серии моделей при 0 и 2000 К с гибридными потенциалами двух типов (модели содержали по 200 или 1000 частиц в основном кубе с периодическими граничными условиями). Получено хорошее согласие характеристик моделей с теоретическими расчетами. Вычислены изменения конфигурационной энтропии жидкости при переходе от параболического парного потенциала к потенциальному Пака–Доямы.

Теоретическому исследованию структуры и свойств некристаллических (жидких и аморфных) однокомпонентных систем с парным взаимодействием посвящено очень большое число работ. Материал, относящийся к жидкостям, много богаче, так как здесь имеется весьма мощный статистико-механический аппарат. Для аморфных фаз положение хуже, поскольку при низких температурах (и в пределе  $T \rightarrow 0$ ) уравнения теории жидкостей (типа Перкусса–Йевика, гиперсетевого и др.) уже неприменимы. Поэтому значительная часть работ, посвященных теории некристаллических систем, выполняется компьютерными методами – молекулярной динамики (МД) или статической релаксации (СР). При моделировании используются либо относительно простые парные потенциалы (Леннард–Джонса, Гаусса, обратные степенные и т.д.), либо более сложные функции расстояния, рассчитанные, например, псевдопотенциальными методами.

В настоящей работе рассматривается поведение некристаллической системы с гибридным парным потенциалом вида:

$$u(r) = (1 - \lambda)u_1(r) + \lambda u_2(r), \quad (1)$$

где  $u_1(r)$  и  $u_2(r)$  – фиксированные функции межатомного расстояния (граничные парные потенциалы), а  $\lambda$  – варьируемый параметр ( $0 \leq \lambda \leq 1$ ). Можно предположить, что свойства систем с граничными потенциалами уже известны. Задача состоит в том, чтобы предсказать свойства системы с потенциалом (1) в зависимости от параметра  $\lambda$ .

Такая постановка вопроса связана, в частности, с вариационными методами расчета свойств жидкостей, где парный потенциал задается в виде

$$u(r) = u_1(r) + \lambda u_2(r), \quad (2)$$

причем  $\lambda$  – малый параметр. Эти задачи родственные, однако мы не будем считать параметр  $\lambda$  малым.

Ниже будут рассмотрены два различных случая: аморфная фаза при 0 К и равновесная жидкость при температурах, достаточных для ее описания уравнениями классической статистической механики.

**АМОРФНАЯ ФАЗА ПРИ  $T = 0$  К**

Потенциальная энергия аморфной фазы при абсолютном нуле описывается выражением

$$U = 2\pi N \frac{N}{V} \int_0^{\infty} u(r) g(r) r^2 dr, \quad (3)$$

где  $N$  – число частиц в объеме  $V$ ,  $g(r)$  – парная корреляционная функция (ПКФ). Если немного изменить потенциал  $u(r)$ , придав ему вариацию  $\delta u(r)$ , то изменится и ПКФ, получив вариацию  $\delta g(r)$ . Вариация потенциальной энергии при постоянных  $V$  и  $T$  будет равна

$$\delta U = 2\pi N \frac{N}{V} \int_0^{\infty} [\delta u(r) g(r) + \delta g(r) u(r)] r^2 dr. \quad (4)$$

Поскольку при  $T = 0$  К реальная (равновесная) ПКФ минимизирует энергию (вариационный

принцип), то второй интеграл, содержащий  $\delta g(r)$ , должен быть равен нулю, следовательно,

$$\delta U = 2\pi N(N/V) \int_0^\infty \delta u(r) g(r) r^2 dr, \quad (5)$$

причем подразумевается, что ПКФ  $g(r)$  равновесна по отношению к потенциалу  $u(r)$ .

Выберем парный потенциал в виде (1), тогда

$$\delta u(r) = [u_2(r) - u_1(r)]\delta\lambda. \quad (6)$$

Введем обозначения:

$$U_i = 2\pi N(N/V) \int_0^\infty u_i(r) g(r) r^2 dr, \quad (7)$$

где  $i = 1, 2$ , а  $g(r)$  – это ПКФ, равновесная при потенциале (1). Отсюда имеем

$$U = (1 - \lambda)U_1 + \lambda U_2. \quad (8)$$

Значения  $U_1$  и  $U_2$  представляют собой потенциальные энергии системы с реальной ПКФ  $g(r)$ , на которую “наложены” граничные потенциалы  $u_1(r)$  или  $u_2(r)$ . Поскольку ПКФ  $g(r)$  зависит от  $\lambda$ , то величина  $U$  зависит от  $\lambda$  как непосредственно, так и через значения  $U_1$  и  $U_2$ .

Обозначим через  $U'_1$  и  $U'_2$  энергию равновесных аморфных фаз с граничными потенциалами (т.е. при  $\lambda = 0$  и  $1$ ). Из вариационного принципа следует, что  $U_1 > U'_1$  и  $U_2 > U'_2$ . Обозначим далее через  $U'$  энергию фазы, равновесной при граничном потенциале  $u_2(r)$ , но с наложенным на нее потенциалом  $u_1(r)$ ; соответственно введем и величину  $U'_2$ . Очевидно, что  $U'_1 > U'_2$  и  $U'_2 > U'_1$ .

Относительное расположение энергий показано на рис. 1. При изменении  $\lambda$  меняется равновесная ПКФ, т.е. изменяются и энергии  $U_1$  и  $U_2$ , при этом вариации  $\delta U_i$  равны

$$\delta U_i = 2\pi N(N/V) \int_0^\infty u_i(r) \delta g(r) r^2 dr. \quad (9)$$

Отсюда с учетом (1) следует

$$\begin{aligned} (1 - \lambda)\delta U_1 + \lambda\delta U_2 &= \\ &= 2\pi N(N/V) \int_0^\infty u(r) \delta g(r) r^2 dr. \end{aligned} \quad (10)$$

Однако равновесная функция  $g(r)$  минимизирует энергию фазы с потенциалом  $u(r)$ , так что интеграл (10) должен быть равен нулю, поэтому

$$(1 - \lambda)\delta U_1 + \lambda\delta U_2 = 0. \quad (11)$$

Из (8) и (11) следует

$$(\delta U / \delta \lambda)_{V,T} = U_2 - U_1. \quad (12)$$

Выражения (8) и (11) означают, что энергии  $U_1$  и  $U_2$  являются “парциальными” по термодинами-

ческой терминологии, а уравнение (11) – аналог уравнения Гиббса–Дюгема. Поэтому значения  $U_1$  и  $U_2$  при любом  $\lambda$  можно получить, проводя касательную к соответствующей точке кривой  $U(\lambda)$  (см. рис. 1а). Эта касательная отсекает на осях ординат значения  $U_1$  и  $U_2$ . При  $\lambda = 0$  касательной к графику  $U(\lambda)$  является прямая  $U'_1 U'_2$ , а при  $\lambda = 1$  – прямая  $U'_2 U'_1$ .

Уравнение прямой  $U'_1 U'_2$  (рис. 1) имеет вид

$$U_{\text{адд}} = (1 - \lambda)U'_1 + \lambda U'_2.$$

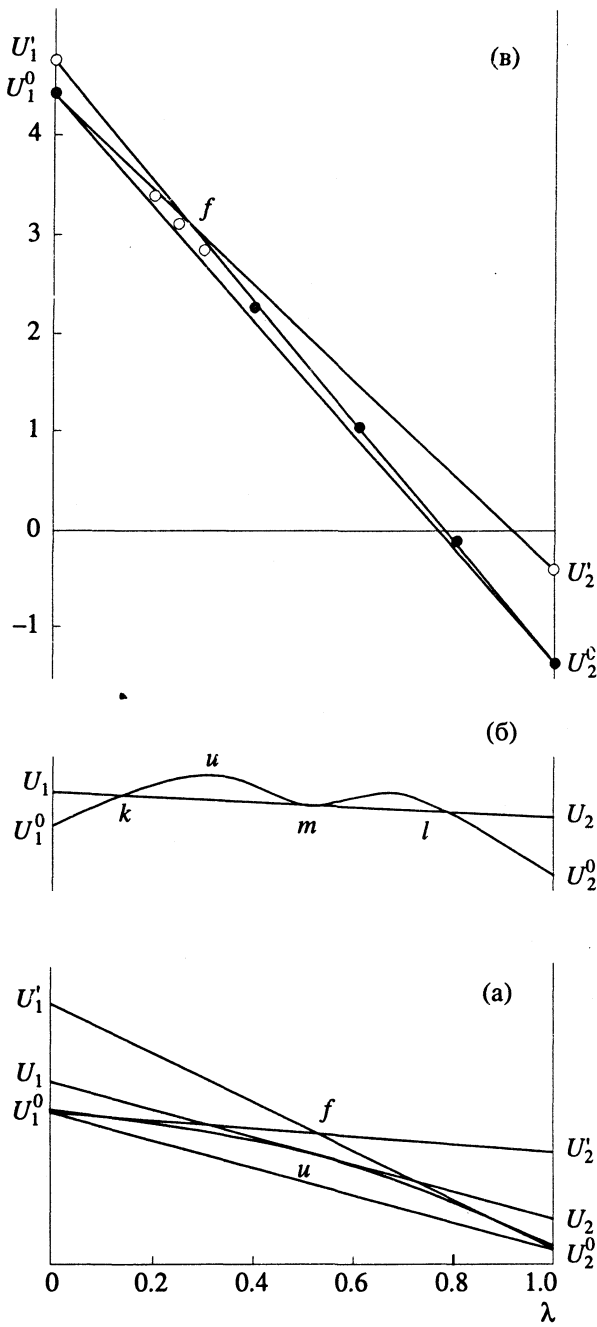
Сопоставим его с выражением (8). Поскольку  $U_1 \geq U'_1$  и  $U_2 \geq U'_2$ , то получаем

$$U \geq U_{\text{адд}}, \quad (13)$$

т.е. график  $U(\lambda)$  должен пройти не ниже прямой  $U'_1 U'_2$ .

Теперь учтем, что линия  $U'_1 U'_2$  представляет, в соответствии с формулой (8), энергию аморфной системы с потенциалом (1) и структурой “граничной” системы, равновесной с потенциалом  $u_1(r)$  (т.е. со структурой равновесной фазы при  $\lambda = 0$ ). Обозначим для краткости структуру этой фазы через STR1, соответственно структуру фазы, равновесной при потенциале  $u_2(r)$ , обозначим через STR2. Переход от ПКФ STR1 к реальной ПКФ (при данном  $\lambda$ ) может только понизить энергию, поэтому фактический график  $U(\lambda)$  должен лежать ниже прямой  $U'_1 U'_2$ . По тем же причинам он должен лежать и ниже прямой  $U'_2 U'_1$ . В результате получается, что график  $U(\lambda)$  равновесной аморфной фазы должен пройти внутри треугольника  $U'_1 f U'_2$ , где  $f$  – точка пересечения прямых  $U'_1 U'_2$  и  $U'_2 U'_1$  (см. рис. 1).

Наконец, можно показать, что график  $U(\lambda)$  должен везде иметь отрицательную вторую производную:  $d^2 U / d\lambda^2 < 0$ . Предположим, что это не так, и график имеет вид, показанный на рис. 1б, так что в окрестности точки  $m$  график  $U(\lambda)$  идет выше касательной  $U_m U_2$ . Любой точке на касательной  $U_m U_2$  отвечают постоянные значения парциальных энергий  $U_1$  и  $U_2$ , соответствующих структуре аморфной фазы в точке  $m$ . Тогда получается, что в интервале значений  $\lambda$  между точками  $k$  и  $l$  реальные ПКФ приводят к более высокой энергии (график  $U(\lambda)$ ), чем ПКФ фазы в точке  $m$ . Это противоречит вариационному принципу. Таким образом, график  $U(\lambda)$  должен всегда идти ниже касательной, проведенной к нему в любой точке, т.е.



**Рис. 1.** Зависимости потенциальной энергии аморфной фазы при 0 К от параметра  $\lambda$ : а – типичный случай; б – к условию  $\partial^2 U / \partial \lambda^2 < 0$ ; в – аморфная фаза с потенциалом  $u''$  (27).

имеет всюду отрицательную вторую производную. График такого типа и показан на рис. 1а.

Разумеется, этот вывод справедлив для равновесных аморфных фаз, находящихся в глобальном минимуме энергии. С точки зрения компьютерного эксперимента, для этого необходимо, чтобы модели аморфных фаз были хорошо отрелаксированы методом непрерывной статической релаксации (HCP).

## ЖИДКАЯ ФАЗА ПРИ $T > 0$ К

Рассмотрим простую жидкость с гибридным потенциалом (1). Потенциальная энергия такой жидкости равна

$$U = \sum_{i < j} u(r_{ij}) = (1 - \lambda) \sum_{i < j} u_1(r_{ij}) + \\ + \lambda \sum_{i < j} u_2(r_{ij}), \quad (14)$$

где  $i, j$  – номера частиц, причем суммы берутся по всем парам частиц. Обозначим первую сумму справа через  $U_1$ , а вторую – через  $U_2$ , тогда

$$U = (1 - \lambda)U_1 + \lambda U_2. \quad (15)$$

Величины  $U_1$  и  $U_2$  аналогичны “парциальным энергиям”  $U_1$  и  $U_2$ , рассмотренным в предыдущем разделе.

Конфигурационный интеграл жидкости можно записать в виде:

$$z_{\text{конф}} = \int \exp \{ -[(1 - \lambda)U_1 + \\ + \lambda U_2] / kT \} dr_1 dr_2 \dots dr_N, \quad (16)$$

где  $N$  – число частиц;  $x_i, y_i, z_i$  – координаты  $i$ -й частицы и  $dr_i = dx_i dy_i dz_i$ . Тогда имеем

$$\left( \frac{\partial \ln z_{\text{конф}}}{\partial \lambda} \right)_{V, T} = \\ = \frac{\int (U_1 - U_2) \exp(-U/kT) dr_1 dr_2 \dots dr_N}{kT z_{\text{конф}}} = \\ = (1/kT) \langle U_1 - U_2 \rangle, \quad (17)$$

где угловые скобки означают среднее по Гиббсу, т.е. термодинамическое значение разности энергий ( $U_1 - U_2$ ), рассчитанных для равновесной структуры. Продифференцируем выражение (17) по  $\lambda$  еще раз:

$$\left( \frac{\partial^2 \ln z_{\text{конф}}}{\partial \lambda^2} \right)_{V, T} = \int (U_1 - U_2)^2 \times \\ \times \exp(-U/kT) dr_1 \dots dr_N / (kT)^2 z_{\text{конф}} - \\ - \langle U_1 - U_2 \rangle^2 / (kT)^2$$

или

$$\left( \frac{\partial^2 \ln z_{\text{конф}}}{\partial \lambda^2} \right)_{V, T} = \frac{1}{(kT)^2} [\langle (U_1 - U_2)^2 \rangle - \\ - \langle U_1 - U_2 \rangle^2]. \quad (18)$$

Учитывая, что конфигурационный вклад в энергию Гельмгольца  $A$  равен  $A_{\text{конф}} = -kT \ln z_{\text{конф}}$ ,

а термический вклад в энергию Гельмгольца не зависит от  $\lambda$ , получаем

$$\begin{aligned} (\partial A / \partial \lambda)_{V,T} &= \langle U_2 - U_1 \rangle, \\ (\partial^2 A / \partial \lambda^2)_{V,T} &= -\frac{1}{kT} [\langle (U_1 - U_2)^2 \rangle - \\ &- \langle U_1 - U_2 \rangle^2]. \end{aligned} \quad (19)$$

Этот результат справедлив, когда параметр  $\lambda$  изменяется при постоянных объеме и температуре. Аналогично работе [1] легко показать, что в случае изменения параметра  $\lambda$  при постоянных давлении и температуре получаются соответствующие выражения для энергии Гиббса:

$$\begin{aligned} (\partial G / \partial \lambda)_{P,T} &= \langle U_2 - U_1 \rangle, \\ (\partial^2 G / \partial \lambda^2)_{P,T} &= -\frac{1}{kT} [\langle (U_1 - U_2)^2 \rangle - \\ &- \langle U_1 - U_2 \rangle^2]. \end{aligned} \quad (20)$$

В квадратных скобках уравнений (19) и (20) записан средний квадрат флуктуации величины  $(U_1 - U_2)$ , поэтому вторые производные энергий Гельмгольца и Гиббса по параметру  $\lambda$  всегда должны быть отрицательными.

При понижении температуры знак производных не меняется, а функция  $A = U + (3/2)NkT - TS$  ( $S$  – энтропия) приближается к потенциальной энергии  $U$ . Таким образом, мы получаем полное согласие с найденным выше равенством (12) для аморфной фазы при  $T = 0$  К. Соответственно неравенство  $(\partial^2 A / \partial \lambda^2)_{V,T} < 0$  переходит в полученное выше  $\partial^2 U / \partial \lambda^2 < 0$  для аморфной фазы при  $T = 0$  К. Эти результаты близко связаны с термодинамической теорией возмущений. Действительно, если вместо парного потенциала (1) выбрать потенциал (2), то вместо соотношения (19) получим

$$(\partial A / \partial \lambda)_{V,T} = \langle U_2 \rangle, \quad (21)$$

или при малых  $\lambda$

$$\Delta A = A(\lambda) - A(\lambda = 0) = \langle \lambda U_2 \rangle. \quad (22)$$

Это означает, что при включении малого возмущения  $\lambda u_2(r)$  энергия Гельмгольца изменяется на величину энергии возмущения, рассчитанной на невозмущенной системе. Полученный результат хорошо известен и является основой довольно часто применяемого в теории жидкостей неравенства Гиббса–Боголюбова [2, 3].

Поведение энергии жидкости с потенциалом (1) и ее энергии Гельмгольца в зависимости от параметра  $\lambda$  можно изобразить графически (см. рис. 2). Обозначим через  $A_1^0$  и  $A_2^0$  энергии Гельмгольца равновесных жидкостей с граничными потенциалами  $u_1(r)$  и  $u_2(r)$  (т.е. STR1 и STR2); через  $U_1^0$  и  $U_2^0$  – потенциальные энергии этих жидкостей; через  $U_1'$  – потенциальную энергию жидкости со

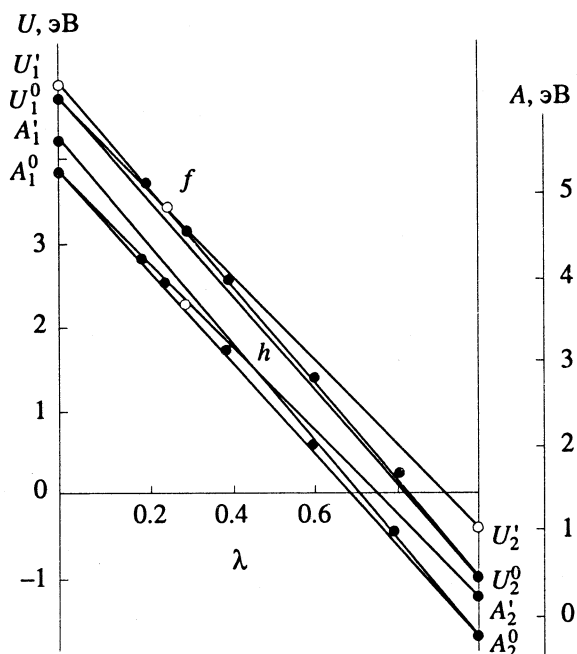


Рис. 2. Зависимости энергии Гельмгольца и потенциальной энергии жидкости от параметра  $\lambda$ . Парный потенциал  $u''$  (27), 2000 К.

структурой STR2, но при мгновенном (адиабатическом) наложении потенциала  $u_1(r)$ ; а через  $U_2'$  – потенциальную энергию жидкости со структурой STR1, но при адиабатическом наложении потенциала  $u_2(r)$ . Соответственно можно ввести энергии Гельмгольца  $A_1'$  и  $A_2'$ , относящиеся к жидкостям с парными потенциалами  $u_1(r)$  и  $u_2(r)$ , но со структурами соответственно STR2 и STR1. Поскольку реальная (фактическая) структура при фиксированном парном потенциале минимизирует энергию Гельмгольца, то  $A_1^0 < A_1'$  и  $A_2^0 < A_2'$ .

Из уравнения (19) следует, что при возрастании  $\lambda$  от нуля график  $A(\lambda)$  выходит из точки  $A_1^0$ , имея касательную, параллельную прямой  $U_1^0 U_2^0$ . Соответственно при стремлении  $\lambda$  к единице график  $A(\lambda)$  входит в точку  $A_2^0$ , имея касательную, параллельную прямой  $U_2^0 U_1'$ . Условие же (20) – аналогично случаю аморфной фазы при абсолютном нуле – приводит к тому, что график зависимости  $A(\lambda)$  при постоянных  $V, T$  должен проходить внутри треугольника  $A_1^0 h A_2^0$  на рис. 2. Из условия  $(\partial^2 A / \partial \lambda^2)_{V,T} < 0$  следует также, что разность  $\langle U_2 - U_1 \rangle$  при увеличении  $\lambda$  монотонно убывает.

Однако теперь уже нет оснований утверждать, что потенциальная энергия  $U$  лежит внутри

**Таблица 1.** Характеристики аморфных фаз с потенциалом  $u'(r)$  (27) при 0 К (эВ)

$\lambda$	$-U_1/N$	$U_2/N$	$U/N$	$pV/N$
0	7.0141	4.7626	-7.0141	-0.30816
0.2	7.0197	4.6483	-4.6832	-0.00700
0.4	7.0059	4.6491	-2.3419	0.39411
0.6	7.0174	4.6055	-0.0449	0.77977
0.8	7.0039	4.6105	2.2851	1.17919
1.0	6.9786	4.6751	4.6751	1.59870

**Таблица 2.** Характеристики структуры моделей, приведенных в табл. 1 ( $\rho_1 = 1.075$ )

$\lambda$	$\rho_{\min}$	$g(\rho_1)$	$\rho_{12}$	$\rho_2$	$g(\rho_2)$
0	1.023	7.38	1.45	1.95	-
0.2	1.000	7.10	1.42	1.92	1.45
0.4	1.000	6.92	1.35	1.92	1.62
0.6	1.000	6.65	1.45	1.87	1.61
0.8	1.000	6.71	1.42	1.87	1.58
1.0	1.000	5.24	1.40	1.92	1.58

треугольника  $U_1^0 f U_2^0$  (см. рис. 2). Поскольку  $A = U - TS$ , то вопрос связан со свойствами энтропии  $S$ , а именно с тем, как она ведет себя при адабатическом переключении жидкости с одного парного потенциала на другой, но при неизменной структуре. Если такая "неравновесная" энтропия определяется только структурой, то при адабатических переключениях потенциала она остается постоянной, а функции  $A$  и  $U$  изменяются на одну и ту же величину. В этом случае прямая  $A_1^0 A_2'$  представляет собой энергию Гельмгольца жидкости с потенциалом (1), но с неизменной структурой STR1. Соответственно прямая

$A_2^0 A_1'$  описывает энергию Гельмгольца жидкости с потенциалом (1) и со структурой STR2. Тогда из попадания точки для энергии Гельмгольца в треугольник  $A_1^0 h A_2^0$  не следует попадание точки для энергии в треугольник  $U_1^0 f U_2^0$  (см. рис. 2), поскольку прямые  $U_1^0 U_2'$  и  $U_2^0 U_1'$  вообще не обязаны пересекаться в интервале  $0 \leq \lambda \leq 1$ . Этот случай может встретиться, если вклады  $TS$  фаз со структурами STR1 и STR2 сильно отличаются друг от друга.

Если бы энергия Гельмгольца изменялась в зависимости от  $\lambda$  линейно (по прямой  $A_1^0 A_2^0$  на рис. 2), то в силу соотношения  $S = -(\partial A / \partial T)_V, \lambda$  также линейно менялась бы и энтропия  $S(\lambda)$ . То же самое будет наблюдаться, когда разности  $(U_1 - U_1^0)$

и  $(U_2 - U_2^0)$  не зависят от температуры. В противном случае к аддитивной части энтропии должны добавляться вклады, пропорциональные производным этих разностей по температуре.

Следует добавить, что выводы относительно поведения энергии Гельмгольца при постоянных  $V, T$  переходят в соответствующие результаты для энергии Гиббса в случае изменения параметра  $\lambda$  при постоянных давлениях и температуре [1].

## КОМПЬЮТЕРНЫЙ ЭКСПЕРИМЕНТ ПРИ АБСОЛЮТНОМ НУЛЕ

Для проверки полученных выше результатов были построены три серии моделей с гибридными потенциалами вида (1). В качестве граничных были выбраны следующие функции:

потенциал Леннард-Джонса

$$u_{10}(r) = 4\epsilon[(\sigma/r)^{12} - (\sigma/r)^6] \quad (23)$$

$\epsilon = 1$  эВ и  $\sigma = 0.16453$  нм;

обратный степенной потенциал

$$u_{20}(r) = \epsilon(r_0/r)^6 \quad (24)$$

с  $\epsilon = 1$  эВ и  $r_0 = 0.18468$  нм;

параболический потенциал

$$u_{30}(r) = \begin{cases} \epsilon(3.44 - r/r_c)^2 & \text{при } r \leq r_c \\ 0 & \text{при } r > r_c \end{cases} \quad (25)$$

с  $\epsilon = 1$  эВ и  $r_c = 0.1$  нм;

потенциал Пака–Доямы

$$u_{40}(r) = \begin{cases} 0.188917(r/r_0 - 1.82709)^4 + \\ + 1.70192(r/r_0 - 2.50849)^2 - \\ - 0.198294 \text{ эВ} & \text{при } r/r_0 \leq 3.44 \\ 0 & \text{при } r/r_0 > 3.44 \end{cases} \quad (26)$$

с  $r_0 = 0.1$  нм.

Использовали два гибридных потенциала:

$$u'(r) = (1 - \lambda) u_{10}(r) + \lambda u_{20}(r), \quad (27)$$

$$u''(r) = (1 - \lambda) u_{30}(r) + \lambda u_{40}(r).$$

В случае потенциала  $u'(r)$  модели содержали по 200 частиц, помещенных в основной куб с периодическими граничными условиями. Длина ребра куба равнялась 1.0 нм. В случае же потенциала  $u''(r)$  модели содержали по 1000 частиц в кубе с длиной ребра 2.270 нм. При этом плотность числа частиц соответствовала аморфному железу.

Парные потенциалы  $u_{10}, u_{20}, u_{30}$  и  $u_{40}$  различаются довольно сильно. Аморфные фазы с этими потенциалами были ранее исследованы методом НСР соответственно в работах [4–7]. Потенциал  $u_{30}$  имеет разрывную вторую производную и при-

водит к ПКФ аномальной формы [6]. Потенциал Пака–Доямы  $u_{40}$  хорошо описывает структуру жидкого и аморфного железа [7].

При построении моделей методом НСР исходное состояние было случайным. Шаг НСР вначале равнялся 50 пм и постепенно уменьшался до 1 - 2 пм. Энергия системы в процессе НСР непрерывно снижалась, пока не переставала изменяться в первых пяти знаках. В процессе релаксации рассчитывали ПКФ, вклады в энергию  $U_1$  и  $U_2$ , а также произведение  $pV$ . Результаты расчетов системы с парным потенциалом  $u'(r)$  приведены в табл. 1, а ПКФ моделей показаны на рис. 3. Структурные характеристики изображены в зависимости от безразмерной координаты  $\rho = r(N/V)^{1/3}$ . Значения  $U_1$  и  $U_2$  изменяются в зависимости от  $\lambda$  очень мало, что обусловлено близостью структур STR1 и STR2, отвечающих потенциалам  $u_{10}(r)$  и  $u_{20}(r)$ . Координаты первых пиков ПКФ  $\rho_1$  и минимальные межатомные расстояния  $\rho_{\min}$  не зависят от  $\lambda$  (см. табл. 2), мало меняются координаты первого минимума ( $\rho_{12}$ ) и второго максимума ( $\rho_2$ ) ПКФ. С ростом  $\lambda$  заметно меняется (убывает) только высота первого пика  $g(\rho_1)$ , а также сглаживается расщепление второго пика. Данные по структуре граничных аморфных фаз согласуются с результатами работ [4, 5].

Из табл. 1 видно, что значения  $U_1$  и  $U_2$  немного колеблются при изменении  $\lambda$ , видимо, в связи с неполным достижением равновесия, однако, неравенства  $U'_1 > U^0_1$  и  $U'_2 > U^0_2$  выполняются. Поскольку  $d^2U/d\lambda^2 < 0$ , то зависимости  $U_1(\lambda)$  и  $U_2(\lambda)$  должны быть монотонными. Как видно из табл. 1, нарушения монотонности составляют в среднем 0.01 эВ, т.е. 0.14% по отношению к разности  $(U^0_2 - U^0_1)$ . Для  $U_2$  эта величина составляет ~1%. График  $U(\lambda)$  практически совпадает с аддитивной прямой  $U^0_1 + U^0_2$ , и отклонения от нее не превышают 0.05%.

В табл. 3, 4 приведены характеристики аморфных фаз с парными потенциалами  $u''(r)$ . Соответствующие ПКФ показаны на рис. 4. Здесь форма ПКФ зависит от  $\lambda$  гораздо сильнее, переходя от аномальной при  $\lambda = 0$  к обычной, характерной для аморфных  $d$ -металлов, при  $\lambda = 1$ . Тем не менее, парциальная энергия  $U_1$  очень слабо (но монотонно) возрастает с увеличением  $\lambda$ . Энергия  $U_2$  зависит от  $\lambda$  очень сильно, но также монотонно. Видимо, монотонность изменения  $U_1$  и  $U_2$  (в отличие от моделей с потенциалом  $u'(r)$ ) связана с большим числом частиц в системе (1000) и более полным достижением состояния равновесия.

График зависимости  $U(\lambda)$  для потенциала  $u''(r)$  показан на рис. 1. Он полностью соответствует теоретическим выводам для аморфной фазы при 0 К (см. выше). Отклонения от аддитивной прямой здесь больше, чем у потенциала  $u'(r)$ , и

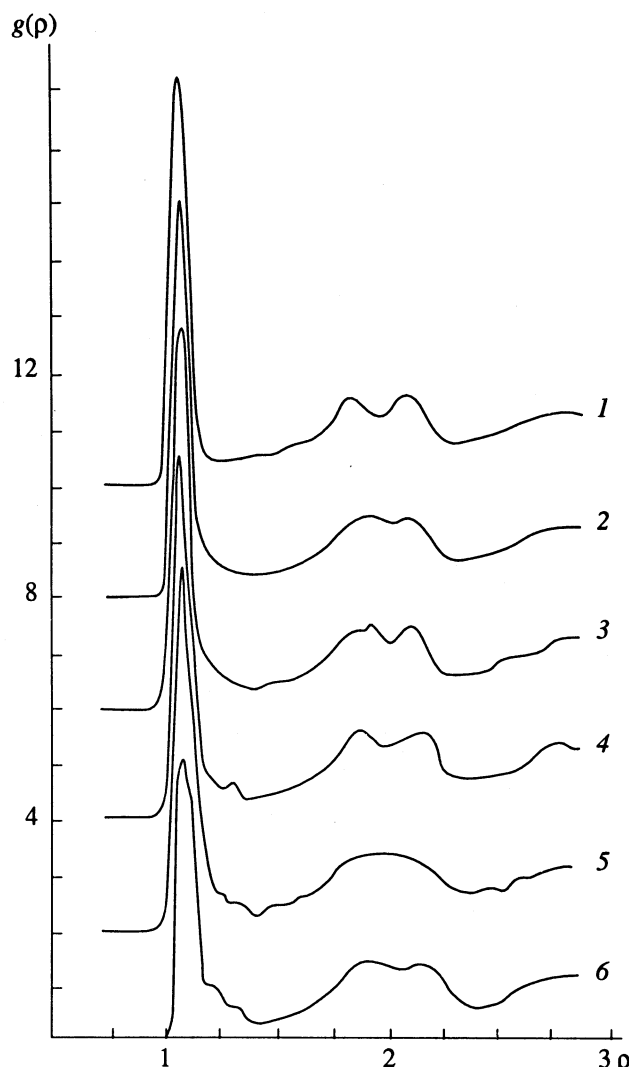


Рис. 3. Парные корреляционные функции моделей аморфных фаз с потенциалом  $u'(r)$  (27) при 0 К и различных значениях параметра  $\lambda$ : 1 – 0, 2 – 0.2, 3 – 0.4, 4 – 0.6, 5 – 0.8, 6 – 1.0.

достигают 2.7% от разности  $(U^0_1 - U^0_2)$ . При  $\lambda \leq 0.2$  зависимость  $U(\lambda)$  близка к прямой  $U^0_1 + U^0_2$ . Это означает, что при  $\lambda \leq 0.2$  структура модели близка к структуре STR1, а при  $\lambda \geq 0.4$  – к структуре STR2. Данный вывод подтверждается при анализе формы ПКФ (рис. 4). Следовательно, в интервале  $\lambda = 0.25 - 0.30$  наблюдается довольно быстрый переход от аномальной структуры потенциала  $u_{30}$  к нормальной структуре аморфного железа. Указанный переход происходит в окрестности точки  $f$  – точки пересечения прямых  $U^0_1 + U^0_2$  и  $U^0_2 + U^0_1$  (см. рис. 1).

Итак, при большом различии структур фаз с граничными потенциалами (STR1 и STR2) можно

**Таблица 3.** Характеристики аморфных фаз с потенциалом  $u''(r)$  (27) при 0 К (эВ)

$\lambda$	$U_1/N$	$-U_2/N$	$U/N$	$pV/N$
0	4.4748	0.4698	4.4748	3.1332
0.2	4.5037	0.7847	3.4460	2.6082
0.25	4.5541	1.0167	3.1613	2.5447
0.3	4.5939	1.1268	2.8775	2.4220
0.4	4.6673	1.2912	2.2836	2.1481
0.6	4.7250	1.3651	0.0702	1.4881
0.8	4.7476	1.3791	-0.1537	0.8036
1.0	4.7676	1.3802	-1.3802	0.1229

ожидать наличия структурных переходов в области пересечения прямых  $U_1^0 U_2'$  и  $U_2^0 U_1'$ .

### КОМПЬЮТЕРНЫЙ ЭКСПЕРИМЕНТ ПРИ 2000 К

Методом МД была построена при 2000 К серия моделей с парными потенциалами  $u''(r)$ . Каждая модель содержала 1000 частиц в кубе. Длина ребра куба равнялась 2.27 нм. Модели, построенные выше методом НСР, нагревали до 2000 К и отжигали несколько сот шагов. Применялся ал-

горитм Верле. Полученные ПКФ показаны на рис. 5, а характеристики моделей даны в табл. 5, 6. Символы  $E_{\text{кин}}$  и  $E$  обозначают кинетическую и полную энергию. При 2000 К форма ПКФ жидкой фазы при малых  $\lambda$  уже не столь аномальна, однако, высота первого пика относительно невелика. Энергии  $U_1$  и  $U_2$  по-прежнему изменяются в зависимости от  $\lambda$  монотонно (табл. 5), так же ведет себя и полная энергия.

По этим данным можно рассчитать энергию Гельмгольца жидкости. Интегрируя первое уравнение (19), находим

$$\delta A_\lambda = A(\lambda) - A(\lambda = 0) = \int_0^\lambda (U_2 - U_1) d\lambda. \quad (28)$$

Значения  $(U_2 - U_1)/N$ , приведенные в табл. 5, можно аппроксимировать параболой

$$(U_2 - U_1)/N = -5.24183 - 1.00225\lambda + 0.32366\lambda^2. \quad (29)$$

Интегрируя (28) с учетом (29), находим значения  $\delta A_\lambda$ , приведенные в табл. 7. По величинам  $\delta A_\lambda$  и  $\delta E_\lambda = E(\lambda) - E(\lambda = 0)$  можно рассчитать изменения энтропии жидкости  $\delta S_\lambda = S(\lambda) - S(\lambda = 0)$ :

$$T\delta S_\lambda = \delta E_\lambda - \delta A_\lambda. \quad (30)$$

Как видно из табл. 7, при переходе от потенциала  $u_{30}(r)$  к  $u_{40}(r)$  энтропия уменьшается довольно за-

**Таблица 4.** Структурные характеристики моделей, приведенных в табл. 3

$\lambda$	$\rho_{\min}$	$\rho_1$	$g(\rho_1)$	$\rho_{12}$	$\rho_2$	$g(\rho_2)$	$\kappa_1$	$a(\kappa_1)$
0	0.625	—	—	1.57	2.15	1.34	6.36	2.94
0.2	0.750	—	—	1.62	2.14	1.34	6.58	2.96
0.25	0.825	1.022	2.07	1.57	2.12	1.47	6.81	3.38
0.3	0.850	1.075	2.38	1.55	2.07	1.50	7.04	3.61
0.4	0.875	1.075	2.93	1.55	2.05	1.44	7.04	4.07
0.6	0.900	1.100	3.52	1.50	1.87	1.41	7.26	4.13
0.8	0.900	1.100	3.57	1.50	1.87	1.50	7.26	4.16
1.0	0.925	1.100	3.82	1.50	1.85	1.47	7.26	4.12

Примечание.  $\kappa_1 = K_1 d_0$  – безразмерная координата первого пика структурного фактора  $a(K)$ ,  $a(\kappa_1)$  – его высота,  $d_0 = (V/N)^{1/3}$

**Таблица 5.** Характеристики жидких фаз с потенциалом  $u''(r)$  (27) при 2000 К (эВ)

$\lambda$	$E_{\text{кин}}/N$	$U_1/N$	$-U_2/N$	$U/N$	$E/N$	$pV/N$	$-(U_2 - U_1)/N$
0	0.2589	4.7820	0.4585	4.7820	5.0409	8.2020	5.2405
0.2	0.2584	4.7953	0.6369	3.7066	3.9650	6.8186	5.4322
0.25	0.2584	4.7985	0.6759	3.4310	3.6894	6.4380	5.4744
0.3	0.2584	4.7980	0.7196	3.1437	3.4021	6.0860	5.5176
0.4	0.2584	4.8083	0.7700	2.5776	2.8360	5.3360	5.5783
0.6	0.2584	4.8358	0.8949	1.3975	1.6558	3.8230	5.7306
0.8	0.2584	4.8628	0.9758	0.1919	0.4504	2.2440	5.8385
1.0	0.2584	4.8849	1.0342	-1.0342	-0.7758	0.6209	5.9191

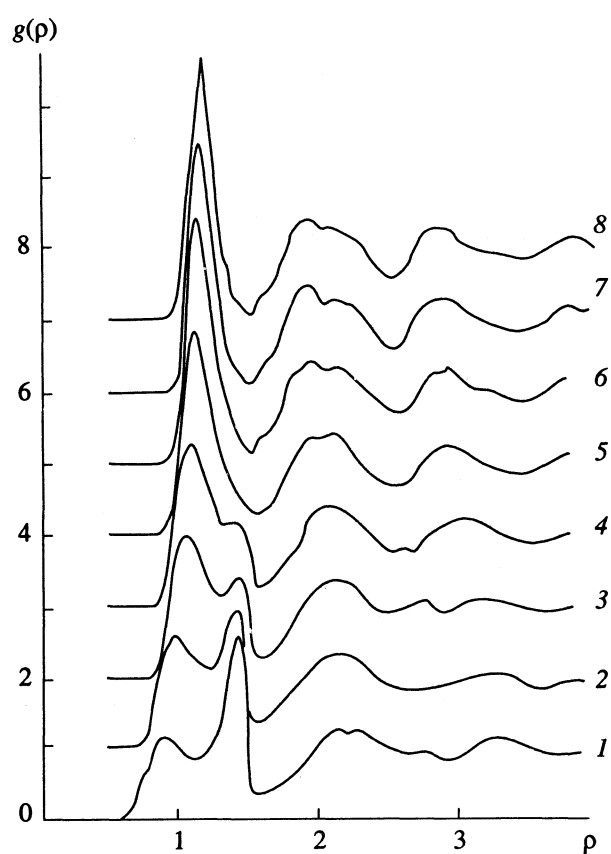


Рис. 4. Парные корреляционные функции моделей аморфных фаз с потенциалом  $u''(r)$  (27) при 0 К и различных значениях параметра  $\lambda$ : 1 - 0, 2 - 0.2, 3 - 0.25, 4 - 0.3, 5 - 0.4, 6 - 0.6, 7 - 0.8, 8 - 1.0.

метно, что согласуется с соответствующим ростом высоты первого пика ПКФ (см. рис. 5).

В работе [7] для модели жидкого железа с потенциалом  $u_{40}(r)$  при используемой нами плотности и 2000 К получено значение конфигурационной энтропии  $S_{\text{конф}}/Nk = -3.096 \pm 0.018$ . С учетом данных табл. 7 рассчитаем  $S_{\text{конф}}/Nk$  при всех  $\lambda$  от 0 до 1 (см. табл. 7). Переход от потенциала  $u_{40}$  к  $u_{30}$  приводит к росту энтропии на  $1.06 R$  в расчете на моль.

Теперь можно рассчитать конфигурационный вклад в энергию Гельмгольца

$$A_{\text{конф}} = E - TS_{\text{конф}} = E - T(S - S_{\text{ир}}), \quad (31)$$

где  $S_{\text{ир}}$  – энтропия идеального газа при тех же значениях  $V$  и  $T$ . Величины полной энергии взяли из табл. 5, а энтропии – из табл. 7. Полученные  $A_{\text{конф}}$  приведены в табл. 7 и на рис. 2. Видно, что график  $A_{\text{конф}}(\lambda)$  действительно расположен в пределах треугольника  $A_1 h A_2$  и ведет себя в полном соответствии с теорией для жидкой фазы при  $T > 0$  К (см. выше).

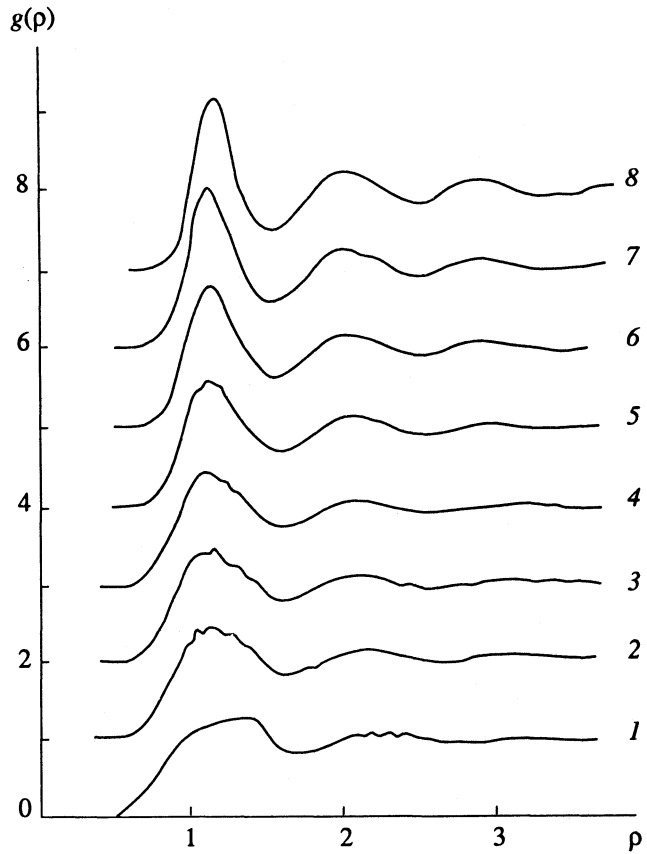


Рис. 5. Парные корреляционные функции моделей жидких фаз с потенциалом  $u''(r)$  (27) при 2000 К и различных значениях параметра  $\lambda$ ; 1 - 8 – см. рис. 4.

#### ПРЕДСКАЗАНИЕ ТЕРМОДИНАМИЧЕСКИХ СВОЙСТВ НЕКРИСТАЛЛИЧЕСКИХ ФАЗ С ГИБРИДНЫМИ ПАРНЫМИ ПОТЕНЦИАЛАМИ

Рассмотрим, например, аморфную фазу с парным потенциалом

$$u(r) = (1 - \lambda)\varepsilon/\rho^4 + \lambda\varepsilon/\rho^{16}. \quad (32)$$

Значения энергий аморфных фаз с потенциалами  $\varepsilon\rho^{-6}$  и  $\varepsilon\rho^{-16}$  при  $T = 0$  К рассчитаны в работе [8]:

Таблица 6. Структурные характеристики моделей, приведенных в табл. 5

$\lambda$	$\rho_{\min}$	$\rho_1$	$g(\rho_1)$	$\rho_{12}$	$\rho_2$	$g(\rho_2)$
0	0.425	–	1.33	1.67	2.40	1.07
0.2	0.425	1.050	1.42	1.67	2.11	1.11
0.25	0.425	1.096	1.44	1.60	2.13	1.11
0.3	0.550	1.075	1.55	1.55	2.12	1.12
0.4	0.550	1.096	1.65	1.60	2.07	1.14
0.6	0.575	1.075	1.92	1.52	2.07	1.20
0.8	0.600	1.075	2.09	1.52	2.00	1.25
1.0	0.650	1.075	2.25	1.50	1.92	1.28

**Таблица 7.** Энергии Гельмгольца и энтропии жидкостей с потенциалом  $u''(r)$  (27) при 2000 К (значения энергий даны в эВ на частицу;  $k$  – постоянная Больцмана)

$\lambda$	$-\frac{\delta E_\lambda}{N}$	$-\frac{\delta A_\lambda}{N}$	$-\frac{T\delta S_\lambda}{N}$	$-\frac{\delta S_\lambda}{Nk}$	$-\frac{\delta S_{\text{конф}}}{Nk}$	$A_{\text{конф}}$
0	0	0	0	0	2.04	5.393
0.2	1.0759	1.0675	0.0083	0.048	2.09	4.325
0.25	1.3515	1.3401	0.0114	0.066	2.11	4.053
0.3	1.6388	1.6147	0.0240	0.140	2.18	3.778
0.4	2.2049	2.1700	0.0349	0.202	2.24	3.223
0.6	3.3851	3.3022	0.0829	0.481	2.52	2.090
0.8	4.5905	4.4589	0.1316	0.764	2.81	0.934
1.0	5.8167	5.6351	0.1816	1.054	3.10	-0.242

$U_1^0 = 7.8099\epsilon$  и  $U'_1 = 7.8191\epsilon$ ,  $U_2^0 = 1.2613\epsilon$  и  $U'_2 = 1.2956\epsilon$ . Прямые  $U_1^0 U'_2$  и  $U_2^0 U'_1$  пересекаются в точке  $f$  (рис. 1) при  $\lambda = 0.2115$ , и в этой точке  $U = 6.4321\epsilon$ . Аддитивное значение энергии в указанной точке  $U = 6.4249\epsilon$ . Следовательно, максимальное возможное отклонение потенциальной энергии от аддитивной прямой составляет всего 0.11%. Фактическое значение энергии должно лежать между 6.4249 $\epsilon$  и 6.4321 $\epsilon$ .

Ясно, что величины  $U'_1$  и  $U'_2$  должны быть конечными. Поэтому жесткосферный потенциал нельзя использовать в качестве граничного в том случае, когда диаметр жесткой сферы больше минимального межатомного расстояния, отвечающего второму граничному потенциалу. Если же он меньше этого расстояния, то жесткосферный

потенциал вообще не оказывает никакого влияния на структуру некристаллической фазы.

#### СПИСОК ЛИТЕРАТУРЫ

1. Белащенко Д.К., Гопенгауз И.Е., Островский О.И. // Журн. физ. химии. 1992. Т. 66. № 7. С. 1753.
2. Ishihara A. // J. Phys. A. (Proc. Phys. Soc.). 1968. Ser. 2. V. 1. P. 539.
3. Крокстон К. Физика жидкого состояния. М.: Мир, 1978. 400 с.
4. Белащенко Д.К. // Изв. вузов. Черная металлургия. 1986. № 9. С. 81.
5. Белащенко Д.К. // Физ. металлов и металловедение. 1987. Т. 63. № 4. С. 665.
6. Белащенко Д.К. // Расплавы. 1990. № 4. С. 91.
7. Белащенко Д.К. // Журн. физ. химии. 1987. Т. 61. № 12. С. 3166.
8. Белащенко Д.К. // Расплавы. 1990. № 1. С. 21.

---

**ХИМИЧЕСКАЯ ТЕРМОДИНАМИКА  
И ТЕРМОХИМИЯ**


---

УДК 541.123.4.737.2

## РАВНОВЕСИЕ КРИТИЧЕСКОЙ ФАЗЫ С ПАРОМ В ТРЕХКОМПОНЕНТНЫХ СИСТЕМАХ

© 1993 г. А. Н. Горбунов

*Научно-исследовательское предприятие гиперзвуковых систем, Санкт-Петербург*

Поступила в редакцию 13.11.92 г.

Из уравнений, определяющих условие гетерогенного равновесия в тройных трехфазных системах при постоянной температуре, путем их преобразования получены соотношения для критической точки, связывающие дифференциальные характеристики (в виде первых производных) линии состава пара и бинодали на концентрационном треугольнике. Соотношения содержат только мольные доли компонентов и их первые производные. В этом состоит их отличие от уравнений классической теории критических явлений. Некоторые соотношения имеют форму неравенств, ограничивающих значения этих производных величинами молярных долей компонентов в паре и применимых также в некоторой окрестности критической точки. Эти ограничения допускают простую геометрическую интерпретацию. В практическом аспекте полученные соотношения могут быть использованы для предсказаний локальных элементов фазовых диаграмм, а также для корректировки результатов эксперимента.

Равновесие между жидкостью и паром, обладающим свойствами идеального газа, в трехкомпонентных системах при постоянной температуре определяется уравнением [1, 2]

$$d\ln p + \sum_{i=1}^3 x_i d\ln y_i = 0, \quad T = \text{const}, \quad (1)$$

где  $p$  – общее давление пара,  $x_i$  – мольная доля компонента  $A_i$  в жидкости,  $y_i$  – мольная доля этого же компонента в паре,  $T$  – температура гетерогенной системы. В тех случаях, когда жидкость расслаивается, образуя две фазы в трехфазной системе, условие равновесия выражается системой двух уравнений (1), каждое из которых относится к одной из конденсированных фаз гетерогенной системы и поэтому записано в переменных состава этой гомогенной жидкости, равновесной с общим для обеих фаз паром:

$$d\ln p + \sum_{i=1}^3 x_i^{(r)} d\ln y_i = 0, \quad (2)$$

$$T = \text{const} \quad (r = 1, 2),$$

где  $r$  – индекс жидкой фазы  $C_r$ .

Равенства (2) являются дифференциальными только относительно переменных пары. Но если допустить достаточную гладкость функции, описывающей расположение изотермической бинодали на концентрационном треугольнике в окрестности конечной критической точки, то в результате предельного перехода в критической точке из соотношений (2) можно найти взаимосвязь между дифференциалами  $dx_i$  и  $dy_i$ , отражающими локальные свойства бинодали и изотермы составов пара в критической точке бинодали. Это означает,

что для нахождения таких взаимозависимостей в районе критической точки можно не прибегать к преобразованию Лежандра или, что почти равносильно, к интегрированию уравнений (2) по частям.

Предполагаем, что в конечной критической точке не только  $x_i^{(1)} = x_i^{(2)} = x_i^{(K)}$  для всех  $A_i$ , но и  $dx_i^{(1)} = dx_i^{(2)} = dx_i^{(K)}$  вдоль линии трехфазного равновесия (верхний индекс  $K$  указывает, что величины относятся только к критической фазе или точке), и следовательно, она не является точкой разрыва относительно производных вида  $dx/dx_i$ . Исключая из системы (2) переменные  $p$  и  $x_3^{(r)}$ , с учетом одного из тождеств

$$\sum_{i=1}^3 x_i^{(r)} = 1, \quad \sum_{i=1}^3 dx_i^{(r)} = 0, \quad (3)$$

$$\sum_{i=1}^3 y_i = 1, \quad \sum_{i=1}^3 dy_i = 0 \quad (r = 1, 2),$$

получим

$$\left[ d\ln \frac{y_1}{y_3} / d\ln \frac{y_2}{y_3} \right]_T = - \frac{x_2^{(1)} - x_2^{(2)}}{x_1^{(1)} - x_1^{(2)}}. \quad (4)$$

Используя (3), с учетом условия  $y_3 \neq 0$  преобразуем левую часть (4) к следующему виду:

$$\left[ d\ln \frac{y_1}{y_3} / d\ln \frac{y_2}{y_3} \right]_T \equiv \frac{\left( \frac{dy_2}{dy_1} \right)_T + \frac{1-y_2}{y_1}}{\frac{1-y_1}{y_2} \left( \frac{dy_2}{dy_1} \right)_T + 1}. \quad (5)$$

Согласно принятому допущению, бинодаль является гладкой кривой и в окрестности

критической точки. Поэтому на ней предельное расположение ноды нулевой протяженности совпадает по направлению с касательной к изотермической бинодали в ее критической точке. В частности, из этого условия и в соответствии с теоремой о среднем Лагранжа следует, что в ближайшей окрестности конечной критической точки (здесь и в дальнейшем имеются в виду критические точки только именно такого типа) ноды жидкость–жидкость всегда расположены практически параллельно касательной к бинодали в этой точке. Именно поэтому и вследствие того, что величины  $x_i^{(r)}$  с учетом условия равновесия стремятся к  $x_i^{(K)}$  зависимо, правая часть равенства (4) допускает переход к пределу в критической точке на гладкой бинодали:

$$\lim_{x_i^{(r)} \rightarrow x_i^{(K)}} \frac{x_2^{(1)} - x_2^{(2)}}{x_i^{(K)} x_1^{(1)} - x_1^{(2)}} = \left( \frac{dx_2}{dx_1} \right)_T^{(K)} \quad (r = 1, 2). \quad (6)$$

Из (4) и (6) находим, что

$$\left( \frac{dx_2}{dx_1} \right)_T^{(K)} = - \left[ \frac{d \ln(y_1/y_3)}{d \ln(y_2/y_3)} \right]_T^{(K)}. \quad (7)$$

Кроме того, из (5) и (7) следует, что существуют развернутые и взаимозависимые формы уравнения (7):

$$\left( \frac{dx_2}{dx_1} \right)_T^{(K)} = - \left[ \frac{\left( \frac{dy_2}{dy_1} \right)_T + \frac{1-y_2}{y_1}}{\frac{1-y_1}{y_2} \left( \frac{dy_2}{dy_1} \right)_T + 1} \right]^{(K)}, \quad (8)$$

$$\left( \frac{dy_2}{dy_1} \right)_T^{(K)} = - \left[ \frac{\left( \frac{dx_2}{dx_1} \right)_T + \frac{1-y_2}{y_1}}{\frac{1-y_1}{y_2} \left( \frac{dx_2}{dx_1} \right)_T + 1} \right]^{(K)}. \quad (9)$$

Соотношения (8), (9) налагают связь в критической точке на дифференциальные характеристики (величины наклона касательных) бинодали и линии состава пара при постоянстве температуры системы.

Уравнение (7) при его преобразовании с учетом одного из тождеств (3) допускает представление в виде равной нулю билинейной формы относительно  $dx_i$  (или  $d \ln x_i$ ) и  $d \ln y_i$  с диагональной (симметрической) квадратной матрицей:

$$\sum_{i=1}^3 dx_i^{(K)} d \ln y_i^{(K)} = 0 \quad \text{или} \quad (10)$$

$$\sum_{i=1}^3 x_i^{(K)} d \ln x_i^{(K)} d \ln y_i^{(K)} = 0, \quad T = \text{const},$$

и соотношения (8), (9) можно также рассматривать как ее следствия. Форма (10) может оказывать-

ся полезной при исследовании критических точек в тройных системах жидкость–жидкость–пар.

Из равенства (7) непосредственно следует, что если мольная доля компонента тройной трехфазной системы в критической точке бинодали имеет экстремум (максимум), и следовательно, согласно теореме Ферма, касательная к изотермической бинодали в критической точке совпадает с сечением концентрационного треугольника, отвечающим постоянству мольной доли этого компонента, то изотерма состава пара в критической точке касается секущей треугольника, выходящей из той его вершины, которая соответствует этому компоненту (такая секущая отвечает постоянству отношения мольных долей двух других компонентов системы). Верно и обратное положение. Эту закономерность, изначально относящуюся исключительно к критической точке, с другой стороны можно рассматривать как предельный случай зависимости, установленной ранее для тройных систем с молярной солютропией [3].

Из (8), (9) находим, что

$$\begin{aligned} & \text{если } \left( \frac{dy_2}{dy_1} \right)_T^{(K)} = 0, \\ & \text{то } \left( \frac{dx_2}{dx_1} \right)_T^{(K)} = - \frac{1-y_2^{(K)}}{y_1^{(K)}} < 0; \end{aligned} \quad (11)$$

$$\begin{aligned} & \text{если } \left( \frac{dx_2}{dx_1} \right)_T^{(K)} = 0, \\ & \text{то } \left( \frac{dy_2}{dy_1} \right)_T^{(K)} = - \frac{1-y_2^{(K)}}{y_1^{(K)}} < 0. \end{aligned} \quad (12)$$

Следовательно, если на изотерме составов пара (или бинодали при постоянной температуре) в точках, отвечающих критической, существует экстремум мольной доли какого-либо компонента системы, то в таких точках величина наклона касательной к бинодали (или изотерме состава пара) определяется только составом пара, равновесного с критической фазой системы. Кроме того, если в (8), (9) имеются равные нулю производные, то соответствующие им другие производные в той же системе координат всегда только отрицательны и поэтому в нуль не обращаются. Следовательно, линия трехфазного равновесия в ее критической точке не может соответствовать точкам экстремума (или перегиба с горизонтальной касательной) мольных долей одного из компонентов тройной системы одновременно в критической (конденсированной) фазе и в паре. Таким образом, в критической точке обе соответственные производные не могут обращаться в нуль.

Кроме того, из (8), (9) следует, что если изотермическая производная в переменных состава пара (или соответственно состава жидкости) в критической точке неотрицательна (положи-

тельна), то соответственная производная в переменных состава жидкости (или состава пара) меньше нуля. Но это не означает, что указанные производные в критической точке всегда имеют только различные знаки (как показал и рассмотренный случай экстремумов функций  $x_2(x_1)$  и  $y_2(y_1)$ ), так как обратные или противоположные утверждения в форме строгих неравенств из этих соотношений уже не следуют. Однако всегда можно так нумеровать компоненты, чтобы концентрации компонентов  $A_1$  и  $A_2$  в окрестности критической точки изменялись симбатно, т.е. в одном направлении, когда наблюдается одновременное их возрастание или уменьшение, что и обеспечивает условие неотрицательности по меньшей мере одной из производных,  $dx_2/dx_1$  или  $dy_2/dy_1$ . Действительно, на произвольной линии в любой ее точке внутри концентрационного треугольника, т.е. при любом способе изменения состава фазы, всегда возможен выбор такой независимой переменной состава, при котором производные от двух других зависимых переменных имеют противоположные знаки. Это утверждение следует уже только из тождеств (3). Исключение может составить только тот локальный (частный) случай, когда указанная точка на заданной линии, в общем случае не совпадающей с сечением треугольника, является точкой экстремума одной из зависимых мольных долей (в таком случае единственная отличная от нуля производная всегда только отрицательна). Поэтому согласно (8), (9) всегда можно принять, что в любом конкретном случае реализуется один из возможных вариантов:

$$\text{если } \left(\frac{dy_2}{dy_1}\right)_T^{(K)} \geq 0, \text{ то } \left(\frac{dx_2}{dx_1}\right)_T^{(K)} < 0, \quad (13)$$

$$\text{если } \left(\frac{dx_2}{dx_1}\right)_T^{(K)} \geq 0, \text{ то } \left(\frac{dy_2}{dy_1}\right)_T^{(K)} < 0, \quad (14)$$

причем исходные условия в (13) и (14) не являются какими-либо частными случаями. Кроме того, если рассматривать (13), (14) как совокупность двух систем только строгих неравенств, то очевидно, что они не являются независимыми, так как при данном частном и более сильном условии каждая из них в аспекте (или терминах) суждений становится обратно противоположной по отношению к другой.

Попутно выясним, как относится с нулем разность изотермических производных  $dy_2/dy_1$  и  $dx_2/dx_1$  в критической точке любой системы. Невозможность одновременного равенства их нулю уже показана. Но согласно (8) или (9) условие их равенства при отличии их от нуля приводит к тому, что величина производной лежит в комплексной области. Это не соответствует геометрическому смыслу указанных производных (наклон касательных к изотерме составов пара и к бинодали

в критической точке). Следовательно, в критической точке данные касательные не могут быть параллельными линиями даже и при ненулевом их наклоне, и тем более невозможно их одновременное совпадение с сечениями треугольника составов, относящимися к одному семейству. Поэтому в критической точке рассматриваемая разность производных никогда не обращается в нуль.

Учитывая одно из тождеств (3), систему равенств (8), (9) нетрудно преобразовать к виду:

$$\begin{aligned} & \left[ \left( \frac{dy_2}{dy_1} \right)_T - \left( \frac{dx_2}{dx_1} \right)_T \right]^{(K)} \times \\ & \times \left\{ y_3/y_1 y_2 \left[ \frac{1-y_1}{y_2} \left( \frac{dx_2}{dx_1} \right)_T + 1 \right] \times \right. \\ & \left. \times \left[ \frac{1-y_1}{y_2} \left( \frac{dy_2}{dy_1} \right)_T + 1 \right] + 1 \right\}^{(K)} = 0. \end{aligned} \quad (15)$$

Как было показано, первый множитель в (15) всегда отличен от нуля. Так как  $y_i > 0$  для всех  $i$ , то, следовательно, входящие в знаменатель дроби множители в скобках имеют только противоположные знаки. Это дает возможность найти ограничения, налагаемые в критической точке на концентрационные производные и прочие критические параметры трехкомпонентных систем.

Пусть для выбранной нумерации компонентов системы выполнено условие (13). Тогда из (15) следует, что

$$\left( \frac{dx_2}{dx_1} \right)_T^{(K)} < - \frac{y_2^{(K)}}{1-y_1^{(K)}} < 0, \quad (16)$$

а из (9) и (15) или (16) – нестрогое неравенство противоположного по отношению к производной смысла:

$$\left( \frac{dx_2}{dx_1} \right)_T^{(K)} \geq - \frac{1-y_2^{(K)}}{y_1^{(K)}}. \quad (17)$$

Сопоставление (16) и (17) с учетом исходного (первого) неравенства системы (13) приводит к следующему условию, ограничивающему снизу и сверху значение изотермической производной  $(dx_2/dx_1)_T^{(K)}$  в критической точке:

$$\begin{aligned} 0 > - \frac{y_2^{(K)}}{1-y_1^{(K)}} > \left( \frac{dx_2}{dx_1} \right)_T^{(K)} \geq - \frac{1-y_2^{(K)}}{y_1^{(K)}} \\ \text{при } \left( \frac{dy_2}{dy_1} \right)_T^{(K)} \geq 0. \end{aligned} \quad (18)$$

Для того чтобы из (8) и (15) получить аналогичные ограничения, налагаемые на величину производной  $dy_2/dy_1$ , следует принять исходное условие

в системе (14). Из него и приведенных соотношений таким же образом находим, что

$$0 > -\frac{y_2^{(K)}}{1-y_1^{(K)}} > \left(\frac{dy_2}{dy_1}\right)_T^{(K)} \geq -\frac{1-y_2^{(K)}}{y_1^{(K)}} \quad (19)$$

при  $\left(\frac{dx_2}{dx_1}\right)_T^{(K)} \geq 0$ .

Условия, при которых выполняются ограничения (18), (19), осуществляются путем только соответствующей нумерации компонентов в системе и, следовательно, как уже упоминалось, всегда могут быть реализованы. Поэтому неравенства (18), (19) в этом смысле носят безусловный характер. Таким образом, в критической точке величины наклона касательных к бинодали при постоянной температуре системы и к изотерме составов пара ограничиваются в явном виде значениями мольных долей компонентов в паре, равновесном с критической фазой, и эти ограничения определяются именно только составом пара.

В общем случае величина производной  $(dx_2/dx_1)_T^{(K)}$  не может быть выражена без переменных  $y_i^{(K)}$  и тем более только в переменных  $x_i^{(K)}$ . Отсюда видна исключительная роль переменных пара или газообразной фазы, обладающей свойствами идеального газа, в описании фазовых равновесий или равновесных процессов, и

в частности, критического состояния конденсированных фаз.

Как видно из соотношений (18) и (19), эти неравенства находятся в согласии с системами (13) и (14) соответственно. Кроме того, они являются более общими, чем соотношения (11) и (12), которые следуют из них как частные случаи. Получающееся из (18) или (19) с учетом (3) по свойству транзитивности неравенство  $y_3^{(K)} > 0$  для тройных систем с летучими компонентами удовлетворяется тождественно, что также свидетельствует о непротиворечивости рассмотренной системы соотношений.

Следует заметить, что в силу непрерывности всех использованных величин и функций неравенства (13), (14) и (18), (19) в отличие от соотношений (8), (9) и (11), (12) будут выполняться не только в критической точке системы (здесь имеет определяющее значение форма соотношений, а именно неравенства), но и в некоторой конечной ее окрестности на линии трехфазного равновесия.

#### СПИСОК ЛИТЕРАТУРЫ

1. Van der Waals J.D. // Proc. sect. sci. Akad. Wet. (Amsterdam). 1902. V. 5. Pt. 1. P. 1.
2. Schreinemakers F.A.H. // Z. Phys. Chem. 1913. B. 82. N. 1. S. 56.
3. Сторонкин А.В., Маркузин Н.П. // Журн. физ. химии. 1963. Т. 37. № 6. С. 1385.

ХИМИЧЕСКАЯ ТЕРМОДИНАМИКА  
И ТЕРМОХИМИЯ

УДК 546.763

ЭНЕРГИИ ИЗМЕНЕНИЯ КООРДИНАЦИИ КАТИОНОВ  
В ОКСИДАХ И СУЛЬФИДАХ

© 1993 г. Л. А. Резницкий

Московский государственный университет им. М.В. Ломоносова, Химический факультет

Поступила в редакцию 26.11.92 г.

Систематизированы опубликованные значения энталпий, свободных энергий и энтропий изменения координации катионов переходных и непереходных металлов. Продемонстрированы большая информативность и полнота эмпирической системы энергий предпочтения катионов к октаэдрическому окружению ионами кислорода по сравнению с данными теории кристаллического поля. Показано, что структурная детализация, учитывающая тип кислородного (сульфидного) координационного полиэдра, является оптимальной при сопоставлении термохимических и структурных характеристик координационных соединений.

В публикациях последних 25 лет развивались и уточнялись представления о возможном использовании полизадрического описания строения оксидов и сульфидов для априорных оценок энталпий, свободных энергий и энтропий образования сложных координационных соединений из простых оксидов и, в меньшей степени, из простых сульфидов. В этих экспериментальных и теоретических исследованиях координационный полиэдр (КП) рассматривался как фрагмент структуры, ответственный за термодинамические свойства. Полизадрическое описание твердых тел занимает видное место в теоретической неорганической химии (тип связи, схема молекулярных орбиталей, особенности роста и травления кристаллов и др.). В кристаллических структурах катионное распределение по неэквивалентным позициям в анионном окружении зависит от  $p,T$ -условий синтеза.

Преимущественное вхождение катионов в определенные позиции определяется кристаллохимическими и термодинамическими факторами, в конечном счете – выигрышем в свободной энергии. Теоретический расчет вероятности заселения неэквивалентных позиций является сложной и во многом еще нерешенной задачей. Приблизиться к ее решению можно, если эмпирическим путем установить значения  $\Delta H$ ,  $\Delta G$  и  $\Delta S$ , которые сопровождают изменение координационного числа (КЧ) катионов в анионном окружении. Координационный полиэдр позволяет установить количественные корреляции термодинамических и кристаллохимических свойств. Развитая в [1, 2] кристаллохимическая модель межатомных взаимодействий описывает любые КП, знание которых расширяет возможности изучения механизмов и термодинамики реакций.

Конечная цель термодинамического исследования, охватывающего большой круг соединений, –

создание системы согласованных величин, основанной на ключевых константах [3]. Впервые задача калориметрического определения энталпии изменения КЧ катиона в явном виде была поставлена в работе [4], где установлена энталпия перехода иона  $Al^{3+}$  из тетраэдрического в октаэдрическое окружение ионов  $O^{2-}$  ( $-44.4$  кДж/моль).

Задача выбора ключевых значений  $\Delta H$ ,  $\Delta G$  и  $\Delta S$  изменения КЧ катионов при переходе тетраэдр  $\rightarrow$  октаэдр в кислородном окружении была сформулирована в [5]. В 1967 - 1992 гг. этот подход был распространен на различные типы КП, полученные результаты с разной степенью полноты обобщены в [6 - 9]. Предложены способы использования энергий изменения КЧ при трактовке вопроса образования твердых растворов шпинелей [10], для априорных оценок энталпий и энтропий реакций между простыми оксидами и сульфидами с образованием сложных соединений [4, 7 - 9, 11 - 21], рассмотрены вопросы энталпийной стабилизации оксидных соединений с катионами  $Cu^{3+}$ ,  $Fe^{4+}$ ,  $Ni^{4+}$  в высоких степенях окисления и аниондефицитных перовскитоподобных фаз [17, 22, 23], в том числе и оксидных сверхпроводников [17, 24], а также объяснены причины отклонения теплоемкости от правила аддитивности [6]. Структурная детализация, учитывающая тип КП, оптимальна при выборе критерия сопоставления термохимических и структурных характеристик веществ.

Кристаллохимические исследования заметно обгоняют более трудоемкие термохимические и это обстоятельство побуждает использовать для оценок термодинамических характеристик образования ( $\Delta_f H^\circ$ ,  $\Delta_f G^\circ$  и  $\Delta_f S^\circ$ ) сложных оксидов из простых приближенные методы расчета. Цель настоящей работы – систематизация известных значений энталпий, свободных энергий и

**Таблица 1.** Энталпии ( $\Delta H^\circ$  ( $M^{n+}$ ), кДж/моль), энтропии ( $\Delta S^\circ$ , Дж/(моль К)) и свободные энергии предпочтения ( $\Delta G_{298}^\circ$ , кДж/моль) катионов к октаэдрическим позициям в кислородном окружении по сравнению с тетраэдрическими позициями

$M^{n+}$	$-\Delta H^\circ$ ( $M^{n+}$ )	$\frac{\delta \Delta}{\Delta}$	$-\Delta G_{298}^\circ$	$-\Delta H^\circ$ ( $M^{n+}$ )			
				[9, 10]	[4]	[11]	A
							B
$Si^{4+}$	$-50.2 \pm 4.2^*$	14.0	-54.4	-	-50.2	-	-
$Cu^{+}$	-46	-	-	-	-	0	0
$Zn^{2+}$	$-25.1 \pm 4.2^*$	16.7	-30.1	-31.8	-19.2	0	0
$Cr^{6+}$	-5.9	-	-	-	-	0	0
$Ga^{3+}$	$-5.9 \pm 0.9^*$	-	-	17	-	0	0
$Ag^{+}$	-4.2	-	-	-	-	0	0
$Mn^{2+}$	$0 \pm 4$	-	-	-16.7	12.6	0	0
$Na^{+}$	4	-	-	-	-	0	0
$Cd^{2+}$	20.9	-	-	-	13	0	0
$Cr^{4+}$	20.9	-	-	-	-	-	-
$Fe^{2+}$	20.9	-	-	4.2	26.4	16.7	16.3
$Ge^{4+}$	$21.3 \pm 2.1^*$	15.6	16.7	-	-	0	0
$Fe^{3+}$	$22.2 \pm 2.9^*$	14.2	17.6	15.5	22.2	0	0
$Mg^{2+}$	25.1	16.3	20.0	4.2	29.7	0	0
$In^{3+}$	$27.6 \pm 6.3$	-	-	-	-	0	0
$Co^{2+}$	$29.3 \pm 4.2$	13.8	25.1	12.6	32.2	31	88
$Ti^{3+}$	37.7	-	-	-	-	28.9	32.2
$V^{4+}$	40.1	-	-	-	-	-	-
$Ti^{2+}$	41.8	-	-	-	-	-	-
$Li^{+}$	41.8	-	-	-	-	0	0
$Mn^{4+}$	43	-	-	-	-	-	-
$V^{3+}$	43.5	-	-	-	-	-	-
$Al^{3+}$	$44.4 \pm 4.2^*$	12.6	40.6	44.4	44.4	0	0
$Ti^{4+}$	46	16.7	41.0	-	-	0	0
$Ni^{2+}$	46	5.4	44.4	48	57.3	86.2	95.4
$Mn^{3+}$	50	14.2	45.8	58.6	43.5	95.4	106
$Sn^{4+}$	59	-	-	-	-	0	0
$Cu^{2+}$	84	20.1	78	37.7	33.5	63.6	65.3
$V^{2+}$	134	-	-	-	-	-	132
$Cr^{3+}$	$137 \pm 15$	-	-	87.9	-	158	195

Примечание. Звездочкой отмечены ключевые величины; А – квантово-механические расчеты по Дунину–Оргелу, В – по Мак-Клюру, теория кристаллического поля.

**Таблица 2.** Энергии предпочтения катионов к октаэдрическому окружению в оксидах (I) и сульфидах (II) по сравнению с тетраэдрическими позициями ( $-\Delta H$ , кДж/моль)

$M^{n+}$	I	II	$M^{n+}$	I	II
$Zn^{2+}$	-25.1	-42	$Mg^{2+}$	25.1	20
$Mn^{2+}$	0	11.7	$In^{3+}$	27.6	4.9
$Cd^{2+}$	20.9	11.7	$Cr^{2+}$	29	9
$Fe^{2+}$	20.9	12.6	$Co^{2+}$	29.3	20

энтропий изменения координации катионов, лишь частично обобщенных в [7 - 9]. Термодинамические характеристики табулированы для каждого иона в отдельности. Данные табл. 1, где приведены изменения  $\Delta H$ ,  $\Delta G$  и  $\Delta S$  при переходе из тетраэдрического в октаэдрическое окружение ионами кислорода, имеют большое значение при сравнении наших результатов с другими данными, в том числе и с известными расчетами по теории кристаллического поля для переходных металлов. Из табл. 1 следуют гораздо большая информативность и полнота эмпирической системы по сравнению с данными, полученными по теории кристаллического поля. Использование эмпирической системы энергий предпочтения позволяет более уверенно решать задачи, связанные с распределением катионов по неэквивалентным структурным позициям. Следует отметить, что теоретическая оценка энтропии изменения КЧ при переходе тетраэдр–октаэдр  $\Delta S^\circ = -15$  Дж/(моль К), выполненная в [12], совпадает с “лучшими” экспериментальными значениями для Al, Si и Ge, среднее экспериментальное значение  $\Delta S^\circ = -14.5 \pm 2.1$  Дж/(моль К). В тех случаях, когда экспериментальные определения  $\Delta S^\circ(4 \rightarrow 6)$  отсутствуют, но известны  $\Delta H(4 \rightarrow 6)$  для катиона (часто встречающийся случай), можно вычислить изменение свободной энергии  $\Delta G^\circ(M^{n+}) (4 \rightarrow 6)$ , Дж/моль =  $\Delta H(4 \rightarrow 6) + 14.5 T$ .

На современном уровне точности используемых калориметрических данных по энталпиям перехода КП катионов из стандартного состояния в индивидуальном оксиде при 1 атм, 298 К в новое с тем же КЧ, например, октаэдр–тригональная призма с КЧ = 6, или додекаэдр – куб с КЧ = 8 расходжение в энергиях предпочтения, по-видимому, лежат в пределах погрешности опытных данных и могут не учитываться.

Аналогичный подход можно распространить и на иные классы соединений, например, на сульфиды металлов – ближайшие аналоги оксидов. Выбор оксидов вызван тем обстоятельством, что они являются ключевыми соединениями в химической термодинамике и наиболее полно исследованы в кристаллохимическом отношении. Следует признать справедливость мнения И.Я. Берцелиуса: “кислород есть центр, вокруг которого вращается вся химия”. В настоящее время структурные исследования сложных оксидов получили новый стимул вследствие открытия высокотемпературных оксидных сверхпроводников (ВТСП) и родственных соединений, имеющих те же КП, что и ВТСП. В [24, 25] приведены методы вычисления  $\Delta_f H$  оксидных координационных соединений, в том числе и ВТСП. Эта информация до некоторой степени устраняет пробел в экспериментальных термохимических исследованиях ВТСП и родственных соединений.

Поскольку переход от  $O^{2-}$  к  $S^{2-}$  в спектрохимическом ряду лигандов сопровождается понижением силы поля лигандов, то следует ожидать,

**Таблица 3.** Энталпии ( $\Delta H$ , кДж/моль) изменения координации катионов ( $n$  – координационное число,  $\square$  – вакансия)

$M^{n+}$	$n$	$\Delta H$	Литература	$M^{n+}$	$n$	$\Delta H$	Литература
$Al^{3+}$	$6 \rightarrow 5$	$22.2 = \frac{1}{2}E(6 \rightarrow 4)$	[14]	$In^{3+}$	$6O^{2-} + 2\square \rightarrow 6$	4.2	[9]
	$6 \rightarrow 8$	-90		$La^{3+}$	$7 \rightarrow 6$	-16	[21]
	$6 \rightarrow 9$	-110		$La^{3+}$	$7 \rightarrow 8(9)$	-31	
$Ba^{2+}$	$6 \rightarrow 10$	-120	[14, 15]	$Mg^{2+}$	$6 \rightarrow 7$	51	[26]
	$6 \rightarrow 12$	-136		$Mg^{2+}$	$6 \rightarrow 8$	71	[15]
	$6 \rightarrow 8$	-45		$Mg^{2+}$	$6 \rightarrow 4^*$	9	[26]
$Ca^{2+}$	$6 \rightarrow 9$	-50	[6]	$Mn^{2+}$	$6 \rightarrow 8$	28	[15]
	$6 \rightarrow 12$	-56		$Ni^{2+}$	$6 \rightarrow 4^*$	33	[5]
$Cd^{2+}$	$6 \rightarrow 12$	15	[16]	$Pb^{2+}$	$4 \rightarrow 12$	-3.2	[18]
$Ce^{4+}$	$8 \rightarrow 6$	128	[5]	$Sc^{3+}$	$6O^{2-} + 2\square \rightarrow 6^{**}$	59	[21]
$Co^{2+}$	$6 \rightarrow 4^*$	33	[17]		$6 \rightarrow 8$	-80	
$Cu^{2+}$	$4^* \rightarrow 5$	7.3	[18]		$6 \rightarrow 9$	-90	
$Cu^{2+}$	$4^* \rightarrow 6$	14.6	[5]	$Sr^{2+}$	$6 \rightarrow 10$	-100	[14]
$Fe^{2+}$	$6 \rightarrow 8$	50	[15]		$6 \rightarrow 12$	-110	
$Fe^{3+}$	$6 \rightarrow 5$	11.1	[25]		$Y^{3+}$	$6O^{2-} + 2\square \rightarrow 6^{**}$	22.5
$Gd^{3+}$	$6O^{2-} + 2\square \rightarrow 8$	33	[19]	$Y^{3+}$	$6O^{2-} + 2\square \rightarrow 8$	71	[27]
$Hf^{4+}$	$7 \rightarrow 6$	42	[20]	$Zr^{4+}$	$7 \rightarrow 6$	46	[19]
$Hf^{4+}$	$7 \rightarrow 8$	23		$Zr^{4+}$	$7 \rightarrow 8$	20	[3, 20]

\* Квадрат.

\*\* Октаэдр или тригональная призма.

что эмпирические энергии предпочтения в сульфидах окажутся ниже, чем в оксидах. Уменьшение ионности связей  $M-S$  по сравнению с ионностями связей  $M-O$  и увеличение межатомных расстояний в сульфидах по сравнению с оксидами приводят к меньшему воздействию поля лигандов на катион в сульфидах (табл. 2). Действительно, почти для всех катионов, кроме  $Mn^{2+}$ , этот прогноз выполняется. Причина выпадения  $Mn^{2+}$  из общей тенденции пока остается неясной.

В табл. 3 сведены опубликованные энталпии изменения КЧ катионов, кроме приведенных в табл. 1.

Выделение КП в кристаллической структуре в известной степени эквивалентно выделению "эффективной молекулы" в понятиях классической теории строения молекул по В.М. Татевскому. Этот методологический прием целесообразно использовать для вычленения в структурах повторяющихся фрагментов, которые мало изменяются при переходе от одних молекул или частиц к другим, т.е. обладающих свойством трансферабильности.

В заключение следует отметить, что в самое последнее время значение полиэдрического подхода к выбору метода синтеза соединений и прогнозированию их термодинамической стабильности продемонстрировано на примере фуллеренов

и новых сверхпроводников – фуллеридов металлов с критическими температурами 20 - 40 К. Исследование термодинамических свойств букингемстерфуллерена  $C_{60}$  с жестким полиэдрическим скелетом показало, что его устойчивость по отношению к кислороду превышает устойчивость графита с его "свисающими"  $\pi$ -связями [28].

## СПИСОК ЛИТЕРАТУРЫ

1. Асланов Л.А. Строение атомов, молекул, кристаллов. М.: Изд-во МГУ, 1985. 121 с.
2. Асланов Л.А. Структуры веществ. М.: Изд-во МГУ, 1989. 161 с.
3. Термические константы веществ. // Спр. под ред. В.П. Глушко. М.: ВИНИТИ, 1962 - 1982.
4. Navrotsky A., Kleppa O.J. // J. Inorg. and Nucl. Chem. 1967. V. 29. P. 2701.
5. Резницкий Л.А. // Изв. АН СССР. Неорган. материалы. 1976. Т. 12. № 11. С. 1909.
6. Резницкий Л.А., Гузей А.С. // Итоги науки и техники. Химическая термодинамика и равновесия. М.: ВИНИТИ, 1978. Т. 4. С. 79 - 117.
7. Резницкий Л.А. Калориметрия твердого тела (структурные, магнитные, электронные превращения). М.: Изд-во МГУ, 1981. 181 с.
8. Резницкий Л.А. // Итоги науки и техники. Химическая термодинамика и равновесия. М.: ВИНИТИ, 1984. Т. 6. С. 3 - 43.

9. Резницкий Л.А. Химическая связь и превращения оксидов. М.: Изд-во МГУ, 1991. 165 с.
10. Резницкий Л.А. // Изв. АН СССР. Неорган. материалы. 1984. Т. 20. № 11. С. 1867.
11. Urusov V.S. // Phys. Chem. Minerals. 1983. V. 9. № 1. P. 1.
12. Урусов В.С. // Докл. АН СССР. 1986. Т. 290. № 2. С. 354.
13. Резницкий Л.А. // Геохимия. 1988. № 7. С. 956.
14. Резницкий Л.А. // Журн. физ. химии. 1986. Т. 60. № 9. С. 2366.
15. Резницкий Л.А. // Изв. АН СССР. Неорган. материалы. 1985. Т. 21. № 4. С. 620.
16. Резницкий Л.А. // Журн. физ. химии. 1986. Т. 60. № 4. С. 987.
17. Резницкий Л.А. // Там же. 1991. Т. 65. № 4. С. 1119.
18. Резницкий Л.А. // Там же. 1992. Т. 66. № 7. С. 1931.
19. Резницкий Л.А., Зей А.С. // Успехи химии. 1978. Т. 47. № 2. С. 177.
20. Резницкий Л.А. // Геохимия. 1985. № 9. С. 1328.
21. Резницкий Л.А. // Неорган. материалы. В печати.
22. Резницкий Л.А. // Журн. физ. химии. 1990. Т. 64. № 8. С. 2285.
23. Резницкий Л.А. // Неорган. материалы. В печати.
24. Резницкий Л.А. // Сверхпроводимость. 1990. Т. 3. № 10. Ч. 2. С. 2459.
25. Резницкий Л.А. // Там же. 1993. Т. 6. № 1. С. 183.
26. Резницкий Л.А. // Неорган. материалы. В печати.
27. Резницкий Л.А. // Журн. физ. химии. 1987. Т. 61. № 1. С. 239.
28. Chen H.S., Kortan A.R., Haddon R.C., Fleming D.A. // J. Phys. Chem. 1992. V. 96. № 3. P. 1016.

ХИМИЧЕСКАЯ ТЕРМОДИНАМИКА  
И ТЕРМОХИМИЯ

УДК 542.61

ОЦЕНКА СВОБОДНЫХ ЭНЕРГИЙ ГИДРАТАЦИИ И СОЛЬВАТАЦИИ  
ОРГАНИЧЕСКИХ НЕЭЛЕКТРОЛИТОВ

© 1993 г. С. М. Лещев, И. В. Мельситова, В. И. Онищук

Белорусский государственный университет, Минск

Поступила в редакцию 26.11.92 г.

На основе литературных данных по растворимости в воде, давлению насыщенных паров и экспериментальных результатов по распределению различных классов органических неэлектролитов в системе октан–вода рассчитаны свободные энергии гидратации и сольватации веществ октаном. Подтвержден аддитивный характер свободных энергий гидратации и сольватации, рассчитаны инкременты функциональных групп веществ в свободную энергию сольватации их октаном. Обнаружено, что инкременты малополярных групп в свободную энергию сольватации октаном могут быть априори оценены на основе величин их рефракций, в то время как для сильнополярных групп имеют место значительные отрицательные отклонения от расчетных величин, что объяснено индукционным эффектом сильнополярных групп.

Установление количественных характеристик процессов гидратации и сольватации веществ – весьма актуальная и вместе с тем достаточно сложная задача. Свободная энергия Гиббса может быть определена непосредственно из экспериментальных данных по межфазовым равновесиям в системах пар–водный раствор вещества или пар вещества–индивидуальная органическая жидкость [1]. С другой стороны, получение корректных термодинамических данных по свободным энергиям переноса веществ, относящихся к разбавленным растворам органических веществ, из паров в органические растворители затруднено. В частности, экспериментальное определение величин  $\Delta G^\circ$  переноса веществ из пара в алифатические углеводороды осложнено либо ассоциацией полярных органических веществ в них, либо низкими давлениями паров веществ над их разбавленными растворами. Низкие парциальные давления паров некоторых веществ, особенно полярных, препятствуют получению надежной информации об энергиях гидратации, которые определены и табулированы для сравнительно небольшого числа классов органических неэлектролитов [1, 2]. В настоящей работе предлагается метод оценки энергии гидратации на основании данных по растворимости различных классов органических веществ в воде и давлениям их насыщенных паров. В свою очередь, для оценки и прогнозирования свободных энергий сольватации органических неэлектролитов углеводородами предлагается использование легко получаемых экспериментально данных по межфазному распределению в системе алифатический углеводород–вода.

ЭКСПЕРИМЕНТАЛЬНАЯ ЧАСТЬ

Расчет свободных энергий гидратации органических неэлектролитов вели по уравнению:

$$\Delta G_{\text{гидр}}^\circ = -2.3 RT \lg P, \quad (1)$$

где  $P$  – константа распределения вещества между водой и его паром, равная отношению молярных концентраций вещества в его насыщенном водном растворе и в его насыщенном паре при 20°C и давлении 760 мм рт. ст. Величины растворимостей веществ в воде и давления их насыщенных паров были взяты из справочной литературы [3, 4]. Сопоставление имеющихся литературных данных по энергиям гидратации малорастворимых в воде веществ и величин, рассчитанных по уравнению (1) показало корректность его использования для расчета  $\Delta G_{\text{гидр}}^\circ$ .

Аналогичным способом рассчитывались свободные энергии межфазного распределения в системе *n*-октан–вода, для которой величины  $P$  были определены нами как отношения молярных концентраций веществ в октановой фазе к их концентрациям в водной. При этом величины  $P$  соответствовали области отсутствия молекулярной ассоциации веществ в октановой фазе [5]. Величины  $P$  в системах вода–пар и октан–вода были рассчитаны и определены для непредельных и ароматических углеводородов, алкил- и арилгалогенидов, спиртов, кетонов, эфиров, аминов, нитрилов и нитросоединений, меркаптанов, сульфидов и дисульфидов. Полученные данные использованы для расчета свободных энергий переноса веществ из паров в *n*-октан, иными словами,

свободных энергий сольватации веществ октаном ( $\Delta G_{\text{окт}}^{\circ}$ ). Расчет вели по уравнению:

$$\Delta G_{\text{окт}}^{\circ} = \Delta G_{\text{гидр}}^{\circ} + \Delta G_{\text{распр}}^{\circ}, \quad (2)$$

где  $\Delta G_{\text{распр}}^{\circ}$  – свободная энергия распределения вещества между  $n$ -октаном и водой. Как и в случае  $\Delta G_{\text{гидр}}^{\circ}$  сопоставление величин  $\Delta G_{\text{окт}}^{\circ}$ , рассчитанных по уравнению (2) и по давлениям паров некоторых неассоциированных веществ над их октановыми растворами [6], подтвердило корректность применения уравнения (2) для расчета  $\Delta G_{\text{окт}}^{\circ}$ .

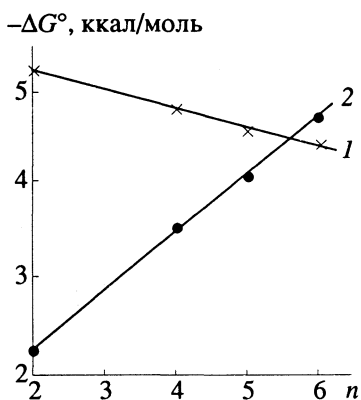
Величины  $\Delta G_{\text{окт}}^{\circ}$  веществ, неограниченно растворимых в воде и ограниченно – в углеводородах (ацетонитрил, диметилформамид, диметилсульфоксид), рассчитывались на основе величин их констант распределения между насыщенным октановым раствором и насыщенным паром. При этом вводилась поправка на самоассоциацию указанных веществ в октане. Растворимости упомянутых веществ в октане были определены экспериментально [7].

Погрешность в определении величин  $P$ , судя по разбросу экспериментальных данных разных авторов по растворимости и давлениям насыщенных паров, составила от 5 до 10%, а в величинах  $\Delta G^{\circ} - \pm 0.05 - 0.15$  ккал/моль.

Поскольку величины  $\Delta G_{\text{гидр}}^{\circ}$ ,  $\Delta G_{\text{распр}}^{\circ}$ ,  $\Delta G_{\text{окт}}^{\circ}$  носят аддитивный характер [1, 5], мы рассчитывали инкременты в свободную энергию распределения веществ между  $n$ -октаном и паром. Расчет инкрементов функциональных групп ( $I_X$ ) для соединений с формулами  $R-X$  и  $R-X-R$  соответственно вели по уравнениям:

$$I_X = \Delta G_{\text{окт}}^{\circ} - (8-n)0.66 + 5.25, \quad (3)$$

$$I_X = \Delta G_{\text{окт}}^{\circ} - (8-n)0.66 + 5.40, \quad (4)$$



Зависимости  $\Delta G_{\text{гидр}}^{\circ}$  (1) и  $\Delta G_{\text{окт}}^{\circ}$  (2) первичных спиртов от чисел атомов углерода в радикале.

где  $n$  – число углеродных атомов в молекуле алифатического органического неэлектролита с линейными углеводородными радикалами, –0.66 – вклад метиленовой группы в свободную энергию сольватации алифатическими углеводородами [1], –5.40 – свободная энергия переноса  $n$ -октана из его паров в жидкое состояние [1], приведенная к 20°C, –5.25 – величина  $\Delta G_{\text{окт}}^{\circ}$  октильного радикала, вычисленная с учетом соотношения групповых рефракций [8] метильной и метиленовой групп.

Для циклических соединений, например, тетрагидрофурана и циклогексанона, величины  $I_X$  рассчитывались по уравнению:

$$I_X = \Delta G_{\text{окт}}^{\circ} - (\Delta G_{\text{окт}}^{\circ} + 0.66), \quad (5)$$

где  $\Delta G_{\text{окт}}^{\circ}$  – свободная энергия сольватации циклического вещества октаном,  $\Delta G_{\text{окт}}^{\circ}$  – свободная энергия сольватации октаном соответствующего циклического углеводорода (цикlopентана, циклогексана). Величина  $\Delta G_{\text{окт}}^{\circ}$  тетрагидрофурана была рассчитана из данных [6]. Погрешность в величинах  $I_X$  составляла  $\pm 0.1 - 0.3$  ккал/моль.

## ОБСУЖДЕНИЕ РЕЗУЛЬТАТОВ

Рассмотрим приведенные в табл. 1, 2 данные по растворимости веществ в воде и октане ( $S$ ), давлению их насыщенных паров ( $p$ ) и величины  $\Delta G_{\text{гидр}}^{\circ}$ ,  $\Delta G_{\text{распр}}^{\circ}$ ,  $\Delta G_{\text{окт}}^{\circ}$ . Видно, что эти характеристики меняются в весьма широких пределах. Подавляющее большинство значений  $\Delta G_{\text{гидр}}^{\circ}$  меньше нуля. Как следует из работы [1], положительные величины  $\Delta G_{\text{гидр}}^{\circ}$  характерны, в первую очередь, для алифатических углеводородов, наименее склонных к взаимодействиям с водой и наиболее сильно выталкивающихся пространственной сеткой водородных связей воды [9]. Остальные классы органических соединений, имеющие в функциональных группах либо легко поляриземые, либо склонные к электростатическим и донорно-акцепторным взаимодействиям с молекулами воды атомы, характеризуются, как правило, значительными отрицательными значениями  $\Delta G_{\text{гидр}}^{\circ}$ . Наиболее низкие величины  $\Delta G_{\text{гидр}}^{\circ}$ , как и следовало ожидать, наблюдаются для веществ с наиболее полярными функциональными группами, несущими подвижные неподеленные электронные пары на донорных атомах (спирты, амины, кетоны, альдегиды).

В свою очередь, все величины  $\Delta G_{\text{окт}}^{\circ}$  меньше нуля, поскольку октан не склонен к выталкиванию неполярных молекул ввиду отсутствия у него

**Таблица 1.** Растворимости веществ в воде ( $S$ , мас. %), давления их насыщенных паров ( $p$ , мм рт. ст.) и величины  $\Delta G_{\text{гидр}}^{\circ}$ ,  $\Delta G_{\text{распр}}^{\circ}$ ,  $\Delta G_{\text{окт}}^{\circ}$  (ккал/моль)

Вещество	$S$	$p$	$-\Delta G_{\text{гидр}}^{\circ}$	$-\Delta G_{\text{распр}}^{\circ}$	$-\Delta G_{\text{окт}}^{\circ}$
Циклогексан			-1.23*	5.03	3.80
Циклопентан			-1.21*	4.36	3.15
1,3-Пентадиен			-0.72*	3.67	2.95
Стирол	0.0125	4.2	0.96	4.13	5.09
Гексин-1			-0.30*	3.75	3.45
Бензол	0.14	76	0.88(0.88*)	3.06	3.94
Нафталин			2.30*	4.74	7.04
Фенантрен			4.15*	5.51	9.66
Этилиодид			0.84*	2.81	3.65
Этилбромид			0.80*	2.10	2.90
Этилхлорид			0.48*	1.86	2.34
Иодбензол	0.030	0.71	2.12	4.33	6.45
Бромбензол	0.040	3.8	1.48	3.50	4.98
Хлорбензол	0.044	8.7	1.21	3.19	4.40
<i>n</i> -Гексанол	0.59	0.70	4.40	0.34	4.74
Фенол	9.0	2.0	5.28	-0.94	4.34
Метилбутилкетон	1.75	9.1	3.41	1.47	4.88
Диэтиловый эфир	7.8	420	2.37	1.07	3.44
Пропилацетат	2.3	25	2.97	1.29	4.26
Пентаналь	1.4	20	2.93	1.66	4.59
Бензальдегид	0.40	0.46	4.27	1.49	5.76
Циклогексанон	7.0	4.4	4.66	0.40	5.06
Тетрагидрофуран			3.65	0.05	3.70*
Бутиламин			4.46*	-0.66	3.80
Анилин	3.4	2.3	4.66	-0.16	4.50
Дибутиламин	0.50	1.5	3.59	2.55	6.14
Нитрометан	9.5	28	4.04	-1.14	2.90
Нитроэтан	4.5	16	3.83	-0.32	3.51
Нитробензол	0.19	0.26	4.06	2.13	6.19
Бутиронитрил	3.0	15	3.72	0.15	3.87
Бензонитрил	1.0	1.0	4.36	1.58	5.94
Диэтилсульфид	0.22	54	1.23	2.88	4.11
Этилмеркаптан	1.5	420	1.40	1.13	2.53
Диметилдисульфид	0.21	23	1.70	2.70	4.40
Тиофен	0.32	63	1.41	2.55	3.96

\*Данные взяты из [1, 2, 6] или вычислены на основании величин коэффициентов растворимости паров [10].

пространственной сетки водородных или иных связей. Величина  $\Delta G_{\text{окт}}^{\circ}$  определяется, в первую очередь, не полярностью вещества, а размером его молекулы, что свидетельствует об определяющем вкладе в  $\Delta G_{\text{окт}}^{\circ}$  не диполь-дипольных и донорно-акцепторных, а дисперсионных взаимодействий.

Заслуживает внимания аддитивность величин  $\Delta G_{\text{гидр}}^{\circ}$  и  $\Delta G_{\text{окт}}^{\circ}$ , проиллюстрированная в работе [1] на примере предельных углеводородов и некоторых других классов органических веществ. На рисунке приведены зависимости  $\Delta G_{\text{гидр}}^{\circ}$  и  $\Delta G_{\text{окт}}^{\circ}$  от числа атомов углерода в молекулах первичных алифатических спиртов. При этом для этанола

**Таблица 2.** Растворимости полярных растворителей в октане без поправки ( $S$ , моль/л) и с поправкой ( $S'$ ) на молекулярную самоассоциацию, давления их насыщенных паров ( $p$ , мм рт. ст.) и величины  $\Delta G_{\text{гидр}}^{\circ}$ ,  $\Delta G_{\text{распр}}^{\circ}$ ,  $\Delta G_{\text{окт}}^{\circ}$  (ккал/моль)

Растворитель	$S$	$S'$	$p$	$-\Delta G_{\text{гидр}}^{\circ}$	$\Delta G_{\text{распр}}^{\circ}$	$-\Delta G_{\text{окт}}^{\circ}$
Ацетонитрил	0.41	0.30	73	3.75	1.21	2.54
Диметилформамид	0.37	0.30	3.7	7.72	3.62	4.10
Нитрометан	0.30	0.20	28			2.85
Диметилсульфоксид	0.050	0.034	0.45	10.34	6.11	4.23
Вода	0.0037		23	6.23	5.60	0.63

Примечание. Величины  $\Delta G_{\text{распр}}^{\circ}$  органических растворителей рассчитаны на основе принципа аддитивности свободной энергии распределения из данных [5].

**Таблица 3.** Сопоставление величин инкрементов групп ( $-I_x$ ) в  $\Delta G_{\text{окт}}^{\circ}$ , рассчитанных по их рефракциям в единицах рефракции метиленовой группы (I) и по уравнениям (3) - (6) из данных табл. 1(II)

Группа	I	II	Группа	I	II
	3.15	3.0	$-\text{C}=\text{O}$ H	0.80	1.98
	3.81	3.65	$-\text{O}-\text{цикл}$	0.25	1.21
$-\text{CH}=\text{CH}_2$	1.25	1.29	$\text{C}=\text{O}_{\text{цикл}}$	0.65	1.91
$-\text{CH}=\text{CH}$ $\text{CH}_2=\text{CH}$	2.36	2.32	$\text{OH}_{\text{ap}}$	0.34	0.54
$-\text{C}\equiv\text{CH}$	1.07	0.84	$-\text{C}=\text{O}$ H	0.80	1.96
	3.58	3.80	$\text{NH}_2$	0.63	1.19
	—	6.89	NH	0.51	0.74
	—	9.51	$\text{NH}_{2\text{ap}}$	0.63	0.70
$-I$	1.97	2.36		0.95	2.22
$-\text{Br}$	1.24	1.61		0.95	2.39
$-\text{Cl}$	0.83	1.05		0.78	1.91
$-\text{I}_{\text{ap}}$	1.97	2.65		0.78	2.14
$-\text{Br}_{\text{ap}}$	1.24	1.18	$-\text{C}\equiv\text{N}$	0.36	0.36
$-\text{Cl}_{\text{ap}}$	0.83	0.60	$-\text{C}\equiv\text{N}_{\text{ap}}$	0.36	0.34
$-\text{OH}$	0.36	0.80	$-\text{S}-$	1.12	1.27
$-\text{OH}_{\text{ap}}$	0.36	0.34	$-\text{SH}$	1.24	1.24
$-\text{O}-$	0.25	0.68	$-\text{S}-\text{S}-$	2.26	2.98
$-\text{C}-$ $=\text{O}$	0.65	1.46		3.48	3.81
$-\text{C}-\text{O}-$ $=\text{O}$	0.88	1.50	$-\text{S}=\text{O}$	1.29	2.80

Примечание. Индекс "ап" относится к группе с арильным радикалом.

использована величина  $\Delta G_{\text{гидр}}^{\circ}$  из [1], приведенная к 20°C, для остальных спиртов – значения, определенные из данных по растворимости в воде и давлению насыщенного пара. Как видно из рисунка, наклон зависимости  $\Delta G_{\text{гидр}}^{\circ} - n$  составляет 0.19 ккал/моль, а  $\Delta G_{\text{окт}}^{\circ} - n = -0.62$  ккал/моль, что хорошо согласуется с данными для других классов органических неэлектролитов (0.18 и -0.66 ккал/моль). Аналогичные данные были получены для аминов и других классов органических соединений.

В литературе практически отсутствуют экспериментальные значения  $\Delta G_{\text{окт}}^{\circ}$  для подавляющего большинства изученных веществ. Однако данные по давлению паров бензола и триэтиламина над их октановыми растворами [6] подтверждают корректность расчетных величин  $\Delta G_{\text{окт}}^{\circ}$ . Так, для бензола расчетная и найденная из данных работы [6] величина  $\Delta G_{\text{окт}}^{\circ}$  составила -3.94 и -4.10 ккал/моль, для триэтиламина -4.60 и -4.50 ккал/моль, а их разности лежат в пределах ошибки опыта.

Рассмотрим величины инкрементов групп в  $\Delta G_{\text{окт}}^{\circ}$  (табл. 3), рассчитанных по уравнениям (3) - (6) и по групповым рефракциям групп [10] в единицах рефракции метиленовой группы. Расчет инкрементов групп по величинам рефракций базировался на выводах работы [11], в которой указывается, что энталпии и свободные энергии сольватации органических неэлектролитов алифатическими углеводородами являются функциями исключительно мольных рефракций первых.

Как показывает анализ данных табл. 3, для малополярных групп рассчитанные обоими способами величины  $I_x$ , за редкими исключениями, удовлетворительно согласуются, что подтверждает выводы, сделанные в работе [11]. Однако для сильно полярных групп, особенно содержащих кратные связи, наблюдаются заметные отрицательные отклонения от величин инкрементов, рассчитанных на основе рефракций. Эти

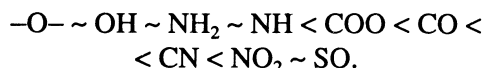
**Таблица 4.** Сопоставление величин  $-\Delta G_{\text{окт}}^{\circ}$  (ккал/моль), рассчитанных с использованием инкрементов (I) и определенных из данных по давлению пара, растворимости и распределению или с использованием литературных данных по  $\Delta G_{\text{гидр}}^{\circ}$  (II)

Вещество	I	II	Вещество	I	II
Диметил-сульфид	2.79	2.71	Бутанол	3.41	3.52
Диэтиламин	3.50	3.54*	Этилацетат	3.60	3.58
Дипропи-ловый эфир	4.76	4.70	Ацетонитрил	2.54	2.54
Этанол	2.09	2.25*	Нитрометан	2.65	2.88**

\* Расчет на основе  $\Delta G_{\text{гидр}}^{\circ}$  [1].

\*\* Усреднение данных по равновесию насыщенный пар—насыщенный водный раствор и пар—насыщенный октановый раствор (табл. 1, 2).

отклонения тем значительнее, чем меньше экранирована группа углеводородными радикалами и чем выше ее полярность. Так, эфирная и кетонная группы, находящиеся в циклах, имеют значения инкрементов на ~0.5 ккал/моль ниже, чем в линейной алифатической цепи. Для групп, связанных с линейными алифатическими углеводородными радикалами, отрицательные отклонения от рассчитанных на основе рефракций величин  $I_X$  растут в следующем ряду:



Положение групп в ряду может быть объяснено усилением индукционного эффекта с увеличением полярности групп и ростом вклада ориентационной составляющей в  $\Delta G_{\text{окт}}^{\circ}$ . Найденные величины инкрементов групп позволяют с хорошей точностью априори рассчитывать величины  $\Delta G_{\text{окт}}^{\circ}$  веществ, для которых известны  $I_X$  (табл. 4).

Таким образом, наличие данных по растворимости в воде или углеводородах и давлению насыщенных паров веществ, а также простота получения величин  $\Delta G_{\text{распр}}^{\circ}$  открывают возможность легкой оценки и прогнозирования значений  $\Delta G_{\text{окт}}^{\circ}$  для различных классов органических веществ. В свою очередь, знание  $\Delta G_{\text{окт}}^{\circ}$  позволит в ряде случаев рассчитывать труднодоступные величины  $\Delta G_{\text{гидр}}^{\circ}$  (см. табл. 2), а также на основе данных по распределению в системе малополярный органический растворитель—вода оценивать свободные энергии переноса веществ из октана в упомянутый органический растворитель.

## СПИСОК ЛИТЕРАТУРЫ

1. Ben-Naim A., Marcus Y. // J. Chem. Phys. 1984. V. 81. № 4. P. 2016.
2. Научитель В.В., Голованов И.Б., Волькенштейн М.В. // Докл. АН СССР. 1988. Т. 302. № 1. С. 138.
3. Reagents, Diagnostics, Chemicals. 1992/93. Merck.
4. Справочник по растворимости. Т. I. Кн. 1. М.; Л.: Химия, 1961. 960 с.
5. Лещев С.М., Рахманько Е.М., Онищук В.И. // Изв. вузов. Химия и хим. технология. 1990. Т. 33. № 8. С. 46.
6. Равновесие жидкость—пар. Справ. под ред. А.М. Богоявленского. Л.: Химия, 1987. 336 с.
7. Лещев С.М., Шарамет Н.Ф. // Журн. физ. химии. Т. 66. № 5. С. 1220.
8. Справочник химика. Л.: Химия, 1971. Т. 1. 1071 с.
9. Tanford Ch. The hydrophobic effect: formation of micelles and biological membranes. N.Y., 1973. P. 199.
10. Вредные вещества в промышленности. Справ. Л.: Химия, 1976. Т. 1. 592 с.
11. Соломонов Б.Н., Коновалов А.И. // Успехи химии. 1991. Т. 60. № 1. С. 45.

ХИМИЧЕСКАЯ ТЕРМОДИНАМИКА  
И ТЕРМОХИМИЯ

УДК 539.199.535.34.541.621.2

ТЕРМОДИНАМИЧЕСКИЕ ПАРАМЕТРЫ КОНФОРМАЦИОННЫХ  
РАВНОВЕСИЙ *транс*-1,2-ДИХЛОРИКЛОГЕКСАНА  
И 1,2-БРОМФТОРЭТАНА В РАСТВОРАХ И ПОЛИМЕРНЫХ МАТРИЦАХ

© 1993 г. А. А. Столов, Д. И. Камалова, С. А. Смирнов, Д. Г. Гладиков, А. Б. Ремизов

Казанский государственный университет

Поступила в редакцию 01.12.92 г.

Методом ИК-спектроскопии определены разности энталпий конформаций ( $\Delta H_0$ ) *транс*-1,2-дихлориклогексана (I) и 1,2-бромфторэтана (II) в серии жидких растворителей и стеклообразных полимерных матриц. Для I определены также разности энтропий конформаций  $\Delta S_0$ , а для II величины  $\Delta S_0$  найдены с точностью до постоянного слагаемого: отношения интегральных коэффициентов поглощения исследованных ИК-полос. Установлены близкие к линейным зависимости  $\Delta S_0$  от  $\Delta H_0$  (компенсационный эффект) для жидких растворов I и II. Определены тангенсы угла наклона прямых, которые составляют  $(1.4 \pm 0.5) \times 10^{-3}$  (I) и  $(1.1 \pm 0.5) \times 10^{-3} \text{ K}^{-1}$  (II). Показано, что для соединения I точки, относящиеся к растворам в стеклообразных полимерах, попадают на зависимость  $\Delta S_0$  от  $\Delta H_0$ , построенную для жидких растворов; для соединения II, напротив, наблюдается выпадение точек из этой зависимости. Результаты объяснены в рамках предложенной ранее модели компенсационного эффекта в термодинамике конформационных равновесий.

При исследовании внутреннего вращения в молекулах важным является учет влияния среды на термодинамические параметры конформационных равновесий [1, 2]. С другой стороны, параметры конформационного равновесия играют большую роль при изучении свойств жидкостей и растворов. В частности, сравнение вычисленных и экспериментальных характеристик конформационных равновесий является своеобразным тестом применимости той или иной модели межмолекулярных взаимодействий [3]. Классическими объектами исследований в данной области стали галогенозамещенные этаны и циклогексаны, а в качестве сред обычно используются органические жидкости [1]. Однако необходимо отметить, что к настоящему времени слабо изучено влияние среды на разности энтропий конформаций  $\Delta S_0$ . Эти данные необходимы при анализе компенсационных зависимостей, обнаруженных ранее для конформационных равновесий [4, 5]. Кроме того, представляется интересным рассмотреть в качестве сред полимерные стеклообразные матрицы, поскольку было показано [6], что изучение конформационной подвижности малых молекул (зондов), внедренных в матрицу, может давать информацию о релаксационных переходах в полимере. С помощью подобных зондов возможно также и определение температур стеклования низкомолекулярных соединений [7, 8]. В данной работе представлены результаты ИК-спектроскопического изучения конформационных равновесий *транс*-1,2-дихлориклогексана (I) и

1,2-бромфторэтана (II) в жидких растворителях и стеклообразных полимерных матрицах.

Ранее разности энталпий конформаций I определялись методом ИК-спектроскопии в [9] (жидкость) и [10] (растворы и газ). Величины  $\Delta H_0$  и  $\Delta S_0$  в пропане и  $\text{CF}_2\text{Cl}_2$  определялись в [4, 5]. В [11, 12] методом ЯМР измерены разности свободных энергий  $\Delta G_0$  конформаций I в различных растворителях. Для II по ИК-спектрам определены величины  $\Delta H_0$  в жидкости и газе [13].

ЭКСПЕРИМЕНТАЛЬНАЯ ЧАСТЬ

Соединения I и II синтезировали по методикам [13, 14]. Жидкие растворители ацетон, гексан, ацетонитрил, этилацетат, хлористый бутил очищали и осушали, как описано в [15]. В качестве полимерных матриц использовали полистирол (ПС), полиметилметакрилат (ПММА), полибутилметакрилат (ПБМА), поливинилацетат (ПВА), поливинилбутират (ПВБ). Все перечисленные полимеры являются стеклообразными при температурах ниже комнатной [16]. Выбор растворителей и матриц определялся наличием окон прозрачности в областях конформационно-чувствительных полос соединений I и II. Концентрации I и II в низко- и высокомолекулярных средах не превышали 4 об. %. В полимерные матрицы соединения I и II вводили из газовой фазы. Равномерного распределения I и II по толщине полимерных пленок ( $l \sim 0.05 - 0.01 \text{ mm}$ ) достигали выдерживанием образцов при комнатной температуре в течение нескольких суток. Время выдер-

жки определяли из учета коэффициентов диффузии в стеклообразных полимерах [16]. Кроме того, однородность распределения I и II по толщине образца контролировали методом МНПВО.

Инфракрасные спектры регистрировали и обрабатывали с помощью оригинального спектрально-аппаратного комплекса: спектрофотометр "SPECORD M80"-компьютер "Искра-1030". Комплекс позволяет передавать регистрируемые спектры в память компьютера и проводить с ними следующие процедуры: сглаживание, фильтрацию, сложение и вычитание спектров с предварительным нормированием по иной толщине слоя, подсчет интегральных интенсивностей, центров тяжести полос поглощения, подсчет усеченных моментов контуров, численное дифференцирование, разделение сложного контура на два симметричных (метод [17]) и N контуров заданной формы (минимизация суммы квадратов невязок по методу Дэвидона-Флетчера-Паулла [18]). Эксперименты проводили в два этапа. Сначала регистрировали и записывали в память компьютера спектры растворов при различных температурах. Затем то же повторялось для чистых растворителей. Далее проводилось вычитание спектров, соответствующих одинаковой температуре.

Разности энталпий конформаций  $\Delta H_0$  определялись по зависимостям  $\ln(I_A/I_B)$  от температуры, где  $I_A$  и  $I_B$  – интегральные интенсивности полос поглощения, относящиеся к конформациям А и В. Это весьма широко распространенный подход, причем его использование основано на предположении независимости от температуры отношения коэффициентов поглощения полос конформаций  $\alpha_A/\alpha_B$ . Справедливость этого предположения обычно остается неясной, что снижает ценность получаемых величин  $\Delta H_0$  (например, [1, 2]). В данной работе независимость отношения  $\alpha_A/\alpha_B$  от температуры подтверждалась экспериментально путем исследований ИК-спектров в области температур, где конформационное равновесие заморожено [5 - 8].

Для исследования конформационного равновесия I нами были выбраны полосы поглощения 616 и  $450\text{ cm}^{-1}$ , относящиеся к диаксиальному (*aa*) и диэкваториальному (*ee*) конформерам соответственно [9, 14]. Указанные полосы не попадают в окна прозрачности ПВА и ПВБ, поэтому в этих случаях измерения проводились по парам полос 799 (*aa*) и  $514\text{ cm}^{-1}$  (*ee*) – ПВА; 696 (*aa*) и  $736\text{ cm}^{-1}$  (*ee*) – ПВБ. Величины  $\ln(I^{616}/I^{450})$  для этих систем определены пересчетом  $\ln(I^{799}/I^{514})$  и  $\ln(I^{696}/I^{736})$  с использованием коэффициентов поглощения полос, измеренных для чистой жидкости. Определения величин  $\Delta H_0$  соединения II проводились по интенсивностям полос  $680$  и  $450\text{ cm}^{-1}$ , относящихся к *транс*- (*t*) и *гош*- (*g*) конформерам соответственно [13].

## ОБСУЖДЕНИЕ РЕЗУЛЬТАТОВ

Величины  $\Delta H_0$  соединений I и II приведены в табл. 1, 2. Значения  $\Delta H_0$  для I в гептане,  $\text{CCl}_4$ ,  $\text{CS}_2$  и  $\text{C}_6\text{H}_6$  взяты из [10], в пропане и  $\text{CF}_2\text{H}_2$  из [4], для жидкого I – из [9]. Остальные величины  $\Delta H_0$  получены в настоящей работе.

Согласно современным представлениям, влияние среды на разность энталпий конформаций представляет сумму вкладов специфического, электростатического, дисперсионного и кавитационного взаимодействий [2]. Последнее представляет собой разность энергий образования полости в среде для помещения туда изучаемых конформеров. Принято считать вклад электростатических взаимодействий доминирующим [1, 2], о чем можно судить, в частности, по корреляции между величинами  $\Delta H_0$  и  $(\epsilon - 1)/(\epsilon + 2)$ . Такая корреляция имеется в случае соединения I для точек, соответствующих жидкости и жидким раствори-

Таблица 1. Параметры конформационного равновесия *транс*-1,2-дихлорциклогексана в жидкости, растворах и стеклообразных полимерных матрицах

№	Растворитель	$\epsilon$	$\Delta H_0^{aa-ee}$ , кал/моль	$\ln(I^{616}/I^{450})$ $T = 298\text{ K}$	$\Delta S_0^{aa-ee}$ , кал/(моль K)
1	Пропан	1.9 <sup>(1)</sup>	$-485 \pm 20^{(1)}$	2.46	$-0.95 \pm 0.15^{(1)}$
2	Пентан	1.84	$-485 \pm 20^{(2)}$	2.46	$-1.25^{(3)}$
3	Гептан	1.9	$-750^{(4)}$	2.46	$-2.00^{(5)}$
4	$\text{CCl}_4$	2.2	$-580^{(4)}$	2.32	$-1.71^{(5)}$
5	$\text{CS}_2$	2.6	$-200^{(5)}$	1.98	$-1.11^{(3)}$
6	$\text{CF}_2\text{Cl}_2$	2.8 <sup>(1)</sup>	$0 \pm 40^{(1)}$	–	$0.65 \pm 0.35$
7	Бензол	7.5	$430^{(4)}$	1.70	$0.45^{(5)}$
8	Чистая жидкость	10.0	$540 \pm 80^{(6)}$	1.60	$0.63^{(5)}$
9	Ацетон	20.7	$940 \pm 40$	0.94	$0.55^{(3)}$
10	Ацето- нитрил	37.4	$1040 \pm 100$	0.81	$0.73^{(5)}$
11	ПС	2.5	$120 \pm 30$	1.54	$-0.91^{(5)}$
12	ПВБ	2.9	$200 \pm 70$	1.53	$-0.76^{(5)}$
13	ПВА	3.2	$430 \pm 130$	1.60	$0.15^{(5)}$
14	ПММА	3.2	$490 \pm 85$	1.18	$-0.48^{(5)}$

(1) Величина взята из [4] и приведена для  $T = 167\text{ K}$ .

(2) Приведено значение для раствора в пропане.

(3) Значение найдено по уравнению (1), где величина  $\Delta G_0$  измерена методом ЯМР, а величина  $\Delta H_0$  найдена методом ИК-спектроскопии.

(4) Величина взята из [10].

(5) Значение найдено по уравнению (2) с использованием значения  $\ln(\alpha_A/\alpha_B) = 2.2$ . Погрешность определения  $\ln(I^{616}/I^{450})$  составляет  $\pm 0.1$ .

(6) Величина взята из [9].

**Таблица 2.** Параметры конформационного равновесия 1,2-бромфторэтана в растворах и стеклообразных матрицах

№	Растворитель	$\epsilon$	$\Delta H_0^{I-g}$ , кал/моль	$\ln(I_{680}/I_{450})$ $T = 298 \text{ К}$	$\Delta S_0 + R\ln(\alpha_A/\alpha_B)$ , кал/(моль К)
1	Гексан	1.9	$-90 \pm 150$	0.72	1.13
2	Вазелиновое масло	2.0	$-80 \pm 140$	0.68	1.08
3	Этилацетат	6.0	$1240 \pm 110$	-0.60	2.97
4	Хлористый бутил	7.4	$620 \pm 40$	-0.32	1.44
5	Чистая жидкость	16.3	$1250 \pm 60$	-0.91	2.39
6	Ацетон	20.7	$1320 \pm 200$	-0.99	2.46
7	Ацетонитрил	37.4	$1070 \pm 140$	-1.11	1.38
8	ПВБ	2.9	$500 \pm 100$	-0.24	1.20
9	ПБМА	2.8	$550 \pm 70$	-0.47	0.91
10	ПВА	3.2	$650 \pm 180$	-0.90	0.39

Примечание. Средняя ошибка определения  $\ln(I_{680}/I_{450})$  составляет  $\pm 0.1$ .

телям (рис. 1,  $\rho = 0.98$ ; среднее квадратичное отклонение  $S = 140$  кал/моль), а в случае II – для всех точек (рис. 1,  $\rho = 0.88$ ;  $S = 260$  кал/моль). Учитывая “бензольный эффект”, мы приняли для этого растворителя  $\epsilon = 7.5$ .

Следует подчеркнуть, что для соединения I точки, соответствующие стеклообразным полимерам, расположены выше корреляционной прямой, т.е. в полимерах (по сравнению с жидкостью средой той же диэлектрической проницаемости) более стабилен *ee*-конформер. В то же время для соединения II точки, соответствующие стеклообразным полимерам, не выделяются из общей зависимости. Это можно объяснить следующим образом. Стеклообразные полимеры обладают большей плотностью по сравнению с моделирующими их низкомолекулярными жидкостями. Следовательно, в полимере большее внутреннее давление, что делает энергетически более выгодным конформер, меньший по объему. Согласно [14, 19], для I меньшим объемом обладает *ee*-конформер, поэтому наблюдаемое нами смещение конформационного равновесия в сторону *ee*-конформации соединения I в полимерных матрицах вызвано, по-видимому, кавитационным взаимодействием. Молекулы II вследствие их малого объема более свободно располагаются в микропустотах стеклообразных полимеров. Возможно, поэтому кавитационные взаимодействия не дают

заметного вклада в величины  $\Delta H_0$  соединения II в полимерных матрицах.

Перейдем к анализу данных по величинам  $\Delta S_0$  соединений I и II, которые приведены в табл. 1, 2. Они получены различными путями. Так, для соединения I величины  $\Delta S_0$  в растворах пропана и  $\text{CF}_2\text{Cl}_2$  определены экспериментально совместно с  $\Delta H_0$  [4, 5]. Для растворов в пентане,  $\text{CS}_2$  и ацетоне величины  $\Delta S_0$  найдены из уравнения

$$\Delta G_0 = \Delta H_0 - T\Delta S_0, \quad (1)$$

причем использованы величины  $\Delta G_0$ , измеренные методом ЯМР [11, 12], а величины  $\Delta H_0$  – методом ИК-спектроскопии с вариацией температуры (см. табл. 1). Затем мы воспользовались уравнением

$$\ln(I_A/I_B) = \ln(\alpha_A/\alpha_B) - \Delta H_0/RT + \Delta S_0/R. \quad (2)$$

Величины  $\ln(I_A/I_B)$  для полос 616 и  $450 \text{ см}^{-1}$  при температуре 298 К определены нами и приведены в табл. 1 (для растворов в пропане и пентане они полагались такими же, как и для раствора в гептане). Используя величины  $\ln(I_A/I_B)$ ,  $\Delta H_0$  и  $\Delta S_0$  (табл. 1), мы нашли значения  $\ln(\alpha_A/\alpha_B)$  полос 616 и  $450 \text{ см}^{-1}$  для спектров растворов в пропане, пентане,  $\text{CS}_2$  и ацетоне. Они оказались равными 2.16; 2.26; 2.20 и 2.30 соответственно, что указывает на слабую зависимость от природы растворителя величины  $\alpha_A/\alpha_B$  для исследованных полос I. Наконец, положив далее  $\ln(\alpha_A/\alpha_B) = 2.2$ , мы рассчитали значения  $\Delta S_0$  для указанных растворов и полимерных матриц (табл. 1). В случае соединения II были найдены величины  $\Delta S_0 + R\ln(\alpha_A/\alpha_B)$  (табл. 2) с использованием определенных значений  $\Delta H_0$  и  $\ln(I_A/I_B)$ . На рис. 2 представлены зависимости  $\Delta S_0$  от  $\Delta H_0$  (соединение I) и  $\Delta S_0 + R\ln(\alpha_A/\alpha_B)$  от  $\Delta H_0$  (соединение II).

Для соединения I наблюдается удовлетворительная корреляция ( $\rho = 0.85$ ), что подтверждает наличие обнаруженнего ранее компенсационного эффекта для конформационных равновесий [4, 5]. Отметим, что точки, соответствующие полимерам, не выпадают из общей зависимости. Тангенс угла наклона прямой оказался равным  $\Delta\Delta S_0/\Delta\Delta H_0 = (1.4 \pm 0.5) \times 10^{-3} \text{ K}^{-1}$ .

Согласно [5], для молекул, конформациям которых соответствует один энергетический минимум на поверхности потенциальной энергии, тангенс угла наклона зависимости  $\Delta S_0$  от  $\Delta H_0$  определяется выражением:

$$\Delta\Delta S_0^{aa-ee}/\Delta\Delta H_0^{aa-ee} = (mR)/(2\Delta H_{aa-ee}^{\neq}), \quad (3)$$

где  $\Delta H_{aa-ee}^{\neq}$  – энталпия активации перехода *aa-ee*,  $m$  – число нормальных координат, изменяющихся при внутреннем вращении. В данном случае, полагая  $\Delta H_{aa-ee}^{\neq} \approx 13.5$  ккал/моль [5], получим  $m \approx 19$ .

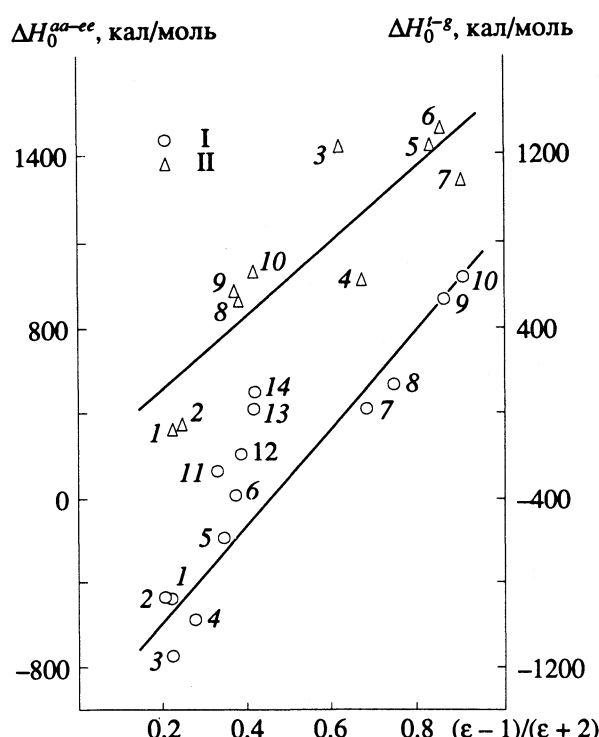


Рис. 1. Корреляция между величинами  $\Delta H_0$  и  $(\epsilon - 1)/(\epsilon + 2)$  для транс-1,2-дихлорциклогексана (I) и 1,2-бромфторэтана (II). Обозначения точек соответствуют номерам в табл. 1 и 2.

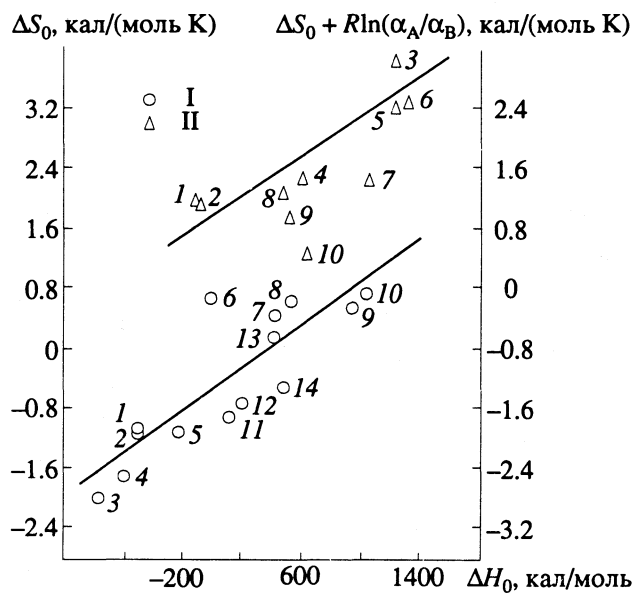


Рис. 2. Зависимости  $\Delta S_0$  от  $\Delta H_0$  для транс-1,2-дихлорциклогексана (I) и  $(\Delta S_0 + R \ln(\alpha_A/\alpha_B))$  от  $\Delta H_0$  для 1,2-бромфторэтана (II). Обозначения точек соответствуют номерам в табл. 1 и 2.

Для соединения II корреляция между значениями  $\Delta S_0$  и  $\Delta H_0$  практически отсутствует, если принимать во внимание все экспериментальные точки. Однако, как было указано в [20], в случае двойного вырождения одного из конформеров

(например, для конформационного транс-гошировновесия) зависимость  $\Delta S_0$  от  $\Delta H_0$  должна быть близка к линейной только для жидких растворов.

Можно видеть, что для жидких растворителей (за исключением ацетонитрила) компенсационная зависимость действительно имеет место:  $(\Delta \Delta S_0 / \Delta \Delta H_0) = (1.1 \pm 0.5) \times 10^{-3} \text{ K}^{-1}$ ,  $\rho = 0.93$ . Выпадение точки ацетонитрила не является следствием ошибки эксперимента (измерения многократно воспроизводились), и вопрос о его причине остается открытым. По тангенсу угла наклона зависимости  $\Delta S_0$  от  $\Delta H_0$  была проведена оценка значения  $m$  (уравнение (3)). Положив для II значение  $\Delta H^{\neq} \approx 5$  ккал/моль [21], мы получили  $m \approx 6$ .

Таким образом, изучение влияния среды на термодинамические параметры конформаций I и II позволяет подтвердить предложенную ранее [4, 5] модель компенсационного эффекта для конформационных равновесий в жидких растворах.

Как видно из рис. 2, переход от жидкого растворителя к стеклообразной матрице, происходящий без изменения  $\Delta H_0$ , сопровождается уменьшением  $\Delta S_0$ : соответствующие точки расположены ниже прямой, проведенной для жидких растворителей. При этом возрастает концентрация гоши-формы, что может быть связано со спецификой структуры микропустот полимерных матриц, в сольватных оболочках которых располагаются изучаемые конформеры.

Авторы выражают благодарность А.Н. Ведерникову за синтез 1,2-бромфторэтана.

#### СПИСОК ЛИТЕРАТУРЫ

1. Абрагам Р.Дж., Бретшнейдер Е. // Внутреннее вращение молекул / Под ред. В.Дж. Орвилл-Томаса. М.: Мир, 1977. 510 с.
2. Самошин В.В., Зефиров Н.С. // Журн. Всесоюз. хим. о-ва им. Д.И. Менделеева. 1984. Т. 29. № 5. С. 521.
3. Симкин Б.Е., Шейхет И.И. // Квантово-химическая и статистическая теория растворов. Вычислительные методы и их применение. М.: Химия, 1989. 252 с.
4. Ремизов А.Б., Столлов А.А., Фишман А.И. // Журн. физ. химии. 1987. Т. 61. № 11. С. 2909.
5. Fishman A.I., Stolov A.A., Remizov A.B. // Spectrochim. Acta. 1990. V. 46 A. № 7. P. 1037.
6. Згадзай О.Э., Камалова Д.И., Ремизов А.Б. и др. // Журн. физ. химии. 1990. Т. 64. № 4. С. 1029.
7. Гусева С.Ю., Згадзай О.Э., Ремизов А.Б. и др. // Там же. 1986. Т. 60. № 12. С. 1247.
8. Fishman A.I., Guseva S.Yu., Remizov A.B. et al. // Spectrochim. Acta. 1986. V. 42A. № 11. P. 1247.
9. Ремизов А.Б., Свердлов Л.М. // Журн. прикл. спектроскопии. 1968. Т. 9. № 1. С. 113.
10. Ульянова О.Д., Островский М.К., Пентин Ю.А. // Журн. физ. химии. 1970. Т. 44. № 3/4. С. 1014.
11. Abraham R.J., Loan J.W. // J. Chem. Soc. Perkin Trans. Part II. 1973. № 5. P. 582.

12. Lemieux R.V., Loan J.W. // Can. J. Chem. 1964. V. 42. № 3. P. 893.
13. Berman M.P.EI., Jonathan N. // J. Chem. Phys. 1968. V. 49. № 1. P. 340.
14. Klaboe P. // Acta Chem. Scand. 1971. V. 25. № 2. P. 695.
15. Вайсбергер А., Проскауэр Э., Риддик Дж., Тупс Э. Органические растворители. Физические свойства и методы очистки. М.: Изд-во иностр. лит., 1958. 520 с.
16. Van Krevelen D.W. Свойства и химическое строение полимеров. М.: Химия, 1989. 252 с.
17. Михайленко В.И., Кучеренко Б.И., Котов М.В. // Журн. прикл. спектроскопии. 1973. Т. 19. № 2. С. 361.
18. Химмельблау Д. Прикладное нелинейное программирование. М.: Мир, 1975. 534 с.
19. Hortvedt H.T., Klaboe P. // Acta Chem. Scand. 1971. V. 25. № 2. P. 772.
20. Камалова Д.И., Ремизов А.Б., Столов А.А., Фишман А.И. // Журн. физ. химии. 1990. Т. 64. № 4. С. 893.
21. Аллен Дж., Фьюстер С. // Внутреннее вращение молекул / Под ред. В.Дж. Орвилл-Томаса. М.: Мир, 1977. 510 с.

## ХИМИЧЕСКАЯ ТЕРМОДИНАМИКА И ТЕРМОХИМИЯ

УДК 541.11

### УСЛОВИЯ ТЕРМОДИНАМИЧЕСКОЙ УСТОЙЧИВОСТИ СВЕРХПРОВОДНИКА $\text{YBa}_2\text{Cu}_3\text{O}_{6+z}$

© 1993 г. С. А. Дегтярев, Г. Ф. Воронин

Московский государственный университет им. М.В. Ломоносова, Химический факультет

Поступила в редакцию 27.01.93 г.

Последние данные о термодинамических свойствах фаз в системе Y–Ba–Cu–O использованы для расчета стабильных и метастабильных фазовых равновесий с участием сверхпроводника  $\text{YBa}_2\text{Cu}_3\text{O}_{6+z}$ . Построена область термодинамической устойчивости этой фазы в координатах состав – температура и парциальное давление кислорода – температура. Результаты термодинамических расчетов сравнены с имеющимися в литературе результатами прямых экспериментальных исследований устойчивости фазы  $\text{YBa}_2\text{Cu}_3\text{O}_{6+z}$ . Оценены термодинамические свойства соединения  $\text{Y}_2\text{BaCuO}_5$  и твердого раствора  $\text{YBa}_4\text{Cu}_3\text{O}_{8.5+q}$ .

Электрофизические свойства высокотемпературных сверхпроводников, наблюдаемые при низких температурах, определяются условиями получения материала при высоких температурах. Поэтому исследование фазовых равновесий и устойчивости сверхпроводников в широком интервале температур и парциальных давлений кислорода имеет первостепенное значение для получения керамических материалов и пленок с хорошими рабочими характеристиками.

Смысль определения области термодинамической устойчивости вещества заключается в том, что при равновесии в этой области исключены любые непредвиденные изменения его свойств: при фиксированных термодинамических переменных термодинамика гарантирует сохранение равновесного состояния, а также указывает направление и конечный результат для любых изменений в системе. Фаза  $\text{YBa}_2\text{Cu}_3\text{O}_{6+z}$  (123), как и другие фазы, может существовать и действительно существует за пределами указанной термодинамикой равновесной области температур, давлений, составов. Это могут быть только метастабильные или замороженные (лабильные) состояния вещества. В первом случае состояние может сохраняться сколь угодно долго, пока в системе не появится источник энергии активации, необходимой для перехода к устойчивому равновесию. Лабильные же состояния характеризуются столь малыми временами жизни, что свойства системы практически не изменяются за время наблюдения за ней.

Ранее [1 - 3] нами была определена область термодинамической устойчивости твердого раствора 123 на основании результатов термодинамического изучения системы Y–Ba–Cu–O. Было установлено, в частности, что сверхпроводящая орторомбическая фаза термодинамически неустойчива при любых составах, температурах и пар-

циальных давлениях кислорода. За последние годы появилось много новых экспериментальных данных, позволяющих улучшить набор самосогласованных термодинамических свойств фаз системы Y–Ba–Cu–O и рассчитать области устойчивости сверхпроводников в этой системе с большей надежностью и точностью. В то же время был выполнен ряд новых прямых экспериментальных исследований условий устойчивости сверхпроводника 123 [4 - 7].

В настоящей работе рассчитана область устойчивости фазы 123 на основе последних данных о термодинамике системы Y–Ba–Cu–O. Методика расчетов рассмотрена в наших прежних публикациях [1 - 3]. Результаты термодинамических расчетов сравнены с экспериментом, рассмотрены некоторые возможности их практического применения.

#### ТЕРМОДИНАМИЧЕСКИЕ СВОЙСТВА ФАЗ

Для расчета фазовых равновесий использовались "оптимизированные" нами термодинамические функции сверхпроводников 123,  $\text{YBa}_2\text{Cu}_4\text{O}_8$  (124),  $\text{Y}_2\text{Ba}_4\text{Cu}_7\text{O}_{14+w}$  (247) и фаз в системе Ba–Cu–O [8 - 10]. Свойства соединения  $\text{Y}_2\text{BaCuO}_5$  (211) получены из данных табл. 1 для реакции



свойства других фаз были такими же, как и в [11].

Калориметрические данные получены с помощью растворения соединения в концентрированной хлорной [12, 13, 15] или соляной [14, 17] кислотах, в расплавах боратных стекол [16] и методом адиабатической калориметрии [22]. При этом в работах [15, 17] термохимический цикл включал в себя последовательное растворение различных фаз в одном и том же растворе. Остальные

Таблица 1. Энталпии и энтропии реакции (1')

T, K	$-\Delta_f H$ , кДж/моль	$\Delta_f S$ , Дж/(моль К)	Литература
298	$73.9 \pm 9^*$		[12]
298	$53.7 \pm 22^{**,**}$		[13]
298	78.3		[14]
298	$5.1 \pm 4.9^{**}$		[15]
298	$48.6 \pm 3$		[16]
977	$59.2 \pm 2.7$		[16]
323	$76.1 \pm 8.4$		[17]
713 - 1000	152.47	-25.76	[18]
853 - 1066	72.5	79.3	[19]
1057 - 1247	$61.7 \pm 2.5$	$-6.5 \pm 2.2$	[20]
950 - 1200	24.4	38	[21]
298	$9.0 \pm 4.9^{**}$	$3.5 \pm 0.3$	[6]
298		-4.7	[22]

\* Увеличено на 18.1 кДж/моль в связи с исправлением значения теплоты растворения кристаллогидрата хлорной меди, входящей в термохимический цикл (см. [23]).

\*\* Рассчитано по указанным в работе стандартным энталпиям образования соединения и оксидов из простых веществ.

приведенные в табл. 1 данные получены методом электродвигущих сил. В [20] в качестве мембранны в электрохимическом элементе использовался фторид бария, в [19, 21] – фторид кальция, а в [6, 18] – оксид циркония, стабилизированный оксидом иттрия. Поскольку оксид циркония может реагировать с фазами, содержащими барий, образуя цирконат бария, в [6] на поверхность мембранны наносился защитный слой из оксидов церия и гадолиния.

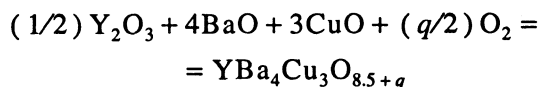
Из табл. 1 видно, что наблюдается значительное расхождение между результатами разных работ, как, впрочем, и в большинстве термодинамических исследований других оксидных керамик. Для получения надежных данных требуется детальный анализ каждой работы с учетом особенностей использованных методик, качества выполненного эксперимента, обработки его результатов и квалификации авторов. За основу были приняты величины энергии Гиббса фазы 211 при 1100 К по данным [20] и ее энталпии при 298 и 977 К согласно [16]. В результате для интервала  $298 \leq T \leq 1300$  К рекомендуется следующая энергия Гиббса образования 211 из оксидов (реакции (1')):

$$\Delta_f G^{\text{ox}}(\text{Y}_2\text{BaCuO}_5)/R = -5357.6 - 11.924T - 1.804T(1 - \ln T),$$

где  $R$  – газовая постоянная.

Фаза  $\text{YBa}_4\text{Cu}_3\text{O}_{8.5+q}$  (143), участвующая в равновесиях с 123, из-за отсутствия необходимых данных рассматривалась нами ранее как индиви-

дуальное соединение с  $q = 0$  [1 - 3, 11]. Она имеет кубическую кристаллическую решетку типа пегровскита с кислородными вакансиями. В образцах, отожженных на воздухе при  $900^\circ\text{C}$  и закаленных в жидким азоте,  $q \approx 0$ , в то время как при медленном охлаждении до комнатной температуры  $q \approx 0.5$  [24]. Изучение электродвигущей силы электрохимического элемента с фазой 143 в рабочем электроде в зависимости от давления кислорода показало, что при  $p_{\text{O}_2} = 1$  атм и  $T = 1100$  К значение  $q \approx 0.25$  [20]. Из работы [20] следует, что изменение энергии Гиббса при образовании фазы 143 по реакции



при этих условиях составляет  $-129.1$  кДж/моль. Используя приведенные данные и оценив энталпии “граничных компонентов”  $\text{YBa}_4\text{Cu}_3\text{O}_{8.5}$  и  $\text{YBa}_4\text{Cu}_3\text{O}_9$  твердого раствора по методике, кратко изложенной в [11], мы получили следующие выражения для энталпии и энтропии фазы  $\text{YBa}_4\text{Cu}_3\text{O}_{8.5+q}$  в интервале  $298 \leq T \leq 1300$  К:

$$\Delta_f H^{\text{ox}}(143)/R = a_0 + 2Aq + 2q(1 - 2q)a_1,$$

$$\Delta_f S^{\text{ox}}(143)/R = b_0 + 2Bq - 2q\ln(2q) - (1 - 2q)\ln(1 - 2q),$$

где  $A = -5648.6$  К,  $B = -5.136$ ,  $a_0 = -16930.7$  К,  $a_1 = -347.9$  К,  $b_0 = -2.05$ ,  $R = 8.3144$  Дж/(моль К). Из этих уравнений легко получить формулу для определения индекса  $q$  при заданных температуре и давлении кислорода  $p_{\text{O}_2}$ :

$$[\ln p_{\text{O}_2}] / 4 = \ln[2q/(1 - 2q)] + A/T - B + (1 - 4q)a_1/T.$$

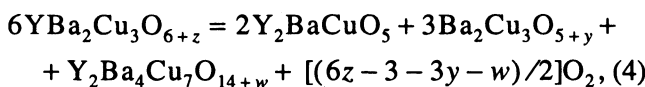
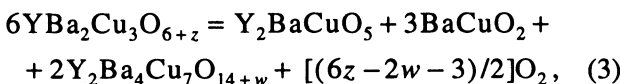
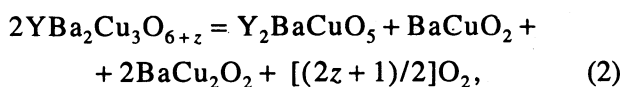
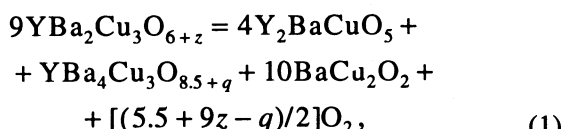
## ОБЛАСТЬ УСТОЙЧИВОСТИ ФАЗЫ 123

Рассчитанная фазовая диаграмма твердых растворов кислорода в 123 показана на рис. 1. В отличие от [1 - 3], при расчетах равновесий в данном случае набор возможных фаз системы  $\text{Y}-\text{Ba}-\text{Cu}-\text{O}$  содержал фазу  $\text{Ba}_2\text{Cu}_3\text{O}_{5+q}$  вместо  $\text{BaCuO}_{2.35}$ . Последняя формула, предложенная в работе [25], была, вероятно, ошибочно приписана фазе  $\text{Ba}_2\text{Cu}_3\text{O}_{5+q}$ , существование которой в настоящее время не вызывает сомнений [10].

Зависимости равновесного состава от температуры при постоянном парциальном давлении кислорода изображены длинными пунктирами. Короткий пунктир показывает метастабильные равновесия тетрагональной (*tet*) и орторомбической (*ort*) фаз. В литературе часто отмечается возможность упорядочения вакансий в кислородной подрешетке твердого раствора 123 с образованием ряда соединений при низкой температуре. Они не показаны на рис. 1, так как лежат вне области

термодинамической устойчивости фазы 123 и не существенны для анализа ее поведения при высоких температурах. В то же время из-за отсутствия данных о термодинамических свойствах таких соединений невозможно, к сожалению, рассчитать их метастабильные равновесия с тетрагональной и орторомбической фазами, хотя это, несомненно, представляло бы интерес для разработки методик их получения.

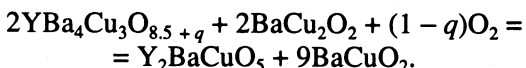
Область термодинамической устойчивости твердого раствора 123 ограничена на рис. 1 толстыми линиями, каждая из которых показывает условия равновесия для одной из следующих реакций распада:



Все линии на рис. 1 рассчитаны с использованием самосогласованного набора термодинамических функций фаз системы Y–Ba–Cu–O за исключением кривой 5, описывающей инконгруэнтное плавление 123. Координаты этой кривой взяты из работы [5].

Линии, соответствующие равновесиям (1) и (2), практически совпадают. Они дважды пересекают друг друга, а расстояние между ними не превышает погрешности расчета, возникающей вследствие неопределенности определения термодинамических свойств фаз. Поэтому нельзя сделать вывод о том, какое именно из этих равновесий в действительности ограничивает устойчивость фазы 123, а какое является метастабильным, на рис. 1 им соответствует одна общая кривая.

Относительная устойчивость продуктов реакций распада (1) и (2) определяется, как легко заметить, условиями равновесия реакции



Эта реакция протекает с поглощением кислорода, так как  $q < 1$ . Следовательно, если устойчивость фазы 123 ограничивает реакция (2), то при некотором уменьшении давления кислорода и (или) повышении температуры по сравнению с их равновесными значениями продукты реакции (2) будут менее устойчивыми, чем продукты реакции (1).

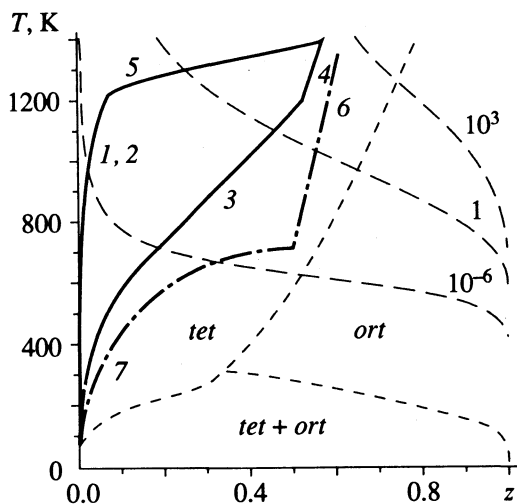
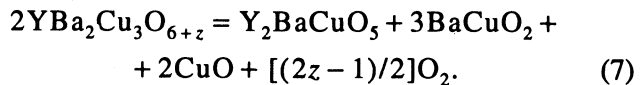
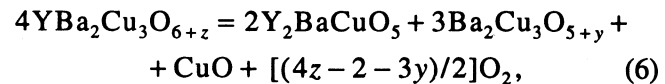


Рис. 1. Состав и область устойчивости твердого раствора  $\text{YBa}_2\text{Cu}_3\text{O}_{6+z}$  (123). Эта фаза термодинамически устойчива между толстыми линиями. Кривые 1 - 7 на рисунке соответствуют реакциям (1) - (7) в тексте. Значения у пунктирных линий – давление  $\text{O}_2$ , атм.

Как отмечалось выше, реакции (1) - (5) только ограничивают область устойчивости фазы 123. Вне этой области, т.е. на некотором расстоянии от границ устойчивости, возможны и другие реакции разложения фазы 123. Какие именно реакции будут при этом протекать, зависит не только от их “движущей силы”, т.е. энергии Гиббса, но и от кинетики. Так, известно, что образование фаз 124 и 247 при умеренных давлениях кислорода протекает крайне медленно (см., например, [5, 26, 27]). Поэтому представляет интерес определение области устойчивости фазы 123 при дополнительном условии, что соединения 124 и 247 не образуются, например, по кинетическим причинам. В таком случае область устойчивости фазы 123 ограничиваются штрихпунктирные линии 6 и 7 на рис. 1, соответствующие метастабильному (в отсутствие фаз 124 и 247) равновесию следующих реакций:



Вполне возможно, что реальное поведение фазы 123 при некоторых условиях, в частности при относительно небольших временах отжига, определяется этими метастабильными состояниями, а не распадом по уравнениям (3) и (4).

На рис. 2 область термодинамической устойчивости фазы 123 показана в других координатах. Тонкой линией изображено метастабильное равновесие орторомбической и тетрагональной фазы, а пунктирами – температурная зависимость равновесного парциального давления

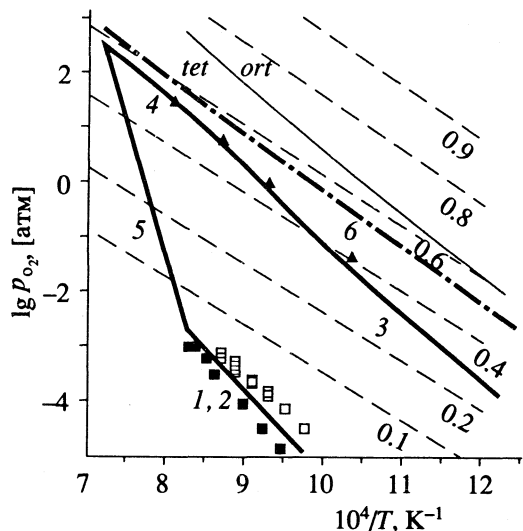


Рис. 2. Область термодинамической устойчивости фазы 123. Линии 1 - 6 на рисунке соответствуют реакциям (1) - (6) в тексте. Фаза 123 устойчива между толстыми линиями. Когда образование фаз 124 и 247 кинетически заторможено, фаза 123 будет устойчива до штрихпунктирной линии. Точки ▲, ■ и □ – экспериментальные данные работ [4, 5, 28] соответственно (данные [28] взяты из графика). У пунктирных линий указаны значения  $z$ .

кислорода над твердым раствором  $\text{YBa}_2\text{Cu}_3\text{O}_{6+z}$  постоянного состава. Точками показаны данные прямых экспериментов [4, 5, 28] по изучению устойчивости фазы 123. Результаты наших более ранних расчетов с теоретически оцененными термодинамическими функциями фаз 247 и 124 [1 - 3] качественно не отличаются от показанных на рис. 1, 2.

### УСТОЙЧИВОСТЬ ФАЗЫ 123 ПРИ ПОВЫШЕННЫХ ДАВЛЕНИЯХ КИСЛОРОДА

Расчеты показали, что граница области устойчивости фазы 123 со стороны высоких давлений определяется равновесиями (3) и (4). Процесс распада по уравнению (3) подтверждается экспериментами, проведенными при давлениях кислорода выше 100 атм [29]. Обсуждаемая граница исследовалась также с помощью изотермических отжигов образцов с последующим их закаливанием и анализом в [4]. Результаты этой работы нанесены на рис. 2 (размер точек примерно соответствует указанной авторами погрешности определения температур и давлений). Как видно из рис. 2, данные [4] хорошо согласуются с рассчитанными кривыми. Однако в продуктах распада фазы 123 авторы [4] не обнаружили фазы 247, и наряду с фазами 211 и  $\text{Ba}_2\text{Cu}_3\text{O}_{5+y}$  в одном из нескольких изученных образцов они наблюдали

присутствие  $\text{CuO}$ . Поэтому для интересующей граничной реакции в [4] предложено уравнение

$$4\text{YBa}_2\text{Cu}_3\text{O}_{6+z} = 2\text{Y}_2\text{BaCuO}_5 + 3\text{Ba}_2\text{Cu}_3\text{O}_{5+y} + \text{CuO} + [(4z - 3y - 2)/2]\text{O}_2. \quad (8)$$

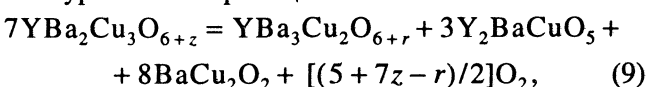
Однако, по сравнению с (3), (4), эта и другие реакции диссоциации фазы 123 имеют более высокие значения энергий Гиббса, поэтому соответствующие им равновесия фаз возможны лишь как метастабильные, и относящиеся к ним кривые на рис. 2, по нашим данным, должны располагаться значительно правее границы равновесного распада 123. Наряду с указанными продуктами распада 123, при повышенных давлениях кислорода наблюдали также другие, не идентифицированные рентгенографически фазы [29].

### УСТОЙЧИВОСТЬ ФАЗЫ 123 ПРИ НИЗКИХ ДАВЛЕНИЯХ КИСЛОРОДА

Интерес к исследованию этой границы устойчивости 123 вызван потребностями оптимизации условий получения сверхпроводящих пленок [28]. Есть несколько экспериментальных исследований распада 123 при низких давлениях кислорода и без образования жидкости, существенно различающиеся между собой как равновесными давлениями кислорода, так и предполагаемыми продуктами распада [5 - 7, 28, 30, 31]. Соответствующие данные приведены в табл. 2. В двух последних строках этой таблицы помещены линейные аппроксимации рассчитанных нами кривых равновесий (1) и (2).

Во всех работах, за исключением [5], давление кислорода над равновесной смесью фаз определялось электрохимически с помощью гальванического элемента с мемброй из оксида циркония. При этом в [6] и в некоторых из опытов [30] исследуемый образец непосредственно контактирувал с мемброй, в других же методиках – только через газ. Для исключения химического взаимодействия электрода с мемброй в [6] применялась ее защита с помощью другого электролита (см. выше). Эксперименты [5] выполнены методом статической гравиметрии.

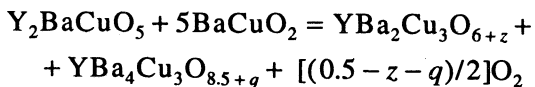
Основой для выбора тех или иных продуктов распада во всех работах служили данные рентгенофазового анализа закаленных смесей фаз после их отжига при определенных условиях. Авторы [5, 28] полагают, что этот процесс описывается уравнением реакции



в которой участвует фаза 132 (в [28] отмечена условность выбора ее состава). Однако в ряде работ показано, что смешанный оксид такого состава, по-видимому, не существует, а фаза с приблизительно соответствующим ему катионным

составом представляет собой оксикарбонат [24, 32 - 34]. Маловероятным является путь распада, предложенный в [31], поскольку фаза 011, по-видимому, не может существовать с  $\text{Cu}_2\text{O}$ : они должны реагировать с образованием 012 [10]. Уравнение реакции (2), найденное в работе [30], соответствует результатам расчета границ устойчивости фазы 123 по термодинамическим данным, хотя, как указывалось выше, альтернативой (2) может быть и процесс (1). Однако численные данные о равновесии (2) в [30] и у нас существенно различаются: полученная в работе [30] кривая располагается далеко внутри обозначенной на рис. 1 и 2 области устойчивости фазы 123.

В работе [5], наряду с термогравиметрическим исследованием разложения фазы 123, реальность процесса (9) доказывалась с помощью синтеза 123 из смеси фаз, расположенных в правой части реакции (9). Эта смесь отжигалась при давлении кислорода несколько большем, чем равновесное давление на границе устойчивости фазы 123, полученной в [5]. При этом на рентгенограммах наблюдалось уменьшение интенсивностей рефлексов исходных веществ и их рост для фазы 123. Отсюда авторы сделали вывод о надежности найденных условий и схемы разложения 123. Однако, как отмечено в [5], авторам не удалось получить в рентгенографически чистом виде исходные вещества 132 и 012, использовавшиеся для синтеза 123. Например, вместо соединения 012 применялась смесь фаз 011, 012 и  $\text{CuO}$  с отношением интенсивностей максимально ярких пиков, равным 5 : 2 : 1 соответственно. Очевидно, что в этом случае возможны другие процессы, приводящие в итоге к образованию фазы 123, такие как



и другие реакции, среди которых обсуждавшаяся выше реакция (2).

Рассчитанная нами граничная кривая, как видно на рис. 2, располагается между данными [5] и [28] и практически совпадает с [5] при высоких температурах. Заметно выше данных [5] располагаются на рис. 2 экспериментальные кривые работ [6] и [7]. Несмотря на одинаковое уравнение реакции, полученные в [6] и [7] численные значения энталпии и энтропии этой реакции сильно различаются, как видно из табл. 2.

Из рис. 2 следует, что область устойчивости фазы 123 при понижении парциального давления кислорода смещается в сторону более низких температур. Указанный факт уже использовался для разработки ряда методов синтеза сверхпроводников при низких  $p_{\text{O}_2}$ . Снижение общего давления, во-первых, позволяет понизить остаточное парциальное давление  $\text{CO}_2$ , ускорить разложение  $\text{BaCO}_3$  и уменьшить содержание примеси углерода в образце [35 - 38]. Во-вторых, это

**Таблица 2.** Результаты изучения распада фазы 123 при низком давлении кислорода, аппроксимированные уравнением  $p_{\text{O}_2}$ , атм =  $\exp(A - B/T)$

A	B	T, К	Продукты распада	Литература
23.578	36583	1055 - 1191	132, 211, 012, $\text{O}_2$	[5]
15.542	26259	1023 - 1148	132, 211, 012, $\text{O}_2$	[28]
12.673	21824	773 - 1173	211, 012, 011, $\text{O}_2$	[30]
23.192	32034	1023 - 1273	211, 011, 002, $\text{O}_2$	[31]
16.946	27098	939 - 1118	211, 012, 010, $\text{O}_2$	[6]
24.246	35022	1003 - 1173	211, 012, 010, $\text{O}_2$	[7]
22.386	34542	1000 - 1150	143, 211, 012, $\text{O}_2$	(1)
21.890	33775	1000 - 1150	211, 012, 011, $\text{O}_2$	(2)

Примечание. 132, 211, 012, 011, 002 и 010 – фазы  $\text{YBa}_3\text{Cu}_2\text{O}_{8+r}$ ,  $\text{Y}_2\text{BaCuO}_5$ ,  $\text{BaCu}_2\text{O}_2$ ,  $\text{BaCuO}_2$ ,  $\text{Cu}_2\text{O}$  и  $\text{BaO}$  соответственно. Данные [28] взяты из рисунка.

позволяет понизить температуру отжига и спекания для керамических материалов и использовать более низкую температуру подложек при получении тонких пленок. В результате улучшается морфология пленок и уменьшается вероятность химического взаимодействия с подложкой [39].

## ЗАКЛЮЧЕНИЕ

Нами была рассчитана область термодинамической устойчивости фазы 123 и ряд метастабильных фазовых равновесий, представляющих интерес для понимания поведения этой фазы в реальных условиях. Расчет выполнен на основании термодинамических функций фаз, полученных нами ранее, свойств фазы  $\text{YBaCuO}_5$  и твердого раствора  $\text{YBa}_4\text{Cu}_3\text{O}_{8.5+q}$ , оцененных в данной работе.

Сама по себе область термодинамической устойчивости не может, конечно, прямо указать условия синтеза, необходимые для получения материала с улучшенными свойствами. Свойства конкретного материала зависят не только от его фазового и химического состава, но и от микроструктуры, наличия дефектов и т.д. Тем не менее, полученная информация о стабильных и метастабильных равновесиях позволяет исследователям при поисках новых материалов существенно экономить время и силы, избегая наиболее термодинамически неблагоприятных условий синтеза и обработки материала.

Работа поддержана Научным Советом по проблеме ВТСП и выполнена в рамках проекта № 90428 "Магма" Государственной программы "Высокотемпературная сверхпроводимость".

## СПИСОК ЛИТЕРАТУРЫ

1. Voronin G.F., Degterov S.A., Skolis Yu.Ya. // Proc. 3rd German-Soviet Bilateral Seminar on High-Temperature Superconductivity. Karlsruhe. October 8 - 12, 1990. P. 562.
2. Degterov S.A., Voronin G.F. // Physica C. 1991. V. 178. P. 213.
3. Воронин Г.Ф., Дегтярев С.А., Сколис Ю.Я. // Докл. АН СССР. 1991. Т. 319. № 4. С. 899.
4. Williams R.K., Alexander K.B., Brynestad J. et al. // J. Appl. Phys. 1991. V. 70. № 2. P. 906.
5. Lindemer T.B., Washburn F.A., MacDougall C.S. et al. // Physica C. 1991. V. 178. P. 93.
6. Idemoto Y., Ohyagi I., Fueki K. // Ibid. 1992. V. 199. P. 207.
7. Голиков Ю.И., Янкин А.М., Дубровина И.Н. и др. // Сверхпроводимость. 1991. Т. 4. С. 2229.
8. Воронин Г.Ф., Дегтярев С.А. // Журн. физ. химии. 1993. Т. 67. № 7. С. 1351.
9. Дегтярев С.А., Воронин Г.Ф. // Там же. 1993. Т. 67. № 7. С. 1355.
10. Воронин Г.Ф., Дегтярев С.А. // Сверхпроводимость. В печати.
11. Voronin G.F. // Pure and Appl. Chem. 1992. V. 64. № 1. P. 27.
12. Morss L.R., Dorris S.E., Lindemer T.B., Naito N. // Eur. J. Solid State Inorg. Chem. 1990. V. 27. № 1/2. P. 327.
13. Garson F.H., Raistrick I.D., Ginley D.S., Halloran J.W. // J. Mater. Res. 1991. V. 6. № 5. P. 885.
14. Грунин В.С., Пивоваров М.М., Патрина И.Б. и др. // Докл. АН СССР. 1989. Т. 307. № 1. С. 143.
15. Idemoto Y., Takahashi J., Fueki K. // Physica C. 1992. V. 194. № 1/2. P. 177.
16. Zhou Z., Navrotsky A. // J. Mater. Res. 1992. In press.
17. Matskevich N.I., Titov V.A. // IVth European Conf. on Solid State Chemistry, September 7 - 9, 1992, Dresden, Germany. Book of Abstracts. P. 328.
18. Pankajavalli R., Sreedharan O.M. // J. Mater. Sci. Lett., 1989. V. 8. № 2. P. 225.
19. Azad A.M., Sreedharan O.M. // Supercond. Sci. Technol. 1990. V. 3. P. 159.
20. Сколис Ю.Я., Пашин С.Ф., Киценко С.В. и др. // Тез. докл. Всесоюз. конф. по химической термодинамике и калориметрии. Красноярск, 24 - 26 сент. 1991. Ч. 1. С. 62.
21. Zhanguo F., Chunlin J., Zhongxian Z. // J. Less-Common Metals. 1990. V. 161. P. 49.
22. Atake T. et al. // Цит. по работе [6].
23. Voronin G.F., Degterov S.A. // Physica C. 1991. V. 176. P. 387.
24. De Leeuw D.M., Mutsaers C.A.H.A., Langereis C. et al. // Ibid. 1988. V. 152. № 1. P. 39.
25. Сколис Ю.Я., Пашин С.Ф., Ковбаса М.Л. // Сверхпроводимость. 1990. Т. 3. № 12. С. 2792.
26. Genoud J.-Y., Graf T., Triscone G. et al. // Physica C. In press.
27. Zhang W., Osamura K. // Ibid. 1992. V. 190. P. 396.
28. Beyers R., Ahn B.T. // Ann. Rev. Mater. Sci. 1991. V. 21. P. 335.
29. Karpinski J., Rusiecki S., Kaldus E., Jilek E. // J. Less-Common Metals. 1990. V. 164 - 165. P. 3.
30. Jacob K.T., Mathews T., Hajra J.P. // Mater. Sci. Eng. 1990. V. B7. P. 25.
31. Borowiec K., Przyluski J., Kolbrecka K. // Eur. J. Solid State Inorg. Chem. 1990. V. 27. P. 333.
32. Abbattista F., Vallino M., Mazza D. // Mater. Chem. Phys. 1989. V. 21. № 5. P. 521.
33. Osamura K., Zhang W. // Z. Metallk. 1991. B. 82. H. 5. S. 408.
34. Greaves C., Slater P.R. // Physica C. 1991. V. 175. P. 172.
35. Uno N., Enomoto N., Tanaka Y., Takami H. // Jpn. J. Appl. Phys. Pt. 2. 1988. V. 27. P. L1003.
36. Balachandran U., Poeppel R.B., Emerson J.E. et al. // Mater. Lett. 1989. V. 8. P. 454.
37. Grader G.S., Gallagher P.K., Fleming D.A. // Chem. Mater. 1989. V. 1. P. 665.
38. Degterov S.A., Voronin G.F. // Physica C. 1993. V. 208. № 3/4. P. 403.
39. Hase T., Izumi H., Ohata K. et al. // J. Appl. Phys. 1990. V. 68. P. 374.

---

**ХИМИЧЕСКАЯ ТЕРМОДИНАМИКА  
И ТЕРМОХИМИЯ**


---

УДК 536.7;(546.265+546.788)

**ТЕРМОДИНАМИЧЕСКИЕ СВОЙСТВА СМЕСЕЙ ГЕКСАКАРБОНИЛОВ  
ХРОМА И ВОЛЬФРАМА**

© 1993 г. А. К. Баев

*Белорусский технологический институт им. С.М. Кирова, Минск*

Поступила в редакцию 10.11.92 г.

С использованием статического метода с мембранным нуль-манометром в атмосфереmonoоксида углерода измерены давления пара над различными составами системы  $\text{Cr}(\text{CO})_6\text{--W}(\text{CO})_6$ . Получены величины средней молекулярной массы, указывающие на присутствие в парах комплекса  $\text{CrW}(\text{CO})_{12}$ . Присутствие в парах комплекса также подтверждено анализом рассчитанных термодинамических свойств.

Гексакарбонилы подгруппы хрома относятся к пространственной группе  $C_{2v}^9$ . Их элементарная ячейка содержит четыре молекулы [1], кристаллы гексакарбонилов характеризуются близкими значениями осей в элементарной ячейке и изоморфизмом. Теплоты сублимации  $\text{Cr}(\text{CO})_6$  и  $\text{W}(\text{CO})_6$  различаются на 5.4 кДж/моль. Эти данные при формальном нуль-валентном состоянии атома металла служили подтверждением правила Сиджвика. Кроме того, значения  $\Delta H^\circ$  явились основанием для априорного утверждения об идеальности двойной системы карбонилов металлов. Тем не менее исследования плотности пара гексакарбонилов обосновало их способность полимеризоваться в парах [2, 3]. Рассчитанные на основании плотности пара значения термодинамических параметров процесса диссоциации димерных форм однозначно указали на стабильность этих молекул. Применение термодинамического подхода обосновало существование димеризации за счет взаимодействия металл–металл [4]. Результаты изучения двойной системы гексакарбонилов молибдена и вольфрама привели к выводу о значительном взаимодействии, которое приводит к устойчивому в парах комплексу  $\text{MoW}(\text{CO})_{12}$  [5, 6]. Замена  $\text{Mo}(\text{CO})_6$  на гексакарбонил хрома увеличивает различие в межатомных расстояниях M–C, M–O и C–O и энергиях атомизации металла, а следовательно, и склонность к образованию связей металл–металл, поэтому в системе  $\text{Cr}(\text{CO})_6\text{--W}(\text{CO})_6$  также следует ожидать образования прочного комплекса.

**ЭКСПЕРИМЕНТАЛЬНАЯ ЧАСТЬ**

Изучение двойной системы  $\text{Cr}(\text{CO})_6\text{--W}(\text{CO})_6$  проведено статическим методом с мембранным нуль-манометром в широком интервале температур, давлений пара и составов конденсированной

фазы. С целью подавления процесса диссоциации гексакарбонилов исследования проведены в присутствии monoоксида углерода, что позволило значительно повысить температурную границу диссоциации. Исходные составы кристаллической фазы получены в мембранный камере много-кратной сублимацией исходных веществ при их совместном присутствии в условиях ненасыщенного пара. Приготовленные кристаллы были однородны и не отличались по составу. Для исследования использован термостат с блоком выравнивания температуры по длине мембранный камеры и регулирующим прибором. Постоянство

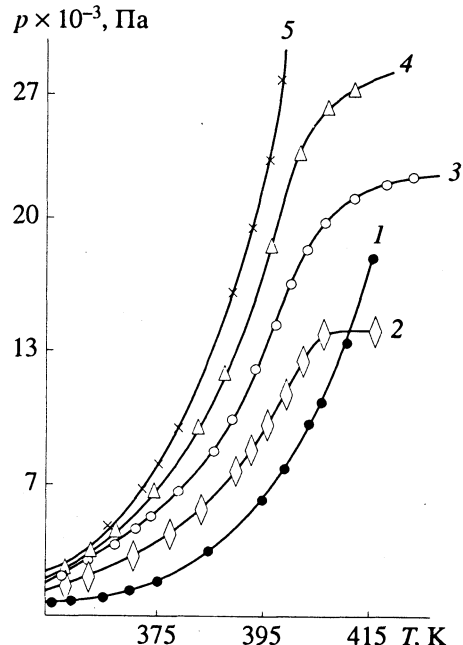


Рис. 1. Температурные зависимости давления насыщенного и ненасыщенного пара системы  $\text{Cr}(\text{CO})_6\text{--W}(\text{CO})_6$  при различном составе: 1 – 0, 2 – 26.7, 3 – 50.8, 4 – 58.9, 5 – 100%  $\text{Cr}(\text{CO})_6$ .

**Таблица 1.** Значения экспериментальных ( $M^e$ ) и расчетных ( $M^p$ ) молекулярных масс в парах системы  $\text{Cr}(\text{CO})_6\text{-W}(\text{CO})_6$

W( $\text{CO}$ ) <sub>6</sub> , мол. %	$M^p$	$M^e$	W( $\text{CO}$ ) <sub>6</sub> , мол. %	$M^p$	$M^e$
14.80	239.57	240.07	59.20	298.12	300.2
24.77	252.7	261.9	59.84	297.96	302.4
40.09	272.9	274.6	78.30	316.7	321.1
49.20	284.9	290.1	83.20	329.7	336.2
57.57	295.9	299.4	88.80	337.1	342.6

температуры поддерживалось с точностью  $\pm 0.7$  К. Давление пара измерялось на подъеме и спуске температур при их строгом фиксировании (с точностью  $\pm 0.1$  мм рт. ст.). Данные по давлению пара получены для насыщенного и ненасыщенного паров.

## ОБСУЖДЕНИЕ РЕЗУЛЬТАТОВ

Измеренные давления пара индивидуальных карбонилов хрома и вольфрама в пределах погрешности хорошо согласуются с приведенными в работах [2, 3]. Давление пара над различными составами твердой фазы располагается в последовательности увеличения содержания более труднолетучего карбонила вольфрама (рис. 1). На основании данных по объему мембранный камеры, количеству и составу исходного вещества, а также по давлению ненасыщенного пара и температурам полной сублимации взятых веществ рассчитаны значения средней молекулярной массы изученных составов рассматриваемой системы. Приведенные в табл. 1 значения экспериментально установленной средней молекулярной

массы на  $\sim 5 - 6$  единиц превышают рассчитанные на основании предположения об отсутствии взаимодействия в парах. Отсутствие четких переходов из насыщенного пара в ненасыщенный связано с наличием в парах обратимого процесса фиксации. В ненасыщенном паре с повышением температуры происходит постепенное приближение давления пара и средней молекулярной массы к значениям, рассчитанным в предположении об идеальности системы. Полученные результаты по плотности пара дают основания предположить существование в парах димерных  $\text{M}_2(\text{CO})_{12}$  и комплексных молекул  $\text{CrW}(\text{CO})_{12}$ , содержание которых в парах составляет 2.5 - 3%.

Экспериментально измеренные давления пара для всех изученных составов конденсированной фазы описываются уравнением  $\lg p = -A/T + B$ , которые использованы для расчета суммарных значений теплот и энтропий процесса сублимации (табл. 2). Полученные данные подчиняются этому уравнению, независимо от состава и количества взятого вещества. Отметим, что при различии летучести  $\text{Cr}(\text{CO})_6$  и  $\text{W}(\text{CO})_6$  любой состав системы при малом его исходном количестве должен обедняться по наиболее легколетучему карбонилу хрома, и измеренные давления пара принципиально не могут описываться полулогарифмической зависимостью.

Однако независимо от исходного состава и количества взятого вещества, давление насыщенного пара описывается указанной зависимостью в широком интервале температур вплоть до полного перехода вещества в пар (рис. 2). Зависимости суммарного давления пара веерообразно расходятся с постепенным изменением угла наклона прямых линий. Следует отметить наличие двух серий линий: одни – расположены около линии, отвечающей давлению пара  $\text{W}(\text{CO})_6$  и (до 59.2%

**Таблица 2.** Энталпии (кДж/моль), энтропии (Дж/(моль К)) и коэффициенты уравнения  $\lg p = -A/T + B$  процесса сублимации различных составов системы  $\text{Cr}(\text{CO})_6\text{-W}(\text{CO})_6$

W( $\text{CO}$ ) <sub>6</sub> , мол. %	T, K	$\Delta H_T^\circ$	$\Delta S_T^\circ$	A	B
100	838.1 - 423.1	$74.89 \pm 1.25$	$165.7 \pm 3.0$	3886.0	11.588
88.8	348.1 - 405.1	$64.01 \pm 1.26$	$143.5 \pm 3.0$	3344.3	10.378
83.2	335.3 - 401.1	$61.50 \pm 1.46$	$136.0 \pm 3.5$	3213.1	9.985
73.3	344.9 - 406.2	$58.53 \pm 0.84$	$139.9 \pm 2.4$	3057.9	9.668
59.84	353.1 - 409.1	$56.57 \pm 1.46$	$125.6 \pm 3.5$	2955.2	9.440
59.2	357.9 - 399.5	$56.27 \pm 0.84$	$124.8 \pm 2.4$	2939.9	9.403
57.57	356.9 - 390.4	$56.23 \pm 0.84$	$124.8 \pm 2.4$	2937.7	9.400
49.2	342.3 - 394.5	$55.44 \pm 1.05$	$124.4 \pm 3.0$	2896.2	9.383
40.09	347.1 - 401.1	$56.15 \pm 0.84$	$130.54 \pm 2.4$	2933.3	9.702
24.77	363.1 - 408.1	$60.08 \pm 1.25$	$140.01 \pm 3.5$	3138.8	10.196
14.8	358.6 - 408.1	$63.10 \pm 1.05$	$148.3 \pm 3.0$	3296.2	10.629
0.0	323.1 - 390.9	$68.45 \pm 1.05$	$161.9 \pm 3.0$	3576.0	11.840

$W(CO)_6$ , другие – около линии, описывающей давление пара  $Cr(CO)_6$ . Учитывая, что оба вещества конденсируются с образованием изоморфной структуры, мы должны признать равномерное распределение их друг в друге независимо от их содержания.

Поскольку процесс комплексообразования может иметь место при условии, что полусумма энергий диссоциации димеров карбонилов хрома и вольфрама

$$\frac{1}{2} (D_{Cr_2(CO)_{12}} + D_{W_2(CO)_{12}}) < D_{CrW(CO)_{12}}, \quad (1)$$

то усиление взаимодействия в комплексе  $CrW(CO)_{12}$  должно ослабить межмолекулярные взаимодействия со всеми окружающими его молекулами. Как следствие этого процесса перехода в пар такого комплекса будет осуществляться с разрывом менее прочных межмолекулярных взаимодействий, и теплота сублимации должна существенно понизиться и будет минимальной для составов с содержанием, близким к 50 мол. %  $W(CO)_6$ . Малое содержание в парах димеров и комплекса (2.5 - 3%) свидетельствует о слабом неравенстве (1). Поскольку над твердой фазой парциальные давления молекулярных форм карбонила хрома и вольфрама меньше, чем над индивидуальными соединениями, то процесс диссоциации димеров  $M_2(CO)_{12} \rightleftharpoons 2M(CO)_6$  смещается вправо. Сочетание указанных факторов при малом различии в энергиях диссоциации комплекса и димерных форм приводит к тому, что составы конденсированной и паровой фаз мало различаются. Существенное различие в наклонах прямых линий на графике зависимости  $\lg p = f(1/T)$  является следствием изменения взаимодействия в конденсированной фазе.

Рассчитанные изотермы давления пара также указали на неидеальность системы и наличие отрицательного отклонения от аддитивности. Представленные на рис. 3 зависимости теплоты и энтропии от состава системы иллюстрируют небольшое различие в перекрестном деструктурирующем влиянии карбонилов хрома и вольфрама на структуру основного по содержанию вещества. Процесс сублимации любого состава сопровождается снижением энталпии и энтропии до 50% содержания, когда твердая фаза представляет комплекс  $CrW(CO)_{12}$ . При теплоте и энтропии сублимации соответственно карбонила хрома ( $\Delta H_T^\circ = 68.45$  кДж/моль,  $\Delta S_T^\circ = 161.9$  Дж/(моль К)) и вольфрама ( $\Delta H_T^\circ = 74.90$  кДж/моль,  $\Delta S_T^\circ = 165.70$  Дж/(моль К)) те же характеристики для комплекса снижаются до  $\Delta H_T^\circ = 56.00 \pm 0.90$  кДж/моль и  $\Delta S_T^\circ = 126.0 \pm 2.0$  Дж/(моль К). Аддитивные величины

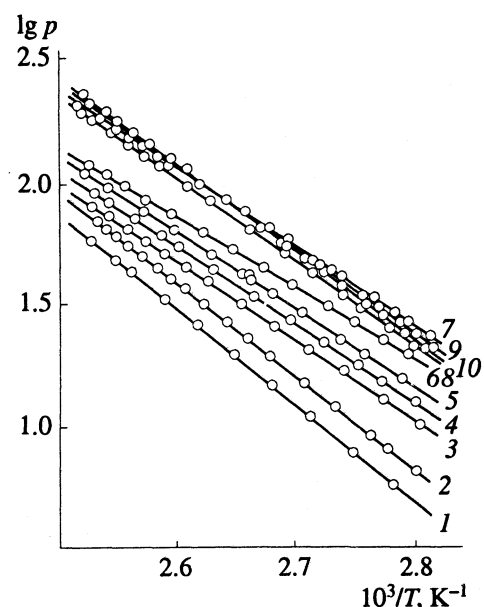


Рис. 2. Зависимости  $\lg p$  от  $1/T$  для системы  $Cr(CO)_6-W(CO)_6$  при различном составе: 1 – 0, 2 – 71.2, 3 – 16.8, 4 – 26.7, 5 – 40.8, 6 – 50.8, 7 – 59.01, 8 – 75.26, 9 – 85.2, 10 – 100%  $Cr(CO)_6$ .

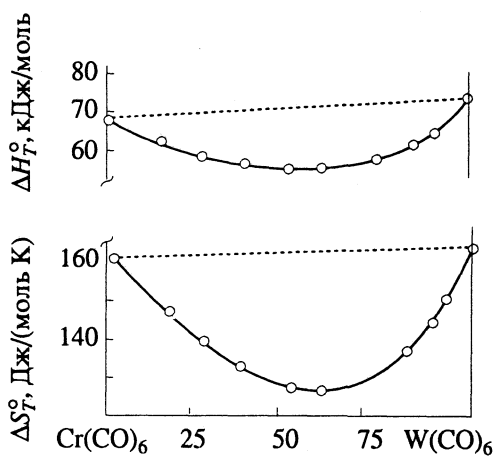


Рис. 3. Зависимости теплоты и энтропии суммарного процесса сублимации от состава системы  $Cr(CO)_6-W(CO)_6$ .

энталпии и энтропии соответственно равны 71.7 кДж/моль и 163.3 Дж/(моль К).

Таким образом, процесс сублимации комплекса на 15.7 кДж менее эндотермичен, что обусловлено образованием более прочной связи металл–металл в комплексе  $(CO)_6Cr-W(CO)_6$  по сравнению со связями  $Cr-Cr$  и  $W-W$  в индивидуальных соединениях. Как следствие этого межмолекулярные связи между комплексами резко ослабеваются. Если предположить, что по аналогии с гексакарбонилами элементарная ячейка комплекса также содержит четыре молекулы (две  $Cr(CO)_6$  и две  $W(CO)_6$ ), тогда его структура

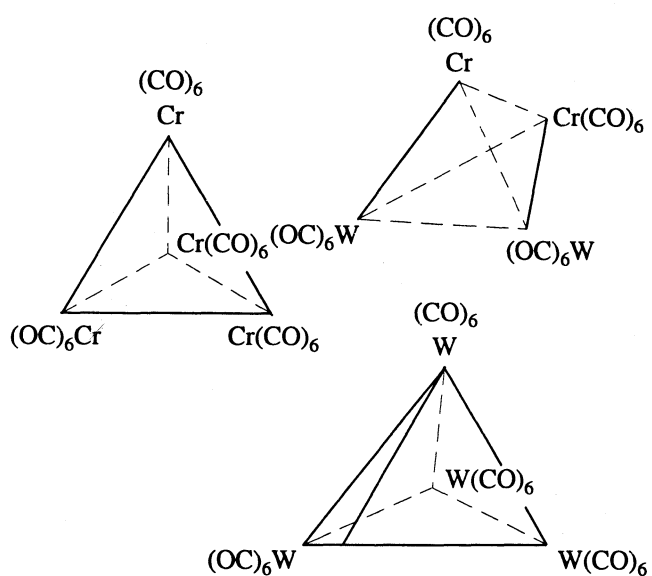


Рис. 4. Структура элементарной ячейки комплекса  $\text{CrW}(\text{CO})_{12}$ .

будет представлена в виде искаженного тетраэдра с укороченными внутримолекулярными связями Cr–W по сравнению со связями Cr–Cr и W–W и двумя межмолекулярными связями Cr...W. Средняя энергия ослабления связи составляет 3.9 кДж/моль, а энтропийная характеристика снижается на 7.5 Дж/(моль К). Это дает возможность оценить минимальную величину энергии диссоциации Cr–W в комплексе  $\text{CrW}(\text{CO})_{12}$ , если учесть, что в процессе сублимации  $\text{Cr}(\text{CO})_6$  и  $\text{W}(\text{CO})_6$  разрывается на шесть связей. Таким образом, получаем  $D_{\text{Cr-Cr}} = 11.6$  кДж в  $\text{Cr}(\text{CO})_6$  и  $D_{\text{W-W}} = 12.6$  кДж в  $\text{W}(\text{CO})_6$  и соответственно 7.7 и 8.7 кДж в структуре искаженного тетраэдра комплекса.

Энергия каждой из двух межмолекулярных связей Cr...W также не будет превышать предельную энергию диссоциации W–W (8.7 кДж). Тогда энергия разрыва названных четырех связей в процессе сублимации состава конденсированной фазы с содержанием 50%  $\text{W}(\text{CO})_6$  составит 32.8 кДж. На разрыв оставшихся двух связей Cr–W в комплексах  $\text{CrW}(\text{CO})_{12}$  приходится 17.2 кДж или на одну связь 8.6 кДж. Указанная величина предельно занижена, тем более, что в расчетах не учитывались парциальные давления  $\text{Cr}_2(\text{CO})_{12}$ ,  $\text{W}_2(\text{CO})_{12}$  и  $\text{CrW}(\text{CO})_{12}$ , содержащихся в парах до 3%. Однако эта величина энергии диссоциации связи Cr–W в комплексе в твердой фазе объясняет низкое содержание в парах  $\text{CrW}(\text{CO})_{12}$ . Кроме того, малое различие в энергиях разрыва всех реализующихся в конденсированной фазе связей металл–металл обуславливает неизменность состава твердой фазы в процессе сублимации однородного кристалла заданного состава системы  $\text{Cr}(\text{CO})_6$ – $\text{W}(\text{CO})_6$ .

Автор благодарит В.И. Блудилину за тщательное выполнение эксперимента.

#### СПИСОК ЛИТЕРАТУРЫ

1. Белозерский Н.А. Карбонилы металлов. М.: Металлургиздат, 1958. 372 с.
2. Баев А.К., Белозерский О.Д., Крическая О.Д. // Общая и прикладная химия. Минск, 1970. Вып. 8. С. 267.
3. Баев А.К., Демьянчук В.В. // Там же. 1970. Вып. 2. С. 167.
4. Баев А.К. Структура и энергетика карбонилов металлов. Минск: Вышэйшая школа, 1986. 144 с.
5. Баев А.К., Блудилина В.И., Гайдым И.Л. // Журн. физ. химии. 1980. Т. 54. № 2. С. 338.
6. Баев А.К., Блудилина В.И. // Всесоюз. совещ. по химии и технология молибдена и вольфрама. Ташкент: ФАН, 1980. С. 15.

---

 ХИМИЧЕСКАЯ ТЕРМОДИНАМИКА  
 И ТЕРМОХИМИЯ
 

---

УДК 536.77

# О ТЕРМОДИНАМИЧЕСКОМ ПОДХОДЕ К ВЫВОДУ УРАВНЕНИЯ СОСТОЯНИЯ ВЕЩЕСТВА

## I. ТЕРМОДИНАМИЧЕСКИЕ ПОТЕНЦИАЛЫ И УРАВНЕНИЯ СОСТОЯНИЯ

© 1993 г. В. В. Бондаренко

*Московский государственный университет им. М.В. Ломоносова, Физический факультет*

Поступила в редакцию 15.04.92 г.

Дан вывод изотермического и адиабатического уравнений состояния для любого из агрегатных состояний вещества, отличительной особенностью которого, наряду с неизбежным введением дополнительных предположений, является учет и использование требований и ограничений, налагаемых термодинамикой; для идеального газа полученные уравнения переходят в уравнения Бойля–Мариотта и Пуассона.

Рассмотрены интегральные термодинамические соотношения и указан способ их преобразования, пригодный для построения самых различных приближений. Использованы термодинамические условия аддитивности потенциалов, энтропии и теплоемкостей. На основе учета аддитивности приняты предположения, непосредственно приводящие к искомым уравнениям состояния. Рассмотрены простейшие следствия использованного приближения.

*Интегральные термодинамические соотношения. Из дифференциальных выражений для термодинамических потенциалов простых систем [1]:*

$$dU = TdS - pdV, dF = -SdT - pdV, dG = -SdT + Vdp,$$

$$dH = TdS + Vdp$$

( $U$  – внутренняя энергия,  $F$  – свободная энергия Гельмгольца,  $G$  – потенциал Гиббса,  $H$  – энтальпия,  $V$  – объем,  $S$  – энтропия,  $T$  – абсолютная температура,  $p$  – давление), следует, например, что

$$G = - \int_{(p)} SdT + \gamma_p(p) - C = \int_{(T)} Vdp + \gamma_T(T) - C, \quad (1a)$$

$$H = + \int_{(p)} TdS + \chi_p(p) - C = \int_{(S)} Vdp + \chi_S(S) - C. \quad (1b)$$

В скобках под знаком интеграла указаны условия интегрирования, подразумевающие постоянство соответствующего термодинамического параметра. Постоянная интегрирования  $C$  должна быть принята одинаковой для всех термодинамических потенциалов, что отражает тривиальный факт произвольности выбора начала отсчета для энергии. Функции от одного параметра, появляющиеся при интегрировании (например  $\gamma_p$ ,  $\gamma_T$ ,  $\chi_p$ ,  $\chi_S$  и т.п.), входят в переменные (зависящие от параметров) составляющие потенциалов. Удобно использовать соглашение не выписывать эти произвольные функции в явном виде, считая их включенными в неопределенные интегралы. При

таком соглашении выражения (1) записываются в виде:

$$G + C = - \int_{(p)} SdT = \int_{(T)} Vdp, \quad (1^*a)$$

$$H + C = \int_{(p)} TdS = \int_{(S)} Vdp. \quad (1^*b)$$

При фактическом проведении интегрирования указанные функции должны, конечно, учитываться и записываться в явном виде. Такое соглашение не приводит к ошибкам и заметно сокращает и упрощает преобразования.

Для преобразования (1) используем очевидные равенства:

$$\int_{(T)} V(\kappa_{TT} - 1)dp = V k_T + f_T(T), \quad (2a)$$

$$\int_{(S)} V(\kappa_{SS} - 1)dp = V k_S + f_S(S), \quad (2b)$$

где  $k_T$  – изотермический,  $k_S$  – адиабатический модули объемной упругости,  $\kappa_{TT} = (\partial k_T / \partial p)_T$ ,  $\kappa_{SS} = (\partial k_S / \partial p)_S$ ,  $f_T$  и  $f_S$  – произвольные функции от  $T$  и  $S$ . Используя способ интегрирования по частям в (1\*a), находим

$$G + C = \int_{(T)} Vdp = \int_{(T)} \frac{V(\kappa_{TT} - 1)}{\kappa_{TT} - 1} dp =$$

$$= \frac{V k_T}{\kappa_{TT} - 1} + \int_{(T)} \frac{V k_T k_T^{(2)}}{(\kappa_{TT} - 1)^2} dp, \quad (3)$$

где  $k_T^{(2)} = (\partial^2 k_T / \partial p^2)_T$ . Интегрируя по частям левую часть (2а), можно также получить выражение

$$G + C = \frac{V k_T}{\kappa_{TT} - 1} + \frac{1}{\kappa_{TT} - 1} \int_{(T)} (G + C) k_T^{(2)} dp. \quad (4)$$

Аналогичные преобразования можно провести и с выражением (1\*б) для энталпии  $H$ . Указанные преобразования представляют некоторый интерес и могут быть использованы для построения различных приближений.

*Использование аддитивности потенциалов, энтропии и теплоемкостей.* Возможен еще один подход, использующий факт аддитивности термодинамических потенциалов, энтропии и теплоемкостей. В случае гомогенных равновесных систем их аддитивность приводит к пропорциональности этих величин объему. Поэтому, хотя бы просто формально, для переменных составляющих потенциала Гиббса и энталпии можно записать выражения:

$$G(p, T) + C = V(p, T)k_T(p, T)g(p, T), \quad (5a)$$

$$H(p, S) + C = V(p, S)k_S(p, S)h(p, S), \quad (5b)$$

где  $g(p, T)$  и  $h(p, T)$  – некоторые безразмерные функции. Дифференцирование выражений (5) по давлению дает

$$(\kappa_{TT} - 1)g + k_T g^{(1)} = 1, \quad (6a)$$

$$(\kappa_{SS} - 1)h + k_S h^{(1)} = 1, \quad (6b)$$

где  $g^{(1)} = (\partial g / \partial p)_T$ ,  $h^{(1)} = (\partial h / \partial p)_S$ . Из (5а) и (6а) следует выражение, напоминающее (3) и (4):

$$G + C = \frac{V k_T}{\kappa_{TT} - 1} - \frac{V k_T^2 g^{(1)}}{\kappa_{TT} - 1}. \quad (7)$$

Из (5б) и (6б) следует аналогичное выражение для  $H$ .

Заметим, что несложные качественные соображения приводят к выводу:  $\kappa_{SS} > 1$  и  $\kappa_{TT} \geq 1$ , причем равенство достигается только в случае идеального газа из невзаимодействующих частиц. Кроме того, при  $p \rightarrow \infty$  функции  $\kappa_{TT}$  и  $\kappa_{SS}$  становятся не зависящими от  $p$ .

Дифференцируя (5а) по температуре, получим

$$S = -\alpha_T k_T V g \left[ 1 + \frac{1}{\alpha_T k_T} \left( \frac{\partial k_T}{\partial T} \right)_p + \frac{1}{\alpha_T g} \left( \frac{\partial g}{\partial T} \right)_p \right]. \quad (8)$$

С другой стороны, используем аддитивность энтропии  $S = V\sigma$ , где  $\sigma$  – энтропия единицы объема. Путем двукратного дифференцирования по давлению можно прийти к выражению:

$$S = -\frac{\alpha_T k_T V}{\kappa_{TT} - 1} \left[ 1 + \frac{1}{\alpha_T k_T} \left( \frac{\partial k_T}{\partial T} \right)_p + \frac{k_T}{\alpha_T} \left( \frac{\partial^2 \sigma}{\partial p^2} \right)_T \right], \quad (8*)$$

где  $\alpha_T = (1/V)(\partial V / \partial T)_p$  – объемный коэффициент теплового расширения.

Сопоставление (8) и (8\*), а также (3), (4) и (7) позволяет предположить, что  $g = (\kappa_{TT} - 1)^{-1}$ . Аналогичное использование аддитивности теплоемкости  $C_p$  приводит к предположению  $h = (\kappa_{SS} - 1)^{-1}$ . Таким образом, в качестве простейшего хорошего приближения принимается, что

$$g = 1/(\kappa_{TT} - 1), \quad (9a)$$

$$h = 1/(\kappa_{SS} - 1). \quad (9b)$$

Подстановка (9) в (6) приводит к следствиям:  $g^{(1)} = 0$ ;  $h^{(1)} = 0$ ;  $k_T^{(2)} = 0$  и  $k_S^{(2)} = 0$ , а значит, и к линейной зависимости модулей объемной упругости  $k_T$  и  $k_S$  от давления:

$$k_T(p, T) = k_{T0}(T) + \kappa_{TT}(T)p, \quad (10a)$$

$$k_S(p, S) = k_{S0}(S) + \kappa_{SS}(S)p. \quad (10b)$$

Это дает основание назвать описанное приближение “квазилинейным”<sup>1</sup>. В этом приближении выражения для потенциалов  $G$  и  $H$  имеют вид:

$$G(p, T) = \frac{V(p, T)k_T(p, T)}{\kappa_{TT} - 1} - C, \quad (11a)$$

$$H(p, S) = \frac{V(p, S)k_S(p, S)}{\kappa_{SS} - 1} - C. \quad (11b)$$

*Простейшие следствия из линейной зависимости модулей объемной упругости от давления.* Несложные вычисления для мысленного эксперимента с равномерным всесторонним растяжением вещества до состояния газа невзаимодействующих частиц (когда значение  $k_T$  становится равным нулю) показывают, что величина  $V k_T / (\kappa_{TT} - 1)$  может быть отождествлена с теплотой сублимации вещества из данного состояния в состояние идеального газа. Тогда величину

$$\Lambda_{00} = V_{00} k_{00} / (\kappa_0 - 1) \quad (12)$$

(где индексы 0 указывают на то, что рассматривается состояние при  $p = 0$  и  $T = 0$  К – “нулевое состояние”) естественно отождествить с энергией связи вещества в “нулевом состоянии”. Соотношение (12) напоминает выражение для этой же величины, полученное в теории Грюнайзена с использованием потенциала Ми для описания

<sup>1</sup> Рецензент заметил, что “квазилинейность” по (10), являющаяся здесь следствием (9), может быть более общим предположением, чем (9). Это действительно так. Наиболее общий вид функций  $g$  и  $h$ , согласующийся с (10), таков:

$$g = \frac{1 + \delta_T(T)/V k_T}{\kappa_{TT} - 1}, \quad h = \frac{1 + \delta_S(S)/V k_S}{\kappa_{SS} - 1}.$$

При этом  $g^{(1)} \neq 0$  и  $h^{(1)} \neq 0$ , а к правым частям соотношений (11) должны быть прибавлены функции  $\gamma_T(T)$  и  $\chi_S(S)$ . Появление этих функций требует дополнительного рассмотрения. Поэтому далее используется только приближение (9).

взаимодействия между частицами твердого тела [2, 3]:

$$\Lambda_{00} = 9V_{00}k_{00}/mn,$$

где  $m$  и  $n$  – постоянные степенные показатели в потенциале Ми. Аналогичное выражение получается и в теории ионных кристаллов Борна–Майера [4].

Имеет смысл рассмотреть вопрос о выборе постоянной  $C$  (т.е. о выборе начала отсчета энергии). В справочниках по термодинамическим свойствам веществ при  $T = 0$  К для наиболее устойчивых модификаций химических элементов принимается, что

$$U_{00} = F_{00} = G_{00} = H_{00} = 0.$$

При таком выборе следует положить  $C = \Lambda_{00}$  (тем самым для каждого вещества принимается свое начало отсчета). На наш взгляд, логичнее и предпочтительнее принять для всех веществ за начало отсчета энергии одно и то же значение: энергию идеального газа при  $T = 0$  К. При этом “стандартизированном” выборе следует принять

$$C = 2\Lambda_{00} = 2V_{00}k_{00}/(\kappa_0 - 1). \quad (13)$$

В таком случае значения термодинамических потенциалов при абсолютном нуле будут равны энергии связи атомов вещества, взятой с обратным знаком.

И, наконец, интегрируя соотношения (10) по давлению, можно получить уравнения состояния, описывающие зависимость объема от давления:

$$V(T, p)k_T(T, p)^{1/\kappa_{TT}(T)} = V_{T,0}(T, 0)k_{T0}(T, 0)^{1/\kappa_{TT}(T)}, \quad (14a)$$

$$V(S, p)k_S(S, p)^{1/\kappa_{SS}(S)} = V_{S,0}(S, 0)k_{S0}(S, 0)^{1/\kappa_{SS}(S)}. \quad (14b)$$

Эти уравнения можно записать также в виде:

$$p = \frac{k_{T0}(T)}{\kappa_{TT}(T)} \left[ \left( \frac{V_{T0}(T)}{V(T, p)} \right)^{\kappa_{TT}(T)} - 1 \right], \quad (14*a)$$

$$p = \frac{k_{S0}(S)}{\kappa_{SS}(S)} \left[ \left( \frac{V_{S0}(S)}{V(S, p)} \right)^{\kappa_{SS}(S)} - 1 \right] \quad (14*b)$$

(здесь индекс 0 обозначает состояние при  $p = 0$  и произвольной температуре). По причинам, связанным с вопросом о приоритете, уравнения (14) мы называем уравнениями Тэйта–Мурнагана [5, 6].

Указанные авторы получили выражения, равносильные уравнениям (14), содержащие эмпирически подбираемые параметры, без явного указания термодинамических условий (т.е. не разделяя изотермическое и адиабатическое уравнения состояния).

Автор считает своим долгом выразить глубокую благодарность И.П. Базарову за плодотворное обсуждение рассматриваемых вопросов.

#### СПИСОК ЛИТЕРАТУРЫ

1. Базаров И.П. Термодинамика. М.: Высш. шк., 1991. С. 101 - 108.
2. Цянь Сюэ-сенъ. Физическая механика. М.: Мир, 1965. С. 256.
3. Робертс Дж. Теплота и термодинамика. М.; Л.: ГТТИ, 1965. С. 540.
4. Киттель Ч. Введение в физику твердого тела. М.: Физматгиз, 1963. С. 97 - 99.
5. Tait P.G. Voyage of Challenger Report. L.: H.M. Stationery Office, 1888.
6. Murnaghan F.D. // Amer. J. Math. 1937. V. 59. P. 235.

---

 ХИМИЧЕСКАЯ ТЕРМОДИНАМИКА  
 И ТЕРМОХИМИЯ
 

---

УДК 536.77

 О ТЕРМОДИНАМИЧЕСКОМ ПОДХОДЕ  
 К ВЫВОДУ УРАВНЕНИЯ СОСТОЯНИЯ ВЕЩЕСТВА

## II. ВЫЧИСЛЕНИЕ СЖИМАЕМОСТИ

© 1993 г. В. В. Бондаренко

Московский государственный университет им. М.В. Ломоносова, Физический факультет

Поступила в редакцию 15.04.92 г.

Рассмотрены вопросы, связанные с применением уравнений состояния Тэйта–Мурнагана, полученных в квазилинейном приближении.

*Связь с уравнениями Бойля–Мариотта и Пуассона.* В случае идеального газа, когда  $k_T = p$ ,  $k_S = \gamma p$ ,  $\gamma = C_p/C_V = (i + 2)/i$  (где  $C_p$  – теплоемкость при постоянном давлении,  $C_V$  – теплоемкость при постоянном объеме,  $i$  – число степеней свободы частиц газа), уравнения Тэйта–Мурнагана [1] переходят в уравнения Бойля–Мариотта и Пуассона:

$$pV = f_T(T), \quad p^{1/V} = f_S(S).$$

Кроме того, из полученных в [1] выражений с учетом полного уравнения состояния идеального газа  $pV = RT$  следует:

$$H = C_p T = \frac{\gamma p V}{\gamma - 1} = \frac{i+2}{2} RT,$$

$$U = C_V T = \frac{p V}{\gamma - 1} = \frac{i}{2} RT, \quad C_p = \frac{i+2}{2} R, \quad C_V = \frac{i}{2} R,$$

где  $R$  – универсальная газовая постоянная. Это согласуется с известными результатами. Потенциалы  $G(p, T)$  и  $F(V, T)$ , а также энтропия  $S$  для идеального газа при описанном подходе оказываются неопределенными.

*О линейной зависимости модулей объемной упругости от давления.* Использованное в [1] “квазилинейное” приближение отнюдь не является новым. Мысль о линейной зависимости модулей упругости вещества (в том числе модулей объемной упругости) от давления (а в случае твердых тел даже от напряжения) высказывалась и использовалась неоднократно. Так, просматривая сводку уравнений состояния газов, приведенную в [2], можно найти несколько уравнений, дающих линейную зависимость модулей объемной упругости от давления. Основываясь на довольно скучных данных о сжимаемости воды,

Тэйт в 1888 г. предложил уравнение состояния жидкостей [3]

$$-\left(\frac{\partial V}{\partial p}\right)_T = \frac{A(T)}{B(T) + p}$$

с положительными параметрами  $A$  и  $B$ . Поскольку при достаточно низких давлениях  $k_T = -V(\partial p / \partial V)_T \approx -V_{T0}(\partial p / \partial V)_T$ , то очевидно, что уравнение Тэйта есть, по-существу, запись линейной зависимости модуля  $k_T$  от давления с  $\kappa_{TT} = A(T)^{-1}$ . Уравнение Тэйта неоднократно проверялось и выводилось теоретически на основании общих представлений о структуре жидкости. К уравнению Тэйта путем обработки экспериментальных данных Бриджмена пришел и Бачинский [4], записав его в виде:

$$-\frac{1}{V}\left(\frac{\partial V}{\partial p}\right)_T = \frac{C}{p + K},$$

где  $C$  и  $K$  – некоторые постоянные. (Поэтому говорить о каком-либо особом уравнении состояния Бачинского [5] не приходится.) Обрабатывая данные Бриджмена, Корнфельд [6] таким же образом сделал вывод о линейной зависимости модулей объемной упругости газов, жидкостей и твердых тел от давления. То же самое утверждается и в известном курсе физической химии [7].

Развивая теорию конечных деформаций как обобщение теории упругости, Мурнаган [8, 9] нашел уравнение состояния для твердых тел:

$$p = \frac{k_{T0}}{n} \left[ \left( \frac{V_{T0}}{V} \right)^n - 1 \right]$$

с эмпирически подбираемым параметром  $n$ . Уравнение (14\*) в [1] по виду точно совпадает с уравнением Мурнагана, в теории которого, естественно, не проводится различия между изотермическими и адиабатическими уравнениями состояния. Мурнаган получил свое уравнение, разлагая

энергию деформации в ряд по степеням компонент тензора деформации и сохраняя члены до третьего порядка включительно.

Отдавая должное приоритету Тэйта и Мурнагана, уравнения (14) в [1] названы уравнениями Тэйта–Мурнагана. Объединение их имен содержит и, так сказать, заднюю мысль. При раздельном рассмотрении уравнений Тэйта и Мурнагана дело доходит до курьезов. В периодике встречались и встречаются работы, посвященные “распространению” уравнения Тэйта на твердые тела, а уравнения Мурнагана – на жидкости. Более того, нам встречалась работа, посвященная “сравнению точности” уравнения Тэйта и уравнения Мурнагана при описании экспериментальных данных. Надо полагать, что предлагаемый здесь подход снимает подобные вопросы.

Уравнение Мурнагана стало, пожалуй, наиболее популярным уравнением в физике высоких давлений, где оно широко используется при обработке экспериментальных данных [10]. Андерсон [11] пришел к выводу, что уравнение Мурнагана пригодно для описания экспериментальных данных по сжимаемости твердых тел до давлений, не меньших половины модуля объемной упругости  $k_{T0}$ . В [12] упоминается о попытке использовать уравнение Мурнагана для получения термодинамических соотношений (что диаметрально противоположно данной работе). Имеется ряд работ по обобщению и усовершенствованию уравнения Мурнагана, по поводу которых авторы [12] говорят об их беспersпективности (так же как и самого уравнения Мурнагана). Они просто–напросто абсолютизировали известное довольно скептическое и безосновательное высказывание Бриджмена [13] об уравнении Мурнагана. Ни с Бриджменом, ни с авторами [12] в этом нельзя согласиться.

*Вычисление производных  $\kappa_{TT}$  и  $\kappa_{SS}$ . Сопоставление с экспериментальными результатами.* При практическом использовании уравнений Тэйта–Мурнагана желательно иметь способ вычисления безразмерных производных  $\kappa_{TT}$  и  $\kappa_{SS}$ . До настоящего времени по экспериментальным данным по гидростатическому сжатию веществ подбиралась только производная  $\kappa_{TT}$ , причем с очень малой надежностью (ввиду структуры уравнений Тэйта–Мурнагана, где она входит как множитель и как показатель степени). Для вычисления производных  $\kappa_{TT}$  и  $\kappa_{SS}$  по экспериментальным данным для конкретных веществ, получаемым при нормальном давлении  $p = 1$  атм и некоторой температуре  $T$ , можно предложить следующий метод.

Из выражений (11) предыдущей работы [1] получаем соотношение:

$$TS = \frac{V k_S}{\kappa_{SS} - 1} - \frac{V k_T}{\kappa_{TT} - 1}. \quad (1)$$

Второе необходимое соотношение получим из основного соотношения для термодинамических коэффициентов:

$$\frac{1}{k_T} - \frac{1}{k_S} = \alpha_T \alpha_S V, \quad (2)$$

где  $\alpha_S = \frac{1}{V} \left( \frac{\partial V}{\partial S} \right)_p = \frac{\alpha_T T}{C_p}$ . Дифференцируя (2) по температуре и давлению, получаем:

$$\begin{aligned} \frac{1}{\alpha_T k_T^2} \left( \frac{\partial k_T}{\partial T} \right)_p - \frac{1}{\alpha_S k_S^2} \left( \frac{\partial k_S}{\partial S} \right)_p &= \frac{1}{\alpha_T k_T} \left( \frac{\partial k_T}{\partial T} \right)_p - \\ - \frac{1}{\alpha_T k_S^2} \left( \frac{\partial k_S}{\partial T} \right)_p &= -\alpha_T \alpha_S V \left[ 1 + \frac{1}{\alpha_T^2} \left( \frac{\partial \alpha_T}{\partial T} \right)_p + \right. \\ \left. + \frac{1}{\alpha_S^2} \left( \frac{\partial \alpha_S}{\partial S} \right)_p \right] = -\alpha_T \alpha_S V \left[ 1 + \frac{1}{\alpha_T T} + \right. \\ \left. + 2 \frac{1}{\alpha_T^2} \left( \frac{\partial \alpha_T}{\partial T} \right)_p - \frac{1}{\alpha_T C_p} \left( \frac{\partial C_p}{\partial T} \right)_p \right], \end{aligned} \quad (3a)$$

$$\begin{aligned} \frac{\kappa_{TT} - 1}{k_T^2} - \frac{\kappa_{SS} - 1}{k_S^2} &= -\alpha_T \alpha_S V \left\{ 3 \frac{1}{\alpha_T k_T} \left( \frac{\partial k_T}{\partial T} \right)_p + \right. \\ + \left( \frac{2}{k_T} - \frac{1}{k_S} \right) + \alpha_T \alpha_S V \left[ 2 \frac{1}{\alpha_T^2} \left( \frac{\partial \alpha_T}{\partial T} \right)_p + \frac{1}{\alpha_S^2} \times \right. \\ \left. \times \left( \frac{\partial \alpha_S}{\partial S} \right)_p \right] \left. \right\} = -\alpha_T \alpha_S V \left\{ 3 \frac{1}{\alpha_S k_S^2} \left( \frac{\partial k_S}{\partial S} \right)_p + \right. \\ \left. + \left( \frac{2}{k_S} - \frac{1}{k_T} \right) - \alpha_T \alpha_S V \left[ \frac{1}{\alpha_T^2} \left( \frac{\partial \alpha_T}{\partial T} \right)_p + \right. \right. \\ \left. \left. + 2 \frac{1}{\alpha_S^2} \left( \frac{\partial \alpha_S}{\partial S} \right)_p \right] \right\}. \end{aligned} \quad (3b)$$

(Очевидно, что введение коэффициента  $\alpha_S$  повышает “симметрию” термодинамических соотношений.) Используя экспериментальные значения  $V_{T0}$ ,  $S_{T0}$ ,  $k_{T0}$ ,  $k_{S0}$  и  $C_p^{(T0)}$  и данные об их зависимости от температуры при  $p = 1$  атм  $\approx 0$ , можно вычислить  $\kappa_{TT}(T)$  и  $\kappa_{SS}(S)$ . После их вычисления, используя справочные данные из термодинамических таблиц для свободной энергии Гиббса  $G^*$  и энталпии  $H^*$ , можно также найти значения энергии

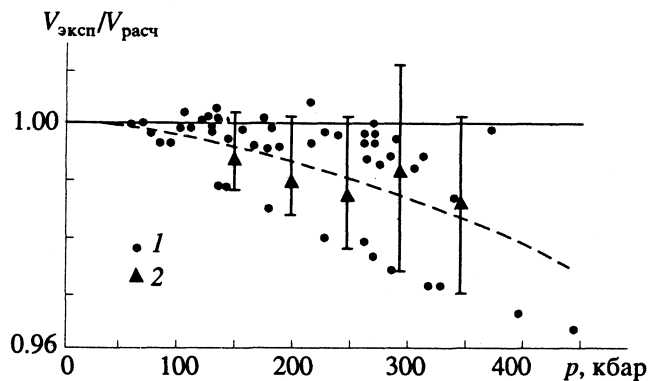


Рис. 1. Сопоставление рассчитанных значений сжимаемости (точки) с экспериментальными, полученными методом гидростатического сжатия для различных веществ: 1 – отдельные точки при  $p > 50$  кбар, 2 – средние значения (по 4–6 точкам) при  $p > 100$  кбар, вертикальные линии – разброс отдельных точек, пунктиру – усредненная кривая отклонений.

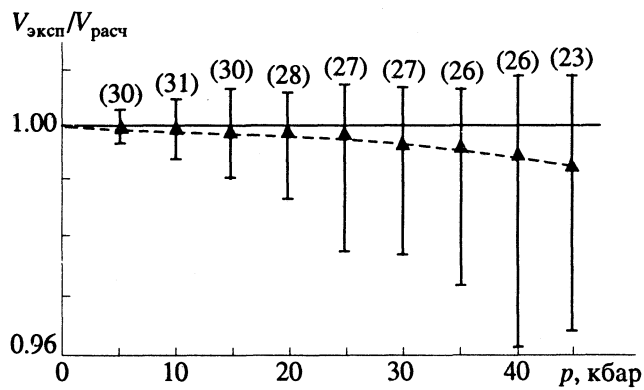


Рис. 2. Сопоставление рассчитанных значений сжимаемости (точки) с экспериментальными, полученными методом гидростатического сжатия: вертикальные линии – разброс отдельных точек (в скобках указано число точек), пунктиру – усредненная кривая отклонений.

сублимации вещества из основного (“нулевого”) состояния  $\Lambda_{00}$  и значения  $\kappa_0$ , поскольку из (11) в [1] имеем (при  $C = \Lambda_{00}$ ):

$$\Lambda_{00} = \frac{V_{00}k_{00}}{\kappa_0 - 1} = \frac{V_{T0}k_{T0}}{\kappa_{TT} - 1} - G^*, \quad (4a)$$

$$\Lambda_{00} = \frac{V_{00}k_{00}}{\kappa_0 - 1} = \frac{V_{S0}k_{S0}}{\kappa_{SS} - 1} - H^*. \quad (4b)$$

При этом значения  $V_{00}$  и  $k_{00}$  следует определить или оценить по данным о тепловом расширении и по зависимости какого-либо из модулей объемной упругости от температуры.

После этого можно вычислить кривые сжимаемости  $V(p)$  различных конкретных веществ при

$T = 293$  К и сопоставить их с экспериментальными кривыми гидростатического сжатия. На рис. 1 приведены результаты такого сопоставления для более чем 40 твердых веществ до давлений 450 кбар (использовались все оказавшиеся доступными экспериментальные данные разных авторов). На рис. 2 приведены результаты такого же расчета для 26 веществ до 45 кбар по более однородному массиву данных, полученных группой Кеннеди [14]. Горизонтальная линия  $V_{\text{эксп}}/V_{\text{расч}} = 1$  соответствовала бы идеальному совпадению экспериментальных данных и результатов расчета. Отклонение полученной усредненной кривой  $V_{\text{эксп}}/V_{\text{расч}}$  от этой горизонтали можно рассматривать как некоторую статистическую меру совпадения расчетных и экспериментальных значений сжимаемости твердых тел.

Из рисунков следует, что в среднем расчетные значения объемов систематически несколько превышают их экспериментальные значения (т.е. сжимаемость несколько занижается). В обоих случаях отклонение не превышает в среднем 0.01% на 1 кбар. Систематичность расхождения можно приписать как неадекватности уравнения Мурнагана, так и систематическим ошибкам эксперимента (например, недостаточной надежности шкалы высоких давлений, которая неоднократно пересматривалась). Совпадение вычисленных значений  $\Lambda_{00}$  со значениями, приводимыми в [15], существенно хуже. Но этого следует ожидать по многим причинам: невысокая точность приводимых в [15] значений, сложность состава насыщенных паров веществ, которую невозможно учесть в предлагаемом подходе, и т.д.

*Трудности, связанные с использованным приближением.* Принципиально более существенной трудностью является обнаружение сравнительно небольшой группы веществ, у которых в некотором интервале давлений, начиная с  $p = 0$ , наблюдаются значения  $\kappa_{TT} < 0$  (стекла, церий, а также по [10] и  $\text{SnO}_2$ ,  $\text{Fe}_2\text{O}_3$  и  $\text{MnO}_2$ ). В случае стекол можно указать на неравновесность их состояния. Для церия экспериментальные данные указывают на одновременное существование при обычных условиях сразу трех фаз. Кроме того, Се вообще уникален: на фазовой диаграмме твердого Се наблюдается, по-видимому, критическая точка [16]. На кривых сжимаемости  $\text{SnO}_2$ ,  $\text{Fe}_2\text{O}_3$  и  $\text{MnO}_2$  по данным [10] наблюдается точка перегиба, существование которой вызывает у нас серьезные сомнения. Скорее всего, имеет место либо излом кривой, либо очень небольшой скачок объема. Кристаллическая структура, а также электронная структура атомов в этих соединениях обладают определенными особенностями (большое число вакантных узлов, переходы атомов металла, как в случае Се, из одного электронного состояния в другое).

Еще одной явной трудностью является следствие из уравнений (14) в [1]. Они приводят для коэффициентов  $\alpha_T$  и  $\alpha_S$  к выражениям:

$$\begin{aligned}\alpha_T(p, T) &= \alpha_{T0}(T) + \frac{1}{\kappa_{TT} k_{T0}} \frac{dk_{T0}}{dT} - \\ &- \frac{1}{\kappa_{TT} k_T} \left( \frac{\partial k_T}{\partial T} \right)_p - \frac{1}{\kappa_{TT}} \frac{dk_{TT}}{dT} \ln \frac{V}{V_{T0}}, \\ \alpha_S(p, T) &= \alpha_{S0}(S) + \frac{1}{\kappa_{SS} k_{S0}} \frac{dk_{S0}}{dS} - \\ &- \frac{1}{\kappa_{SS} k_S} \left( \frac{\partial k_S}{\partial S} \right)_p - \frac{1}{\kappa_{SS}} \frac{dk_{SS}}{dS} \ln \frac{V}{V_{S0}}.\end{aligned}$$

При  $p \rightarrow \infty$  имеет место логарифмическая расходимость. Это свидетельствует, по-видимому, о том, что при достаточно высоких давлениях "квазилинейное" приближение неадекватно.

Отметим, что, используя любое из выражений (4), (6) или (7) из работы [1], можно, конечно, перейти к приближению более высокого порядка и получить уравнения состояния гораздо более сложного вида (впрочем, без существенного повышения их "точности" в практически достичьемом интервале давлений).

Наконец, предложенный подход не дает возможности описать зависимость термодинамических величин от температуры. Для этих целей необходимо, очевидно, привлечение модельных представлений статистической физики (что, естественно, исключает получение уравнений, пригодных для описания любого агрегатного состояния). Например, в [17] получена линейная зависимость упругих постоянных кристаллов от давления и от колебательной энергии атомов решетки. Это было использовано в [18] для вычисления зависимости коэффициентов теплового расширения ряда металлов от температуры.

## СПИСОК ЛИТЕРАТУРЫ

1. Бондаренко В.В. // Журн. физ. химии. 1993. Т. 67. № 12. С. 2405.
2. Вукалович М.П., Новиков И.И. Уравнение состояния реальных газов. М.; Л.: Госэнергоиздат, 1948. С. 43 - 58.
3. Tait P.G. Voyage of Challenger Report. L.: H.M. Stationery Office, 1888.
4. Бачинский А.И. Избранные труды. М.: Изд-во АН СССР, 1960.
5. Путилов К.А. // Исследования по термодинамике. М.: Наука, 1973. С. 120.
6. Корнфельд М. // Успехи физ. наук. 1954. Т. 54. С. 315.
7. Мелвин-Хьюз Э.А. Физическая химия. М.: Изд-во иностр. лит., 1962. Кн. I, II.
8. Murnaghan F.D. // Amer. J. Math. 1937. V. 59. P. 235.
9. Murnaghan F.D. Finite Deformation of an Elastic Solid. N.Y.: Wiley, 1951.
10. Drickamer H.J., Linch R.W., Clendenen P.L., Perez-Albuerne E.A. Solid State Physics. N.Y.; L.: Acad. Press, 1961. V. 19.
11. Anderson O.L. // J. Phys. Chem. 1966. V. 27. P. 547.
12. Огibalов П.М., Кийко О.И. Очерки по механике высоких параметров. М.: Изд-во МГУ, 1966. С. 200 - 206.
13. Бриджмен П.В. Новейшие работы в области высоких давлений. М.: Изд-во иностр. лит., 1948. С. 141 - 142.
14. Vaidya S.N., Kennedy J.C. // J. Phys. Chem. Solids. 1971. V. 31. P. 951; 1971. V. 31. P. 2329.
15. Несмеянов А.Н. Давление пара химических элементов. М.: Изд-во АН СССР, 1961. С. 372 - 374.
16. Тонков Е.Ю. Фазовые диаграммы элементов при высоком давлении. М.: Наука, 1979. С. 131.
17. Лейбфрид Г., Людвиг В. Теория ангармонических эффектов в кристаллах. М.; Л.: Физматгиз, 1963.
18. Бондаренко В.В. Труды метрологических институтов СССР. 1969. В. 104 (164). С. 74.

---

 ХИМИЧЕСКАЯ ТЕРМОДИНАМИКА  
 И ТЕРМОХИМИЯ
 

---

УДК 541.1:546.65'131

 СТАНДАРТНАЯ ЭНТАЛЬПИЯ ОБРАЗОВАНИЯ  
 ТРИХЛОРИДА ГАДОЛИНИЯ

© 1993 г. Д. М. Лаптев, Т. В. Киселева, В. В. Васильев, Д. И. Ощепков

Сибирский металлургический институт, Новокузнецк

Поступила в редакцию 09.04.92 г.

В интервале 490 - 560 К измерена ЭДС гальванической ячейки – (Pt)Gd|GdCl<sub>3</sub>||BaCl<sub>2</sub>||MgCl<sub>2</sub>|Mg(Pt)+. Из полученных данных по методам II и III законов термодинамики найдены стандартные теплоемкость, энтропия, энталпия и энергия Гиббса образования трихлорида гадолиния.

Экспериментальные исследования термодинамических свойств трихлорида гадолиния немногочисленны. Авторы работы [1] методом низкотемпературной адиабатической калориметрии в интервале 5 - 350 К определили величины  $C_p^o(T)$ ,  $S^o(T)-S^o(0)$ ,  $H^o(T)-H^o(0)$  трихлорида гадолиния. Стандартная энталпия образования GdCl<sub>3</sub> измерена методом калориметрии растворения в работах [2, 3]. Более поздних переопределений этой величины не было, хотя различие между найденными значениями  $\Delta_f H^o(T_0)$  (-1025.9 [2] и -1004.5 кДж/моль [3]) выходит за пределы погрешности калориметрического метода (~0.5%). Кроме экспериментальных данных авторов указанных работ, в журнальной и справочной литературе можно встретить не меньше десяти значений каждого из этих свойств, однако все они получены путем оценочных и уточняющих расчетов.

В связи с недостаточной экспериментальной изученностью термодинамических свойств трихлорида гадолиния в настоящей работе произведено определение стандартной теплоемкости в форме полинома Келли, стандартной энтропии и стандартной энталпии образования GdCl<sub>3</sub> с помощью метода ЭДС.

## ЭКСПЕРИМЕНТАЛЬНАЯ ЧАСТЬ

ЭДС твердофазной гальванической ячейки



с ЭДС-образующей реакцией



измерили в интервале 480 - 560 К при остаточном давлении в реакторе  $(4 - 6) \times 10^{-5}$  Па. Методики приготовления хлоридов металлов и ячейки не отличались от указанных в работе [4]. Опытные данные по ЭДС, полученные в ходе 10 экспериментов длительностью 30 - 36 ч каждый на трех монотаблетках гальванической ячейки, приведены в табл. 1 и на рисунке, а. Обработка их по МНК

показала, что корреляция величин  $E$  и  $T$  статистически незначима, так как коэффициенты корреляции опытный и граничный равны соответственно 0.09 и 0.30. Последний при доверительной вероятности  $p = 0.95$  и числе степеней свободы  $f = 40$  [5].

Обработав данные табл. 1 как равноточные случайные величины, нашли среднеарифметическое значение и доверительный интервал ЭДС:  $\bar{E}(514.7 \text{ К}) = 0.1433 \pm 0.0256 \text{ В}$ . Здесь и ниже среднеарифметические значения по рекомендации [6] отнесены к среднегармонической температуре опытных точек, которая в нашем случае равна 514.7 К. По найденной ЭДС вычислили стандартное изменение энергии Гиббса при ЭДС-образующей реакции (1):

$$\Delta_r G^o(514.7 \text{ К}) = -82.96 \pm 14.85 \text{ кДж.}$$

Так как по единственному значению  $\Delta_r G^o$  найти другие термодинамические характеристики ( $\Delta_r H^o$ ,  $\Delta_r S^o$ ,  $\Delta_r C_p^o$ ) ЭДС-образующей реакции нельзя, то исходные данные (табл. 1) преобразовывали по формуле

$$R \ln K^o(T) = zFE(T)/T, \quad (2)$$

где  $R = 8.31441 \text{ Дж/(К моль)}$  [6] – универсальная газовая постоянная,  $K^o(T)$  – константа равновесия ЭДС-образующей реакции при температуре  $T$ ,  $z = 6$  – число зарядов для реакции (1),  $F = 96484.55 \text{ Дж/(В моль)}$  [6] – число Фарадея. Значения функции  $R \ln K^o(T)$  в зависимости от  $1/T$  приведены на рис. 1в. Прямой линии на нем отвечает регрессионное уравнение

$$R \ln K^o(T) = (88.672 \pm 20.622) / T - (11.084 \pm 40.084), \quad (3)$$

$r^{\text{оп}} = 0.81$ ,  $r^{\text{рп}} = 0.30$  ( $p = 0.95$ ,  $f = 40$ ) [5]. Здесь статистическая связь между искомыми величинами значимая.

Наличие линейной связи между  $R \ln K^o(T)$  и  $1/T$  позволяет принять гипотезу о постоянстве стандартных изменений энталпий ( $\Delta_r H^o$ ) и энтропии

$(\Delta_r S^\circ)$  в изученном интервале температур и, как следствие, о равенстве нулю стандартного изменения теплоемкости  $(\Delta_r C_p^\circ)$  при ЭДС-образующей реакции. Из этого также следует, что преобразованные опытные данные в виде уравнения (3) можно обработать по методу II закона термодинамики, для чего в первую очередь необходимо найти изобарическую теплоемкость трихлорида гадолиния.

### СТАНДАРТНАЯ ТЕПЛОЕМКОСТЬ $\text{GdCl}_3$

При средней гармонической температуре теплоемкость трихлорида гадолиния вычислили из равенства  $\Delta_r C_p^\circ(514.7 \text{ K}) = 0$  по справочным значениям теплоемкости Gd [7], Mg и  $\text{MgCl}_2$  [8]:  $C_p^\circ(\text{GdCl}_3, \text{k}, 514.7 \text{ K}) = 104.83 \text{ Дж/(К моль)}$ . Коэффициенты температурного полинома Келли нашли по МНК, обработав массив из семи точек — одна наша и шесть из работы [1]. Седьмую точку (при 350 K) опустили ввиду того, что ее учет приводит к заметно большему отклонению расчетной теплоемкости от опытной (~1%), чем без нее. Полученный полином имеет вид (Дж/(К моль)):

$$\begin{aligned} C_p^\circ(\text{CdCl}_3, \text{k}, T) = & 98.12 + \\ & + 17.05 \times 10^{-3} T - 4.77 \times 10^5 T^{-2}. \end{aligned} \quad (4)$$

Наибольшее относительное отклонение рассчитанных по этому уравнению значений теплоемкости  $\text{GdCl}_3$  от опытных не превышает 0.15%, что является хорошим приближением. Приращения стандартной энтропии  $S^\circ(T) - S^\circ(T_0)$  и стандартной энталпии  $H^\circ(T) - H^\circ(T_0)$ , где  $T_0 = 298.15 \text{ K}$ , вычисленные с помощью уравнения (2), приведены в табл. 2.

### РАСЧЕТ ПО МЕТОДАМ II И III ЗАКОНОВ ТЕРМОДИНАМИКИ

В этих методах основным является уравнение

$$R \ln K^\circ(T) = -\Delta_r H^\circ(T)/T + \Delta_r S^\circ(T), \quad (5)$$

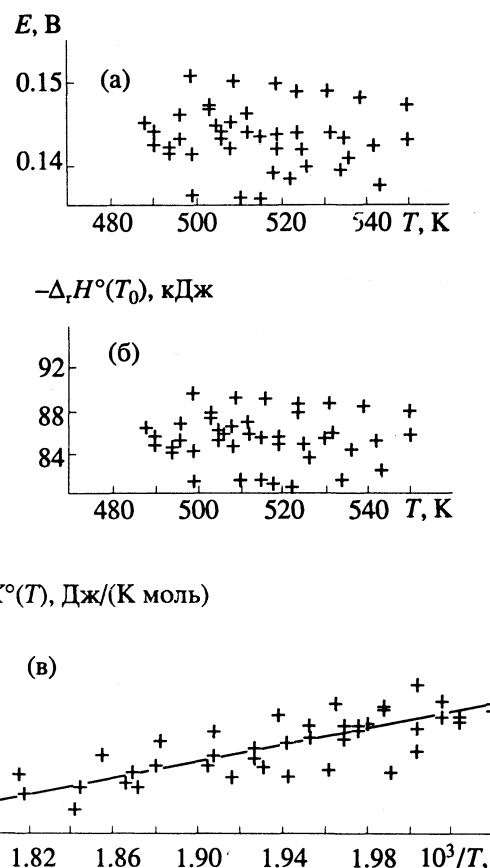
где  $\Delta_r H^\circ(T)$  и  $\Delta_r S^\circ(T)$  — стандартные изменения энталпии и энтропии реакции. Из уравнений (3) и (5) найдены стандартные изменения энталпии и энтропии ЭДС-образующей реакции:

$$\Delta_r H^\circ(514.7 \text{ K}) = -88.67 \pm 20.62 \text{ кДж},$$

$$\Delta_r S^\circ(514.7 \text{ K}) = -11.08 \pm 40.08 \text{ Дж/К},$$

$$\Delta_r G^\circ(514.7 \text{ K}) = -82.97 \pm 29.17 \text{ кДж}.$$

Здесь последняя величина рассчитана по известному выражению  $\Delta_r G^\circ(T) = \Delta_r H^\circ(T) - T \Delta_r S^\circ(T)$ , а ее доверительный интервал — по правилу сложения погрешностей. Используя справочные данные для Gd [7], Mg и  $\text{MgCl}_2$  [8] и данные табл. 2 для  $\text{GdCl}_3$ , перешли от среднегармонической тем-



Исходные и преобразованные опытные данные по ЭДС гальванической ячейки, а также стандартная энталпия ЭДС-образующей реакции при  $T_0 = 298.15 \text{ K}$  в зависимости от температуры (а, б) и от обратной температуры (в).

пературы (514.7 K) к стандартной температуре (298.15 K):

$$\Delta_r H^\circ(298.15 \text{ K}) = -87.98 \pm 20.65 \text{ кДж},$$

$$\Delta_r S^\circ(298.15 \text{ K}) = -8.90 \pm 40.20 \text{ Дж/К},$$

$$\Delta_r G^\circ(298.15 \text{ K}) = -85.33 \pm 23.88 \text{ кДж}.$$

По этим характеристикам ЭДС-образующей реакции и термодинамическим свойствам Gd, Mg,  $\text{MgCl}_2$ ,  $\text{Cl}_2$  [7-9] вычислили следующие термодинамические свойства трихлорида гадолиния:

$$\begin{aligned} \Delta_f H^\circ(\text{GdCl}_3, \text{k}, 298.15 \text{ K}) = & \\ = & -1010.44 \pm 10.38 \text{ кДж/моль}, \\ \Delta_f S^\circ(\text{GdCl}_3, \text{k}, 298.15 \text{ K}) = & \\ = & 148.91 \pm 20.15 \text{ Дж/(К моль)}, \\ \Delta_f G^\circ(\text{GdCl}_3, \text{k}, 298.15 \text{ K}) = & \\ = & -934.86 \pm 12.00 \text{ кДж/моль}. \end{aligned}$$

Расчет по III закону основан на уравнении

$$\Delta_r H^\circ(T) = T[\Delta_r S^\circ(T) - R \ln K^\circ(T)], \quad (6)$$

где все величины имеют прежний смысл. В расчетах использовали стандартные энтропии Gd, Mg,

**Таблица 1.** Экспериментальные значения ЭДС гальванической ячейки

T, K	E, В	T, K	E, В	T, K	E, В
550	0.1428	536	0.1408	519	0.1435
535	0.1430	508	0.1450	496	0.1460
505	0.1445	512	0.1437	524	0.1435
488	0.1450	534	0.1394	519	0.1421
515	0.1433	506	0.1433	490	0.1439
542	0.1418	494	0.1420	525	0.1418
532	0.1435	518	0.1391	499	0.1414
503	0.1473	490	0.1425	494	0.1416
503	0.1470	506	0.1441	522	0.1383
512	0.1460	550	0.1468	531	0.1485
543	0.1374	516	0.1496	499	0.1506
526	0.1398	509	0.1498	524	0.1485
508	0.1420	539	0.1477	510	0.1363
496	0.1431	499	0.1364	515	0.1361

**Таблица 2.** Изменения энтропии ( $\Delta S = S^\circ(T) - S^\circ(298.15 \text{ К})$ , Дж/(К моль)) и энталпии ( $\Delta H = H^\circ(T) - H^\circ(298.15 \text{ К})$ , Дж/моль) трихлорида гадолиния в стандартном состоянии от 298.15 К до T

T, K	$\Delta S$	$\Delta H$
400	29.378	10193
500	52.443	20534
600	71.746	31124
514.7	55.281	22091

**Таблица 3.** Термодинамические свойства ( $GdCl_3$ , к) при  $T_0 = 298.15 \text{ К}$ 

Метод	$-\Delta_f H^\circ$ , кДж/моль	$S^\circ$	$C_p^\circ$
		Дж/(К моль)	
ЭДС, II закон	$1010.44 \pm 10.38$	$148.91 \pm 20.15$	97.84
ЭДС, III закон	$1009.14 \pm 1.10$	151.42 [1]	97.78 [1]

$MgCl_2$  из справочников [7, 8] и стандартную энтропию  $GdCl_3$  из работы [1], в которой она определена калориметрически. Найденные по уравнению (6) при температурах опытов (табл. 1) значения стандартного изменения энталпии при реакции (1) пересчитали на стандартную температуру (298.15 К). Анализ зависимости  $\Delta_f H^\circ(298.15 \text{ К})$  от температуры (рисунок, б) показал, что опытный коэффициент корреляции  $|r^{\text{оп}}| = 0.04$  существенно меньше граничного  $r^{\text{тр}} = 0.30$  ( $p = 0.95, f = 40$ ) [5]. Следовательно, в экспериментальных данных систематической ошибки нет. Обработав значения  $\Delta_f H^\circ(298.15 \text{ К})$  как массив равноточных случайных величин, нашли среднеарифметиче-

ское значение и его доверительный интервал:  $\Delta_f H^\circ(298.15 \text{ К}) = -85.39 \pm 0.66 \text{ кДж}$ . Отсюда, используя величину  $\Delta_f H^\circ(MgCl_2, \text{к}, 298.15 \text{ К}) = -644.30 \pm 0.70 \text{ кДж/моль}$  [8], вычислили стандартную энталпию образования трихлорида гадолиния:  $\Delta_f H^\circ(GdCl_3, \text{к}, 298.15 \text{ К}) = -1009.14 \pm 1.10 \text{ кДж/моль}$ . По ней и стандартным энтропиям  $Gd$  [7],  $Cl_2$  [9],  $GdCl_3$  [1] определили стандартное изменение энергии Гиббса при образовании трихлорида гадолиния из элементов:  $\Delta_f G^\circ(GdCl_3, \text{к}, 298.15 \text{ К}) = -934.31 \pm 1.21 \text{ кДж/моль}$ .

## ОБСУЖДЕНИЕ РЕЗУЛЬТАТОВ

В табл. 3 приведены значения стандартных энталпий образования, энтропии и теплоемкости  $GdCl_3$  по нашим и литературным данным. Из наших двух значений  $\Delta_f H^\circ(GdCl_3, \text{к}, T_0)$ , безусловно, предпочтительнее (как более точное) найденное по III закону термодинамики. Оно не содержит систематической ошибки в отличие от калориметрических значений авторов работ [2, 3], что было отмечено в [4].

Близкие значения (табл. 3) стандартных энталпий образования и энергии Гиббса трихлорида гадолиния, найденные по методам II и III законов термодинамики, а также хорошее совпадение стандартной энтропии и теплоемкости в методе II закона с таковыми в калориметрическом методе авторов [1] свидетельствуют о правильности и надежности полученных с помощью ЭДС данных о термодинамических свойствах трихлорида гадолиния.

## СПИСОК ЛИТЕРАТУРЫ

1. Sommers J.A., Westrum E.F. // J. Chem. Thermodyn. 1977. V. 9. P. 1.
2. Bommer H., Hohmann E. // Z. Anorg. Allgem. Chem. 1941. B. 248. S. 373.
3. Spedding F.H., Flynn J.P. // J. Amer. Chem. Soc. 1954. V. 76. P. 1474.
4. Лаптев Д.М., Киселева Т.В., Васильев В.В. // Журн. физ. химии. 1990. Т. 64. № 6. С. 1472.
5. Доерфель К. Статистика в аналитической химии / Пер. с нем. под ред. В.В. Налимова. М.: Мир, 1969. С. 209 - 210.
6. Термодинамические свойства индивидуальных веществ: Справочное изд. в 4-х т. / Л.В. Гурвич, И.В. Вейц, В.А. Медведев и др. Т. I. Кн. 1. М.: Наука, 1978. С. 395 - 396.
7. Barin J., Knacke O., Kubaschewski O. Thermochemical properties of inorganic substances. Supplement. Düsseldorf: Springer-Verlag; B. Heidelberg; N.Y.: Stahleisen, 1977. S. 277.
8. Термодинамические свойства индивидуальных веществ. Справочное изд. в 4-х т. / Л.В. Гурвич, И.В. Вейц, В.А. Медведев и др. 3-е изд. перераб. и расширен. Т. III. Кн. 2. М.: Наука, 1981. С. 259 - 274.
9. Термодинамические свойства индивидуальных веществ. Справочное изд. в 4-х т. / Л.В. Гурвич, И.В. Вейц, В.А. Медведев и др. 3-е изд. перераб. и расширен. Т. I. Кн. 2. М.: Наука, 1978. С. 97.

ГИДРИРОВАНИЕ ФЕНОЛА В ЦИКЛОГЕКСАНОН  
НА МЕМБРАННЫХ КАТАЛИЗАТОРАХ

© 1993 г. Н. Л. Басов, В. М. Грязнов, М. М. Ермилова

Российская академия наук, Институт нефтехимического синтеза им. А. В. Топчиеva, Москва

Поступила в редакцию 31.05.93 г.

Проведено исследование реакции гидрирования фенола на мембранных катализаторах из палладиевых сплавов. Показано, что применение мембранных катализаторов позволяет осуществлять одностадийное получение циклогексанона. Выявлено влияние различных способов подачи водорода и соотношения водород/фенол на ход реакции.

Гидрирование фенола представляет интерес, поскольку продуктами реакции в этом случае являются либо циклогексанол (ЦГЛ), либо циклогексанон (ЦГН) и первый может быть использован для дегидрирования во второй, необходимый для производства капролактама. Направление процесса, как правило, определяется составом катализаторов, в качестве которых обычно используют металлы VIII группы [1, 2]. Получение ЦГН прямым гидрированием фенола предпочтительнее, так как позволяет исключить энергоемкую стадию дегидрирования ЦГЛ. Изучение гидрирования фенола в ЦГН в жидкой [3] и паровой [4 - 6] фазах на нанесенных палладиевых катализаторах позволило вывести кинетическое уравнение скорости реакции и предложить механизм реакции.

Высокая активность палладиисодержащих катализаторов в отношении реакции гидрирования фенола дает возможность использовать для получения ЦГН мембранные катализаторы на основе сплавов палладия. При этом гидрирование фенола возможно за счет водорода, образующегося при дегидрировании ЦГЛ или другого вещества на противоположной поверхности проницаемого для водорода мембранных катализатора, а тепло, выделяющееся при гидрировании, снижает потребность в энергии для эндотермической реакции дегидрирования.

## ЭКСПЕРИМЕНТАЛЬНАЯ ЧАСТЬ

Опыты проводили в цельнометаллической, управляемой с помощью ЭВМ лабораторной установке проточного типа, описанной ранее [7]. Мембранными катализаторами служили фольги толщиной 100 мкм из бинарных сплавов палладия с рутением (9.8 мас. %) и родием (15 мас. %), которые оказались активными в дегидрировании ЦГЛ [8]. Предварительные опыты показали, что тройной сплав палладия с рутением и свинцом не является активным в гидрировании фенола, и в даль-

нейшем этот сплав не использовался. Опыты проводили при атмосферном давлении, в интервале температур от 400 до 500 К и скоростях потока реагентов от 10 до 100 мл/мин. Как видно из рис. 1, с повышением температуры степень превращения фенола падала, что может быть объяснено протеканием обратной реакции. Различие в составе сплавов проявлялось как в активности катализаторов, так и в селективности реакции по ЦГН. Каталитическая активность палладий-рутенийового сплава оказалась выше, чем у сплава палладия с 15 мас. % родия, и селективность первого практически не зависела от температуры, а у второго существенно уменьшалась с увеличением температуры.

Подача водорода к работающей поверхности мембранных катализатора с его противоположной стороны позволила выявить влияние газообразного водорода, присутствующего в зоне реакции, на ход гидрирования фенола. Зависимость степени превращения фенола от соотношения концентраций водорода и фенола в газовом

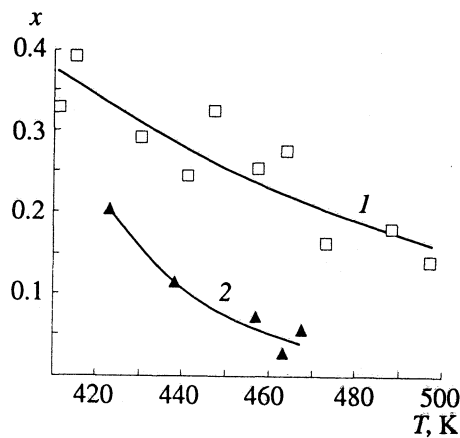


Рис. 1. Зависимости степени превращения фенола от температуры на мембранных катализаторах из сплавов: 1 – Pd-Ru (9.8 мас. %), 2 – Pd-Rh (15 мас. %).

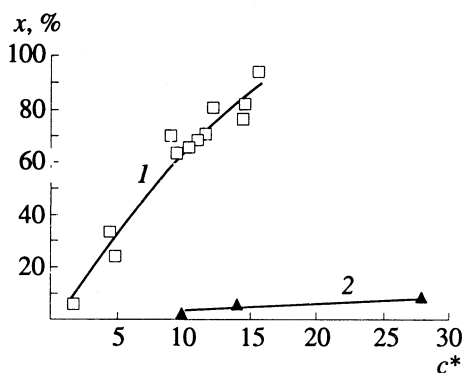


Рис. 2. Зависимости степени превращения фенола от соотношения концентраций водород/фенол ( $c^* = c_{\text{водород}}/c_{\text{фенол}}$ ) на мембранных катализаторах: 1, 2 – см. рис. 1.

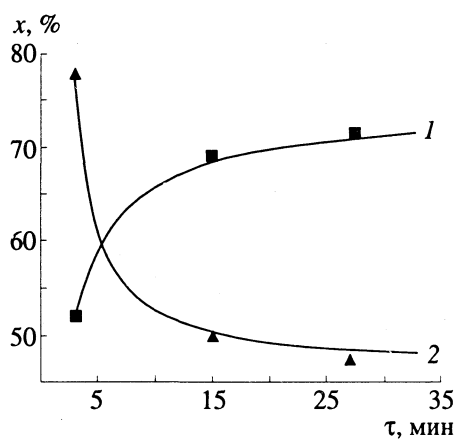


Рис. 3. Изменение степени превращения фенола в ходе проведения опыта ( $\tau$  – время от начала опыта) при подаче водорода диффузией через мембранный катализатор (1) и при подаче в смеси с парами фенола (2).

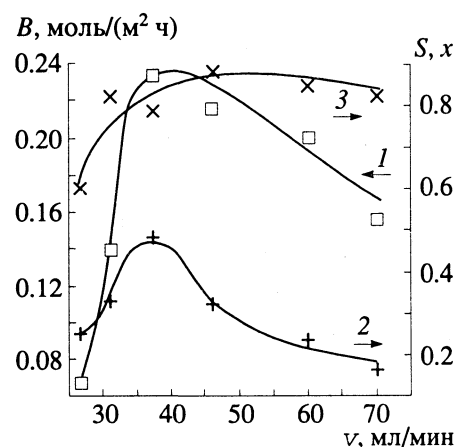


Рис. 4. Выход ЦГН (1), степень превращения фенола (2) и селективность по ЦГН (3) в зависимости от скорости потока в зоне проведения реакции гидрирования.

потоке на выхоле из реактора показана на рис. 2. Очевидно, что для полного гидрирования фенола на мембранных катализаторах, так же как и на традиционных гетерогенных катализаторах, требуются значительные избытки водорода. Математическая обработка полученных данных позволила описать зависимость степени превращения от соотношения объемных концентраций водорода и фенола в виде дробно-линейной функции и показать, что для полного превращения фенола на сплаве Pd–Ru (9.8 мас. %) при температуре 440 К и нагрузке по фенолу 0.6 моль/(м<sup>2</sup> · ч) необходимым условием является  $c_{\text{водород}}/c_{\text{фенол}} > 22$ . Еще большие избытки водорода требуются при гидрировании на сплаве Pd–Rh (15 мас. %). Видимо, присутствие водорода в газовой фазе снижает адсорбционную конкуренцию фенола с молекулами водорода на поверхности катализатора, а подача атомов водорода через мембранный катализатор обеспечивает создание на реакционной поверхности оптимального соотношения поверхностных концентраций фенола и водорода.

Сравнение результатов, полученных на сплаве Pd–Ru (9.8 мас. %) при подаче водорода в смеси с парами фенола и через мембранный катализатор (рис. 3), показывает также, что во втором случае процесс протекает более стабильно, а при подаче водорода в смеси с парами фенола активность катализатора быстро падает. Это различие, так же как и необходимость больших избытоков водорода для полного гидрирования фенола, может объясняться конкурентной адсорбцией фенола и водорода на катализаторе. Контакт паров фенола со свободной от водорода поверхностью палладиевого сплава может приводить к слишком прочной адсорбции фенола, которая подавляется при поступлении значительного количества водорода. Если же водород поступает в смеси с парами фенола, то указанный эффект проявляется слабее, так как снижается вероятность доступа молекул водорода к катализатору. Постепенное нарастание поверхностной концентрации прочно адсорбированных молекул фенола снижает активность катализатора. Высокая чувствительность процесса к величине соотношения водород/гидрируемое вещество при проведении реакции на мембранных катализаторах была выявлена ранее и для других реакций [9, 10].

Избыток водорода может быть полезен и для подавления обратной реакции – дегидрирования образующегося ЦГН в фенол, вероятность которой повышается с ростом температуры, о чем свидетельствует ход кривых на рис. 1. С другой стороны, при низких температурах возможно гидрирование ЦГН в циклогексанол. На вероятность такого пути превращения исходного фенола указывают результаты исследования влияния скорости потока на выход ЦГН. Из рис. 4 видно, что кривая зависимости  $B$  – выхода ЦГН на катализаторе Pd–Ru (9.8 мас. %) с ростом

скорости потока проходит через максимум, как и кривая зависимости  $x$  – степени превращения фенола, а селективность –  $S$  с увеличением скорости потока возрастает до практически постоянной величины. Нарастание выхода ЦГН на начальном участке кривой до достижения максимума может быть объяснено уменьшением вероятности гидрирования ЦГН в ЦГЛ по мере уменьшения времени контакта, что и повышает селективность за счет снижения концентрации ЦГЛ в катализаторе. Снижение выхода ЦГН при дальнейшем уменьшении времени контакта при мало меняющейся селективности, вероятно, связано с ростом концентрации непрореагировавшего фенола. На возможность превращения фенола по схеме



на палладиевых катализаторах указывают и результаты [9], полученные при жидкокфазном гидрировании, где было показано, что насыщенная водородом поверхность Pd способна катализировать кетоенольные превращения.

Приведенные результаты показывают, что при подаче водорода через мембранные катализаторы из палладиевых сплавов возможно одностадийное получение циклогексанона из фенола с высокой селективностью и степенью превращения исходного вещества более 0.9.

Авторы благодарят Российский фонд фундаментальных исследований за финансовую поддержку этой работы (проект 93-03-5965).

## СПИСОК ЛИТЕРАТУРЫ

1. Yamamoto Haruhiko, Kwan Tokao // Chem. and Pharmac. Bull. 1969. V. 17. № 6. P. 1069.
2. Сокольский Д.В., Козина С.М., Розманова Л.А., Павлюкевич Л.В. // Прикладная и теоретическая химия. Вып. 4. Алма-Ата, 1973. С. 302 - 317.
3. Котова В.Г., Мурзин Д.Ю., Зыскин А.Г., Кулькова Н.В. // Кинетика и катализ. 1991. Т. 32. № 2. С. 360.
4. Стрелец М.М., Снаговский Ю.С., Борисов В.В., Любарский Г.Д. // Хим. пром-сть. 1968. № 7. С. 567.
5. Gonzalez-Velasco Juan R., Gutierrez-Ortiz Jose I., Gonzalez-Marcos Jose A., Romero A. // React. Kinet. and Catal. Lett. 1986. V. 32. № 2. P. 505.
6. Galvagno S., Donato A., Neri G., Pietropaolo R. // J. Chem. Tech. Biotechnol. 1991. V. 51. № 2. P. 145.
7. Басов Н.Л., Грязнов В.М., Ермилова М.М. // Журн. физ. химии. 1993. Т. 67. № 11. С. 2185.
8. Басов Н.Л., Грязнов В.М., Ермилова М.М. // Кинетика-4: Всесоюз. конф. по кинетике гетерогенно-катализитических реакций. Ярославль, 1988. Матер. конф. М., 1988. С. 100 - 101.
9. Ермилова М.М. // Металлы и сплавы как мембранные катализаторы. М.: Наука, 1981. С. 101 - 111.
10. Лебедева В.И. // Там же. С. 112 - 119.
11. Котова В.Г., Кулькова Н.В., Темкин М.И. // Кинетика и катализ. 1988. Т. 29. № 1. С. 148.

---

 ХИМИЧЕСКАЯ КИНЕТИКА  
 И КАТАЛИЗ
 

---

УДК 541.124

## ОЦЕНКА ЭНЕРГИЙ ДИССОЦИАЦИИ С-Н-СВЯЗЕЙ В УГЛЕВОДОРОДАХ ПО КИНЕТИЧЕСКИМ ДАННЫМ

© 1993 г. Е. Т. Денисов

*Российская академия наук, Институт химической физики, Черноголовка*

Поступила в редакцию 29.09.92 г.

В рамках параболической модели переходного состояния получено уравнение для расчета разности энталпий двух реакций радикального отрыва по разности энергий активации. С его помощью рассчитаны энергии диссоциации С-Н-связи в углеводородах по кинетическим данным с использованием отношения констант скорости двух радикальных реакций. Получено хорошее согласие результатов расчета друг с другом и с термохимическими данными. Для 30 алкилароматических углеводородов рассчитаны энергии диссоциации  $\alpha$ -С-Н-связей.

Параболическая модель переходного состояния позволяет математически связать энергию активации и энталпию реакции через кинетический параметр  $br_e$ , единый для одного класса реакций радикального отрыва [1 - 4]. Эту связь можно использовать, с одной стороны, для оценки энергии активации и анализа факторов, влияющих на реакционную способность молекул и радикалов [3 - 4]. С другой стороны, она открывает возможность оценивать энталпию реакции по ее кинетическим характеристикам (константа скорости, энергия активации). Энталпия реакции радикального отрыва равна разности энергий диссоциации рвущейся и образующейся связей. В случае атаки одного радикала на ряд молекул при переходе от одной реакции к другой изменяется только прочность атакуемой связи. Это позволяет оценить по кинетическим данным разность энергий диссоциации атакуемых связей и таким образом построить кинетическую шкалу диссоциации связей для широкого числа соединений. Решению данной проблемы для С-Н-связей углеводородов и посвящена настоящая работа.

В литературе накоплен огромный материал по относительным константам скорости реакций радикального отрыва [5 - 7]. Эти данные легко трансформировать в разности энергий активации. По разности энергий активации в рамках одной реакционной серии можно оценить и разность энталпий двух реакций. В параболической модели переходное состояние для  $i$ -й реакции характеризуется параметром  $br_e$ , который связан с энергией активации  $E_{ei}$  и энталпией реакции  $\Delta H_{ei}$  соотношением [1 - 4]:

$$br_e = \alpha (E_{ei} - \Delta H_{ei})^{1/2} + E_{ei}^{1/2}. \quad (1)$$

Параметры  $br_e$  и  $\alpha$  характеризуют данную серию. Величина  $E_{ei}$  связана с экспериментальной энергией активации  $E_i$  соотношением:

$$E_{ei} = E_i + 0.5hLv_i - 0.5RT.$$

Энталпия реакции  $\Delta H_{ei} = D_{ei} - D_{ef}$ , а  $D_{ei} = D_i + 0.5hLv_i$ , и  $D_{ef} = D_f + 0.5hLv_f$ . Здесь  $h$  – постоянная Планка,  $L$  – число Авогадро,  $R$  – газовая постоянная,  $v_i$ ,  $D_i$  и  $v_f$ ,  $D_f$  – частоты колебаний и энергии диссоциации рвущейся и образующейся связей соответственно. Параметр  $b = 1.332 \times 10^8 v_i \mu_i^{1/2}$ ,  $\mu_i$  – приведенная масса рвущейся связи, а  $r_e$  – расстояние, на которое смещается атакуемый атом в результате элементарного акта. Для одной реакционной серии  $br_e \equiv \text{const}$ . Поэтому для двух реакций (первой и  $i$ -й) одной серии справедливо равенство:

$$\alpha (E_{e1} - \Delta H_{e1})^{1/2} + E_{e1}^{1/2} = \alpha (E_{ei} - \Delta H_{ei})^{1/2} + E_{ei}^{1/2}. \quad (2)$$

Преобразуя равенство (2), в сочетании с (1) получаем формулу для оценки  $\Delta \Delta H_{ei}$ :

$$\Delta \Delta H_{ei} = 2br_e \alpha^{-2} E_{ei}^{1/2} - (1 - \alpha^2) \alpha^{-2} \Delta E_{ei}, \quad (3)$$

где  $\Delta H_{ei} = H_{ei} - H_{el} = H_i - H_1$ , если  $v_i = v_1$  для данной реакционной серии;  $\Delta E_{ei} = E_{ei} - E_{el} = E_i - E_1$ , если  $v_i = v_1$  и  $T_i = T_1$ , а  $\Delta E_{ei}^{1/2} = E_{ei}^{1/2} - E_{el}^{1/2}$ . Как правило, в одной реакционной серии  $D_{ef} = \text{const}$  и поэтому  $\Delta \Delta H_e = \Delta \Delta H = D_i - D_1$ , что и позволяет вычислить через  $E_i$  энергию  $D_i$ , опираясь на известную энергию диссоциации  $D_1$  [7].

В ряде случаев величина  $br_e$  плавно изменяется с увеличением  $\Delta H_{ei}$  [1]:

$$br_{ei} = br_{e0} + \beta \Delta H_{ei}^2.$$

При изменении  $\Delta H_e$  в нешироком диапазоне вклад второго члена незначителен, так что можно принять  $br_{ei} = br_{e0}$  с погрешностью, не превышающей ошибку в определении энергии активации. Например, для реакции метильных радикалов с С-Н-связями  $\beta = 1.8 \times 10^{-4}$  [1]. При изменении  $\Delta H_e$  на 24 кДж/моль коэффициент  $br_{e0} = 17.06$  меняется всего на 0.1 при погрешности в оценке  $br_{e0}$ , равной  $\pm 0.3$  (по результатам 10 измерений). Разность энергий активации двух реакций (первой и  $i$ -й) нетрудно вычислить через отношение констант скорости  $k_i$  и  $k_1$ . Для одной реакционной серии предэкспоненциальные множители можно принять одинаковыми для атаки радикала на одну С-Н-связь и следует учесть только число равнозначных атакуемых связей в каждой молекуле ( $n_1$  и  $n_i$  соответственно). При таком подходе

$$\Delta E_i = E_i - E_1 = -RT \ln(k_i n_i / k_1 n_1). \quad (4)$$

*Оценка  $\Delta\Delta H$  в реакциях разных радикалов с С-Н-связями парафиновых углеводородов.* В парафиновых углеводородах по своей прочности и реакционной способности отличаются С-Н-связи метильной, метиленовой и метиновой групп. Энергии диссоциации этих связей известны, а по их относительной активности в radicalных реакциях накоплен богатый экспериментальный материал [7]. Поэтому на их примере целесообразно получить и сравнить кинетическую шкалу  $\Delta D_{C-H}$  с термохимической. При расчете использо-

вались приведенные в табл. 1 параметры для реакций  $X^\cdot + RH$  [1 - 4].

В качестве групп сравнения была взята метиленовая группа ( $D_1 = 402.5$  [8] и  $D_{e1} = 419.9$ ). Энергии активации и энергии связи везде приведены в кДж/моль, параметр  $br_e$  имеет размерность (кДж/моль) $^{1/2}$ . В табл. 2 приведены исходные данные и результаты расчета  $\Delta\Delta H$  по формуле (3).

Для разности  $D_{RCH_2-H} - D_{R_2CH-H} = \Delta\Delta H$  по совокупности рассчитанных данных получается величина  $14.4 \pm 3.1$ , которая согласуется с литературными данными (15.9 [10] и 15.1 [8]). Для разности  $D_{R_2CH-H} - D_{R_3C-H} = \Delta\Delta H$  получается по данным расчета величина  $11.5 \pm 3.5$ , совпадающая с данными справочника (11.1 [10]) и близкая к данным Холмса (10.3 [8]). Таким образом, изложенный метод оценки  $D$  по кинетическим данным приводит к результатам, которые хорошо согласуются с полученными другими физическими методами. Погрешность такой оценки ( $\pm 3$  кДж/моль) невелика и не превышает погрешности измерения  $D$  другими методами.

*Оценка  $\Delta\Delta H$  в реакциях различных радикалов с алкиларomaticескими углеводородами.* Реакции radicalного отрыва с участием разнообразных алкиларomaticеских углеводородов широко изучались в различных цепных процессах, таких как полимеризация и окисление. Методом конкурирующих реакций изучены реакции отрыва атома водорода метильным и фенильным радикалами. В то же время для целого ряда таких углеводородов отсутствуют данные по энергии диссоциации С-Н-связей. Поэтому в настоящей работе проведена оценка  $D$  для  $\alpha$ -С-Н-связей алкиларomaticеских углеводородов по кинетическим измерениям с использованием большого массива данных относительных констант скорости реакций отрыва. В качестве углеводорода сравнения взят толуол  $R_1H$ , для которого  $D_{R-H} = 368.2$  [10]. В случае реакций пероксильных радикалов с  $R_1H$  углеводородом сравнения служил кумол ( $D_{R-H} = 347.2$ , настоящая работа). Расчет проводился следующим образом. Разность энергий активации реакций  $X^\cdot + R_1H$  и  $X^\cdot + R_1H$  ( $\Delta E_i = E_i - E_1 = E_{ei} - E_{e1}$ ) вычислялась по формуле (4) из отношения

Таблица 1

$X^\cdot$	$D_{ef}$	$br_e$	$\alpha$	$E_{ei}$
H <sup>·</sup>	462.3	16.01	0.90	53.41
CH <sub>3</sub> <sup>·</sup>	455.8	17.28	1.00	57.78
C <sub>6</sub> H <sub>5</sub> <sup>·</sup>	481.4	17.15	1.00	46.00
HO <sup>·</sup>	520.2	13.58	0.79	23.06
(CH <sub>3</sub> ) <sub>3</sub> CO <sup>·</sup>	461.4	13.47	0.80	39.38
(CH <sub>3</sub> ) <sub>3</sub> COO <sup>·</sup>	379.8	14.26	0.81	81.95

Таблица 2

$X^\cdot$	$T, K$	$2k_{CH_3}/3k_{CH_2}$	$\Delta E$	$\Delta\Delta H$	$2k_{CH}/k_{CH_2}$	$-\Delta E$	$-\Delta\Delta H$	Литература
H <sup>·</sup>	—	—	4.4	11.0	—	4.6	12.2	[3]
CH <sub>3</sub> <sup>·</sup>	437	0.10	8.4	18.4	8.0	7.55	17.8	[7]
C <sub>6</sub> H <sub>5</sub> <sup>·</sup>	333	0.11	6.0	14.9	4.89	4.4	11.3	[7]
HO <sup>·</sup>	298	0.14	4.89	11.0	6.43	4.6	11.0	[7]
(CH <sub>3</sub> ) <sub>3</sub> CO <sup>·</sup>	313	0.083	6.5	17.2	3.67	3.4	9.7	[7]
(CH <sub>3</sub> ) <sub>3</sub> COO <sup>·</sup>	—	—	13.4	13.9	—	6.7	7.2	[9]

**Таблица 3.** Расчет  $\Delta\Delta H$ , кДж/моль =  $D_{R_i-H} - D_{R_1-H}$  ( $R_1H$  – толуол) через отношение констант скорости реакций  $X^+ + R_iH \longrightarrow XH + R_i$  ( $X^+$  – радикал со свободной валентностью на углероде)

$R_iH$	$X^+$	$T, K$	$\frac{n_1 k_i}{n_i k_1}$	$-\Delta E$	$-\Delta\Delta H$	Литера- тура
$C_6H_5CH_2CH_3$	$CH_3^+$	338	4.14	4.00	10.4	[11]
		353	4.10	-4.10	10.7	[12]
		373	5.40	5.23	13.7	[13]
	$n-C_6H_{13}^+$	373	6.46	5.78	14.5	[14]
		333	4.56	4.20	12.3	[7]
	$\sim CH_2CH_2^+$	403	3.87	4.53	11.2	[6]
		403	4.68	5.17	13.0	[6]
		473	3.41	4.11	10.2	[6]
	$\sim CH_2\dot{C}HC_6H_5$	333	8.28	5.85	11.9	[6]
		353	5.37	4.93	10.0	[6]
		373	5.28	5.14	10.4	[6]
$C_6H_5CH(CH_3)_2$	$CH_3^+$	338	12.91	7.19	19.1	[11]
		363	13.19	7.57	20.2	[12]
		373	13.51	8.07	21.5	[13]
	$второп.-C_7H_{15}^+$	373	25.12	10.01	25.8	[14]
		333	9.67	6.28	18.6	[7]
	$\sim CH_2\dot{C}HC_6H_5$	333	19.68	8.25	16.9	[6]
		353	11.72	7.63	15.7	[6]
	$CH_3^+$	353	12.37	7.38	19.6	[12]
		333	7.67	5.64	16.6	[7]
		443	20.3	11.09	22.9	[15]
$(C_6H_5)_2CH_2$	$\sim CH_2\dot{C}HC_6H_5$	333	25.31	8.95	18.5	[6]
		373	11.72	7.63	15.7	[6]
		353	66.28	12.31	33.7	[12]
	$C_6H_5^+$	333	39.0	10.10	30.8	[7]
		443	90.0	16.60	35.0	[15]
	$C_6H_5CH_2^+$	333	97.51	12.12	25.2	[6]
		353	59.02	11.97	24.8	[6]
		373	44.58	11.77	24.3	[6]
Индан	$CH_3^+$	353	7.57	5.94	15.6	[12]
		338	8.30	5.95	15.7	[11]
		338	23.01	8.81	23.6	[11]
Тетралин	$C_6H_5CH_2^+$	353	21.54	9.01	24.2	[12]
		443	20.6	11.12	23.0	[15]
		433	29.5	12.18	25.3	[16]
	$2-CH_2 = CHCH_2C_6H_4CH_2$	548	16.0	12.64	26.3	[17]

Таблица 3. Окончание

$R_iH$	X <sup>·</sup>	T, K	$\frac{n_1 k_i}{n_i k_1}$	$-\Delta E$	$-\Delta \Delta H$	Литера- тура
<i>μ</i> -C <sub>6</sub> H <sub>11</sub> C <sub>6</sub> H <sub>5</sub>	CH <sub>3</sub>	353	13.24	7.58	20.1	[12]
(C <sub>6</sub> H <sub>5</sub> CH <sub>2</sub> ) <sub>2</sub>		353	4.04	4.10	10.7	[11]
	C <sub>6</sub> H <sub>5</sub> CH <sub>2</sub>	443	4.31	5.38	10.9	[15]
(C <sub>6</sub> H <sub>5</sub> ) <sub>2</sub> CHCH <sub>3</sub>	C <sub>6</sub> H <sub>5</sub>	333	18.0	8.0	24.0	[7]
<i>n</i> -CH <sub>3</sub> C <sub>6</sub> H <sub>4</sub> CH <sub>3</sub>	CH <sub>3</sub>	338	1.19	0.49	1.25	[11]
		353	1.22	0.58	1.5	[12]
	~CH <sub>2</sub> CH <sub>2</sub>	403	0.93	-0.15	-0.4	[6]
		473	0.99	-0.06	-0.1	[6]
<i>n</i> -(CH <sub>3</sub> ) <sub>3</sub> CC <sub>6</sub> H <sub>4</sub> CH <sub>3</sub>	(CH <sub>3</sub> ) <sub>3</sub> C <sup>·</sup>	321	1.23	0.55	1.1	[18]
<i>n</i> -FC <sub>6</sub> H <sub>4</sub> CH <sub>3</sub>		321	0.98	-0.05	-0.1	[18]
<i>n</i> -ClC <sub>6</sub> H <sub>4</sub> CH <sub>3</sub>		321	1.98	1.82	3.7	[18]
<i>m</i> -ClC <sub>6</sub> H <sub>4</sub> CH <sub>3</sub>		321	1.45	1.00	2.0	[18]
<i>m</i> , <i>n</i> -Cl <sub>2</sub> C <sub>6</sub> H <sub>3</sub> CH <sub>3</sub>		321	2.59	2.54	5.1	[18]
<i>n</i> -CNC <sub>6</sub> H <sub>4</sub> CH <sub>3</sub>		321	3.28	3.17	6.4	[18]
<i>n</i> -(CH <sub>3</sub> ) <sub>2</sub> CHC <sub>6</sub> H <sub>4</sub> CH(CH <sub>3</sub> ) <sub>2</sub>	~CH <sub>2</sub> CHC <sub>6</sub> H <sub>5</sub>	333	193.5	14.58	30.5	[6]
$\alpha$ -CH <sub>3</sub> -C <sub>10</sub> H <sub>7</sub>	C <sub>6</sub> H <sub>5</sub> CH <sub>2</sub>	443	3.74	4.86	9.9	[15]
$\alpha$ -CH <sub>3</sub> CH <sub>2</sub> -C <sub>10</sub> H <sub>7</sub>	C <sub>6</sub> H <sub>5</sub> CH <sub>2</sub>	443	6.25	6.75	13.8	[15]
$\alpha$ -C <sub>2</sub> H <sub>5</sub> -C <sub>10</sub> H <sub>7</sub>	C <sub>6</sub> H <sub>5</sub>	333	2.56	2.60	7.5	[7]
$\beta$ -C <sub>2</sub> H <sub>5</sub> -C <sub>10</sub> H <sub>7</sub>		333	3.01	3.04	8.8	[7]
CH <sub>2</sub> =CHCH <sub>2</sub> C <sub>6</sub> H <sub>5</sub>		333	3.56	3.52	10.2	[7]
$\beta$ -C <sub>10</sub> H <sub>7</sub> C(CH <sub>3</sub> )=CH <sub>2</sub>	~CH <sub>2</sub> CHC <sub>6</sub> H <sub>5</sub>	353	230.0	16.0	33.6	[6]
		353	18.35	15.3	32.1	[6]
Дигидроантрацен		323	$1.84 \times 10^4$	26.36	57.5	[6]
		323	$4.97 \times 10^4$	22.86	49.3	[6]
	C <sub>6</sub> H <sub>5</sub> CH <sub>2</sub>	343	$6.93 \times 10^3$	24.10	52.2	[15]
9-Гидрофлуорен	C <sub>6</sub> H <sub>5</sub> CH <sub>2</sub>	443	165	18.80	39.9	[15]
		433	78.0	15.68	32.9	[16]
9,10-Дигидрофенантрен	2-CH <sub>2</sub> =CHCH <sub>2</sub> C <sub>6</sub> H <sub>4</sub> CH <sub>2</sub>	433	55.4	14.45	30.2	[16]
	C <sub>6</sub> H <sub>5</sub> CH <sub>2</sub>	443	63.7	15.30	32.1	[15]
	(C <sub>6</sub> H <sub>5</sub> ) <sub>2</sub> CH <sup>·</sup>	548	27.29	15.07	31.6	[17]
1,2-Дигидронафталин	C <sub>6</sub> H <sub>5</sub> CH <sub>2</sub>	443	138.7	18.17	38.5	[15]
1,2-Дигидропирен		443	76.6	16.00	33.6	[15]
Аценафтен		443	26.2	12.03	25.0	[15]
Додекагидротрифенилен		443	10.0	8.48	17.4	[15]
<i>o</i> -C <sub>6</sub> H <sub>5</sub> CH <sub>2</sub> -C <sub>5</sub> H <sub>4</sub> N	(C <sub>6</sub> H <sub>5</sub> ) <sub>2</sub> CH <sup>·</sup>	548	21.42	13.96	29.2	[17]
<i>m</i> -C <sub>6</sub> H <sub>5</sub> CH <sub>2</sub> -C <sub>5</sub> H <sub>4</sub> N		548	15.83	12.58	26.2	[17]
<i>n</i> -C <sub>6</sub> H <sub>5</sub> CH <sub>2</sub> -C <sub>5</sub> H <sub>4</sub> N		548	12.92	11.66	24.2	[17]

**Таблица 4.** Расчет  $\Delta\Delta H$ , кДж/моль =  $D_{R_i-H} - D_{R_1-H}$  для ряда углеводородов ( $R_1H$  – толуол) через отношение констант скорости реакций  $R_iH$  с  $(CH_3)_3CO^\cdot$  [5]

$R_iH$	$T, K$	$\frac{n_1 k_i}{k_1 n_i}$	$\Delta E$	$-\Delta\Delta H$	$R_iH$	$T, K$	$\frac{n_1 k_i}{k_1 n_i}$	$\Delta E$	$-\Delta\Delta H$
$C_6H_5CH_2CH_3$	383	3.90	4.33	14.8	$\beta\text{-CH}_3C_{10}H_7$	408	1.36	1.04	35
	408	2.18	2.64	8.9	$CH_2=CHCH_2CH_3$	313	6.01	4.66	16.0
$n\text{-CH}_3C_6H_4CH_3$	408	1.09	-0.29	1.0	$CH_2=CHCH(CH_3)_2$	313	17.42	7.43	26.4
$C_6H_5CH(CH_3)_2$	383	9.30	7.10	25.0	$CH_2=C(CH_3)_2$	313	1.20	0.47	1.5
	408	6.41	6.30	22.0	<i>цис</i> - $CH_3CH=CHCH_3$	313	1.41	0.88	1.5
$C_6H_5(CH_2)_3CH_3$	408	4.57	5.15	17.8	<i>транс</i> - $CH_3CH=CHCH_3$	313	1.33	0.74	2.4
$(C_6H_5)_2CH_2$	408	4.16	4.84	16.7	$(CH_3)_2C=C(CH_3)_2$	313	4.25	3.76	12.8
<i>цикло</i> - $C_5H_9C_6H_5$	408	20.3	10.21	37.3	<i>цис</i> - $CH_3CH=CHCH_2CH_3$	313	9.15	5.76	20.0
Тетралин	408	11.15	8.18	29.2	<i>транс</i> - $CH_3CH=CHCH_2CH_3$	313	9.45	5.84	20.3
	408	10.23	7.89	28.1	<i>цикло</i> - $C_5H_8$	313	3.45	3.22	10.9
$\alpha\text{-CH}_3C_{10}H_7$	408	2.32	2.72	9.2					

**Таблица 5.** Оценка  $\Delta\Delta H$ , кДж/моль =  $D_{R_i-H} - D_{R_1-H}$  ( $R_1H$  – кумол) через отношение констант скорости реакций пероксильных радикалов

$R_iH$	$RO_2^\cdot$	$T, K$	$\frac{n_1 k_i}{k_1 n_i}$	$\Delta E$	$\Delta\Delta H$	Литера-тура
$C_6H_5CH_2CH_3$	$C_6H_5C(CH_3)_2OO^\cdot$	348	0.28	3.71	10.2	[19]
	$(CH_3)_3COO^\cdot$	303	0.62	2.93	8.1	[9]
$C_6H_5CH_2CH_2CH_3$		348	0.18	4.96	13.5	[19]
		333	0.18	4.77	13.0	[20]
$C_6H_5(CH_2)_3CH_3$		348	0.21	4.47	12.2	[19]
		333	0.26	3.70	10.1	[20]
$C_6H_5CH(CH_3)CH_2CH_3$		348	0.33	3.48	9.5	[20]
		348	0.21	4.47	12.2	[19]
$n\text{-CH}_3C_6H_4CH_3$		348	0.13	5.81	15.7	[20]
$m\text{-CH}_3C_6H_4CH_3$		348	0.107	6.7	17.4	[20]
$(CH_3)_6C_6$		348	0.10	6.66	17.9	[20]
$(C_6H_5)_2CHCH_3$		348	5.55	-5.01	-14.5	[20]
<i>цикло</i> - $C_5H_9C_6H_5$	<i>цикло</i> - $C_5H_8(OO^\cdot)C_6H_5$	333	10.0	-6.37	-18.7	[20]
	$C_6H_5C(CH_3)_2OO^\cdot$	333	4.01	-3.84	-11.1	[20]
<i>цикло</i> - $C_6H_{11}C_6H_5$		348	2.45	-2.59	-7.4	[19]
		348	0.617	1.40	3.9	[19]
		348	0.714	0.97	2.7	[20]
<i>цикло</i> - $C_6H_{10}(OO^\cdot)C_6H_5$		333	0.750	0.79	2.2	[20]
<i>цикло</i> - $C_4H_7C_6H_5$	$C_6H_5(CH_3)_2COO^\cdot$	348	0.62	1.40	3.9	[19]
<i>цикло</i> - $C_7H_{13}C_6H_5$		348	1.15	-0.40	-1.1	[19]
<i>цикло</i> - $C_8H_{15}C_6H_5$		348	1.47	1.11	3.1	[19]
Тетралин	$C_6H_5(CH_3)_2COO^\cdot$	303	2.27	-2.08	-5.9	[20]
	$C_{10}H_{11}OO^\cdot$	303	2.08	-1.85	-5.2	[20]
	$C_6H_5(CH_3)_2COO^\cdot$	353	1.92	-1.92	-5.5	[20]
		359	1.30	-0.78	-2.2	[19]
	$(CH_3)_3COO^\cdot$	303	0.78	0.62	1.7	[9]

Таблица 6

X <sup>·</sup>	R <sub>i</sub> H	$\alpha$	$br_e$	$E_{ci}$
(CH <sub>3</sub> ) <sub>3</sub> CO <sup>·</sup>	C <sub>6</sub> H <sub>5</sub> CH <sub>3</sub>	0.80	14.00	32.30
RO <sub>2</sub>	C <sub>6</sub> H <sub>5</sub> CH(CH <sub>3</sub> ) <sub>2</sub>	0.81	14.55	44.32

Таблица 7. Энергии разрыва С–Н-связей по кинетическим и термохимическим [10, 21] данным (кДж/моль)

Связь	D	n
C <sub>6</sub> H <sub>5</sub> (CH <sub>3</sub> )CH–H	356.6 ± 1.8 (357.3)	15
C <sub>6</sub> H <sub>5</sub> (R)CH–H	359.4 ± 1.5	5
C <sub>6</sub> H <sub>5</sub> (CH <sub>3</sub> ) <sub>2</sub> C–H	347.2 ± 3.2 (353.1)	8
n-(CH <sub>3</sub> ) <sub>2</sub> CHC <sub>6</sub> H <sub>4</sub> (CH <sub>3</sub> ) <sub>2</sub> C–H	338.5	1
n-CH <sub>3</sub> C <sub>6</sub> H <sub>4</sub> CH <sub>2</sub> –H	362.9	1
<i>m</i> -CH <sub>3</sub> C <sub>6</sub> H <sub>4</sub> CH <sub>2</sub> –H	364.6	1
n-(CH <sub>3</sub> ) <sub>3</sub> CC <sub>6</sub> H <sub>4</sub> CH <sub>2</sub> –H	367.2	1
n-FC <sub>6</sub> H <sub>4</sub> CH <sub>2</sub> –H	368.3	1
n-ClC <sub>6</sub> H <sub>4</sub> CH <sub>2</sub> –H	364.5	1
<i>m</i> -ClC <sub>6</sub> H <sub>4</sub> CH <sub>2</sub> –H	366.2	1
<i>m</i> , <i>n</i> -Cl <sub>2</sub> C <sub>6</sub> H <sub>3</sub> CH <sub>2</sub> –H	363.1	1
n-CNC <sub>6</sub> H <sub>4</sub> CH <sub>2</sub> –H	361.8	1
цикло-(CH <sub>2</sub> ) <sub>5</sub> C–HC <sub>6</sub> H <sub>5</sub>	349.6 ± 1.2	4
(C <sub>6</sub> H <sub>5</sub> ) <sub>2</sub> CH–H	350.0 ± 2.6 (351.5)	5
(C <sub>6</sub> H <sub>5</sub> ) <sub>3</sub> C–H	339.2 ± 4.4	6
C <sub>6</sub> H <sub>5</sub> CH–HCH <sub>2</sub> C <sub>6</sub> H <sub>5</sub>	357.4 ± 0.1	2
(C <sub>6</sub> H <sub>5</sub> ) <sub>2</sub> C–H(CH <sub>3</sub> )	344.2 (338.9)	1
Индан, $\alpha$ -C–H	352.6 ± 0.1	2
Тетралин, $\alpha$ -C–H	342.8 ± 2.1	12
Дигидроантрацен, 9,10-C–H	315.2 ± 4.1 (315.1)	3
9-Гидрофлуорен, 9-C–H	331.8 ± 2.9	2
9,10-Дигидрофлуорен, 9,10-C–H	336.9 ± 0.8	3
Аценафтен, 1,2-C–H	343.2	1
1,2-Дигидропирен, 1,2-C–H	334.6	1
1,2-Дигидронфталин, 1,2-C–H	329.7	1
$\alpha$ -CH <sub>3</sub> C <sub>10</sub> H <sub>7</sub> , $\alpha$ -C–H	358.3	1
$\alpha$ -CH <sub>3</sub> CH <sub>2</sub> C <sub>10</sub> H <sub>7</sub> , $\alpha$ -C–H	357.6 ± 5.0	2
<i>o</i> -C <sub>6</sub> H <sub>5</sub> CH <sub>2</sub> –C <sub>5</sub> H <sub>4</sub> N	339.0	1
<i>m</i> -C <sub>6</sub> H <sub>5</sub> CH <sub>2</sub> –C <sub>5</sub> H <sub>4</sub> N	342.0	1
<i>n</i> -C <sub>6</sub> H <sub>5</sub> CH <sub>2</sub> –C <sub>5</sub> H <sub>4</sub> N	344.0	1

Примечание. В скобках указаны значения D из [17]; n – число измерений.

констант  $k_i/k_1$  с учетом числа эквивалентных реакционноспособных С–Н-связей  $n_i$  в R<sub>i</sub>H и  $n_1$  в R<sub>1</sub>H. По величине  $\Delta E$  вычислялись  $E_{ci}$  и  $E_{ci}^{1/2}$ , а по формуле (3) вычислялась  $\Delta\Delta H_i$ . Каждый класс реакций радикального отрыва характеризуется своими параметрами  $br_e$  и  $\alpha$ . Для реакций алкильных радикалов с С–Н-связями  $\alpha = 1$ . Углеводородом сравнения служил толуол (D<sub>R-H</sub> = 368.2). В расчетах использовались следующие параметры (в скобках после радикала приведены  $br_e$  и  $E_{ci}$ ):

CH<sub>3</sub> (18.0 и 49.7), *n*-C<sub>6</sub>H<sub>13</sub> (16.7 и 47.4), *втор*-C<sub>6</sub>H<sub>15</sub> (16.3 и 50.0), (CH<sub>3</sub>)<sub>3</sub>C<sup>·</sup> (16.9 и 71.7), C<sub>6</sub>H<sub>5</sub> (18.0 и 40.2), ~CH<sub>2</sub>CH<sub>2</sub> (16.7 и 47.4), для C<sub>6</sub>H<sub>5</sub>CH<sub>2</sub>, 2-CH<sub>2</sub>=CHCH<sub>2</sub>C<sub>6</sub>H<sub>4</sub>CH<sub>2</sub> и ~CH<sub>2</sub>(C<sub>6</sub>H<sub>5</sub>)CH<sup>·</sup> (18.5 и 85.6).

В табл. 3 приведены исходные данные и результаты расчета для реакций различных алкильных радикалов с алкилароматическими углеводородами. В большинстве случаев величины  $\Delta\Delta H$  хорошо согласуются друг с другом. Например, для реакций разных алкильных радикалов с этилбензолом  $\Delta\Delta H = 11.6 \pm 1.6$  по результатам 11 работ для пяти разных реакций. В табл. 4 и 5 приведены результаты расчетов  $\Delta\Delta H_i$  по данным, полученным при изучении реакций R<sub>i</sub>H с *трет*-бутилоксирадикалом и кумилпероксирадикалом. Использованы параметры [2, 4], приведенные в табл. 6.

Поскольку  $\Delta\Delta H_i = D_{R_i-H} - D_{R_1-H}$ , то это позволяет оценить  $D_{R_i-H}$ . Результаты такого расчета по совокупности данных, приведенных в табл. 3 – 5, сведены в табл. 7. Для толуола принята величина D<sub>R-H</sub> = 368.2, согласно [10], для кумола D<sub>R-H</sub> = 347.2. Она вычислена на основании D толуола и  $\Delta\Delta H = -21$  по данным табл. 3 и 4. Как видно из табл. 7, данные для пяти углеводородов хорошо согласуются с термохимическими величинами D<sub>R-H</sub> [10, 21]. Средняя ошибка в оценке D<sub>R-H</sub> составляет всего  $\pm 2.2$  кДж/моль, что не превышает экспериментальной погрешности измерения энергии активации. Полученные в настоящей работе данные существенно расширяют круг углеводородов, для которых известны величины D<sub>R-H</sub>. Развитый метод можно использовать для оценки энергий разрыва связей самых разнообразных соединений.

#### СПИСОК ЛИТЕРАТУРЫ

1. Денисов Е.Т. // Кинетика и катализ. 1991. Т. 32. № 2. С. 461.
2. Денисов Е.Т., Денисова Т.Г. // Журн. физ. химии. 1991. Т. 65. № 6. С. 1512.
3. Denisov E.T. // Mendeleev Commun. 1992. V. 2. № 1. P. 1.

4. Денисов Е.Т. // Кинетика и катализ. В печати.
5. Денисов Е.Т. Константы скорости гомолитических жидкофазных реакций. М.: Наука, 1971. 711 с.
6. Comprehensive Chemical Kinetics. V. 14 A. Amsterdam: Elsevier Publ. Co, 1976. 594 p.
7. Free Radical. V. 1. N.Y.: J. Wiley and Sons, 1973. P. 275.
8. Holmes J.L., Lossing F.P., MacColl A. // J. Amer. Chem. Soc. 1988. V. 110. P. 7339.
9. Comprehensive Chemical Kinetics. V. 16. Amsterdam: Elsevier Publ. Co, 1976. P. 34.
10. Handbook of Chemistry and Physics. 68 Ed. Boca Raton; Florida: CRC Press, 1987 - 1988. P. F-178.
11. Meyer J.A., Stannett V., Szwarc M. // J. Amer. Chem. Soc. 1961. V. 83. № 1. P. 25.
12. Eachus A.E., Meyer J.A., Pearson J., Szwarc M. // Ibid. 1968. V. 90. P. 3646.
13. Kalatzis E., Williams G.H. // J. Chem. Soc. B. 1966. P. 1112.
14. Жавнерко Е. Реакционная способность первичных и вторичных алкильных радикалов при их взаимодействии с органическими соединениями. Дис. ... канд. хим. наук. Черноголовка: ИХФ, 1987. 189 с.
15. Bockrath B., Bittner E., McGrew J. // J. Amer. Chem. Soc. 1984. V. 106. № 1. P. 135.
16. Franz J.A., Alnajjar M.S., Barrows R.D. // J. Org. Chem. 1986. V. 51. № 9. P. 1446.
17. Manaka M.J., Brown R.L., Stein S.E. // Int. J. Chem. Kin. 1987. V. 19. № 10. P. 943.
18. Dutsch H.R., Fisher H. // Ibid. 1982. V. 14. № 2. P. 195.
19. Belyakov V.A., Lauterbach G., Pritzow W., Voerkel V. // J. Prakt. Chem. Chemiker – Zeitung. 1992. B. 334. S. 373.
20. Онейда И.А. Совместное окисление алкилароматических углеводородов и их производных в жидкой фазе: Дис. ... докт. хим. наук. Черноголовка: ИХФ, 1982. 330 с.
21. McMillen D.F., Golden D.M. // Ann. Rev. Chem. 1982. V. 33. P. 493.

ФИЗИЧЕСКАЯ ХИМИЯ  
ПОВЕРХНОСТНЫХ ЯВЛЕНИЙ

УДК 541.183.12

АНАЛИЗ НЕОБМЕННОЙ СОРБЦИИ ЭЛЕКТРОЛИТОВ  
ИОНООБМЕННЫМИ МЕМБРАНАМИ  
С ПОМОЩЬЮ МИКРОГЕТЕРОГЕННОЙ МОДЕЛИ

© 1993 г. В. И. Заболоцкий, В. В. Никоненко, О. Н. Костенко, Л. Ф. Ельникова

Кубанский государственный университет, Краснодар

Поступила в редакцию 27.02.92 г.

Проведено экспериментальное определение необменной сорбции  $\text{NaCl}$  и  $\text{Na}_2\text{SO}_4$  мембранными МК-40 и МА-40. Экспериментальные данные обработаны с помощью микрогетерогенной модели мембранны. Обсужден вопрос о согласовании параметров модели, найденных из данных по сорбции электролита и из эксперимента по измерению электропроводности мембран.

Несмотря на значительные усилия многих исследователей [1 - 5], проблема количественного описания необменного поглощения электролита ионообменниками не получила еще удовлетворительного решения. Так, до настоящего времени в литературе нет единого мнения относительно причин невыполнимости термодинамического соотношения Доннана, применяемого к иониту в целом. Количественную теорию сорбции электролита, учитывающую структурную неоднородность ионитов и объясняющую неадекватность теории Доннана, впервые предложил Глюкауф [3], предположив, что фиксированные группы распределены в ионите по степенному закону, а соотношение Доннана выполняется локально для каждого достаточно малого объема ионита, считающегося электронейтральным.

Кокотов [4] распространил подход Глюкауфа на иониты с другими возможными функциями распределения фиксированных групп. Автор [4] пришел к выводу, что наибольшее различие изотерм сорбции для однородного и неоднородного ионита (в этом случае легче добиться совпадения с экспериментом) достигается для таких функций распределения, когда имеется достаточно большой весовой вклад участков с локальной концентрацией функциональных групп  $c_R$  много меньшей, чем их средняя концентрация. Другими словами, наилучшего согласования с экспериментом можно ожидать от модели пористого ионита, но в этом случае, по мнению Кокотова [4], большая часть порового пространства должна быть заполнена двойным электрическим слоем и, таким образом, предположение о локальной электронейтральности перестает выполняться.

Однако появившиеся в последнее время работы [5 - 10] позволяют надеяться на выполнимость локально-электронейтрального подхода к описанию сорбции электролита. Сравнение экспериментальных данных по сорбции электро-

литов ионообменными мембранными с результатами расчетов по теориям Доннана и Глюкауфа привело авторов [5] к формулировке модели "гетерогенного раствора", заполняющего промежутки между полимерными цепями матрицы мембранны. Согласно этой модели, одна часть "промежуточного раствора", называемая "активной", локализуется вблизи полимерных цепей и состоит из фиксированных ионизированных групп и подвижных противоионов. Другая часть, называемая "инертной", заполняет внутреннее пространство пор и представляет собой электронейтральный раствор, идентичный с внешним равновесным раствором. Вольфович [6], применяя теорию Гуи-Чапмена, показал, что вследствие высокой плотности электрического заряда на границе областей с большим значением  $\bar{c}_R = Q$  и со значением  $\bar{c}_R = 0$  (пора, заполненная жидкостью) толщина диффузной части двойного электрического слоя мала и составляет 1 - 3 Å.

Кроме того, методами эталонной порометрии [7, 8], дифференциальной сканирующей калориметрии [9] получены данные, которые указывают на пористую структуру мембранны. Так, в стиролдивинилбензольных сульфокатионитовых мембранных наибольший объем приходится на поры с радиусом 100 - 200 Å [8 - 10], что существенно больше толщины двойного электрического слоя, рассчитанной Вольфовичем. В том случае, когда размер поры мал и становится соизмерим с размером диффузной части двойного электрического слоя, исчезает само понятие "пора", поскольку радиус такой "поры" оказывается очень близким к среднему расстоянию между фиксированными группами. Таким образом, должно существовать достаточно резкое изменение свойств "пор" по мере увеличения их радиуса от случая, когда имеется относительно равномерное распределение фиксированных групп с расстоянием

между ними 5 - 10 Å (пора "растворяется" в среде фиксированных групп) до случая появления истинных пор, заполненных электронейтральным раствором, с радиусом, превышающим примерно 20 Å. Области с относительно равномерным распределением фиксированных групп образуют гелевую фазу [11, 12], тогда как внутренняя часть пор, заполненная электронейтральным раствором, образует фазу раствора.

В работе [13] предложена структурно-кинетическая модель ионита, в основе которой лежит представление о его гетерофазной структуре. Следствия этой модели, касающиеся электропроводимости мембран и гранулированных ионитов [14, 15], а также диффузии электролита [16], были проверены на большом количестве экспериментального материала. Для описания необменной сорбции электролита положим [13, 17], что гелевая фаза находится в термодинамическом равновесии с электронейтральным раствором, заполняющим внутреннее пространство межгелевых промежутков (пор за пределами двойных слоев), и что объемные концентрации противоионов (1) и коионов (A) в гелевой фазе раствора связаны соотношением Доннана, справедливым для достаточно разбавленного внешнего раствора:

$$\bar{c}_1^{1/z_1} / \bar{c}_A^{1/z_A} = K_D c_1^{1/z_1} / c_A^{1/z_A}, \quad (1)$$

где  $z$  – зарядовые числа ионов, а черта сверху означает принадлежность к гелевой фазе. Концентрации противоионов и коионов в каждой из фаз связаны условием электронейтральности:

$$z_1 c_1 + z_A c_A = 0, \quad (2)$$

$$z_1 \bar{c}_1 + z_A \bar{c}_A = Q, \quad (3)$$

где  $Q$  – концентрация фиксированных зарядов в расчете на единицу объема гелевой фазы (объемная емкость геля).

Коэффициент  $K_D$  в уравнении (1) представляет собой величину, выражаемую формулой

$$K_D = (\bar{\gamma}_{\pm} / \gamma_{\pm})^{(1/z_1) - (1/z_A)},$$

причем предполагается [13, 17], что коэффициенты активности электролита в гелевой фазе ( $\bar{\gamma}_{\pm}$ ) и в растворе ( $\gamma_{\pm}$ ) не зависят от концентрации внешнего раствора, и, следовательно,  $K_D$  также является постоянной величиной. Заметим, что предположение о практически постоянной величине среднеионного коэффициента активности в гелевой фазе не является строгим и допустимо лишь в достаточно узком интервале концентраций. Авторы [18] проанализировали данные по необменной сорбции электролита в рамках общей (не включающей упрощающих предположений) термодинамической теории в широкой области концентраций (до 6 н.). Предложенный ими подход обобщает теорию Доннана, учитывая

изменения коэффициентов  $\bar{\gamma}_{\pm}$  в зависимости от давления набухания ионита, и позволяет проводить расчет при любых концентрациях внешнего раствора. Показано [18], что значение  $\bar{\gamma}_{\pm}$  возрастает линейно с повышением ионной силы раствора в фазе ионита. Если концентрация сорбированного электролита мала по сравнению с емкостью, то ионная сила остается практически неизменной и определяется концентрацией фиксированных групп. Таким образом, принимаемое нами допущение о постоянстве  $K_D$  может быть проверено "post factum" путем оценки концентрации электролита, сорбированного гелевыми участками ионита.

Количество ионов в расчете на единицу объема ионита ( $c_i^*$ ) является аддитивной величиной [13, 17]:

$$c_i^* = f_1 \bar{c}_i + f_2 c_i, \quad i = 1, A, \quad (4)$$

где  $f_1$  и  $f_2$  – соответственно объемные доли гелевой фазы и межгелевых промежутков.

В дальнейшем мы будем использовать уравнение (4) в виде

$$c_i^* / c_i = f_1 (\bar{c}_i / c_i) + f_2, \quad i = 1, A, \quad (5)$$

а также известную аппроксимацию уравнения Доннана (1) в области разбавленных растворов:

$$\bar{c} = \frac{K}{Q^{1/z_A/z_1}} c^{1+z_A/z_1}, \quad (6)$$

где  $\bar{c} = |z_A| \bar{c}_A$  и  $c = |z_A| c_A = |z_1| c_1$  – эквивалентные концентрации электролита соответственно в гелевой фазе и в растворе; соотношение (6) получается из (1), если принять  $|z_A| \bar{c}_A \ll |z_A| \bar{c}_1 \approx Q$ ,  $K = K_D^{1/z_A} / z_1^{1/z_A/z_1}$ .

В данной работе используется методика определения необменной сорбции электролита без разделения фаз, как и в работе [17], однако берется более широкий диапазон концентраций (от 0.05 до 1.5 н.), а также исследуются электролиты различной природы. Верхняя граница 1.5 н. выбрана из тех соображений, что при  $c > 1 - 1.5$  н. перестают выполняться некоторые допущения гетерофазной модели: становятся возможными изменения объемных долей фаз в мемbrane (в силу уменьшения набухаемости геля) и константы Доннана  $K_D$ . Для проверки адекватности модели привлекаются литературные данные. Обсуждаются также вопросы определения параметров модели из известных сведений по необменной сорбции электролита.

В статических условиях была изучена сорбция хлорида и сульфата натрия ионообменными мембранными МК-40 и МА-40. Соотношение жидкой и твердой фазы составляло 2 : 1. Время установления равновесия двое суток. Концентрация равновесных растворов определялась следующим об-

разом: хлорида натрия – аргентометрическим методом, сульфата натрия – потенциометрическим титрованием с ионселективным свинцовым электродом [19] при добавлении изобутилового спирта. Средние квадратичные ошибки аналитических измерений составили 1 - 1.5%. Относительная ошибка определения концентрации сорбированного электролита составляла от 10 до 50% по мере уменьшения концентрации. Параллельно определялись плотность и влагоемкость мембран весовым методом. Относительная ошибка измерений влагоемкости ( $w$ ) и плотности ( $\rho$ ) колебалась ~1%. Плотность мембран в указанном интервале концентраций практически не менялась, и ее изменение по величине сравнимо с ошибкой эксперимента. Изменение значений влагоемкости в зависимости от концентрации незначительно. В качестве примера в табл. 1 приведен случай мембранны МК-40 в растворе NaCl. Для остальных систем значения  $w$ ,  $\rho$  и обменной емкости  $Q$  указаны для концентрации 0.5 н.

Полученные экспериментальные данные представлены на рис. 1 в координатах  $\lg m^* - \lg m$ , где  $m^*$  – молярная концентрация электролита в ионите (в расчете на 1 кг воды в мембране),  $m$  – молярность раствора электролита. Здесь же приведены для сравнения данные других авторов. Видно, что справедливы следующие закономерности, известные из литературы: экспериментальные данные в указанных координатах хорошо аппроксимируются прямыми линиями, причем тангенс угла наклона составляет 1 - 1.2 и не согласуется со значением  $(z_A - z_{A'})/z_1$ , предсказываемым теорией Доннана для разбавленных растворов (см. уравнение (6)), но находится в формальном соответствии с уравнением Глюкауфа [3]:

$$\bar{c}_A = K_\Gamma c^{2-z}, \quad (7)$$

где  $K_\Gamma$  – константа Глюкауфа, а значение параметра  $z$  заключено в интервале  $0 < z < 1$ . Однако, как видно из рис. 2а и 2б, экстраполяция экспериментальных данных, построенных в координатах  $c^*/c - c^{|z_A/z_1|}$  (линеаризующие координаты для уравнения (6)), на значение  $c = 0$ , не дает нуля, предсказываемого как уравнением Доннана (6), так и уравнением Глюкауфа (7). Значение  $c^*/c$  при  $c = 0$  заключается в интервале 0.05 - 0.30 как для наших, так и для литературных данных (рис. 2а и 2б).

В то же время, как следует из микрогетерогенной модели [13], в области достаточно разбавленных растворов ( $c \ll Q$ ) справедливо соотношение, получаемое подстановкой (6) в (5):

$$\frac{c^*}{c} = f_1 \frac{K}{Q^{|z_A/z_1|}} c^{|z_A/z_1|} + f_2, \quad (8)$$

Таблица 1. Характеристики исследованных мембран

Система	$c$ , г-экв/л	$w$	$\rho$ , г/см <sup>3</sup>	$Q$ , мг-экв/см <sup>3</sup>
MK-40/NaCl	0.05	0.360	1.20	2.3
	0.10	0.356		
	0.50	0.350		
	1.00	0.336		
MK-40/Na <sub>2</sub> SO <sub>4</sub>	0.50	0.346	1.20	2.3
MA-40/NaCl	0.50	0.375	1.14	2.8
MA-40/Na <sub>2</sub> SO <sub>4</sub>	0.50	0.372	1.14	2.8

Таблица 2. Значения параметров  $f_2$  и  $K_D$ , найденных методами необменной сорбции электролита (НСЭ) и электропроводности (ЭП)

Система	НСЭ		ЭП
	$f_2$	$K_D$	$f_2$
MK-40/NaCl	0.10	0.12	0.11
MK-40/Na <sub>2</sub> SO <sub>4</sub>	0.08	0.72	0.10
MA-40/NaCl	0.16	0.33	0.24
MA-40/Na <sub>2</sub> SO <sub>4</sub>	0.11	0.21	–

откуда предел отношения  $c^*/c$  при  $c \rightarrow 0$  равен  $f_2$  – объемной доле межгелевых промежутков в ионите.

Из уравнения (8) также следует, что в координатах  $c^*/c - c^{|z_A/z_1|}$  экспериментальные данные должны ложиться на прямую линию, тангенс угла наклона которой определяется значениями  $K$  и  $Q$ . К сожалению, экспериментальные ошибки,

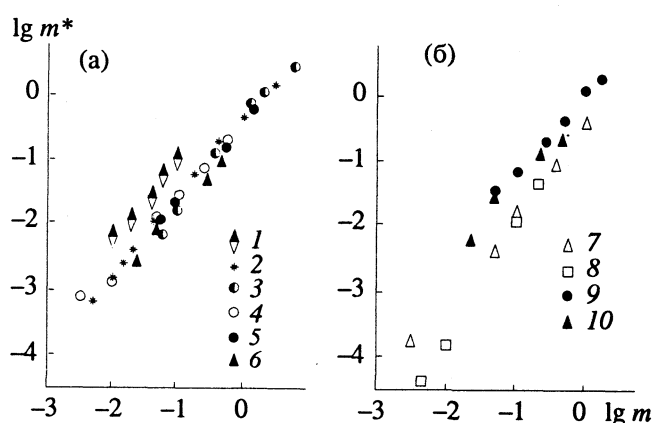


Рис. 1. Зависимости концентрации необменно сорбированного электролита катионообменными (а) и анионообменными (б) мембранами от концентрации электролита в растворе: 1 – MK-40/NaCl [17], 2 – MK-40/Na<sub>2</sub>SO<sub>4</sub> [20], 3 – Nafion/NaCl [21], 4 – Perfton 5010/MgSO<sub>4</sub> [22], 5 – MK-40/NaCl, 6 – MK-40/Na<sub>2</sub>SO<sub>4</sub>, 7 – АМФ/NaCl [23], 8 – АМФ/Na<sub>2</sub>SO<sub>4</sub> [24], 9 – MA-40/NaCl, 10 – MA-40/Na<sub>2</sub>SO<sub>4</sub>; 5, 6, 9, 10 – результаты эксперимента.

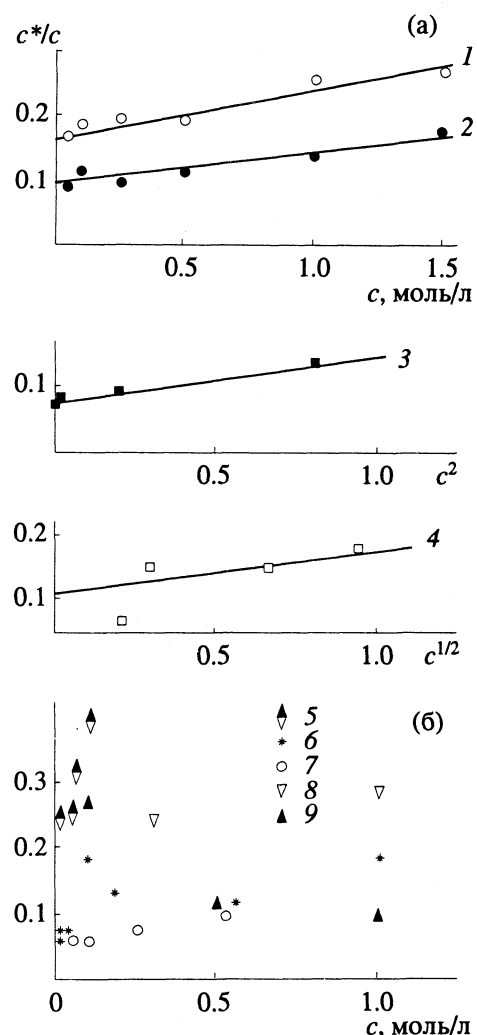


Рис. 2. Экспериментальные (1 - 4) и известные из литературы (5 - 9) зависимости отношения концентраций электролита в мембране и в растворе ( $c^*/c$ ) от концентрации электролита в растворе для систем: 1 - МА-40/NaCl, 2 - МК-40/NaCl, 3 - МК-40/Na<sub>2</sub>SO<sub>4</sub>, 4 - МА-40/Na<sub>2</sub>SO<sub>4</sub>, 5 - МК-40/NaCl [17], 6 - МК-40/NaCl [20], 7 - Permion 5010/MgSO<sub>4</sub> [22], 8 - Nepton CR61/KCl [25], 9 - Cat. mb./NaCl [26].

возрастающие по мере уменьшения концентрации электролита (они связаны с нахождением количества сорбированного электролита как разности количеств электролита в растворе до и после сорбции), не позволяют определить величину  $f_2$  с высокой точностью. Тем не менее, сравнение значений  $f_2$ , найденных в данном эксперименте экстраполяцией  $c^*/c$  на  $c = 0$  и независимым методом электропроводности для тех же образцов мембран, показывает хорошее совпадение (табл. 2). Метод электропроводности для определения объемной доли межгелевых промежутков заключается в измерении зависимости удельной электропроводности мембраны от концентрации равновесного раствора и последующей обработки эксперимента с помощью микрогетерогенной

модели мембранны [13, 15, 27]. Данный метод является наиболее экспрессным и точным среди косвенных методов нахождения величин  $f_2$  [9, 25]. Измерения удельной электропроводности мембран в данной работе проводились Г.А. Дворкиной с помощью дифференциального разностного метода [28].

Фактическое совпадение значений  $f_2$ , найденных методами сорбции электролита и электропроводности, позволяет упростить решение обратной задачи – определение параметров  $f_2$  и  $K_D$ .

Если в формуле (8) за величину  $f_2$  принять значение, найденное методом электропроводности (табл. 2), то значение  $K$  может быть определено из данных, представленных на рис. 2а, методом наименьших квадратов. Поскольку с ростом концентрации раствора точность экспериментального определения концентрации сорбированного электролита возрастает, то можно предложить следующую еще более упрощенную процедуру экспериментального определения параметров  $f_2$  и  $K_D$  микрогетерогенной модели. Величину  $f_2$  целесообразно находить из эксперимента по электропроводности ионита, а величину  $K_D$  – из данных по сорбции электролита, полученных только для одной (достаточно большой) концентрации электролита (в интервале 1.0 - 1.5 н.). Значение  $K_D$ , определенное предложенным способом для системы МК-40 / NaCl, составило для опорной концентрации 1.0 н. – 0.075, для 1.5 н. – 0.095.

Низкие значения константы Доннана для гелевой фазы свидетельствуют о незначительной сорбции электролита этой фазой. Так, при концентрации сорбированного электролита NaCl гелевой фазой МК-40 составляет ~0.04 мг-экв/см<sup>3</sup> (расчет по уравнению (6)). Это много меньше концентрации противоионов и фиксированных ионов в геле (~2.6 мг-экв/см<sup>3</sup>). Основная часть электролита в этих условиях оказывается поглощенной межгелевыми промежутками, несмотря на их низкую объемную долю: гелевые участки поглощают 26%, межгелевые промежутки – 74% от общего количества поглощенного электролита (при  $c = 1$  н.). Полученные данные показывают правомерность применения аппроксимации (6) уравнения Доннана в данной области концентраций (до 1.5 н.) с использованием постоянного значения константы  $K_D$ .

Обращает на себя внимание тот факт, что свойства образцов мембранны МК-40, исследованных в работе [17] и в данной работе, заметно отличаются (что вызвано, по-видимому, различиями в условиях их синтеза). Так, по данным [17], для этой мембранны в растворе хлорида натрия  $w = 34\%$ ,  $\rho = 1.14 \text{ г/см}^3$ ,  $Q = 1.48 \text{ мг-экв/г}$ ,  $f_2 = 0.24$ , т.е. исследованный в данной работе образец является более плотным с существенно меньшей долей межгелевых промежутков (табл. 1 и 2).

Малое отличие влагоемкостей объясняется, очевидно, тем, что более высокая концентрация фиксированных групп в исследованном нами образце обеспечивает более высокую сорбцию воды гелевыми участками.

Таким образом, показано, что концентрационная зависимость необменной сорбции электролита мембранными хорошо описывается с помощью микрогетерогенной модели. Объемные доли межгелевых промежутков, найденные из данных по сорбции электролита, хорошо согласуются с результатами, полученными из измерения удельной электропроводности мембран. Предложен сравнительно простой способ определения константы Доннана для равновесия гелевой фазы мембранны с раствором электролита.

### СПИСОК ЛИТЕРАТУРЫ

1. Davies C.W., Yeoman G.D. // Trans. Faraday Soc. 1953. V. 49. № 6. P. 968.
2. Freeman D.H. // J. Phys. Chem. 1960. V. 64. P. 1048.
3. Glueckauf E., Watts R.E. // Proc. Roy. Soc. London. 1962. V. A268. P. 339.
4. Кокотов Ю.А., Золотарев П.П., Елькин Г.Э. Теоретические основы ионного обмена: Сложные ионообменные системы. Л.: Химия, 1986. 280 с.
5. Mar C., Larchet C., Auclair B. // Eur. Polym. J. 1989. V. 25. № 5. P. 515.
6. Вольфович Ю.М. // Электрохимия. 1984. Т. 20. № 5. С. 665.
7. Вольфович Ю.М., Лужин В.К., Ванюлин А.Н., Школьников Е.И. // Там же. 1984. Т. 20. № 5. С. 656.
8. Березина Н.П., Вольфович Ю.М., Кононенко Н.А., Блинов И.А. // Там же. 1987. Т. 23. № 7. С. 912.
9. Брык М.Т., Заболоцкий В.И., Атаманенко И.Д., Дворкина Г.А. // Химия и технология воды. 1989. Т. 11. № 6. С. 491.
10. Mizutani Y. // J. Membrane Sci. 1990. V. 49. P. 121.
11. Гельферих Ф. Иониты. М.: Изд-во иностр. лит., 1962. 490 с.
12. Гнусин Н.П., Гребенюк В.Д. Электрохимия гранулированных ионитов. Киев: Наук. думка, 1972. 180 с.
13. Гнусин Н.П., Заболоцкий В.И., Никоненко В.В., Мешечков А.И. // Журн. физ. химии. 1980. Т. 54. № 6. С. 1518.
14. Гнусин Н.П., Березина Н.П., Бекетова В.П., Меркулова Т.А. // Электрохимия. 1977. Т. 13. С. 1712.
15. Заболоцкий В.И., Гнусин Н.П., Мешечков А.И., Дворкина Г.А. // Там же. 1985. Т. 21. № 8. С. 1044.
16. Заболоцкий В.И., Лебедев К.А., Шудренко А.А. // Там же. 1989. Т. 25. С. 777.
17. Заболоцкий В.И., Гнусин Н.П., Шеретова Г.М. // Журн. физ. химии. 1985. Т. 59. № 10. С. 2467.
18. Мамченко А.В., Новоженюк М.С. // Химия и технология воды. 1990. Т. 12. № 6. С. 498.
19. Лукианец И.Г., Кулиш Н.К., Заболоцкий В.И., Мешечков А.И. // Там же. 1985. Т. 7. № 5. С. 29.
20. Козина А.А. Исследование процессов переноса в ионообменных мембранах: Дис. ... канд. хим. наук. Новосибирск, 1976. 149 с.
21. Narebska A., Koter S., Kujawski W. // Desalination. 1984. V. 51. P. 3.
22. Chakravarti A.K. // J. Membrane Sci. 1987. V. 32. P. 175.
23. Кокотов Ю.А., Пасечник В.А. Равновесие и кинетика ионного обмена. Л.: Химия, 1970. 336 с.
24. Ситникова В.В., Николаев Н.И., Чувилева Г.Г. // Журн. физ. химии. 1978. Т. 52. № 7. С. 1704.
25. Rozenberg N.W., George J.H.B., Potter W.D. // J. Electrochemical Soc. 1957. V. 104. № 2. P. 111.
26. Yamauchi A., Date M., Yamamoto Y., Hirata Y. // Bull. Chem. Soc. Jpn. 1988. V. 61. P. 793.
27. Дворкина Г.А. Влияние структуры ионообменных мембран на их электропроводящие свойства: Автореф. дис. ... канд. хим. наук. Краснодар: КГУ, 1988. 20 с.
28. Дворкина Г.А., Мешечков А.И., Гнусин Н.П., Заболоцкий В.И. // Электрохимия. 1984. Т. 20. № 1. С. 85.

ФИЗИЧЕСКАЯ ХИМИЯ  
ПОВЕРХНОСТНЫХ ЯВЛЕНИЙ

УДК 543.544.541.183

ИЗУЧЕНИЕ ХИМИИ ПОВЕРХНОСТИ АМИНОСИЛОХРОМОВ  
МЕТОДАМИ ГАЗОВОЙ ХРОМАТОГРАФИИ И ИК-СПЕКТРОСКОПИИ

© 1993 г. В. Я. Давыдов, Т. М. Рошина, Н. М. Хрусталева, А. А. Мандругин

Московский государственный университет им. М.В. Ломоносова, Химический факультет

Поступила в редакцию 29.12.92 г.

Исследованы химия поверхности и закономерности адсорбции на силохромах с химически привитыми аминопропильными группами, проведена оценка воспроизводимости процесса модифицирования с применением адсорбционного и газохроматографического методов, метода ИК-спектроскопии. Установлено, что нанесение привитого соединения в количествах больших, чем 4 группы на 1  $\text{nm}^2$ , позволяет получить адсорбенты с близкими свойствами поверхности по отношению к большинству исследуемых адсорбатов. Невоспроизводимость свойств аминированных силохромов в отношении органических оснований обусловлена, главным образом, влиянием оставшихся после модифицирования свободных силанольных групп. На наиболее однородном образце исследована адсорбция углеводородов, простых и сложных эфиров, азотсодержащих соединений. Показана возможность применения аминосилохромов для исследования и разделения полярных соединений методом газовой хроматографии.

В ряде работ показаны преимущества гидролитически стабильных химически модифицированных кремнеземов по сравнению с неподвижными фазами для газожидкостной хроматографии [1 - 4]. Широкому распространению таких адсорбентов в газовой хроматографии препятствует невоспроизводимость характеристик удерживания и нелинейность изотерм адсорбции и, следовательно, асимметрия хроматографических пиков полярных соединений.

Цель данной работы – исследование химии поверхности и закономерностей адсорбции на силохромах с химически привитыми аминопропильными группами с применением адсорбционного и газохроматографического методов и метода ИК-спектроскопии, оценка воспроизводимости процесса модифицирования и, в конечном итоге, решение вопроса о возможности использования аминосилохромов в качестве адсорбентов для газовой хроматографии. Было использовано для синтеза и исследовано пять партий силохрома (Ставропольский завод химреактивов), имеющих разные величины удельной поверхности  $s_{ud}$  и адсорбционные свойства, а также восемь модифицированных адсорбентов, полученных на их основе. Характеристики образцов приведены в табл. 1. Методы исследования и синтез описаны в [5].

Модифицирование сопровождается небольшим (~20%) падением величины  $s_{ud}$  образцов (табл. 1). На рис. 1 даны начальные участки изотерм адсорбции азота для ряда изученных адсорбентов. Уменьшение адсорбции при переходе от исходного силохрома к модифицированным, помимо снижения удельной поверхности, объясня-

ется увеличением расстояния между адсорбирующими молекулами и поверхностью кремнезема в результате замены силанольных групп большими по размеру аминопропильными радикалами, что приводит к уменьшению констант  $C$  в уравнении БЭТ:  $C_1 = 151$ ,  $C_2 = 50$ ,  $C_3 = 42$  на образцах 1, 2 и 3 соответственно.

Для изучения газохроматографических свойств образцов в качестве тестовых молекул использованы соединения различной химической природы. Выбор адсорбатов определялся их спо-

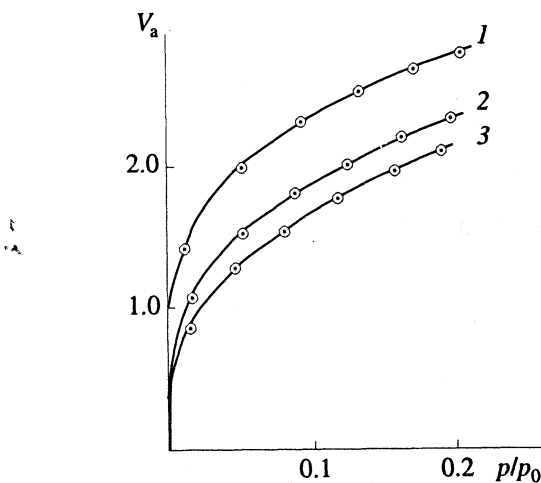


Рис. 1. Изотермы адсорбции азота на исходном и аминированных образцах при 77 К,  $V_a$  – объем адсорбированного азота,  $\text{cm}^3/\text{г}$ ;  $p/p_0$  – относительное давление пара азота. Нумерация кривых соответствует обозначению образцов в табл. 1.

Таблица 1. Характеристики образцов

№	<i>c</i>	<i>s<sub>уд</sub></i>	№	<i>c</i>	<i>s<sub>уд</sub></i>
1	—	98	8	—	130
2	2.5	87	9	3.1	96
3	5.3	80	10	—	96
4	—	113	11	4.2	78
5	4.2	86	12	—	108
6	5.1	80	13	5.0	88
7	6.5	74			

Примечания. Образцы 10 и 11 — силохром С-80, остальные — С-120; образцы 2, 3, 5 — 7, 9, 11 и 13 — аминированные; *c* — поверхностная концентрация NH<sub>2</sub>-групп, нм<sup>-2</sup>; *s<sub>уд</sub>* — удельная поверхность, м<sup>2</sup>/г.

собностью к проявлению различных видов межмолекулярного взаимодействия, в частности, к образованию водородной связи. Относительные (к *n*-ионану) удерживаемые объемы *V<sub>отн</sub>* углеводородов практически не зависят от партии адсорбента-носителя и количества привитого модификатора (табл. 2), а для молекул, способных к образованию сильной водородной связи, величины *V<sub>отн</sub>* значительно уменьшаются с ростом концентрации привитых аминогрупп. Например, на исходном силохроме (образец 1) удерживание пиридина в ~27 раз больше, чем на модифицированном образце 3 (табл. 2). Тогда как значения *V<sub>отн</sub>* для хлорзамещенных насыщенных и ароматических углеводородов на аминосилохромах немного увеличиваются по сравнению с исходным кремнеземом. При содержании на поверхности аминопропильных групп в количествах, больших, чем 4 нм<sup>-2</sup> получаются сорбенты с близкими свой-

ствами поверхности и по отношению к полярным сорбатам (табл. 2). Исключением являются органические основания, для которых наблюдаются достаточно сильные расхождения в величинах удерживания (табл. 2, 3).

С целью выяснения причин этого нежелательного факта был использован метод ИК-спектроскопии. Анализ спектров показал, что на поверхности всех модифицированных образцов остается небольшое количество свободных силенольных групп. Относительное содержание таких групп оценивали из соотношения оптических плотностей полосы поглощения свободных силенольных групп с частотой *v* = 3750 см<sup>-1</sup> и внутрискелетных силенольных групп (*v* = 3650 см<sup>-1</sup>) в предположении, что содержание внутрискелетных групп является постоянной величиной для исследуемых образцов с близкими удельными поверхностями [6]. Оказалось, что нет определенной связи между относительным содержанием свободных силенольных групп и количеством привитого соединения на поверхности адсорбента (рис. 2а). Однако относительное содержание таких групп (оставшихся после модификации или образовавшихся в результате гидролиза непрореагировавших этоксигрупп) коррелирует с величинами адсорбции пиридина (рис. 2б). Следовательно, сопоставление результатов исследования модифицированных адсорбентов методами газовой хроматографии и ИК-спектроскопии позволяет предположить, что основной причиной невоспроизводимости свойств аминосилохромов в отношении органических оснований является недостаточно равномерное распределение модификатора по поверхности кремнезема. При этом остаются участки поверхности носителя со свободными силенольными группами, доступные для адсорбции аминосоединений.

Несмотря на это, все адсорбенты с плотным аминопропильным покрытием можно использовать для анализа полярных соединений. Это подтверждают как значения коэффициентов селективности  $\alpha$ , приведенные в табл. 3, так и хроматограммы на рис. 3. Следует отметить достаточную симметричность хроматографических пиков диоксана, морфолина и пиперазина на сравнительно неоднородном образце 11.

Трудности в создании адсорбентов с химически и геометрически однородной поверхностью (вполне воспроизводимых от партии к партии) являются одной из веских причин, по которой большинство исследователей отдают предпочтение газожидкостному варианту хроматографии. Однако и в этом случае не всегда удается преодолеть адсорбционной активностью твердого носителя, которая проявляется в асимметрии хроматографических пиков и зависимости времени удерживания *t*, от величины пробы в области малых концентраций. В качестве примера подобная зависимость для стандартизованной неподвиж-

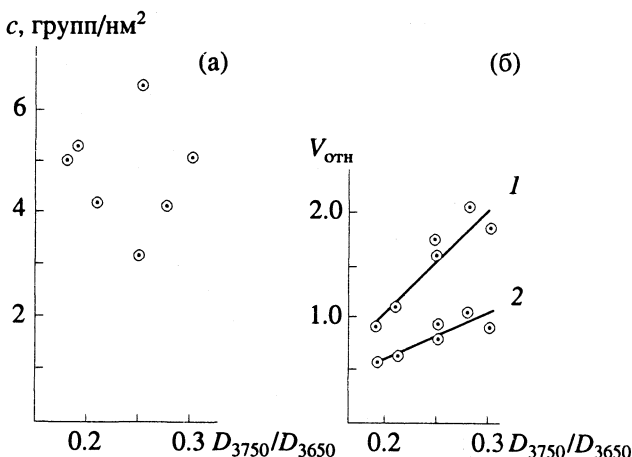


Рис. 2. Связь концентрации аминогрупп с на поверхности аминосилохромов (а) и *V<sub>отн</sub>* (б) пиридина (1) и диоксана (2) с относительным содержанием свободных силенольных групп (*D<sub>3750</sub>/D<sub>3650</sub>*), оцененным из оптических плотностей свободных (*D<sub>3750</sub>*) и внутрискелетных (*D<sub>3650</sub>*) силенольных групп.

**Таблица 2.** Удерживаемые объемы *n*-нонана  $V_{A,1}$  ( $\text{см}^3/\text{м}^2$ ) и значения относительных (к *n*-нонану) удерживаемых объемов  $V_{\text{отн}}$  на исходных и аминированных силохромах при  $130^\circ\text{C}$

Адсорбат	1	2	3	4	5	6	7	9	10	11	12	13
<i>n</i> -Нонан ( $V_{A,1}$ )	0.28	0.37	0.23	0.26	0.22	0.36	0.32	0.24	0.26	0.33	0.31	0.33
<i>n</i> -Гексан	0.16	0.16	0.17	0.15	0.17	0.15	0.16	0.17	0.16	0.16	0.16	0.16
<i>n</i> -Гептан	0.30	0.29	0.33	0.29	0.31	0.29	0.30	0.31	0.30	0.29	0.30	0.29
<i>n</i> -Октан	0.55	0.54	0.57	0.54	0.56	0.54	0.55	0.56	0.54	0.54	0.54	0.54
Бензол	0.31	0.32	0.28	0.33	0.28	0.26	0.30	0.28	0.31	0.29	0.33	0.26
Толуол	0.67	0.73	0.55	0.76	0.55	0.53	0.59	0.56	0.68	0.59	0.73	
Хлорбензол	0.64	1.04	0.83	0.70	0.86	0.86	0.96	0.91	0.66	0.93	0.70	
Хлороформ	0.17	0.29	0.33	0.17	0.33	0.28	0.34		0.17	0.30	0.18	
Диэтиловый эфир	2.75	0.53	0.15	5.66*	0.15	0.17	0.17	0.18	3.09*	0.21	2.92*	0.16
2-Метилпропанол-2	6.83*	3.30*	0.71		0.72	0.78	0.79	1.06	5.39*	0.85	5.56*	0.65
Ацетонитрил	1.69	0.82	0.28	3.29*	0.33	0.32	0.34	0.36	1.64*	0.36	1.55*	0.26
Нитрометан	0.69	0.75	0.39	0.94	0.41	0.40	0.44	0.54	0.74	0.44	0.78	0.36
Диоксан			0.56		0.64	0.92	0.85	0.92		1.04		0.74
Диоксан ( $150^\circ\text{C}$ )	17.5*	3.37			1.10	1.85	1.59	1.78		2.05		
Пиридин			0.91									1.37
Пиридин ( $150^\circ\text{C}$ )	25.3*	6.2*	0.87									

Примечания. Нумерация образцов соответствует табл. 1. Звездочкой отмечены несимметричные хроматографические пики.

ной фазы OV-210 приведена на рис. 4. В случае аминосилохромов размер вводимой пробы не влияет на удерживание пиридина и диоксана, что создает благоприятные условия для проведения газохроматографического анализа полярных соединений (рис. 4).

Как видно из табл. 2, на образце 3 наблюдаются наименьшие значения удерживаемого объема  $V_{A,1}$  *n*-нонана и  $V_{\text{отн}}$  пиридина и диоксана, что предполагает (с учетом наиболее низкой концентрации оставшихся после модификации свободных силанольных групп) возможность образования наиболее равномерной однородной плен-

ки модификатора на поверхности. Поэтому образец 3 был выбран для изучения характера межмолекулярных взаимодействий с поверхностью модифицированных адсорбентов и возможностей применения силохромов с привитыми аминопропильными группами в аналитической газовой хроматографии.

На рис. 5 представлена зависимость  $\lg V_{\text{отн}}$  (к *n*-нонану) от числа углеродных атомов в молекулах углеводородов, простых и сложных эфиров на аминосилохроме (образец 3). Здесь же приведены литературные данные для силохрома [7, 8]. В отличие от немодифицированного адсорбента

**Таблица 3.** Значения  $V_{\text{отн}}$  (к *n*-нонану) и коэффициентов селективности  $\alpha$  на аминосилохромах (образцы 3, 5, 11 (табл. 1),  $\mu$  – дипольный момент)

Адсорбат	$\mu, \text{D}$	3		5		11	
		$V_{\text{отн}}$	$\alpha$	$V_{\text{отн}}$	$\alpha$	$V_{\text{отн}}$	$\alpha$
$170^\circ\text{C}$							
Диоксан	0.4	0.59		0.66		1.03	
			2.56		3.00		4.64
Морфолин	1.47	1.51		1.98		4.78	
			2.52		2.75		3.97
Пиперазин	1.54	3.81		5.44		19.0	
$150^\circ\text{C}$							
Диэтиламин	0.90	0.42		0.63		1.13	
Триэтиламин	0.82	0.56		0.71			

**Таблица 4.** Значения  $V_{A,1}$  ( $\text{см}^3/\text{м}^2$ ) и  $V_{\text{отн}}$  (к бензолу) для азотсодержащих гетероциклов на ГТС, силохроме (образец 1) и аминосилохроме (образец 3)

Адсорбат	$\mu, \text{D}$	ГТС [10]		1		3	
		$V_{A,1}$	$V_{\text{отн}}$	$V_{\text{отн}}$	$V_{A,1}$	$V_{\text{отн}}$	$V_{A,1}$
$100^\circ\text{C}$							
Бензол	0	2.01	1		1	0.023	1
Пиридин	2	2.24	1.11	59.2	0.055	2.39	
Пirimидин	2.3	1.45	0.72	80.8	0.058	2.52	
Пиридазин	3.9	3.62	1.8	377	0.29	12.6	
$280^\circ\text{C}$							
Нафталин	0	1.98			0.27		
Хинолин	2.29	1.4			0.53		
Изохинолин	2.73	1.4			0.59		
$170^\circ\text{C}$							

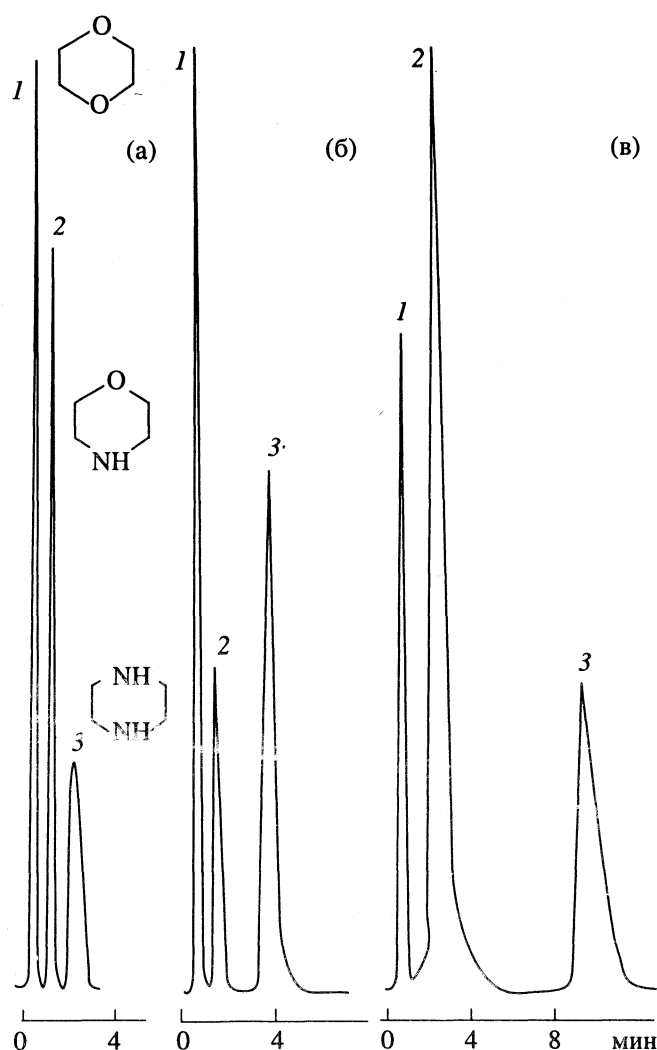


Рис. 3. Хроматограммы диоксана (1), морфолина (2) и пиперазина (3) на образцах 3 (а), 5 (б) и 11 (в) (табл. 1). Колонна  $120 \times 0.3$  см,  $170^\circ\text{C}$ .

на аминированном образце вклад в удерживание при  $130^\circ\text{C}$  одной  $\text{CH}_2$ -группы не зависит от исследованного класса органических соединений. Как уже отмечалось, модифицирование существенно снижает величины удерживания кислородсодержащих соединений. Так, величины  $V_{\text{отн}}$  простых эфиров уменьшаются более, чем в 15 раз. Для пары анилин–нитробензол помимо падения удерживания наблюдается изменение порядка выхода адсорбатов на обратный, что объясняется снижением энергии водородной связи анилина с аминогруппами по сравнению с силанольными [9]. Для анилина и нитробензола величины удерживания на аминированном силохроме близки настолько, что соединения элюируются из колонны одним симметричным пиком. В случае адсорбции диоксана и его азотсодержащих аналогов порядок выхода адсорбатов коррелирует как с ростом дипольного момента, так и с увеличением числа

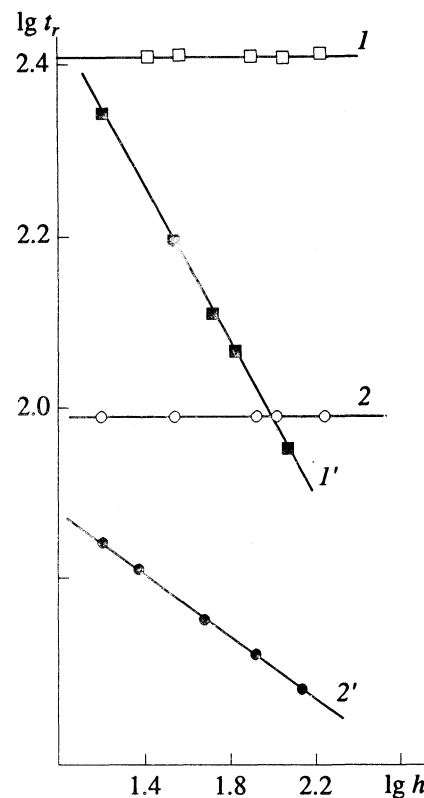


Рис. 4. Зависимости  $\lg t_r$  от  $\lg h$  ( $h$  – высота пика) при  $120^\circ\text{C}$  для пиридина (1, 1') и диоксана (2, 2') на образце 3 (1) и неподвижной жидкой фазе OV-210 (1', 2') (10% OV-210 на Хроматоне N).

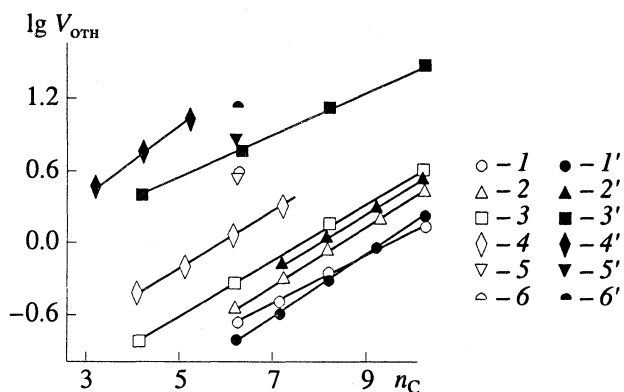


Рис. 5. Зависимость  $\lg V_{\text{отн}}$  от числа атомов углерода  $n_C$  в *n*-алканах (1),mono-*n*-алкилбензолах (2), простых (3) и сложных (4) эфирах на образце 3 (1–4) и силохроме (1'–6'); 5, 5' – нитробензол, 6, 6' – анилин.

атомов азота, образующих водородную связь с аминогруппами привитого слоя (табл. 3, рис. 3).

Ранее [5] было показано, что на образце с плотным аминопропильным покрытием выход органических оснований, в том числе алифатических аминов, регистрируется симметричными пиками. В данной работе получены характеристики удерживания некоторых азотсодержащих гетероциклов на аминированном адсорбенте и

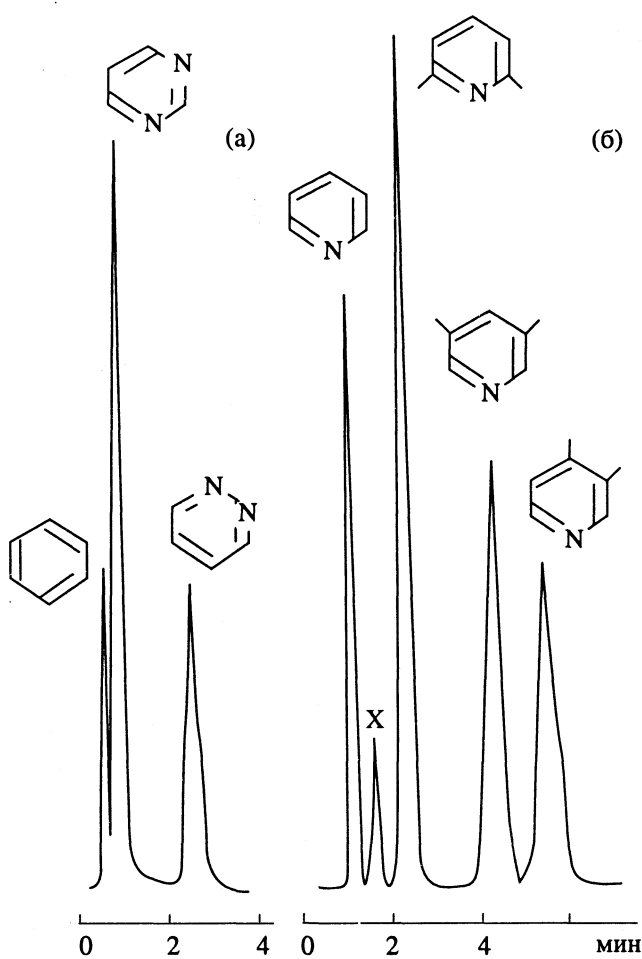


Рис. 6. Хроматограммы азотсодержащих гетероциклических соединений на образце 3 при 170 (а) и 150°C (б). X – неидентифицированная примесь. Колонна 120 × 0.3 см.

сопоставлены с аналогичными данными для графитированной термической сажи (ГТС) и силохрома (табл. 4). В отличие от неполярного углеродного адсорбента, образец с плотным аминопропильным покрытием имеет более низкий адсорбционный потенциал, а определяющую роль в удерживании играет рост дипольных моментов молекул, что обуславливает изменение порядка выхода адсорбатов по сравнению с ГТС [10].

Увеличение числа атомов азота в молекуле пиримидина не приводит к достаточно сильному возрастанию удерживания относительно пиридина (в отличие от силохрома), однако, разность в дипольных моментах пиримидина и пиридазина позволила полностью разделить эти соединения

(рис. 6а). Хорошее разделение лутидинов на аминосилохроме представлено на рис. 6б. Введение метильных групп в молекулу пиридина приводит к заметному росту величин удерживания. Порядок выхода лутидинов соответствует увеличению дипольного момента, но не основности соединений. Для 2,6-лутидина определенный эффект оказывает также стерическое экранирование атома азота  $\alpha$ -метильными группами [11].

Таким образом, в работе показано, что образование плотной структуры привитого слоя приводит к значительному снижению величин адсорбции молекул, способных к специфическому взаимодействию. Наряду с однородностью поверхности это обеспечивает возможность применения аминосилохромов для исследования и разделения сильнополярных и реакционноспособных соединений, в том числе органических оснований. Достаточная термостабильность (до 200°C) и нелетучесть аминосилохромов позволяют проводить анализ в области концентраций и температур, недоступных в газожидкостной хроматографии с использованием азотсодержащих неподвижных жидким фаз.

#### СПИСОК ЛИТЕРАТУРЫ

1. Руководство по газовой хроматографии / Под ред. Э. Лейбница и Х.Г. Штруппе. М.: Мир, 1988. Т. 2.
2. Лисичкин Г.В., Кудрявцев Г.В., Сердан А.А. и др. Модифицированные кремнеземы в сорбции, катализе и хроматографии. М.: Химия, 1986.
3. Wasik W. // Chromatographia. 1987. V. 23. № 6. P. 423.
4. Sebastian I., Halasz I. // Ibid. 1974. V. 7. № 8. P. 371.
5. Давыдов В.Я., Мандругин А.А., Морозова Ю.Г. и др. // Журн. физ. химии. 1992. Т. 66. № 3. С. 736.
6. Давыдов В.Я., Киселев А.В., Киселев С.А. // Коллоидн. журн. 1979. Т. 41. № 2. С. 227.
7. Nikitin Yu.S., Ron Tak Ro, Shonia N.K. // J. Chromatogr. 1988. V. 446. P. 55.
8. Киселев А.В., Иогансен А.В., Сакодынский К.И. и др. Физико-химическое применение газовой хроматографии. М.: Химия, 1973. С. 35.
9. Тертых В.А., Чуйко А.А., Храновский В.А., Неймарк И.Е. // Журн. физ. химии. 1968. Т. 42. № 7. С. 1758.
10. Бобылева М.С. Газоадсорбционная хроматография и масс-спектрометрия изомеров азотсодержащих гетероциклических соединений: Дис. ... канд. хим. наук. М.: МГУ, 1986.
11. Андерсон А.А. Газовая хроматография аминосоединений. Рига: Зинатне, 1982.

УДК 541.183

КИНЕТИКА СОРБЦИИ СЕРЕБРА(І)  
ВОЛОКНИСТЫМ СОРБЕНТОМ НИТРОН S-3

© 1993 г. В. Э. Krakov, Е. Я. Калонтарова, Л. С. Бобрицкая, Г. Н. Никитина

Таджикский государственный университет, Душанбе

Поступила в редакцию 07.10.92 г.

С помощью электронно-зондового микронализа изучена сорбция ионов серебра(І) волокнистым сорбционным материалом – Нитрон S-3. Рассчитаны коэффициенты внутренней диффузии и энергия активации процесса. Установлено что лимитирующей стадией процесса сорбции является диффузионный массоперенос.

Серосодержащий волокнистый сорбент Нитрон S-3 был получен обработкой технического волокна Нитрон раствором, содержащим полисульфид натрия и роданид аммония.

Инфракрасные спектры волокна Нитрон S-3, измеренные на спектрометре JR-70, аналогичны ранее изученным ИК-спектрам сорбента Нитрон-Т, содержащим тиоамидные и карбоксильные группы [1]. Основное отличие ИК-спектров Нитрон S-3 состоит в том, что в них отсутствует полоса поглощения  $\lambda = 2240 \text{ см}^{-1}$ , относящаяся к нитрильной группе, это свидетельствует о полной инверсии нитрильных групп в тиоамидные и карбоксильные группы.

Цель работы – исследование кинетики сорбции ионов серебра(І) волокнистым сорбентом Нитрон S-3, определение лимитирующей стадии массопереноса при сорбции и выбор математической модели кинетики применительно к исследуемому процессу. Методом электронно-зондового микронализа была изучена сорбция ионов серебра(І) волокном Нитрон S-3. Микрофотографии и концентрационные профили получены на растровом электронном микроскопе PSEM-500 "Philips" со спектрометром энергетической дисперсии "EDAX".

На фотографиях срезов волокон Нитрон S-3 (рис. 1а - 1в) наблюдается распределение ионов серебра(І) в полимерной матрице при различных временах сорбции<sup>1</sup>. Как видно из фотографий, в отличие от ионообменных смол, где сорбция осуществляется на границе раздела фаз, в волокнистом сорбенте при определенных временах сорбции достигается равномерное распределение ионов металла по всему сечению волокна. Для таких сорбентов одной из важнейших эксплуатаци-

онных характеристик является скорость переноса вещества. Глубина проникновения диффузанта (осветленная область на микрофотографиях) в единицу времени отражает скорость протекания диффузионного процесса.

Наличие в исследуемом волокне химически активных тиоамидных групп приводит к тому, что диффундирующие ионы вступают с ними в реакцию. Процесс этот необратим и скорость его существенно выше скорости диффузии. При этом ион, вступающий в реакцию, исключается из массопереноса. Таким образом, можно сказать, что диффузия ионов серебра(І) осуществляется в области с движущейся границей, на которой происходит мгновенная химическая реакция [2].

Математически данная задача может быть представлена в виде уравнения диффузии (II закон Фика)

$$\frac{\partial c}{\partial t} = D \frac{\partial^2 c}{\partial x^2}$$

для области  $0 < x < \xi$  с дополнительными граничными условиями:

$$c = c^o \text{ при } x = 0,$$

$$c = 0 \text{ при } x = \xi,$$

$$-D \frac{\partial c}{\partial x} \Big|_{x=\xi} = E \frac{\partial \xi}{\partial t},$$

где  $c$  – концентрация диффузанта в зоне реакции;  $c^o$  – поверхностная концентрация диффундирующего вещества, мгновенно устанавливающаяся на границе;  $x = 0$ ,  $\xi$  – координата диффузионной границы, зависящая от времени;  $D$  – коэффициент диффузии;  $E$  – концентрация функциональных групп в полимере.

<sup>1</sup> Авторы выражают благодарность научному сотруднику Института физической химии РАН В.К. Герасимову за помощь в снятии микрофотографий образцов волокон.

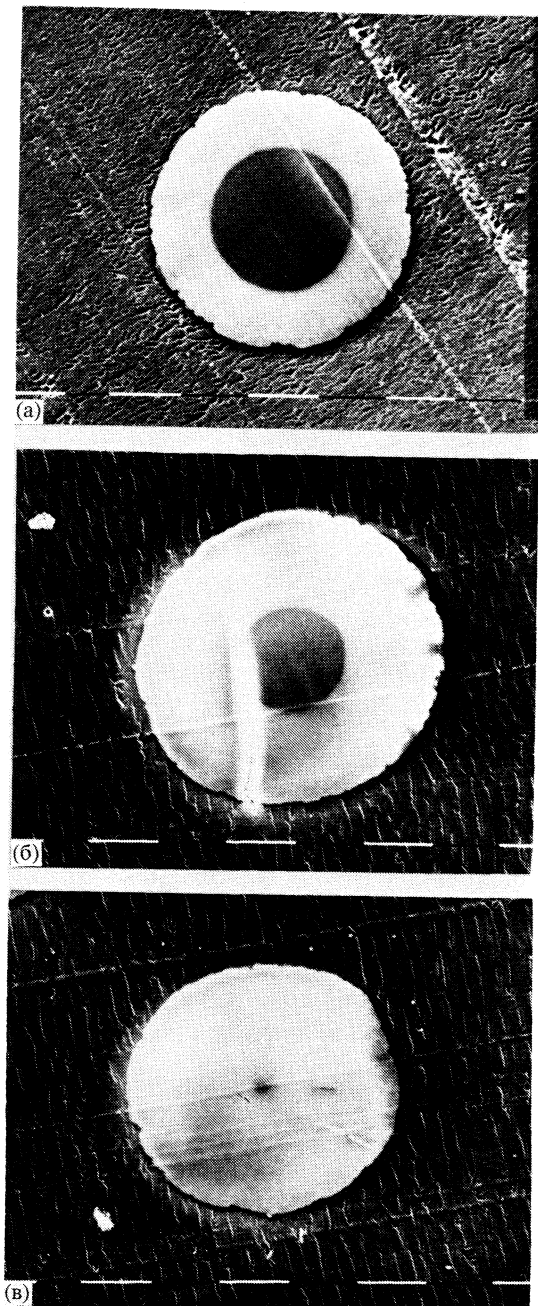


Рис. 1. Срезы волокон Нитрон S-3 после выдерживания в 0.01 н. растворе  $\text{AgNO}_3$  при 298 К в течение 1 (а), 17 (б) и 72 ч (в). (Увеличение – 1500.)

Решение для случая бесконечного цилиндра имеет следующий вид:

$$\xi = 2\lambda(Dt)^{1/2},$$

где параметр  $\lambda$  находится из уравнения, полученного при решении осесимметричной задачи [3]

$$\frac{c^0}{E} e^{-\lambda^2} = 4\pi\lambda^2, \quad (1)$$

$\lambda$  – параметр, характеризующий химическую природу сорбента.

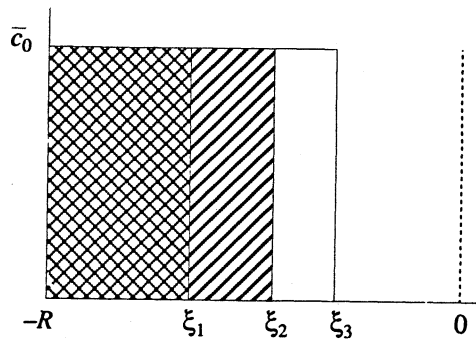


Рис. 2. Профили распределения ионов серебра(I) в волокне Нитрон S-3 в процессе сорбции.

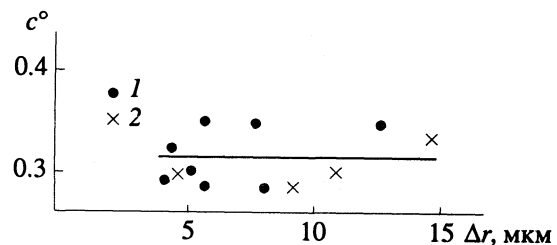


Рис. 3. Зависимости концентрации ионов серебра(I) в полимерной матрице ( $c^0$ , ммоль/г) от размера диффузационной зоны при различных температурах: 1 – 298, 2 – 210 К.

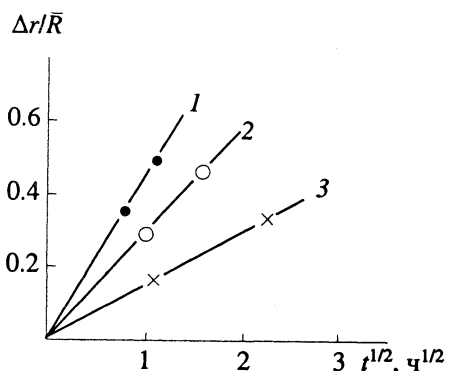


Рис. 4. Зависимости  $\Delta r/\bar{R}$  от  $t^{1/2}$ : 1 – 343, 2 – 318, 3 – 298 К.

Обозначив  $c^0/E = Q/\chi\alpha\rho$ , где  $\chi$  – коэффициент теплопроводности;  $\alpha$  – скрытая теплота плавления;  $\rho$  – плотность материала, получаем задачу, идентичную задаче о промерзании (“проблема Стефана”) [3]. Уравнение (1) может быть решено только для случая, когда концентрация  $c^0$  постоянна во всей диффузционной зоне.

Экспериментальное определение поверхностной концентрации в общем случае представляет собой довольно сложную проблему, но для данного случая можно произвести оценку этой величины. Специально проведенный электронно-зондовый анализ показал, что распределение ионов серебра(I) в диффузационной зоне соответствует

прямоугольному профилю, т.е. концентрация  $c^{\circ}$  в пределах зоны реакции постоянна (рис. 2).

Данные, представленные на рис. 3, подтверждают постоянство концентрации ионов серебра(I) для различных размеров диффузионной зоны и температур.

Движение зоны реакции описывается уравнением:

$$\Delta r = 2\lambda (Dt)^{1/2}. \quad (2)$$

Уравнение (2) – основное рабочее уравнение. Параметр  $\lambda$  определяется при решении уравнения (1) методом Ньютона -Рафсона.

Аргумент функции  $F(\lambda) = 0$  может быть рассчитан с помощью рекуррентного соотношения:

$$\lambda_{i+1} = \lambda_i - \frac{F(\lambda_i)}{F'(\lambda_i)}. \quad (3)$$

Если принять  $a = \frac{E}{c^{\circ}} 4\pi$ , то вместо уравнения (1) имеем

$$F(\lambda) = \lambda^2 - ae^{-\lambda^2} = 0.$$

Тогда в соответствии с уравнением (3) получаем

$$\lambda_{i+1} = \lambda_i - \frac{\lambda_i - ae^{-\lambda_i^2}}{2\lambda_i(1 + ae^{-\lambda_i^2})}.$$

Уравнение (2) можно записать следующим образом:

$$\lambda^2 D = \frac{(\Delta r)^2}{4t}.$$

Коэффициент внутренней диффузии ( $D$ ) можно выразить через усредненный радиус волокна ( $\bar{R}$ ):

$$\lambda^2 D = \frac{\bar{R}}{4} \operatorname{tg}^2 \alpha,$$

где

$$\operatorname{tg}^2 \alpha = \left( \frac{\Delta r / \bar{R}}{\Delta t^{1/2}} \right)^2 = \left( \frac{\Delta r}{\bar{R} \Delta t^{1/2}} \right)^2 = \frac{\Delta r^2}{\bar{R}^2 \Delta t}. \quad (4)$$

Коэффициенты внутренней диффузии ( $D$ ) и энергии активации ( $E_a$ ) процесса сорбции ионов серебра(I) волокном Нитрон S-3

$T, K$	$\operatorname{tg} \alpha$	$\lambda$	$D \times 10^{10}, \text{ см}^2/\text{с}$	$E_a, \text{ кДж/моль}$
298	0.40	0.243	0.22	–
318	0.64	0.256	0.57	37.40
343	1.02	0.258	1.46	34.03

Из графика зависимости  $\Delta r / \bar{R}$  от  $t^{1/2}$ , представленного на рис. 4, был определен  $\operatorname{tg} \alpha$ , а затем по уравнению (4) рассчитан коэффициент внутренней диффузии.

Величины  $\lambda$  и  $D$  и энергии активации ( $E_a$ ) процессов сорбции ионов серебра(I) волокном Нитрон S-3, определенные по уравнению Аррениуса, приведены в таблице.

Найденный коэффициент диффузии ( $D$ ) является обобщенной характеристикой транспортных свойств волокна Нитрон S-3 по отношению к ионам серебра(I). Он связан с природой сорбента, а также с коэффициентом диффузии ионов серебра(I) в растворе азотной кислоты. Величины  $D$ ,  $E_a$  и отсутствие зависимости  $D$  от температуры сорбции свидетельствуют о том, что лимитирующей стадией процесса является диффузионный массоперенос. На внутридиффузионную стадию, как лимитирующую процесс массопереноса, указывает также наличие линейных участков экспериментальных кинетических кривых в координатах  $\Delta r / \bar{R} - t^{1/2}$  (рис. 4) [4].

#### СПИСОК ЛИТЕРАТУРЫ

- Якубов Х.М., Цивадзе А.Ю., Бахус Е.Н. и др. // Журн. неорган. химии. 1984. Т. 30. С. 1406.
- Николаев Н.И. Диффузия в мембрanaх. М.: Химия, 1980. 232 с.
- Карслу Г., Егер Д. Теплопроводность твердых тел. М.: Наука, 1964. 289 с.
- Кокотов Ю.А., Золотарев П.П., Елькин Г.Э. Теоретические основы ионного обмена. Л.: Химия, 1986. 280 с.

---

 ФИЗИЧЕСКАЯ ХИМИЯ  
 ПОВЕРХНОСТНЫХ ЯВЛЕНИЙ
 

---

УДК 541.183

 ВЛИЯНИЕ ТЕРМИЧЕСКОЙ ДЕГИДРАТАЦИИ  
 ГИДРОКСИАЛЮМИНИЕВОГО МОНТМОРИЛЛОНИТА  
 НА АДСОРБЦИЮ *n*-ГЕКСАНА И БЕНЗОЛА

© 1993 г. С. З. Муминов, Д. Б. Гулямова, Э. А. Арипов

Академия наук Республики Узбекистан, Институт химии, Ташкент

Поступила в редакцию 12.10.92 г.

Исследовано влияние термической дегидратации монтмориллонита с интеркалированными полигидроксиалюминиевыми катионами (ПГАК) на адсорбцию и энергетику адсорбции паров бензола и *n*-гексана. По температурной зависимости адсорбции установлено, что переход ПГАК в алюмооксидные кластеры при термической обработке интеркалированной глины приводит к сокращению объема микропор и уменьшению теплоты адсорбции углеводородов.

Условия получения, адсорбционные свойства монтмориллонитовой глины, модифицированной полигидроксиалюминиевыми катионами (ПГАК), и теплоты адсорбции на них некоторых веществ описаны в работах [1 - 8]. Установлено, что различные ПГАК при внедрении в обменные позиции монтмориллонита раздвигают слои по оси *c*, создавая глинистые адсорбенты со щелевидной микропористостью. С учетом того, что дегидратирование интеркалированных глин при определенных условиях сопровождается переводом ПГАК в оксидные кластеры [9], в данной работе изучены закономерности изменения адсорбции и теплоты адсорбции паров бензола и *n*-гексана на интеркалированном монтмориллоните с введенными ПГАК, термообработанными при температурах ниже и выше температуры перехода ПГАК в алюмооксидные кластеры.

## ЭКСПЕРИМЕНТАЛЬНАЯ ЧАСТЬ

Исследуемый гидроксиалюминиевый адсорбент был приготовлен обработкой 3%-ной суспензии Na-монтмориллонита раствором гидрохлорида алюминия с молярным соотношением OH/Al = 2.37, по методике [10]. При такой основности раствора образуется комплекс с семизарядными ПГАК  $[Al_{13}O_4(OH)_{12}(H_2O)_{24}]^{7+}$ . На термограмме интеркалированной глины наряду с эндо- и экзоэффектами, характерными для Na-формы минерала, обнаружен слабый экзоэффект при 603 К, связанный с переходом обменных олиго-

катионов алюминия в алюмооксидные кластеры типа  $Al_2O_3 \cdot qH_2O$ .

Адсорбция измерялась гравиметрическим и изостерическими методами. Перед измерением адсорбции модифицированная глина вакуумировалась при 423 и 773 К (до остаточного давления в системе  $1.33 \times 10^{-4}$  Па). Откачка продолжалась в течение 6 ч. Образцы, дегидратированные при указанных температурах, соответственно обозначались ИМАл-1 и ИМАл-2. (Изучая равновесную адсорбцию углеводородов на дегидратированных образцах, можно выявить влияние структурных изменений на адсорбционное взаимодействие адсорбат-адсорбент.) Изотермы адсорбции паров бензола и *n*-гексана (рис. 1) на образцах интеркалированной глины измерялись при 293 К.

## ОБСУЖДЕНИЕ РЕЗУЛЬТАТОВ

Изотерма адсорбции паров бензола на ИМАл-1 оказалась необратимой и характеризовалась узкой петлей гистерезиса в области  $p/p_s < 0.2$ . Изотермы адсорбции бензола на ИМАл-2 и *n*-гексана, измеренные на двух дегидратированных образцах, были обратимыми и имели форму, характерную для микропористых адсорбентов: значительная адсорбция при начальных относительных давлениях и слабое увеличение ее в широком интервале  $p/p_s$  (0.1 - 0.8). Сорбционные объемы дегидратированных образцов модифицированной глины по бензолу (I) и *n*-гексану (II) при

Таблица

Адсорбент	$W(p/p_s = 0.2)$		$W_0(p/p_s = 0.4)$		$V_s(p/p_s = 1.0)$		$W_m$	
	I	II	I	II	I	II	I	II
ИМАл-1	0.119	0.094	0.125	0.100	0.144	0.138	0.019	0.038
ИМАл-2	0.086	0.091	0.095	0.100	0.146	0.143	0.051	0.043

различных  $p/p_s$ , рассчитанные на основании данных изотерм адсорбции, приведены в таблице.

Адсорбция бензола на ИМАл-1 при малых относительных давлениях значительно превышает адсорбцию на ИМАл-2. Адсорбция *n*-гексана на ИМАл-1 в этом интервале равновесных давлений также больше, чем на ИМАл-2, но в меньшей степени, чем по бензолу. Объем микропор  $W_0$  интеркалированной глины ИМАл-1 по бензолу превышает объем ИМАл-2 на 24%, а по *n*-гексану они равны. Начиная с  $p/p_s = 0.014$  изотермы *n*-гексана на дегидратированных образцах постепенно сближаются и в интервале  $p/p_s$  от 0.4 до 0.6 совпадают. При более высоких относительных давлениях, наоборот, адсорбция *n*-гексана на ИМАл-2 больше, чем на ИМАл-1. Адсорбция паров углеводородов при  $p/p_s > 0.4$  приводит в основном к заполнению объема мезопор ( $W_m$ ).

Объемы микропор ИМАл-1 по бензолу и *n*-гексану составили 87 и 72% от общего объема пор соответственно; образца ИМАл-2 – 65 и 70%. Судя по адсорбционным данным, образец ИМАл-1 обладает более регулярной микропористой структурой, чем ИМАл-2. Сравнивая полные сорбционные объемы при  $p/p_s = 1.0$ , можно убедиться, что термическая дегидратация в интервале 423 - 773 К приводит к росту  $V_s$  по обоим адсорбатам всего на 2 - 4%. Незначительное повышение  $V_s$  по бензолу по сравнению с *n*-гексаном, по-видимому, результат более плотной упаковки молекул бензола в мезопорах при образовании полислоев и капиллярного конденсата. Следовательно, разрушение ПГАК монтмориллонита при термической обработке модифицированного сорбента при температурах выше температуры образования алюмооксидных кластеров вызывает сокращение объема микропор по бензолу и увеличение объема мезопор по обоим адсорбатам.

Энергетические данные определены по температурной зависимости параметров адсорбционного равновесия бензола и *n*-гексана на интеркалированном монтмориллоните, обработанном при 423 и 773 К. Для этого измеряли семейства изостер адсорбции паров бензола и *n*-гексана, соответствующие заполнениям от доли объема микропор до полного насыщения в интервале 250 - 340 К.

По наклонам линейных изостер в координатах  $\lg p - T^{-1}$  рассчитывали дифференциальные изостерические теплоты адсорбции ( $Q_{st}$ ) бензола и *n*-гексана на ИМАл-1 и ИМАл-2. Из рис. 2 видно, что зависимость теплоты адсорбции паров бензола и *n*-гексана от степени заполнения  $\theta = a/a_0$  (где  $a_0$  – предельная адсорбция, т.е. адсорбция при  $p/p_s = 0.4$ ) имеет экстремальный характер. Общий в изменении  $Q_{st}$  паров обоих веществ является относительное уменьшение  $Q_{st}$  в области заполнения объема микропор при термической дегидратации модифицированной глины. Независимо от условий дегидратации адсорбента максимум на кривых теплот адсорбции бензола и

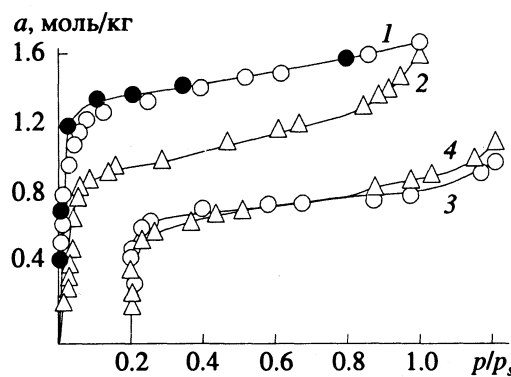


Рис. 1. Изотермы адсорбции паров бензола (1, 2) и *n*-гексана (3, 4) на ИМАл-1 (1, 3) и ИМАл-2 (2, 4).

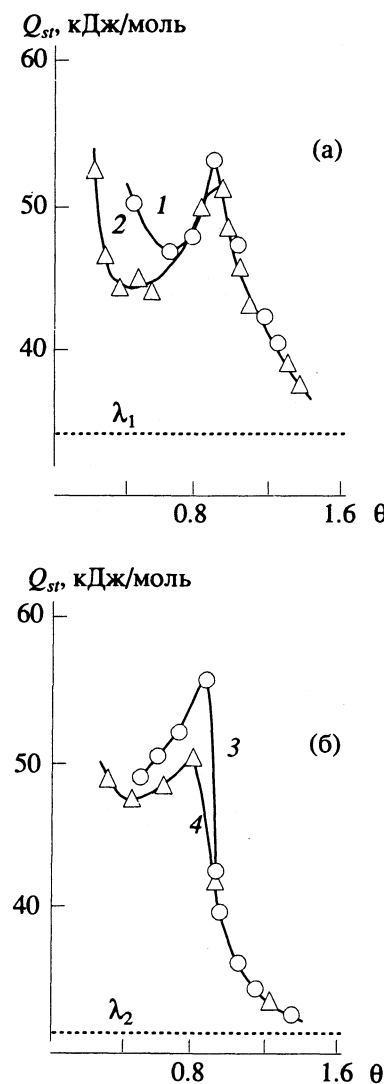


Рис. 2. Дифференциальная изостерическая теплота адсорбции паров бензола (1, 2) и *n*-гексана (3, 4) на ИМАл-1 (1, 3) и ИМАл-2 (2, 4).

*n*-гексана обнаруживается при одних и тех же степенях заполнения ( $\theta \approx 0.8$ ). В этой области  $\theta$  рост температуры предварительной дегидратации адсорбента вызывает уменьшение теплоты адсорбции бензола в большей степени, чем *n*-гексана. Более того, начальный участок кривой теплоты адсорбции бензола на обоих дегидратированных образцах интеркалированной глины имеет ниспадающий характер, что согласуется с изменением  $Q_{st}$  бензола от адсорбции на Na-монтмориллоните [11]. Следовательно, в этой области заполнения (как и на Na-форме минерала) молекулы бензола адсорбируются на внешней поверхности интеркалированной глины и из-за неоднородности поверхности величина  $Q_{st}$  уменьшается с ростом  $\theta$ .

Различие в зависимостях теплот адсорбции *n*-гексана на термообработанных образцах интеркалированной глины заключалось в том, что для системы *n*-гексан–ИМАл-2 обнаруживается горизонтальный участок при малых заполнениях ( $0.2 < \theta < 0.6$ ). В этой области заполнений теплота постоянная (~51 кДж/моль); затем  $Q_{st}$  растет, достигая максимального значения (~54 кДж/моль). При адсорбции *n*-гексана на ИМАл-1 при  $0.4 < \theta < 0.8$  теплота значительно возрастает (от ~50 до 59 кДж/моль). Рост теплоты адсорбции бензола и *n*-гексана при адсорбциях, близких к завершению заполнения объема микропор, обусловлен адсорбцией молекул в щелевидных микропорах интеркалированной глины, характеризуемых большим энергетическим полем. При  $\theta > 0.8$  теплота адсорбции бензола и *n*-гексана резко уменьшается, приближаясь к теплоте конденсации объемной фазы (которая для  $C_6H_6$  и  $C_6H_{14}$  составляет соответственно 33.8 и 31.5 кДж/моль). Большее уменьшение теплоты адсорбции *n*-гексана и бензола на ИМАл-2, чем на ИМАл-1, по-видимому, обусловлено ослаблением взаимодействия адсорбат–адсорбент (при структурных изменениях адсорбента, вызванных термической обработкой, вследствие перехода ПГАК в алюмооксидные кластеры [9]) и изменением концентрации активных центров, какими являются гидроксиалиюминиевые ионы, гидроксильные группы, свободная кислородная поверхность алюмосиликатных слоев и другие.

Критерием различия во взаимодействии молекул адсорбата, обладающих различным электронным строением, является чистая теплота адсорбции ( $q$ ), определяемая по разности между дифференциальной теплотой адсорбции и теплотой конденсации. Чистая теплота адсорбции бензола на ИМАл-1 и ИМАл-2 при  $\theta = 0.8$  составила 20.1 и 17.6 кДж/моль, а *n*-гексана – 26.5 и 20.5 кДж/моль. Следовательно, величина  $q$  для *n*-гексана на соответствующих образцах на 6.4 и 2.9 кДж/моль больше, чем для бензола. Молекулы *n*-гексана в соответствии с геометрией укладываются на наиболее выгодных участках микропор и взаимодействуют с активными центрами и между собой с большей энергией, чем молекулы бензола. Возможно, что  $\pi$ -электроны адсорбированных молекул бензола образуют колышевой квадруполь и при определенных заполнениях испытывают электростатическое отталкивание, вследствие чего значение  $q$  для бензола на интеркалированной глине в области заполнения микропор ниже, чем для паров *n*-гексана.

#### СПИСОК ЛИТЕРАТУРЫ

1. Lahav N., Shani U. // Clays and Clay. Min. 1978. V. 26. № 2. P. 107.
2. Matsumoto M., Suzuki M., Takahashi H., Saito Y. // Bull. Chem. Soc. Jpn. 1985. V. 58. № 1. P. 1.
3. Тарасевич Ю.И., Дорошенко В.Е., Руденко В.М., Иванова З.Г. // Коллоидн. журн. 1986. Т. 48. № 3. С. 505.
4. Stacey M.N. // Catalysis Today. 1988. V. 2. P. 621.
5. Гулямова Д.Б., Муминов С.З. Адсорбция, устойчивость, структурообразование в минеральных дисперсиях. Ташкент: ФАН, 1990. С. 49 - 60.
6. Zyla M., Bandosz T. // Polish J. Chem. 1991. V. 65. № 4. P. 673.
7. Гулямова Д.Б., Муминов С.З., Арипов Э.А. // Узб. хим. журн. 1991. № 1. С. 9.
8. Муминов С.З., Гулямова Д.Б., Арипов Э.А. // Там же. 1991. № 5. С. 62.
9. Pinnavaia T.J. // Sci. 1983. V. 220. № 4595. P. 365.
10. Matsumoto M., Shinoda S., Takahashi H., Saito Y. // Bull. Chem. Soc. Jpn. 1984. V. 57. № 7. P. 1795.
11. Муминов С.З., Арипов Э.А. Исследования в области термодинамики и термохимии адсорбции на глинистых минералах. Ташкент: ФАН, 1987. 144 с.

УДК 541.183

## ИЗМЕНЕНИЕ ПОВЕРХНОСТНЫХ СВОЙСТВ СЛОЕВ ИЗ ПОЛИМЕТИЛМЕТАКРИЛАТА В ПЛАЗМЕ ТЛЕЮЩЕГО РАЗРЯДА

© 1993 г. Н. В. Каледенкова, В. В. Зайцев

Ивановский государственный университет

Поступила в редакцию 10.02.93 г.

Показано изменение полярного и дисперсионного вкладов в поверхностное натяжение подложек из полиметилметакрилата ( $\gamma_s^p = (23.8 - 60.0) \times 10^{-3}$  Н/м;  $\gamma_s^d = (42.2 - 8.3) \times 10^{-3}$  Н/м) в результате их обработки в плазме тлеющего разряда при различных временах обработки ( $t = 0 - 5400$  с), токах разряда ( $I = 0 - 1 \times 10^{-2}$  А), скоростях протока газа ( $v = (2.35 - 5.00) \times 10^{25}$  молек/(с м<sup>2</sup>)). Установлено, что эти изменения обусловливают увеличение энергии взаимодействия жидкого кристалла с подложкой. ( $W_{sa} = (0.35 - 2.30) \times 10^{-2}$  Дж/м<sup>2</sup>); индикатором качества модификации поверхности, изменения поверхностного натяжения и энергии взаимодействия жидкого кристалла с подложкой служит однородность цветового поля на микрофотографиях текстур жидкого кристалла, находящегося на поверхности.

В результате взаимодействия плазмы с полимерами наблюдается один из следующих эффектов или их комбинация: электризация, появление диполей, радикалов или функциональных групп, образование или разрушение химических связей и т.д. Перечисленные эффекты обуславливают активирование поверхностей, что означает увеличение поверхностного натяжения, смачивания, адгезии [1, 2]. При этом обработка материалов в тлеющем разряде изменяет только поверхностную структуру слоя материала, т.е. влияет главным образом на их поверхностные свойства [3 - 5].

Для оценки качества обработки поверхности необходимы вещества, которые бы реагировали на изменение поверхностных свойств. Такими индикаторами могут быть жидкие кристаллы [5].

Цель настоящей работы – исследование полярных и дисперсионных вкладов в поверхностное натяжение подложек при модификации их в плазме тлеющего разряда и влияния обработки на взаимодействие модифицированных поверхностей с жидким кристаллом.

### ЭКСПЕРИМЕНТАЛЬНАЯ ЧАСТЬ

В работе методом полива на стеклянные подложки размером  $2.5 \times 2.5 \times 10^{-4}$  м<sup>2</sup> наносились слои из жидкого оргстекла, затем подложки помещались в сушильный шкаф и выдерживались до полного испарения растворителя. Далее пластины-подложки помещались в разрядную трубку (радиус  $2.25 \times 10^{-2}$  м) через кварцевое окно, которое затем тщательно заклеивалось с помощью вакуумной смазки и клея БФ-6. Форвакуумным

насосом достигалась степень разрежения в разрядной трубке до ~1.33 Па. Эксперимент проводился в проточном режиме в воздухе при токах разряда  $2 \times 10^{-3}$  и  $1 \times 10^{-2}$  А и давлениях  $p_1 = 72.9$ ,  $p_2 = 112.4$  Па. Давление в системе определялось по масляному манометру катетометром В-630. Для каждого давления рассчитывалась скорость протока воздуха в вакуумной системе ( $v_1$  и  $v_2$  соответственно).

Измерения краевых углов полярных жидкостей (дистиллированная вода, этиленгликоль, формамид) осуществлялись методом проецирования капель на экран. Полярный ( $\gamma_s^p$ ) и дисперсионный ( $\gamma_s^d$ ) вклады в поверхностное натяжение подложки рассчитывались по уравнениям для двух полярных жидкостей (вода и этиленгликоль) [6]:

$$1 + \cos \theta_1 = 2 \left[ (\gamma_s^d \gamma_{\alpha_1}^d)^{1/2} + (\gamma_s^p \gamma_{\alpha_1}^p)^{1/2} \right] / \gamma_{\alpha_1},$$

$$1 + \cos \theta_2 = 2 \left[ (\gamma_s^d \gamma_{\alpha_2}^d)^{1/2} + (\gamma_s^p \gamma_{\alpha_2}^p)^{1/2} \right] / \gamma_{\alpha_2},$$

где  $\theta_{1,2}$  – экспериментально определяемый краевой угол смачивания исследуемой жидкостью с известными значениями полярного ( $\gamma_{\alpha_{1,2}}^p$ ) и дисперсионного ( $\gamma_{\alpha_{1,2}}^d$ ) вкладов в поверхностное натяжение жидкости ( $\gamma_{\alpha_{1,2}}$ );  $\gamma_{\alpha_{1,2}} = \gamma_{\alpha_{1,2}}^p + \gamma_{\alpha_{1,2}}^d$ .

Путем введения новых переменных задача сводилась к решению системы линейных неоднородных уравнений. Расчеты  $\gamma_s^p$  и  $\gamma_s^d$  проводились на ЭВМ “ДВК-3”.

Капля жидкого кристалла 4-метоксибензилиден-4'-бутиланилина (МББА) наносилась на поверхность исследуемого образца, находящегося на вращающейся центрифуге (скорость вращения 23 с<sup>-1</sup>). Ориентация жидкого кристалла на поверхности наблюдалась с помощью поляризационного микроскопа МИН-8 при увеличениях ×135 и ×300, а фотографирование оптических картин проводилось микрофотонасадкой МФН-12.

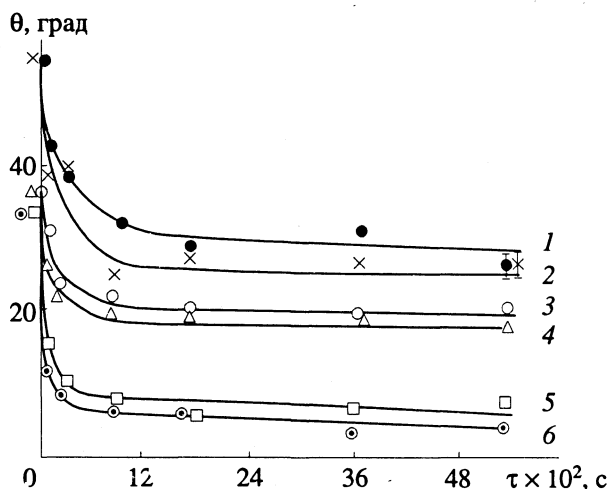


Рис. 1. Зависимости краевого угла смачивания ( $\theta$ ) водой (1, 2), этиленгликолем (3, 4) и формамидом (5, 6) от времени обработки подложки в плазме  $\tau$  при различных величинах тока: 1, 3, 5 –  $2 \times 10^{-3}$ , 2, 4, 6 –  $1 \times 10^{-2}$  А.

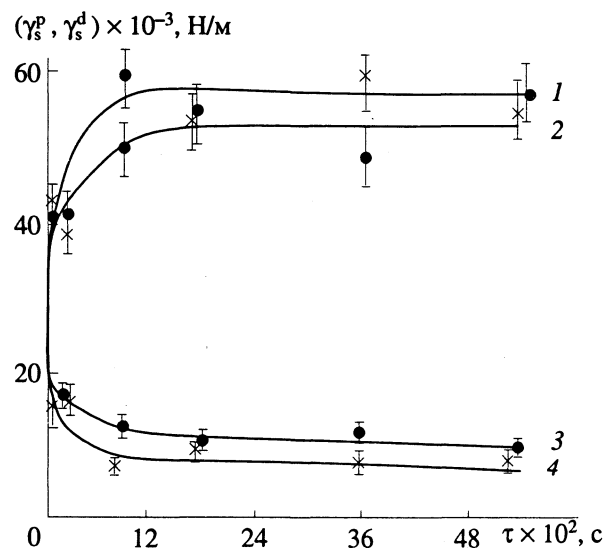


Рис. 2. Изменение полярного  $\gamma_s^p$  (1, 2) и дисперсионного  $\gamma_s^d$  (3, 4) вкладов в поверхностное натяжение подложки в зависимости от времени обработки в плазме  $\tau$  при различных величинах тока: 1, 4 –  $1 \times 10^{-2}$ , 2, 3 –  $2 \times 10^{-3}$  А.

Энергия взаимодействия жидкого кристалла с подложкой рассчитывалась по формуле [7]:

$$W_{sa} = \left[ (\gamma_s^p)^{1/2} - (\gamma_\alpha^p)^{1/2} \right]^2 + \\ + \left[ (\gamma_s^d)^{1/2} - (\gamma_\alpha^d)^{1/2} \right]^2.$$

Для расчета использовались литературные данные  $\gamma_\alpha^p$  и  $\gamma_\alpha^d$  для МББА [8], которые составляли  $8.8 \times 10^{-3}$  и  $20.0 \times 10^{-3}$  Н/м соответственно.

## ОБСУЖДЕНИЕ РЕЗУЛЬТАТОВ

На рис. 1 приведены зависимости краевых углов смачивания полярных жидкостей от времени обработки в плазме. Изменением краевого угла смачивания характеризуется степень плазменной активации полимерных поверхностей. Активирование сопровождается скачкообразным уменьшением краевого угла, которое происходит в течение первых 900 с обработки, затем идет насыщение. Подобные кривые имеют место и при другой скорости протока газа ( $v_2$ ).

Модификация полимеров в плазме, вызывающая увеличение гидрофильности их поверхностей, сопровождается появлением полярных групп ( $-C=O$ ,  $-O-O-H$ ,  $-OH$ ) в результате окисления поверхности полимера. С ростом тока разряда и скорости протока газа происходит уменьшение краевых углов смачивания, так как увеличивается поток активных частиц, идущих на подложку (атомы O в основном и возбужденном состоянии, кванты УФ-излучения, метастабильные молекулы, озон и ионы  $O_2^+$ ,  $O^+$ ). Это влияет на процесс образования полярных групп, изменяет макрорельеф поверхности.

Обработка полимера в плазме приводит к увеличению полярного вклада в поверхностное натяжение подложки ( $\Delta\gamma_s^p \leq 36 \times 10^{-3}$  Н/м) и уменьшению дисперсионного вклада ( $\Delta\gamma_s^d \leq 16 \times 10^{-3}$  Н/м) (рис. 2). При этом суммарное поверхностное натяжение ( $\gamma_s = \gamma_s^p + \gamma_s^d$ ) увеличивается. Наблюдаемые изменения полярной составляющей поверхностного натяжения определяют в основном изменения краевых углов смачивания.

Изменение поверхностных свойств подложки оказывает влияние на энергию взаимодействия подложки с жидким кристаллом (рис. 3). Энергия взаимодействия ( $W_{sa}$ ) увеличивается до определенного значения в течение 900 с и выходит затем на насыщение. Причиной этого является диполь-дипольное взаимодействие жидкого кристалла на полярной поверхности, которое определяет планарную ориентацию молекул жидкого кристалла с анизотропией диэлектрической про-

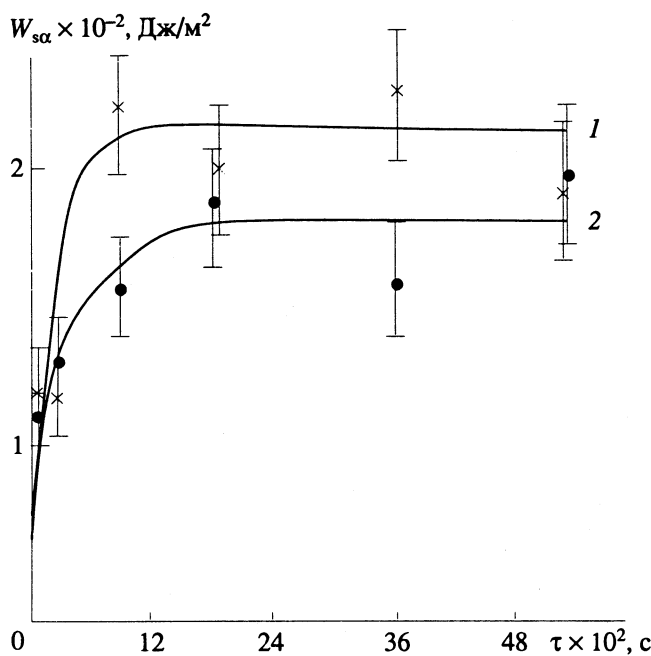


Рис. 3. Изменение энергии взаимодействия жидкого кристалла с подложкой ( $W_{sa}$ ) в зависимости от времени обработки в плазме  $\tau$ ; 1 –  $1 \times 10^{-2}$ ; 2 –  $2 \times 10^{-3}$  А.

ницаемости  $\Delta\epsilon < 0$  (дипольный момент перпендикулярен оси молекулы).

При наблюдении в поляризационный микроскоп оптических картин исследовалась ориентация МББА на необработанной и обработанной в плазме подложках. На необработанной подложке возникала картина в виде областей различного цвета, на обработанной – цветная картина, однородность которой увеличивалась с ростом времени обработки в плазме. Причиной цветовой окраски является двулучепреломление света в слое МББА, в результате которого происходит интерференция света. Такая окраска имеет место при малых толщинах слоя жидкого кристалла на необработанной в плазме поверхности. Моле-

кулы жидкого кристалла располагаются участками под различными азимутальными углами в плоскости подложки. На обработанной в плазме поверхности молекулы ориентируются в направлении, согласованном с потоком плазмы в электрическом поле. Поворот столика поляризационного микроскопа до совпадения плоскости поляризатора или анализатора с выстроенной оптической осью жидкого кристалла приводит к регистрации эффекта прохождения света через два скрещенных поляризаторов.

Увеличение однородности ориентации связано с увеличением энергии взаимодействия жидкого кристалла с подложкой и свидетельствует о том, что молекулы жидкого кристалла располагаются на полярной поверхности по принципу плотнейшей упаковки, которая энергетически более выгодна.

#### СПИСОК ЛИТЕРАТУРЫ

1. Иванов С.И. // Химия высоких энергий. 1983. Т. 17. № 3. С. 253.
2. Венгерская Л.Э., Гильман А.Б., Потапов В.К., Тузов Л.С. // Всесоюз. семинар по теории и практике плазмохимической обработки тканей и полимерных пленок. Тез. докл. Иваново, 1991. С. 11.
3. Ткачук Б.В., Колотыркин В.М. Получение тонких полимерных пленок из газовой фазы. М.: Химия, 1977. С. 205.
4. Зайцев В.В., Каледенкова Н.В. // Поверхность. Физика, химия, механика. 1987. № 4. С. 71.
5. Зайцев В.В., Каледенкова Н.В. // Междунар. симп. по теоретической и прикладной плазмохимии. Тез. докл. Рига, 1991. С. 183.
6. Лукьянченко Е.С., Григос В.И., Козунов В.А., Грибова С.Б. // Поверхность. Физика, химия, механика. 1983. № 10. С. 124.
7. Лукьянченко Е.С., Козунов В.А., Григос В.И., Грибова С.Б. // Там же. 1985. № 2. С. 121.
8. Кан Ф.Д., Тейлор Г.Н., Шонхорн Г. // Тр. ин-та инженеров по электротехнике и радиоэлектронике. 1973. Т. 61. № 7. С. 28.

УДК 541.138:543.022

## СОСТОЯНИЕ ПОВЕРХНОСТИ ПЛЕНОЧНЫХ $TiO_2$ -ЭЛЕКТРОДОВ, МОДИФИЦИРОВАННЫХ ЧАСТИЦАМИ СЕРЕБРА

© 1993 г. В. С. Гурин, В. П. Порошков, К. Н. Каспаров, Е. А. Тявлевская, Н. И. Кунцевич

Научно-исследовательский институт физико-химических проблем  
Белорусского государственного университета, Минск

Поступила в редакцию 26.11.92 г.

Особенности состояния частиц серебра в пленочной системе  $Ag-TiO_2$ , в которой присутствие частиц или облучение создают условия для избирательного электроосаждения металла на поверхность, изучены при помощи электрохимических методик, электронной микроскопии и рентгеновской фотоэлектронной спектроскопии. При концентрациях серебра на поверхности  $10^{14} - 10^{16}$  ат/см<sup>2</sup> установлено присутствие частиц размером 5 - 100 нм и обнаружено заметное взаимодействие  $Ag$  с поверхностью пленки  $TiO_2$ .

Известная [1 - 4] возможность избирательного химического и электрохимического осаждения металлов на поверхность пленок диоксида титана из водных растворов, содержащих ионы соответствующих металлов, определяется тем, что скорость процесса как в случае химического, так и электрохимического осаждения существенно возрастает на участках поверхности, модифицированных частицами металла ( $Ag$ ,  $Pd$ ,  $Ni$  и др.). При содержании серебра  $10^{14} - 10^{16}$  ат/см<sup>2</sup> появляется возможность реализовать селективное электрохимическое осаждение металлической фазы на модифицированные участки пленок. При этом скорость электрохимического осаждения на них в 10 и более раз выше (в зависимости от способа формирования пленки  $TiO_2$ , концентрации ионов металла в растворе, значения потенциала электроосаждения и др.), чем на не содержащие серебра участки пленки, а процесс электроосаждения протекает при потенциалах на 100 мВ более положительных, чем на немодифицированных участках пленок  $TiO_2$ .

Свойства микрогетерогенных систем типа оксид-мелкие частицы металла, в которых оксид играет роль носителя, в значительной степени зависят от специфики взаимодействия металлических частиц с носителем [5]. Важную роль также может играть кислород, адсорбированный из атмосферы на поверхность полупроводника и частиц металлов [6, 7]. В случае системы  $TiO_2$ -частицы  $Ag$  селективность процесса электрохимического осаждения металла, выражаясь в изменении кинетики процесса и снижении перенапряжения по сравнению с осаждением на пленках  $TiO_2$  без серебра, может быть обусловлена особенностями взаимодействия частиц  $Ag$  с пленкой  $TiO_2$ . Предыдущие исследования в основном касались электро- и фотоэлектрохимических характеристик указанной системы [8], и состоя-

ние серебра на поверхности  $TiO_2$  оставалось невыясненным. Комплексное использование электрохимических методик, электронной микроскопии (ЭМ) и рентгеновской фотоэлектронной спектроскопии (РФЭС) позволило нам более детально изучить особенности состояния частиц в электрохимически активной системе  $Ag-TiO_2$ , в которой присутствие частиц серебра или облучение создают условия для избирательного электроосаждения металла на поверхность.

### ЭКСПЕРИМЕНТАЛЬНАЯ ЧАСТЬ

Пленки  $TiO_2$  получали на поверхности металлического титана гидролизом раствора поливинилтитаната с последующим прогревом полученной аморфной пленки при температуре 450 - 500°C в течение 1 ч, приводящим к формированию поликристаллической пленки  $TiO_2$  анатазной модификации. Электрохимическое осаждение серебра на поверхность  $Ti-TiO_2$ -электродов проводили из раствора, содержащего  $AgNO_3$  с концентрацией  $10^{-5} - 10^{-3}$  моль/л (фоновый электролит — раствор  $KNO_3$  концентрации 0.25 моль/л). Все электрохимические эксперименты с  $TiO_2$ -электродами проводили на воздухе при температуре 293 К. Спектры РФЭС записывали на электронном спектрометре ЭС 2401 с использованием магниевого источника рентгеновского излучения ( $h\nu = 1253.6$  эВ). Для калибровки спектров использовали линию 1s углерода с энергией связи 284.6 эВ [9].

### ОБСУЖДЕНИЕ РЕЗУЛЬТАТОВ

Присутствие серебра на поверхности пленок  $TiO_2$  регистрируется при анодной поляризации электродов по пикам тока окисления как непосредственно после катодного осаждения расчетного

количества серебра, так и через длительное (несколько суток) время хранения таких электродов на воздухе при комнатной температуре (рис. 1). Потенциалы окисления частиц электроосажденного Ag смешены в отрицательную сторону по сравнению с потенциалом окисления массивного серебра (+0.6 В, относительно насыщенного хлорсеребряного электрода (х. с. э.)): от +450 мВ при содержании серебра  $10^{14}$  ат/см $^2$  до +500 мВ – при  $10^{16}$  ат/см $^2$ . Это, очевидно, связано с известным размерным эффектом для редокс-потенциалов малых частиц металлов [10], и указанные величины потенциалов могут дать оценку размеров частиц, которые в зависимости от содержания на поверхности серебра составляют 10 - 50 нм, что согласуется с ЭМ-данными. Кулонометрический расчет количества восстановляемого серебра показывает, что выход по току при его осаждении близок к 100% на этом типе электродов, в то время как количество электричества, соответствующего пикам окисления, значительно меньше, чем необходимо для окисления всего осажденного серебра.

Согласно результатам ЭМ-исследования, в процессе гальваностатического осаждения серебра на поверхность поликристаллической пленки  $\text{TiO}_2$  первоначально образуются частицы минимально различимого с помощью ЭМ размера (10 нм и менее) с концентрацией  $10^{10} - 10^{11}$  см $^{-2}$  и небольшое количество ( $10^8$  см $^{-2}$ ) частиц с размерами 20 - 100 нм (рис. 2а). На последующих стадиях осаждения, которое проводили при постоянной плотности тока, доля малых частиц уменьшается, но при количестве серебра  $10^{15}$  ат/см $^2$  общая концентрация частиц остается довольно высокой (до  $10^{10}$  см $^{-2}$ ) (рис. 2б). При дальнейшем осаждении (содержание серебра  $10^{16}$  ат/см $^2$ ) концентрация частиц увеличивается, но уже преобладающими становятся частицы с размерами 20 - 100 нм (рис. 2в).

РФЭС-спектры  $\text{TiO}_2$ -электродов, не содержащих осажденного серебра и содержащих различное его количество, приведены на рис. 3. Видно, что на поверхности образцов в основном присутствуют атомы Ti и O в виде  $\text{TiO}_2$  (энергия связи  $E_{\text{cb}} = 458.1 \pm 0.1$  и  $529.2 \pm 0.1$  эВ соответственно для  $2p$ - и  $1s$ -состояний атомов Ti и O). Пик кислорода имеет асимметричную форму, что можно приписать присутствию на поверхности гидроксильных групп и адсорбированных молекул  $\text{O}_2$  и  $\text{H}_2\text{O}$  ( $E_{\text{cb}} = 530.8 \pm 0.1$  и  $531.5 \pm 0.1$  эВ для  $1s$ -состояния атома O). После ионной очистки поверхностного слоя на глубину 1 - 2 нм (спектр б на рис. 3) сигналы от адсорбированных из воздуха молекул  $\text{O}_2$  и  $\text{H}_2\text{O}$  полностью исчезают. Для образцов, не содержащих серебро и содержащих его в малых количествах, частичная асимметрия пика, сохраняющаяся и после ионной очистки, может быть связана с гидроксильными группами на поверхности пленки  $\text{TiO}_2$ , а сигнал  $1s$ -электронов углерода,

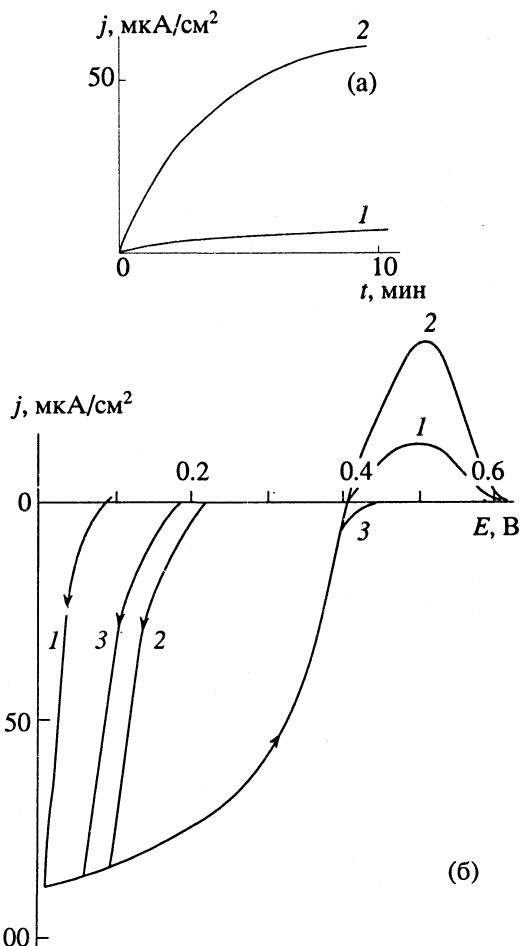


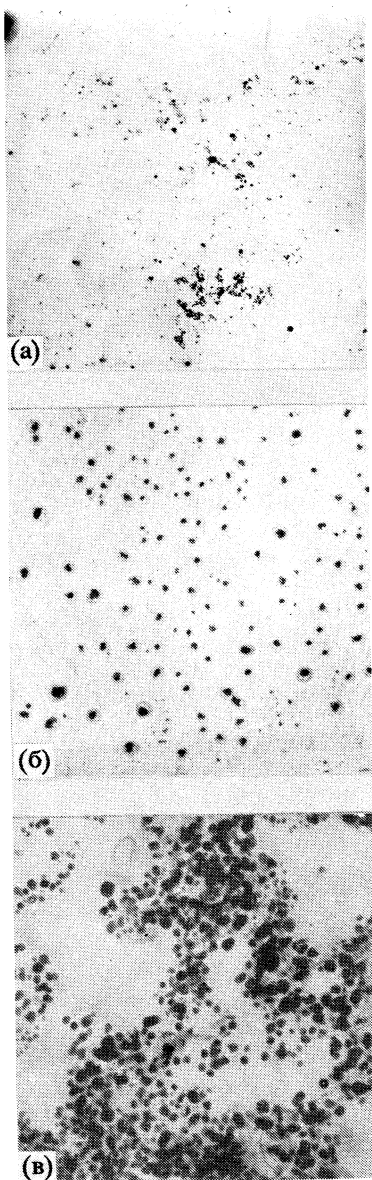
Рис. 1. Кинетические кривые последующего осаждения серебра на немодифицированных (1) и модифицированных (2) пленках  $\text{TiO}_2$  (а) и потенциодинамические кривые процессов осаждения и последующего окисления серебра на поверхности пленочных  $\text{TiO}_2$ -электродов: 1 – немодифицированных, 2 – модифицированных серебром при его содержании  $10^{15}$  ат/см $^2$ , 3 – таких же, модифицированных после обработки в  $\text{HNO}_3$ .

который сохраняется и после травления, по-видимому, обусловлен остатками органических соединений, присутствующих в пленке после получения ее гидролитическим способом.

На электродах, модифицированных серебром ( $10^{15} - 10^{16}$  ат/см $^2$ ), регистрируется линия серебра в  $3d_{5/2}$ -состоянии с несколькими значениями  $E_{\text{cb}}$  (рис. 3б и 3в), параметры спектра которой практически не изменяются в результате кратковременной ионной очистки поверхности. На образцах при содержании серебра  $10^{15}$  ат/см $^2$  наблюдается довольно слабый сигнал  $3d_{5/2}$ -формы серебра с  $E_{\text{cb}} = 367.2 \pm 0.1$  эВ (рис. 3б), а при большем количестве серебра интенсивность сигнала достаточна для отнесения к нескольким формам серебра с различным относительным содержанием. При осаждении серебра в количестве  $10^{14}$  ат/см $^2$  и меньше на поверхность  $\text{TiO}_2$ -пленки

РФЭС-спектр для Ag записать не удается, хотя методом ЭМ фиксируются мелкие частицы (рис. 2а) размером 5 - 20 нм.

Следует заметить, что в РФЭС-исследованиях серебра, находящегося в ультрадисперсном состоянии в матрице  $\text{TiO}_2$  (а также ей подобной  $\text{SiO}_2$ ), отмечались [11 - 13] как положительные, так и отрицательные химические сдвиги  $E_{\text{cb}}$ , причем, если первые довольно отчетливо интерпретировались за счет размерного эффекта при изучении зависимости  $\Delta E_{\text{cb}}$  от количества введенного металла, то отрицательные относились к сильному взаимодействию с матрицей. В нашем случае для Ag также имеют место положительные и отрицательные химические сдвиги  $E_{\text{cb}}$  (рис. 3в).



**Рис. 2.** ЭМ-снимки поверхности пленок  $\text{TiO}_2$ , содержащих различное количество электроосажденного серебра:  $10^{14}$  (а),  $10^{15}$  (б),  $10^{16}$  ат/см<sup>2</sup> (в).

Положительные ( $E_{\text{cb}} = 368.4 \pm 0.1$  эВ) не показаны на рис. 3 и исчезают после ионной очистки поверхности образца. Их можно связать с процессом окисления поверхности частиц серебра, так как во время экспериментов не исключался контакт образцов с кислородом воздуха. Отрицательные химические сдвиги ( $E_{\text{cb}} = 367.7 \pm 0.1$  и  $366.4 \pm 0.1$  эВ) могут свидетельствовать о том, что Ag присутствует на поверхности не только в виде металла с нулевой степенью окисления ( $\Delta E_{\text{cb}} = 0$ ), но и взаимодействует с поверхностью в рассматриваемых пленках ( $\Delta E_{\text{cb}} < 0$ ).

Изучаемые пленки, по-видимому, можно отнести к разряду систем, для которых свойственно сильное взаимодействие металл-носитель [5]. Часто наблюдающийся для подобных систем размерный эффект, который обычно приводит к увеличению  $E_{\text{cb}}$  [14, 15], здесь практически не проявляется из-за достаточно больших размеров частиц. Так, при содержании серебра  $10^{16}$  ат/см<sup>2</sup> размер осажденных частиц Ag составляет 20 - 100 нм. Для таких частиц энергетические характеристики практически совпадают с величиной  $E_{\text{cb}}$  для массивного металлического серебра. Наблюдаемые существенные смещения в сторону меньших значений  $E_{\text{cb}}$  по сравнению с положением пика для массивного серебра ( $E_{\text{cb}} = 367.7$  и  $366.4$  эВ) могут быть вызваны особенностями взаимодействия Ag с поверхностью, например, с кислородом  $\text{OH}^-$ -групп, наличие которых на поверхности пленок  $\text{TiO}_2$  известно [16]. Подтверждением взаимодействия электрохимически осаждаемых частиц Ag с  $\text{TiO}_2$  посредством поверхностных  $\text{OH}^-$ -групп может служить изменение формы пика  $1s$ -состояния кислорода для образца с большим содержанием Ag (рис. 3в) и усложнение структуры пиков титана  $2p_{3/2}$ -состояния. Однако возможные сигналы от иных валентных состояний Ti, например  $\text{Ti(III)}$ , об образовании которого в других системах металл-оксид сообщалось в работе [5], отсутствуют.

Отрицательное смещение величины  $E_{\text{cb}}$  может быть следствием энергетической близости между уровнем серебра  $3d_{5/2}$  [15, 17] и дном  $p$ -зоны  $\text{TiO}_2$  [18] в области 4 - 6 эВ, приводящим к перераспределению электронной плотности. Этот эффект подобен наблюдавшемуся в работах [12, 19] значительному отрицательному сдвигу (0.5 - 1.4 эВ) величины  $E_{\text{cb}}$  для Au и Pd на полупроводниках InP и Te соответственно. Из результатов исследования пленочных систем Ag-TiO<sub>2</sub> методом электроотражения [8] также следует факт значительного перераспределения электронной плотности между валентными зонами Ag и  $\text{TiO}_2$  из-за взаимодействия частиц серебра с диоксидом титана, приводящего к формированию поверхностных состояний с различной глубиной залегания в запрещенной зоне  $\text{TiO}_2$ .

На основании сопоставления интенсивностей пиков на РФЭС-спектре (рис. 3в) можно заключить, что количество серебра, взаимодействующего с

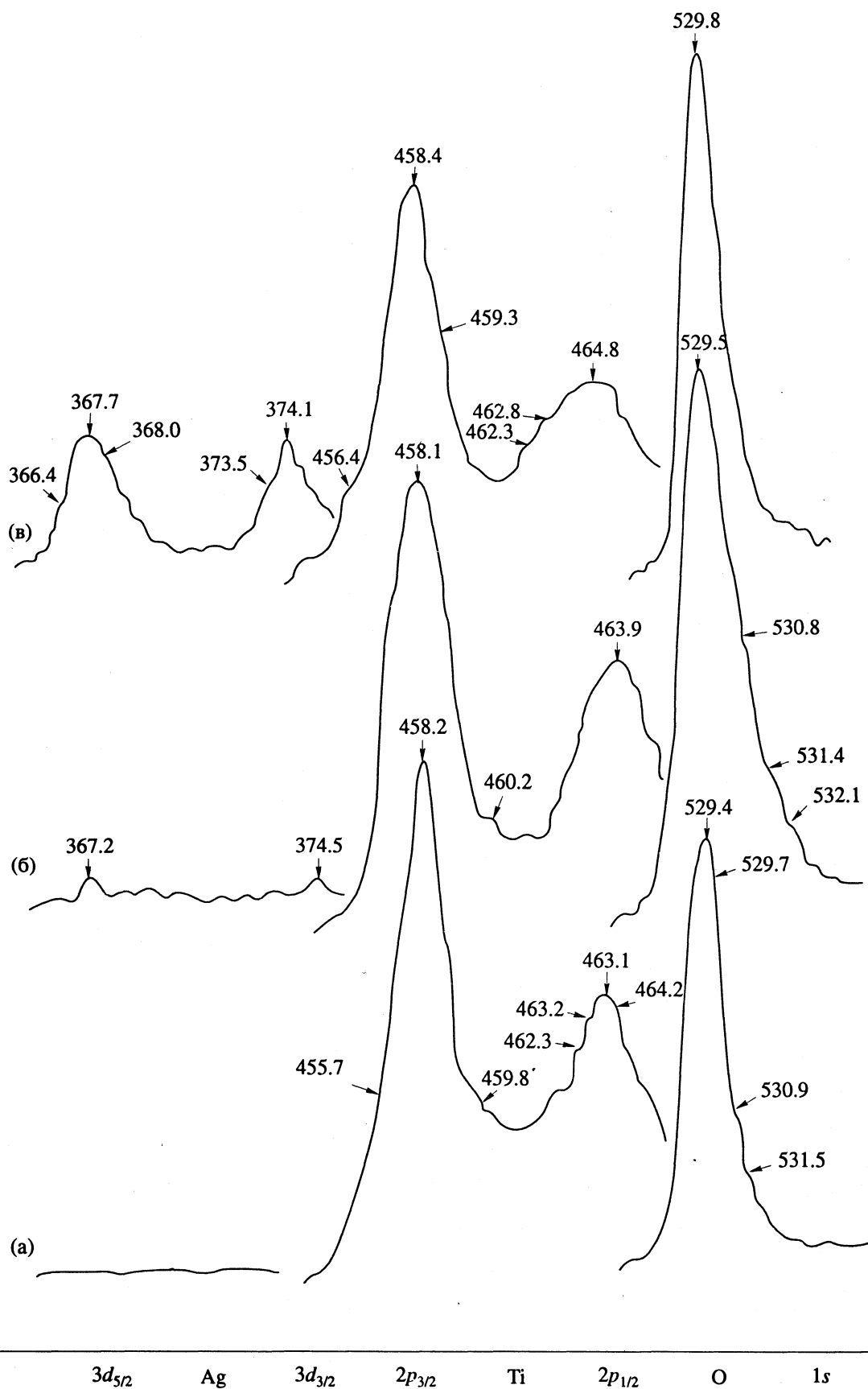


Рис. 3. РФЭС-спектры пленок  $\text{TiO}_2$ , немодифицированных (а) и модифицированных электроосажденным серебром в количестве  $10^{15}$  (б) и  $10^{16}$  ат/ $\text{cm}^2$  (в).

поверхностью, в 1.5 - 2 раза больше, чем Ag(0) (см. ниже). При меньшем содержании серебра также наблюдается значительное отрицательное смещение  $E_{\text{cb}}$  (рис. 3б и 3в). В целом, относительно небольшая интенсивность сигналов для  $3d_{5/2}$ -состояния серебра может быть вызвана известным фактом развитости поверхности изучаемых  $\text{TiO}_2$ -пленок [20], в результате чего значительная часть серебра может не проявляться на РФЭС-спектре.

При анодном окислении электроосажденного серебра также проявляется специфический характер взаимодействия частиц металла с подложкой. Так как часть серебра восстанавливается за счет бестокового осаждения путем окисления донорных дефектов и примесей в пленке оксида [8], то при электрохимическом окислении только такого типа частицы Ag переходят в раствор, а серебро, осажденное на бездефектной поверхности, не окисляется при потенциалах окисления малых частиц серебра из-за промежуточного пограничного слоя (рис. 1). При повторном цикле поляризации пик анодного тока окисления может исчезать полностью (при нормальном катодном осаждении), так как уже в первом цикле все частицы, осажденные на дефектах, окислились. Это может служить объяснением несоответствия количества серебра, осажденного при катодной поляризации и окисленного в анодном процессе, рассчитанного на основании поляризационных кривых. Прочность связи частиц Ag с поверхностью  $\text{TiO}_2$  подтверждается также и тем, что после травления концентрированной  $\text{HNO}_3$  на поверхности фиксируются остатки Ag, и последующее электрохимическое осаждение металлической фазы происходит с меньшим перенапряжением (рис. 1).

В целом, можно выделить три формы существования серебра в данной системе: сильно взаимодействующие с подложкой частицы (либо поверхностные области частиц, контактирующих с  $\text{TiO}_2$ ), Ag(I) – окисленное (в основном кислородом) серебро и Ag(0) – слабо взаимодействующее с подложкой и не имеющее непосредственного электрического контакта с электродом. Можно предположить, что стабильность системы Ag– $\text{TiO}_2$  обусловлена сильным взаимодействием серебра с подложкой. Такое состояние серебра на поверхности, по-видимому, и является ответственным за специфику электрохимического и фотоэлектрохимического поведения системы Ag– $\text{TiO}_2$ .

Таким образом, на основании полученных результатов и литературных данных можно предложить следующее описание исследуемой системы  $\text{TiO}_2$ –Ag, для которой характерен эффект избирательного электроосаждения металла из раствора. Диоксид титана представляет собой достаточно однородную поликристаллическую пленку. Частицы Ag с размерами 5 - 100 нм (в зависимости от условий получения большинство частиц имеют размеры в более узких пределах) равномерно распределены по поверхности

пленки. Имеет место значительное взаимодействие частиц Ag с поверхностью пленки  $\text{TiO}_2$ , что и обуславливает высокую эффективность протекания электрохимических процессов, и в частности избирательное электроосаждение Ag. Указанные особенности состояния серебра в системе  $\text{TiO}_2$ –Ag могут обеспечивать ее специфическое поведение в процессах осаждения и возможность создания металлических пленок заданной конфигурации.

Авторы выражают благодарность В.В. Свиридову за обсуждение результатов и полезные замечания.

Данная работа выполнена при частичном финансировании Фонда фундаментальных исследований Республики Беларусь.

## СПИСОК ЛИТЕРАТУРЫ

- Химическое осаждение металлов из водных растворов / Под ред. В.В. Свиридова. Минск: Университетское, 1987. 270 с.
- Стрельцов Е.А., Свиридов В.В., Лаборевич И.И. // Докл. АН Беларуси. 1992. Т. 36. № 2. С. 132.
- Порошков В.П., Гурин В.С. // Актуальные вопросы современной химии. Тез. докл. II респ. конф. Минск. 1991. С. 47.
- Порошков В.П., Гурин В.С., Кунцевич Н.И. // Применение электронной микроскопии в науке и технике. Тез. докл. III респ. научно-техн. конф. Минск 29 - 30 окт. 1991 г. Минск, 1991. С. 41.
- Алексеев О.С., Рынднин Ю.А. // Успехи химии. 1992. Т. 61. № 4. С. 765.
- Poppe H. // Thin Solid Films. 1976. V. 37. № 1. P. 43.
- Parmigiani F., Kay E., Bagus P.S. // J. Electron Spectroscopy and Related Phenomena. 1990. V. 50. № 1/2. P. 39.
- Кулак А.И. Электрохимия полупроводниковых гетероструктур. Минск: Университетское, 1986. С. 191.
- Нефедов В.И. Рентгено-электронная спектроскопия химических соединений. М.: Химия, 1984. С. 136.
- Plieth W.J. // J. Phys. Chem. 1982. V. 86. № 16. P. 3166.
- Bastl Z. // Известия по Химии (Болгарской АН). 1989. V. 22. № 2. P. 173.
- Kohiki S., Ikeda S. // Phys. Rev. B. 1986. V. 34. № 6. P. 3786.
- Wertheim G.K., Di Cenzo S.B. // Ibid. 1988. V. 37. № 2. P. 844.
- Di Cenzo S.B., Wertheim G.K. // Comments Solid State Phys. 1985. V. 11. № 5. P. 203.
- Apai G., Lee S.-T., Mason M.G. // Solid State Communication. 1981. V. 37. № 3. P. 213.
- Василевская Е.И., Порошков В.П., Кунцевич Н.И., Свиридов В.В. // Журн. физ. химии. 1991. Т. 65. № 1. С. 227.
- Wertheim G.K., Di Cenzo S.B., Buchanan D.N.E. // Phys. Rev. B. 1986. V. 33. № 8. P. 5384.
- Губанов В.А., Ивановский А.Л., Рыжков М.В. Квантовая химия в материаловедении. М.: Наука, 1987. С. 137.
- Mason M.G. // Phys. Rev. B. 1983. V. 27. № 2. P. 748.
- Свиридов В.В., Соколов В.Г., Браницкий Г.А. // J. Signalaufz. - Mater. 1984. Т. 12. № 4. С. 211.

ФИЗИЧЕСКАЯ ХИМИЯ  
ПОВЕРХНОСТНЫХ ЯВЛЕНИЙ

УДК 541.183

ИССЛЕДОВАНИЕ ВЗАИМОДЕЙСТВИЯ ХЛОРБЕНЗОЛОВ  
С ПОВЕРХНОСТЬЮ CuO МЕТОДОМ ИК-СПЕКТРОСКОПИИ

© 1993 г. А. А. Давыдов

Российская академия наук, Сибирское отделение, Институт катализа, Новосибирск

Поступила в редакцию 31.08.92 г.

Установлено, что при адсорбции хлорбензола и дихлорбензолов на CuO происходит образование фенолятных поверхностных соединений за счет гетеролитической диссоциации C–Cl-связи. При повышенных температурах взаимодействия и в присутствии кислорода в газовой фазе показано формирование более окисленных структур, содержащих COO<sup>-</sup>-группы и образующихся при раскрытии кольца. Образование такого типа соединений подтверждено ИК-спектрами адсорбированного малеинового ангидрида. Обсужден характер превращения хлорбензолов на поверхности CuO, проведено сравнение с процессами, имеющими место на ванадийсодержащих катализаторах их парциального превращения.

Характер активности углеводородов и направление их превращений, как было показано на примере олефинов [1], определяются типом катализатора. По-видимому, эти закономерности должны сохраняться и в случае превращения более сложных молекул. Ранее нами было изучено взаимодействие хлорбензолов с поверхностью ванадийсодержащего оксидного катализатора, являющегося селективным катализатором превращения хлорбензолов в хлормалеиновый ангидрид [2, 3]. С применением метода ИК-спектроскопии было прослежено превращение исходных молекул на поверхности в продукты парциального окисления. По-видимому, характер активации хлорбензолов в случае катализаторов полного окисления должен отличаться. Поэтому для сравнения характера их активации на катализаторах парциального и полного окисления, выяснения строения и свойств поверхностных соединений, образующихся при взаимодействии хлорбензолов с катализаторами их полного окисления, в данной работе были изучены ИК-спектроскопические проявления взаимодействия хлорбензолов с оксидом меди, являющимся одним из наиболее активных катализаторов полного окисления [4].

ЭКСПЕРИМЕНТАЛЬНАЯ ЧАСТЬ

Исследования проводили на образце CuO (~10 м<sup>2</sup>/г), приготовленном по методике [5] и представлявшем собой таблетку площадью 3.5 см<sup>2</sup> и массой 50 мг. Инфракрасные спектры регистрировали на спектрометре UR-20 при комнатной температуре в специальной кювете, позволяющей осуществлять обработку образца в вакууме и кислороде при повышенных температурах вплоть до 773 К, проводить адсорбцию и десорб-

цию газов и паров и регистрацию спектров с компенсацией газовой фазы адсорбата. Для получения окисленной поверхности образец прогревали в кислороде при 673 К в течение 0.5 ч с последующим вакуумированием при комнатной температуре.

Адсорбаты были хроматографической чистоты и перед адсорбцией подвергались фракционированной дистилляции в вакууме.

ОБСУЖДЕНИЕ РЕЗУЛЬТАТОВ

Как видно из рис. 1 (спектр 2), уже при 353 К и времени контакта ~7 мин в спектре хлорбензола, адсорбированного на CuO, наблюдается появление интенсивных полос поглощения (п. п.) 1170, ~1260, 1485 и 1590 см<sup>-1</sup>. Эти полосы, но малой интенсивности, проявляются в спектре и при 293 К. Увеличение времени контакта приводит к некоторому росту интенсивности всех указанных п. п.

Взаимодействие при 373 К (спектр 3) мало изменяет вид спектра, тогда как увеличение температуры взаимодействия до 473 К (спектр 4) вызывает появление двух новых интенсивных п. п. 1430 и 1550 см<sup>-1</sup>, а также слабого поглощения при 1660 см<sup>-1</sup>.

Анализ изменений полученных спектров в процессах адсорбции и десорбции показывает, что первоначально наблюдаемые (при низких температурах адсорбции) п. п. изменяются согласованно. Это может свидетельствовать о принадлежности обсуждаемых п. п. одному и тому же типу поверхностного соединения.

Отнесение узких и достаточно интенсивных п. п. 1485 и 1590 см<sup>-1</sup> к колебаниям кольца не вызывает сомнений. В то же время сопоставление наблюданного нами спектра со спектром

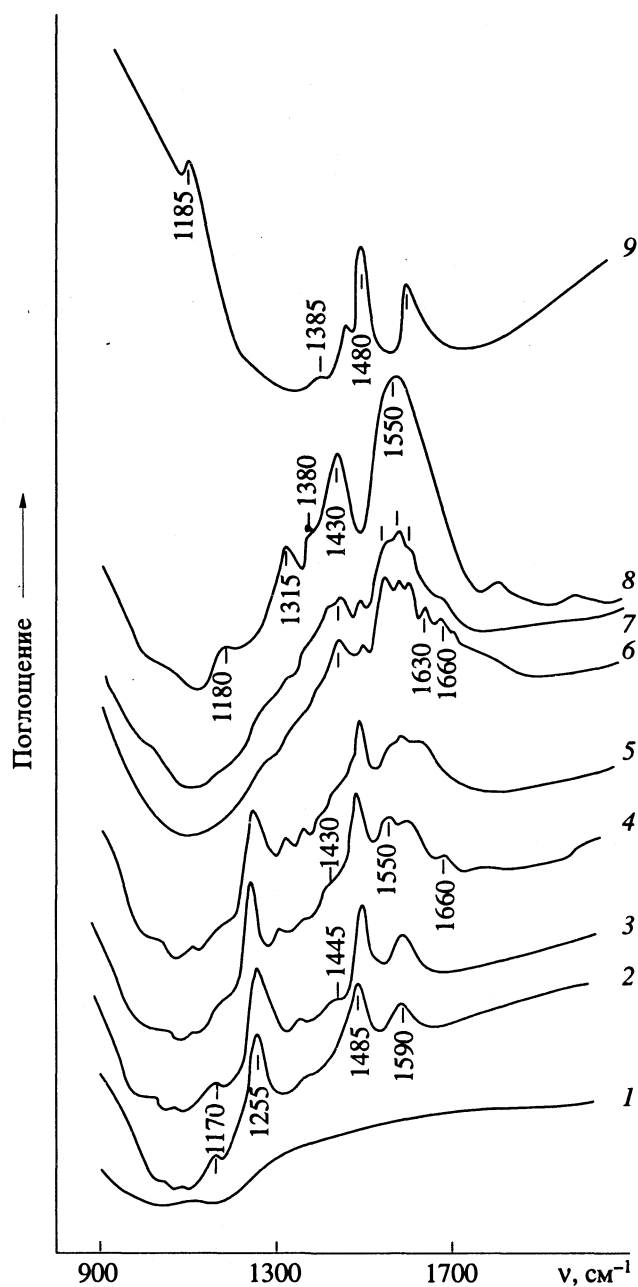


Рис. 1. ИК-спектры окисленного образца CuO (1), после адсорбции хлорбензола при 353 (2), 373 (3), 473 К (4), последующего напуска  $O_2$  при 293 К (5) и прогрева при 473 К в течение 1.5 (6) и 30 мин (7); 8 – ИК-спектр маленинового ангидрида, адсорбированного при 293 К на CuO; 9 – ИК-спектр хлорбензола, адсорбированного при 293 К на  $V_2O_5/Al_2O_3$ .

хлорбензола, адсорбированного в виде  $\pi$ -комплекса на  $V_2O_5/Al_2O_3$ <sup>1</sup> (рис. 1, спектр 9) [2] и спектром индивидуального хлорбензола [6] указывает на существенные различия в характере адсорбции хлорбензола на CuO по сравнению с  $V_2O_5/Al_2O_3$ . Наблюдаются существенные отли-

чия и от спектра индивидуального хлорбензола. Так, в спектре хлорбензола, адсорбированного на CuO, отсутствует характерная для индивидуального хлорбензола и его  $\pi$ -комплекса п. п.  $\sim 1080\text{ cm}^{-1}$ , отнесенная к колебаниям связи C–Cl, [2, 3] и присутствует интенсивная п. п.  $1260\text{ cm}^{-1}$ , не появляющаяся как в спектре индивидуального хлорбензола [6], так и в спектре его  $\pi$ -комплекса (ср. спектры 2 и 9 рис. 1).

Отсутствие в спектре хлорбензола, адсорбированного на CuO, п. п.  $\sim 1080\text{ cm}^{-1}$  (спектр 2), характерной для спектра индивидуального хлорбензола<sup>2</sup>, может указывать на то, что при адсорбции хлорбензола происходит либо разрыв, либо существенное ослабление связи C–Cl. Последнее, как известно, должно приводить к сдвигу в низкочастотную область п. п., характеризующей эту связь.

Анализ положения п. п.  $1260\text{ cm}^{-1}$ , появляющейся в спектре адсорбированного на CuO хлорбензола, по таблицам характеристических колебаний [7, 8] позволяет отнести эту полосу к  $\nu_{C-O}$ .

Учитывая согласованное изменение всех рассмотренных выше п. п., указывающее на их принадлежность к одному типу поверхностного соединения, можно предположить, что на поверхности CuO при адсорбции хлорбензола образуется фенолятный комплекс типа  $Cu-O-C-\text{C}_6H_5$ , и п. п.  $1260\text{ cm}^{-1}$  характеризует  $\nu_{CO}$ , п. п.  $1485$  и  $1590\text{ cm}^{-1}$  –  $\nu_{CCC}$  кольца, а п. п.  $1445\text{ cm}^{-1}$  –  $\delta_{CH}$  в этом поверхностном соединении.

Для проверки этого предположения были поставлены специальные эксперименты по изучению ИК-спектров адсорбированного на CuO фенола. В результате была установлена практически полная идентичность спектра фенола, адсорбированного при 293 К на CuO (давление 0.01 мм рт. ст.) спектру 2, наблюдаемому после адсорбции хлорбензола на этом же катализаторе, и спектру фенолята меди [9].

Таким образом, полученные данные свидетельствуют о том, что при низких температурах адсорбция хлорбензола на CuO протекает диссоциативно по гетеролитическому механизму с разрывом C–Cl-связи и образованием поверхностного фенолята. Характер образующегося фрагмента указывает на тип частиц, образующихся при разрыве C–Cl-связи: очевидно, отщепляется  $Cl^-$ , а на углеродном фрагменте сохраняется положительный заряд, что и ведет к его взаимодействию с кислородом поверхности ( $O^{2-}$ ) с образованием фенолята.

Взаимодействие при 473 К вызывает окисление части поверхностных фенолятов. На это

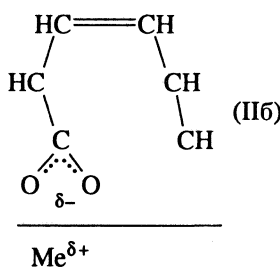
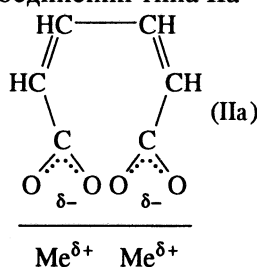
<sup>2</sup> В случае CuO наблюдение за указанной областью не представляет труда, так как CuO не имеет в ней собственного поглощения в отличие от большинства других оксидов, и в частности от  $V_2O_5$ .

<sup>1</sup> Наблюдаемый в этом случае спектр близок к спектру индивидуального хлорбензола.

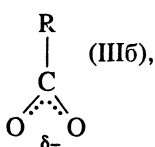
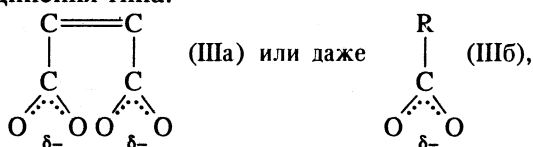
указывает снижение интенсивности п. п., связанных с колебаниями кольца в феноляте, и сужение п. п.  $\nu_{C-O}$  (рис. 1, спектр 4). Последнее, на наш взгляд, может свидетельствовать о присутствии на поверхности нескольких типов фенолятов, различающихся прочностью связи C—O (очевидно, за счет наличия на поверхности оксида кислорода, отличающегося по свойствам), что и отражается в неоднородности п. п.  $\sim 1260 \text{ см}^{-1}$ .

На протекание реакции окисления указывает и появление интенсивных п. п.  $\sim 1430$  и  $1550 \text{ см}^{-1}$ , принадлежащих к  $\nu_s$  и  $\nu_{as}$  COO<sup>-</sup> в структуре типа R—COO<sup>-</sup> в свете многочисленных работ по ИК-спектроскопическому изучению взаимодействия различных углеводородов с оксидами [1, 9] не вызывает сомнений. Образование такой структуры из фенолята нельзя представить, не рассмотрев раскрытия кольца. По-видимому, увеличение подвижности кислорода оксида меди, приводящее при повышении температуры взаимодействия до 473 К, приводит к увеличению количества реакционноспособного кислорода на поверхности оксида. В результате этого становится возможным доокисление фенолятов с раскрытием кольца.

Появление указанных п. п. свидетельствует лишь об образовании групп —COO<sup>-</sup>. Детальное строение образующихся поверхностных соединений на основании приведенных данных представить не просто. Наиболее вероятно (и это предполагается в большинстве имеющихся в настоящее время исследований по окислению ароматических соединений), что окислению подвергаются оба конца фрагмента, образовавшегося при расщеплении бензольного кольца: с образованием соединений типа IIa



Действительно, существование стабильного соединения типа IIb предположить достаточно сложно, поскольку наличие реакционноспособного центра ·CH должно приводить к его взаимодействию с поверхностью оксида. Однако, нельзя исключить и протекания на поверхности значительно более глубокой деструкции цикла, например, с выделением молекул CO<sub>2</sub> и образованием соединений типа:



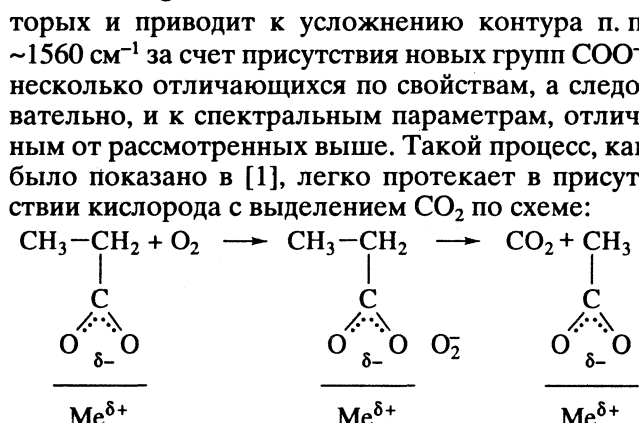
где R – любой простой фрагмент кроме H, например, CH<sub>3</sub> и т.д.

Как уже указывалось, к сожалению, полученные экспериментальные результаты не позволяют представить детальное строение соединения, включающего группы  $\text{C}=\text{O}$ , и определить, сколько этих групп входит в состав соединения. Полученные спектры не исключают возможности присутствия в обсуждаемом поверхностном соединении C=C-связи, так как поглощение в области  $1580 - 1620 \text{ см}^{-1}$ , где они проявляются, характерно для полученных нами спектров.

Следует отметить, что п. п.  $\sim 1550 \text{ см}^{-1}$ , характеризующаяся  $\nu_{as}$  COO<sup>-</sup>, является сложной: можно выделить, как минимум, три компоненты. Очевидно, это связано с наложением максимумов  $\nu_{as}$  COO<sup>-</sup> от нескольких отличающихся структур и указывает на одновременное образование нескольких различающихся групп COO<sup>-</sup>, которые могут находиться как в одной структуре (типа IIa), так и в различающихся (III).

Особенно сложный контур п. п. в области  $\sim 1560 \text{ см}^{-1}$  наблюдается после обработки образца с адсорбированным на CuO хлорбензолом в атмосфере кислорода при 200°C (спектр 6). Очевидно, что в присутствии кислорода, наряду с облегчением процесса образования структур типа II, наблюдается и дальнейший процесс доокисления этих соединений до более простых фрагментов

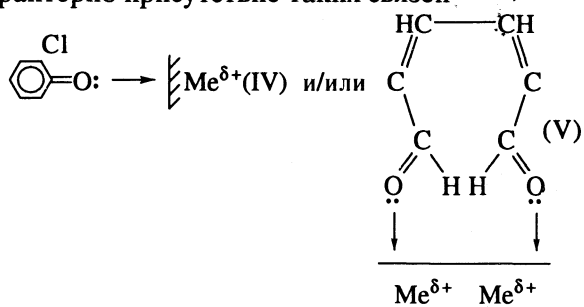
типа R—C=O, где R = C<sub>2</sub>H<sub>5</sub>, CH<sub>3</sub>, образование которых и приводит к усложнению контура п. п.  $\sim 1560 \text{ см}^{-1}$  за счет присутствия новых групп COO<sup>-</sup>, несколько отличающихся по свойствам, а следовательно, и к спектральным параметрам, отличным от рассмотренных выше. Такой процесс, как было показано в [1], легко протекает в присутствии кислорода с выделением CO<sub>2</sub> по схеме:



На протекание такого процесса указывает, в частности, упрощение спектра в этой области при увеличении времени прогрева образца при 473 K (спектр 7). Очевидное уменьшение числа компонент, из которых состоит п. п.  $\sim 1550 - 1560 \text{ см}^{-1}$ , связано с тем, что число отличающихся групп (за счет присутствия нескольких типов соединений, содержащих такие группы), несомненно, уменьшается за счет протекания процессов их доокисления и преимущественного образования более простых фрагментов R—COO<sup>-</sup>.

Весьма сложно точно ответить и на вопрос, из какого соединения образуется комплекс типа IIa,

содержащий  $\text{COO}^-$ -группы. Хотя в спектрах и наблюдается уменьшение концентрации поверхностных фенолятов, протекающее одновременно с образованием соединения типа III, сделать однозначное заключение о его формировании из фенолятов все же нельзя, так как одновременно в спектрах появляется хотя и слабая, но вполне отчетливая п. п.  $\sim 1660 \text{ cm}^{-1}$ , которая может принадлежать  $\nu_{\text{C=O}}$  в соединениях альдегидоподобного типа [1, 10]. Имеющихся данных недостаточно для установления типа соединения, характеризующегося данной п. п., поскольку полоса  $\sim 1660 \text{ cm}^{-1}$  имеет низкую интенсивность, а другие п. п., характеризующие это соединение, очевидно, накладываются на спектры соединений IIIa и IIIb. Однако, наличие п. п.  $\sim 1660 \text{ cm}^{-1}$  не исключает возможности ее отнесения к малоокисленным структурам хлорбензола типа IV, V, для которых характерно присутствие таких связей



Учитывая возможность образования этих структур при сравнительно "мягких" условиях, можно полагать или, по крайней мере, нельзя исключить, что именно из них образуется соединение типа II.

Повышение температуры взаимодействия хлорбензола с  $\text{CuO}$  до 473 К в присутствии кислорода в газовой фазе позволяет проследить практически полное превращение фенолята в окисленные соединения типа IIIa и/или IIIb (рис. 1, спектр 6). При увеличении времени контакта системы с кислородом при 473 К (рис. 1, спектр 7) прослеживается и превращение соединения IV и/или V в соединения типа III. При этом следует отметить, что спектр соединения III практически идентичен спектру соединения, образующегося в результате взаимодействия малеинового ангидрида с поверхностью  $\text{CuO}$  (рис. 1, спектр 8). Не вызывает сомнений, что при адсорбции на  $\text{CuO}$  малеинового ангидрида легко формируются две группы, аналогичные присутствующим в соединении типа III:

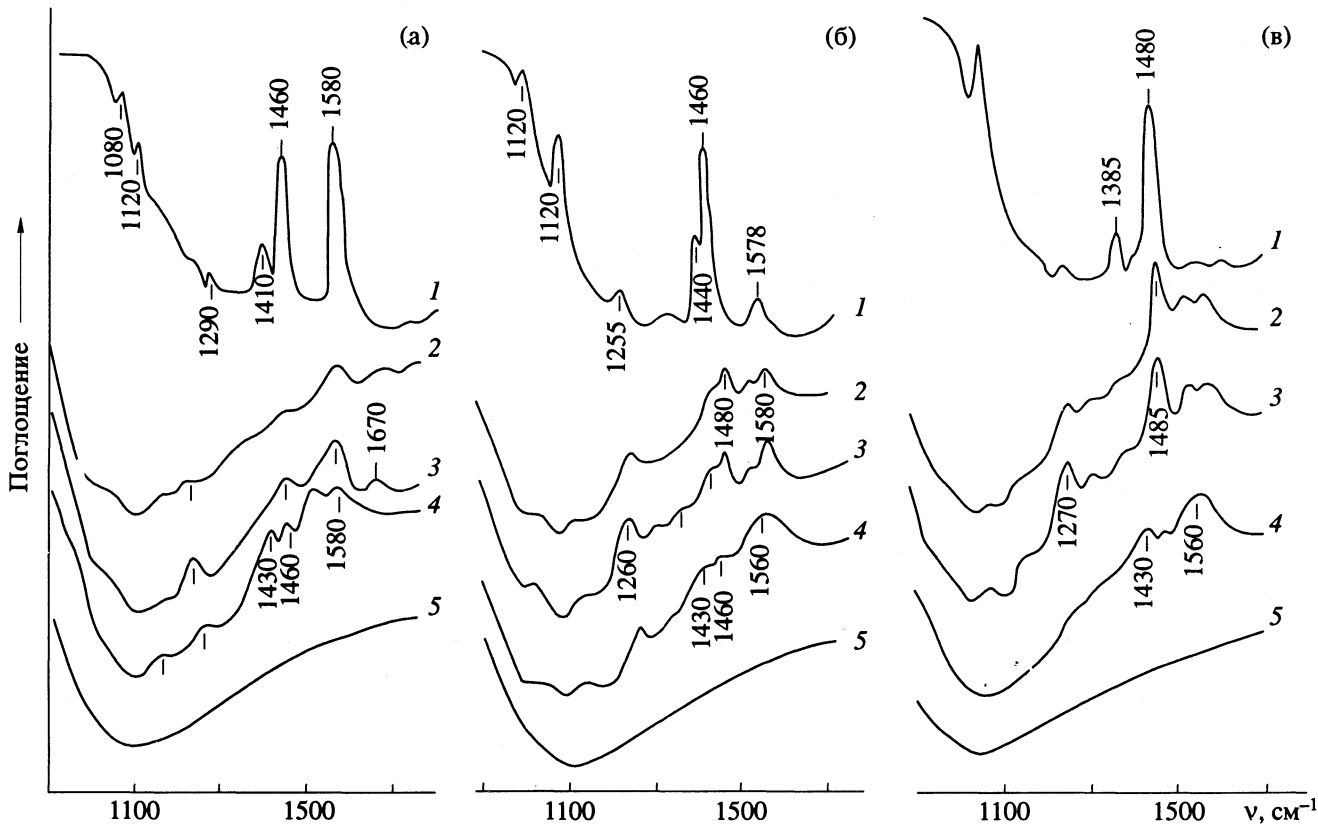
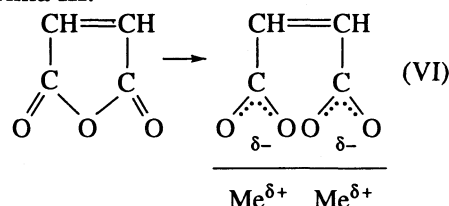


Рис. 2. ИК-спектры *m*- (а), *o*- (б) и *p*-дихлорбензола (в), адсорбированных на  $\text{V}_2\text{O}_5/\text{Al}_2\text{O}_3$  при 293 К (1) и на  $\text{CuO}$  при 293 (2), 373 (3) и 473 К (4); 5 – спектр фона окисленного  $\text{CuO}$ .

Однако спектральных особенностей, позволяющих провести различие между соединениями типа IIa и III, на наш взгляд, нет, а значит, и нет возможности установить по имеющимся данным детальное строение соединения типа IIa.

Наличие относительно слабой по интенсивности п. п.  $\sim 1790 \text{ см}^{-1}$  в ИК-спектре МА, адсорбированного при 293 К, очевидно, обусловлено присутствием на поверхности некоторого количества неокисленного МА, поскольку близкая п. п. характерна для  $\nu_{\text{C}-\text{O}}$  в индивидуальном МА.

Как показывает анализ спектров дихлорбензолов, адсорбированных на оксида меди (рис. 2), общие закономерности их комплексообразования и превращений сохраняются такими же, как было описано выше для хлорбензола. Так, при низкотемпературной адсорбции всех изученных дихлорбензолов наблюдается появление п. п.  $\sim 1260 \text{ см}^{-1}$ , нехарактерной для исходных молекул. Выявляются и п. п., характеризующие колебания кольца ( $1485$  и  $1580 \text{ см}^{-1}$ ) и указывающие на образование фенолятов, т.е. на диссоциацию молекул по С–Cl-связи и последующую стабилизацию органического фрагмента на кислороде поверхности оксида.

Во всех случаях повышение температуры взаимодействия углеводорода с поверхностью CuO до 473 К приводит к образованию структур окисленного типа, содержащих группировку  $\text{COO}^-$ , о чем свидетельствуют расщепление п. п. в области  $1500 - 1600 \text{ см}^{-1}$  и выявление п. п.  $\sim 1560 \text{ см}^{-1}$ , характеризующей  $\nu_{\text{as}} \text{ COO}^-$  – наиболее интенсивного колебания, характеризующего данную группировку. Наряду с этим появляется п. п.  $\sim 1430 \text{ см}^{-1}$ , относящаяся к  $\nu_s$  в такой группе.

Из особенностей спектральных проявлений адсорбированных *o*-, *n*- и *m*-дихлорбензолов (ДХБ) отметим следующие. Как видно из сравнения, в спектрах указанных индивидуальных соединений [6] и их адсорбционных  $\pi$ -комплексов (спектры I), в отличие от хлорбензола, наблюдается п. п. в области  $\sim 1260 \text{ см}^{-1}$ , принадлежащая  $\delta_{\text{CCN}}$  в индивидуальных молекулах. Присутствие этой п. п. в исходных спектрах ДХБ, естественно, затрудняет выделение п. п.  $\nu_{\text{C}-\text{O}}$  в фенолятах, образующихся после адсорбции ДХБ на CuO, которая, как было показано выше, проявляется в указанной области. Анализ спектров ДХБ, адсорбированных на CuO, также позволяет выделить в спектрах п. п.  $\sim 1260 - 1270 \text{ см}^{-1}$ . По нашему мнению, очевидно, что она принадлежит  $\nu_{\text{C}-\text{O}}$  в поверхностном феноляте, так как по относительной интенсивности сопоставима с п. п., характеризующими  $\nu_{\text{CCN}}$  ( $\sim 1480$  и  $1580 \text{ см}^{-1}$ ), в то время, как п. п., характеризующая  $\delta_{\text{CCN}}$ , в спектрах индивидуальных молекул в несколько раз менее интенсивна, чем  $\nu_{\text{CCN}}$ , и полосы аналогичной интенсивности в спектрах адсорбированного ДХБ не проявляются. Кроме того, поведение в

циклах адсорбции–десорбции п. п. в области  $1260 - 1272 \text{ см}^{-1}$ , появляющихся в спектрах адсорбированного ДХБ, также свидетельствует о принадлежности их к  $\nu_{\text{CO}}$ .

Обращает на себя внимание появление в спектре адсорбированного *n*-ДХБ (спектр 2в)  $\nu_{\text{CCN}}$  при  $1580 \text{ см}^{-1}$ , не проявляющейся в спектре индивидуального *n*-ДХБ и его  $\pi$ -комплекса. Как известно, колебание, характеризующееся этой п. п., запрещено вследствие симметрии в *n*-ДХБ, и проявляется в спектре *n*-ДХБ, адсорбированного на CuO, очевидно, вследствие потери такой симметрии, возможно, из-за отщепления одного из атомов хлора при образовании структуры типа фенолята.

Таким образом, проведенное исследование показало, что тип катализатора определяет характер взаимодействия хлорбензолов с поверхностью, и в отличие от ванадийсодержащих систем, где первичное взаимодействие (активация) данных молекул осуществлялась при участии бензольного кольца с последующим гетеролитическим разрывом C–H-связи, т.е. с образованием комплексов углеводородов и катионов поверхности, на оксида меди реализуется принципиально другой тип активации – с разрывом C–Cl-связи и стабилизацией образовавшегося углеводородного фрагмента на кислороде поверхности.

Выражаю благодарность И.В. Давиденко и И.А. Шепотько за помощь в получении экспериментальных результатов.

## СПИСОК ЛИТЕРАТУРЫ

1. Давыдов А.А. ИК-спектроскопия в химии поверхности окислов. Новосибирск: Наука, 1984. 256 с.
2. Давиденко И.В., Давыдов А.А., Пятницкий Ю.И. и др. // Теор. и эксперим. химия. 1990. Т. 26. № 4. С. 468.
3. Давиденко И.В., Давыдов А.А., Пятницкий Ю.И. и др. // Журн. физ. химии. 1991. Т. 65. № 1. С. 164.
4. Боресков Г.К. Гетерогенный катализ. М.: Наука, 1989. 303 с.
5. Давыдов А.А., Буднева А.А., Соколовский В.Д. // Кинетика и катализ. 1989. Т. 30. № 6. С. 1407.
6. Свердлов Л.М., Ковнер М.А., Крайнов Е.П. Колебательные спектры многоатомных молекул. М.: Наука, 1970. 559 с.
7. Беллами Л. Инфракрасные спектры сложных молекул. М.: Изд-во иностр. лит., 1963. 590 с.
8. Наканиши К. Инфракрасные спектры и строение органических соединений. М.: Мир, 1962.
9. Давыдов А.А., Князева Е.М., Шепотько М.Л. // Журн. прикл. спектроскопии. 1988. Т. 49. № 1. С. 86.
10. Попова Г.Я., Давыдов А.А., Андрушкевич Т.В., Захаров И.И. // Кинетика и катализ. 1982. Т. 23. № 3. С. 692.

---

**ФИЗИЧЕСКАЯ ХИМИЯ  
ПОВЕРХНОСТНЫХ ЯВЛЕНИЙ**


---

УДК 541.134.5

# ВЛИЯНИЕ КИСЛОТНОСТИ НА ОКИСЛИТЕЛЬНО-ВОССТАНОВИТЕЛЬНЫЙ ПОТЕНЦИАЛ рН-НЕЗАВИСИМОЙ РЕДОКС-ПАРЫ, ИММОБИЛИЗОВАННОЙ НА КРЕМНЕЗЕМЕ

© 1993 г. Н. А. Липковская, А. Г. Кольчинский, С. С. Сильченко, А. А. Чуйко

Академия наук Украины, Институт химии поверхности, Киев

Поступила в редакцию 11.01.93 г.

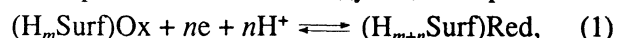
Рассмотрено влияние кислотности раствора на окислительно-восстановительный потенциал редокс-реагента, сорбированного на поверхности, способной присоединять протоны. Показано, что рН-независимый в растворе редокс-реагент в результате такой иммобилизации начинает вести себя как окислитель, присоединяющий в ходе восстановления один протон. Экспериментально для комплекса  $\text{Cu}^{2+}/\text{Cu}^+$  с  $[b, j, f, n]$ -тетрааза-[1, 5, 9, 13]-циклогексадецином, сорбированного на силикагеле, получена величина  $E_{\text{n}}^{\circ} = 0.058 \pm 0.002$  В. (Тангенс угла наклона прямой зависимости редокс-потенциала соединения на поверхности ( $E_{\text{n}}$ ) от pH раствора должен составлять 0.059 В.) Сделан вывод, что рН-независимый в растворе редокс-реагент в результате иммобилизации на поверхности кремнезема, способной к связыванию протонов, становится формально рН-зависимым.

Большинство сорбентов и носителей, используемых для иммобилизации редокс-реагентов и индикаторов, в той или иной мере способны к связыванию протонов. Поскольку такие процессы влияют на заряд поверхности и структуру двойного электрического слоя, изменение pH должно сказываться на величине редокс-потенциала сорбированного или иммобилизованного редокс-реагента вне зависимости от того, является ли данный редокс-реагент pH-зависимым или нет. Эта особенность существенно отличает иммобилизацию редокс-реагента от процесса замены растворителя, которая, как правило, не делает pH-независимый реагент pH-зависимым.

Ранее [1 - 3] мы рассматривали термодинамический цикл, описывающий сорбционные и окислительно-восстановительные равновесия редокс-реагента в системе раствор-поверхность сорбента, погруженного в данный раствор. На его основе были предложены модификации уравнения Нернста для различных случаев поведения редокс-реагента, иммобилизованного на поверхности.

Рассмотрим случай, когда компенсация заряда поверхности, связанная с изменением заряда частицы в ходе окислительно-восстановительной реакции, происходит только за счет сорбции или десорбции протонов. Такое предположение оправдано, поскольку многие, в частности, кремнеземные сорбенты, обладают значительно большей склонностью к сорбции протонов, чем других (например, используемых для создания ионной силы) катионов и анионов [4].

Равновесный процесс, предполагающий сохранение заряда, запишется следующим образом:



где  $(\text{H}_m\text{Surf})$  – сорбент, способный связывать протоны; Ox и Red – окисленная и восстановленная формы иммобилизованного на поверхности редокс-реагента;

$$\Delta G = \Delta G^{\circ} + RT \ln \frac{[(\text{H}_{m+n}\text{Surf})\text{Red}]}{[(\text{H}_m\text{Surf})\text{Ox}] [\text{H}^+]^n}, \quad (2)$$

$$-nFE = -nFE^{\circ} + RT \ln \frac{[(\text{H}_{m+n}\text{Surf})\text{Red}]}{[(\text{H}_m\text{Surf})\text{Ox}] [\text{H}^+]^n}, \quad (3)$$

откуда редокс-потенциал соединения на поверхности равен

$$E_{\text{n}} = E_{\text{n}}^{\circ} + \frac{RT}{nF} \ln \frac{[(\text{H}_m\text{Surf})\text{Ox}]}{[(\text{H}_{m+n}\text{Surf})\text{Red}]} + \frac{RT}{nF} \ln [\text{H}^+]^n. \quad (4)$$

Учитывая, что реально измеряемыми величинами являются концентрации окисленной и восстановленной форм редокс-реагента, уравнение (4) можно переписать в виде:

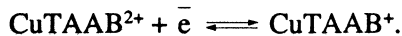
$$E_{\text{n}} = E_{\text{n}}^{\circ} + \frac{RT}{nF} \ln \left[ \frac{\text{Ox}}{\text{Red}} \right] - 0.059 \text{pH}. \quad (5)$$

Таким образом, pH-независимый в растворе редокс-реагент, сорбированный на поверхности, способной к связыванию протонов, ведет себя, в смысле влияния pH на редокс-потенциал, как

окислитель, присоединяющий в ходе восстановления один протон. Тангенс угла наклона прямой зависимости редокс-потенциала от pH должен быть равен 0.059.

Разумеется, такая картина будет наблюдаться в тех интервалах pH, где сорбция протонов не подавлена вследствие их слишком низкой концентрации в растворе или, наоборот, слишком высокой концентрации на поверхности, приводящей в последнем случае к затрудненной или полностью подавленной сорбции.

В качестве модельной системы для изучения влияния кислотности раствора на окислительно-восстановительный потенциал был выбран pH-независимый в растворе комплекс меди с  $[b, j, f, n]$ -тетрааза-[1, 5, 9, 13]-циклогексадиенином (ТААВ), необратимо сорбированный на силикагеле L-250. Ранее была показана [5] хорошая обратимость процесса окисления–восстановления иммобилизованного комплекса:



При выборе образца для исследования учитывалось, что  $\text{CuTAAB}^{2+}$  может сорбироваться на сорбционных центрах силикагеля нескольких (*i*) видов, которым соответствуют определенные значения редокс-потенциала  $E_{\text{n}}^{\circ(i)}$  [3]. Было установлено, что при малых концентрациях комплекса сначала заполняются центры с большими редокс-потенциалами ( $E_{\text{n}}^{\circ(i)} \sim 0.22$  В). По мере увеличения общей концентрации  $\text{CuTAAB}^{2+}$  на поверхности начинают заполняться центры, которым соответствуют меньшие значения  $E_{\text{n}}^{\circ(i)} \sim 0.11$  В. Результатирующее значение редокс-потенциала  $E_{\text{n}}^{\circ}$  зависит от степени заполнения сорбционных центров с разными значениями  $E_{\text{n}}^{\circ(i)}$ . Эксперимент показал, что в образце с содержанием  $[\text{CuTAAB}^{2+}] = 3 \times 10^{-6}$  моль/г основное количество комплекса сорбировано на центрах с  $E_{\text{n}}^{\circ} = 0.13$  В и в пределах ошибки эксперимента можно считать, что

$$E_{\text{n}}^{\circ} = E_{\text{n}}^{\circ}.$$

Этот образец и был выбран для исследования, так как его относительная однородность позволяет более однозначно судить об изменениях потенциала сорбированного комплекса в зависимости от pH раствора.

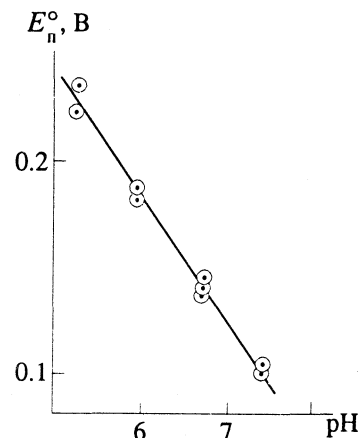
Для проведения эксперимента в ячейку [5] помещали 30 мл 0.01 моль/л  $\text{NaNO}_3$  для поддержания постоянной ионной силы, 0.3 г силикагеля с нанесенным комплексом  $\text{CuTAAB}^{2+}$  ( $3 \times 10^{-6}$  моль/г), дезаэрировали ячейку током аргона и с помощью  $\text{NaOH}$  либо  $\text{HNO}_3$  устанавливали необходимое значение pH раствора. Затем проводили тит-

рование триметилгидрохиноном до получения значений измеряемого потенциала  $E_{\text{n}}$  и соотношения окисленной и восстановленной форм, не меняющихся при дальнейшем добавлении титранта. На основании этих экспериментальных данных по уравнению (5) рассчитывали величину  $E_{\text{n}}^{\circ}$  при данном значении pH раствора.

На рисунке приведена зависимость редокс-потенциала  $E_{\text{n}}^{\circ}$  от величины pH раствора. В интервале pH 5–7.5 тангенс угла наклона полученной прямой составляет  $0.058 \pm 0.002$ , что соответствует присоединению одного протона в процессе восстановления иммобилизованного комплекса  $\text{CuTAAB}^{2+}$ .

При увеличении pH > 7.5 наблюдается отклонение значений  $E_{\text{n}}^{\circ}$  от линейной зависимости в сторону их уменьшения. По-видимому, это объясняется началом медленного растворения силикагеля и соответственно вымыванием части комплекса в раствор, где его потенциал существенно ниже (0.05 В) [6].

Таким образом, экспериментальные данные подтверждают сделанные выше предположения о том, что pH-независимый в растворе реагент в результате его иммобилизации на поверхности, способной к связыванию протонов, становится формально pH-зависимым. Анализируя причины именно такого вида зависимости  $E_{\text{n}}^{\circ}$  от pH, следует отметить, что при росте кислотности среды на поверхности сорбента возникает все более высокий положительный заряд, которыйdestabilizирует окисленную форму редокс-пары, заряженную более положительно, чем восстановленная. Ранее нами было показано [1], что чем хуже связывается с сорбционными центрами поверхности окисленная форма редокс-реагента (и/или лучше восстановленная), тем выше потен-



Зависимость редокс-потенциала ( $E_{\text{n}}^{\circ}$ ) иммобилизованного на силикагеле комплекса  $\text{CuTAAB}$  от pH раствора ( $\Gamma_{\text{CuTAAB}} = 3 \times 10^{-6}$  моль/г).

циал иммобилизованной редокс-пары. Вследствие этого с ростом pH должно происходить уменьшение редокс-потенциала, что и наблюдается экспериментально.

#### СПИСОК ЛИТЕРАТУРЫ

1. *Липковская Н.А., Кольчинский А.Г., Чуйко А.А. // Журн. физ. химии. 1991. Т. 65. № 11. С. 3005.*
2. *Чуйко А.А., Кольчинский А.Г., Липковская Н.А. // Докл. АН СССР. 1991. Т. 320. № 1. С. 143.*
3. *Чуйко А.А., Кольчинский А.Г., Липковская Н.А. // Журн. физ. химии. 1993. Т. 67. № 5. С. 869.*
4. *Dugger D.L., Stanton J.H., Irby B.N. et al. // J. Phys. Chem. 1964. V. 64. № 4. P. 757.*
5. *Чуйко А.А., Липковская Н.А., Кольчинский А.Г., Сильченко С.С. // Укр. хим. журн. 1990. Т. 56. № 2. С. 129.*
6. *Labuda J., Plaskon V., Pavlishchuk V.V. // Inorg. Chem. Acta. 1988. V. 146. P. 13.*

# ХИМИЧЕСКИЕ РЕАКЦИИ НА ПОВЕРХНОСТИ ДИСПЕРСНОГО КРЕМНЕЗЕМА ПРИ ГАЗОФАЗНОМ МОДИФИЦИРОВАНИИ ПАРАМИ $\text{MoOCl}_4$

© 1993 г. Ю. В. Плюто, А. А. Гоменюк, И. В. Бабич, А. А. Чуйко

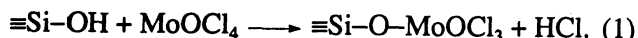
*Академия наук Украины, Институт химии поверхности, Киев*

Поступила в редакцию 10.05.93 г.

Исследованы особенности газофазного модифицирования кремнезема парами оксотетрахлорида молибдена. Показано, что взаимодействие  $\text{MoOCl}_4$  с силанольными группами и силоксановыми мостиками поверхности  $\text{SiO}_2$  приводит к образованию привитых молибденхлоридных групп  $\equiv\text{SiOMoOCl}_3$ . Обнаружено, что вследствие термической неустойчивости эти группы претерпевают перегруппировку с образованием хлорсилильных групп и диоксадихлорида молибдена, удаляющегося с поверхности кремнезема. Установлено, что при избытке  $\text{MoOCl}_4$  реакция с силоксановыми мостиками приповерхностного слоя приводит к образованию тетрахлорида кремния и сопровождается травлением поверхности глубу дисперсного кремнезема.

Химическое модифицирование поверхности кремнезема пентахлоридом молибдена наиболее часто используется для синтеза молибденсодержащих катализаторов с контролируемым строением поверхностного слоя. В основе этого процесса лежит реакция модификатора с гидроксильными группами поверхности, приводящая к образованию привитых молибден(V)хлоридных групп [1 - 4]. Основная реакция сопровождается рядом побочных процессов, механизм и условия протекания которых подробно исследованы нами ранее [5]. В частности, в определенных условиях наблюдается расщепление модификатором силоксановых связей поверхности носителя и разрушение матрицы  $\text{SiO}_2$ .

Круг используемых модификаторов может быть расширен за счет применения оксотетрахлорида молибдена, который перспективен для синтеза молибден(VI)-содержащих кремнеземов. Схематически процесс закрепления  $\text{MoOCl}_4$  на поверхности кремнезема описывается следующим образом:



Ранее нами было показано [6], что образовавшиеся привитые молибденхлоридные группы являются термически неустойчивыми и при повышенных температурах претерпевают перегруппировку:



Этот процесс может сопровождаться удалением молибдена с поверхности носителя.

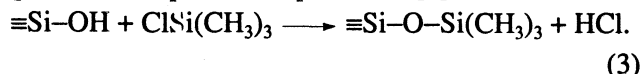
Цель данной работы – исследование взаимодействия  $\text{MoOCl}_4$  с поверхностью высокодисперсного пирогенного кремнезема – аэросила, в частности выяснение участия силанольных групп и

силоксановых мостиков поверхности в реакции с парами  $\text{MoOCl}_4$ . Эти данные представляют интерес не только для практической реализации процесса газофазного модифицирования поверхности кремнезема оксотетрахлоридом молибдена, но также для выявления общих закономерностей закрепления хлоридов и оксохлоридов молибдена на поверхности  $\text{SiO}_2$ .

В работе использовали непористый высокодисперсный кремнезем – аэросил А-175 ( $S_{\text{уд}} = 180 \text{ м}^2/\text{г}$ ). Предварительная обработка  $\text{SiO}_2$  заключалась в отжиге возможных органических примесей при 673 К на воздухе в течение 1 ч и дегидратации при 1073 К в вакууме в течение 30 мин. Обработку  $\text{SiO}_2$  парами  $\text{MoOCl}_4$  проводили в цельнопаянном вакуумированном реакторе ( $10^{-1}$  Торр) при повышенной температуре, обеспечивающей испарение модификатора. Для ИК-спектроскопических исследований таблетку прессованного аэросила массой 20 мг помещали в кварцевый реактор, конструкция которого исключала контакт образца с атмосферой на всех стадиях синтеза. Контроль протекания реакций проводили с помощью ИК-спектрометра "Perkin-Elmer-325". Очистку  $\text{MoOCl}_4$  осуществляли согласно [7]. Содержание кремния определяли колориметрически по методике [8].

Непосредственное использование ИК-спектроскопии для наблюдения за протеканием реакции  $\text{MoOCl}_4$  с силоксановыми мостиками поверхности кремнезема невозможно. Мы полагаем, что вывод о химических превращениях с участием силоксановых мостиков поверхности  $\equiv\text{Si}-\text{O}-\text{Si}\equiv$  может быть сделан на основании косвенных данных, в частности путем сопоставления с поведением привитых групп  $\equiv\text{Si}-\text{O}-\text{Si}(\text{CH}_3)_3$ , также

содержащих силоксановые связи  $\equiv\text{Si}-\text{O}-\text{Si}\equiv$ . С этой целью на поверхности кремнезема был осуществлен синтез групп  $\equiv\text{Si}-\text{O}-\text{Si}(\text{CH}_3)_3$  путем модифицирования поверхности аэросила парами триметилхлорсилана при 673 К [9]:



Интенсивность полос поглощения метильных групп в ИК-спектре модифицированного кремнезема пропорциональна количеству образующихся силоксановых связей и должна уменьшаться при их расщеплении в привитых группах.

Установлено, что образцы кремнезема, содержащего на поверхности привитые триметилсилильные группы, после контакта с парами  $\text{MoOCl}_4$  при температуре 393 К в течение 3 ч приобретают красно-коричневую окраску, которая после прогрева при 423 К с удалением избытка паров  $\text{MoOCl}_4$  вымораживанием при температуре жидкого азота полностью исчезает. Такое обесцвечивание образца мы связываем с удалением молибдена с поверхности кремнезема и отсутствием окислительно-восстановительных реакций с участием привитых триметилсилильных групп и  $\text{MoOCl}_4$ .

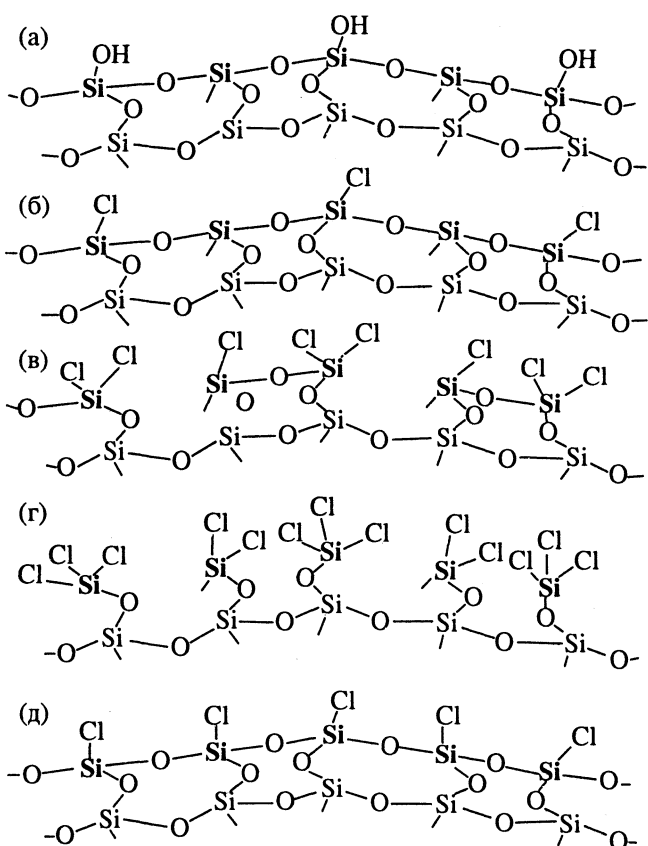
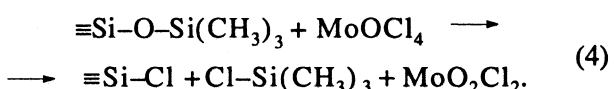


Рис. 1. Предполагаемые этапы хлорирования поверхности кремнезема парами  $\text{MoOCl}_4$  ( $\text{Si}$  – атомы кремния, находящиеся на поверхности глобулы,  $\text{Si}'$  – атомы кремния, находящиеся в объеме глобулы).

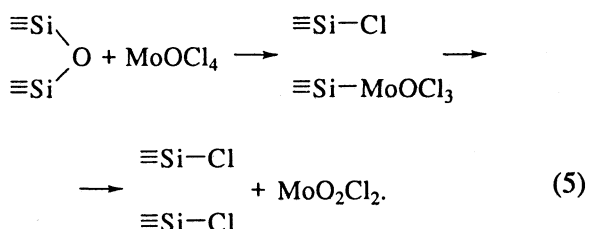
Обращает на себя внимание тот факт, что в ИК-спектре образца метилированного кремнезема после обработки парами  $\text{MoOCl}_4$  полностью исчезают полосы поглощения метилсилильных групп (2970 и 2905  $\text{cm}^{-1}$ ). Учитывая, что пиролиз этих групп происходит при температуре выше 673 К [9], для описания взаимодействия с  $\text{MoOCl}_4$  можно предложить следующую схему:



Об образовании хлорсилильных групп на поверхности кремнезема свидетельствует возможность прививки *n*-бутилового спирта при комнатной температуре, что характерно для хлорированной поверхности [10, 11].

Силоксановые связи в привитых триметилсилильных группах расщепляются при обработке поверхности кремнезема парами  $\text{MoOCl}_4$ . Поэтому можно предположить, что при газофазном модифицировании кремнезема пентахлорид молибдена реагирует и с силоксановыми мостиками поверхности  $\text{SiO}_2$ .

Закрепление молибдена на поверхности кремнезема за счет взаимодействия модификатора с силоксановыми мостиками при газофазном модифицировании можно представить себе следующим образом. Вначале происходит образование привитых молибденхлоридных и хлорсилильных групп как результат расщепления силоксановых связей



Далее группы  $\equiv\text{Si}-\text{O}-\text{MoOCl}_3$  претерпевают перегруппировку (уравнение (2)) с образованием хлорсилильных групп и диоксадихлорида молибдена, удаляющегося с поверхности  $\text{SiO}_2$ .

При этом возникает вопрос – насколько глубоко может происходить взаимодействие  $\text{MoOCl}_4$  с кремнеземом: только до образования хлорированной поверхности (уравнения (2) и (5)) или с участием приповерхностного слоя носителя, которое должно сопровождаться образованием  $\text{SiCl}_4$ . Для выяснения этого был проведен химический анализ газообразных продуктов химического модифицирования кремнезема парами  $\text{MoOCl}_4$ . Полученные данные свидетельствуют о присутствии кремния среди продуктов реакции. Это указывает на взаимодействие  $\text{MoOCl}_4$  с приповерхностным слоем кремнезема, что сопровождается травлением его глобул и выделением  $\text{SiCl}_4$ . На рис. 1 схематически показано протекание данного процесса.

Оксотетрахлорид молибдена реагирует с силиконольными группами дегидратированной поверхности кремнезема с образованием привитых молибденхлоридных групп (уравнение (1)), которые являются термически неустойчивыми и перегруппировываются с образованием хлорсилильных групп (уравнение (2) и рис. 1б). Параллельно протекает реакция модификатора с силоксановыми мостиками (уравнение (5)). Образующиеся при этом молибденхлоридные группы также являются термически неустойчивыми и претерпевают перегруппировку (рис. 1в). При достаточном избытке модификатора процесс взаимодействия  $\text{MoOCl}_4$  с силоксановыми связями может идти дальше и приводить к более глубокому хлорированию поверхности кремнезема (рис. 1г, 1д). При этом образуется тетрахлорид кремния, который десорбируется с поверхности. Слой поверхностных атомов Si удаляется и на поверхность глобулы выходят атомы Si, которые в исходной глобуле находились в объеме (рис. 1д). Таким образом, при обработке кремнезема оксотетрахлоридом молибдена происходит травление приповерхностного слоя частиц носителя.

Отметим, что реакции обменного хлорирования характерны для оксидных систем. В частности, в работах [12 - 14] показано, что  $\text{MoCl}_5$ ,  $\text{MoOCl}_4$ ,  $\text{WCl}_6$  и  $\text{WOCl}_4$  при высоких температурах могут вступать в обменную реакцию хлорирования с оксидами и оксихлоридами металлов (V, Ti). В случае высокодисперсного кремнезема обращают на себя внимание относительно мягкие условия протекания этого процесса.

Был проведен термодинамический расчет процесса хлорирования  $\text{SiO}_2$  оксотетрахлоридом молибдена. С этой целью рассчитано изменение изобарно-изотермического потенциала реакции



Для вычисления изменения изобарно-изотермического потенциала применяли следующее уравнение:

$$\Delta G_t^\circ = \Delta H_J - \Delta C_p T \ln T + JT, \quad (7)$$

где  $J$  – постоянная, которую необходимо вычислять в каждом отдельном случае. Использовалось второе приближение, т.е. предполагалось, что теплоемкости исходных веществ и продуктов различны, но их разность постоянна и не зависит от температуры. Стандартные значения для энталпии, энтропии и теплоемкости исходных веществ и продуктов реакции были взяты из [15].

На рис. 2 показана зависимость изменения изобарно-изотермического потенциала реакции (6) от температуры. Как видно из рис. 2, величина  $\Delta G$  изменяет знак при 950 К, что свидетельствует о возможности протекания процесса выше этой температуры. Отметим, что полученное значение температуры намного превышает темпера-

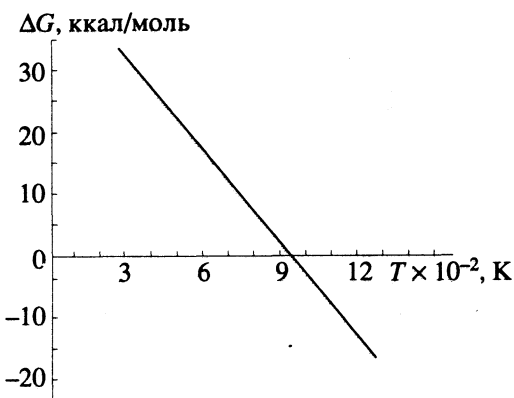


Рис. 2. Зависимость изобарно-изотермического потенциала  $\Delta G$  реакции (6) от температуры.

туру, при которой проводится процесс модификации.

Наблюдаемая нами возможность взаимодействия  $\text{MoOCl}_4$  с высокодисперсным кремнеземом при относительно низкой температуре обусловлена, по-видимому, тем, что аэросил – это ультрадисперсное аморфное вещество, на поверхности частиц которого присутствуют участки с дефектной структурой, обладающие повышенной химической активностью. В работе [16] показано, что в процессе дегидратации в поверхностном слое аэросила образуются напряженные силоксановые мостики, характеризующиеся повышенной реакционной способностью.

Таким образом, полученные результаты позволяют сделать следующие выводы об особенностях газофазного модифицирования кремнезема парами  $\text{MoOCl}_4$ . Модификатор может реагировать не только с силиконольными группами поверхности  $\text{SiO}_2$ , но и с силоксановыми мостиками приповерхностного слоя. В результате протекания этих реакций образуются привитые молибденхлоридные группы  $\equiv\text{SiOMoOCl}_3$ , которые вследствие термической неустойчивости претерпевают перегруппировку с образованием хлорсилильных групп и диоксадихлорида молибдена, удаляющегося с поверхности кремнезема. В условиях избытка модификатора  $\text{MoOCl}_4$  наблюдается реакция с силоксановыми мостиками приповерхностного слоя кремнезема с образованием тетрахлорида кремния  $\text{SiCl}_4$ , в результате чего происходит травление поверхности глобул  $\text{SiO}_2$ .

## СПИСОК ЛИТЕРАТУРЫ

1. Fricke R., Hanke W., Ohlmann G. // J. Catal. 1983. V. 79. № 1. P. 1.
2. Louis C., Che M., Bozon-Ferduraz F. // J. Chim. Phys. et Phys.-Chim. Biol. 1982. V. 79. № 11/12. P. 803.
3. Бородягин Б.О., Олифиренко В.В., Пак В.Н. // Кинетика и катализ. 1988. Т. 29. № 4. С. 1002.

4. Che M., Louis C., Tatibouet J.M. // Polyhedron. 1986. V. 5. № 1/2. P. 123.
5. Гоменюк А.А., Бабич И.В., Плюто Ю.В., Чуйко А.А. // Укр. хим. журн. 1993. Т. 59. № 3. С. 269.
6. Гоменюк А.А., Бабич И.В., Плюто Ю.В., Чуйко А.А. // Журн. физ. химии. 1990. Т. 64. № 6. С. 1662.
7. Colton R., Tomkins I.B., Wilson P.W. // Austr. J. Chem. 1964. V. 17. № 4. P. 496.
8. Чернихов Ю.А., Добкина Б.М. // Завод. лаб. 1946. Т. 12. № 11/12. С. 922.
9. Тертых В.А., Чуйко А.А., Мащенко В.М., Павлов В.В. // Журн. физ. химии. 1973. Т. 47. № 1. С. 158.
10. Shimizu M., Low M.J.D. // Amer. Ceram. Soc. 1971. V. 54. № 5. P. 271.
11. Павлов В.В., Тертых В.А., Чуйко А.А., Казаков К.П. // Адсорбция и адсорбенты. 1976. № 4. С. 62.
12. Елисеев С.С., Глухов И.А., Вождаева Е.Е., Нарзикулова Р.М. // Докл. АН ТаджССР. 1970. Т. 13. № 4. С. 33.
13. Елисеев С.С., Глухов И.А., Вождаева Е.Е., Нарзикулова Р.М. // Там же. 1971. Т. 14. № 11. С. 32.
14. Елисеев С.С., Глухов И.А., Вождаева Е.Е. // Журн. неорганической химии. 1968. Т. 13. № 10. С. 2892.
15. Термические константы веществ. Вып. VII. Ч. I. Таблицы принятых значений / Под ред. В.П. Глушко. М., 1974.
16. Morrow B.A., Cody J.A. // J. Phys. Chem. 1975. V. 79. № 7. P. 761.

ВЛИЯНИЕ РАСТВОРИТЕЛЯ НА ФОТОПРОТОНИРОВАНИЕ  
КУМАРИНА 102

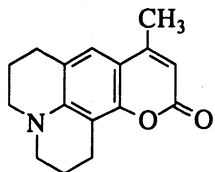
© 1993 г. С. И. Дружинин, Б. Д. Бурсулая, Б. М. Ужинов

Московский государственный университет им. М. В. Ломоносова, Химический факультет

Поступила в редакцию 27.01.93 г.

Изучено протонирование кумарина 102 по карбонильной группе в возбужденном состоянии серной кислотой в одноатомных алифатических спиртах, этиленгликоле и воде. Показано, что реакция фотопротонирования является диффузионно-ограниченной с константой скорости  $(1.69 - 29.9) \times 10^9 \text{ л}/(\text{моль с})$ ; предельный (концентрация кислоты  $\rightarrow \infty$ ) квантовый выход флуоресценции продукта реакции достигает 48% в пропаноле. Установлено, что влияние растворителя на константу скорости излучательной дезактивации синглетного возбужденного состояния и на константу скорости переноса протона кумарина 102 обусловлено главным образом его протонодонорной способностью.

Оксоароматические соединения являются слабыми органическими основаниями. В основном электронном состоянии они протонируются в сильно кислых средах ( $\text{pH} < 0$ ) [1, 2]. При возбуждении основность оксоароматических соединений значительно увеличивается, и протонирование основания в возбужденном состоянии происходит при  $\text{pH} \approx 2$  [2 - 8]. Введение аминогруппы в молекулу оксоароматического соединения сильно увеличивает основность по карбонильной группе [7, 8]. При закреплении аминогруппы в юлолидиновом фрагменте 7-аминокумарина основность этой группы в основном состоянии становится меньше, чем основность карбонильной группы в возбужденном состоянии [7], что способствует реакции фотопротонирования производных 7-аминокумарина. В этаноле ( $\text{EtOH}$ ) фотопротонирование кумарина 102 (K102)

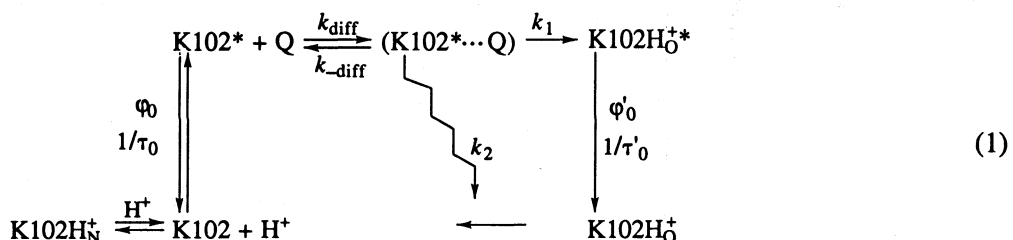


серной кислотой является диффузионно-ограниченным необратимым процессом, в котором существенную роль играют эффекты нестационарной диффузии реагентов [8]. Поскольку

растворитель оказывает существенное влияние на динамику реакции меж- и внутримолекулярного фотопереноса протона [9, 10], представляет интерес выяснить влияние вязкости, полярности и протонодонорных свойств растворителя на константу скорости данной фотoreакции и предельный (концентрация кислоты  $\rightarrow \infty$ ) квантовый выход флуоресценции продукта. С этой целью в настоящей работе исследовано протонирование K102 по карбонильной группе в возбужденном состоянии серной кислотой в метаноле ( $\text{MeOH}$ ),  $\text{EtOH}$ , пропаноле ( $\text{PrOH}$ ), изопропаноле ( $i\text{-PrOH}$ ), бутаноле ( $\text{BuOH}$ ), втор-бутаноле ( $s\text{-BuOH}$ ), этиленгликоле ( $(\text{CH}_2\text{OH})_2$ ) и воде ( $\text{H}_2\text{O}$ ), а также трифтормукусной кислотой в ацетонитриле ( $\text{MeCN}$ ) и  $\text{EtOH}$ .

Описание методики эксперимента приведено в [7, 8]. Квантовые выходы флуоресценции определяли без учета поправки на показатель преломления растворителя. Измерения выполняли при  $20^\circ\text{C}$ . Спирты очищали и обезвоживали по методике, приведенной в [11].

Основные процессы, протекающие в системе K102- $\text{H}_2\text{SO}_4$  в этаноле при возбуждении в длинноволновой области (365 нм), в которой катион с протонированной аминогруппой ( $\text{K102H}_N^+$ ) практически не поглощает возбуждающего света, показаны на схеме [8]:



В других растворителях K102 взаимодействует в основном и возбужденном состояниях с серной кислотой аналогичным образом. На схеме (K102\*...Q) обозначает комплекс встречи K102 и донора протона (Q).  $\Phi_0$  и  $\tau_0$  – квантовый выход и время жизни флуоресценции K102,  $\Phi'_0$  и  $\tau'_0$  – квантовый выход и время жизни флуоресценции продукта фотопреакции ( $K102H_O^{+*}$ ) при возбуждении его из основного состояния,  $k_{\text{diff}}$  и  $k_{-\text{diff}}$  – константы скорости образования и распада комплекса встречи,  $k_1$  и  $k_2$  – константы скорости образования возбужденного продукта переноса протона и индуцированной реакцией безызлучательной дезактивации. В соответствии с результатами работы [8] диссоциацией катиона  $K102H_O^{+*}$  пренебрегаем. Величины  $k_{\text{diff}}$  и  $k_{-\text{diff}}$  рассчитывали по уравнениям [12]:

$$k_{\text{diff}} = 4\pi r(D_Q + D_{K102})N_A, \quad (2)$$

$$k_{-\text{diff}} = k_{\text{diff}}/V_M, \quad (3)$$

где  $r$  – радиус комплекса встречи,  $D_Q$  и  $D_{K102}$  – коэффициенты диффузии реагентов Q и K102\*,  $N_A$  – число Авогадро,  $V_M$  – объем комплекса встречи. Коэффициенты диффузии K102\* ( $D_{K102}$ ) и молекулы  $H_2SO_4$  ( $D_{H_2SO_4}$ ) рассчитывали по эмпирическому соотношению Отмера–Такара [13]

$$D = 14.0 \times 10^{-5} / V^{0.6} \eta_s, \quad (4)$$

где  $V$  – мольный объем вещества в  $\text{см}^3/\text{моль}$ ,  $\eta_s$  – вязкость растворителя при  $20^\circ\text{C}$  сП. Значения  $\eta_s$  заимствованы из [14–16] и составляют 0.5448, 1.083, 1.938, 2.080, 2.608, 3.382, 16.600 и 1.000 сП для MeOH, EtOH, PrOH, i-PrOH, BuOH, s-BuOH, этиленгликоля и  $H_2O$  соответственно. При туш-

ении флуоресценции K102 протоном  $H^+$  коэффициент диффузии тушителя ( $D_H$ ) рассчитывали по соотношению

$$D_H = \lambda_+ RT/F^2, \quad (5)$$

где  $\lambda_+$  – предельная протонная проводимость растворителя,  $F$  – постоянная Фардаea,  $R$  – универсальная газовая постоянная,  $T$  – абсолютная температура. Необходимые для расчета величины  $\lambda_+$  (146.1, 62.4, 41.8, 37.5, 36.2, 30.1, 27.7 и 349.8  $\text{Ом}^{-1}\text{моль}^{-1}\text{см}^2$  для MeOH, EtOH, PrOH, i-PrOH, BuOH, s-BuOH, этиленгликоля и  $H_2O$  соответственно) заимствованы из работ [15–17].

Суммарная константа скорости переноса протона и индуцированной безызлучательной дезактивации ( $k_i$ ) определяется следующим уравнением

$$k_i = k_1 + k_2 = k_{-\text{diff}} k_q / (k_{\text{diff}} - k_q), \quad (6)$$

где  $k_q$  – константа скорости тушения флуоресценции K102\*. Для данной схемы квантовый выход флуоресценции исходной формы ( $\phi$ ) в присутствии кислоты определяется выражением

$$\phi_0/\phi = 1 + k_q \tau_0 [Q]. \quad (7)$$

Отношение квантовых выходов флуоресценции катиона  $K102H_O^{+*}$  и исходной формы K102

$$\frac{\phi'}{\phi} = \frac{\Phi'_\infty}{\Phi_0} k_q \tau_0 [Q], \quad (8)$$

где  $\Phi'_\infty$  – предельный ( $[Q] \rightarrow \infty$ ) квантовый выход флуоресценции продукта фотопреакции [18]:

$$\Phi'_\infty = k_1 \Phi'_0 / (k_1 + k_2) = \Phi_r \Phi'_0. \quad (9)$$

В табл. 1 приведены спектрально-люминесцентные параметры K102 и катиона  $K102H_O^{+*}$  и кинетические константы схемы (1). Видно, что

**Таблица 1.** Длины волн ( $\lambda_f$ ,  $\lambda'_f$ ), квантовые выходы ( $\Phi_0$ ,  $\Phi'_\infty$ ) K102 и катиона  $K102H_O^{+*}$ , времена жизни ( $\tau_0$ ), константы скорости излучательной ( $k_f$ ) и безызлучательной ( $k_d$ ) дезактивации первого возбужденного состояния K102 и константы скорости тушения флуоресценции ( $k_q$ ) K102 серной кислотой в различных растворителях при  $20^\circ\text{C}$

Растворитель	$\lambda_f$	$\lambda'_f$	$\Phi_0$	$\Phi'_\infty$	$\tau_0$ , нс	$k_f$	$k_d$	$k_q$	$k'_q$
	нм					$\times 10^{-8}, \text{с}^{-1}$		$\times 10^{-9}, \text{л}/(\text{моль с})$	
MeOH	476	530	0.79	0.39	4.47	1.77	0.47	17.8	15.0
EtOH	471	530	0.80	0.45	4.36	1.83	0.46	4.79	(2.08) 3.56
PrOH	468	530	0.86	0.48	4.45	1.93	0.32	2.76	2.69
i-PrOH	463	530	0.80	0.41	4.24	1.89	0.47	3.28	2.85
BuOH	468	530	0.99	0.44	4.36	2.27	0.02	2.23	1.67
s-BuOH	460	530	0.87	0.39	4.17	2.09	0.31	1.69	1.40
$(CH_2OH)_2$	482	535	0.87	0.35	5.16	1.69	0.25	2.67	1.74
$H_2O$	491	535	0.99	0.29	5.04	1.26	0.72	29.9	27.6
MeCN	460	520	0.67	0.42	4.2	1.59	0.79	2.16	–

Примечание. Точность определения  $k_q$  1%; величины  $k'_q$  определены с учетом эффекта нестационарности, радиус комплекса встречи 9 Å. Для MeCN и EtOH (значения в скобках) донор протона – трифтормуксусная кислота.

величина  $k_f$  растет с увеличением длины углеводородной цепи в молекуле спирта. Это может быть обусловлено изменением величины коэффициента Эйнштейна  $A$  для спонтанного излучательного перехода. В данном случае при условии постоянства дипольного момента перехода должна наблюдаться линейная корреляция частоты максимума флуоресценции ( $\nu_f$ ) и  $(k_f n)^{1/3}$  в ряду однотипных растворителей (алифатические спирты, этиленгликоль и вода), что и имеет место в действительности:

$$\nu_f = (14280 \pm 1340) + (12.16 \pm 2.89)(k_f n)^{1/3},$$

где  $n$  – показатель преломления растворителя; коэффициент корреляции  $\gamma = 0.864$ . Величина  $\Phi_\infty'$  зависит от природы растворителя и достигает 48% для пропанола. Значение  $\lambda_f'$  слабо зависит от свойств растворителя. Константы скорости реакции K102\* с  $\text{CF}_3\text{COOH}$  в EtOH и MeCN практически одинаковы. Обращает на себя внимание различие величин  $\Phi_\infty'$  (на  $\approx 1.5$  порядка) для фотопротонирования K102 при реакции с  $\text{CF}_3\text{COOH}$  в MeCN при возбуждении в длинноволновой (365 нм) и коротковолновой (320 нм [7]) полосах поглощения. Во втором случае (320 нм) возбуждается протонированная по атому азота форма  $\text{K}102\text{H}_\text{N}^+$ . Образование  $\text{K}102\text{H}_\text{O}^{+*}$  происходит в две стадии: 1) кислотная диссоциация  $\text{K}102\text{H}_\text{N}^{+*}$  на  $\text{K}102^*$  и  $\text{H}^+$ , 2) образование конечного продукта  $\text{K}102\text{H}_\text{O}^{+*}$  по схеме (1). Поскольку на второй стадии квантовый выход образования  $\text{K}102\text{H}_\text{O}^{+*}$  высок и не зависит от растворителя, малая величина  $\Phi_\infty'$  объясняется либо медленной диссоциацией  $\text{K}102\text{H}_\text{N}^{+*}$ , либо эффективной безызлучательной дезактивацией, индуцированной диссоциацией катиона  $\text{K}102\text{H}_\text{N}^{+*}$ . Для учета влияния растворителя на константы скорости процессов Камлена, Тафт и др. [19, 20] предложили использовать уравнение, в котором неспецифические (параметр полярности и поляризуемости  $\pi^*$ ) и специфические ( $\alpha$  и  $\beta$  – параметры кислотности и основности) взаимодействия между растворенным веществом и растворителем рассматриваются отдельно:

$$X = X_0 + s\pi^* + a\alpha + b\beta, \quad (10)$$

где  $X$  – исследуемое свойство в данном растворителе,  $X_0$  – исследуемое свойство в циклогексане. Величины  $\pi^*$ ,  $\alpha$  и  $\beta$  заимствованы из работы [20] и составляют  $\pi^* = 0.60, 0.54, 0.52, 0.48, 0.47, 0.92, 1.09$ ;  $\alpha = 0.93, 0.83, 0.78, 0.76, 0.79, 0.90, 1.17$ ;  $\beta = 0.62, 0.77, 0.84, 0.95, 0.88, 0.52, 0.47$  для MeOH, EtOH, PrOH, i-PrOH, BuOH, этиленгликоля и  $\text{H}_2\text{O}$  соответственно. Десятичный логарифм константы скорости излучательной дезактивации

синглетного возбужденного состояния ( $\lg k_f$ ) коррелирует с параметрами Камлена–Тафта по соотношению (10) ( $X_0 = 8.69 \pm 0.09$ ,  $a = -0.499 \pm 0.098$ ;  $\gamma = 0.915$ ). Рассчитанное значение  $\lg k_f$  в циклогексане в пределах ошибки расчета согласуется с экспериментальным (8.61 [21]). Величина  $\lg k_d$  не коррелирует с параметрами Камлена–Тафта ( $\gamma = 0.437$ ).

Так как в EtOH фотопротонирование K102 является диффузионно-ограниченным необратимым процессом [8], величина  $k_q$  должна быть обратно пропорциональна вязкости растворителя (закон Стокса). На рис. 1 представлена зависимость  $k_q$  от  $1/\eta_s$ . Видно, что в вязких спиртах (PrOH, i-PrOH, BuOH, s-BuOH) значение  $k_q$  линейно растет с увеличением  $1/\eta_s$ , а в области малой вязкости (MeOH и  $\text{H}_2\text{O}$ ) наблюдается отклонение от линейности. Это указывает на то, что при малых значениях  $\eta_s$  диффузия тушителя осуществляется быстрее, чем следует из закона Стокса. Известно, что протон в воде и в низкомолекулярных одноденоминальных спиртах имеет аномально высокую подвижность вследствие передачи по цепочке водородных связей [17]. Можно предположить, что протонирование K102\* в исследованных протонных растворителях осуществляется либо молекуллярной формой серной кислоты, либо сольватированным протоном.

Для решения этого вопроса по соотношениям (2) – (6) были рассчитаны коэффициенты диффузии K102\* ( $D_{\text{K}102}$ ), протона ( $D_H$ ) и молекулы  $\text{H}_2\text{SO}_4$  ( $D_{\text{H}_2\text{SO}_4}$ ), значения  $k_{\text{diff}}$  протона и серной кислоты при  $r = 9 \text{ \AA}$  [8], величины  $k_i$  для взаимодействия K102\* с протоном и с молекулой серной кислоты

**Таблица 2.** Коэффициенты диффузии K102\* ( $D_{\text{K}102}$ ), протона ( $D_H$ ) и молекулы  $\text{H}_2\text{SO}_4$  ( $D_{\text{H}_2\text{SO}_4}$ ), кинетические характеристики ( $k_{\text{diff}}$  и  $k_i$ ) фотопереноса протона при взаимодействии K102\* с  $\text{H}_2\text{SO}_4$  в различных растворителях при 20°C

Раство- ритель	$D_{\text{K}102}$	$D_H$	$D_{\text{H}_2\text{SO}_4}$	$k_{\text{diff}} \times 10^{-9}$ , л/(моль с)	$k_i \times 10^{-9}$ , $\text{с}^{-1}$	I	II
	$\times 10^6$ , $\text{см}^2/\text{с}$			I	II		
MeOH	8.88	38.9	23.6	32.4	22.1	15.3	25.6
EtOH	4.47	16.6	11.9	14.3	11.1	2.58	2.84
PrOH	2.50	11.1	6.63	9.23	6.21	2.06	2.58
i-PrOH	2.33	9.98	6.18	8.34	5.79	2.35	3.05
BuOH	1.86	9.63	4.93	7.78	4.62	1.16	1.42
s-BuOH	1.43	8.01	3.80	6.40	3.55	0.974	1.26
$(\text{CH}_2\text{OH})_2$	0.29	7.37	0.77	5.20	0.73	1.42	<0
$\text{H}_2\text{O}$	4.84	97.9	12.8	66.4	12.0	25.7	<0

Примечание. I – взаимодействие K102\* с  $\text{H}^+$ , II – с молекулой  $\text{H}_2\text{SO}_4$ , радиус комплекса встречи 9 Å.

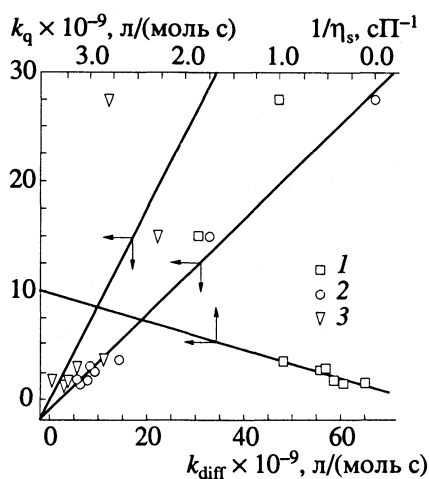


Рис. 1. Зависимость константы скорости тушения флуоресценции  $k_q$  кумарина 102 серной кислотой от обратной вязкости растворителя  $\eta_s$  (1) и соотношение между  $k_q$  и константами скорости диффузии реагентов  $k_{\text{diff}}$  для случая взаимодействия с протоном (2) и молекулой  $\text{H}_2\text{SO}_4$  (3).

(табл. 2). На рис. 1 приведена зависимость  $k_q$  от  $k_{\text{diff}}$ . Видно, что  $k_q$  хорошо коррелирует с  $k_{\text{diff}}$  для сольватированного протона ( $\gamma = 0.994$ ) и не коррелирует с  $k_{\text{diff}}$  для молекулярной формы кислоты ( $\gamma = 0.637$ ). Кроме того, из данных табл. 2 видно, что если тушителем флуоресценции К102 является молекула  $\text{H}_2\text{SO}_4$ , то значения  $k_i$  в этиленгликоле и воде получаются отрицательными. Это свидетельствует о том, что рассмотрение молекулы серной кислоты в качестве тушителя неадекватно данным эксперимента.

Таким образом, можно считать доказанным, что тушение флуоресценции К102 осуществляется сольватированным протоном. Отклонение от линейности зависимости  $k_q(1/\eta_s)$  в области малых значений  $\eta_s$  обусловлено ускоренной диффузией протона по цепочке водородных связей. На рис. 2 приведена зависимость между найденными из эксперимента величинами  $\lg k_i$  и рассчитанными по соотношению (10). Видно, что наблюдается линейная корреляция ( $X_0 = 5.48 \pm 0.78$ ,  $s = -2.08 \pm 0.80$ ,  $a = 6.19 \pm 1.38$ ;  $\gamma = 0.938$ ). Основное влияние на величину  $k_i$  оказывает протонодонорная способность растворителя.

Исходя из того, что увеличение кислотности растворителя приводит к росту  $k_i$ , а увеличение полярности и поляризуемости – к уменьшению  $k_i$ , можно предположить, что энергия активации мономолекулярной реакции распада комплекса встречи

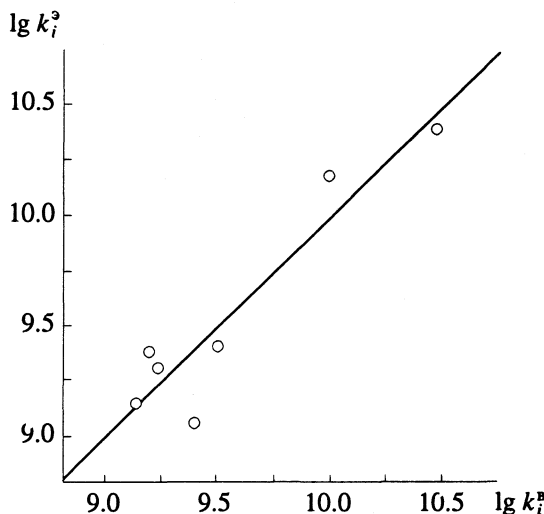
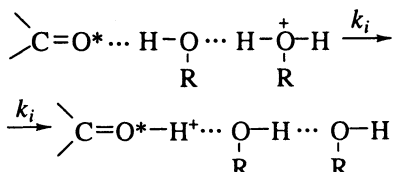


Рис. 2. Корреляция между найденными из эксперимента и рассчитанными по соотношению (10) константами скорости дезактивации синглетного возбужденного состояния К102.

определяется двумя факторами: 1) энергией разрыва связи  $\text{H}-\text{OR}$ , 2) разностью энергий стабилизации комплекса встречи и переходного состояния в растворителе (эта энергия меньше для переходного состояния за счет большей делокализации положительного заряда). Увеличение кислотности растворителя приводит к уменьшению барьера активации реакции за счет первого фактора, а увеличение полярности – к увеличению барьера реакции за счет второго фактора.

#### СПИСОК ЛИТЕРАТУРЫ

- Arnett E.M. // Progr. Phys. Org. Chem. 1963. V. 1. P. 223.
- Ireland J.F., Wyatt P.A.H. // Adv. Phys. Org. Chem. 1976. V. 12. P. 131.
- Schulman S.G. // Anal. Chim. Acta. 1977. V. 93. P. 239.
- Соколова И.В., Лобода Л.И. // Журн. структур. химии. 1982. Т. 23. № 6. С. 35.
- Yakatan G.J., Juneau R.J., Schulman S.G. // Anal. Chem. 1972. V. 44. № 6. P. 1044.
- Wolfbeis O.S. // Z. Naturforsch. A. 1977. B. 32. № 9. S. 1065.
- Дружинин С.И., Бурсулай Б.Д., Ужинов Б.М. и др. // Журн. общ. химии. В печати.
- Дружинин С.И., Бурсулай Б.Д., Ужинов Б.М. // Журн. прикл. спектроскопии. В печати.
- Agmon N., Huppert D., Masad A., Pines E. // J. Phys. Chem. 1991. V. 95. № 25. P. 10407.
- Jalink C.J., van Ingen W.M., Huizer A.H., Varma C.A.G.O. // J. Chem. Soc. Faraday Trans. 1991. V. 87. № 8. P. 1103.
- Вайсбергер А., Проскауэр Э., Риддик Дж., Тупс Э. Органические растворители. М.: Изд-во иностран. лит., 1958. 519 с.

12. Rehm D., Weller A. // Ber. Bunsenges. Phys. Chem. 1969. B. 73. № 8/9. S. 834.
13. Othmer D.F., Thakar M.S. // Ind. Eng. Chem. 1953. V. 45. № 3. P. 589.
14. Landolt-Börnstein S. Zahlenwerte und Funktionen aus Physik. Chemie. Astronomie. Geophysik und Technik. B. II. Teil 4 - 6. B.: Springer Verlag, 1963.
15. De Lisi R., Goffredi M. // J. Chem. Soc. Faraday Trans. Pt. I. 1974. V. 70. № 5. P. 787.
16. De Lisi R., Goffredi M., Turco L.V. // J. Chem. Soc. Faraday Trans. Pt. I. 1976. V. 72. № 2. P. 436.
17. Fernandez-Prini R., Spiro M.P. // Physical Chemistry of Organic Solvent Systems. L.: Plenum Press, 1973. P. 525.
18. Druzhinin S.I., Rodchenkov G.M., Uzhinov B.M. // Chem. Phys. 1988. V. 128. № 2/3. P. 383.
19. Abboud J.-L. M., Kamlet M.J., Taft R.W. // Progr. Phys. Org. Chem. 1981. V. 13. P. 485.
20. Kamlet M.J., Abboud J.-L. M., Abraham M.H., Taft R.W. // J. Org. Chem. 1983. V. 48. № 17. P. 2877.
21. Jones G. (II), Jackson W.R., Choi Ch.-Y. // J. Phys. Chem. 1985. V. 89. № 2. P. 294.

БИОФИЗИЧЕСКАЯ  
ХИМИЯ

УДК 548.33:547.854.4:

СТРОЕНИЕ И БИОНЕЭКВИВАЛЕНТНОСТЬ  
ПОЛИМОРФНЫХ ФОРМ МЕТИЛУРАЦИЛА

© 1993 г. Н. Б. Леонидов\*, П. М. Зоркий\*\*, А. Э. Масунов\*\*, О. П. Гладких\*\*,  
В. К. Бельский\*\*\*, А. В. Дзябченко\*\*\*, С. А. Иванов\*\*\*

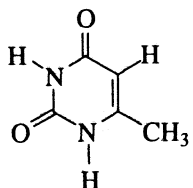
\*Временный межотраслевой научно-технический коллектив "Биоэффект", Москва

\*\*Московский государственный университет им. М.В. Ломоносова, Химический факультет

\*\*\*Научно-исследовательский физико-химический институт им. Л.Я. Карпова, Москва

Две кристаллические полиморфные формы фармакопейного препарата 6-метилурацила значительно отличаются по биологическому действию. Установлено, что в основном эти формы состоят из кристаллических фаз I и II соответственно. Кристаллическая структура I известна из литературы. Монокристаллы II изучены на автоматическом дифрактометре в настоящей работе. В обеих полиморфных модификациях молекулы имеют практически плоское строение, но есть небольшие геометрические различия. Посредством Н-связей в кристаллах I молекулы объединены в димеры, а димеры ассоциированы в слои; в кристаллах II ассоциаты представляют собой плоские ленты. Высказано предположение, что при растворении кристаллов II (в отличие от кристаллов I) в растворе в течение некоторого времени сохраняются обрывки лент; последнее порождает различие в сольватных комплексах. В результате в растворах, полученных из разных полиморфных форм, присутствуют различные ассоциаты и сольватные комплексы, что может стабилизировать и геометрические различия молекул.

Фундаментальное значение полиморфизма органических соединений приобретает чрезвычайно важный практический аспект, когда объектами исследования являются биологически активные вещества. Хорошо известны многочисленные примеры существенных различий в биологическом действии разных кристаллических форм (полиморфных форм и кристаллосольватов) одного и того же химического соединения. Представляется чрезвычайно важным установить физико-химическую природу этих различий, изучить многообразие факторов, влияющих на изменение свойств лекарственных препаратов. В настоящей работе в этом плане изучены полиморфные модификации метилурацила (2,4-диоксо-6-метил-1,2,3,4-тетрагидропирамидина)



используемого в качестве лекарственного вещества с анаболической и антикатаболической активностью [1].

Ранее [2, 3] было установлено, что метилурацил существует в виде двух форм, отличающихся строением, физико-химическими характеристиками и антиоксидантной активностью (*in vitro* и *in vivo*). Первая из них представляет собой фар-

макопейный препарат, вторая – получена его рекристаллизацией.

В литературе имеются сообщения о рентгенографических исследованиях кристаллического 6-метилурацила. В работе [4] выполнен полно-профильный анализ порошковых и предложена моноклинная кристаллическая структура I, характеризующаяся следующими параметрами:  $a = 4.5137$ ,  $b = 10.9883$ ,  $c = 11.7224$  Å,  $\beta = 97.554^\circ$ , пространственная группа  $P2_1/c$ ,  $Z = 4$ . В работе [5] приведены следующие кристаллографические данные:  $a = 3.910$ ,  $b = 10.445$ ,  $c = 14.817$  Å,  $\alpha = 69.28^\circ$ ,  $\beta = 82.45^\circ$ ,  $\gamma = 79.25^\circ$ , пространственная группа  $P\bar{1}$ ,  $Z = 4$ , т.е. кристаллы описаны как триклиновые с двумя симметрически независимыми молекулами.

В настоящей работе рентгенографически (метод порошка) исследованы две бионеэквивалентные кристаллические формы метилурацила, о которых сообщалось в работах [2, 3]. Кроме того, на автоматическом дифрактометре изучены монокристаллы II, полученные нами из водного раствора фармакопейного препарата.

Рентгеноструктурный анализ монокристаллов II проводился на дифрактометре "Syntex P1". Параметры элементарной ячейки:  $a = 20.583(4)$ ,  $b = 3.909(1)$ ,  $c = 14.804(3)$  Å,  $\beta = 110.88(2)^\circ$ , пространственная группа  $C2/c$ ,  $Z = 8$ . Нам удалось установить, что путем перехода к новым кристалло-

графическим осям ( $X = y$ ,  $Y = x/2 + y/2$ ,  $Z = x/2 + y/2 + z$ ) можно получить параллелепипед повторяемости с параметрами  $a = 3.91$ ,  $b = 10.45$ ,  $c = 14.82 \text{ \AA}$ ,  $\alpha = 63.3^\circ$ ,  $\beta = 82.5^\circ$ ,  $\gamma = 79.3^\circ$ , что полностью совпадает со значениями параметров, приведенными в работе [5]. Таким образом, изученные монокристаллы представляют собой ту же фазу, которая исследовалась в работе [5], однако авторы этой работы не сумели правильно выбрать оси координат и установить истинную пространственную группу с моноклинной базоцентрированной решеткой. Координаты атомов в ячейке приведены в таблице. Описание структуры этих кристаллов дано ниже.

Дифрактограмма порошка исходного фармакопейного метилурацила была однозначно проиндицирована на основе моноклинной ячейки с параметрами  $a = 4.594$ ,  $b = 10.955$ ,  $c = 11.754 \text{ \AA}$ ,  $\beta = 97.96^\circ$ , что достаточно хорошо соответствует результатам работы [4]. Наблюдалось также хорошее согласие интенсивности рефлексов этой порошковойограммы и теоретической порошковойограммы, вычисленной на основании данных [4]. Дифрактограмма порошка, полученного при рекристаллизации, содержала линии, сильно уширенные из-за малого размера кристаллов. Однако ее сопоставление с теоретической порошковойограммой, вычисленной по данным проведенного нами рентгеноструктурного анализа монокристалла II, однозначно доказывает идентичность основного компонента этого порошка и полученных нами при рекристаллизации монокристаллов.

Таким образом, установлено, что фармакопейный препарат метилурацила в основном образован кристаллами I, а его рекристаллизат – кристаллами II. Строение обеих модификаций нам полностью известно. Это позволяет искать объяснение различия их биологической активности в особенностях кристаллической структуры.

Кристаллографические координаты и изотропные тепловые параметры атомов ( $\text{\AA}^2$ ) в структуре 6-метилурацила

Атом	$x$	$y$	$z$	$U \times 10^3$
N(1)	0.0735(2)	0.2418(8)	0.0781(2)	38(1)
O(2)	0.0612(1)	0.5124(8)	-0.0626(2)	36(1)
N(3)	0.1642(2)	0.2533(8)	0.0203(2)	50(1)
O(4)	0.2684(1)	0.0134(8)	0.1048(2)	49(1)
C(2)	0.0975(2)	0.3429(11)	0.0076(3)	34(2)
C(4)	0.2081(2)	0.0693(10)	0.0990(3)	35(2)
C(5)	0.1790(2)	-0.0266(11)	0.1682(3)	37(2)
C(6)	0.1139(2)	0.0591(10)	0.1590(3)	36(2)
C(7)	0.0810(2)	-0.0247(12)	0.2309(3)	52(2)
H(1)	0.025(2)	0.285(14)	0.071(3)	8(1)
H(3)	0.184(2)	0.323(12)	-0.028(3)	5(1)
H(5)	0.209(2)	-0.151(13)	0.224(4)	7(1)
H(71)	0.068(2)	0.166(13)	0.257(3)	9(1)
H(72)	0.034(2)	-0.141(13)	0.195(3)	7(1)
H(73)	0.113(2)	-0.158(14)	0.282(4)	11(1)

Строение молекул в кристаллах I и II отличается незначительно (рис. 1). Наблюдаемые различия в длинах связей и валентных углах, по-видимому, в основном обусловлены погрешностями или возникают в результате малых отклонений от равновесной формы изолированной молекулы, вызванных межмолекулярными взаимодействиями. Окружение молекулы в каждой из полиморфных модификаций, а следовательно, и силовое поле, в котором она находится, имеет свою специфику, что и порождает небольшие вариации геометрических характеристик. В обеих полиморфных формах молекулы имеют строение, очень близкое к плоскому, но есть и отклонения

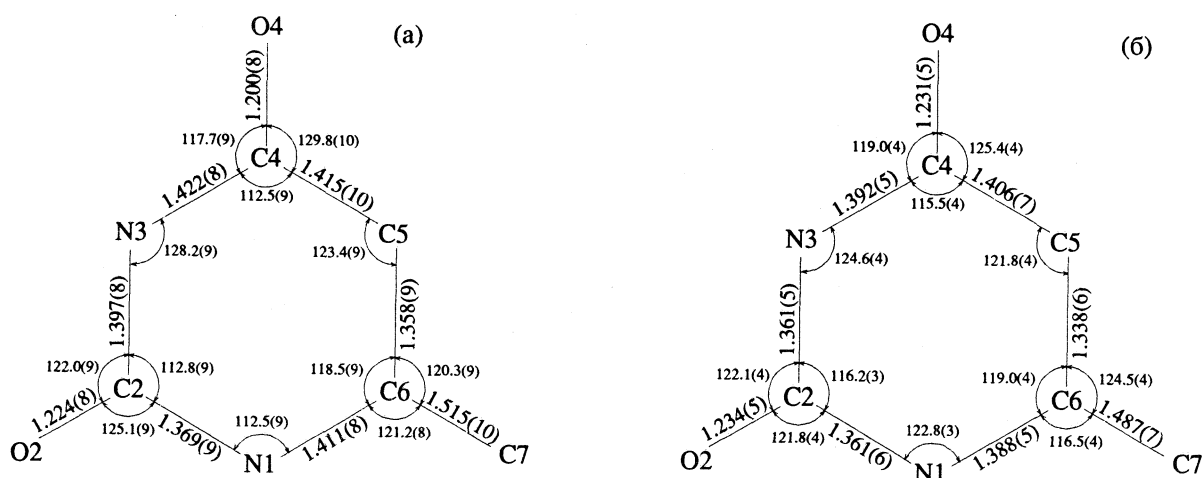


Рис. 1. Длины связей и валентные углы в структурах I (а) и II (б). В скобках дана вероятная среднеквадратичная погрешность, порядок которой определяется последней из приводимых значащих цифр.

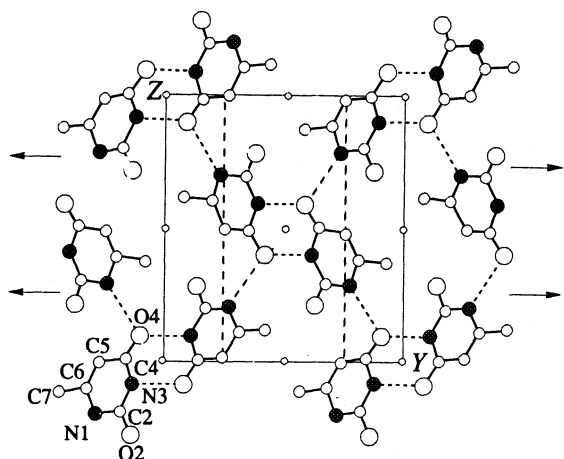


Рис. 2. Проекция элементарной ячейки кристаллической структуры I на плоскость YZ.

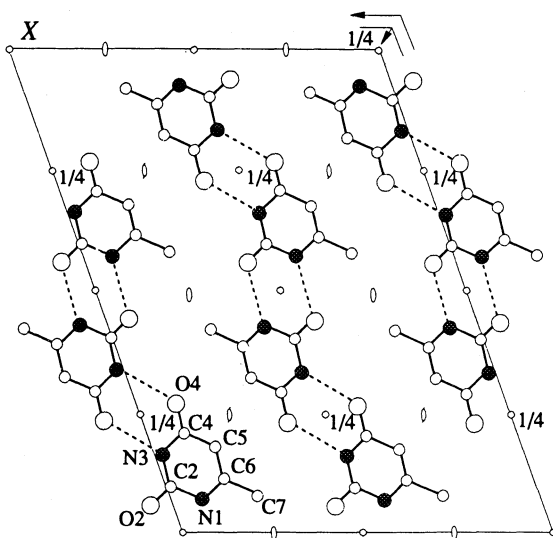


Рис. 3. Проекция элементарной ячейки кристаллической структуры II на плоскость XZ.

от плоскости, заметно превышающие вероятную погрешность. Расстояния ( $\text{\AA}$ ) атомов от плоскости N1–C3–C5 равны:

Атом	C2	C4	C6	O2	O4	C7
I	-0.008	-0.003	0.010	-0.020	-0.011	0.040
II	-0.003	0.005	0.011	0.020	0.057	0.049

Как видим, плоскую конфигурацию молекулы метилурацила нарушает атом углерода группы  $\text{CH}_3$ , а в кристаллах II еще и атом O4. Чтобы оценить значимость приведенных величин, был выполнен расчет оптимальной конформации свободной молекулы по методу молекуллярной механики с использованием различных стартовых конформаций (по программе MMX [6]). При этом оказалось, что минимальная энергия соответствует плоской модели молекулы, в которой нет даже небольших отклонений, наблюдавшихся в кристаллах I и II. Таким образом, согласно нашим

данным, конформация изолированной молекулы является плоской, но она обладает некоторой подвижностью и может в ограниченных пределах меняться под влиянием межмолекулярных взаимодействий.

Если строение молекул в кристаллах I и II не обнаруживает существенных различий, то их упаковка различается принципиально, прежде всего в отношении реализующейся системы водородных связей (рис. 2, 3). В структуре I (рис. 2) молекулы объединены в центросимметричные димеры связями N(3)–H...O(4) (расстояние N(3)...O(4) 2.87  $\text{\AA}$ ); эти димеры в свою очередь с помощью связей N(1)–H...O(4) (2.85  $\text{\AA}$ ) объединяются в слои, параллельные плоскости YZ. Образующийся слоистый H-ассоциат, согласно символике, описанной впервые в работе [7], характеризуется графом  $L_3^4(2, 6)$ .

Проведенный нами [8] систематический анализ кристаллических структур многочисленных производных урацила показал, что аналогичная сетка H-связей, описываемая графиком  $L_3^4(2, 6)$ , имеется в ряде веществ данного класса, в частности в кристаллическом урациле, где молекулы этой сетки лежат в одной плоскости и связи N1–H...O4 между димерами дополняются связями C(5)–H...O(2) и C(6)–H...O(2). В случае кристаллов I группа  $\text{CH}_3$  не образует H-связей, и ван-дерваальсовое отталкивание метильной группы от атома O(2) поворачивает димер так, что он выходит из плоскости сетки. В результате связь C(5)–H...O(2) (3.31  $\text{\AA}$ ) в структуре I возникает между молекулами разных сеток. Кроме того, молекулы соседних сеток расположены так, что карбонильная группа одной молекулы оказывается над антипараллельной ей карбонильной группой другой молекулы (рис. 4а). В работе [8] такая ситуация была отнесена нами к “специфическим стэкинг-контактам”.

В кристаллах II каждая молекула образует по две H-связи с каждой из двух соседних молекул, в которые она преобразуется посредством ближайших центров инверсии (рис. 3). Если исходная молекула имеет координаты  $x, y, z$ , то связь N(1)–H...O(2) образуется с молекулой, имеющей координаты  $-x, 1 - y, -z$  (N...O 2.87  $\text{\AA}$ , H...O 1.91  $\text{\AA}$ , угол NHO 165°), а связь N(3)–H...O(4) дает молекулу с координатами  $1/2 - x, 1/2 - y, -z$  (2.83  $\text{\AA}$ , 1.86  $\text{\AA}$ , 171°). Таким образом, в кристаллах при-  
сутствуют H-ассоциаты, являющиеся цепями (их можно назвать и лентами) и характеризуемые графиком  $C_2^4(2)$ . Каждая лента состоит из димеров (таких же, как в кристаллах I), соединенных парными H-связями. Линейность H-связей приводит к тому, что молекулы, составляющие ленту, лежат в одной плоскости. Соседние ленты, связанные трансляцией, складываются в слои, имеющие

вид стопок, с образованием специфических межмолекулярных стэкинг-контактов, в которых карбонильная группа одной молекулы располагается над центром ароматического цикла другой (рис. 4б). Между соседними слоями специфические контакты отсутствуют. Слои преобразуются друг в друга поворотом вокруг параллельных их плоскостей осей  $2_1$ . При этом оси  $2_1$  проходят наклонно к направлению лент, что приводит к скрещенному расположению лент соседних слоев (рис. 5). Аналогичная упаковка сходных по строению лент наблюдается в моноклинной модификации 1,3-диметилурацила, в которой, однако, ленты образованы связями  $\text{NCH}_3\cdots\text{O}$ . Другие примеры кристаллических производных урацила, в которых имеются сходные (но иначе расположенные) ленты, приведены в работе [8].

Поскольку проявлению биологической активности предшествует растворение, ясно, что различие биологического действия растворов, полученных из кристаллов I и II, должно быть обусловлено их структурными особенностями, определяемыми строением полиморфных форм. Представляется важным обсудить возможный механизм наследования раствором некоторых элементов структуры исходного кристалла. Такой механизм может объяснять и другие проявления различий свойств растворов [9].

Естественно предположить, что, по крайней мере, в течение некоторого времени в растворах органических веществ могут сохраняться ассоциаты или фрагменты ассоциатов (молекулярные агломераты), присутствующие в растворяющем кристалле [10]. Тогда растворение полиморфных форм может давать растворы с различной структурой. Вообще говоря, при подходящих условиях различие может сохраняться сколь угодно долго (если каждый раствор достиг своего равновесного состояния и эти состояния не одинаковы). Но, коль скоро речь идет о сравнительно непрочных Н-ассоциатах, более вероятно, что со временем растворы разных полиморфных форм придадут к однаковому равновесному состоянию, однако это время может быть достаточно долгим.

Скрупулезные термодинамические исследования [11] показывают, что, вопреки устоявшемуся мнению, димеризация с образованием амидной Н-связи дает значительный выигрыш в свободной энергии как в неполярном растворителе  $\text{CCl}_4$  ( $\Delta G = -32 \text{ кДж/моль}$ ), так и в водном растворе ( $\Delta G = -26 \text{ кДж/моль}$ ). Это позволяет считать, что димеры амидного типа, присутствующие в обеих полиморфных формах, при растворении сохраняют термодинамическую стабильность.

В кристаллах I такие димеры связаны одиночными Н-связями (в слои), а в кристаллах II — парными Н-связями (в ленты). Очевидно, что при растворении в первом случае разъединение димеров осуществляется легче и раствор очень

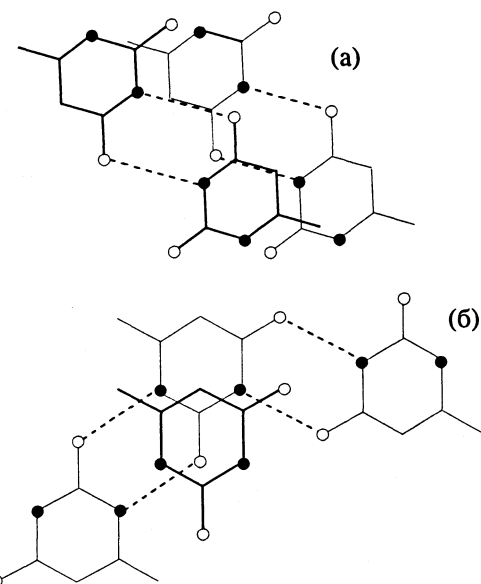


Рис. 4. Проекция димеров соседних сеток в кристалле I на среднюю плоскость молекулы (а) и проекция фрагментов соседних лент в кристаллах II на среднюю плоскость молекулы (б).

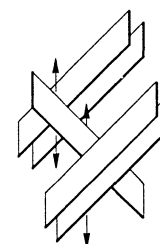


Рис. 5. Схема расположения ленточных Н-ассоциатов в кристаллической структуре II.

быстро должен превратиться в совокупность относительно свободных димеров, между которыми временами возникают слабые одиночные Н-связи. Во втором случае в растворе довольно долго могут существовать более или менее крупные обрывки лент, поскольку разрыв парных Н-связей происходит труднее. Эти фрагменты лент имеют достаточно жесткую структуру, но если одна из двух Н-связей, соединяющих молекулы в ассоциаты, разрывается, то возникает "шарнир". Благодаря таким "шарнирам" не исключается и образование глобулярных систем.

Очевидно, что при формировании структуры раствора и при его биологическом действии существенную роль играют сольватные (в частности, гидратные) комплексы. Образование сольватов (молекулярных конгломератов), по-видимому, стабилизирует структурные различия, порожденные разным строением полиморфных форм. Более того, при этом могут возникать и новые конформационные эффекты.

При растворении кристаллов I освобождаются сильные электроноакцепторные (протонодонорные) центры NH и именно с ними в первую очередь будут взаимодействовать молекулы растворителя. Напротив, при растворении кристаллов II, по-видимому, сохраняются фрагменты лент, в которых все протоны уже участвуют в H-связях, и свободными акцепторными центрами оказываются лишь карбонильные группы. В такой ситуации весьма вероятно образование специфических межмолекулярных контактов O=C...O, которые, как показано в работе [12], часто приводят к пирамидальной координации атома С карбонильной группы. Поскольку в молекуле метилурацила имеются два таких атома, могут реализоваться различные варианты отклонения от плоской конформации. Отсюда, на наш взгляд, следует, что характер ассоциации и сольватации влияет на распределение электронной плотности в молекуле и может поддерживать в ней тонкие геометрические особенности, проявляющиеся в изменениях физических, химических и биологических свойств [9].

#### СПИСОК ЛИТЕРАТУРЫ

1. *Машковский М.Д.* Лекарственные средства. В 2-х т. 10-е изд. М.: Медицина, 1986. Т. 2. С. 138.
2. *Леонидов Н.Б., Елисеева С.В., Таран Ю.П. и др.* // Тез. III Всесоюз. конф. "Биоантоксидант". М., 1989. С. 72.
3. *Шишикина Л.Н., Леонидов Н.Б., Таран Ю.П.* // Там же. С. 55.
4. *Reck G., Kretzschmer R.-G., Kutschabsky L., Pritzkow W.* // Acta Cryst. Ser. A. 1988. V. 44. P. 417.
5. *Srikrishnan T., Parthasarathy R.* // Amer. Cryst. Assoc. Ser. 2. 1984. V. 12. P. 55.
6. *Allinger N.L., Sprague J.T.* // J. Amer. Chem. Soc. 1973. V. 95. P. 3893.
7. *Kuleshova L.N., Zorkii P.M.* // Acta Cryst. Ser. B. 1980. V. 36. P. 3112.
8. *Масунов А.Э., Грищенко С.И., Зоркий П.М.* // Журн. физ. химии. 1993. Т. 67. № 2. С. 221.
9. *Леонидов Н.Б.* // Там же. 1985. Т. 59. № 5. С. 1292.
10. *Etter M.C.* // J. Phys. Chem. 1991. V. 95. P. 4601.
11. *Doig A., Williams D.H.* // J. Amer. Chem. Soc. 1992. V. 114. № 1. P. 338.
12. *Burgi H., Dunitz F.* // Acc. Chem. Res. 1983. V. 16. P. 153.

УДК 541.14

ДИНАМИКА КОМПЛЕКСОВ С ПЕРЕНОСОМ ЗАРЯДА  
МЕТИЛВИОЛОГЕНА С АРОМАТИЧЕСКИМИ МОЛЕКУЛАМИ  
В АНИОННЫХ МИЦЕЛЛАХ

© 1993 г. В. А. Надточенко\*, Н. Н. Денисов\*, В. Гульбинас\*\*, В. Бутвилас\*\*, А. Урбас\*\*

\*Российская академия наук, Институт химической физики, Черноголовка

\*\*Академия наук Литвы, Институт физики, Вильнюс

Поступила в редакцию 30.11.92 г.

Методом пикосекундного лазерного фотолиза изучена динамика фотовозбужденных комплексов с переносом заряда (КПЗ) метилвиологена ( $MB^{2+}$ ) с нафталином, антраценом, бензантраценом и ди-бензантраценом (Ar) в метаноле и водном растворе анионных мицелл NaLS, определены коротковживущие спектры поглощения возбужденных КПЗ при возбуждении в полосе с переносом заряда. Показано, что возбужденное состояние можно представить как  $MB^{+}...Ar^+$ . Установлено, что его время жизни в метанольном растворе в 5 - 10 раз меньше, чем в мицеллах для каждого КПЗ. Дан анализ корреляции времени жизни возбужденных КПЗ с величиной коэффициента экстинкции, положением максимума и полуширины полосы с переносом заряда для комплексов в обеих средах, обсужден эффект мицеллярного окружения на стабилизацию возбужденного состояния.

Фотоиндуцированное разделение зарядов, их рекомбинация в образующейся ионной паре или состоянии с переносом заряда определяются электронным взаимодействием ( $V$ ), ответственным за перенос электрона между донором D и акцептором A, энергетической щелью  $-\Delta G_0$ , энергией реорганизации  $\lambda$  и динамикой растворителя. В зависимости от величин этих параметров возможны различные механизмы образования и релаксации ионной пары [1 - 4]. Слабые донорно-акцепторные комплексы с переносом заряда (КПЗ) ароматических молекул (Ar) с различными акцепторами электронов являются удобными объектами для исследования процесса фоторазделения зарядов, элементарного акта реакции переноса электрона [5 - 9]. С точки зрения моделирования процессов переноса электрона в биологии, представляет интерес динамика возбужденных КПЗ в белковых и мембранных системах, а также в модельных системах, например в мицеллах или липосомах. КПЗ метилвиологена ( $MB^{2+}$ ) с аренами в среде анионных мицелл удобны для исследования эффектов границы раздела мицелла/вода на динамику возбужденных КПЗ. Равновесие с образованием КПЗ между дикатионом  $MB^{2+}$  и ароматическими молекулами значительно сдвигается в сторону комплексообразования в случае водных растворов анионных мицелл по сравнению со спиртовыми и водно-спиртовыми растворами [9 - 11]. Этот эффект в основном обусловлен увеличением локальной концентрации реагентов за счет одновременной солюбилизации молекулы Ar и  $MB^{2+}$  одной анионной мицеллой [9, 11, 12]. В настоящей работе исследуется релаксация возбужденных в полосе с переносом заряда

комплексов  $MB^{2+}$  с нафталином, антраценом, 1,2-бензантраценом и 1,2,3,4-дибензантраценом в метанольном и мицеллярном (натрий лаурил сульфат, NaLS) растворах.

ЭКСПЕРИМЕНТАЛЬНАЯ ЧАСТЬ

В работе использовали без дополнительной очистки метилвиологен дихлорид производства фирмы "Serva", антрацен сцинтиляционный, нафталин "ч. д. а." и 1,2-бензантрацен, 1,2,3,4-дибензантрацен производства фирмы "Fluca AG"; NaLS производства фирмы "Fluka AG" дополнительно дважды перекристаллизовывали из 96%-ного этанола после экстракции додецилового спирта сухим этиловым эфиром в аппарате Сокслета. Растворы готовили в тридистиллированной воде. Метанол чистили перегонкой.

Спектры поглощения получали в 1 см кварцевых кюветах на спектрофотометрах "Specord UV-VIS" и "Specord M-40". Спектры флуоресценции регистрировали на спектрофлуориметре "Aminco-Bowman".

Наносекундный импульсный фотолиз осуществляли с помощью второй либо третьей гармоник Nd<sup>3+</sup>: YAG-лазера в 1 см кварцевой кювете в анаэробных условиях. Установка наносекундного фотолиза описана ранее [13].

Пикосекундные кинетические измерения проводили на установке, созданной на базе KGd(WO<sub>4</sub>)-лазера [14], работающей по схеме возбуждение-зондирование. Временная аппаратная функция составляла 6 пс. Возбуждение образца осуществляли либо второй гармоникой основной

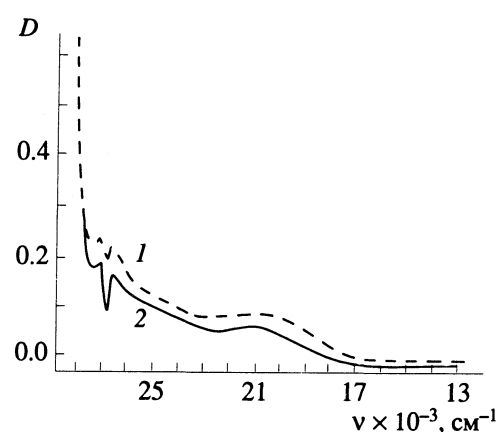


Рис. 1. Спектр поглощения КПЗ антрацена с  $\text{MB}^{2+}$  в мицеллярном (1) и метанольном (2) растворах;  $[\text{A}] = 10^{-4} \text{ M}$ ,  $[\text{MB}^{2+}] = 3 \times 10^{-4}$  (1) и  $6 \times 10^{-3}$  M.

частоты лазера (533 нм), либо импульсом суммарной частоты от импульса на основной частоте лазера и второй гармоники импульса на частоте комбинационного рассеяния (378 нм). Импульс зондирования на длине волны 610 либо 467 нм генерировался параметрическим усилителем на DKDP-кристалле с накачкой второй гармоникой (533 нм). Плотность энергии импульса возбуждения составляла до 20 мДж/см<sup>2</sup>, зондирующего импульса – до 1 мДж/см<sup>2</sup>. Существенных изменений в наблюдаемых кинетических кривых при изменении плотности энергии возбуждения или зондирования при трехкратном понижении энергии не наблюдалось.

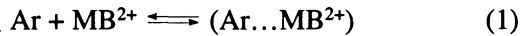
Дифференциальные спектры поглощения возбужденных КПЗ в пикосекундном диапазоне получали на установке с пикосекундным Nd: YAG<sup>3+</sup>-лазером. Длительность импульса возбуждения составляла 30 пс. Возбуждение осуществляли

второй либо третьей гармоникой основной частоты лазера. Для зондирования спектров поглощения использовали излучение пикосекундного континуума от  $\text{D}_2\text{O}$  с возбуждением основной гармоникой. Пикосекундные измерения выполняли в аэробных условиях. Все эксперименты проводили при комнатной температуре.

## ОБСУЖДЕНИЕ РЕЗУЛЬТАТОВ

*Образование КПЗ в метанольном и мицеллярном растворах.* В растворах  $\text{MB}^{2+}$  с нафталином, антраценом, 1,2-бензантраценом или 1,2,3,4-дibenзантраценом наблюдается относительно малоинтенсивная длинноволновая полоса поглощения, которую можно отнести к полосе КПЗ между  $\text{MB}^{2+}$  и Ar. Для примера на рис. 1 показан спектр системы  $\text{MB}^{2+}$  с 1,2,3,4-дibenзантраценом в мицеллярном и метанольном растворах. Образующиеся КПЗ не люминесцируют. При равных концентрациях  $\text{MB}^{2+}$  и Ar в мицеллярном растворе поглощение КПЗ выражено более сильно по сравнению с метанольным раствором. На примере антрацена с  $\text{MB}^{2+}$  было показано, что этот эффект обусловлен солюбилизацией  $\text{MB}^{2+}$  анионной мицеллой [10]. Образование КПЗ нафтилина и антрацена с  $\text{MB}^{2+}$  описано ранее [10, 15 - 17]. Данные о КПЗ  $\text{MB}^{2+}$  с 1,2-бензантраценом и 1,2,3,4-дibenзантраценом ранее не приводились.

Зависимость поглощения КПЗ от  $[\text{MB}^{2+}]$  спрямляется в координатах Скэтчарда, откуда определяются константы равновесия



и коэффициенты экстинкции комплекса. Для всех исследуемых систем характерны комплексы состава 1 : 1, что согласуется с данными для КПЗ  $\text{MB}^{2+}$  с другими аренами [18]. Эффективная

Таблица 1. Время жизни возбужденных КПЗ, значения  $v_{\max}$  и  $\Delta v_{1/2}$  полос КПЗ, коэффициент экстинкции,  $-\Delta G_0$  и константа равновесия  $K$

Среда	$(1/\tau) \times 10^{-10}$ , с <sup>-1</sup>	$v_{\max}$ , см <sup>-1</sup>	$\Delta v_{1/2}$ , см <sup>-1</sup>	$\epsilon_{\max}$ , М <sup>-1</sup> см <sup>-1</sup>	$-\Delta G_0$ , эВ	$K$ , М
нафтилин						
MeOH	5.56	$25870 \pm 570$	2400	$385 \pm 30$	2.08	$20 \pm 3$
NaLS	1.50	$25773 \pm 100$	2550	$356 \pm 12$		$122 \pm 12$
антрацен						
MeOH	>13.3	$21000 \pm 250$	2600	$290 \pm 60$	1.63	$22 \pm 8$
NaLS	7.14	$20500 \pm 250$	2700	$210 \pm 25$		$720 \pm 90$
1,2-бензантрацен						
MeOH	>16.7	$21000 \pm 600$	2000	$490 \pm 100$	1.72	$22 \pm 4$
NaLS	4.29	$20800 \pm 200$	2000	$340 \pm 50$		$1090 \pm 90$
1,2,3,4-дibenзантрацен						
MeOH	>13.3	$21720 \pm 110$	2500	$280 \pm 100$	1.89	$34 \pm 20$
NaLS	4.63	$21840 \pm 150$	2600	$289 \pm 55$		$753 \pm 80$

константа равновесия (1) в мицеллах NaLS существенно больше значения константы в метанольном растворе (табл. 1) для всех исследуемых комплексов вследствие одновременной солюбилизации арена и  $\text{MB}^{2+}$  одной мицеллой. Более низкие значения констант равновесия в системах  $\text{MB}^{2+}$ -нафталины в работах [15, 16] объясняются, видимо, использованием других сред (ацето- и бутиронитрил). Наиболее вероятным местом локализации КПЗ в мицеллах можно считать границу

раздела мицелла/вода, причем, по-видимому, КПЗ ориентирован на поверхности мицеллы таким образом, что молекула углеводорода обращена в сторону мицеллы, а дикатион  $\text{MB}^{2+}$  — в сторону водного раствора. Такая модель локализации КПЗ также согласуется с принятыми представлениями о преимущественном месте локализации арена на границе раздела мицелла/вода [19], с данными по тушению возбужденных состояний ароматического углеводорода гидрофильными ионами из водной фазы [20]. Таким образом, при переходе от метанольной системы к мицеллярной, донорно-акцепторный КПЗ арена с  $\text{MB}^{2+}$  оказывается в области двойного слоя мицеллы, на границе раздела мицелла/вода. Полярность локального мицеллярного окружения, как следует из экспериментов с различными флуоресцентными зондами [21], близка по величине полярности метанола.

**Импульсный фотолиз КПЗ.** При возбуждении исследуемых донорно-акцепторных комплексов в полосу переноса заряда (530 нм) наносекундным лазером радикальные продукты не наблюдаются ни в метанольном, ни в мицеллярном растворах. В работах [15-17] сообщалось об образовании катион-радикала  $\text{MB}^{\cdot+}$  при наносекундном фотолизе комплекса с нафталином в полосу КПЗ (530 нм) с низким выходом (не более 0.02). В условиях наших экспериментов  $\text{MB}^{\cdot+}$  не наблюдается. Установлено образование ион-радикальных продуктов при возбуждении в молекулярную полосу поглощения ароматического углеводорода, но при этом фотоактивным является триплетное состояние углеводорода [10]. В настоящей работе фотохимия процессов взаимодействия возбужденных

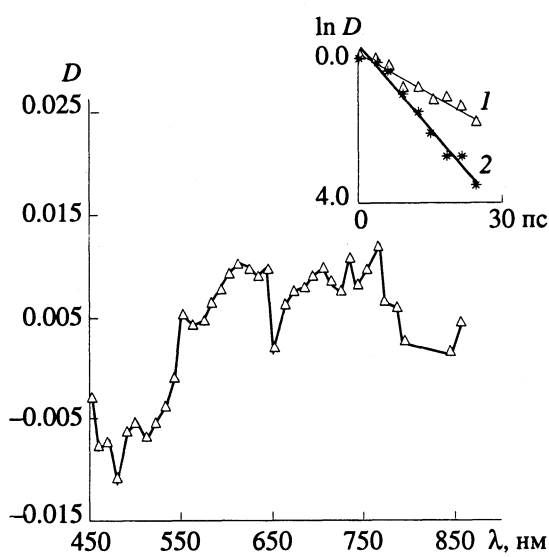


Рис. 2. Дифференциальный спектр поглощения фотовозбужденного комплекса антрацена с  $\text{MB}^{2+}$  в мицеллярном растворе. На врезке показана кинетика дезактивации возбужденного КПЗ в мицеллярном (1) и метанольном (2) растворах.

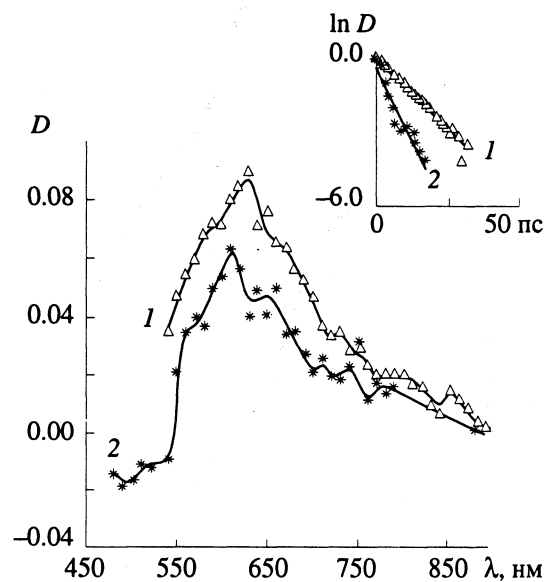


Рис. 3. Дифференциальный спектр поглощения фотовозбужденного комплекса 1,2-бензантрацена с  $\text{MB}^{2+}$ ; обозначения см. рис. 2.

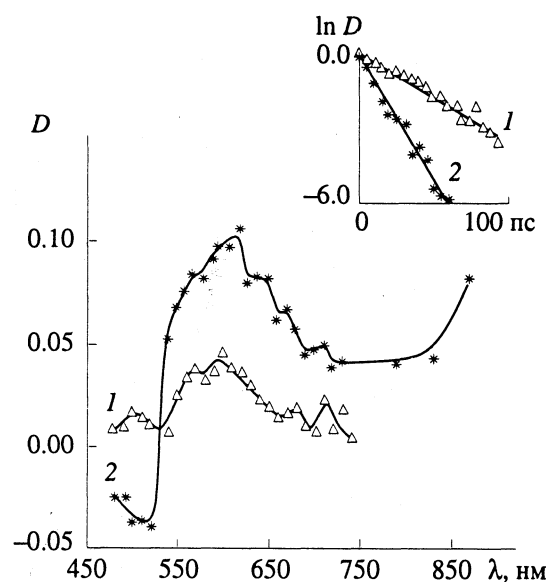


Рис. 4. Дифференциальный спектр поглощения фотовозбужденного комплекса 1,2,3,4-дibenзантрацена с  $\text{MB}^{2+}$ ; обозначения см. рис. 2.

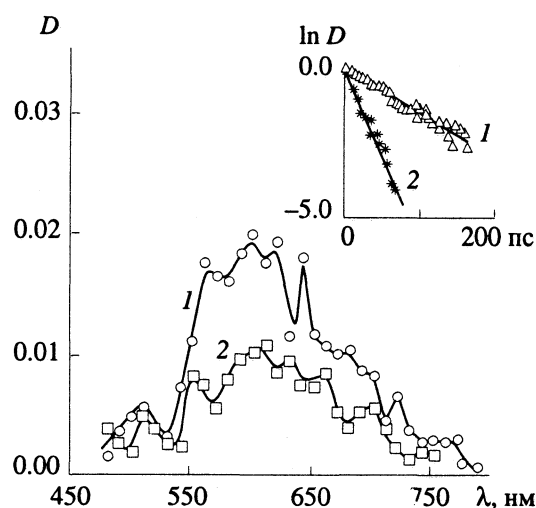


Рис. 5. Дифференциальный спектр поглощения фотовозбужденного комплекса нафтилина с  $\text{MB}^{2+}$  в мицеллярном растворе при задержке 0 (1) и 60 пс (2). На врезке показана кинетика дезактивации возбужденного КПЗ в мицеллярном (1) и метанольном (2) растворах.

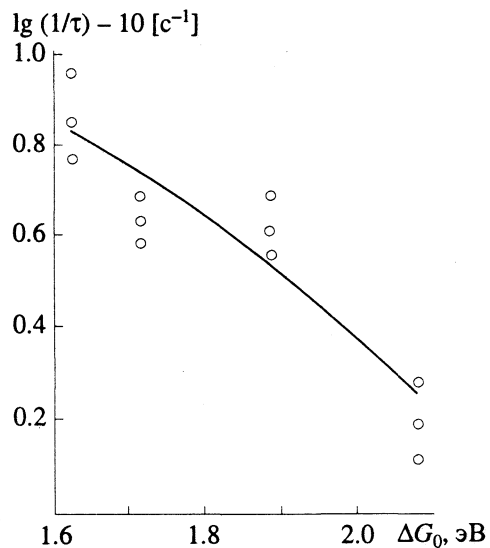


Рис. 6. Зависимость обратного времени жизни фотовозбужденных КПЗ от величины энергетической щели.

триплетных ароматических углеводородов с  $\text{MB}^{2+}$  не рассматривается.

При возбуждении исследуемых комплексов в полосу переноса заряда пикосекундным лазером обнаружены спектры короткоживущих интермедиатов. На рис. 2 - 5 представлены дифференциальные спектры поглощения и полулогарифмические анаморфозы кинетики гибели возбужденных состояний КПЗ. В экспериментах с пикосекундным фотолизом установлено:

1) экспоненциальная кинетика гибели возбужденного состояния КПЗ (рис. 2 - 5);

2) время жизни возбужденного состояния в мицеллярном растворе существенно больше, чем в метанольном растворе (табл. 1);

3) во всех пикосекундных дифференциальных спектрах поглощения наблюдается полоса поглощения около 605 нм, близкая по положению максимума и форме к характерной полосе поглощения катион-радикала  $\text{MB}^+$  (рис. 2 - 5);

4) ионная сила мицеллярного раствора (от 0 до 0.3 M NaCl) не влияет на время жизни возбужденного состояния КПЗ.

Появление характерной полосы поглощения  $\text{MB}^+$  в дифференциальных спектрах позволяет сделать вывод, что возбужденный комплекс можно представить как ионную пару  $\text{MB}^+ \dots \text{Ag}^+$ . Независимость от ионной силы мицеллярного раствора времени жизни возбужденного КПЗ, по-видимому, означает, что более медленная релаксация КПЗ в мицеллах по сравнению с метанолом не определяется эффектом электрического поля границы раздела. Данные о положении синглетных и триплетных уровней молекул  $\text{Ag}$  и  $\text{MB}^{2+}$ , а также о редокс-потенциалах  $\text{Ag}$  и  $\text{MB}^{2+}$  (табл. 2), из которых можно оценить положение уровня ( $\text{Ag}^+ \dots \text{MB}^+$ ), согласуются с выводом о том, что дезактивацию указанных КПЗ можно рассматривать как перенос электрона внутри комплекса, так как уровни молекулярного возбуждения лежат выше уровня состояния с переносом заряда. Помимо этого, наблюдается зависимость скорости релаксации КПЗ от величины энергетической щели  $-\Delta G_0$  (рис. 6), характерная для скорости релаксации состояния с переносом заряда в КПЗ [1 - 3, 15, 16].

В экспериментах с пикосекундным фотолизом измерены константы скорости переноса электрона внутри комплексов. Кроме того, из анализа формы и интенсивности полосы поглощения КПЗ можно оценить значения величин  $V$  и  $\lambda$ . Согласно существующим представлениям о спектрах КПЗ и скорости реакции термического переноса электрона, коэффициент экстинкции  $\epsilon(v_{\max})$ , форма полосы КПЗ  $D(v)$  контролируются практически одинаковыми и теми же значениями интеграла  $V$  и франк-кондоновского фактора  $FC(hv)$ , что и реакция термического переноса электрона –  $V$ ,  $FC(hv = -\Delta G_0)$  [22, 23]. При этом по полуширине полосы с переносом заряда можно судить о величине энергии реорганизации  $\lambda$ , а по величине коэффициента экстинкции – о величине  $V$ . Тот факт, что полуширина и коэффициент экстинкции в метаноле и NaLS практически совпадают, означает, что значения  $V$  и  $\lambda$  в этих средах должны быть близки.

Чтобы провести численные оценки  $V$  и  $\lambda$ , воспользуемся моделью для спектров поглощения

КПЗ [23], согласно которой справедливы следующие соотношения:

спектр поглощения полосы КПЗ определяется выражением

$$D(v) = D(v_{\max})FC(hv), \quad (2)$$

величина коэффициента экстинкции  $\epsilon(v_{\max})$  равна [24]

$$\epsilon(v_{\max}) = 707.6V^2\alpha^2R^2/(\lambda_s kT)^{1/2}hv_{\max}, \quad (3)$$

где  $\alpha \equiv 1$ ,  $R \equiv r_{Ar^+} + r_{MB^+}$  (значения  $r_{Ar^+} = 3.55, 3.64, 3.65$  и  $3.71 \text{ \AA}$  для нафталина, антрацена, бензантрацена и дibenзантрацена соответственно,  $r_{MB^+} = 3.6 \text{ \AA}$  рассчитаны из данных об энергии сольватации соответствующих катионов [24]).

Соотношение между максимумом полосы КПЗ ( $v_{\max}$ ), внутренней ( $\lambda_{in}$ ) и внешней ( $\lambda_s$ ) энергиями реорганизации и энергетической щели  $-\Delta G_0$ .

$$hv_{\max} = -\Delta G_0 + \lambda_s + \lambda_{in}, \quad (4)$$

$FC$  можно представить в виде

$$FC(hv) = \sum_{w=0} (S^w / w!) e^{-S} \times \\ \times \exp [-(hv - \lambda_s - w\hbar\omega)^2 / 4\lambda_s kT], \quad (5)$$

где  $S\hbar\omega = \lambda_{in}$ , а  $\hbar\omega$  – величина кванта колебательной моды, определяющей  $\lambda_{in}$ , далее принята равной  $1500 \text{ cm}^{-1}$  [23].

Таким образом, представляется возможность из спектральных данных оценить значения  $V$  и  $\lambda_s$ ,  $\lambda_{in}$  путем решения вариационной задачи при аппроксимации формы полосы КПЗ на основе уравнений (2), (3) и (5) (табл. 3). При этом имеет смысл аппроксимировать только длинноволновое плечо полосы КПЗ, так как с коротковолновой стороны происходит переналожение молекулярных полос с полосой переноса заряда (рис. 1).

Таблица 2. Окислительно-восстановительные потенциалы ( $E_{1/2}$  [21]), положение возбужденных уровней нафталина, антрацена, 1,2-бензантрацена, 1,2,3,4-дibenзантрацена ( $E_i$  [22]) и значения  $-\Delta G_0$  для соответствующих КПЗ (эВ)

Ar	$E_{1/2} (\text{Ar}^+/\text{Ar}^{\cdot})$	$E_{S_1}$	$E_T$	$-\Delta G_0$
Нафталин	1.54	3.93	2.63	2.08
Антрацен	1.09	3.28	1.83	1.63
1,2-Бензантрацен	1.18	3.20	2.05	1.72
1,2,3,4-Дibenзантрацен	1.25	3.26	2.20	1.89

Примечание. Для метилвиологена  $E_{S_1} = 4.13 \text{ эВ}$ ,  $E_T = 3.10 \text{ эВ}$ ,  $E_{1/2}(MB^+/MB^{2+}) = -0.44 \text{ эВ}$  [23].

Данное обстоятельство является основным источником погрешности в определении  $\lambda$ . Тем не менее, как видно из полученных таким путем данных (табл. 1, 3), основное соотношение (4) между  $-\Delta G_0$ ,  $\lambda_s$ ,  $\lambda_{in}$  и  $hv_{\max}$  выполняется достаточно хорошо и величина  $V$  составляет  $10^2 - 10^3 \text{ см}^{-1}$ . Если исходить из предположения, что величина  $V$  при ядерной конфигурации оптического перехода мало отличается от значения  $V$  в ядерной конфигурации термического переноса электрона, то можно оценить параметр Ландау–Зиннера ( $P_{12}$ ) для реакции переноса электрона внутри комплекса [23]:

$$P_{12} = 1 - \exp\{-V^2/h\bar{v}[\pi/(\lambda_s + \lambda_{in})kT]^{1/2}\}, \quad (6)$$

где средняя частота  $\bar{v}$  определяется по известному выражению [23]

$$\bar{v}^2 = (\omega_y^2 \lambda_{in} + \omega_s^2 \lambda_s) / (\lambda_{in} + \lambda_s) \quad (7)$$

Большие значения параметра  $P_{12}$  позволяют предположить, что скорость переноса электрона

Таблица 3. Основные параметры переноса электрона в комплексе ( $\text{Ar}^+ \dots MB^+$ ), определяемые в процедуре моделирования полосы с переносом заряда

Среда	$\lambda_s \times 10^{-3}, \text{ см}^{-1}$	$\lambda_{in} \times 10^{-3}, \text{ см}^{-1}$	$v \times 10^{13}, \text{ с}^{-1}$	$P_{12}$	$V, \text{ см}^{-1}$	$hv_{\max}, \text{ см}^{-1}$
нафталин						
NaLS	$7.66 \pm 0.19$	$1.32 \pm 0.29$	1.72	$0.55 \pm 0.15$	687	$25320 \pm 480$
MeOH	$6.70 \pm 0.50$	$2.10 \pm 0.40$		$0.57 \pm 0.18$	700	
антрацен						
NaLS	$3.92 \pm 0.30$	$3.27 \pm 0.33$	3.03	$0.26 \pm 0.10$	454	$20356 \pm 660$
MeOH	$5.86 \pm 0.46$	$2.00 \pm 1.04$	2.29	$0.24 \pm 0.10$	487	$21027 \pm 1480$
1,2-бензантрацен						
NaLS	$4.98 \pm 0.50$	$1.62 \pm 0.30$	2.2	$0.43 \pm 0.12$	510	$20493 \pm 800$
MeOH	$6.70 \pm 2.00$	$1.82 \pm 0.98$	2.08	$0.59 \pm 0.13$	670	$22413 \pm 2980$
1,2,3,4-дibenзантрацен						
NaLS	$4.27 \pm 0.40$	$3.25 \pm 0.33$	2.7	$0.27 \pm 0.10$	456	$21850 \pm 730$
MeOH	$3.25 \pm 0.33$	$4.02 \pm 0.42$	3.3	$0.22 \pm 0.10$	434	$21720 \pm 750$

Примечание.  $hv_{\max}$  – положение максимума полосы поглощения, рассчитанное по (4).

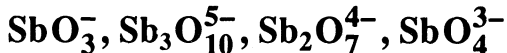
при дезактивации возбужденного КПЗ контролируется не электронным взаимодействием  $V$ , а динамикой молекулярного окружения, определяющей различие в скорости релаксации  $\text{Ar}^+ \dots \text{MB}^+$  для исследуемых двух сред. Для более глубокого понимания особенностей динамики полярного окружения комплекса на границе раздела мицелла/вода необходимы дополнительные экспериментальные данные о релаксации неравновесных диполей с различной глубиной погружения в гидрофобную часть мицеллы.

### СПИСОК ЛИТЕРАТУРЫ

1. Miyasaka H., Ojima S., Mataga N. // J. Phys. Chem. 1989. V. 93. P. 3380.
2. Asahi T., Mataga N. // J. Phys. Chem. 1991. V. 95. P. 1956.
3. Masnovi J.M., Huffman J.C., Kochi J.K. et al. // Chem. Phys. Lett. 1984. V. 106. № 1/2. P. 20 - 25.
4. Ebbsen T.W., Maring L.E., Peters K.S. // J. Amer. Chem. Soc. 1984. V. 106. P. 7400.
5. Mataga N., Shioyama H., Kanda Yu. // J. Phys. Chem. 1987. V. 91. P. 314.
6. Asahi T., Mataga N. // Ibid. 1989. V. 93. № 18. P. 6575.
7. Mataga N., Karen A., Okada T. et al. // J. Chem. Phys. 1984. V. 88. P. 4650.
8. Mataga N., Asahi T., Kanda Yu., Okada T. // Chem. Phys. 1988. V. 127. P. 249.
9. Mataga N. Возбужденные состояния / Под ред. В. Ратайчака, У. Орвилл-Томаса. М.: Мир, 1984. С. 502.
10. Надточенко В.А., Рубцов И.В., Джабиев Т.С., Смирнов В.А. // Хим. физика. 1986. Т. 5. № 2. С. 209.
11. Atherton S.J., Hubig S.M., Callan T.J. et al. // J. Chem. Phys. 1987. V. 91. P. 3117.
12. Solution Behavior of Surfactants. Theoretical and Applied Aspects / Ed. by K.M. Mittal, E. Fendler. N.Y.: Plenum Press, 1982. P. 273.
13. Надточенко В.А., Рубцов И.В. // Журн. физ. химии. 1991. Т. 65. № 4. С. 1058.
14. Васильева М.А., Гульбинас В., Кабелка В. и др. // Квантовая электроника. 1984. Т. 11. № 7. С. 1431.
15. Hubig S.M. // J. Lumin. 1991. V. 47. P. 137.
16. Hubig S.M. // J. Phys. Chem. 1992. V. 96. P. 2903.
17. Jones C.(II), Malba V. // Chem. Phys. Lett. 1985. V. 119. № 2/3. P. 105.
18. Ванников А.В., Гришина А.Д. Фотохимия полимерных донорно-акцепторных комплексов. М.: Наука, 1984. С. 71, 91.
19. Мицеллообразование, солюбилизация и микрэмulsionи / Под ред. К. Миттела. М.: Мир, 1980. 526 с.
20. Fendler J.H. Membrane mimetic chemistry. N.Y.: J. Wiley, 1982. P. 522.
21. Suppan P. // J. Photochem. and Photobiol. A: Chem. 1990. V. 50. № 3. P. 293.
22. Ванников А.В., Гришина А.Д. // Успехи химии. 1979. Т. 48. № 8. С. 1397.
23. Penfield K.W., Miller J.R., Paddon-Row M.N. et al. // J. Amer. Chem. Soc. 1987. V. 109. № 17. P. 5061.
24. Parker V.D. // Ibid. 1976. V. 98. № 1. P. 98.
25. Маны Ч., Барнес К. Электрохимия реакций в неводных системах. М.: Химия, 1974. 106 с.
26. Введение в фотохимию органических соединений / Под ред. Г.О. Беккера. Л.: Химия, 1976. 372 с.

КРАТКИЕ  
СООБЩЕНИЯ

УДК 66.021.2+546.31+661.886

ОЦЕНКА ТЕРМОДИНАМИЧЕСКИХ СВОЙСТВ АНТИМОНАТОВ  
ЩЕЛОЧНЫХ МЕТАЛЛОВ И ГАЗООБРАЗНЫХ ИОНОВ

© 1993 г. Б. К. Касенов, Б. К. Жакибаев, Ш. Б. Касенова

Академия наук Республики Казахстан

Химико-металлургический институт, Караганда

Карагандинский государственный университет

Поступила в редакцию 06.11.92 г.

Сравнительными методами рассчитаны стандартные термодинамические функции антимонатов щелочных металлов составов  $MSbO_3$ ,  $M_5SbO_{10}$ ,  $M_4Sb_2O_7$  и  $M_3SbO_4$ . По уравнению Капустинского вычислены их энергии кристаллических решеток. Рассчитаны стандартные энталпии образования гипотетических газообразных анионов  $SbO_3^-$ ,  $Sb_3O_{10}^{5-}$ ,  $Sb_2O_7^{4-}$ ,  $SbO_4^{3-}$ .

Антимонаты щелочных металлов привлекают внимание исследователей как соединения, обладающие ценными физико-химическими свойствами. Следует подчеркнуть, что до настоящего времени практически не исследованы их термодинамические свойства, за исключением рекомендованной величины  $\Delta_fH^\circ$  (298.15 K) для  $Na_3SbO_4$ , равной -1485.3 кДж/моль [1].

Данная работа посвящена расчету стандартной энтропии, энталпии, энергии Гиббса и энергии образования, энергии кристаллических решеток ( $U_{kp}$ ) антимонатов щелочных металлов и гипотетических газообразных ионов  $SbO_3^-$ ,  $Sb_3O_{10}^{5-}$ ,  $Sb_2O_7^{4-}$ ,  $SbO_4^{3-}$ .

В связи с тем, что As и Sb являются аналогами и соседями по V группе Периодической системы, а арсенаты и антимонаты – изоструктурными соединениями, исходными опорными точками для расчета стандартной энталпии образования антимонатов служили аналогичные характеристики арсенатов щелочных металлов, которые заимствованы из [2].

Энталпию образования антимонатов щелочных металлов вычисляли из соотношения

$$a = \Delta_fH^\circ(298.15, Na_3AsO_4, tb) / \Delta_fH^\circ(298.15, Na_3SbO_4, tb), \quad (1)$$

где параметр  $a$  оказался равным 0.9675. Этот коэффициент был принят постоянным для расчета величин  $\Delta_fH^\circ$  (298.15) других антимонатов. Энталпия  $\Delta_fH^\circ$  (298.15,  $Na_3AsO_4$ , tb), равная -1535.53 кДж/моль, также заимствована

из [1]. С учетом (1) расчет  $\Delta_fH^\circ$  (298.15) антимонатов щелочных металлов проводили по схеме

$$\begin{aligned} \Delta_fH^\circ(298.15, M_xSb_yO_z, tb) &= \\ &= a\Delta_fH^\circ(298.15, M_xAs_yO_z, tb). \end{aligned} \quad (2)$$

Вычисленные значения энталпий образования антимонатов приведены в табл. 1.

Расчет энтропий  $S^\circ$  (298.15) антимонатов производили методом ионных инкрементов. В связи с отсутствием не только экспериментальных данных по величинам  $S^\circ$  (298.15) антимонатов, но и расчетных величин  $S^\circ$  (298.15) антимонатных ионов, значения последних оценивали сравнительным методом из значений  $S^\circ$  (298.15) фосфатных и арсенатных ионов, которые заимствованы из [3]. Учитывая, что энтропия элементов и соединений возрастает с увеличением порядковых номеров элементов, нами найдены линейные зависимости значений энтропий антимонатных анионов от порядкового номера P, As и Sb, которые описываются следующими уравнениями (Дж/(моль K)):

$$S^\circ(298.15, EO_4^{3-}) = 52.85 + 1.05 N_3, \quad (3)$$

$$S^\circ(298.15, EO_3^-) = 49.4 + 0.667 N_3, \quad (4)$$

$$S^\circ(298.15, E_2O_7^{4-}) = 109.3 + 1.21 N_3, \quad (5)$$

где  $S^\circ(298.15)$  – энтропийные инкременты ионов,  $N_3$  – порядковые номера P, As и Sb. Энталпию  $S^\circ(298.15)$  для  $Sb_3O_{10}^{5-}$  вычисляли на основе принципа аддитивности по схеме

$$\begin{aligned} S^\circ(298.15, Sb_3O_{10}^{5-}) &= \\ &= S^\circ(298.15, SbO_3^-) + S^\circ(298.15, Sb_2O_7^{4-}). \end{aligned} \quad (6)$$

Термодинамические характеристики антимонатов щелочных металлов

Антимонат	$-\Delta_f H^\circ$ (298.15), кДж/моль	$S^\circ$ (298.15), Дж/(моль К)	$-\Delta G^\circ$ (298.15), кДж/моль	$U_{kp}$ , кДж/ моль
$\text{Li}_3\text{SbO}_4$	1600.9	149.9	1483.8	5162
$\text{Na}_3\text{SbO}_4$	1485.3	210.2	1366.3	4805
$\text{K}_3\text{SbO}_4$	1501.8	248.0	1382.1	4412
$\text{Rb}_3\text{SbO}_4$	1498.6	274.4	1376.0	4304
$\text{Cs}_3\text{SbO}_4$	1506.3	309.2	1386.4	4099
$\text{Li}_4\text{Sb}_2\text{O}_7$	2448.0	229.0	2240.5	4334
$\text{Na}_4\text{Sb}_2\text{O}_7$	2334.9	309.4	2124.9	4164
$\text{K}_4\text{Sb}_2\text{O}_7$	2397.2	359.8	2186.2	3964
$\text{Rb}_4\text{Sb}_2\text{O}_7$	2380.0	395.0	2165.2	3905
$\text{Cs}_4\text{Sb}_2\text{O}_7$	2374.3	441.4	2163.2	3800
$\text{Na}_5\text{Sb}_3\text{O}_{10}$	3160.5	427.4	2865.1	4967
$\text{K}_5\text{Sb}_3\text{O}_{10}$	3234.1	490.4	2937.5	4776
$\text{Rb}_5\text{Sb}_3\text{O}_{10}$	3219.9	534.4	2918.5	4721
$\text{Cs}_5\text{Sb}_3\text{O}_{10}$	3210.0	592.4	2913.2	4619
$\text{LiSbO}_3$	863.5	97.9	778.7	371
$\text{NaSbO}_3$	833.4	118.0	748.1	345
$\text{KSbO}_3$	830.2	130.6	744.6	316
$\text{RbSbO}_3$	850.9	139.4	764.3	308
$\text{CsSbO}_3$	844.9	151.0	759.2	300

Вычисленные по уравнениям (3) - (6) значения  $S^\circ(298.15)$  для ионов  $\text{SbO}_4^{3-}$ ,  $\text{SbO}_3^-$ ,  $\text{Sb}_2\text{O}_7^{4-}$  и  $\text{Sb}_3\text{O}_{10}^{5-}$  равны соответственно 106.4; 83.4; 171.0 и 254.4 Дж/(моль К). Необходимые для расчета величин  $S^\circ(298.15)$  антимонатов значения энтропийных инкрементов катионов щелочных металлов заимствованы из [3].

В таблице приведены рассчитанные величины стандартных энтропий антимонатов. По уравнению Гиббса-Гельмгольца найдены стандартные энергии Гиббса антимонатов, которые также представлены в таблице.

Энергии кристаллических решеток ( $U_{kp}$ ) антимонатов вычислены по уравнению Капустинского [4]. Значения термохимического радиуса иона  $\text{SbO}_4^{3-}$  и ионных радиусов щелочных металлов (по Шенону и Превитту) заимствованы из [5].

В таблице приведены вычисленные данные по  $U_{kp}$  ортоантимонатов щелочных металлов  $\text{M}_3\text{SbO}_4$ . В связи с тем, что термохимические радиусы остальных антимонатных ионов неизвестны, величины  $U_{kp}$  антимонатов других составов вычисляли сравнительным методом из аналогичных данных  $U_{kp}$  арсенатов щелочных металлов [6]. Для величин  $U_{kp}$  соединений  $\text{M}_3\text{AsO}_4$  и  $\text{M}_3\text{SbO}_4$  получили линейное соотношение, которое принял постоянным для расчета других антимонатов:

$$\begin{aligned} U_{kp}(\text{M}_x\text{Sb}_y\text{O}_z), \text{ кДж/моль} = \\ = -185.07 + 1.343 U_{kp}(\text{M}_x\text{As}_y\text{O}_z). \end{aligned} \quad (7)$$

Для расчета величин  $U_{kp}$  антимонатов состава  $\text{MSbO}_3$ ,  $\text{M}_4\text{Sb}_2\text{O}_7$ ,  $\text{M}_5\text{Sb}_3\text{O}_{10}$  по уравнению (7) применяли значения  $U_{kp}$  соединений мышьяка того же состава. Вычисленные значения  $U_{kp}$  антимонатов приведены в таблице.

Найденные величины энталпии образования и энергии кристаллических решеток позволили по преобразованному циклу Борна-Габера [4] вычислить теплоты образования гипотетических газообразных антимонатных ионов. Например,

$$\begin{aligned} -\Delta_f H^\circ(298.15, \text{SbO}_4^{3-}, \text{г}) = U_{kp}(\text{M}_3\text{SbO}_4) - \\ -\Delta_f H^\circ(298.15, \text{M}_3\text{SbO}_4, \text{тв}) + \\ + 3\Delta_f H^\circ(298.15, \text{M}^+, \text{г}). \end{aligned} \quad (8)$$

Энталпии образования каждого газообразного антимонатного аниона вычислена из величин  $U_{kp}$  всех антимонатов ряда щелочных металлов. Рассчитанные значения  $\Delta_f H^\circ(298.15)$  газообразных ионов  $\text{SbO}_4^{3-}$ ,  $\text{Sb}_2\text{O}_7^{4-}$ ,  $\text{Sb}_3\text{O}_{10}^{5-}$  и  $\text{SbO}_3^-$  равны соответственно  $-7713 \pm 589$ ,  $-8604 \pm 480$ ,  $-10542 \pm 308$  и  $-1718 \pm 103$  кДж/моль.

#### СПИСОК ЛИТЕРАТУРЫ

1. Термические константы веществ / Под ред. В.П. Глушко. М.: Наука, 1981. В. 10. Ч. I. 300 с.
2. Касенов Б.К. Синтез и физико-химические свойства арсенатов s- и некоторых p-, d- и f-элементов. Автореф. дис. ... докт. хим. наук. М.: МГУ, 1991. 44 с.
3. Кумок В.Н. Прямые и обратные задачи химической термодинамики. Новосибирск: Наука, 1987. С. 108.
4. Урусов В.С. Энергетическая кристаллохимия. М.: Наука, 1975. 355 с.
5. Химия и периодическая таблица / Под ред. К. Сайто. М.: Мир, 1982. 320 с.
6. Касенов Б.К., Абшиев Д.Н., Бухарицын В.О. Термохимия арсенатов щелочных металлов. Алматы: Наука, 1988. 68 с.

УДК 541.183

## ИК-СПЕКТРОСКОПИЧЕСКОЕ ИЗУЧЕНИЕ ФОРМ АДСОРБЦИИ МАЛЕИНОВОГО АНГИДРИДА НА $V_2O_5/Al_2O_3$ и $CuO$

© 1993 г. А. А. Давыдов

Российская академия наук, Сибирское отделение, Институт катализа, Новосибирск

Поступила в редакцию 31.08.92 г.

Изучены ИК-спектроскопические проявления адсорбции и превращений малеинового ангидрида (МА) на  $CuO$ - и  $V_2O_5/Al_2O_3$ -катализаторах полного и парциального окисления соответственно. Идентифицированы формы адсорбции МА на этих катализаторах: на  $CuO$  образуются преимущественно структуры, содержащие  $COO^-$ -группы, в то время как на  $V_2O_5/Al_2O_3$  происходит адсорбция МА с сохранением молекулярной структуры за счет образования донорно-акцепторной связи с группой  $C=O$ .

Для выяснения характера взаимодействия и превращений бензола и его производных на поверхности оксидных катализаторов существенное значение имеют данные о взаимодействии с поверхностью катализаторов малеинового ангидрида (МА), который является продуктом окислительного превращения бензола на катализаторах типа  $V_2O_5$  и  $V$ -Mo-O [1, 2]. В данной работе метод ИК-спектроскопии был использован для изучения форм адсорбции МА и выявления их спектральных проявлений. Были исследованы два типа катализаторов:  $V_2O_5/Al_2O_3$  (известный как катализатор парциального окисления [1, 2]) и  $CuO$  (катализатор полного окисления [3]). Мы полагаем, что на этих катализаторах должны наблюдаться существенные различия в формах адсорбции МА, поскольку на первом из них МА, образующийся в результате окисления бензола, не доокисляется, а десорбируется в виде целевого продукта, а на  $CuO$  – легко доокисляется, и основными продуктами являются  $CO_2$  и  $H_2O$ .

### ЭКСПЕРИМЕНТАЛЬНАЯ ЧАСТЬ

ИК-спектроскопическое исследование проводили на образцах  $CuO$  ( $\sim 10$   $m^2/g$ ) и  $V_2O_5/Al_2O_3$  (10 мас. %  $V_2O_5$ ), методики приготовления которых подробно изложены в [4] и [5, 6] соответственно. Образцы катализаторов прессовали в таблетки площадью 3 - 5  $cm^2$  и массой  $\sim 50$  мг. Инфракрасные спектры регистрировали на спектрометре UR-20 при комнатной температуре в специальной кювете, позволяющей осуществлять обработку образцов в вакууме и кислороде при температурах вплоть до 773 К, проводить адсорбцию и десорбцию газов и паров и регистрацию спектров с компенсацией газовой фазы адсорбата. Для получения окисленной поверхности образцы прогревали в кислороде при 673 К в течение 0.5 ч с последующим вакуумированием при комнатной температуре.

### ОБСУЖДЕНИЕ РЕЗУЛЬТАТОВ

Анализ спектров МА, адсорбированного на окисленной поверхности  $V_2O_5/Al_2O_3$  при 293 К (рис. 1, спектр 3), показывает, что МА адсорбируется преимущественно в виде двух форм. Одна из них характеризуется сохранением  $C=O$ -связей МА, и ей соответствуют интенсивные полосы поглощения (п. п.)  $\sim 1780$  и  $1870$   $cm^{-1}$ , близкие по положению к наиболее интенсивным п. п., наблюдаемым в спектре индивидуального МА (спектр 1). Эта форма адсорбции слабо связана с поверхностью и может быть удалена с поверхности десорбцией при 373 К. Десорбция при 293 К (спектр 4) существенно снижает ее концентрацию. С учетом термостабильности и спектральных проявлений эта форма адсорбции, наиболее вероятно, является МА, водородосвязанным с поверхностью, возможно, с протонными кислотными центрами поверхности  $V_2O_5/Al_2O_3$ , которые, как было показано в [7], присутствуют на поверхности такой системы.

Другая форма адсорбции МА характеризуется наличием очень интенсивных п. п.  $\sim 1450$  и  $1580$   $cm^{-1}$  (рис. 1, спектры 3 - 8), интенсивность которых растет при повышении температуры взаимодействия с МА одновременно с закономерным уменьшением вплоть до полного исчезновения при 573 К п. п. 1790 и  $1870$   $cm^{-1}$  (спектр 7), характеризующих первую форму адсорбции. В соответствии с данными работ по ИК-спектроскопическому изучению адсорбции альдегидов и углеводородов на поверхности оксидных катализаторов [8, 9] интенсивные п. п. 1450 и  $1580$   $cm^{-1}$  принадлежат колебаниям  $v_s$ ,  $v_{as}$   $COO^-$ -группы. Очевидно, на поверхности катализатора уже при комнатной

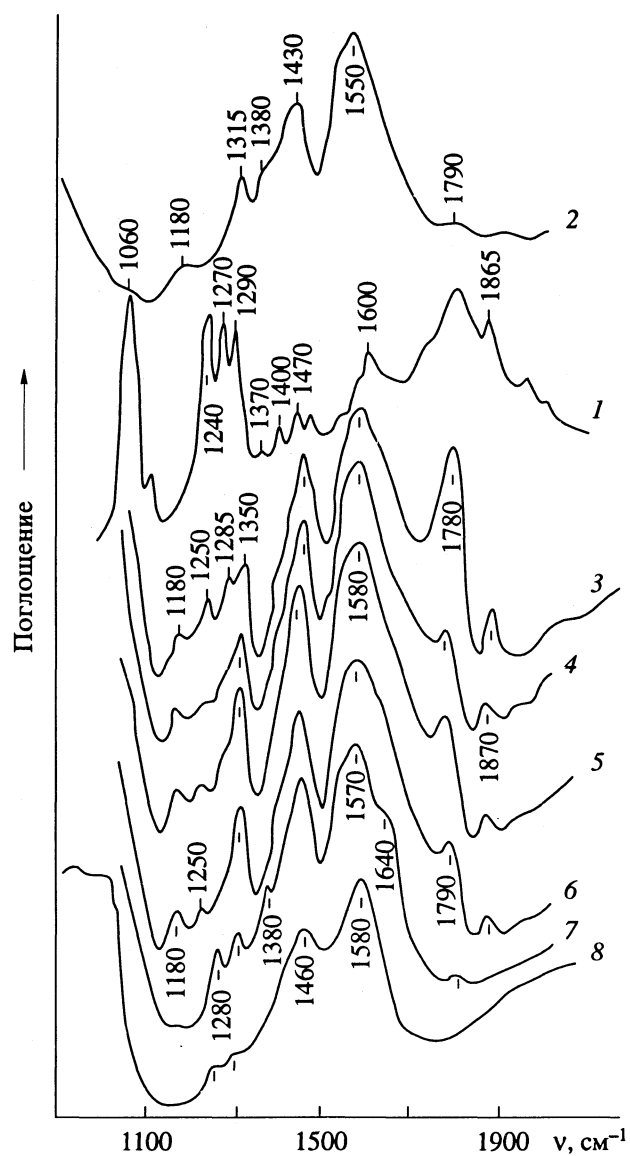
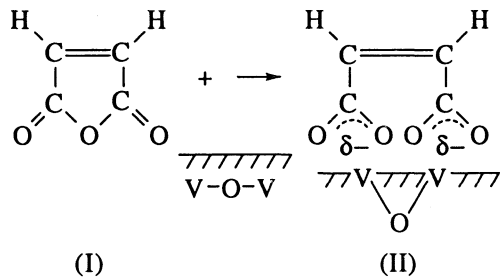


Рис. 1. ИК-спектры малеинового ангидрида (1) и после его адсорбции при 293 К на поверхности CuO (2) и  $V_2O_5/Al_2O_3$  (3); (4) – десорбция при 293 К, последующий прогрев при 373 (5), 473 (6), 573 (7) и 653 К (8).

температуре протекает взаимодействие МА с поверхностью  $V_2O_5$  по схеме:



Именно соединение типа II и характеризует спектр 5 (рис. 1). Как видно, наблюдается набор п. п.  $\sim 1280, 1330, 1380, 1450, 1570$  (широкая)  $\text{см}^{-1}$ . Широкая асимметричная п. п.  $\sim 1570 - 1580 \text{ см}^{-1}$  не

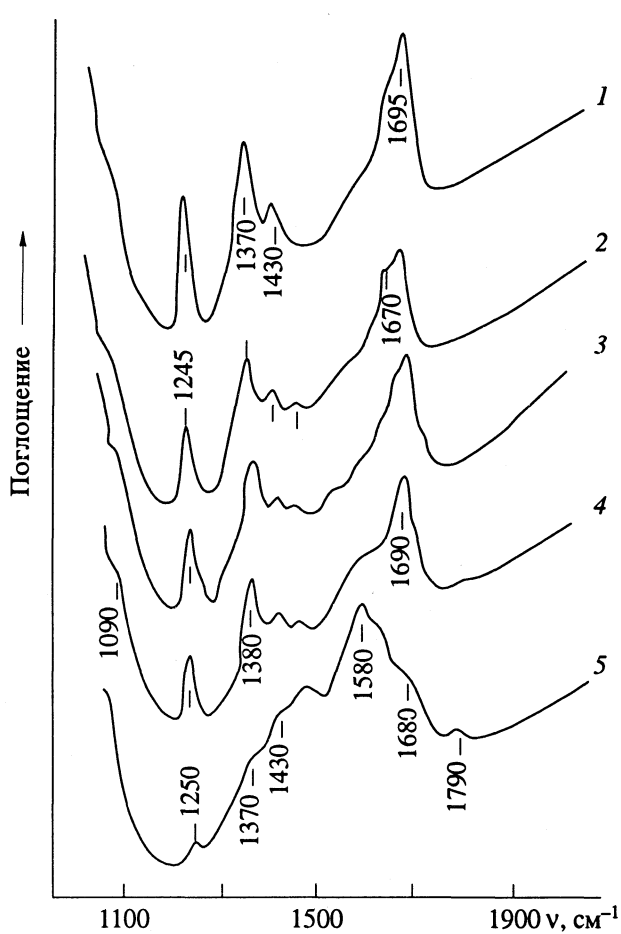
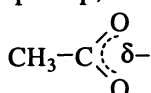


Рис. 2. ИК-спектры дихлормалеинового ангидрида, адсорбированного при 293 К на  $V_2O_5/Al_2O_3$  (1); 2, 3, 4 и 5 – последующая десорбция при 293, 343, 393 и 593 К соответственно.

позволяет выделить п. п., ответственную за колебания  $\nu \text{ C=C}$  ( $1600 \text{ см}^{-1}$  для индивидуального МА). Однако очевидная асимметрия этой п. п. со стороны высоких частот однозначно указывает на ее присутствие. Выявление п. п.  $\sim 1640 \text{ см}^{-1}$  в спектре 7 связано, по-видимому, с протеканием реакции окисления МА кислородом поверхности катализатора с образованием  $\text{H}_2\text{O}$ . Деформационные колебания ( $\delta$ ) четко проявляются лишь при достаточно высоких температурах взаимодействия ( $\sim 573 \text{ К}$ ). При более низких температурах взаимодействия эта п. п. в спектрах практически не обнаруживается, очевидно, вследствие меньшей концентрации  $\text{H}_2\text{O}$  при образовании поверхностных малеатов (структурь типа II). Наблюдающийся спектр поверхностных малеатов очень близок к спектру аналогичных структур, обнаруженных в [10]. Приведенные данные показывают, что с повышением температуры взаимодействия наблюдается превращение поверхностных соединений типа I в малеаты, что сопровождается уменьшением концентрации соединений типа I и увеличением концентрации соединений типа II и

позволяет разделить п. п., характеризующие соединения I и II в спектрах.

Следует отметить, что прогрев соединения II приводит, очевидно, к его деструктивному разложению (видно, что спектр существенно упрощается), и в спектре это новое соединение характеризуется лишь наличием интенсивных п. п. 1460 и  $1580\text{ cm}^{-1}$ , соответствующих  $\nu_s$  и  $\nu_{as}$  COO<sup>-</sup>-групп в структурах, очевидно, более простых, чем II, возможно, не содержащих C=C-связь, или даже еще более простых, например,



В случае адсорбции МА на CuO уже при 293 К образуются только поверхностные малеаты (рис. 1, спектр 2), т.е. все молекулы МА на поверхности CuO окисляются. Следует отметить, что спектральные характеристики COO<sup>-</sup>-групп малеатов, образующихся с участием катионов ванадия и меди, несколько отличаются.

Основные закономерности, наблюдаемые в спектрах дихлормалеинового ангидрида (ДХМА) после его взаимодействия при различных температурах с поверхностью ванадийсодержащего катализатора, аналогичны полученным и описанным выше для случая малеинового ангидрида (рис. 2). Действительно, в случае низких температур взаимодействия наблюдаемый спектр адсорбированного ДХМА близок к спектру исходного ДХМА, что указывает на преимущественно молекулярный характер адсорбции ДХМА. Такая форма адсорбции находится в равновесии с хемосорбионным ДХМА, содержащим COO<sup>-</sup>-группы, о чем свидетельствуют присутствие п. п. 1430 и  $1580\text{ cm}^{-1}$  (рис. 2, спектры 1 - 3). С повышением температуры доля последней формы растет, а первой – падает (спектры 4, 5). Еще одной осо-

бенностью адсорбции ДХМА является то, что по сравнению со спектрами адсорбированного МА в спектрах адсорбированного ДХМА наблюдается п. п.  $\sim 1090\text{ cm}^{-1}$ , которая, с учетом интерпретации спектров хлорпроизводных [11], на наш взгляд, может характеризовать колебания связи C-Cl, и ее наличие в спектрах адсорбированного ДХМА указывает на сохранение в нем такой связи.

Выражаю благодарность И.В. Давиденко и И.А. Шепотко за помощь в получении экспериментальных результатов.

## СПИСОК ЛИТЕРАТУРЫ

1. Голодац Г.И. // Гетерогенно-катализитические реакции с участием молекулярного кислорода. Киев: Наук. думка, 1977. 359 с.
2. Белокопытов Ю.В., Пятницкий Ю.И., Глушук Н.В., Астrelин И.М. // Укр. хим. журн. 1986. Т. 52. № 11. С. 1145.
3. Боресков Г.К. Гетерогенный катализ. Новосибирск: Наука, 1988. 304 с.
4. Максимов Н.Г., Чигрина В.А., Боресков Г.К., Юрьевна Т.М. // Кинетика и катализ. 1972. Т. 13. № 2. С. 446.
5. Давыдов А.А. // Жур. физ. химии. 1991. Т. 65. № 7. С. 1803.
6. Давыдов А.А. // Кинетика и катализ. 1990. Т. 31. № 3. С. 652.
7. Давыдов А.А., Буднева А.А. // Теор. и эксперим. химия. 1983. Т. 19. № 2. С. 240.
8. Давыдов А.А. ИК-спектроскопия в химии поверхности окислов. Новосибирск: Наука, 1984. 256 с.
9. Давыдов А.А., Попова Г.Я., Андрушкевич Т.В. // Кинетика и катализ. 1984. Т. 25. № 5. С. 1175.
10. Ramstetter A., Baerns A. // J. Catal. 1988. V. 109. P. 303.
11. Свердлов Л.М., Ковнер М.А., Крайнов Е.П. Колебательные спектры молекул. М.: Наука, 1970. 559 с.

---

 КРАТКИЕ  
 СООБЩЕНИЯ
 

---

УДК 669.13.132.4

## О ВЛИЯНИИ КРЕМНИЯ И СЕРЫ НА АКТИВНОСТЬ УГЛЕРОДА В ЦЕМЕНТИТЕ $\text{Fe}_3\text{C}$

© 1993 г. А. А. Жуков, Г. Ю. Шульте, А. Б. Янченко

Винницкий политехнический институт

Поступила в редакцию 20.07.92 г.

Метод Хиллерта, позволяющий рассчитывать активности компонентов двух- и многофазных систем, использован для объяснения парадокса в металловедении чугуна, когда металлоиды Si и S, практически не растворимые в карбиде железа  $\text{Fe}_3\text{C}$ , диаметрально противоположно влияют на его стабильность (склонность к графитизации).

Цементит  $\text{Fe}_3\text{C}$  имеет при повышенных температурах ощущимую область гомогенности, внутри которой он может приобретать нестехиометрический состав [1, 2]. Карбиообразующие элементы типа Mn, Cr, V обладают заметной растворимостью в цементите (марганец может даже полностью замещать железо в нем), причем коэффициент распределения  $K_i$  этих элементов ( $i = \text{Mn}, \text{Cr}, \text{V}$ ) между карбидом  $\text{M}_3\text{C}$  и железистыми фазами  $\rho$  ( $\alpha$ ,  $\gamma$  или расплав Ж) всегда больше единицы. Поэтому коноды "раствор  $\rho$  + цементит" имеют положительный наклон (рис. 1а). В этом случае элементы  $i$  данного типа, являясь акцепторами валентных электронов из  $d$ -подобояочки ионов Fe, усиливают химическую связь металл-углерод как в растворах  $\rho$  (твердых или жидкких), так и в карбиде  $\text{M}_3\text{C}$  и соответственно снижают активность углерода  $a_{\text{C}}$  в них. Если принять одно и то же стандартное состояние углерода для фаз  $\rho$  и  $\text{M}_3\text{C}$  (например, графит, который практически не содержит в растворе ни железа, ни других компонентов типа  $i$  или  $j$ , где  $j$  – слабо растворимый или не растворимый в цементите элемент), тогда  $a_{\text{C}}^{\text{pp}} \equiv 1.0$  по определению,  $a_{\text{C}}^{\rho} = a_{\text{C}}^{\text{M}_3\text{C}}$  и конода  $\rho + \text{M}_3\text{C}$  превращается в линию изоактивности (или ее продолжение между точками разрыва функции – нодами).

Величина снижения активности  $a_{\text{C}}$  под влиянием легирования сплавов Fe–C компонентом  $i$  определяется количественно по уравнению видоизмененной формулы Хиллерта [3, 4]

$$a_{\text{C}} = a_{\text{C}}^{\circ} \exp(-\operatorname{tg}\theta), \quad (1)$$

где  $a_{\text{C}}^{\circ}$  – активность вдоль коноды  $\rho + \text{Fe}_3\text{C}$  нелегированной бинарной системы Fe–C (в том же изотермическом разрезе диаграммы);  $\theta$  – угол наклона коноды в ортогональных координатах Скрайнемакерса.

Так как  $-\operatorname{tg}\theta$  есть величина отрицательная,  $a_{\text{C}} < a_{\text{C}}^{\circ}$  и это полностью соответствует тому, что элементы типа  $i$ , усиливая химическую связь металл-углерод, снижают величину  $a_{\text{C}}$ .

Сложнее обстоит дело с системами, данные для которых обобщены на рис. 1б. Рассмотрим два конкретных случая, когда в качестве элемента  $j$  выступают кремний и сера. Оба элемента практически не растворимы в цементите, однако кремний повышает склонность цементита к распаду (графитизации), а сера, наоборот, стабилизирует этот карбид. Анализу указанного различия и посвящена данная работа.

На первый взгляд, трудно понять, как элемент  $j$ , практически не растворимый в цементите (в первом случае кремний, во втором – сера), может влиять на поведение этой фазы и на величину активности углерода в ней. Если бы  $\text{Fe}_3\text{C}$  был стопроцентным дальтонидом (по терминологии Н.С. Курнакова), понять это было бы действительно невозможно. Однако поскольку цементит – фаза переменного состава, единственное объяснение обнаруженного явления может быть основано на том, что элемент  $j$ , практически не растворяясь в  $\text{Fe}_3\text{C}$  (а лишь в фазах  $\rho$ ), тем не менее изменяет содержание углерода в нем, а тем самым и его термодинамическую активность. А так как плотность линий изоактивности углерода внутри области гомогенности цементита очень высока [3, 5], даже незначительные изменения концентрации углерода в  $\text{Fe}_3\text{C}$  вызывают существенные изменения величин  $a_{\text{C}}$  [3, 6].

**Система Fe–C–Si.** Для этой системы  $-\operatorname{tg}\theta$  есть величина положительная в уравнении (1),  $\exp(-\operatorname{tg}\theta) > 1.0$  и  $a_{\text{C}} > a_{\text{C}}^{\circ}$ . В бинарной системе Fe–C при ледебуритном распаде жидкой эвтектики в равновесных условиях (метастабильное равновесие в "цементитной" системе)  $a_{\text{C}}^{\circ} = 1.05$  (рис. 2) [7, 8]. Однако это относится к температуре 1148°C нонвариантной точки нелегированного ледебурита [2]. Вместе с тем кремний понижает

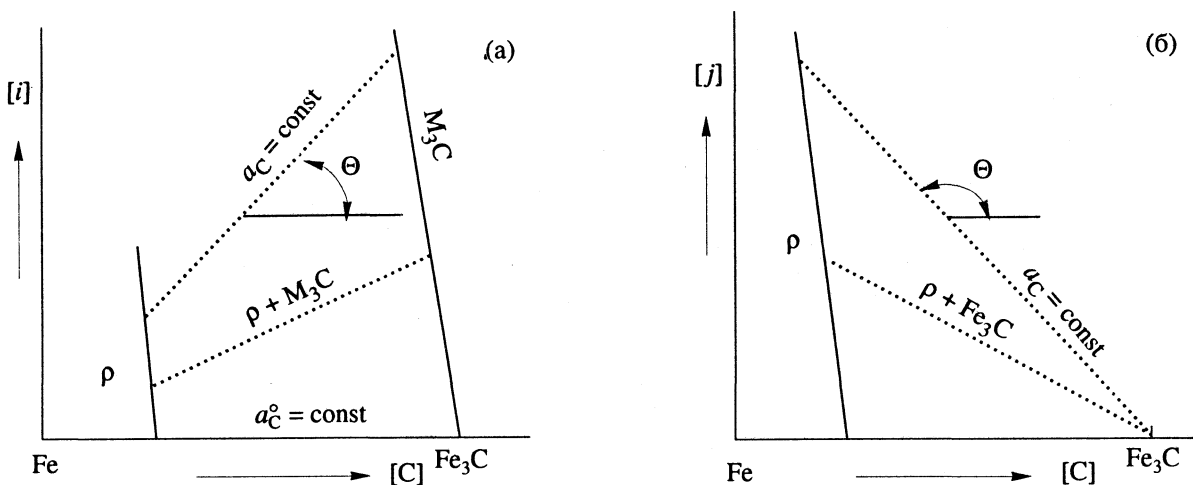


Рис. 1. Коноды в координатах Скрайнемакерса (с равной ценой делений на шкалах) [3] (они же линии изоактивности) "раствор  $\rho$  + цементит" в системах Fe–C–i (а) при  $K_i > 1.0$  (т.е.  $\operatorname{tg}\theta > 0$ ) и Fe–C–j (б) при  $K_j \ll 1.0$  (т.е.  $\operatorname{tg}\theta < 0$ ), где  $i$  – карбидообразующий элемент, растворимый в цементите;  $j$  – элемент, слабо растворимый или практически не растворимый в цементите.

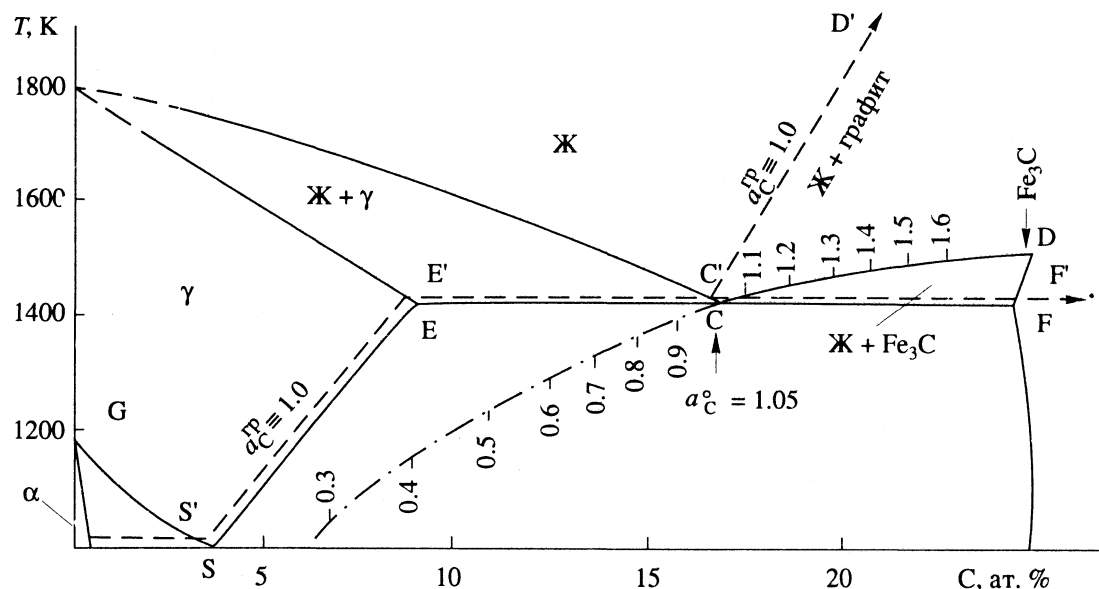


Рис. 2. Экстраполирование по методу Хиллтерта линии ликвидуса "расплав + цементит" в область переохлажденных по отношению к аустениту расплавов и нанесение на нее шкалы  $a_C^0$  [3, 7, 8].

температуру ледебуритного превращения (см. рис. 109 в монографии [3])<sup>1</sup>. Следовательно, снижается и величина  $a_C^0$ . Однако рост  $\exp(-\operatorname{tg}\theta)$  по мере легирования системы Fe–C кремнием опережает по модулю снижение  $a_C^0$ , и произведение  $a_C^0 \exp(-\operatorname{tg}\theta)$  в целом возрастает. Именно поэтому кремний выступает как элемент-графитизатор [3, 9], являясь донором валентных электронов при легировании им сплавов Fe–C (поскольку

$p$ -элемент Si находится ниже  $p$ -элемента C в таблице Менделеева) [10].

**Система Fe–C–S.** В данной системе  $\operatorname{tg}\theta < 0$  и поэтому  $\exp(-\operatorname{tg}\theta) > 1.0$ . Следовательно, и в этом случае  $a_C > a_C^0$ . Однако даже малые добавки серы значительно снижают равновесную температуру ледебуритного эвтектического превращения [11]. Тогда снижение величины  $a_C^0$  под влиянием данного фактора опережает по модулю повышение значения  $\exp(-\operatorname{tg}\theta)$  и вместо роста их произведения наблюдается его спад. Таким образом, в системе Fe–C–S величина  $a_C$  в точке ледебуритного превращения снижается по мере легирования эвтектики серой. Когда это снижение начинает

<sup>1</sup> Хотя в стабильной системе Fe–Si–графит кремний повышает равновесную температуру эвтектического распада расплава на аустенит и графит (см. рис. 109 в монографии [3]).

превышать 0.05, величина  $a_C$  в точке ледебуритного перехода оказывается ниже значения  $a_C^{TP} \equiv 1.0$  и ледебурит теряет способность графитизироваться. Это означает, что тальвеги ледебуритного и аустенито-графитного распада жидкой эвтектики пересекаются [12] и появляется перитектический перелом кривой ликвидуса на псевдобинарной диаграмме эвтектик, полученной эвтектической полимерацией [3, 13] диаграммы состояния Fe-C-S:



Установленный факт полностью соответствует тому, что  $p$ -элемент S находится правее  $p$ -элемента C в таблице Менделеева и поэтому выступает как акцептор валентных электронов, а следовательно, как "антиграфитизатор" (по терминологии профессора А.Ф. Ланды) [10].

В заключение следует отметить, что установленный факт повышения величины  $a_C$  в цементите при добавлении в него кремния (а следовательно, и увеличения содержания углерода в цементите) полностью соответствует результатам, полученным в экспериментальной работе [14]. Противоположное влияние серы (снижение величины  $a_C$  и уменьшение содержания углерода в цементите) пока экспериментально не подтверждено.

## СПИСОК ЛИТЕРАТУРЫ

1. Жуков А.А., Шалашов В.А., Томас В.К. // Металловедение и термическая обработка металлов. 1970. № 1. С. 18.
2. Жуков А.А. // Там же. 1988. № 4. С. 2.
3. Жуков А.А. Геометрическая термодинамика сплавов железа. 2-е изд. М.: Металлургия, 1979. 232 с.
4. Жуков А.А., Абдуллаев Э.В., Архипова Т.Ф. // Изв. АН СССР. Металлы. 1990. № 2. С. 200.
5. Жуков А.А. // Там же. 1976. № 4. С. 172.
6. Жуков А.А., Снежной Р.Л. // Журн. физ. химии. 1969. Т. 43. № 8. С. 2122.
7. Hillert M. Recent Research on Cast Iron. Detroit (USA): Gordon and Breach, 1968. P. 101 - 114.
8. Hillert M., Subba Rao V.V. Solidification of Metals. L.: Iron and Steel Institute, 1968. P. 204 - 212.
9. Жуков А.А. // Металловедение и термическая обработка металлов. 1984. № 11. С. 52.
10. Жуков А.А. // Там же. 1987. № 1. С. 7.
11. Справочник по чугунному литью / Под ред. Н.Г. Гиршовича. 3-е изд. Л.: Машиностроение, 1978. С. 7 - 18.
12. Жуков А.А., Зволинская В.В. // Журн. физ. химии. 1964. Т. 38. № 2. С. 483.
13. Жуков А.А. // Там же. 1961. Т. 35. № 9. С. 2137.
14. Okamoto T., Kagawa A. // Metal Sci. 1977. № 10. P. 471.

КРАТКИЕ  
СООБЩЕНИЯ

УДК 541.134.3

КАТОДНАЯ ПОЛЯРИЗАЦИЯ ВИСМУТА  
В РАСПЛАВАХ РУБИДИЕВЫХ СОЛЕЙ

© 1993 г. М. В. Дергачева, Е. Г. Шатрова

Академия наук Республики Казахстан,

Институт органического катализа и электрохимии им. Д. В. Сокольского, Алма-Ата

Поступила в редакцию 20.11.92 г.

На основании данных о потенциалах выделения рубидия на расплавленном висмутовом электроде рассчитана парциальная свободная энергия Гиббса рубидия в сплавах с висмутом, равная  $-109.0 \pm 0.01$  кДж/моль при 723 К.

В данной работе изучено катодное выделение рубидия из расплавленного электролита на жидким висмуте при 723 К. Исследование выполняли методом снятия поляризационных кривых в импульсном гальваностатическом режиме [1]. Ток задавали при помощи потенциостата ПИ-50-1 и программатора ПР-8, потенциал измеряли с помощью вольтметра Ф4834. Температуру печи задавали и поддерживали регулятором температуры ТУР-01-Т4 с точностью  $\pm 0.25$  К. Время поляризации электрода током заданной плотности и промежуток времени между импульсами тока составляли 20 с. В качестве электролита использовали расплавленную эвтектическую смесь  $RbCl-ZnSO_4$  (33.31 мол. %  $ZnSO_4$ ). Электролит готовили сплавлением обезвоженных и очищенных солей.

Поляризационные кривые снимали в трехэлектродной ячейке. Катод представлял собой стеклянную U-образную трубку с токоотводом, заполненную жидким висмутом с площадью рабочей поверхности  $0.0615 \text{ см}^2$ . В качестве электрода сравнения использовали специально приготовленный рубидиевый электрод, представляющий собой запаянную пробирку из рубидиевого стекла, имеющую токоотвод и заполненную жидким рубидием. Вспомогательный электрод – спектрально чистый графит. Исследования вели в атмосфере аргона. Использовали висмут марки Bi-00 и рубидий чистотой 99.99%.

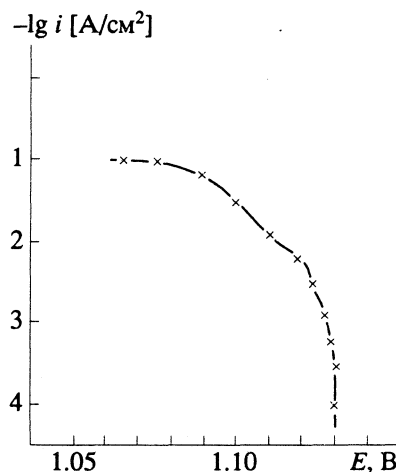
Потенциал электрода сравнения относительно чистого рубидия определяли в специальных опытах. Для этого в исследуемом электролите поляризовали никелевую пластину или молибденовую проволоку. Потенциал выделения рубидия в обоих случаях был одинаков. Сразу после выключения тока измеряли потенциал электрода сравнения относительно чистого рубидия, выделившегося на инертной пластине, который оставался постоянным в течение 20 - 30 с.

В таблице приведены значения потенциалов сплавов Rb-Bi, полученных при поляризации током различной плотности. Поляризационная кривая (рисунок) имеет вертикальный участок с потенциалом  $1.130 \pm 0.001$  В, который соответствует изменению энергии Гиббса  $\Delta\bar{G}_{Rb} = -109.0$  кДж/моль.

Ранее термодинамические свойства сплавов системы рубидий–висмут были исследованы методом измерения давления пара рубидия в интервале температур 298 - 350 К и определены интегральные свойства промежуточных фаз [2]. Таких фаз в системе рубидий–висмут образуется четыре. Две из них  $RbBi_2$  ( $T_{пл} = 872$  К) и  $Rb_3Bi$  ( $T_{пл} = 915$  К) плавятся конгруэнтно, две –  $Rb_3Bi_2$  и  $Rb_5Bi_4$  – образуются по перитектическим реакциям [3].

Значения потенциалов жидкого рубидий–висмутового сплава в процессе поляризации

$I, \text{ мА}$	$\Delta E, \text{ В}$	$I, \text{ мА}$	$\Delta E, \text{ В}$
0.006	1.130	0.6	1.112
0.02	1.130	0.65	1.111
0.04	1.130	0.7	1.111
0.06	1.129	0.75	1.111
0.08	1.127	0.8	1.110
0.1	1.124	0.85	1.108
0.15	1.123	0.9	1.106
0.2	1.122	0.95	1.108
0.25	1.122	1.0	1.106
0.3	1.122	2.0	1.101
0.35	1.121	3.0	1.098
0.4	1.119	4.0	1.090
0.45	1.117	5.0	1.081
0.5	1.115	6.0	1.075
0.55	1.114	7.0	1.065



Катодная поляризационная кривая на висмуте в расплаве  $\text{RbCl}-\text{ZnSO}_4$  при 723 К ( $i$  – плотность тока).

Термодинамические свойства расплавов системы рубидий–висмут изучены методом ЭДС [4] при температурах 600 - 883 К. Согласно этим данным, при содержании в расплаве 0.01 мол. доли рубидия потенциал его составляет 1.101 В и соответ-

ствует изменению свободной энергии Гиббса  $\Delta\bar{G}_{\text{Rb}} = -106.2$  кДж/моль при 873 К.

Таким образом, полученный нами результат согласуется с данными работы [4] и соответствует парциальной величине энергии Гиббса для рубидия в расплаве. Твердая фаза соединения  $\text{RbBi}_2$  в изученных нами пределах плотностей тока не образуется и вертикальный участок поляризационной кривой соответствует образованию жидкого сплава  $\text{Rb} + \text{Bi}$ .

#### СПИСОК ЛИТЕРАТУРЫ

1. Клебанов Е.Б., Тварадзе О.О., Морачевский А.Г. // Изв. вузов. Цв. металлургия. 1985. № 5. С. 106.
2. Воронин Г.Ф., Герасимов Я.И., Мухамеджанова Н.М. // Журн. физ. химии. 1974. Т. 48. № 12. С. 2941.
3. Дриц М.Е., Зусман Л.Л. Сплавы щелочных и щелочноземельных металлов. М.: Металлургия, 1986. 248 с.
4. Petric A., Pelton A.D., Saboungi M.-L. // J. Electrochem. Soc. 1988. V. 135. № 11. P. 2754.

# АВТОРСКИЙ УКАЗАТЕЛЬ к тому 67 за 1993 г.

- Абакаров А.Н. 1439, 1444, 1449  
Абакумов Г.А. 585  
Абашкин В.А. 966  
Аббакумова Н.В. 180  
Абдуллагатов И.М. 13  
Абрюсимов Б.Г. 966  
Абуляисова Л.К. 700, 1083  
Агзамходжаев А.А. 2132  
Агрес Э.М. 1284, 1552  
Айт А.О. 2246  
Айткеева Ч.А. 431  
Акопян М.Е. 1189  
Аксененков В.В. 166  
Алдабергенов М.К. 425  
Алеев Д.Р. 1499  
Александрийский В.В. 1623  
Александров В.В. 1945  
Алексеев В.Н. 99, 498  
Алиев Д.Ф. 2023  
Алиханян А.С. 1149  
Алишоев В.Р. 2033  
Алфимов М.В. 1460  
Алчагиров Б.Б. 1892  
Альжанова Х.А. 1729  
Альпер Г.А. 703, 1714  
Амелин А.Н. 2294  
Аминов К.П. 1499  
Ананьева Г.А. 1597  
Андреев В.П. 1267  
Андреев Н.Н. 1912, 1979, 2258  
Анисимов А.В. 1499  
Антина Е.В. 465  
Антипенко Э.Е. 947  
Аншиц А.Г. 2087  
Аранович Г.Л. 2323  
Арбузников А.В. 1173  
Арипов Э.А. 2132, 2134, 2436  
Архестов Р.Х. 1892  
Арюткина Н.Л. 113  
Асриев С.Д. 800  
Атоян В.А. 2288  
Атякшева Л.Ф. 1496  
Афанасьев В.Н. 460  
Ахмадеев И.Р. 990  
Ашурлы З.И. 1019
- Бабенкова Л.В. 1038  
Бабич И.В. 2455  
Бабкин О.Э. 2052, 2056  
Багатурыанц А.А. 80, 700  
Багдасарян С.С. 874  
Багреев А.А. 1238, 2328, 2333  
Бадави М. 490, 504
- Баев А.К. 1607, 1983, 2399  
Базаев А.Р. 13  
Базарон У.Б. 1752  
Базириуха Ж.Д. 1645  
Балабаева Р.Ф. 1539  
Балакаева Г.Т. 425  
Балакин В.М. 2294  
Балакин С.М. 990, 1784  
Балог И.С. 1305  
Баранников В.П. 1718  
Баранов А.Н. 1794  
Баранова Г.И. 339  
Бардина И.А. 2005  
Басов Н.Л. 2185, 2413  
Батова Е.Е. 155  
Батраков В.В. 1338, 1573  
Батраченко Л.А. 1531  
Баулин В.Е. 2309  
Бахшиев Н.Г. 264, 270  
Баширов М.М. 1348  
Башкинова Т.Б. 854  
Бегер В.Н. 396, 400  
Безуглый В.Д. 1161  
Бекман И.Н. 582  
Бекова Н.С. 1711  
Белащенко Д.К. 5, 1104, 1330, 2359, 2366  
Белик А.В. 327  
Беликова Т.В. 2258  
Белихмаер Я.А. 535, 1987  
Белоусова В.Н. 1987  
Бельков В.М. 171  
Бельнов В.К. 582, 2232  
Бельский В.К. 2464  
Беляков А.В. 53, 979  
Белякова Л.Д. 2033, 2047  
Бенько Е.М. 518, 595  
Березин Б.Д. 1798, 1877  
Березин М.Б. 1993  
Березин О.Ю. 947  
Березкин В.Г. 841, 2033, 2059  
Березовский Г.А. 2153  
Блащук Ю.Н. 2149  
Блохина С.В. 151  
Бобрицкая Л.С. 2433  
Богатырев И.О. 70, 75  
Богатырев В.Л. 1299  
Богатырева Г.П. 2078  
Богомаз В.И. 1242, 2010  
Богородовский Е.Т. 53, 979  
Болатбекова А.С. 1729  
Болгар А.С. 915  
Болталина О.В. 1593
- Бондарева С.В. 2309  
Бондаренко В.В. 2403, 2406  
Боос Г.А. 971  
Борисовер М.Д. 971, 1289  
Боровик Б.М. 347  
Бортышевский В.А. 761  
Боярский Л.А. 2153  
Братош С. 30  
Брей В.В. 714  
Бреус В.А. 2345  
Бровцына Н.Б. 378  
Бродская Е.Н. 2275  
Брук О.Л. 2264  
Брун-Цеховой А.Р. 889  
Бударин Л.И. 2160, 2164  
Буланова А.В. 854  
Булгакова Р.А. 1156, 1480  
Бурдуковская Г.Г. 645, 905, 908  
Бурейко С.Ф. 315, 319  
Бурмистров В.А. 1623  
Бурсулай Б.Д. 2339, 2459  
Бурханов Г.С. 2153  
Бутвилас Б. 2469  
Бутман М.Ф. 645  
Бух Н.Н. 1565  
Буцко З.Л. 1305  
Бучаченко А.А. 200  
Быков М.А. 1593  
Быкова В.В. 1597  
Быковская Л.А. 1201, 1234
- Вайнштейн Ю.А. 92  
Валеев А.Х. 1380  
Валуев В.В. 1483, 2242  
Ванаг В.К. 2246  
Варазашвили В.С. 1721  
Варивончик Н.Э. 1042, 2014  
Варущенко Р.М. 431, 897, 901  
Василев В.А. 1387, 1391, 1394  
Василевская Е.И. 1665  
Василиков Ю.Г. 1597  
Васильев В.В. 2410  
Васильев В.П. 1377, 1966  
Васильев И.В. 1880  
Васильев М.В. 1779  
Васильева И.А. 1539, 1976  
Васильева О.Я. 1153  
Васюткин Н.Ф. 524, 2122  
Ватти Ф.П. 1600  
Вашурина И.Ю. 752  
Ваццилло А.Е. 787  
Вдовина Г.П. 1299  
Вейцман Э.В. 539, 1716

- Великанова Л.Н. 621  
 Венегас К.Х. 1054  
 Верещагина Т.А. 2087  
 Вигдергауз М.С. 815, 833, 837, 839, 843, 853  
 Виеру И.Ю. 1460, 2485, 2492  
 Викторова О.Н. 180  
 Виноградова О.И. 918  
 Вировец Ю.А. 65  
 Витюк Н.В. 1164, 2019  
 Вишневская Г.П. 1052  
 Вишнецкая М.В. 933, 1422, 1737, 1740, 1932, 1935  
 Вишняков А.В. 1600  
 Власов О.Н. 189  
 Власов Ю.В. 621  
 Власова Н.Н. 1242, 2010  
 Вовна В.И. 987, 1929  
 Воевода Н.Я. 1338, 1573  
 Возян Л.Б. 2160, 2164  
 Войт А.В. 1654  
 Волков А.В. 1452  
 Волков В.И. 773, 1014, 1069, 1483, 1818, 1941, 2242  
 Волкова Л.В. 2190  
 Волович П.М. 87  
 Волосенцева Л.И. 2267  
 Ворсбьев А.В. 1483, 2242  
 Воробьев А.Х. 2253  
 Воронин Г.Ф. 1351, 1355, 2393  
 Воронин Е.Ф. 2082  
 Воронцов-Вельяминов П.Н. 254  
 Воронцова И.К. 1805  
 Воскресенский Н.М. 2232  
 Вотяков Е.В. 136, 141, 391, 1674, 2126  
 Вохмин В.Г. 48  
 Второв В.Г. 861  
 Выогин А.И. 463, 1993  
  
 Гавлина О.Т. 1848  
 Гаврилова Т.Б. 1436  
 Гавричев К.С. 609, 1731  
 Гагина И.А. 123  
 Гайдук В.И. 1615  
 Галас О.В. 25  
 Галицкая Н.Б. 1056  
 Галич П.Н. 761  
 Галкин В.М. 1431  
 Гальцев В.Е. 1562  
 Галиметдинов Ю.Г. 151  
 Гарсеванишвили Э.П. 1469  
 Гастилович Е.А. 1413  
 Гафуров М.М. 1439, 1444, 1449  
 Гвердцители И.Г. 1469  
 Гейдерих В.А. 1153  
  
 Герасименко В.А. 2038  
 Герман Э.Д. 1293  
 Гибадуллина Х.В. 971  
 Гийо Б. 30  
 Гиссани И. 30  
 Гладиков Д.Г. 2388  
 Гладких О.П. 1418, 2464  
 Гладышев П.П. 722  
 Глазов В.М. 1583, 1969, 2348  
 Глебовский Д.Н. 339  
 Годовский Д.Ю. 1452  
 Годунов И.А. 99, 351, 490, 498, 504, 994, 1822, 1826  
 Головкин Б.Г. 421  
 Головкова Л.П. 2010  
 Голосман Е.З. 1076  
 Голуб А.А. 734, 738  
 Голубев Б.Г. 966  
 Голушкина Л.Н. 609, 1731  
 Гоменюк А.А. 2455  
 Горбачевский А.Я. 75, 576  
 Горбунова А.И. 1809  
 Горбунов А.Н. 1589, 2375  
 Горбунов В.Е. 609, 1731  
 Гордымова Т.А. 2025  
 Горленко Л.Е. 1843  
 Горохова Л.Н. 1019  
 Горшков В.И. 1848  
 Горюшкин В.Ф. 633, 1361, 1947  
 Горячева Н.А. 532, 619  
 Гостев Б.В. 1255  
 Гохман Н.Ш. 1884  
 Грабовская Т.А. 2070  
 Градил И. 1480  
 Гранкин В.П. 1669  
 Гранкина Н.Д. 1669  
 Грановский А.А. 1635  
 Греченко А.Н. 18  
 Гринберг О.Я. 2220  
 Грищенко С.И. 221  
 Громов В.В. 1511  
 Громова Т.И. 1554  
 Грязнов В.М. 2185, 2413  
 Гудков Н.Д. 635  
 Гульбинас В. 2469  
 Гулямова Д.Б. 2134, 2436  
 Гумен Н.М. 1296  
 Гумеров Ф.М. 990  
 Гундилович Г.Г. 1528  
 Гурвич Л.В. 2030  
 Гуриков Ю.В. 1383  
 Гурин В.С. 2442  
 Гуров К.П. 652, 658  
 Гусев В.Ю. 2136  
 Гусейнов Г.М. 1101  
 Гуцев Г.Л. 58, 478, 681, 686, 1004  
  
 Давиденко Н.К. 1242, 2010  
 Давыдов А.А. 127, 535, 717, 1110, 1210, 1900, 1987, 2025, 2447, 2477  
 Давыдов В.Я. 2428  
 Давыдова О.В. 1692, 1697  
 Дадали А.А. 166  
 Данилов Н.Н. 1723, 1918  
 Дащевская Е.Е. 87  
 Дашков С. 1976  
 Дегтярев С.А. 1351, 1355, 2393  
 Демидюк В.И. 1076  
 Денисов Д.А. 630, 2299  
 Денисов Е.Т. 2416  
 Денисов Н.Н. 1880, 2469  
 Дергачева М.В. 2483  
 Дерновая Л.И. 1996  
 Джумадуллаева С.А. 1083  
 Джумакаев К.Х. 700, 1083, 1711  
 Дзябченко А.В. 2464  
 Дихтиевская Л.В. 542  
 Довгопол И.В. 1945  
 Долгов Б.Н. 817  
 Дорожкин С.В. 576  
 Дорофеева О.В. 2030  
 Дракин С.И. 606  
 Дрибинский А.В. 1439, 1444, 1449  
 Дружинин С.И. 2459  
 Дружинина А.И. 431, 897, 901  
 Дуров В.А. 290, 2339  
 Дьяков Ю.А. 2122  
 Дьяченко О.А. 240  
 Дюнин А.Г. 1561  
 Дягилева Л.М. 1194  
  
 Евлампиева Н.П. 1907  
 Евсеев А.М. 508  
 Егоров В.В. 1869  
 Егорова Г.Д. 2238  
 Ежов Ю.С. 1000  
 Езубченко А.Н. 2157  
 Елисеева Т.В. 1544  
 Ельникова Л.Ф. 2423  
 Елюхин В.А. 2297  
 Емельянов В.И. 800  
 Емельянова Г.И. 1843  
 Емин Ху 1889  
 Еременко А.М. 1201, 1234, 1413  
 Ермилов А.Ю. 117  
 Ермилова М.М. 2185, 2413  
 Ерохин Л.И. 652, 658  
 Ершов Б.М. 1305  
 Есенгулов Ж.Н. 2092  
 Ефремов А.А. 1110  
  
 Жакибаев Б.К. 2475  
 Жаманаев Е.К. 944

- Жилинский Б.И. 196  
Жилов В.М. 2309  
Жилякова Т.А. 1396  
Жмудь Б.В. 734, 738  
Жорин В.А. 1834  
Жоров Б.С. 378  
Жуков А.А. 2480  
Жуков В.П. 1802  
Жукова Л.А. 1246  
Жуховицкий Д.И. 1962  
Жучкова О.В. 1299
- Заболоцкий В.И. 2423  
Завгородний В.С. 53, 979  
Загайнова Л.И. 343  
Загородный А.А. 1214  
Зайцев В.В. 1896, 2439  
Зайцев В.Н. 728  
Зайцева Н.А. 623, 1784  
Зайцева Н.В. 1593  
Зайцевский А.В. 1642  
Залялиева С.В. 2070  
Зарицкий А.Р. 591  
Зарко В.И. 2082, 2085  
Засецкий А.Ю. 1615  
Засылкин С.А. 323  
Затовская А.А. 410  
Затовский А.В. 365  
Захаров А.Г. 1839  
Зацепина Г.Н. 261  
Зверев М.П. 1843  
Зеленев Ю.В. 1127, 1131, 1134  
Земский В.И. 396, 400  
Зенкевич И.Г. 1474  
Зефиров Н.С. 1145  
Зибарев П.В. 2100, 2104  
Зильберман П.Ф. 1504  
Зимина И.Ф. 131  
Зимина Н.Х. 1759  
Зиновьев Л.А. 438  
Злоказов В.Б. 1577  
Знаменский В.С. 1504  
Знаменский Ю.П. 1924  
Золотарев П.П. 187, 1563  
Золочевская Т.А. 1296  
Зоркий П.М. 87, 217, 1418, 2464  
Зрянина Н.В. 1654  
Зубков В.А. 1626  
Зубов В.И. 1645  
Зубынин А.В. 1718  
Зухер Ф. 2160
- Ибрагим Б. 1966  
Иванкова Н.В. 2104  
Иванов А.Н. 166
- Иванов С.А. 2464  
Иванова Е.Н. 752  
Иванюк А.А. 1743  
Иvasенко В.Л. 535  
Ивахнюк Г.К. 2052, 2056  
Изосимова С.В. 2345  
Иконников И.А. 2168  
Ильин А.Г. 343  
Илюхин А.И. 2157  
Имамалиев А.Р. 2023  
Ионов С.П. 1149  
Ионова Г.В. 48, 1147, 1489, 1548  
Исаев А.Н. 514, 1168  
Исаева В.А. 2202  
Исак В.Г. 2160, 2164  
Йоос П. 452, 456
- Кабулов Б.Д. 2070  
Казакевич М.Л. 2160, 2164  
Казаков А.М. 2153  
Казаров А.Э. 1161  
Казымов М.М. 1541  
Каинкова Т.В. 1069  
Каледенкова Н.В. 1896, 2439  
Калинин Э.А. 582  
Калинина Н.В. 1791  
Калиничев А.И. 1056  
Калинкина Е.В. 1251  
Калинников Ю.А. 752  
Калия О.Л. 1492  
Калмановский В.И. 861  
Калонтарова Е.Я. 2433  
Камалова Д.И. 2388  
Каменев А.С. 1218, 1225  
Камнев А.А. 1851  
Каратаяева О.В. 435  
Караченцев В.Г. 1079  
Каргман В.Б. 1052  
Каргов С.И. 1692, 1697  
Карпасс М.М. 2210  
Карпов О.Н. 191  
Картавченко А.В. 678  
Касенов Б.К. 2475  
Касенова Ш.Б. 2475  
Каспаров К.Н. 2442  
Касторина Е.В. 1123  
Катальников С.Г. 1136, 1140  
Кац Б.М. 1199, 1854  
Кашковский В.И. 761  
Ке Ву 1889  
Кевдина И.Б. 70, 75  
Кереселидзе Дж.А. 1530  
Керн А.П. 1945  
Кертман Г.М. 2001  
Кертман С.В. 2001  
Киреев Л.С. 1369
- Кириленко В.В. 1149  
Кирш Ю.Э. 1069, 2312  
Киселев В.В. 441  
Киселев В.Ф. 1857  
Киселева А.А. 1177, 1489  
Киселева Т.В. 2412  
Китова Е.Н. 70, 75  
Клещевникова В.Н. 1649  
Климушева Г.В. 343  
Клюев С.А. 1926  
Книпович О.М. 518  
Кобелев Л.Я. 1577  
Ковалева Н.В. 2005  
Коваль Л.М. 1726  
Ковтун Ю.В. 609  
Ковшик А.П. 602  
Кожушков С.И. 1145  
Козлов А.Г. 1276, 1280, 1692, 1697, 2287  
Козлов Г.А. 1276, 1280, 2287  
Козуб Г.М. 2082, 2085  
Койфман О.И. 1623  
Кокорева О.В. 1145  
Кокунова Е.Ю. 1680  
Колбанев И.В. 1508  
Колесников Л.В. 1079  
Колесницкая А.Ю. 113, 361  
Колесов В.П. 1145  
Колешко Л.В. 1869  
Колкер А.М. 2354  
Колосова Е.А. 833  
Кольчинский А.Г. 869, 2452  
Кольчугина Н.Б. 2153  
Коновалихин С.В. 240  
Кононенко Е.В. 1813  
Конюхова С.В. 1474  
Конюшкина Н.И. 1019  
Коняев Д.С. 728  
Коняева В.С. 1302  
Копылова В.Д. 1052  
Корешков Б.Д. 245  
Костенко О.Н. 2423  
Костерин Е.А. 692  
Котова Д.А. 1544  
Кочиков И.В. 361  
Кравченко Т.А. 678, 2027  
Краков В.Э. 2433  
Красин В.П. 1205, 2149  
Краснов К.С. 645  
Красюков Ю.Н. 371  
Краузе И.М. 837, 839  
Креславский В.Д. 1059  
Крестов А.Г. 151  
Крестов Ал.Г. 2354  
Крестов Г.А. 460, 463, 615, 966, 1123, 1718, 1993

- Крылова И.В. 1857  
Крюков О.В. 951, 1181  
Крючкова О.В. 1056  
Куанышев А.Ш. 1038  
Кудашева Т.В. 1573  
Кудин Л.С. 645, 905, 908  
Кужель Л.М. 1156  
Кузнецов А.И. 1246  
Кузнецов Б.В. 1464  
Кузнецов В.А. 782  
Кузнецов В.С. 1597  
Кузнецов Ю.И. 1912, 1979, 2258  
Кузнецова Е.М. 1765  
Кузнецова И.Н. 591, 1701, 1884  
Кузнецова Л.А. 2271  
Кузнецова Н.А. 1492  
Кузнецова Т.В. 254  
Кузнецова Т.С. 504, 1145  
Кузьмин В.Е. 1164  
Кулешова Т.Ю. 1439, 1449  
Куликов С.Г. 1201, 1234  
Куликов М.В. 2354  
Куликова Е.Ю. 1714  
Кунцевич Н.И. 1665, 2442  
Купцевич Ю.Е. 528, 532, 619  
Курамшина Г.М. 105, 113, 361, 707  
Курашвили Л.М. 1038  
Курбатова С.В. 833  
Курдюмов С.С. 889  
Курина Л.Н. 435  
Курицын Л.В. 1791  
Кутаров В.В. 1199, 1854  
Куценок И.Б. 1153  
Кушнарев С.В. 1406  
Кушнарева Т.В. 1406  
Кыштымова Т.Н. 1127, 1131, 1134
- Лаврова Ю.В. 1884  
Лазарев Г.Г. 176, 1834  
Лакеев С.Г. 1014  
Ланге П.К. 815  
Ланин С.Н. 146, 1658, 1680  
Лаптев Д.М. 2410  
Ларин А.В. 810, 983  
Ларионов О.Г. 2033  
Ластенко И.П. 166  
Лебедев Ю.А. 925  
Лебедев Ю.Я. 765, 1915  
Лебедев Я.С. 176, 1093, 1834, 2220  
Лебедева О.Е. 2092  
Леванда О.Г. 65  
Левандовский В.Г. 714  
Левин М.Г. 2062  
Левин П.П. 155  
Левицкий С.Г. 2160, 2164
- Левкин А.В. 2309  
Леденков С.Ф. 2202  
Лежава С.А. 633  
Лейкин Ю.А. 2001  
Леонидов В.Я. 1361, 1947  
Леонидов Н.Б. 2464  
Лесин В.И. 1561  
Лещев С.М. 962, 2383  
Лин Г.И. 889  
Липковская Н.А. 869, 2452  
Липсон А.Г. 545, 782  
Лисецкий Л.Н. 1081, 1531  
Лисин Е.Е. 1267  
Лисина Т.А. 623  
Лисы В. 365  
Лобанов В.С. 975  
Лобаскин В.А. 311  
Лобач А.С. 1880  
Логинов А.Ю. 1991, 2168, 2175  
Логинова Л.П. 1649  
Локотош Т.В. 210  
Лопаткин А.А. 1557, 1950, 2315  
Лоханов В.В. 151  
Луговской А.А. 405  
Лужкова Е.Н. 555, 558, 2111  
Лукьянова В.А. 1145  
Лунин В.В. 18, 441, 444, 518, 595  
Лунина Е.В. 485, 561, 2092  
Луцый А.И. 1528  
Лыгин В.И. 561, 1246  
Лысенко А.А. 2333  
Лысенко Ю.А. 787  
Любарцев А.П. 254  
Любимов С.Л. 25, 1794  
Люцарап В.С. 975  
Лявинец А.С. 1364  
Лялюлина Э.М. 146  
Ляпунова М.А. 1508  
Лях В.В. 1531  
Ляхов Б.Ф. 545  
Лященко А.К. 281, 1615
- Магомедов М.Н. 661, 665, 669, 2280  
Май И.И. 1711  
Макаревич Н.А. 542  
Макаров Г.В. 1338, 1573  
Макарова Л.Т. 585  
Макетов А.К. 717  
Макиевский А.В. 452, 456  
Максимов Б.Н. 1474  
Малеев В.Я. 1396  
Малкина И.М. 2312  
Малкова А.С. 1729  
Маломуж Н.П. 248  
Мамаев В.М. 1938
- Мамбетерзина Г.К. 1583, 2348  
Мамедов А.Ш. 2059  
Мамлеев В.Ш. 722  
Мамлеева Н.А. 518  
Мамонтов И.В. 1645  
Мандругин А.А. 2428  
Манза И.А. 761  
Маркичев И.В. 38  
Мартынов Г.А. 918  
Марциновский А.А. 254  
Масунов А.Э. 221, 1418, 2464  
Матвеева М.В. 1214  
Матвиенко В.А. 1536  
Матковская Т.А. 2339  
Матысина З.А. 1118  
Махметов Е.Х. 1711  
Мацкевич Н.И. 1342  
Машаров С.И. 1541  
Медведева Л.В. 1073  
Медведева Н.И. 1802  
Мелешевич К.А. 915  
Мелихов И.В. 70, 75, 576  
Мельников Б.Н. 752  
Мельникова Н.В. 1577  
Мельситова И.В. 962, 2383  
Мерзляков А.В. 2157  
Мерный С.А. 728, 2224, 2229  
Мефед Н.М. 551  
Мехрабов А.А. 1541  
Мехтиева Г.Р. 673  
Микельсаар Р.Н. 692  
Миняев Р.М. 2205  
Мирианашвили Т.Б. 1721  
Миронова Н.В. 2267  
Митрофанова А.Н. 518, 595  
Митрохина Э.Г. 1907  
Михайлов И.Ю. 327  
Михайлова К.В. 1413  
Михаленко И.И. 551, 1156  
Михеев С.В. 1776  
Михейкин И.Д. 1805  
Мишустин А.И. 1345, 1708, 2307  
Моев А.В. 1600  
Мокров А.П. 652, 658  
Молочников Л.С. 466, 990, 1063  
Монаенкова А.С. 633, 1593  
Моравский А.П. 1880  
Москвина М.А. 1452  
Музыка И.С. 561, 1246  
Музычка А.Ю. 38  
Муминов С.З. 2134, 2436  
Муратов В.Б. 915  
Мухамедгалиева У.А. 2292  
Мухтаров Э.И. 371  
Мучник В.Л. 827

- Мчедлов-Петросян Н.О. 1649  
Мышкин А.Е. 1302  
Мясников И.А. 1517, 1523
- Набивач В.М. 821, 2038  
Наджафова М.Г. 2023  
Надточенко В.А. 1880, 2469  
Назарова В.И. 2041  
Назиев Я.М. 673, 1348  
Найдина И.Н. 1038  
Наполов Д.В. 92  
Натканец И. 38  
Небольсина Ю.Г. 339  
Неклюдов С.А. 2345  
Некрасов В.В. 2190  
Ненайденко С.А. 2033  
Нестерова Я.М. 217  
Нечитайлов П.Б. 38  
Ниженко В.И. 1291  
Никитин В.С. 53, 979  
Никитин Ю.П. 623, 1784  
Никитин Ю.С. 146, 1436, 1658, 1680, 2005, 2098  
Никитина И.Ю. 623, 1534, 1784  
Никитина Г.Н. 2433  
Никифорова Г.Е. 1731  
Николаев А.Л. 70  
Николаева Л.С. 508  
Николов О.Г. 1396  
Никоненко В.В. 2423  
Нистель И.Г. 1431  
Новиков А.И. 2339  
Новиков А.Н. 1387, 1391, 1394  
Новиков В.Ф. 848  
Новоженец А.А. 742  
Новскова Т.А. 1615  
Нургожаев К.Х. 944  
Нурмухаметов Р.Н. 1271
- Овчинникова Г.П. 1565  
Одинцов Б.М. 1499  
Оккель Л.Г. 2095  
Октябрьский В.П. 315  
Олейник Т.В. 1701  
Олива Ч. 1600  
Оловянишникова Г.Д. 1059  
Ольхович М.В. 151  
Омаркулов Т.О. 944  
Онищук В.И. 2383  
Онучак Л.А. 843  
Орлов В.В. 1938  
Орлов Ю.Д. 925  
Осин С.Б. 707  
Осман-заде Ш.Д. 1028, 1031  
Островский В.Е. 1255  
Остроушко А.А. 2267
- Остроушко И.П. 2267  
Ощепков Д.И. 2410
- Павлов-Веревкин В.Б. 1635  
Павлова Л.М. 1583, 2348  
Падюкова Г.Л. 1038  
Пазюк Е.А. 2271  
Паникарская В.Д. 1081  
Панкина Г.В. 18, 441  
Панкратов Ю.Д. 1110  
Папулов Ю.Г. 203  
Парбузина Л.Р. 1848  
Пармон В.Н. 2321  
Парfenюк Е.В. 615  
Пастушенко О.Н. 2073  
Патриляк К.И. 761  
Пауков И.Е. 2153  
Паукштис Е.А. 1726  
Пахлов Е.М. 2082  
Пашинкин А.С. 1729  
Пентин Ю.А. 105, 113, 361, 707  
Пепинов Р.И. 1101  
Первухин О.К. 1114  
Переведенцева Е.В. 591  
Перелыгин В.М. 2294  
Перелыгин И.С. 2210  
Перфильев Ю.Д. 70, 75  
Першин В.К. 311, 1406  
Першин Вл.К. 328  
Петров А.В. 1857  
Петров А.Н. 703, 1460, 1714  
Петров С.В. 196  
Петросян В.П. 1308  
Печенюк С.И. 1251  
Пешков В.В. 1369  
Пименов Д.А. 2267  
Пименова С.М. 1145  
Пиотровская Е.М. 2275  
Писулина Л.П. 615  
Пихляя К. 315  
Платонов И.А. 857  
Платонова Н.П. 1480  
Плахотник В.Н. 609  
Плахтинский В.В. 697  
Плахутин Б.Н. 1173  
Плюто Ю.В. 2455  
Погребной А.М. 905, 908  
Поленов Е.А. 65, 612  
Полторак О.М. 1496  
Полухина Л.М. 795  
Полушкин С.Г. 602  
Поляков В.И. 585  
Поляков В.Б. 470  
Поляков М.Н. 203  
Полякова М.В. 53, 979
- Полянский С.В. 983  
Пономарев В.Г. 1431  
Пономарева О.А. 1991  
Пономаренко И.Ю. 1726  
Попов Е.В. 347, 1813  
Попова А.А. 1593  
Попова О.В. 606  
Попова Т.Л. 1342  
Попова Т.П. 841  
Попович М.П. 1076  
Порошков В.П. 1665, 2442  
Потапов А.А. 956, 2193  
Потемкин В.А. 327  
Прокофьев А.И. 1093  
Протонина И.С. 2005  
Пряхин А.Н. 595  
Псарев В.И. 2199  
Пупышев В.И. 117  
Пучкова Г.А. 897, 901
- Рабинович Л.М. 567, 571, 1262  
Рагимов Д.А. 602  
Радионов Б.К. 466, 990, 1063  
Раздьяконова Г.И. 1426  
Рамазанова А.Э. 13  
Ратнасекера Дж.Л. 2214  
Рахимов Р.Р. 1093  
Рахлевская М.Н. 1565  
Рахманова Т.А. 1464  
Рачинский В.В. 639  
Регель А.Р. 1969  
Резник Г.В. 2333  
Резников С.А. 2047  
Резницкий Л.А. 2306, 2379  
Ремизов А.Б. 2388  
Репников Н.Н. 1024  
Ризаев Н.У. 2292  
Родзивилова И.С. 1565  
Родникова М.Н. 275, 323  
Розно А.Г. 1317  
Розовский А.Я. 889  
Романовский Б.В. 933, 1034, 1422, 1740, 1932, 1935, 1991  
Роццина Т.М. 2428  
Рудаков Е.С. 1528  
Рудакова С.В. 1554  
Руденко М.Г. 1687, 1873  
Рудницкая Т.А. 1436  
Рудык Е.М. 1737  
Русаков А.И. 697  
Рыбальченко Ю.П. 861  
Рыжакова Н.В. 1271  
Рюмцев Е.И. 602, 1907  
Рябенко Е.А. 1246  
Рябченко П.В. 444  
Рязанов М.А. 1787

- Ряскова Л.П. 2294  
Савинов И.М. 861  
Савинов Ю.С. 861  
Савинцев П.А. 1504  
Садов С.В. 748, 2027  
Садовникова Н.А. 1059  
Сайко А.В. 410  
Сакиев С.Н. 792  
Саков Д.М. 545, 782  
Сакодынский К.И. 1567  
Салдадзе Г.К. 773, 1818, 1941  
Салтыков П.А. 1439, 1449  
Сальников Ю.И. 971  
Сальников Л.В. 2214  
Сапунов В.В. 777, 2238  
Сармурзина А.Г. 2092  
Сафаров М.М. 678  
Сафин Р.Ш. 1052  
Сафонов А.А. 80  
Сафонов М.С. 582, 2232  
Сахаров А.А. 435  
Свеженцева А.А. 1242, 2010  
Свешникова Д.А. 1439, 1444, 1449  
Свистунов Г.М. 1189  
Селезнев С.А. 692  
Селеменев В.Ф. 1214, 1544  
Семенов С.Н. 598  
Семенова Н.Г. 787  
Семина Н.В. 1069  
Семченко В.В. 621  
Сенявин В.М. 361, 707  
Сергазиева К. 1038  
Сергеева И.А. 1079  
Сердюков С.И. 879  
Серебренников Л.В. 1639, 1642  
Серебрякова Н.В. 123  
Сечкарев А.В. 400  
Сидельников В.Н. 817  
Сидоренкова Е.А. 1014  
Сидорчук В.В. 1231  
Сидорычева А.В. 1714  
Силәев М.М. 1944  
Сильченко С.С. 2252  
Симанович Е.А. 1464  
Симонов А.П. 585, 1957  
Синани И.Л. 1024  
Синицын Е.Н. 1918  
Синицына Н.А. 1600  
Сирота И.С. 576  
Сколис Ю.Я. 1593  
Скоморохов В.И. 616  
Скопенко В.В. 728  
Славинская Г.В. 2140  
Слинкина М.В. 2267  
Словохотова Н.А. 474  
Слюсарь И.В. 1161  
Смехнов А.А. 1851  
Смирнов В.В. 1938  
Смирнов В.И. 1123  
Смирнов Е.П. 742  
Смирнов П.Р. 1401  
Смирнов С.А. 2388  
Смирнова Н.П. 1413  
Смоляков В.М. 203  
Соболев Б.П. 1073  
Соколова Е.П. 893  
Соколова Н.П. 123, 555, 558, 1156, 2108, 2111  
Солдатова Е.Д. 1921, 2302  
Соловейчик О.М. 92  
Соловецкий Ю.И. 444  
Соловьева А.Б. 1508  
Соложенко В.Л. 1580  
Соломонов Б.Н. 757, 1289, 1611, 2345  
Сорокина Е.Ю. 2059  
Сорокина Л.П. 2297  
Сорочкин С.В. 1600  
Соцкая Н.В. 748, 2027  
Спирidonов С.Э. 951, 1181  
Староста В.И. 1305  
Старшинин А.Ю. 2104  
Степанов Н.Ф. 117, 200  
Столов А.А. 2345, 2388  
Столовицкий Ю.М. 1059  
Столыпин В.А. 1345  
Столыпин В.Ф. 2307  
Столяров А.В. 2271  
Стоянова И.Г. 1857  
Стоянова О.Ф. 1704  
Страхов Б.В. 947  
Стрижак П.Е. 1373  
Струченко А.Л. 567, 571, 1262  
Стукалов О.И. 1214  
Стуль Б.Я. 800  
Стыров В.В. 1669  
Суворов Б.А. 625, 627  
Суворов Б.В. 717  
Суслов Д.А. 757, 1611  
Суханова Г.Е. 1119  
Сухарев В.Я. 1452  
Сухов Ф.Ф. 474  
Сухова С.И. 189  
Сухушина И.С. 1976  
Сушко О.В. 857  
Сыроватская Е.В. 1658  
Сычев А.Я. 2160, 2164  
Сыщикова Н.А. 1181  
Тагирова Р.И. 773, 1818, 1941  
Талицких С.К. 412  
Талыбов М.А. 1348  
Тарасенко Ю.А. 748, 1238, 2328, 2333  
Татаурова О.Г. 1480  
Таушканова О.Г. 742  
Телегин Ф.Ю. 732  
Тертых В.А. 1231, 2116  
Тесленко В.Ф. 245  
Тесленко Л.А. 245  
Тимашев С.Ф. 160, 448, 798, 1014, 1508, 1755, 1857, 2181, 2312  
Тимирязева Г.М. 2001  
Тимофеева С.В. 1798  
Типикин Д.С. 176, 1834, 2220  
Тифлова Л.А. 633, 1593  
Тихомиров В.А. 1293  
Тихомиров В.С. 1214  
Ткаченко С.Н. 1076  
Товбин Ю.К. 136, 141, 391, 524, 1674, 2122, 2126, 2325  
Толкачев С.М. 1577  
Томилин И.А. 1153  
Торгова С. 1907  
Торопов В.В. 615  
Тотрова Г.А. 609  
Трахтенберг Л.И. 448, 1631  
Третьяков В.Ф. 2059  
Тростин В.Н. 1380, 1401  
Трофанчук О.В. 1499  
Трубников Д.Н. 983  
Тужилина Ж.Р. 2059  
Тульчинский В.Б. 609  
Туракулова А.О. 518  
Тюнина Е.Ю. 460  
Тявловская Е.А. 2442  
Ужинов Б.М. 2459  
Улюкина Е.А. 474  
Умарахунов М.Х. 2292  
Урбас А. 2469  
Усольцева Н.В. 1597  
Устинов А.Ю. 1189, 1409, 1929  
Файнерман В.Б. 452, 456  
Фалалеев А.Г. 987  
Федоров Н.Ф. 2052, 2056  
Федоров П.П. 1073  
Федосова Е.В. 843  
Федотов Ю.А. 2312  
Фельдман В.И. 474  
Фенелонов В.Б. 2095  
Фиалков Б.С. 438  
Филимонов И.Н. 2168, 2175  
Филипов А.П. 2164  
Филиппов Г.Г. 1809

- Филиппова Т.Г. 697  
 Филичева О.Д. 535, 1987  
 Финкельштейн А.И. 1436  
 Фионов А.В. 485, 561  
 Фирсова Л.А. 1866  
 Флока Л.И. 1291  
 Фломенблит В.Ш. 1631  
 Фок М.В. 591  
 Форни Л. 1600  
 Фридман А.Я. 1123  
 Фролов В.Ю. 1966  
 Фролов Ю.Г. 2299  
 Фролова Е.Н. 1052  
 Фуркалюк М.Ю. 1361, 1947  
 Фурс С.Ф. 962
- Хавкин А.Я. 1561  
 Хаврюченко В.Д. 38  
 Хаджиев С.Н. 951, 1181  
 Хайруллина А.Я. 1701  
 Халатур П.Г. 412  
 Хапачев Ю.П. 2297  
 Харевич О.Ф. 131  
 Харитонов О.В. 1866  
 Хелевина О.Г. 1798, 1877  
 Хентов В.Я. 621  
 Хиля Г.П. 1291  
 Хоконов Х.Б. 1892  
 Холин Ю.В. 728, 2224, 2229  
 Холодов В.П. 1369  
 Хомуев А.В. 1136, 1140  
 Хохлов В.Ю. 1214  
 Хохлова Т.Д. 2098  
 Хрусталев Ю.А. 795  
 Хрусталева Н.М. 2428  
 Хрустов В.Ф. 117  
 Худавердиев Р.А. 1028, 1031
- Цивадзе А.Ю. 2309
- Чайванов Д.Б. 1550  
 Чалых А.Е. 1996  
 Чанов А.В. 1848  
 Чемерисов С.Д. 2220
- Червинский К.А. 1364  
 Чернавский П.А. 18, 441  
 Чернова О.М. 1993  
 Чернова Т.И. 203  
 Чернышева И.В. 319  
 Чертихин Г.В. 1639, 1642  
 Чесноков Б.Б. 800  
 Чижанов С.А. 773, 1069, 1483, 1818, 1941, 2242  
 Чижков В.П. 1042, 2014  
 Чижова Н.В. 1877  
 Чиканов В.Н. 1369  
 Чистяков О.Д. 2153  
 Чобан А.Ф. 1364  
 Чувелева Э.А. 1866  
 Чувылкин Н.Д. 485  
 Чудинов Г.Э. 92  
 Чудиновских В.Р. 692  
 Чужко Р.К. 1024  
 Чуйко А.А. 714, 869, 1201, 1234, 2452, 2455  
 Чуйко Л.С. 585  
 Чумаков Д.В. 1289  
 Чурагулов Б.Р. 25, 1794  
 Чураева М.Н. 1019  
 Чурюсова Т.Г. 893  
 Чухрай Е.С. 1496
- Шаевич А.Б. 827  
 Шантарович В.П. 70, 75  
 Шапошников В.А. 1544  
 Шарнин В.А. 1776, 2202  
 Шарыгин Л.М. 1431  
 Шатохин С.А. 2210  
 Шатрова Е.Г. 2483  
 Шафирович В.Я. 155  
 Шахвердиев А.Н. 673  
 Шварц А.Л. 1704  
 Швейкин Г.П. 1802  
 Швец Ф. 1480  
 Шевелева И.В. 1654  
 Шейхов Ш.О. 1449  
 Шека Е.Ф. 38  
 Шелимов К.Б. 80
- Шепеленко Т.С. 2100  
 Шепетюк Л.В. 1056  
 Шимулис В.И. 21, 2214  
 Ширков А.В. 1439, 1449  
 Ширяева В.Е. 841  
 Шишкун И.В. 1380  
 Шкловская Н.И. 2073  
 Шония Н.К. 146, 1680  
 Шорманов А.В. 752  
 Шорманов В.А. 1776, 2202  
 Шорыгин П.П. 514  
 Штейншнейдер Н.Я. 180  
 Шульте Г.Ю. 2480  
 Шундрин Л.А. 65, 612
- Щека О.Л. 1409  
 Щербакова К.Д. 2041  
 Щербакова О.А. 2041
- Эльтеков Ю.А. 1426, 1862, 1996  
 Эльтекова Н.А. 1426
- Юматов В.Д. 1409  
 Ющенко В.В. 1034
- Явич А.А. 545  
 Ягов В.В. 1557, 1950  
 Ягодовский В.Д. 551, 1156  
 Ягупольский Л.М. 612  
 Якимова О.И. 1201, 1234  
 Яковлев А.М. 21  
 Яковлев Н.Н. 351, 994, 1822, 1826  
 Яковлев Ю.Ю. 1271  
 Якуб Е.С. 305  
 Яндиева Л.А. 951  
 Янкянг Шао 1889  
 Янпо Конг 1889  
 Янченко А.Б. 2480  
 Ясинский О.А. 697  
 Яхин Р.Г. 1499  
 Яценко В.В. 2328  
 Яценко Л.П. 343  
 Яшин Я.И. 769, 804, 861

Составитель И.Ю. Виеру

# СОДЕРЖАНИЕ к тому 67 за 1993 г.

## Номер 1

### ХИМИЧЕСКАЯ ТЕРМОДИНАМИКА И ТЕРМОХИМИЯ

Компьютерное исследование структуры и термодинамических свойств оксидов гомологического ряда  $\text{Me}_2\text{O}_3$

Д. К. Белащенко 5

Объемные свойства и вириальные коэффициенты бинарной смеси вода–метан

И. М. Абдуллагатов, А. Р. Базаев, А. Э. Рамазанова 13

### ХИМИЧЕСКАЯ КИНЕТИКА И КАТАЛИЗ

Восстановление оксидов железа, нанесенных на  $\text{Al}_2\text{O}_3$  и  $\text{ZrO}_2$

П. А. Чернавский, Г. В. Панкина, А. Н. Греченко, В. В. Лунин 18

Кластерный анализ двумерного флюида

В. И. Шимулис, А. М. Яковлев 21

### ФИЗИЧЕСКАЯ ХИМИЯ РАСТВОРОВ

Удельные объемы водных растворов нитратов бария, иттрия, меди при атмосферном давлении и температурах 288 - 355 К в широком интервале концентраций

О. В. Галас, С. Л. Любимов, Б. Р. Чурагулов 25

Водные растворы неполярных газов. Компьютерное моделирование

Б. Гийо, И. Гиссани, С. Братоши 30

### СТРОЕНИЕ ВЕЩЕСТВА И КВАНТОВАЯ ХИМИЯ

Колебательная спектроскопия дисперсного кремнезема: неупругое рассеяние нейтронов

Е. Ф. Шека, И. Натканец, В. Д. Хаврюченко, П. Б. Нечитайлов,  
И. В. Маркичев, А. Ю. Музычка 38

Физически допустимые соотношения между параметрами Слэтера и Рака для  $f$ -электронов

II. Суженные области допустимых значений

В. Г. Вожмин, Г. В. Ионова 48

Частоты, силовые постоянные, средние амплитуды колебаний и коэффициенты перпендикулярных амплитуд колебаний молекулы *bis*( trimетилсилил)ацетилена

В. С. Никитин, М. В. Полякова, А. В. Беляков,  
Е. Т. Богородовский, В. С. Завгородний 53

Теоретическое исследование структуры пентагалокарбонатов CX<sub>5</sub> (X = F, Cl, Br) и их однократно заряженных отрицательных ионов

Г. Л. Гуцев 58

Анион-радикалы *пара*-замещенных нитробензолов с CFH<sub>2</sub><sup>-</sup>, CHF<sub>2</sub><sup>-</sup>, CF<sub>3</sub>-группами и параметры угловых функций  $\beta$ -фторного изотропного сверхтонкого взаимодействия

Е. А. Поленов, Ю. А. Вировец, Л. А. Шундрин, О. Г. Леванда 65

Радионуклидно-микроскопическая диагностика дисперсных твердых фаз

И. В. Мелихов, В. П. Шантарович, Е. Н. Китова, Ю. Д. Перфильев,  
И. О. Богатырев, И. Б. Кевдина, А. Л. Николаев 70

Механизм посткристаллизационного упорядочивания кристаллогидратов

И. В. Мелихов, Е. Н. Китова, А. Я. Горбачевский, Ю. Д. Перфильев,  
В. П. Шантарович, И. О. Богатырев, И. Б. Кевдина 75

Неэмпирический расчет структуры M-центра на поверхности AgBr(100): образование первичного центра Ag<sub>2</sub>

А. А. Багатурьяни, А. А. Сафонов, К. Б. Шелимов 80

Гиперсимметрия островных и цепочечных Н-ассоциатов

Е. Е. Дащевская, П. М. Волович, П. М. Зоркий 87

Квантово-химические вычисления эффектов сольватации при тушении люминесценции пирена дибутилфталатом		92
<i>Ю. А. Вайнштейн, Д. В. Наполов, О. М. Соловейчик, Г. Э. Чудинов</i>		
Колебательная структура электронного перехода $\tilde{A}^1 A'' \leftarrow \tilde{X}^1 A'$ молекулы <i>цис</i> -пропаналя		99
<i>В. Н. Алексеев, И. А. Годунов</i>		
Моделирование колебательных спектров многоатомных молекул на основе устойчивых численных методов		
<i>Г. М. Курамшина, Ю. А. Пентин</i>		105
Колебательные спектры <i>транс</i> -1,2,3-трихлорпропена и 1,1,2,3-тетрахлорпропена		
<i>А. Ю. Колесницкая, Н. Л. Арютина, Г. М. Курамшина, Ю. А. Пентин</i>		113
Молекулярные модели соединений внедрения лития в графит		
<i>А. Ю. Ермилов, В. Ф. Хрустов, В. И. Пупышев, Н. Ф. Степанов</i>		117

---

## ФИЗИЧЕСКАЯ ХИМИЯ ПОВЕРХНОСТНЫХ ЯВЛЕНИЙ

Механизм взаимодействия полиуретанового каучука с $\gamma$ -оксидом железа при механической обработке		
<i>И. А. Гагина, Н. В. Серебрякова, Н. П. Соколова</i>		123
Атомарная форма азота на поверхности ванадийсодержащих катализаторов из адсорбированных NO и NH <sub>3</sub>		
<i>А. А. Давыдов</i>		127
Сверхэквивалентная сорбция органических электролитов стирольными ионитами из водно-органических сред		
<i>И. Ф. Зимина, О. Ф. Харевич</i>		131
Влияние упорядочения адсорбированных частиц на вид термодесорбционных спектров		
<i>Ю. К. Товбин, Е. В. Вотяков</i>		136
Влияние двумерной конденсации адсорбированных частиц на вид термодесорбционных спектров		
<i>Ю. К. Товбин, Е. В. Вотяков</i>		141

---

## ФИЗИЧЕСКАЯ ХИМИЯ ПРОЦЕССОВ РАЗДЕЛЕНИЯ. ХРОМАТОГРАФИЯ

Влияние ассоциации молекул модификатора в подвижной фазе на удерживание в высокоэффективной жидкостной хроматографии		
<i>С. Н. Ланин, Э. М. Лялюнина, Ю. С. Никитин, Н. К. Шония</i>		146
Сорбент на основе мезоморфного комплекса меди в газовой хроматографии органических соединений		
<i>А. Г. Крестов, С. В. Блохина, Ю. Г. Галяметдинов, М. В. Ольхович, В. В. Лоханов</i>		151

---

## ФОТОХИМИЯ И МАГНЕТОХИМИЯ

Влияние длины и гибкости связывающего мостика на кинетику рекомбинации триплетного ион-радикального состояния диады порфирий-виологен во внешнем магнитном поле		
<i>Е. Е. Батова, П. П. Левин, В. Я. Шафирович</i>		155

---

## ПРОЧИЕ ВОПРОСЫ ФИЗИЧЕСКОЙ ХИМИИ

Физикохимия глобальных изменений в биосфере		
<i>С. Ф. Тимашев</i>		160
Радикальные процессы в органических кристаллах при деформации сдвига под давлением		
<i>А. А. Дадали, И. П. Ластенко, В. В. Аксененков, А. Н. Иванов</i>		166
Кинетика капиллярной пропитки пористых гранул индивидуальными жидкостями в условиях защемления газов		
<i>В. М. Бельков</i>		171

Механохимическая генерация стабильных радикальных пар		
Д. С. Типикин, Г. Г. Лазарев, Я. С. Лебедев		176
Анализ рассчитанных спектров ЭПР в области медленной		
вращательной диффузии с помощью аналитической теории		
Н. Я. Штейншнейдер, О. Н. Викторова		180

---

## КРАТКИЕ СООБЩЕНИЯ

О движении летучей жидкости в капиллярах		
П. П. Золотарев		187
Термодинамические свойства растворов		
N-(изопропоксикарбонил)-O-(4-хлорфенилкарбамоил)-этаноламина		
в воде и ряде органических растворителей		
О. Н. Власов, С. И. Сухова, Н. В. Аббакумова		189
Зависимость констант равновесия комплексов некоторых производных		
фенола от параметров протоноакцепторов		
О. Н. Карпов		191

---

## Номер 2

---

### МАТЕРИАЛЫ IX СЕМИНАРА ПО МЕЖМОЛЕКУЛЯРНОМУ ВЗАИМОДЕЙСТВИЮ И КОНФОРМАЦИЯМ МОЛЕКУЛ

#### ПРЕДИСЛОВИЕ

#### СТРУКТУРА, ДИНАМИКА И СВОЙСТВА МОЛЕКУЛ

Зависимость динамики молекул от вращательного квантового числа		
Б. И. Жилинский, С. В. Петров		196

Моделирование динамики термической диссоциации двухатомной молекулы		
в инертном газе классическим отображением		
А. А. Бучаченко, Н. Ф. Степанов		200

Использование топологических индексов при построении корреляций структура–свойство		
Ю. Г. Папулов, Т. И. Чернова, В. М. Смоляков, М. Н. Поляков		203

---

#### МОЛЕКУЛЯРНЫЕ КРИСТАЛЛЫ

Коллективные возбуждения во льду VIII		
Т. В. Локотош		210

Внутрислоевая политипия в органических кристаллах		
П. М. Зоркий, Я. М. Нестерова		217

Влияние специфических межмолекулярных взаимодействий на кристаллическую структуру,		
производные и аналоги урацила		
А. Э. Масунов, С. И. Грищенко, П. М. Зоркий		221

Межмолекулярные орбитальные взаимодействия сера...серы в кристаллах солей		
бис-(этилендиго)-тетратиафульвалена		
С. В. Коновалихин, О. А. Дьяченко		240

Термодинамические характеристики текстурованных образцов нафталина и антрацена		
Л. А. Тесленко, В. Ф. Тесленко, Б. Д. Корешков		245

---

#### ЖИДКОСТИ И РАСТВОРЫ

Особенности фазовых превращений в многокомпонентных растворах		
в окрестности их критических точек		
Н. П. Маломуж		248

Новый подход к расчету свободной энергии методом Монте-Карло с использованием		
расширенных ансамблей		
А. П. Любарцев, А. А. Марциновский, П. Н. Воронцов-Вельяминов, Т. В. Кузнецова		254

Ван-дер-ваальсовое взаимодействие молекул H <sub>2</sub> O во льдах и воде		
Г. Н. Зацепина		261

**Локальные нелинейные диполь-дипольные взаимодействия и физико-химические свойства растворов полярных веществ в бинарных растворителях**

<i>Н. Г. Бахшиев</i>	264
О некоторых новых возможностях спектроскопического изучения процессов пересольватации полярных молекул в бинарных растворителях	
<i>Н. Г. Бахшиев</i>	270
Особенности растворителей с пространственной сеткой Н-связей	
<i>М. Н. Родникова</i>	275
Структура жидкостей и виды порядка	
<i>А. К. Лященко</i>	281
Квазихимические модели в физикохимии жидких неэлектролитов	
<i>В. А. Дуров</i>	290
Полимеризация в ударно сжатом азоте	
<i>Е. С. Якуб</i>	305
Межмолекулярные взаимодействия в растворах неионных поверхностно-активных веществ. Модель твердых сфер	
<i>В. А. Лобаскин, В. К. Першин</i>	311
Молекулярные структуры с бифуркатной водородной связью в растворе и их роль в динамике процессов образования ионных пар	
<i>С. Ф. Бурейко, В. П. Октябрьский, К. Пихлая</i>	315
Строение молекулярных комплексов и динамика кооперативной миграции протонов в бифункциональных азотсодержащих молекулах в жидкой фазе	
<i>С. Ф. Бурейко, И. В. Чернышева</i>	319
Структурное и динамическое исследование водного кластера Cs <sup>+</sup>	
<i>С. А. Засыпкин, М. Н. Родникова</i>	323
Способ учета влияния температуры на эффективные радиусы в модели DENSON	
<i>А. В. Белик, В. А. Потемкин, И. Ю. Михайлов</i>	327

---

**ЖИДКИЕ КРИСТАЛЛЫ**

Модель Клэдис и проблемы возвратного механизма	
<i>Вл. К. Першин</i>	328
Исследование структуры жидких кристаллов в области их электродинамической неустойчивости оптическими методами	
<i>Г. И. Баранова, Д. Н. Глебовский, Ю. Г. Небольсина</i>	339
Спектральные свойства и структура индуцированных холестерических жидких кристаллов	
<i>Л. И. Загайнova, А. Г. Ильин, Г. В. Климушева, Л. П. Яценко</i>	343
Аналитическое описание структурных изменений лиотропных мезофаз	
<i>Е. В. Попов, Б. М. Боровик</i>	347

---

**СПЕКТРОСКОПИЯ И КОНФОРМАЦИОННЫЙ АНАЛИЗ**

Исследование структуры и конформаций молекул методом электронно-колебательной спектроскопии	
<i>И. А. Годунов, Н. Н. Яковлев</i>	351
Обратные задачи колебательной спектроскопии и исследование поворотной изомерии молекул	
<i>В. М. Сенявин, А. Ю. Колесницкая, И. В. Кочиков, Г. М. Курамшина, Ю. А. Пентин</i>	361
К теории рассеяния мессбауэровского излучения на частицах с внутренними возбуждениями	
<i>А. В. Затовский, В. Лисы</i>	365
Исследование крутильных колебаний метильных групп по низкочастотным спектрам комбинационного рассеяния органических кристаллов	
<i>Э. И. Мухтаров, Ю. Н. Красюков</i>	371
Определение минимального сечения ионного канала, вмещающего молекулу d-тубокуарина, с помощью теоретического конформационного анализа	
<i>Б. С. Жоров, Н. Б. Бровцына</i>	378

---

## **АДСОРБИЯ**

Упорядоченные структуры адсорбированных частиц на неоднородных поверхностях

*Е. В. Вотяков, Ю. К. Товбин*

391

Особенности динамики колебательного возбуждения многоатомных молекул, адсорбированных на поверхности твердого диэлектрика

*В. Н. Бегер, В. И. Земский*

396

Конфигурационные переходы многоатомных молекул, адсорбированных неоднородной поверхностью диэлектрика

*А. В. Сечкарев, В. Н. Бегер, В. И. Земский*

400

---

## **ПОЛИМЕРЫ**

О единстве природы релаксационных  $\alpha$ -,  $\beta$ - и  $\gamma$ -переходов, инфракрасного спектра, теплоемкости и некоторых других физико-химических свойств кристаллического полиэтилена

*А. А. Луговской*

405

Подвижность гидратированных макромолекул

*А. А. Затовская, А. В. Сайко*

410

Гибридные численные методы для компьютерного моделирования молекулярных систем

*С. К. Талицких, П. Г. Халатур*

412

---

## **Номер 3**

---

### **ХИМИЧЕСКАЯ ТЕРМОДИНАМИКА И ТЕРМОХИМИЯ**

Оценка энтальпий образования ванадатов методом цикла Борна–Габера

*Б. Г. Головкин*

421

Расчет стандартных термодинамических функций боратов

*М. К. Алдабергенов, Г. Т. Балакаева*

425

Давление насыщенного пара и термодинамические характеристики испарения цис- и транс-перфторбицикло(4,3,0)нонанов

*Ч. А. Айткеева, А. И. Дружинина, Р. М. Варущенко*

431

---

### **ХИМИЧЕСКАЯ КИНЕТИКА И КАТАЛИЗ**

Оптимизация процесса окисления метанола в формальдегид на массивном серебряном катализаторе

*А. А. Сахаров, О. В. Карапаева, Л. Н. Курина*

435

Ионизационные процессы при окислении смеси пропан–бутан–воздух

*Л. А. Зиновьев, Б. С. Фиалков*

438

Температурно-программируемое восстановление–окисление катализатора  $\text{Fe}_2\text{O}_3/\text{ZrO}_2$

*П. А. Чернавский, Г. В. Панкина, В. В. Киселев, В. В. Лунин*

441

Влияние высокотемпературной радиационно-термической обработки пучком ускоренных электронов на прочность металлооксидных каталитических систем

*В. В. Лунин, П. В. Рябченко, Ю. И. Соловецкий*

444

Классический надбарьерный механизм низкотемпературного предела скорости химических реакций

*С. Ф. Тимашев, Л. И. Трахтенберг*

448

---

## **ФИЗИЧЕСКАЯ ХИМИЯ РАСТВОРОВ**

Динамическое поверхностное натяжение растворов неионогенного поверхностно-активного вещества тритон X-100

I. Сравнение метода максимального давления в пузырьке с другими методами

*В. Б. Файнерман, А. В. Макиевский, П. Йоос*

452

Динамическое поверхностное натяжение растворов неионогенного поверхностно-активного вещества тритон X-100

II. Мицеллярные растворы

*В. Б. Файнерман, А. В. Макиевский, П. Йоос*

456

Полибара молярной вязкости жидкостей

*В. Н. Афанасьев, Е. Ю. Тюнина, Г. А. Крестов*

460

Особенности сольватации галогензамещенных тетрафенилпорфина

*А. И. Вьюгин, Е. В. Антина, Г. А. Крестов*

463

---

## **СТРОЕНИЕ ВЕЩЕСТВА И КВАНТОВАЯ ХИМИЯ**

Влияние функционального состава аминоацетатных лигандов на характер взаимодействия с ионами меди(II)

II. Комплексообразование с диаминоацетатными и полiamинополиацетатными олигомерными комплексонами

*Л. С. Молочников, Б. К. Радионов*

466

Об идеальности смесей изотопов в твердых телах

*В. Б. Поляков*

470

Инфракрасные спектры  $\pi$ -октенов в различных фазовых состояниях

*Е. А. Улюкина, В. И. Фельдман, Н. А. Словохотова, Ф. Ф. Сухов*

474

Электронная и геометрическая структура хлоридов серы  $SCl_n$  ( $n = 1 - 6$ ) и их анионов

*Г. Л. Гуцев*

478

Квантово-химический анализ взаимодействия нитроксильных радикалов с льюисовскими кислотными центрами поверхности  $Al_2O_3$

*А. В. Фионов, Е. В. Лунина, Н. Д. Чувылкин*

485

Вибронный спектр  $S_1 \leftarrow S_0$  и структура молекулы 2-метилпропаналя в  $S_1$ -состоянии

*М. Бадави, И. А. Годунов*

490

Колебательная структура электронного перехода  $S_1 \leftarrow S_0$  молекулы пропаналя и потенциалы внутреннего вращения в  $S_1$ - и  $S_0$ -состояниях

*В. Н. Алексеев, И. А. Годунов*

498

Вибронные ( $S_1 \leftarrow S_0$ ) спектры поглощения и конформационный анализ молекул карбонильных соединений с этильными и изопропильными заместителями

*И. А. Годунов, М. Бадави, Т. С. Кузнецова*

504

Формализация модели комплексообразования для полимерных лигандов

*А. М. Евсеев, Л. С. Николаева*

508

Взаимодействие через пространство и через валентную связь в аллильных соединениях, существующих в форме  $\pi$ -комплекса и  $\sigma$ -структурь

*А. Н. Исаев, П. П. Шорыгин*

514

Деструкция лигнина под воздействием атомарного кислорода

*Е. М. Бенько, О. М. Книпович, Н. А. Мамлеева, А. Н. Митрофанова, А. О. Туракулова, В. В. Лунин*

518

К теории миграции катионов в мембранах типа Нафион

*Ю. К. Товбин, Н. Ф. Васюткин*

524

---

## **ФИЗИЧЕСКАЯ ХИМИЯ ПОВЕРХНОСТНЫХ ЯВЛЕНИЙ**

Сравнение изотермических кривых индивидуальной и совместной сорбции глюкозы и фруктозы на катионите КУ-2 × 4(Са)	528
Ю. Е. Купцевич	
Модифицированная методика сорбции исследования углеводов на катионитах	532
Ю. Е. Купцевич, Н. А. Горячева	
Адсорбция молекул O <sub>2</sub> , NO, CO, NH <sub>3</sub> тетрасульфофталацанином кобальта, закрепленным на γ-Al <sub>2</sub> O <sub>3</sub>	535
О. Д. Филичева, А. А. Давыдов, Я. А. Белихмаер, В. Л. Ивасенко	
Влияние высших производных профиля плотности вещества в межфазовой области раздела на удельную силу, действующую в ней, и поверхностное натяжение	539
Э. В. Вейцман	
Гидрофобные взаимодействия при адсорбции олигоэфирных фторированных поверхностно-активных веществ на границе жидкость–газ	542
Н. А. Макаревич, Л. В. Дихтиевская	
Аномальное тепловыделение в системе Pd/PdO, электролитически насыщенной водородом	545
Б. Ф. Ляхов, А. Г. Липсон, Д. М. Саков, А. А. Явич	
Адсорбцияmonoоксида углерода и водорода на пленках гадолиния	551
Н. М. Мефед, И. И. Михаленко, В. Д. Ягодовский	
Взаимодействие monoоксида углерода с биметаллическими адсорбентами Co–Rh/SiO <sub>2</sub> и Co–Ir/SiO <sub>2</sub>	555
Е. Н. Лужкова, Н. П. Соколова	
Инфракрасные спектры monoоксида углерода, хемосорбированного на адсорбентах RhIr/SiO <sub>2</sub> и CoRhIr/SiO <sub>2</sub>	558
Е. Н. Лужкова, Н. П. Соколова	
Электроноакцепторные центры на поверхности высокотемпературных модификаций Al <sub>2</sub> O <sub>3</sub> по данным ИК- и ЭПР-спектров адсорбированных молекул-индикаторов	561
Е. В. Лунина, В. И. Лыгин, И. С. Музыка, А. В. Фионов	
Межфазная неустойчивость при абсорбции газа в слое жидкости	
I. Концентрационный эффект Марангони	567
Л. М. Рабинович, А. Л. Струченко	
Межфазная неустойчивость при абсорбции газа в слое жидкости	
II. Концентрационный эффект Релея–Марангони	571
Л. М. Рабинович, А. Л. Струченко	
Изменение маршрута превращения твердой фазы под влиянием примеси	
И. В. Мелихов, И. С. Сирота, С. В. Дорожкин, А. Я. Горбачевский	576
Планарные сорбирующие материалы из базальтового волокна	
III. Динамика адсорбции примеси при фильтрации газа через слой войлокоподобного адсорбента	
В. К. Бельнов, М. С. Сафонов, А. Ю. Зюзин, Э. А. Калинин, И. Н. Бекман	582

---

## **ФОТОХИМИЯ И МАГНЕТОХИМИЯ**

Характеристики рекомбинации заряженных частиц при двухступенчатой фотоионизации некоторых сложных органических молекул в жидких растворах	585
Г. А. Абакумов, Л. Т. Макарова, Б. И. Поляков, А. П. Симонов, Л. С. Чуйко	

---

## **БИОФИЗИЧЕСКАЯ ХИМИЯ**

Влияние эмульсий перфторуглеродов на скорость оксигенации и деоксигенации крови	591
А. Р. Зарицкий, И. Н. Кузнецова, Е. В. Переведенцева, М. В. Фок	
Фотоокислительная деструкция лигнина под действием синглетного кислорода, генерируемого феофитином	
I. Адсорбционные слои феофитина на лигнине	595
А. Н. Митрофанова, Е. М. Бенько, А. Н. Пряхин, В. В. Лунин	

---

## ПРОЧИЕ ВОПРОСЫ ФИЗИЧЕСКОЙ ХИМИИ

Корреляционное исследование распределения частиц по скоростям и непрерывное проточное фракционирование в поперечном поле С. Н. Семенов	598
Влияние метиленовых групп в мезогенном фрагменте молекулы на диэлектрические свойства термотропных нематиков Е. И. Рюмцев, А. П. Ковшик, Д. А. Рагимов, С. Г. Полушкин	602

---

## КРАТКИЕ СООБЩЕНИЯ

Теплоемкость тетраэдрических оксоанионов в водном растворе при 298 К С. И. Дракин, О. В. Попова	606
Низкотемпературная теплоемкость тетрафторбората калия В. Е. Горбунов, К. С. Гавричев, Л. Н. Голушкина, Г. А. Топрова, В. Н. Плахотник, В. Б. Тульчинский, Ю. В. Ковтун	609
Кинетические параметры заторможенного вращения $\text{CF}_3$ -групп в анион-радикале 2,6-бис(трифторметил)цианобензола Е. А. Поленов, Л. А. Шундрин, Л. М. Ягупольский	612
Энергетика в сольватах комплексов Zn(II) с 1,8-дигидрокси-9,10-антрахиноном в пиридине, диметилформамиде и диметилсульфоксиде В. В. Торопов, Л. П. Писулина, Е. В. Парфенюк, Г. А. Крестов	615
Предельные коэффициенты взаимной диффузии жидких бинарных систем $\pi$ -алканы–тетрахлорметан В. И. Скоморохов	616
Диффузия молекул глюкозы и фруктозы в фазе катионита КУ-2 $\times$ 4(Ca) Ю. Е. Купцевич, Н. А. Горячева	619
Связь донорно-акцепторного взаимодействия в системе металл–лиганд с энергией Ферми электронов Ю. В. Власов, В. Я. Хентов, Л. Н. Великанова, В. В. Семченко	621
Температурная зависимость вязкости боросиликатных расплавов Т. А. Лисина, И. Ю. Никитина, Н. А. Зайцева, Ю. П. Никитин	623
Природа $\beta$ -эффекта в фторвинильных соединениях Б. А. Суворов	625
Внешние вакантные 2s-, 2p-атомные орбиты в молекулярных ионах $\text{HF}_2^-$ и $\text{HCl}_2^-$ Б. А. Суворов	627
О термодинамических функциях растворов, содержащих смесь электролитов АМ, АН, ВМ, ВН Д. А. Денисов	630
Стандартная энталпия образования трихлорида туния С. А. Лежава, Л. А. Тифлова, А. С. Монаенкова, В. Ф. Горюшкин	633

---

## ДИСКУССИИ

К термодинамике фотохимических преобразователей лучистой энергии в работу Н. Д. Гудков	635
---	-----

---

## РЕЦЕНЗИИ

Рецензия на книгу Сенченковой Е. М. "Рождение идеи и метода адсорбционной хроматографии" В. В. Рачинский	639
---	-----

---

## Номер 4

---

## ХИМИЧЕСКАЯ ТЕРМОДИНАМИКА И ТЕРМОХИМИЯ

Масс-спектрометрическое определение энталпий образования газообразных ионов $\text{EuCl}_2^-$ , $\text{EuCl}_3^-$ , $\text{EuCl}_4^-$ и $\text{Eu}_2\text{Cl}_7^-$ Л. С. Кудин, Г. Г. Бурдуковская, М. Ф. Бутман, К. С. Краснов	645
--	-----

Определение термодинамических характеристик многокомпонентных систем по структурным данным.

I. Общая теория

Л. И. Ерохин, А. П. Мокров, К. П. Гуров

652

Определение термодинамических характеристик многокомпонентных систем по структурным данным. II. Расчет термодинамических коэффициентов в сплаве никель–рений–молибден

Л. И. Ерохин, А. П. Мокров, К. П. Гуров

658

Расчет энталпии образования дефекта Шоттки в ионном кристалле

М. Н. Магомедов

661

Расчет объема и энтропии образования дефекта Шоттки в ионном кристалле

М. Н. Магомедов

665

О самодиффузии в объеме простого вещества

М. Н. Магомедов

669

---

## ФИЗИЧЕСКАЯ ХИМИЯ РАСТВОРОВ

Вязкость трехкомпонентного раствора  $\alpha$ -алифатических спиртов

А. Н. Шахвердиеv, Я. М. Назиев, Г. Р. Мехтиева

673

$p-p-T-x$ -Зависимости водных растворов гидразина

М. М. Сафаров, А. В. Картаченко

678

---

## СТРОЕНИЕ ВЕЩЕСТВА И КВАНТОВАЯ ХИМИЯ

Теоретическое исследование стабильности и сродства к электрону радикалов  $\text{PF}_6^-$  и  $\text{P}_2\text{F}_{11}^-$

Г. Л. Гуцев

681

Расчеты структуры фторидов серы  $\text{SF}_n$  и анионов  $\text{SF}_n^-$  ( $n = 1 - 3$ )

дискретно-вариационным методом в приближении функционала локальной плотности

Г. Л. Гуцев

686

Структурный мезоморфизм дихолестерилового эфира

и конформационное состояние молекул его жидкокристаллической фазы

С. А. Селезнев, В. Р. Чудиновских, Р. Н. Микельсаар, Е. А. Костерин

692

Влияние растворителя на параметры полос электронных спектров поглощения некоторых ароматических нитрилов

О. А. Ясинский, А. И. Русаков, Т. П. Филиппова, В. В. Плахтинский

697

Квантово-химическое исследование поверхностных интермедиатов гидратации нитрилов на анионитах

К. Х. Джумакаев, Л. К. Абуляисова, А. А. Багатурьянц

700

Особенности межмолекулярных взаимодействий в системе этиловый спирт–диметилформамид

А. Н. Петров, Г. А. Альпер

703

Колебательные спектры, потенциальная функция внутреннего вращения и силовые поля конформеров 1,2-дихлоргексафтпропана

В. М. Сенявин, С. Б. Осин, Г. М. Курамшина, Ю. А. Пентин

707

---

## ФИЗИЧЕСКАЯ ХИМИЯ ПОВЕРХНОСТНЫХ ЯВЛЕНИЙ

Кинетика хемосорбции ацетилхлорида на пирогенном кремнеземе

В. В. Брей, В. Г. Левандовский, А. А. Чуйко

714

О механизме аммонолиза изобутанола в изобутиронитрил на оксиде цинка

А. К. Макетов, А. А. Давыдов, Б. В. Суворов

717

Расчет ионообменной сорбции одно-однозарядного электролита с помощью модели цилиндрического макроиона

В. Ш. Мамлеев, П. П. Гладышев

722

Связь между моделями, описывающими сорбцию химически модифицированными кремнеземами

I. Модели фиксированных полидентатных центров и химических реакций

В. В. Скопенко, Ю. В. Холин, В. Н. Зайцев, С. А. Мерный, Д. С. Коняев

728

Кислотно-основные равновесия на поверхности жестких матриц	
I. Термодинамические аспекты Б. В. Жмудь, А. А. Голуб	734
Кислотно-основные равновесия на поверхности жестких матриц	
II. Влияние параметров пористой структуры Б. В. Жмудь, А. А. Голуб	738
Адсорбция и краевые углы смачивания водой углеродных материалов	
О. Г. Таушканова, Е. П. Смирнов, А. А. Новоженец	742
Сорбция молекулярного кислорода из воды и водных растворов электролитов активированным синтетическим углем СКС-3	
С. В. Садов, Н. В. Соцкая, Т. А. Кравченко, Ю. А. Тарасенко	748
Закономерности равновесной сорбции анионных красителей шерстяным волокном в присутствии многозарядных катионов неорганических солей	
Ф. Ю. Телегин, И. Ю. Ващурин, А. В. Шорманов, Е. Н. Иванова, Ю. А. Калинников, Б. Н. Мельников	752
Влияние поляризуемости молекул ароматических углеводородов и их галогенпроизводных на свободную энергию сольбилизации в мицелярных растворах ионогенных поверхностно-активных веществ	
Д. А. Суслов, Б. Н. Соломонов	757
<hr/>	
<b>ФИЗИЧЕСКАЯ ХИМИЯ ПРОЦЕССОВ РАЗДЕЛЕНИЯ, ХРОМАТОГРАФИЯ</b>	
пара-ортоКонверсия водорода в присутствии цеолитов типа X	
В. И. Кашиковский, В. А. Бортышевский, П. Н. Галич, И. А. Манза, К. И. Патриляк	761
Анализ отклонения межфазного массораспределения от равновесия для хроматографической зоны	
Ю. Я. Лебедев	765
Закономерности удерживания в ионной хроматографии	
Я. И. Яшин	769
Диффузия воды в гетерогенных сульфокатионитовых системах по данным протонного магнитного резонанса	
Г. К. Салладзе, В. И. Волков, Р. И. Тагирова, С. А. Чижанов	773
<hr/>	
<b>ПРОЧИЕ ВОПРОСЫ ФИЗИЧЕСКОЙ ХИМИИ</b>	
Об ассоциации тетра- <i>b</i> - <i>трет</i> -бутил-2,3-нафталаццинина в средах некоторых полимеров и их мономеров	
В. В. Сапунов	777
О пределе измельчения кристаллов	
В. А. Кузнецов, А. Г. Липсон, Д. М. Саков	782
Интенсификация массообмена в проточных мембранных устройствах "акустическими течениями"	
А. Е. Вацилло, Ю. А. Лысенко, Н. Г. Семенова	787
Определение температуры трех стадий дегидратации монокристалла пентагидрата меди акустоэмиссионным методом	
С. Н. Сакиев	792
<hr/>	
<b>КРАТКИЕ СООБЩЕНИЯ</b>	
Электрические явления при механическом воздействии на смеси полимеров	
Л. М. Полухина, Ю. А. Хрусталев	795
<hr/>	
<b>ПИСЬМА В РЕДАКЦИЮ</b>	
О природе фликкер-шума	
С. Ф. Тимашев	798

---

## ДИСКУССИИ

О возможности определения коэффициентов активности *n*-бутилового спирта по кинетике реакции его оксиэтилирования

Б. Я. Стуль, С. Д. Асприев, В. И. Емельянов, Б. Б. Чесноков

800

---

## МАТЕРИАЛЫ X ВСЕСОЮЗНОЙ КОНФЕРЕНЦИИ ПО ГАЗОВОЙ ХРОМАТОГРАФИИ

Новейшие достижения и перспективы газовой хроматографии

Я. И. Яшин

804

Зависимость профиля пиков в газовой хроматографии от длины колонны

А. В. Ларин

810

Хроматография как спектральный метод исследования

М. С. Вигдергауз, П. К. Ланге

815

Оценка параметров криофокусирующего капилляра при анализе содержимого концентраторов

Б. Н. Долгов, В. Н. Сидельников

817

Сорбционно-структурные корреляции в ряду гетероциклических азотистых соединений

В. М. Набивач

821

Компьютеризированная хроматографическая идентификация веществ:  
методические особенности, алгоритмы, программное обеспечение, базы данных

А. Б. Шаевич, В. Л. Мучник

827

Разработка компьютерно-хроматографической системы для анализа многокомпонентных смесей

С. В. Курбатова, Е. А. Колосова, М. С. Вигдергауз

833

Развитие метода количественной интерпретации хроматограмм  
с помощью двойного внутреннего стандарта

М. С. Вигдергауз, И. М. Краузе

837

Особенности количественного хроматографического анализа

М. С. Вигдергауз, И. М. Краузе

839

О новой возможности реализации бинарных сорбентов  
с иммобилизованными неподвижными жидкими фазами в газовой хроматографии

В. Г. Березкин, В. Е. Ширяева, Т. П. Попова

841

Анизотропия газохроматографической сорбции  
на кварцевых капиллярных колонках с нематическим *n*, *n'*-азоксиленетолом

Л. А. Онучак, М. С. Вигдергауз, Е. В. Федосова

843

Органические производные фосфора и мышьяка в качестве неподвижных фаз  
для газовой хроматографии

В. Ф. Новиков

848

Развитие барохроматографического метода: применение пониженных давлений

А. В. Булanova, М. С. Вигдергауз, Т. Б. Башкинова

854

Время удерживания несорбирующегося вещества в хроматографии

М. С. Вигдергауз, И. А. Платонов, А. Л. Лобачев, О. В. Сушки

857

Газохроматографическая аппаратура Дзержинского ОКБА

Б. Г. Второв, В. И. Калмановский, Ю. П. Рыбалченко, И. М. Савинов,  
Ю. С. Савинов, Я. И. Яшин

861

---

## Номер 5

---

## ХИМИЧЕСКАЯ ТЕРМОДИНАМИКА И ТЕРМОХИМИЯ

Термодинамические характеристики редокс-свойств иммобилизованных реагентов

А. А. Чуйко, А. Г. Кольчинский, Н. А. Липковская

869

Определение теплофизических свойств жидких щелочных металлов <i>С. С. Багдасарян</i>	874
Термодинамическая теория локальных флуктуаций в открытых системах <i>С. И. Сердюков</i>	879
Термодинамика синтеза метанола из диоксида углерода и водорода в присутствии поглотителя воды <i>С. С. Курдюмов, А. Р. Брун-Цеховой, А. Я. Розовский, Г. И. Лин</i>	889
Энтальпии смешения в бинарных жидкокристаллических смесях с индуцированными смектическими фазами <i>Т. Г. Чурюсова, Е. П. Соколова</i>	893
Давление насыщенного пара и энтальпии испарения 1,2-дибром-Н-алканов С2–С8 <i>Р. М. Варущенко, Г. А. Пучкова, А. И. Дружинина</i>	897
Плотности и критические параметры 1,2-дибром-Н-алканов <i>Р. М. Варущенко, Г. А. Пучкова, А.И. Дружинина</i>	901
Масс-спектрометрическое исследование состава насыщенного пара над хлоридами неодима I. Состав нейтральных компонентов пара <i>Л. С. Кудин, А. М. Погребной, Г. Г. Бурдуковская</i>	905
Масс-спектрометрическое исследование состава насыщенного пара над хлоридами неодима II. Ионно-молекулярные равновесия и энтальпия образования положительных и отрицательных ионов <i>Л. С. Кудин, А. М. Погребной, Г. Г. Бурдуковская</i>	908
Теплоемкость тетраборидов церия, празеодима, неодима низких температурах <i>А. С. Болгар, В. Б. Муратов, К. А. Мелешевич</i>	915
Уравнение состояния, полученное путем преобразования вириального ряда <i>О. И. Виноградова, Г. А. Мартынов</i>	918
Взаимосвязь феноменологических методов расчета энтальпий образования свободных радикалов (энергий диссоциации химических связей) <i>Ю. Д. Орлов, Ю. А. Лебедев</i>	925

## **ХИМИЧЕСКАЯ КИНЕТИКА И КАТАЛИЗ**

Ион-радикальное инициирование превращений углеводородов на катализаторах кислотного типа <i>М. В. Вишнецкая, Б. В. Романовский</i>	933
Гидрогенолиз гептациклогексадекана на нанесенных платиновых катализаторах <i>Т. О. Омаркулов, Е. К. Жаманаев, К. Х. Нургожаев</i>	944
Диффузионная модель рекомбинации радикалов НО <sub>2</sub> в перекисно-радикальных конденсатах <i>О. Ю. Березин, Э. Е. Антипенко, Б. В. Страхов</i>	947
Закономерности реакции замещения алюминия кремнием в решетке фожазитов под действием кремний-ексафторида аммония <i>С. Э. Спиридонов, Л. А. Яндиева, О. В. Крюков, С. М. Гайрбекова, С. Н. Хаджиев</i>	951

## **ФИЗИЧЕСКАЯ ХИМИЯ РАСТВОРОВ**

Дизлектрические свойства и структура метанола и этанола в неполярных растворителях <i>А. А. Потапов</i>	956
Влияние растворимости полярных органических растворителей в октане на межфазное распределение сульфоксидов и сульфонов <i>С. М. Лещев, И. В. Мельситова, С. Ф. Фурс</i>	962
Моделирование плотности растворов электролитов в теории локального состава <i>В. В. Голубев, Б. Г. Абросимов, В. А. Абакшин, Г. А. Крестов</i>	966
Термодинамические характеристики диссоциации этилнедиаминтетрауксусной кислоты в среде водного диметилсульфоксида при разных температурах <i>Х. В. Гибадуллина, М. Д. Борисовер, Г. А. Боос, Ю. И. Сальников</i>	971

---

## СТРОЕНИЕ ВЕЩЕСТВА И КВАНТОВАЯ ХИМИЯ

Интерпретация данных электронографического эксперимента для молекулы CsPbF <sub>3</sub> в рамках ионной модели B. С. Люцарев, B. С. Лобанов, B. П. Спиридонос	975
Частоты, силовые постоянные, средние амплитуды колебаний и коэффициенты перпендикулярных амплитуд молекулы трет-бутилацетилена B. С. Никитин, M. В. Полякова, A. В. Беляков, E. Т. Богородовский, B. С. Завгородний	979
К описанию вращательной структуры полосы перехода кластера N <sub>2</sub> -C <sub>6</sub> H <sub>6</sub> A. В. Ларин, C. В. Полянский, D. Н. Трубников	983
Неэмпирическое исследование электронной релаксации и диссоциативной стабильности F1s-ионизированных в молекул BF <sub>3</sub> , NF <sub>3</sub> , CH <sub>3</sub> F SiF <sub>4</sub> и MoF <sub>6</sub> A. Г. Фалалеев, B. И. Вовна	987
Изучение взаимодействия ионов переходных металлов с анионитом СН-3 методом спиновых меток Ф. М. Гумеров, С. М. Балакин, Б. К. Радионов, Л. С. Молочников, И. Р. Ахмадеев	990
Спектры и строение молекул ацетона, метилциклогексилкетона, ацетофенона и метилвинилкетона в основном (S <sub>0</sub> ) и возбужденном синглетном (S <sub>1</sub> ) электронных состояниях И. А. Годунов, Н. Н. Яковлев	994
Системы силовых постоянных, константы кориолисов взаимодействия и особенности строения тетрагалогенидов типа XY <sub>4</sub> Ю. С. Ежов	1000
Электронная и геометрическая структура анионов (n = 1 - 4) и средство к электрону их нейтральных предшественников Г. Л. Гуцев	1004
Состояние и диффузионная подвижность воды в перфторированных сульфокатионитовых мембранах по данным протонного магнитного резонанса B. И. Волков, Е. А. Сидоренкова, С. Ф. Тимашев, С. Г. Лакеев	1014

---

## ФИЗИЧЕСКАЯ ХИМИЯ ПОВЕРХНОСТНЫХ ЯВЛЕНИЙ

Исследование переходных слоев и диэлектрических пленок на поверхности медных зеркал методами эллипсометрии и оже-спектроскопии З. И. Ашурлы, Н. И. Конюшкина, М. Н. Чурава, В. Н. Алексеев, А. Д. Дробот, Л. Н. Горюхов	1019
Стадия диффузионного роста карбида тантала на графите при пиролизе пентахлорида тантала Р. К. Чужко, Н. Н. Репников, И. Л. Синани	1024
Дифференциальные теплоты сорбции паров воды на цеолите КА Ш. Д. Осман-заде, Р. А. Худавердиев	1028
Теплоты сорбции паров воды на щелочных формах цеолита А Ш. Д. Осман-заде, Р. А. Худавердиев	1031
Усовершенствованный метод оценки неоднородности адсорбционных центров из данных термопрограммированной десорбции В. В. Ющенко, К. Х. Венегас, Б. В. Романовский	1034
Адсорбция водорода на интерметаллидах палладия с цинком и железом А. Ш. Куанышев, Л. М. Курашили, К. Сергазиева, Л. В. Бабенкова, И. Н. Найдина, Г. Л. Падюкова	1038

---

## ФИЗИЧЕСКАЯ ХИМИЯ ПРОЦЕССОВ РАЗДЕЛЕНИЯ. ХРОМАТОГРАФИЯ

Принципы и теория проявительной циркуляционной хроматографии В. П. Чижков, Н. Э. Варивончик	1042
Исследование координационных центров металлов в моно-(Cu <sup>2+</sup> ) и биметаллической (Cu <sup>2+</sup> -Ni <sup>2+</sup> ) формах полифункционального амфолита АНКБ-2, предварительно обработанного кислотной или щелочью Г. П. Вишневская, Е. Н. Фролова, Р. Ш. Сафин, Г. П. Каргман, В. Д. Копылова	1052
Извлечение бора из разбавленных растворов анионитом АНБ-11 Л. В. Шепетюк, А. И. Калиничев, О. В. Крючкова, Н. Б. Галицкая	1056

---

## ФОТОХИМИЯ И МАГНЕТОХИМИЯ

Спектральные и фтохимические свойства комплексов фотосинтетических пигментов с азотсодержащими *n*-донорами

*В. Д. Креславский, Н. А. Садовникова, Г. Д. Оловянишиникова, Ю. М. Столвицкий*

1059

---

## ПРОЧИЕ ВОПРОСЫ ФИЗИЧЕСКОЙ ХИМИИ

Влияние функционального состава аминоацетатных лигандов на характер взаимодействия с ионами меди(II)

III. Комплексообразование с сетчатыми поликомplexонами

*Б. К. Радионов, Л. С. Молочников*

1063

Электронный парамагнитный резонанс продуктов плазмохимического превращения пиридинов и их комплексов с ионами Cu<sup>2+</sup>

*С. А. Чижанов, В. И. Волков, Н. В. Семина, Т. В. Каинкова, Ю. Э. Кириш*

1069

---

## КРАТКИЕ СООБЩЕНИЯ

Трансформации фазовых *T*-*x*-диаграмм бинарных систем при понижении температуры трехфазного равновесия до абсолютного нуля

*П. П. Федоров, Л. В. Медведева, Б. П. Соболев*

1073

Кatalитические свойства оксидно-алюмокальциевых систем

I. Разложение озона

*С. Н. Ткаченко, В. И. Демидюк, Л. А. Киреева, М. П. Попович, Е. З. Голосман*

1076

Влияние размеров и рВг на ионную проводимость эмульсионных микрокристаллов бромида серебра кубического габитуса

*Л. В. Колесников, И. А. Сергеева, В. Г. Каракенцев*

1079

Индукционная геликоидальная смектика в нематических смесях с оптически активными добавками

*В. Д. Паникарская, Л. Н. Лисецкий*

1081

Кинетика и механизм гидразинолиза амида изоникотиновой кислоты на анионите АВ-17-8

*С. А. Джумадуллаева, Л. К. Абуляисова, К. Х. Джумакаев*

1083

---

## Номер 6

Связь между молекулярной динамикой и кинетикой внутримолекулярных перегруппировок свободных радикалов

*Р. Р. Рахимов, А. И. Прокофьев, Я. С. Лебедев*

1093

---

## ХИМИЧЕСКАЯ ТЕРМОДИНАМИКА И ТЕРМОХИМИЯ

Теплопроводность водного раствора хлористого лития при высоких температурах

*Р. И. Пепинов, Г. М. Гусейнов*

1101

Расчет термодинамических свойств жидких оксидов гомологического ряда Me<sub>2</sub>O<sub>3</sub> · SiO<sub>2</sub>

*Д. К. Белащенко*

1104

Теплоты образования и термодинамические характеристики карбонильных поверхностных комплексов

*А. А. Давыдов, А. А. Ефремов, Ю. Д. Панкратьев*

1110

Применение второго закона Коновалова и уравнения Клапейрона–Клаузиуса к псевдобинарным системам

*О. К. Первухин*

1114

Фазовые превращения в сплаве A<sub>3</sub>BD<sub>x</sub>, стимулированные примесью внедрения

*З. А. Матысина*

1118

Сольватация нафталина и его оксипроизводных в неводных средах

*В. И. Смирнов, Е. В. Касторина, Г. А. Крестов, А. Я. Фридман*

1123

Вычисление удельной теплоемкости полимеров по их плотности и теплопроводности на основе феноменологической теории

*П. П. Пугачевич, Ю. В. Зеленев, Т. Н. Кыштымова*

1127

Метод прогнозирования изменения теплоемкости конструкционных полимерных материалов по температурной зависимости теплопроводности

*Ю. В. Зеленев, П. П. Пугачевич, Т. Н. Кыштымова*

1131

Вычисление удельной теплоемкости твердых полимеров по их плотности

*Ю. В. Зеленев, П. П. Пугачевич, Т. Н. Кыштымова*

1134

Фазовое и изотопное равновесие протий–тритий в водно-органических средах

I. Фазовое равновесие

*С. Г. Катальников, А. В. Хомуев*

1136

Фазовое и изотопное равновесие протий–тритий в водно-органических средах

II. Изотопное равновесие

*С. Г. Катальников, А. В. Хомуев*

1140

Энталпии образования некоторых спироисочлененных циклопропановых углеводородов

*В. А. Лукьянова, С. М. Пименова, В. П. Колесов, Т. С. Кузнецова, О. В. Кокорева, С. И. Кожушков, Н. С. Зефиров*

1145

Соотношение энергия–межъядерное расстояние для оксидов и фторидов титана. Новый полуэмпирический подход

*С. П. Ионов, А. С. Алиханян, Г. Е. Суханова, В. В. Кириленко*

1149

Термодинамические свойства аморфных сплавов системы Co–Fe–Si–B

*О. Я. Васильева, И. Б. Куценок, И. А. Томилин, В. А. Гейдерих*

1153

## ХИМИЧЕСКАЯ КИНЕТИКА И КАТАЛИЗ

Окисление монооксида углерода на нанесенном никель–серебряном катализаторе

*Л. М. Кужель, Р. А. Булгакова, Н. П. Соколова, И. И. Михаленко, В. Д. Ягодовский*

1156

## ФИЗИЧЕСКАЯ ХИМИЯ РАСТВОРОВ

Полярографическое определение констант комплексообразования и диссоциации

*А. Э. Казаров, И. В. Слюсарь, В. Д. Безуглый*

1161

## СТРОЕНИЕ ВЕЩЕСТВА И КВАНТОВАЯ ХИМИЯ

Теоретическая оценка температур кипения хладонов с помощью топологической модели

*Н. В. Витюк, В. Е. Кузьмин*

1164

Роль сетки H-связей в реакциях переноса протона. Согласованный сдвиг протонов H-связей во льду

*А. Н. Исаев*

1168

Симметрические коэффициенты векторной связи для атомных нерутановских состояний в конфигурации  $d^N$

*А. В. Арбузников, Б. Н. Плахутин*

1173

Спектральные свойства кислородных соединений пятивалентного урана

*Г. В. Ионова, А. А. Киселева*

1177

ИК-спектральное изучение структурных гидроксильных групп декатионированных фожазитов

*С. Э. Спиридонов, Н. А. Сыцикова, О. В. Крюков, М. Л. Павлов, С. Н. Хаджиев*

1181

**ФИЗИЧЕСКАЯ ХИМИЯ ПОВЕРХНОСТНЫХ ЯВЛЕНИЙ**

Осаждение покрытий разложением металлоценов

Л. М. Дягилева

1194

Применение теоретико-информационных индексов для описания теплот адсорбции галогенметанов на графитированной термической саже

В. В. Кутаров, Б. М. Кац

1199

Спектроскопическое исследование процесса формирования возбужденного межмолекулярного комплекса на поверхности аэросила при низких температурах

О. И. Якимова, Л. А. Быковская, С. Г. Куликов, А. М. Еременко, А. А. Чуйко

1201

Использование различных моделей растворов для расчета свойств поверхности бинарных металлических расплавов

В. П. Красин

1205

Спектральные параметры и термостабильность поверхностных формиатных соединений

А. А. Даэвидов

1210

Ионообменные равновесия в системе фенилаланин–высокоосновный анионит

В. Ф. Селеменев, В. Ю. Хохлов, А. А. Загородний, О. И. Стукалов,  
В. С. Тихомиров, М. В. Матвеева

1214

Проблема адекватности кинетических уравнений при описании внутридиффузионной двухкомпонентной динамики сорбции

А. С. Каменев

1218

Фронтальная динамика сорбции бинарных систем при смешаннодиффузионной кинетике

А. С. Каменев

1225

Особенности гидротермального модифицирования мелкопористого силикагеля водно-бутанольными смесями

В. В. Сидорчук, В. А. Тертых

1231

Селективная спектроскопия адсорбатов антрацена и N,N-диэтиланилина при 4.2 К

О. И. Якимова, Л. А. Быковская, С. Г. Куликов, А. М. Еременко, А. А. Чуйко

1234

Калориметрия сорбции галогенид-ионов на синтетическом активированном угле

А. А. Багреев, Ю. А. Тарасенко

1238

Адсорбция витамина  $B_6$  на высокодисперсном кремнеземе

А. А. Свеженцова, Н. К. Давиденко, Н. Н. Власова, В. И. Богомаз

1242

Колебательный спектр и строение гидроксилсодержащих структур поверхности высокотемпературных модификаций оксида алюминия

В. И. Лыгин, И. С. Музыка, Л. А. Жукова, А. И. Кузнецов, Е. А. Рябенко

1246

Сорбционные свойства титаногелей

С. И. Печенюк, Е. В. Калинкина

1251

Калориметрическое и сорбционное изучение поглощения воды перфорированными мембранными материалами

Б. В. Гостев, В. Е. Островский

1255

Межфазная неустойчивость при абсорбции газа в слое жидкости

III. Хемокапиллярный и хемогравитационный эффекты

Л. М. Рабинович, А. Л. Струченко

1262

---

## ПРОЧИЕ ВОПРОСЫ ФИЗИЧЕСКОЙ ХИМИИ

О влиянии дзета-потенциала на характеристики капиллярного электрофореза В. П. Андреев, Е. Е. Лисин	1267
Спектры поглощения и люминесценции диметилтерефталата и полиэтилентерефталата Р. Н. Нурмухаметов, Н. В. Рыжакова, Ю. Ю. Яковлев	1271
Расчет времени продольной релаксации двухпротонной системы Г. А. Козлов, А. Г. Козлов	1276
Расчет времени продольной релаксации трехпротонной системы Г. А. Козлов, А. Г. Козлов	1280
Испарение в системе сферических капель Э. М. Агрес	1284

---

## КРАТКИЕ СООБЩЕНИЯ

Мультипольные взаимодействия и энタルпия сольватации Б. Н. Соломонов, Ф. В. Чумаков, М. Д. Борисовер	1289
Термодинамические свойства поверхностного слоя двойных металлических расплавов меди с алюминием, кремнием и германием В. И. Ниженко, Л. И. Флока, Г. П. Хиля	1291
Применение полуэмпирических методов MNDO и PM3 для расчета колебательных частот в молекулах 1,2-дигалогенэтанов и их анион-радикалов Э. Д. Герман, В. А. Тихомиров	1293
Некоторые физические свойства льда $I_h$ вблизи температуры плавления Н. М. Гумен, Т. А. Золочевская	1296
Потенциометрическое изучение клатратообразующего ионита В. Л. Богатырев, О. В. Жукова, Г. П. Вдовина	1299
Активность ионов тяжелых металлов по отношению к оксигемоглобину человека при различной кислотности среды А. Е. Мышкин, В. С. Коняева	1302
Адсорбция ионов кадмия на мордените Закарпатья З. Л. Буцко, В. И. Староста, Б. М. Ериков, Й. С. Балог	1305
Формула Аррениуса и ее применение к активационным процессам стеклюющих систем В. П. Петросян	1308

---

## Номер 7

---

Методы локального контроля электрических параметров в объеме диэлектриков А. Г. Розно	1317
Компьютерное исследование структуры и свойств некристаллических оксидов гомологического ряда $\text{MeO}_2$ Д. К. Белащенко	1330

---

## ХИМИЧЕСКАЯ ТЕРМОДИНАМИКА И ТЕРМОХИМИЯ

К термодинамике растворимости симметричных халькогенидов никеля и кобальта Г. В. Макаров, Н. Я. Воевода, В. В. Батраков, Т. В. Кудашева	1338
Термодинамическая устойчивость фазы $\text{YBa}_2\text{Cu}_3\text{O}_x$ Н. И. Мацкевич, Т. Л. Попова, В. А. Титов, В. С. Кравченко, В. П. Шабурова, О. Г. Потапова	1342

Расчет стандартных энталпий сольватации катионов на основе термодинамического цикла А. И. Мишустин, В. Ф. Столыгин	1345
Изобарная теплоемкость бинарных растворов <i>n</i> -бутилового и <i>n</i> -гексилового спиртов при высоких давлениях Я. М. Назиев, М. М. Баширов, М. А. Талыбов	1348
Термодинамические свойства сверхпроводников в системе Y–Ba–Cu–O	
I. Фаза $\text{YBa}_2\text{Cu}_3\text{O}_{6+z}$ Г. Ф. Воронин, С. А. Дегтярев	1351
Термодинамические свойства сверхпроводников в системе Y–Ba–Cu–O	
II. Фазы $\text{YBa}_2\text{Cu}_4\text{O}_8$ , $\text{Y}_2\text{Ba}_4\text{Cu}_7\text{O}_{14+w}$ и их равновесия с $\text{YBa}_2\text{Cu}_3\text{O}_{6+z}$ С. А. Дегтярев, Г. Ф. Воронин	1355
Стандартные энталпии образования кристаллических триодидов эрбия и лютения М. Ю. Фуркалюк, В. Я. Леонидов, В. Ф. Горюшкин	1361

---

## ХИМИЧЕСКАЯ КИНЕТИКА И КАТАЛИЗ

Кинетические закономерности и механизм взаимодействия гидропероксида кумола со сверхоснованием диметилсульфоксид–щелочь А. С. Лявинец, А. Ф. Чобан, К. А. Червinsky	1364
Титанотермическое контактное восстановление оксидов на железе и стали Л. С. Киреев, В. П. Холодов, В. Н. Чиканов, В. В. Пешков	1369
Условия возникновения пространственных структур при протекании бимолекулярной реакции П. Е. Стрижак	1373

---

## ФИЗИЧЕСКАЯ ХИМИЯ РАСТВОРОВ

Изменение энтропии растворов электролитов при переходе в стандартное состояние В. П. Васильев	1377
Исследование структуры водного раствора бромида лития рентгенодифракционным методом А. Х. Валеев, И. В. Шишкин, В. Н. Тростин	1380
Гидродинамическая модель гидратации ионов	
II. Задача Стокса о стационарном обтекании заряженной сферы, погруженной в жидкость с переменной вязкостью Ю. В. Гуриков	1383
Термодинамические свойства растворов в <i>N</i> -метилпирролидоне	
III. Теплоемкость и объемные свойства растворов иодидов щелочных металлов В. А. Васильев, А. Н. Новиков	1387
Термодинамические свойства растворов в <i>N</i> -метилпирролидоне	
IV. Стандартные значения парциальных мольных теплоемкостей и объемов ионов В. А. Васильев, А. Н. Новиков	1391
Термодинамические свойства растворов в <i>N</i> -метилпирролидоне	
V. Термодинамические свойства и сольватация ионов В. А. Васильев, А. Н. Новиков	1394
Диэлектрические свойства водных растворов полиэтиленгликолей с различными молекулярными массами Т. А. Жилякова, О. Т. Николов, В. Я. Малеев	1396
Структурные аспекты гидратации ионов лития в водных растворах электролитов П. Р. Смирнов, В. Н. Тростин	1401

---

## СТРОЕНИЕ ВЕЩЕСТВА И КВАНТОВАЯ ХИМИЯ

О взаимодействии аксиально симметричных точечных дефектов в нематических жидкких кристаллах С. В. Кушнарев, Т. В. Кушнарева, В. К. Першин	1406
Электронное строение ацетилацетата кобальта(III) и его $\gamma$ -галогензамещенных по данным рентгеновской эмиссионной и фотоэлектронной спектроскопии О. Л. Щека, А. Ю. Устинов, В. Д. Юматов	1409

Тонкая структура спектров флуоресценции тетрагидроксиантрахинона, адсорбированного на кремнеземах при низких температурах Е. А. Гастилович, К. В. Михайлова, А. М. Еременко, Н. П. Смирнова	1413
Структурно-релаксационный механизм электропроводности кристаллов А. Э. Масунов, О. П. Гладких, П. М. Зоркий	1418
<hr/>	
<b>ФИЗИЧЕСКАЯ ХИМИЯ ПОВЕРХНОСТНЫХ ЯВЛЕНИЙ</b>	
О влиянии нуклеофилов на образование и превращения катион-радикалов на поверхности алюмосиликатов М. В. Вишнечкая, Б. В. Романовский	1422
Фрактальность поверхности частиц технического углерода Н. А. Эльтекова, Г. И. Раздъяконова, Ю. А. Эльтеков	1426
Адсорбция CO <sub>2</sub> двухкомпонентным адсорбентом на основе оксидов циркония и марганца Л. М. Шарыгин, В. Г. Пономарев, В. М. Галкин, И. Г. Нистель	1431
Исследование адсорбционных свойств димелемона методом газовой хроматографии Т. Б. Гаврилова, Ю. С. Никитин, Т. А. Рудницкая, А. И. Финкельштейн	1436
Адсорбционные свойства поляризованных углей	
I. Влияние поляризации на поверхностные группы Д. А. Свешникова, А. Н. Абакаров, А. В. Дрибинский, М. М. Гафуров, Т. Ю. Кулешова, П. А. Салтыков, А. В. Ширков	1439
Адсорбционные свойства поляризованных углей	
II. Адсорбция ионов Sr <sup>2+</sup> и Ca <sup>2+</sup> на предварительно поляризованных углях А. Н. Абакаров, Д. А. Свешникова, А. В. Дрибинский, М. М. Гафуров	1444
Адсорбционные свойства поляризованных углей	
III. Электросорбция ионов Sr <sup>2+</sup> и Ca <sup>2+</sup> А. Н. Абакаров, Д. А. Свешникова, А. В. Дрибинский, М. М. Гафуров, Ш. О. Шейхов, Т. Ю. Кулешова, П. А. Салтыков, А. В. Ширков	1449
Взаимосвязь адсорбционных и электрофизических свойств наполненных полимеркомпозиционных материалов Д. Ю. Годовский, В. Я. Сухарев, А. В. Волков, М. А. Москвина	1452
Восстановление тетранитрометана феррицианидом в водных растворах неионных поверхностно-активных веществ М. В. Алфимов, И. Ю. Виеру, А. Н. Петров	1460
Зависимость адсорбционных свойств γ-Fe <sub>2</sub> O <sub>3</sub> от количества поверхностных гидроксильных групп Б. В. Кузнецов, Т. А. Рахманова, Е. А. Симанович	1464
<hr/>	
<b>ФИЗИЧЕСКАЯ ХИМИЯ ПРОЦЕССОВ РАЗДЕЛЕНИЯ. ХРОМАТОГРАФИЯ</b>	
Разделение бинарных смесей в окрестности критической точки при комбинированном воздействии гравитационного поля и градиентов температуры Э. П. Гарсеванишивили, И. Г. Гвердцители	1469
Зависимость газохроматографических параметров удерживания простейших галогенсодержащих соединений от их физико-химических характеристик И. Г. Зенкевич, С. В. Конюхова, Б. Н. Максимов	1474
Газохроматографические свойства фенилсодержащих метакрилатных полимеров Н. П. Платонова, О. Г. Татаурова, Р. А. Булгакова, И. Градил, Ф. Швец	1480
Комплексообразование меди(II) с водой, амиаком и этилендиамином в перфторированных сульфокатионитовых мембрanaх по данным электронного парамагнитного резонанса С. А. Чижанов, В. И. Волков, А. В. Воробьев, В. В. Валуев	1483
<hr/>	
<b>ФОТОХИМИЯ И МАГНЕТОХИМИЯ</b>	
Химическая связь и магнитное взаимодействие в соединениях пятивалентного урана со структурой флюорита Г. В. Ионова, А. А. Киселева	1489
Фотоиндуцированное окисление родамина 6Ж в водной суспензии диоксида титана Н. А. Кузнецова, О. Л. Калия	1492

---

## **БИОФИЗИЧЕСКАЯ ХИМИЯ**

Особенности механизма термоинактивации $\beta$ -галактозидазы в различных условиях хранения Л. Ф. Амякишева, Е. С. Чухрай, О. М. Полторак	1496
ЭПР-томография зерна пшеницы О. В. Трофенчук, Р. Г. Яхин, А. В. Анисимов, К. Л. Аминов, Д. Р. Алеев, Б. М. Одинцов	1499

---

## **ПРОЧИЕ ВОПРОСЫ ФИЗИЧЕСКОЙ ХИМИИ**

Исследование контактного плавления методом молекулярной динамики В. С. Знаменский, П. А. Савицев, П. Ф. Зильберман	1504
Кинетика твердофазной экстракции меди при механоактивации ее соединений в смеси с солями аммония С. Ф. Тимашев, А. Б. Соловьева, М. А. Ляпунова, И. В. Колбанев	1508
Физико-химические процессы в высокотемпературных сверхпроводящих керамических материалах при воздействии ионизирующего излучения В. В. Громов	1511
Физико-химические основы отклика электропроводности полупроводниковых оксидных сенсоров в жидких средах I. Кинетика отклика сенсора И. А. Мясников	1517
Физико-химические основы отклика электропроводности полупроводниковых оксидных сенсоров в жидких средах II. Роль полярности растворителей И. А. Мясников	1523

---

## **КРАТКИЕ СООБЩЕНИЯ**

Высокая растворимость углеводородов и эффекты ионного вытеснения в водной азотной кислоте Е. С. Рудаков, А. И. Луцыйк, Г. Г. Гундилович	1528
Частота валентного колебания иминной связи в ИК-спектре поглощения производных фенилгидразона ацетофенона Дж. А. Кереселидзе	1530
Особенности взаимодействия мезогенных молекул в смешанных ленгмюровских монослоях Л. А. Батраченко, Л. Н. Лисецкий, В. В. Лях	1531
Адсорбционные процессы на границе твердой и жидкой фаз при осаждении глинистых суспензий И. Ю. Никитина	1534
Поверхностные свойства поляризованных кварцевых дисперсий В. А. Матвиенко	1536
Расчет энтропии кислорода, растворенного в ванадии Р. Ф. Балабаева, И. А. Васильева	1539
Точечные дефекты и испарениеmonoатомной пленки М. М. Казымов, С. И. Машаров, А. А. Мехрабов	1541
Гидратационные свойства катионаобменных мембран, насыщенных аминокислотами В. Ф. Селеменев, В. А. Шапошник, Т. В. Елисеева, Д. Л. Котова	1544
Расчет магнитной восприимчивости пятивалентных соединений урана с октаэдрическим окружением Г. В. Ионова	1548
Обобщение критерия устойчивости для нестационарных режимов химической реакции в неподвижной среде Д. Б. Чайванов	1550
Альтернативный способ оценки предельных значений коэффициентов активности органических соединений в водных растворах Э. М. Агрес	1552
Энталпия сгорания и образования 6-хлорбензоксазолона-2 и этилового эфира 2-[4(6-хлорбензоксазолил-2-окси)фенокси]пропионовой кислоты Т. И. Громова, С. В. Рудакова	1554

Одномерная решеточная модель адсорбции из бинарного раствора <i>В. В. Ягов, А. А. Лопаткин</i>	1557
Изменение физико-химических свойств водных растворов под влиянием электромагнитного поля <i>В. И. Лесин, А. Г. Дюнин, А. Я. Хавкин</i>	1561
О поглощении жидкости бипористой средой <i>П. П. Золотарев</i>	1563
Адсорбция поливинилхлорида из различных растворителей на твердой поверхности <i>И. С. Родзивилова, Г. П. Овчинникова, Н. Н. Бух, М. Н. Рахлевская</i>	1565

---

## **ХРОНИКА**

Физико-химические основы хроматографии в работах М. С. Цвета (К 90-летию открытия хроматографии) <i>К. И. Сакодынский</i>	1567
--	------

---

## **Номер 8**

---

### **ХИМИЧЕСКАЯ ТЕРМОДИНАМИКА И ТЕРМОХИМИЯ**

Растворимость халькогенидов железа(II) в воде по термодинамическим данным <i>Г. В. Макаров, Н. Я. Воевода, В. В. Батраков, Т. В. Кудашева</i>	1573
Теплоемкость $\text{Cu}_3\text{AsS}_3$ в интервале 3 - 300 К • <i>С. М. Толкачев, В. Б. Злоказов, Л. Я. Кобелев, Н. В. Мельникова</i>	1577
Термодинамические характеристики графитоподобных модификаций нитрида бора в диапазоне 300 - 1700 К <i>В. Л. Соложенко</i>	1580
Термодинамическое моделирование области несмешиваемости жидких растворов в системе серебро–серра с использованием модели Хоха–Арпсхофена <i>В. М. Глазов, Л. М. Павлова, Г. К. Мамбетерзина</i>	1583

Замкнутая бинодаль с двумя конечными критическими точками в тройных системах жидкость–жидкость–пар <i>А. Н. Горбунов</i>	1589
Стандартная энталпия образования $\text{Y}_2\text{BaCuO}_5$ <i>А. С. Монаенкова, А. А. Попова, Н. В. Зайцева, Ю. Я. Сколис, Л. А. Тифлова, О. В. Болталина, М. А. Быков</i>	1593
Термодинамика разбавленных растворов сульфо- и карбоксипроизводных фталоцианинов меди <i>В. С. Кузнецов, Н. В. Усольцева, В. В. Быкова, Ю. Г. Василисков, Г. А. Ананьев</i>	1597

---

### **ХИМИЧЕСКАЯ КИНЕТИКА И КАТАЛИЗ**

Свойства катализаторов на основе купратов металлов <i>Л. Форни, Ч. Олива, Ф. П. Ватти, Н. А. Синицына, С. В. Сорочкин, А. В. Моев, А. В. Вишняков</i>	1600
Кинетика термического разложения гексакарбонилов хрома и молибдена <i>А. К. Баев</i>	1607

---

### **ФИЗИЧЕСКАЯ ХИМИЯ РАСТВОРОВ**

Определение свободной энергии специфического взаимодействия органических неэлектролитов в водных мицеллярных растворах ионогенных поверхностно-активных веществ <i>Д. А. Суслов, Б. Н. Соломонов</i>	1611
Вращательное движение молекул воды в гидратных оболочках ионов и широкополосные диэлектрические спектры растворов электролитов <i>А. К. Лященко, Т. А. Новскова, А. С. Лилеев, А. Ю. Засецкий, В. И. Гайдук</i>	1615

---

## **СТРОЕНИЕ ВЕЩЕСТВА И КВАНТОВАЯ ХИМИЯ**

Объемные свойства некоторых жидкых кристаллов с межмолекулярными Н-связями

*В. В. Александрийский, В. А. Бурмистров, О. И. Коффман*

1623

Структура межфазного слоя глицерин/неполярная жидкость:  
влияние экспериментальных условий

*В. А. Зубков*

1626

Влияние ориентационных межмолекулярных колебаний  
на скорость переноса атомов водорода от флуорена к акридину

*Л. И. Трахтенберг, В. Ш. Фломенблит*

1631

Внутримолекулярная динамика и спектры:  
применение метода Хеллера к N-уровневым системам

*А. А. Грановский, В. Б. Павлов-Веревкин*

1635

Реакции окисления атомов и кластеров свинца в аргоновых матрицах

*Л. В. Серебренников, Г. В. Чертихин*

1639

ИК-спектры системы Ga + SO<sub>2</sub>, изолированной в аргоновых матрицах

*Г. В. Чертихин, А. В. Зайцевский, Л. В. Серебренников*

1642

---

## **ФИЗИЧЕСКАЯ ХИМИЯ ПОВЕРХНОСТНЫХ ЯВЛЕНИЙ**

Свойства поверхностей {001} кристалла с примитивной кубической решеткой

*В. И. Зубов, Ж. Д. Базибуриха, И. В. Мамонтов*

1645

Влияние солей на ионизацию индикаторов в слое штерна катионных мицелл

*Н. О. Мчедлов-Петросян, Л. П. Логинова, В. Н. Клецевникова*

1649

Влияние кислотности среды на адсорбцию органических веществ  
из водных растворов угольными волокнами

*И. В. Шевелева, А. В. Войт, Н. В. Зрянина*

1654

Адсорбция изомеров нитрофенола из трехкомпонентных растворов  
на гидроксилированном силикагеле

*С. Н. Ланин, Ю. С. Никитин, Е. В. Сыроватская*

1658

Люминесценция органических красителей,  
адсорбированных на поверхности модифицированных пленок диоксида титана

*Н. И. Кунцевич, В. П. Порошков, Е. И. Василевская*

1665

Гетерогенная хемилюминесценция. Механизмы возбуждения

I. Атомный зонд для диагностики адсорбированных атомов

*В. П. Гранкин, Н. Д. Гранкина, В. В. Стыров*

1669

Полислойная адсорбция на плоской неоднородной поверхности

*Ю. К. Товбин, Е. В. Вотяков*

1674

---

## **ФИЗИЧЕСКАЯ ХИМИЯ ПРОЦЕССОВ РАЗДЕЛЕНИЯ. ХРОМАТОГРАФИЯ**

Газохроматографическое исследование влияния температуры на удерживание  
и теплоты адсорбции кислородсодержащих органических соединений на кремнеземе

*Е. Ю. Кокунова, С. Н. Ланин, Ю. С. Никитин, Н. К. Шония*

1680

---

## КОЛЛОИДНАЯ ХИМИЯ И ЭЛЕКТРОХИМИЯ

Моделирование квазивесного разряда положительного электрода  
свинцово-кислотного аккумулятора в условиях постоянной концентрации кислоты  
на поверхности раздела электрод/раствор электролита

*М. Г. Руденко*

1687

---

## БИОФИЗИЧЕСКАЯ ХИМИЯ

Исследование бессолевых растворов полирибогуаниловой кислоты  
методом кондуктометрии

*А. Г. Козлов, О. В. Давыдова, С. И. Каргов*

1692

Кондуктометрическое исследование растворов полирибогуаниловой кислоты  
при низкой концентрации поддерживающего электролита.  
Сравнение подходов Винка и Маннинга

*А. Г. Козлов, О. В. Давыдова, С. И. Каргов*

1697

Изучение влияния эмульсий перфторуглеродов  
на некоторые биофизические параметры крови методом многократного рассеяния

*И. Н. Кузнецова, Т. В. Олейник, А. Я. Хайруллина*

1701

---

## ПРОЧИЕ ВОПРОСЫ ФИЗИЧЕСКОЙ ХИМИИ

Влияние природы аниона на строение аминокарбоксильных  
ионитных комплексов железа(III) в сульфатной и хромовокислой среде

*О. Ф. Стоянова, А. Л. Шварц*

1704

---

## КРАТКИЕ СООБЩЕНИЯ

Предпочтительная сольватация катионов лития  
в смешанном растворителе диметилсульфоксид–диглил

*А. И. Мишустин*

1708

Строение и каталитические свойства катионита КУ-2-8 в аммониевых формах

*К. Х. Джумакаев, И. И. Май, Н. С. Бекова, Е. Х. Махметов*

1711

Исследование процессов комплексообразования  
в системе метилэтилкетон–хлороформ методом ЯМР-спектроскопии

*Е. Ю. Куликова, А. Н. Петров, А. В. Сидорычева, Г. А. Альпер*

1714

Неравновесный статистический оператор Д. Н. Зубарева  
для межфазовой области раздела: некоторые уточнения

*Э. В. Вейцман*

1716

Сольватация эфира 18-краун-6 в ацетонитриле, метаноле и воде

*А. В. Зубынин, В. П. Баранников, А. И. Выогин, Г. А. Крестов*

1718

Низкотемпературная теплоемкость феррограната диспрозия

*Т. Б. Миршанашвили, В. С. Варазашвили, К. М. Гавричев,  
М. С. Царахов, Д. Ш. Цагарейшвили*

1721

Инициированное зародышеобразование в перегретых бензоле  
и растворе бензол–пара-терфенил в поле  $\gamma$ -излучения

*Н. Н. Данилов*

1723

<b>Исследование адсорбции фенола и метанола на цеолите HZSM-5 методом ИК-спектроскопии</b>	1726
<i>И. Ю. Пономаренко, Е. А. Паукштис, Л. М. Коваль</i>	
<b>Теплоемкость дисульфида рения в интервале 360 - 510 К</b>	1729
<i>А. С. Малкова, А. С. Болатбекова, А. С. Пашикин, Х. А. Альжанова</i>	
<b>Теплоемкость и термодинамические свойства <math>Y_2O_3</math> в интервале 14 - 300 К</b>	1731
<i>К. С. Гавричев, В. Е. Горбунов, Л. Н. Голушкина, Г. Е. Никифорова, Г. А. Тотрова, И. С. Шаплыгин</i>	
<b>Стандартные химические потенциалы фторид-анионов в неводных растворах</b>	1734
<i>А. И. Мишустин</i>	
<b>О влиянии примесей железа в катализаторах пиролиза бензина на селективность процесса</b>	1737
<i>Е. М. Рудык, М. В. Вишнецкая, А. Ю. Логинов</i>	
<b>Катион-радикальные механизмы каталитических превращений углеводородов. Крекинг алканов</b>	1740
<i>М. В. Вишнецкая, Б. В. Романовский</i>	
<hr/>	
<b>МЕТОДЫ И ТЕХНИКА ФИЗИКО-ХИМИЧЕСКИХ ИССЛЕДОВАНИЙ</b>	
<b>Коррекция сигнала теплопроводящего калориметра</b>	1743
<i>А. А. Иванюк</i>	
<hr/>	
<b>ДИСКУССИИ</b>	
<b>К вопросу о предельной эффективности термохимического преобразования лучистой энергии в работу</b>	1746
<i>Н. Д. Гудков</i>	
<b>Квазистатическая сдвиговая упругость вязких жидкостей</b>	1752
<i>У. Б. Базарон</i>	
<hr/>	
<b>ПИСЬМА В РЕДАКЦИЮ</b>	
<b>Принципы фликкер-шумовой спектроскопии</b>	1755
<i>С. Ф. Тимашев</i>	
<hr/>	
<b>ХРОНИКА</b>	
<b>Виктор Петрович Колесов (К 70-летию со дня рождения)</b>	1757
<b>Владислав Ильдифонсович Шимулис (К 60-летию со дня рождения)</b>	1758
<hr/>	
<b>РЕЦЕНЗИИ</b>	
<b>Рецензия на книгу "Состояние и перспективы изучения явлений переноса"</b>	1759
<i>Н. Х. Зимина</i>	
<hr/>	
<b>Номер 9</b>	
<hr/>	
<b>Количественное описание термодинамических свойств индивидуальных и смешанных растворов сильных электролитов в различных растворителях и широком интервале концентраций</b>	1765
<i>Е. М. Кузнецова</i>	
<hr/>	
<b>ХИМИЧЕСКАЯ ТЕРМОДИНАМИКА И ТЕРМОХИМИЯ</b>	
<b>Термохимия растворения <math>CuCl_2</math> в смешанных водно-диметилсульфоксидных растворителях</b>	1776
<i>С. В. Михеев, В. А. Шарнин, В. А. Шорманов</i>	

Природа бинарных азеотропов и аналитическое описание диаграмм их кипения

*М. В. Васильев*

1779

Температурная зависимость вязкости расплавленного  $B_2O_3$ , содержащего  $CoO$ ,  $NiO$  или  $MoO_3$

*И. Ю. Никитина, С. М. Балакин, Ю. П. Никитин, Н. А. Зайцева*

1784

## ФИЗИЧЕСКАЯ ХИМИЯ РАСТВОРОВ

Выбор концентрационной шкалы и стандартного состояния при изучении равновесий в водных растворах электролитов

*М. А. Рязанов*

1787

Диссоциация  $\alpha$ -аминокислот в растворителе вода–диоксан

*Л. В. Курицын, Н. В. Калинина*

1791

Объемные свойства водных растворов хлорида бария в зависимости от температуры, давления и концентрации

*А. Н. Баранов, С. Л. Любимов, Б. Р. Чурагулов*

1794

## СТРОЕНИЕ ВЕЩЕСТВА И КВАНТОВАЯ ХИМИЯ

О координационных свойствах 2,7,12,17-тетрасульфокислоты тетраазапорфина

*С. В. Тимофеева, О. Г. Хелевина, Б. Д. Березин*

1798

О максимальной прочности химической связи в ряду тугоплавких соединений переходных металлов со структурой типа  $NaCl$

*В. П. Жуков, Н. И. Медведева, Г. П. Швейкин*

1802

Локализация, энергетические свойства и зарядовое состояние катионов в активных центрах перфторированных мембран типов Nafion и Flemion. Квантово-химические результаты

*И. К. Воронцова, И. Д. Михейкин*

1805

Четыре “гравильные” формы периодической системы химических элементов

*Г. Г. Филиппов, А. И. Горбунов*

1809

Изменения лиомезоструктуры при ионном модифицировании

*Е. В. Попов, Е. В. Кононенко*

1813

Структура гидратированных комплексов однозарядных ионов и массоперенос воды в сульфокатионообменниках по данным ядерного магнитного резонанса

*Г. К. Салладзе, Р. И. Тагирова, В. И. Волков, С. А. Чижанов*

1818

Спектры и конформационный анализ молекул ацетальдегида, пропаналя, 2-метилпропаналя и 2,2-диметилпропаналя в возбужденных ( $S_1$ ) электронных состояниях

*И. А. Годунов, Н. Н. Яковлев*

1822

Вибронный спектр  $S_1 \leftarrow S_0$  и структура молекулы 2,2-диметилпропаналя в  $S_1$ -состоянии

*Н. Н. Яковлев, И. А. Годунов*

1826

Исследование природы стабильных радикалов в гуминовых кислотах методами ЭПР и механоактивации

*Д. С. Типикин, Г. Г. Лазарев, В. А. Жорин, Я. С. Лебедев*

1834

## ФИЗИЧЕСКАЯ ХИМИЯ ПОВЕРХНОСТНЫХ ЯВЛЕНИЙ

Кинетика адсорбции восстановительных газов на двухфазной поверхности оксидов железа

*А. Г. Захаров*

1839

Адсорбция и каталитическая активность платины на волокне ВИОН

*Л. Е. Горленко, Г. И. Емельянова, М. П. Зверев, Т. С. Лазарева, Б. Н. Тарасевич*

1843

Расчет изотермы сорбции электролита из динамических выходных кривых путем решения обратной задачи динамики сорбции

*Л. Р. Парбузина, А. В. Чанов, В. И. Горшков, А. М. Денисов, О. Т. Гавлина*

1848

Исследование бинарных гидроксидов никеля(II)–железа(III) методом оже-электронной спектроскопии

*А. А. Камнев, А. А. Смехнов*

1851

Определение фрактальной размерности ионообменных волокон по данным адсорбционного эксперимента <i>Б. В. Кутаров, Б. М. Кац</i>	1854
О проявлении интермиттанса в некоторых поверхностных явлениях в полупроводниках <i>В. Ф. Киселев, И. В. Крылова, А. В. Петров, И. Г. Стоянова, С. Ф. Тимашев</i>	1857
<b>ФИЗИЧЕСКАЯ ХИМИЯ ПРОЦЕССОВ РАЗДЕЛЕНИЯ. ХРОМАТОГРАФИЯ</b>	
Хроматографические свойства углеродных сорбентов <i>Н. А. Эльтекова</i>	1862
Разделение редкоземельных элементов хроматографическим методом с использованием конкурирующего иона кадмия <i>О. В. Харитонов, Э. А. Чувелева, Л. А. Фирсова</i>	1866
Особенности взаимодействия органических кислот с экстрагентами аминного характера <i>В. В. Егоров, Л. В. Колешко</i>	1869
<b>КОЛЛОИДНАЯ ХИМИЯ И ЭЛЕКТРОХИМИЯ</b>	
Моделирование зависимости емкости свинцового аккумулятора от плотности тока разряда в квазиравновесном приближении <i>М. Г. Руденко</i>	1873
<b>ФОТОХИМИЯ И МАГНЕТОХИМИЯ</b>	
Фотохимическая устойчивость тетраазапорфиринов <i>О. Г. Хелевина, Н. В. Чижова, Б. Д. Березин</i>	1877
Фотофизические свойства возбужденного состояния C <sub>70</sub> . Пикосекундный лазерный фотолиз <i>И. В. Васильев, В. А. Надточенко, Н. Н. Денисов, А. С. Лобач, А. П. Моравский</i>	1880
<b>БИОФИЗИЧЕСКАЯ ХИМИЯ</b>	
Взаимодействие частиц эмульсий перфторуглеродов с сывороткой крови <i>И. Н. Кузнецова, Н. Ш. Гохман, Ю. В. Лаврова</i>	1884
Прямая регистрация и изучение динамики образования свободных радикалов в клетках эпителия хрусталика и его клеточных компонентах, подвергнутых ультрафиолетовому облучению <i>Янкянг Шао, Емин Ху, Ке Ву, Янпо Конг</i>	1889
<b>ПРОЧИЕ ВОПРОСЫ ФИЗИЧЕСКОЙ ХИМИИ</b>	
Температурная зависимость выхода электрона натрия в твердом и жидким состояниях <i>Б. Б. Алчагиров, Р. Х. Архестов, Х. Б. Хоконов</i>	1892
Кинетика процессов в гетерогенных системах благородный газ–полимер и свойства получаемых пленок <i>В. В. Зайцев, Н. В. Каледенкова</i>	1896
Протонная кислотность оксидов переходных элементов <i>А. А. Давыдов</i>	1900
Полярность молекул фенилацильных эфиров ряда карбоновых кислот по данным эффекта Керра <i>Е. И. Рюмцев, Н. П. Евлампиева, Э. Г. Митрохина, С. И. Торгова, Л. А. Карамышева</i>	1907
<b>КРАТКИЕ СООБЩЕНИЯ</b>	
Оценка давления насыщенного пара ароматических соединений <i>Н. Н. Андреев, Ю. И. Кузнецов</i>	1912
Критерий реализации режимов движения хроматографической зоны для случая внутридиффузационной кинетики межфазного массообмена <i>Ю. Я. Лебедев</i>	1915
Инициированное $\gamma$ -излучением вскипание перегретых жидкостей <i>Н. Н. Данилов, Е. Н. Синицын</i>	1918

Устойчивость критического состояния и асимптотическое поведение термодинамических величин	
Е. Д. Солдатова	1921
Аппроксимирующее выражение для решения уравнения диффузии в шар	
Ю. П. Знаменский	1924
Окислительно-восстановительные процессы при неблагоприятной разности стандартных потенциалов	
С. А. Клюев	1926
Электронная структура $\beta$ -замещенных <i>тристис</i> -ацетилацетоната хрома	
А. Ю. Устинов, В. И. Вовна	1929
Катион-радикальные механизмы каталитических превращений ароматических углеводородов	
М. В. Вишнецкая, В. Б. Романовский	1932
Катион-радикальные механизмы каталитических превращений углеводородов. Изомеризация алканов	
М. В. Вишнецкая, В. Б. Романовский	1935
Механизм молекулярного гидрогалогенирования олефинов	
В. В. Смирнов, В. В. Орлов, В. М. Мамаев	1938
Самодиффузия противоионов $\text{Li}^+$ и молекул воды в макропористых	
сульфокатионитах КУ-23 по данным импульсного ядерного магнитного резонанса	
Г. К. Салладзе, Р. И. Тагирова, В. И. Волков, С. А. Чижанов	1941
Оценка концентраций растворителя в растворах формальдегида	
при различных температурах	
М. М. Силаев	1944
Термохимия растворов иодида натрия в водных смесях этиленгликоля	
А. П. Керн, В. В. Александров, И. В. Довгопол	1945
Стандартная энталпия образования кристаллического трииодида тербия	
М. Ю. Фуркалюк, В. Я. Леонидов, В. Ф. Горюшкин	1947
Термическая энтропия изопентана, адсорбированного на цеолите NaX	
А. А. Лопаткин, В. В. Ягов	1950

## ХРОНИКА

Исаак Рувимович Кричевский (1901 - 1993)	1952
--	------

## Номер 10

К 75-летию Карповского института	
А. П. Симонов	1957

## ХИМИЧЕСКАЯ ТЕРМОДИНАМИКА И ТЕРМОХИМИЯ

Термодинамика малых кластеров	
Д. И. Жуховицкий	1962
Протолитическое равновесие в водных растворах гидразида <i>n</i> -хлорбензойной кислоты	
В. П. Васильев, В. Ю. Фролов, Б. Ибрагим	1966
Электронная составляющая энтропии плавления полупроводников	
А. Р. Регель, В. М. Глазов	1969
Термодинамические свойства <i>B</i> - и <i>C</i> -модификаций полутораоксида европия	
Сухушина И. С., Васильева И. А., Дашков С. Б.	1976
Оценка давления насыщенного пара ароматических соединений	
Н. Н. Андреев, Ю. И. Кузнецов	1979
Термодинамические свойства систем гексакарбонила подгруппы хрома – пентакарбонил железа	
А. К. Баев	1983

---

## **ХИМИЧЕСКАЯ КИНЕТИКА И КАТАЛИЗ**

Формирование активного компонента закрепленного на  $\gamma\text{-Al}_2\text{O}_3$   
тетрасульфофтальцианинового катализатора

*О. Д. Филичева, Ф. А. Белихмаер, А. А. Давыдов, В. Н. Белоусов*

1987

Формирование различных состояний железа в феррисиликатах

II. Влияние термопаровой обработки

*М. В. Вишнечкая, О. А. Пономарева, А. Ю. Логинов, Б. В. Романовский*

1991

---

## **ФИЗИЧЕСКАЯ ХИМИЯ РАСТВОРОВ**

Энтальпии растворения протопорфиринов и их комплексов с ионом меди(II)  
в смесях бензола и хлороформа

*О. М. Чернова, М. Б. Березин, А. И. Вьюгин, Г. А. Крестов*

1993

---

## **ФИЗИЧЕСКАЯ ХИМИЯ ПОВЕРХНОСТНЫХ ЯВЛЕНИЙ**

Свойства поверхности оксида железа,  
модифицированного стеариновой кислотой и октадециламином

*Л. И. Дерновая, А. Е. Чалых, Ю. А. Эльтеков*

1996

Термодинамика сорбции уранил-ионов катионитами СФ-5 и КУ-23

*С. В. Кертман, Ю. А. Лейкин, Г. М. Тимирязева, Г. М. Кертман*

2001

Адсорбционные свойства полимерных адсорбентов полисорба-1, тепасорба-15 и тенакса-GC

*И. А. Бардина, Н. В. Ковалева, Ю. С. Никитин, И. С. Протонина*

2005

Адсорбция противоопухолевого антибиотика адриамицина на высокодисперсном кремнеземе

*Н. Н. Власова, Н. К. Давиденко, В. А. Бидзилля,  
Л. П. Головкова, А. А. Свеженцова, В. И. Богомаз*

2010

---

## **ФИЗИЧЕСКАЯ ХИМИЯ ПРОЦЕССОВ РАЗДЕЛЕНИЯ. ХРОМАТОГРАФИЯ**

Циркуляционная сверхкритическая флюидная хроматография

*В. П. Чижков, Н. В. Варивончик*

2014

---

## **ПРОЧИЕ ВОПРОСЫ ФИЗИЧЕСКОЙ ХИМИИ**

“Цепные” топологические индексы для решения прямой и обратной задач “структура–свойство”

*Н. В. Витюк*

2019

---

## **КРАТКИЕ СООБЩЕНИЯ**

Физико-химические свойства сегнетоэлектрического жидкого кристалла,  
индуцированного производными 1-ментона

*А. Р. Имамалиев, М. Г. Наджафова, Д. Ф. Алиев*

2023

Исследование адсорбции аммиака и пропилена  
на поверхности Fe–Sb-оксидного катализатора методом инфракрасной спектроскопии

*А. А. Давыдов, Т. А. Гордымова*

2025

Кинетические закономерности сорбции молекулярного кислорода  
катодно активированным синтетическим углем

*С. В. Садов, Н. В. Соцкая, Т. А. Краченко*

2027

Термодинамическое моделирование образования  
2,3,7,8-тетрахлордибензо-*n*-диоксина в процессах горения

*Л. В. Гуревич, О. В. Дорофеева, В. С. Иории*

2030

---

## **МАТЕРИАЛЫ II МЕЖДУНАРОДНОГО СИМПОЗИУМА ПО ХИМИИ ПОВЕРХНОСТИ, АДСОРБЦИИ И ХРОМАТОГРАФИИ**

Хроматографические свойства капиллярных колонок с адсорбционным слоем сульфата бария, модифицированного полимерами разной природы <i>С. А. Ненайденко, Л. Д. Белякова, О. Г. Ларионов, В. Р. Алишоев, В. Г. Березкин</i>	2033
Влияние структуры алкильных групп молекулы сорбата на его газохроматографическое удерживание <i>В. А. Герасименко, В. М. Набивач</i>	2038
Хроматографические свойства трафитированной термической сажи, модифицированной монослоем жидкокристаллического бис(гексилоксибензилиден)фенилендиамина <i>В. И. Назарова, К. Д. Щербакова, О. А. Щербакова</i>	2041
Подвижность адсорбированных молекул органических веществ на ионном адсорбенте – сульфате бария <i>С. А. Резников, Л. Д. Белякова</i>	2047
Технологические основы направленного синтеза модельных адсорбентов для хроматографии <i>Г. К. Ивахнюк, О. Э. Бабкин, Н. Ф. Федоров</i>	2052
Модифицированные сорбенты на основе технического углерода <i>О. Э. Бабкин, Г. К. Ивахнюк, Н. Ф. Федоров</i>	2056
Поверхностно-слоистые сорбенты на основе молекулярных сит, их применение для экспресс-анализа оксидов углеродов и азота <i>В. Г. Березкин, В. Ф. Третьяков, Е. Ю. Сорокина, Ж. Р. Тужилина, А. Ш. Мамедов</i>	2059
Модель адсорбированного центра для удерживания в жидкостной хроматографии с многокомпонентными подвижными фазами <i>М. Г. Левин, А. И. Гризодуб, Н. Н. Асмолова, В. Д. Григорьева, В. П. Георгиевский</i>	2062
Микросферический силикагель для высокоэффективной жидкостной хроматографии <i>Б. Д. Кабулов, Т. А. Грабовская, С. В. Заллялиева</i>	2070
Изменение пористой структуры ферризитированных активных углей <i>О. Н. Пастушенко, Н. И. Шкловская</i>	2073
Химия поверхности порошков синтетических алмазов и их адсорбционные свойства <i>Г. П. Богатырева</i>	2078
Поверхности пирогенного титанокремнезема <i>Е. Ф. Воронин, В. И. Зарко, Г. М. Козуб, Е. М. Пахлов</i>	2082
Влияние сорбированной воды на диэлектрические характеристики пирогенного кремнезема <i>В. И. Зарко, Г. М. Козуб</i>	2085
Эволюция структуры и адсорбционные свойства цеолитов Na, H-Y в процессе адсорбции–десорбции хлорида водорода <i>Т. А. Верещагина, А. Г. Аншиц</i>	2087
Изменение кислотных и катализитических свойств поверхности оксида алюминия при введении некоторых катионов <i>О. Е. Лебедева, К. А. Исакакова, Ж. Н. Есенгулов, А. Г. Сармурзина, Е. В. Лунина</i>	2092
Оценка распределения углерода в углерод-минеральных адсорбентах и закоксованных катализаторах <i>В. Б. Фенелонов, Л. Г. Оккель</i>	2095
Влияние дегидроксилирования и trimетилсилирования кремнезема на адсорбцию белков <i>Т. Д. Хохлова, Ю. С. Никитин</i>	2098
Регулирование структуры и химической природы поверхности пористых полимерных сорбентов методом радиационно-химического модифицирования <i>Т. С. Шепеленко, П. В. Зибарев</i>	2100
Структурно-адсорбционные свойства радиационно-привитых пористых полимерных сорбентов <i>В. П. Зибарев, А. Ю. Старшинин, Н. В. Иванкова</i>	2104

Исследование структуры и свойств хемосорбционных слоев монооксида углерода на высокодисперсных металлических адсорбентах методом инфракрасной спектроскопии <i>Н. П. Соколова</i>	2108
Хемосорбционные свойства адсорбентов на основе кобальта, родия, иридия <i>Е. Н. Лужкова, Н. П. Соколова</i>	2111
Твердофазное гидросилилирование в синтезе поверхностных соединений со связью Si-C <i>В. А. Тертых, Л. А. Белякова</i>	2116
Исследование диффузии молекул воды в мембранных типа нафион методом молекулярной динамики <i>Ю. К. Товбин, Ю. А. Дьяков, Н. Ф. Васютин</i>	2122
Концентрационные зависимости коэффициента диффузии молекул в неоднородных пористых сорбентах <i>Ю. К. Товбин, Е. В. Вотяков</i>	2126
Концентрация структурных гидроксилов в монтмориллонитовых глинах <i>А. А. Азгамходжаев, Э. А. Арипов</i>	2132
Адсорбция паров бензола на термообработанном монтмориллоните с полигидроксикатионами алюминия <i>С. З. Муминов, Д. Б. Гулямова, Э. А. Арипов</i>	2134
Межфазные характеристики лиофобных капиллярных систем <i>В. Ю. Гусев</i>	2136
Применение асимптотического уравнения динамики сорбции для расчета поглощения хлорид-ионов высокобазовым анионитом при неполной регенерации <i>Г. В. Славинская</i>	2140

## **Номер 11**

---

### **ХИМИЧЕСКАЯ ТЕРМОДИНАМИКА И ТЕРМОХИМИЯ**

Влияние дисперсности частиц на критическую температуру расслоения в системах из несмешивающихся компонентов <i>В. П. Красин, Ю. Н. Блащук</i>	2149
Теплоемкость эрбия в интервале 5 - 300 К <i>Г. А. Березовский, Л. А. Боярский, Г. С. Бурханов, А. М. Казаков, Н. Б. Кольчугина, И. Е. Пауков, О. Д. Чистяков</i>	2153

---

### **ХИМИЧЕСКАЯ КИНЕТИКА И КАТАЛИЗ**

О кинетике реакции газообразного гексафторида урана с хлористым водородом <i>А. Н. Езубченко, А. И. Илюхин, А. В. Мерзляков</i>	2157
Катализическое окисление лейкооснований молекулярным кислородом в нейтральных водных средах I. Кинетические закономерности <i>В. Г. Исак, А. Я. Сычев, Л. И. Бударин, М. Л. Казакевич, Л. Б. Возиян, С. Г. Левицкий, Ф. Зухер</i>	2160
Катализическое окисление лейкооснований молекулярным кислородом в нейтральных водных средах II. Механизм реакции <i>В. Г. Исак, А. Я. Сычев, Л. И. Бударин, М. Л. Бударин, М. Л. Казакевич, Л. Б. Возиян, А. П. Филипов, С. Г. Левицкий</i>	2164
Особенности переноса электрона в оксидных катализаторах II. Адсорбированные ион-радикалы на поверхности катализаторов $PdY_2O_3$ и $PdLa_2O_3$ <i>И. Н. Филимонов, И. А. Иконников, А. Ю. Логинов</i>	2168

Состояние поверхности катализаторов  $M/Y_2O_3$  и  $M/La_2O_3$  ( $M = Ni, Pd$ )  
по данным инфракрасной спектроскопии

И. Н. Филимонов, А. Ю. Логинов

2175

О кинетике гетерогенных химических реакций в атмосфере

С. Ф. Тимашев

2181

Дегидрирование циклогексанола с удалением водорода через мембранный катализатор

Н. Л. Басов, В. М. Грязнов, М. М. Ермилова

2185

---

## ФИЗИЧЕСКАЯ ХИМИЯ РАСТВОРОВ

Спектроскопическое исследование сольватации карбазола в бинарных растворителях

В. В. Некрасов, Л. В. Волкова

2190

Диэлектрические свойства бесконечно разбавленных растворов

А. А. Потапов

2193

Затвердевание переохлажденных эвтектических расплавов

В. И. Псарев

2199

Влияние состава растворителя вода–диметилсульфоксид на константу диссоциации глицина

В. А. Исаева, С. Ф. Леденков, В. А. Шарнин, В. А. Шорманов

2202

---

## СТРОЕНИЕ ВЕЩЕСТВА И КВАНТОВАЯ ХИМИЯ

Три эквивалентные градиентные линии пути инверсии молекулы  $PF_3$

Р. М. Миняев

2205

Квантово-химическое исследование взаимодействия многоатомных анионов  
с молекулой ацетонитрила и ее комплексами  $cLi^+$  и  $Na^+$

И. С. Перельгин, С. А. Шатохин, М. М. Карпасс

2210

Оценивание потенциала молекулярного взаимодействия методом регуляризации

III. Взаимодействие атомов аргона, криптона и ксенона

В. И. Шимулис, Дж. Л. Ратнасекера, Л. В. Сальников

2214

Термическая поляризация спинов и знаки констант спин-спинового взаимодействия  
в радикальных парах

С. Д. Чемерисов, Д. С. Типикин, О. Я. Гринберг, Я. С. Лебедев

2220

---

## ФИЗИЧЕСКАЯ ХИМИЯ ПОВЕРХНОСТНЫХ ЯВЛЕНИЙ

Численный анализ энергетической неоднородности  
комплексообразующих кремнеземов

Ю. В. Холин, С. А. Мерный

2224

Связь между двумя моделями сорбции химически модифицированными кремнеземами

Ю. В. Холин, С. А. Мерный

2229

Планарные сорбирующие материалы из базальтового волокна

IV. Волновые режимы динамики сорбции в неоднородном слое сорбента

М. С. Сафонов, В. К. Бельнов, Н. М. Воскресенский

2232

Ассоциация  $Pd-(n\text{-сульфофенил})$ -этиопорфирина и тетра(4-N-метилпиридинил)порфина в жидких растворах

В. В. Сапунов, Г. Д. Егорова

2238

---

## ФИЗИЧЕСКАЯ ХИМИЯ ПРОЦЕССОВ РАЗДЕЛЕНИЯ. ХРОМАТОГРАФИЯ

Об особенностях проницаемости аммиака  
через перфторированную сульфокатионитовую мембрану в ионной  $Cu_2$ -форме

С. А. Чижанов, В. В. Валуев, А. В. Воробьев, В. И. Волков

2242

---

## **ФОТОХИМИЯ И МАГНЕТОХИМИЯ**

Влияние перемешивания на фотоиндукционный кинетический  
фазовый переход в реакции Бриггса–Раушера в условиях непроточного реактора

*B. K. Vanag, A. O. Aitm*

2246

Анализ анизотропии спектров ЭПР

с учетом эффектов фотоселекции и фотоориентации

*A. X. Воробьев*

2253

---

## **ПРОЧИЕ ВОПРОСЫ ФИЗИЧЕСКОЙ ХИМИИ**

О прогнозировании величин температур кипения органических соединений  
на базе принципа линейности свободных энергий

*H. H. Андреев, Ю. И. Кузнецов, Т. В. Беликова*

2258

Обобщенный закон фильтрования

*О. Л. Брук*

2264

Изучение миграции катионов в полимерно-солевых композициях на основе поливинилового спирта

*A. A. Остроушко, М. В. Слинкина, Л. И. Волосенцева,  
И. П. Остроушко, Н. В. Миронова, Д. А. Пименов*

2267

Радиационные и энергетические характеристики двухтомных молекул (банк данных)

*Л. А. Кузнецова, Е. А. Пазюк, А. В. Столяров*

2271

Зависимость давления Лапласа от кривизны выпуклого мениска в узких несмачиваемых капиллярах

*Е. Н. Бродская, Е. М. Пиотровская*

2275

О температуре Дебая кубического бинарного ионного кристалла

*М. Н. Магомедов*

2280

---

## **КРАТКИЕ СООБЩЕНИЯ**

Ядерная магнитная релаксация алканов

*Г. А. Козлов, А. Г. Козлов*

2287

Термодинамические свойства некоторых кетонов  
в интервале температур 273 - 473 К и давлений 0.1 - 156.8 МПа

*В. А. Атоян*

2288

Закономерности сорбции ионов кадмия из растворов азотной и серной кислот на ионитах

*M. X. Умарахунов, У. А. Мухамедгалиев, Н. У. Ризаев*

2292

Термодинамика взаимодействия катионов двухвалентных металлов  
с азотfosфорсодержащими поликомплексонами

*А. Н. Амелин, Л. П. Ряскова, В. М. Перельгин, В. М. Балакин*

2294

Кристаллизация переохлажденных соединений  $A^3B^5$

*В. А. Елюхин, Л. П. Сорокина, Ю. П. Хапачев*

2297

Определение изопиестических концентраций электролитов экстраполяцией  
в область пересыщенных растворов

*Д. А. Денисов, Ю. Г. Фролов*

2299

Термодинамика критического состояния

*Е. Д. Солдатова*

2302

Изменение энталпии при переходе ионов  $Tb^{4+}$ ,  $Am^{4+}$  и  $Pu^{4+}$   
из кубической в октаэдрическую координацию в кислородном окружении

*Л. А. Резницкий*

2306

Расчет стандартных энтропий сольватации катионов на основе термодинамического цикла

*А. И. Мишустин, В. Ф. Столыпин*

2307

**Разделение изотопов лития и кальция при химическом изотопном обмене  
в экстракционных системах с фосфорилсодержащими поданндами**

*А. В. Левкин, С. В. Бондарева, В. Е. Баулин, В. И. Жилов, А. Ю. Цивадзе*

2309

**Селективный перенос одно- и двухвалентных катионов  
в мембранах из сульфонатсодержащих ароматических полiamидов**

*Ю. Э. Кирш, И. М. Малкина, Ю. А. Федотов, С. Ф. Тимашев*

2312

---

## **ДИСКУССИИ**

**О применимости метода слоя конечной толщины для описания адсорбции на твердых поверхностях**

*А. А. Лопаткин*

2315

**Комментарий к статье Н. Д. Гудкова**

**“К вопросу о предельной эффективности преобразования лучистой энергии в работу”**

*В. М. Пармон*

2321

**К описанию изотермы полислойной адсорбции**

*Г. Л. Аранович*

2323

**Полислойная адсорбция и аппроксимационные изотермы**

*Ю. К. Товбин*

2325

---

## **МАТЕРИАЛЫ МЕЖДУНАРОДНОГО СИМПОЗИУМА ПО ХИМИИ ПОВЕРХНОСТИ, АДСОРБЦИИ И ХРОМАТОГРАФИИ**

**Селективность восстановительной сорбции благородных металлов активными углями**

*Ю. А. Тарасенко, А. А. Багреев, В. В. Яценко*

2328

**Восстановительная сорбция как метод**

**раздельного выделения металлов из растворов**

*Ю. А. Тарасенко, Г. В. Резник, А. А. Багреев, А. А. Лысенко*

2333

---

## **ХРОНИКА**

**Михаил Михайлович Дубинин (1901 - 1993)**

2336

---

## **Номер 12**

---

### **ХИМИЧЕСКАЯ ТЕРМОДИНАМИКА И ТЕРМОХИМИЯ**

**Математическое моделирование химических равновесий в прототипах биологических сред**

*В. А. Дуров, Б. Д. Бурсулай, А. И. Новиков, Т. А. Матковская*

2339

**Энталпии образования водородных связей замещенных ацетиленов с основаниями**

*А. А. Столов, С. В. Изосимова, В. А. Бреус, С. А. Неклюдов, Б. Н. Соломонов*

2345

**Термодинамическое моделирование области несмешиваемости жидких растворов  
в системе свинец–сера**

*В. М. Глазов, Л. М. Павлова, Г. К. Мамбетерзина*

2348

**Термодинамические характеристики бинарных смесей амидов с ацетонитрилом**

*М. В. Куликов, А. М. Колкер, Ал. Г. Крестов*

2354

**Влияние кулоновского взаимодействия на структуру и свойства некристаллических систем**

*Д. К. Белащенко*

2359

**Моделирование структуры и расчет термодинамических свойств  
некристаллических систем при использовании гибридных пар потенциалов**

*Д. К. Белащенко*

2366

**Равновесие критической фазы с паром в трехкомпонентных системах**

*А. Н. Горбунов*

2375

**Энергии изменения координации катионов в оксидах и сульфидах**

*Л. А. Резницкий*

2379

**Оценка свободных энергий гидратации и сольватации органических незэлектролитов**

*С. М. Лещев, И. В. Мельситова, В. И. Онищук*

2383

Термодинамические параметры конформационных равновесий <i>транс</i> -1,2-дихлорциклогексана и 1,2-бромфторэтана в растворах и полимерных матрицах А. А. Столов, Д. И. Камалова, С. А. Смирнов, Д. Г. Гладиков, А. Б. Ремизов	2388
Условия термодинамической устойчивости сверхпроводника $\text{YBa}_2\text{Cu}_3\text{O}_{6+z}$ С. А. Дегтярев, Г. Ф. Воронин	2393
Термодинамические свойства смесей гексакарбонилов хрома и вольфрама А. К. Баев	2399
О термодинамическом подходе к выводу уравнения состояния вещества	
I. Термодинамические потенциалы и уравнения состояния В. В. Бондаренко	2403
О термодинамическом подходе к выводу уравнения состояния вещества	
II. Вычисление сжимаемости В. В. Бондаренко	2406
Стандартная энталпия образования трихлорида гадолиния Д. М. Лаптев, Т. В. Киселева, В. В. Васильев, Д. И. Ощепков	2410

---

## ХИМИЧЕСКАЯ КИНЕТИКА И КАТАЛИЗ

Гидрирование фенола в циклогексанон на мембранных катализаторах Н. Л. Басов, В. М. Грязнов, М. М. Ермилова	2413
Оценка энергий диссоциации С–Н-связей в углеводородах по кинетическим данным Е. Т. Денисов	2416

---

## ФИЗИЧЕСКАЯ ХИМИЯ ПОВЕРХНОСТНЫХ ЯВЛЕНИЙ

Анализ необменной сорбции электролитов ионообменными мембранами с помощью микрогетерогенной модели В. И. Заболоцкий, В. В. Никоненко, О. Н. Костенко, Л. Ф. Ельникова	2423
Изучение химии поверхности аминосилохромов методами газовой хроматографии и ИК-спектроскопии В. Я. Давыдов, Т. М. Рошина, Н. М. Хрусталева, А. А. Мандругин	2428
Кинетика сорбции серебра(I) волокнистым сорбентом нитрон S-3 В. Э. Краков, Е. Я. Калонтарова, Л. С. Бобрицкая, Г. Н. Никитина	2433
Влияние термической дегидратации гидроксиалюминиевого монтмориллонита на адсорбцию <i>n</i> -гексана и бензола С. З. Муминов, Д. Б. Гулямова, Э. А. Арипов	2436
Изменение поверхностных свойств слоев из полиметилметакрилата в плазме тлеющего разряда Н. В. Каледенкова, В. В. Зайцев	2439
Состояние поверхности пленочных $\text{TiO}_2$ -электродов, модифицированных частицами серебра В. С. Гурин, В. П. Порошков, К. Н. Каспаров, Е. А. Тягловская, Н. И. Кунцевич	2442
Исследование взаимодействия хлорбензолов с поверхностью $\text{CuO}$ методом ИК-спектроскопии А. А. Давыдов	2447
Влияние кислотности на окислительно-восстановительный потенциал pH-независимой редокс-пары, иммобилизованной на кремнеземе Н. А. Липковская, А. Г. Кольчинский, С. С. Сильченко, А. А. Чуйко	2452
Химические реакции на поверхности дисперсного кремнезема при газофазном модифицировании парами $\text{MoOCl}_4$ Ю. В. Плюто, А. А. Гомениук, И. В. Бабич, А. А. Чуйко	2455

---

## ФОТОХИМИЯ И МАГНЕТОХИМИЯ

Влияние растворителя на фотопротонирование кумарина 102 С. И. Дружинин, Б. Д. Бурсулая, Б. М. Ужинов	2459
---	------

---

## БИОФИЗИЧЕСКАЯ ХИМИЯ

Строение и бионеэквивалентность полиморфных форм метилурацила Н. Б. Леонидов, П. М. Зоркий, А. Э. Масунов, О. П. Гладких, В. К. Бельский, А. В. Дзябченко, С. А. Иванов	2464
---	------

---

**ПРОЧИЕ ВОПРОСЫ ФИЗИЧЕСКОЙ ХИМИИ**

Динамика комплексов с переносом заряда метилвиологена  
с ароматическими молекулами в анионных мицеллах

*В. А. Надточенко, Н. Н. Денисов, В. Гульбинас, В. Бутвилас, А. Урбас*

2469

---

**КРАТКИЕ СООБЩЕНИЯ**

Оценка термодинамических свойств антимонатов щелочных металлов  
и газообразных ионов  $\text{SbO}_3^-$ ,  $\text{Sb}_3\text{O}_{10}^{5-}$ ,  $\text{Sb}_2\text{O}_7^{4-}$ ,  $\text{SbO}_4^{3-}$

*Б. К. Касенов, Б. К. Жакибаев, Ш. Б. Касенова*

2475

ИК-спектроскопическое изучение форм адсорбции малеинового ангидрида на  $\text{V}_2\text{O}_5/\text{Al}_2\text{O}_3$  и  $\text{CuO}$

*А. А. Давыдов*

2477

О влиянии кремния и серы на активность углерода в цементите  $\text{Fe}_3\text{C}$

*А. А. Жуков, Г. Ю. Шульте, А. Б. Янченко*

2480

Катодная поляризация висмута в расплавах рубидиевых солей

*М. В. Дергачева, Е. Г. Шатрова*

2483

Авторский указатель к тому 67 за 1993 г.

2485

Содержание к тому 67 за 1993 г.

2492

---

## Глубокоуважаемый автор!

Сообщаем Вам, что фирма **Оптиконт**, осуществляющая финансово-хозяйственную деятельность “Журнала физической химии”, выплачивает авторское вознаграждение за реализацию за рубежом журнала, переведенного на английский язык.

В соответствии с принятым у нас порядком мы перечисляем причитающуюся Вам сумму авторского вознаграждения ( $\approx$ 10 долларов США за журнальную страницу) в Краснопресненское отделение Сбербанка г. Москвы № 1569/01548 по адресу: г. Москва, ул. Стениславского, д. 14. При этом с причитающейся Вам суммы будетдержан подоходный налог в соответствии с законами РФ, а также плата за банковские услуги 2.98% от суммы, оставшейся после удержания подоходного налога.

По предъявлении паспорта в Краснопресненском отделении Сбербанка г. Москвы Вам будет открыт валютный счет. Вы сможете сумму, оставшуюся после указанных удержаний, получить наличными в долларах США или оставить часть ее на своем счете. В последнем случае облегчится получение последующих выплат за участие в работе журнала, кроме того, на вклад “до востребования” начисляются 3% годовых.

Коллективу авторов желательно выделить **одного** из них для начисления на его имя всего гонорара, так как банк не открывает счет на небольшие суммы (заявление об этом должно быть подписано всеми авторами).

Для выполнения финансовых операций необходимо заполнить декларацию (текст ее прилагается) и представить в редакцию следующие паспортные сведения: фамилия, имя, отчество, серия, номер, кем и когда выдан паспорт, домашний адрес с почтовым индексом.

Телефон редакции: (095) 227-00-14, добавочный: 29-28.

Адрес: 103064, Москва, ул. Обуха 10, НИФХИ им. Л.Я. Карпова, редакция “Журнала физической химии”.

Заведующая редакцией Беленкина Н.М.

## ДЕКЛАРАЦИЯ

Дата .....

Мы .....  
являемся авторами статьи .....

..... и, обладая  
всеми авторскими правами на эту статью, передаем ее для опубликования в "Журнал физической химии".

Мы предоставляем учредителю и редколлегии "Журнала физической химии" исключительные права на издание и перевод на английский язык нашей статьи, всех содержащихся в ней материалов, названия, а также товарных знаков с целью выпуска в свет, реализации и распространения во всем мире как в форме печатной продукции, так и в электронной форме.

Мы согласны со следующими условиями выплаты авторского вознаграждения. В Краснопресненском отделении Сбербанка города Москвы № 1569/01548 (ул. Станиславского, 14) на каждого автора открывается валютный счет. На этот счет будет перечислено авторское вознаграждение в долларах США, получить которое можно наличными, имея на руках паспорт.

Поручаем сумму причитающегося нам вознаграждения распределить в соответствии со следующим распоряжением (пожалуйста, пишите разборчиво):

Фамилия, имя, отчество	Доля в процентах	Счет в ОСБ № 1569/01548 (если имеется)	Паспорт: серия, номер, кем, когда выдан	Домашний адрес с почтовым индексом	Подпись автора